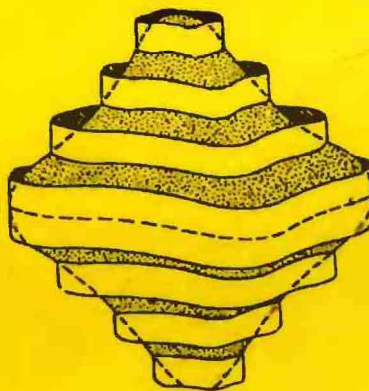


639.1  
4-53

Ա.Ա.ԿԻՐԱԿՈՍՅԱՆ

ՊԻՆԴ ՄԱՐՄԵԼ ՖԻԶԻԿԱՅԻ  
ՆԵՐԱԲՈՒԹՅՈՒՆ

II



ԵՐԵՎԱՆ 1999

539.1

Կ-53

Ա.Ա.ԿԻՐԱԿՈՍՅԱՆ

ՊԻՆԴ ՄԱՐՄԻՒ ՖԻԶԻԿԱՅԻ  
ՆԵՐԱԾՈՒԹՅՈՒՆ  
ՍԱՍ II

ՀԱՅԻՆՖՈ ԳՈՐԾԱԿԱԼՈՒԹՅՈՒՆ

ԵՐԵՎԱՆ 1999

ԴՏՀ 53 (07)

ԳՄԴ 22.3.73

Կ-530

Խմբագիր՝ ակադեմիկոս Է.Մ.Ղազարյան

**Ա.Ա.Կիրակոսյան**

Կ-530 Պինդ մարմնի ֆիզիկայի ներածություն, Մաս II:Ուս. ձեռնարկ-Եր., Արտագերս, էջ 350, 1999թ.:

Գրքում հանգամանորեն շարադրված է դասական էլեկտրոնային տեսագրությունը (Պ.Դրայն, <Լորենց>) և ազատ էլեկտրոնային գազի քվանտային աեսությունը (Ա.Չոմերժելյ): Տրված են նախնական տեղեկություններ պինդ բյուրեղական մարմնում էլեկտրոնի էներգիական սպեկտրի գոտիական կառուցվածքի մասին: Առանձին զույներ են նվիրված գերեադրդականության երևույթի, պինդ մարմնի մագնիսական հատկությունների և արատների ուսումնասիրությանը: Տրված են նաև նախնական, ընդհանուր քննությունների անդամանությունների ամերի պինդ մարմնիների և ենդուկ բյուրեղների մասին:

Նախատեսված է ԵՊՀ-ի ֆիզիկայի և ուսումնական ֆակուլտետների, Արցախի պետական համալսարանի բնագիտական ֆակուլտետի, ՀՊՀ-ի կիբեռնետիկայի, կիսահաղորդային սարքերի ֆիզիկայի, նյութաբանության և հարակից բնագավառներում մասնագիտացող ուսանողների, ինչպես նաև մագիստրոսների և ասպիրանտների համար:

Գիրքը կարող է օգտակար լինել նաև պինդ մարմնի ֆիզիկան ինքնուրույն ուսումնասիրել ցանկացաղ գիտաշխատողների և ճարտարագետների համար:

186 523

2000866475

ԳՄԴ 22.3.73

Կ  $\frac{1604010000}{0038(01)-99}$  99

© Կիրակոսյան  
© Արտագերս հրատ. 1999

**Նախաձեռնությամբ Ամերիկահայ ճարտարագետների  
և Գիտնականների Հնկերակցության  
դոկտոր ԱԼԵՔՍ, ԴԵՐՈՐԱ և ՄԻՔԱՅԵԼ  
ԳՐԻԳՈՐՅԱՆՆԵՐԸ  
ի հիշատակ իրենց շատ սիրելի  
դոկտոր ՄԻՔԱՅԵԼ ԳՐԻԳՈՐՅԱՆԻ  
հովանավորել են սույն զրքի հրատարակությունը**

# ԲՈՎԱՆԴԱԿՈՒԹՅՈՒՆ

## Գլուխ VI. Դասական էլեկտրոնային տեսություն

|  |    |
|--|----|
| §1. Դրույի էլեկտրոնային տեսությունը.....                                       | 7  |
| §2. Մետաղի էլեկտրահաղորդականությանը.....                                       | 9  |
| §3. Մետաղի դինամիկական հաղորդականությունը.....                                 | 14 |
| §4. Մագնիսադիմադրություն: Հողի երևոյթը.....                                    | 20 |
| §5. Ջերմահաղորդականություն: Վիդեման-Ֆրանցի օրենքը.<br>Ջներեկի երևոյթը.....     | 26 |
| §6. Լորենցի լեկտրոնային տեսությունը.....                                       | 30 |
| §7. Կիմնադրիկ հավասարման լուծումը: Կիմնադրիկական<br>զորձակիցների հաշվարկը..... | 35 |

## Գլուխ VII. Մետաղների տեսությունն ըստ Զոմերֆելդի

|   |    |
|---|----|
| §1. Ֆերմի-Դիրակի բաշխումը.....  | 41 |
| §2. Էլեկտրոնային գազը հիմնական վիճակում.....  | 43 |
| §3. Էլեկտրոնային գազը զույժից աւարքեր չերմասահճաններում.....                              | 50 |
| §4. Էլեկտրոնային գազի գործությունը.....   | 56 |
| §5. Էլեկտրոնային գազի լեկտրահաղորդականությունը և<br>ջերմահաղորդականությունը.....          | 61 |
| §6. Դասական տեսության մեջ Ֆերմի-Դիրակի քվանտային<br>բաշխման օգտագործման հիմնավորումը..... | 68 |
| §7. Դասական էլեկտրոնային տեսության թերությունները.....                                    | 70 |

## Գլուխ VIII. Գոտիական տեսության հիմունքները

|  |     |
|--|-----|
| §1. Էլեկտրոնի ալիքային ֆունկցիան պարբերական դաշտում:<br>Բլոյսի թեորևոնը.....   | 74  |
| §2. Կրոնիզ-Պեննիի մոդելը.....  | 81  |
| §3. Քվագիմպուլս: Արարին դաշտի ազդեցությունը բյուրեղում<br>գանվող լեկտրոնի վրա: Երդյունարար գանգվածի<br>գաղափարը..... | 93  |
| §4. Հաղորդիչներ և մեկուսականներ: Խոռոչի գաղափարը.....  | 100 |

## **Գլուխ IХ. Պինդ մարմինների մագնիսական հատկությունները**

|   |     |
|---|-----|
| §1. Պինդ մարմինների դասակարգումն ըստ մագնիսական<br>հատկությունների..... | 111 |
| §2. Ատոմական դիամագնիսականություն: Բորի,<br>Վան-Լևենի թեորիմը .....     | 115 |
| §3. Ատոմական ընլալունակության ընդհանուր հաշվարկը.....                   | 122 |
| §4. Ազատ էլեկտրոնների ուժեղության դիամագնիսականությունը....             | 129 |
| §5. Ատոմների և իոնների պարամագնիսականությունը:<br>Կյուրիի օրենքը.....   | 140 |
| §6. Սպինային պարամագնիսականություն.....                                 | 150 |
| §7. Մագնիսական կարգավորվածություն.....                                  | 158 |
| §8. Ֆեռոմագնիսականություն.....  | 164 |
| §9. Հակաֆեռոմագնիսականություն.....                                      | 173 |
| §10. Ֆերմագնիսականություն.....  | 180 |
| §11. Փոխանակային փոխազդեցություն: Հայզենբերգի մոդելը.....               | 188 |
| §12. Սպինային ալիքները ֆեռոմագնիսաներում.....                           | 195 |
| §13. Մագնիսական անիզոտրոպություն.....                                   | 203 |
| §14. Ֆեռոմագնիսական դոմեններ.....                                       | 208 |

## **Գլուխ X. Գերհաղորդականություն**

|   |     |
|---|-----|
| §1. Գերհաղորդականության հայտնագործումը.....                                   | 219 |
| §2. Իդեալական դիամագնիսականություն: Մայսների երևույթը.....                    | 225 |
| §3. Միջանկալ վիճակ: I և II սերի գերհաղորդիչներ.....                           | 231 |
| §4. Գերհաղորդիչ վիճակի քերմողինամիկան: Ջերմունակության<br>բոլշը.....          | 238 |
| §5. Լոնդոնների անսությունը.....   | 244 |
| §6. Հոսքի քանտացումը: Կուպերյան գույզեր.....                                  | 251 |
| §7. Գերհաղորդականության միկրոսկոպական տեսության<br>ֆիզիկական հիմունքները..... | 256 |
| §8. Գաղափար գերհաղորդականության ԲԿԸ տեսության մասին... <td>265</td>           | 265 |
| §9. Չողեքտանի երևույթները.....  | 273 |

|  |     |
|--|-----|
| §10. Գաղափար բարձրշերմաստիճանային գերհաղորդականության մասին.....                                     | 281 |
| <b>Գլուխ XI. Արատները բյուրեղներում</b>  |     |
| §1. Բյուրեղական արատների դասակարգումը.....   | 288 |
| §2. Կետային արատներ.....   | 294 |
| §3. Դիալոկացիաներ.....   | 303 |
| <b>Գլուխ XII. Ամորֆ մարմիններ և հեղուկ բյուրեղներ</b>  |     |
| §1. Ամորֆ մարմիններ.....   | 315 |
| §2. Գաղափար հեղուկ բյուրեղների մասին.....  | 325 |
| <b>Հավելված 1. Ֆիզիկական մեծությունների առյուսակ</b>   | 336 |
| <b>Հավելված 2. Որոշ մետաղների տեսակարար դիմադրությունները<br/>և էլեկտրոնային կոնցենտրացիաները</b>    | 337 |
| <b>Հավելված 3. VIII.1.11 առնչության ապացույցը</b>  | 338 |
| <b>Հավելված 4. Տարրերի կրիայիկական ջերմաստիճանների և<br/>կրիտիկական մազնիսական դաշտերի արժեքները</b> | 339 |
| <b>Գրականություն</b>   | 340 |

## ԴԱՍԱԿԱՆ ԷԼԵԿՏՐՈՆԱՅԻՆ ՏԵՍՈՒԹՅՈՒՆ

### §1. Դրույնի էլեկտրոնային տեսությունը

1897թ. Զ.Զ. Թոմսոնը հայտնագործեց էլեկտրոնը: Երեք տարի անց Պ. Դրույնը ստեղծեց էլեկտրոնային տեսություն, որը բացատրում էր մետաղների էլեկտրա- և ջնրմահաղորդականությունը:

Մետաղում գտնվող էլեկտրոնների համախումը Դրույնն դիտեց որպես էլեկտրոնային զազ և նրա նկատմամբ կիրառեց զազերի կիմետրիկ տեսությունը: Այս տեսության պարզագույն տարրերակում մոլեկուլները համարվում են կոչու, միատևսակ զնդեր, որոնք փոխազդում են միայն կարճատև բախումների ժամանակ: Քանի որ մետաղն էլեկտրաշեղոր է, ապա էլեկտրոնների հետ մեջ մետաղն էլեկտրաշեղոր է լինեն նաև դրական լիցքավորված մասնիկներ (իոններ), որոնք, համաձայն Դրույնի, անշարժ են և համակշռում են էլեկտրոնների բացասական լիցքը:

Էլեկտրոնային զազի կարևորագույն բնութագիրը նրա կոնցենտրացիան է՝ 1սմ<sup>-3</sup>-ում առկա էլեկտրոնների թիվը՝

$$n = \frac{N}{V} = N_A \frac{Z \cdot \rho}{A}, \quad (1.1)$$

որտեղ  $N_A$ -ն Ավոգադրոյի թիվն է,  $\rho$ -ն՝ նյութի զանգվածային խտությունը,  $A$ -ն՝ հարաբերական աստմային զանգվածը,  $Z$ -ը՝ ատոմի արժեքականությունը, այսինքն՝ այն էլեկտրոնների թիվը, որոնք հետանում են ատոմից, եթե առանձին ատոմներից կազմվում է մետաղը: Մետաղներում էլեկտրոնների կոնցենտրացիան  $10^{22}$  սմ<sup>-3</sup> կարգի մեծություն է և փոփոխվում է  $0,91 \cdot 10^{22}$  սմ<sup>-3</sup>-ից (Cs) մինչև  $24,7 \cdot 10^{22}$  սմ<sup>-3</sup> (Be) (Հավելված 2):

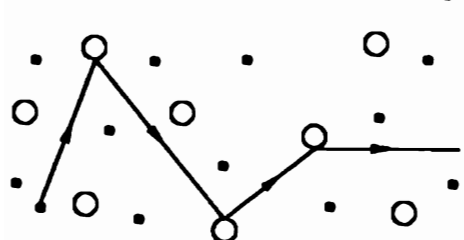
Մետաղներում էլեկտրոնային զազի կոնցենտրացիան մոտ 1000 անգամ մեծ է նորմալ պայմաններում դասական զազի խտությունից՝ Լոշմիդտի թվից՝  $n_L \approx 2,7 \cdot 10^{19}$  սմ<sup>-3</sup>. Չնայած այս հանգամանքին, ինչպես նաև ուժեղ էլեկտրոն-էլեկտրոն և էլեկտրոն-իոն փոխազդեցությունների առկա-

յուրյանը, Դրուդի տեսության մեջ Լևկարոնային զազի ուսումնասիրության համար կիրառվում են չեղոք, նոսր զազերի կինեալիկ տեսության մերույները:

Դրուդի էլեկտրոնային տեսության մեջ արվում են հետևյալ հիմնական ենթադրությունները.

1. Բախումների միջև ընկած ժամանակամիջոցում հաշվի չի առնվազ էլեկտրոնի փոխազդեցությունը մյուս էլեկտրոնների և իոնների հետ, այլ կերպ ասած՝ արտաքին էլեկտրամագնիսական դաշտերի բացակայությամբ յուրաքանչյուր էլեկտրոն շարժվում է ուղղագիծ և հավասարաչափ: Արտաքին դաշտերի առկայությամբ էլեկտրոնը շարժվում է Նյուունի օրենքներին համապատասխան, ընդունի հաշվի են առնվազ միայն այդ դաշտերը, իսկ մյուս էլեկտրոնների և իոնների լրացուցիչ բարդ ազդեցությունը հաշվի չի առնվազ: Այն մոտավորությունը, որի դեպքում արեամարիվում է բախումների միջև ընկած ժամանակամիջոցում էլեկտրոն-էլեկտրոն փոխազդեցությունը, հայտնի է որպես անկախ էլեկտրոնների մոտավորություն, իսկ եթե արեամարեվում է էլեկտրոն-իոն փոխազդեցությունը, ապա զործ ունենք ազատ էլեկտրոնների մոտավորության հետ:

2. Բախումն ակնքարրային պատահար է, որը հանկարծակիտրեն վտանգ է էլեկտրոնի արագությունը: Էլեկտրոնները ետ են քոչում դրական իոններից, ինչպես կոչու զնդերից, իսկ էլեկտրոնի բախումները մյուս էլեկտրոնների հետ ընդհանրապես հաշվի չեն առնվազ (նկ. VI.1):



Նկ. VI.1

Իրականում այս պատկերը շատ հեռու է ճշմարտացի լինելուց: Բարեբախտաբար, շատ խնդիրներամ բոլորը կարևոր

չեն բախումների մասնաւոր մասնաւոր իմացությունը. բավական է միայն ենթադրել, որ գործում է ցրման որևէ մեխանիզմ: Կարելի է օգտագործել ցրման պրոցեսի մի քանի ընդհանուր հատկություններ, առանց սահմանափակվելու այս կամ այն մեխանիզմով: Այդ ընդհանուր հատկությունները տրվում են հետևյալ երկու ենթադրություններով.

3. Միավոր ժամանակում էլեկտրոնի ցրման հավանականությունը  $1/\tau$  է:  $dI/dt$  ժամանակամիջոցում ցրման հավանականությունը հավասար է  $dI/\tau$ :  $\tau$ -ն կոչվում է ոելաքսագիշայի ժամանակ կամ ազատ վազքի ժամանակ և կախված չէ էլեկտրոնի տարածական դիրքից և նրա արագությունից:

4. Էլեկտրոնները զայխ ևն շրջապատի հետ չերմային հավասարակշռության բացառապես բախտումների շնորհիվ: Բախտումները պահպանում ևն տեղային չերմային հավասարակշռությունը հետևյալ կերպով: Բախտումից անմիջապես հետո էլեկտրոնի արագությունը կսալված չլ. բախտումից առաջ նրա ոճնեցած արագության հետ, բնդ որում արագությունն ողղված է, պատահական ձևով, իսկ մեծությունը համապատասխանում է այն տիրույքի չերմասսի հիմքին. որտեղ որ անդի և ունեցել բախտումը:

Հիմնվելով արված ևնթադրությունների վրա, սուսեսնը արագահայտություններ մնանական որոշ ֆիզիկական բնութագրերի համար և համեմատենք դրանք փորձից հայտնի տվյալների հետ:

## §2. Մետաղի էլեկտրահաղորդականությունը

Օհմի օրենքի համաձայն, հոսանքը հաղորդում համեմատական 1. նրա ծայրերին կիրառված լարմանը

$$I = \frac{U}{R}, \quad (2.1)$$

որտեղ հաղորդչի  $R$  դիմադրությունը կախված է նմուշի ձևից, չափերից, ինչպես նաև նյութի տևականությունից: Դրույթի տևառությունը հնարավորություն է տալիս բացատրելու (2.1) կապը և զնական դիմադրությունը:

Ինչպես գիտենք,  $v$ , արագությամբ շարժվող էլեկտրոնը համարժեք է  $j_i = -\frac{e}{V} v$ , լսությամբ հոսանքի: Գումարենք բոլոր  $N$  էլեկտրոնների կողմանց սանդղված հոսանքների խոսությունները, կստանանք՝

$$\mathbf{j} = \sum_{i=1}^N \mathbf{j}_i = -\frac{e}{V} \sum_{i=1}^N \mathbf{v}_i = -en\mathbf{v} \quad (2.2)$$

որտեղ

$$\mathbf{v} = \frac{1}{N} \sum_{i=1}^N \mathbf{v}_i, \quad (2.3)$$

վեկտորը էլեկտրոնների միջին արագությունն է, որն անվանում են նաև հոսլրացի (դրեյֆի) արագություն: Այն կևարունների համակարգի՝ որպես ամրողություն շարժման («ծանրության կենտրոնի») արագությունն է:

Մետաղի ցանկացած կետում էլեկտրոնները շարժվում են բոլոր հնարավոր ուղղություններով և ունեն տարրեր արագություններ: Արտաքին դաշտերի բացակայության դեպքում էլեկտրոնների շարժման բոլոր ուղղությունները հավասարահարավոր են, ուստի  $v = 0$ :

Այժմ ստանանք  $v$ -ն որոշելու համար հավասարում, եթե կևարունների վրա ազդում է  $f$  արտաքին ուժը: Էլեկտրոնի միջին իմպուլսը  $t$  պահին նշանակենք  $p(t)$ -ով: Հաշվենք էլեկտրոնի միջին իմպուլսը  $dt$  ժամանակ անց՝  $p(t+dt)$ -ն: Հավանականությունն այն բանի, որ պատահական  $t$  պահին վերցված էլեկտրոնը կրախալի մինչև  $t+dt$  պակր, այսինքն՝  $dt$  ժամանակահատվածի ընթացքում, կլինի հավասար  $dt/\tau$ , ուստի  $dt$ -ում չբախվելու հավանականությունը կլինի հավասար  $1 - dt/\tau$ : Բախման բացակայության դևաքում էլեկտրոնը շարժվում է արտաքին ուժի ազդեցության տակ և ճեղք է բերում լրացուցիչ  $f(t)dt + O(dt)^2$  իմպուլս ( $O(dt)^2$ -ն նշանակում է  $(dt)^2$ -ու կարգի մեծություն): Այսպիսի էլեկտրունների ներդրումը  $t+dt$  պահին ունեցած իմպուլսի մեջ հավասար է

$$\left(1 - \frac{dt}{\tau}\right) \left[ p(t) + f(t)dt + O(dt)^2 \right]: \quad (2.4)$$

Հաշվենք այժմ  $dt$ -ում բախված էլեկտրոնների ներդրումը: Այսպիսի էլեկտրունների թիվը համեմատական է  $dt/\tau$ -ին: Քանի որ բախումից անմիջապես հետո էլեկտրոնի արագությունը (և իմպուլսը) ուղղված է պատահական ձևով, ապա յուրաքանչյուր բախված էլեկտրոնի ներդրումը միջին իմպուլսի մեջ  $t+dt$  պահին պայմանավորված կլինի  $dt$ -ի ընթացքում տևողի ունեցած բախումից հետո  $f(t)$  ուժի շնորհիվ ճեղք բերած որոշակի իմպուլսով, որը  $f(t)dt$  կարգի է: Այսպիսով, բախված էլեկտրունների ներդրումը կլինի

$$(dt/\tau)f(t)dt \sim O(dt)^2 \quad (2.5)$$

Լարգի: Արդյունքում  $p(t + dt)$ -ի համար կստանանք՝

$$\begin{aligned} p(t + dt) &= \left(1 - \frac{dt}{\tau}\right) \left[ p(t) + f(t)dt + O(dt)^2\right] + \frac{dt}{\tau} f(t)dt = \\ &= p(t) + f(t)dt - \frac{dt}{\tau} p(t) + O(dt)^2. \end{aligned} \quad (2.6)$$

Կատարելով սահմանային անցում՝  $dt \rightarrow 0$ , կստանանք՝

$$\frac{dp}{dt} = -\frac{p}{\tau} + f(t) : \quad (2.7)$$

Այս հավասարումից հետևում է, որ էլեկտրոնների խոնների հետ բախումների շնորհիվ ծազում է էլեկտրոնների շարժումն արգելակող, արդյունարար «շփման» ուժ՝  $-p/\tau$  անդամը:

Այժմ (2.7) հավասարման օգնությամբ ստանանք էլեկտրոնի եռալիքացի արագության արտահայտությունը հաստատուն, համաստու էլեկտրական դաշտում, որի  $E$  լարվածությունը զրոյից տարբեր է  $(0, T)$  ժամանակամիջոցում (նկ. VI.2, ա): Էլեկտրոնի վրա ազդող

$$f = -eE \quad (2.8)$$

ուժի ազդեցության տակ երկու հաջորդական բախումների միջև յուրաքանչյուր էլեկտրոն կատարում է արագացող շարժում (նկ. VI.2, թ): (2.7) հավասարումից հռարկացի արագության համար կստանանք (նկ. VI.2, զ)՝

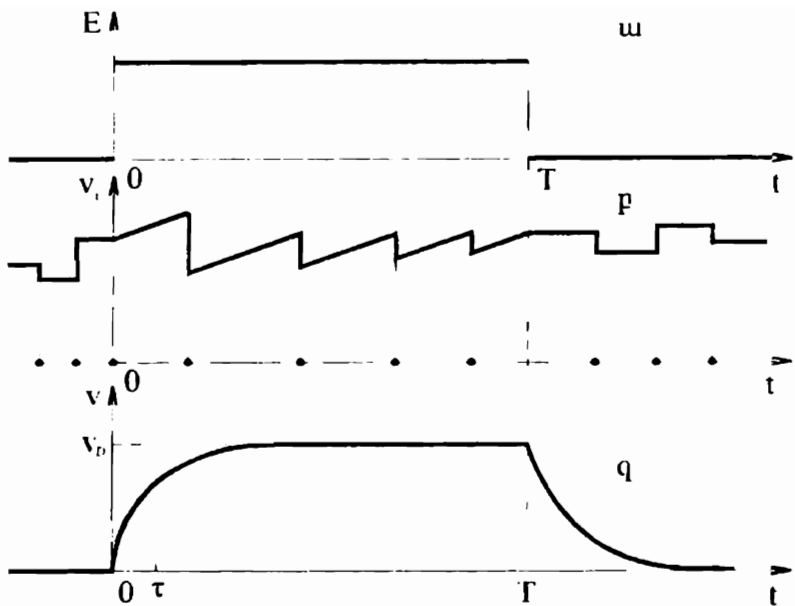
$$v = \frac{p}{m} = -\frac{e\tau E}{m} \left(1 - e^{-t/\tau}\right) : \quad (2.9)$$

Այս արտահայտությունից հետևում է, որ էլեկտրական դաշտը միացնելուց  $t \gg \tau$  (սակայն  $t \leq T$ ) ժամանակ անց էլեկտրոնները ծեռք են բերում հռարկացի հաստատված (ստացիոնար) արագություն՝

$$v \equiv v_D = -\frac{e\tau E}{m} , \quad (2.10)$$

որին, ըստ (2.2) առնչության, համապատասխանում է հիսանքի հաստատուն խտություն՝

$$j = \frac{ne^2\tau}{m} E = \sigma E , \quad (2.11)$$



Նկ. VI.2

### որտեղ

$$\sigma = \frac{ne^2\tau}{m} \quad (2.12)$$

մեծությունը մետաղի էլեկտրահաղորդականության գործակիցն է: (2.11) արտահայտությունն Օհմի օրենքն է դիֆերենցիալ տեսքով: Եթե  $\sigma$ -ից անց նեմը նյութի աւտակարար դիմադրությանը՝

$$\rho = \frac{1}{\sigma}, \quad (2.13)$$

ապա, օգավելով նրա վարձնականորեն չափված արժեքներից, (2.12) բանաձևից կարելի է գնահատել ուղարսացիայի  $\tau$  ժամանակը՝

$$\tau = \frac{m}{\rho ne^2} \quad (2.14)$$

Տեսակարար դիմադրության մեծությունը կախված է ջերմաստիճանից: Սննյակային ջերմաստիճաններում  $\rho$ -ն մի բանի մկանում կարգի

մեծություն 1. (Հավելված 2): Եթե  $\rho_\mu$ -ով նշանակենք տևակարար դիմադրությունը, արտահայտված մկօհմ-սմ-էրով, ապա (2.14) առնչությունը կարելի է արտագրել հետևյալ հարմար տևաքով՝

$$\tau \approx \left( \frac{35}{\rho_\mu} \right) \cdot \frac{n_0}{n} \cdot 10^{-14} \text{ վ}, \quad (2.15)$$

որտեղ  $n_0 = 10^{22}$  սմ<sup>-3</sup>: Եստ վործնական տվյալների. սենյակային ջերմաստիճաններում  $\tau \sim 10^{-14} \div 10^{-15}$  վ կարգի մեծություն է: Նույն պայմաններում կեկարունի միջին ջերմային արագությունը  $v_0 = (3k_B T/m)^{1/2} \sim 10^7$  սմ/վ: Ազատ վագրի  $I = \tau \cdot v_0$  միջին երկարության համար ստանում ենք արժեքներ, որոնք զանգվում են  $1 \div 10$  Ա տիրույթում: Քանի որ  $I \sim \sigma \cdot \text{իմ}$ ՝ միջառոմական ենոավորությանը, ապա ստացված արդյունքը զտնվում է էլեկտրոնների իոնների հետ բախման նրանքի ներադրության հետ լիակատար համաձայնության մեջ:

Հարկ է նշել, որ Օհմի օրենքը (2.11) հավասարումը, սևորի ունի «քույր» դաշտներում, եթե  $v_D \ll v_0$  (աևս նաև (6.5) պայմանը):  $T = 300$  K -ում կարենի է «քույր» համարել  $10^4$  Վ/սմ-ի չփերագանցող դաշտները:

Եթե արաաքին կեկարական դաշտն անցատվում է ( $E = 0$ , եթե  $t \geq T$ , նկ. VI.2, a), ապա, ըստ (2.7) հավասարման, անցատելուց հետո  $t$  վ անց հոսքներացի արագությունը արվում է (նկ. VI.2, q)

$$\mathbf{v}(t) = \mathbf{v}_D \exp(-t/\tau) \quad (2.16)$$

արտահայտությամբ, որի համաձայն ուղղորդված շարժման արագությունը ձգտում է զրոյի: Այսինքն՝ դաշտն անցատելուց հետո  $t \sim \tau$  ժամանակ անց  $\nu \approx 0$ , և համակարգը զայխ է ջերմային հավասարակշռության վիճակի:

Օգսվելով  $\mathbf{v}_D$ -ի և  $E$ -ի միջև (2.10) կապից, ներմուծենք մի նոր բնութագրի՝ շարժունության ( $\mu$ ) զարդարականը: Շարժունությանը սահմանվում է որպես հոսքներացի արագության և դաշտի լարվածության միջև գործակից՝

$$\mathbf{v}_D \equiv \mu E = -\frac{e\tau}{m} E, \quad (2.17)$$

այսինքն, էլեկտրոնի շարժունությունը՝

$$\mu = -\frac{e}{m} \tau \quad (2.18)$$

և ունի նույն նշանը, ինչ որ լիցքը: Էլեկտրահաղորդականության գործակիցը կարելի է արարական հետևյալ բանաձևով՝

$$\sigma = -e\eta\mu : \quad (2.19)$$

Ընդհանուր դեպքում էլեկտրահաղորդականության, տևակարար դիմադրության և շարժունության գործակիցները սրբում են երկրորդ կարգի տենգործերով:

### §3. Մնտադի դիմամիկական հաղորդականությունը

Ենթադրենք այժմ, որ էլեկտրոնային զազը գանվում է ժամանակի ընթացքում փոփոխվող էլեկտրական դաշտում: Սահմանափակվենք ներդաշնակորեն փոփոխվող դաշտներով, եթե

$$E(t) = E(\omega)e^{-i\omega t} : \quad (3.1)$$

Այս դեպքում (2.7) հավասարման լուծումը կիմտրենք

$$p(t) = p(\omega)e^{-i\omega t} \quad (3.2)$$

տեսրով: Տեղադրելով (3.1) և (3.2) առնչությունները (2.7) հավասարման մեջ, անհայտ  $p(\omega)$  գործակցի համար կստանանք՝

$$p(\omega) = \frac{-e\tau E(\omega)}{1 - i\omega\tau} : \quad (3.3)$$

Մյուս կռումից, (2.2) արտահայտության համաձայն

$$j(t) = -enp(t) = j(\omega)e^{-i\omega t} \quad (3.4)$$

որտեղ

$$j(\omega) = -\frac{enp(\omega)}{m} = \frac{ne^2\tau \cdot E(\omega)}{m(1 - i\omega\tau)} = \sigma(\omega)E(\omega) : \quad (3.5)$$

$\sigma(\omega)$  մեծությունը կոչվում է դիմամիկական կամ բարձրհաճախային հաղորդականություն և տրվում է

$$\sigma(\omega) = \frac{\sigma}{1 - i\omega\tau} \quad (3.6)$$

բանաձևով, որտեղ  $\sigma$ -ն սահատիկ հաղորդականության գործակիցն է և տրվում է (2.12) առնչությամբ: Եթե  $\omega \ll 1$ , ապա, ըստ (3.6) բանաձևի,  $\sigma(\omega) \approx \sigma$ : Այսպիսով,  $\omega \ll \omega_0 = 1/\tau$  (եթե  $\tau \sim 10^{-14}$  վ,  $\omega_0 \sim 10^{14}$  տարյ/վ) հաճախությամբ փոփոխվող դաշտում էլեկտրոնի վարքը գործնականորեն չի տարրերվում էլեկտրաստանիկ դաշտում նրա վարքից:

Եթե (3.1) առնչության փոխարեն վերցնենք  $E(t) = E(\omega) \exp(i\omega t)$ , ապա (3.6) բանաձևի փոխարեն կստանանք՝

$$\sigma(\omega) = \frac{\sigma}{1 + i\omega\tau} : \quad (3.7)$$

Դաշտի լարվածության

$$E(t) = E(\omega)e^{i\omega t} \quad \text{և} \quad E(t) = E(\omega)e^{-i\omega t} \quad (3.8)$$

ներկայացումները համարժեք են, քանի որ ֆիզիկական իմաստ ունեցող իրական  $E(t) = \frac{1}{2}E(\omega)(e^{i\omega t} + e^{-i\omega t}) = E(\omega)\cos(\pm\omega t)$  մեծությունը կախված չէ  $\exp$ -ի նշանից: Նույն դասողությունն իրավացի է նաև  $j$ -ի համար.

$$j = \frac{1}{2}(j + j^*) = \frac{1}{2}(\sigma E + \sigma^* E^*) : \quad (3.9)$$

Վերցնելով  $\sigma = |\sigma(\omega)| \exp(\pm i\delta)$  տեսքով, (3.9) կապից կստանանք՝

$$j = |\sigma(\omega)| E(\omega) \cos(\omega t - \delta) : \quad (3.10)$$

Դինամիկական հաղորդականության կոմպլեքս լինելը, համաձայն (3.10) բանաձևի, նշանակում է փոփոխ շեղում հոսանքի և լարման միջև, ընդ որում հոսանքը փուլով ետք է մնում լարումից: (3.6) բանաձևը ներկայացնելով էքսպոնենցիալ տևաքով,  $\delta$  փոփոխ համար կստանանք՝

$$tg\delta = \omega\tau : \quad (3.11)$$

Այս բանաձևից հետևում է, որ  $\omega$ -ի աճին գուգրներաց հոսանքի շեղումը լարումից դառնում է ավելի ու ավելի զգայի, ինչը վերջին հաշվով պայմանավորված է էլեկտրոնների իներտությամբ:

Այժմ ուշադրություն դարձնենք հետևյալ երկու հանգամանքների վրա:

1. Ինչպես հայտնի է, փոփոխվող էլեկտրական դաշտը շրջապատում մակածում է մազնիսական դաշտ, այսինքն, պետք է միաժամանակ հաշվի առնել և էլեկտրական, և մազնիսական դաշտերը: Սակայն միջին իմակույսի

համար գրված (2.7) հավասարման մեջ մենք հաշվի ենք առևլ միայն էլեկտրական դաշտի կողմից էլեկտրոնի վրա ազդող  $-eE$  ուժը և դևն ենք նեալ մագնիսական  $H$  դաշտի կողմից ազդող  $-(e/c)[\mathbf{v} \times \mathbf{H}]$  լորևնցի ուժը: Այդ ուժների հարաբերությունը:

$$\frac{eE}{(e/c) \cdot \mathbf{v} \cdot \mathbf{H}} = \frac{c}{\mathbf{v}} \cdot \frac{E}{H} \sim \frac{c}{\mathbf{v}} \quad (3.12)$$

և շատ մեծ է մեկից, քանի որ հոսանքի խտության  $J \sim 1 \text{ C/m}^2$  և կոնցենտրացիայի  $n \sim n_0 = 10^{22}$  սմ<sup>-3</sup> բնութագրական արժեքների համար էլեկտրոնների հոսքների արագությունը՝  $v = J/en \sim 0,1$  սմ/վ կարգի մնձություն է: Հետևաբար՝ մազնիսական դաշտի արհամարիումը լիովին հիմնավորված է:

2. (2.7) հավասարման մեջ ներփակում է, որ բոլոր էլեկտրոնների վրա ազդում է նույն ուժը, բայց այս ներփակությունը կարող է խախտվել, եթե դաշտը կետ փոփոխվում է:

Հարկ է նշել, որ  $r$  կետում հոսանքի խտությունը որոշելու համար բավական է հաշվի առնել դաշտի ազդեցությունը էլեկտրոնի վրա վերջին բախումից հետո անցած ժամանակամիջոցում, այսինքն, այնպիսի հեռավորությունների վրա, որոնք ազատ վազքի երկարության կարգի են՝  $\tilde{r} \sim l = \tau \cdot v_0$ . Հետևաբար, եթե էլեկտրական դաշտը  $\tilde{r} \sim l$  հեռավորությունների վրա էապես չի փոփոխվում, ապա կարելի է  $j(r, t)$ -ն հաշվարկելիս ընդունել, որ  $E(r, t)$  դաշտն ամբողջ տարածության մեջ տվյալ պահին ունի նույն արժեքը, ինչ որ  $r$  կետում: Այսպիսով, ստացված

$$j(r, \omega) = \sigma(\omega) E(r, \omega) \quad (3.13)$$

արդյունքն իրավացի է, եթե էլեկտրական դաշտի փոփոխման բնութագրական երկարությունը՝  $\lambda$ -ն, զգալիորեն զերազանցում է ազատ վազքի  $l$  երկարությունը՝

$$\lambda \gg l : \quad (3.14)$$

Մետաղներում (3.14) պայմանը սկսում է խախտվել տևամելի լույսից ( $\lambda \sim 8 \cdot 10^3 \div 4 \cdot 10^3 \text{ Å}$ ) կարճ  $\lambda$ -երուվ էլեկտրամագնիսական ալիքների համար:

Նկատի ունենալով արված պարզաբանումները, ուսումնասիրներ Ալեկտրամագնիսական ալիքի տարածումը մեսադում:

Գրենք Մաքսվելի հավասարումները, երբ միջավայրում կա  $j$  հոսանք, խև սակածված լիցքի խտությունը զրո է՝

$$\begin{aligned} \operatorname{div} E &= 0, \quad \operatorname{rot} E = -\frac{1}{c} \frac{\partial H}{\partial t}, \\ \operatorname{div} H &= 0, \quad \operatorname{rot} H = \frac{4\pi}{c} j + \frac{1}{c} \frac{\partial E}{\partial t}. \end{aligned} \quad (3.15)$$

Ողյոր մեծությունների ժամանակային կախումները կփնտրներ  $e^{i\omega t}$  տեսքով: Նկատի ունենալով նաև (3.13) կապը, որոշ ձևավորվածություններից հետո (3.15) հավասարումներից կստանանք

$$\nabla^2 E(r, \omega) + \frac{\omega^2}{c^2} \left( 1 + i \frac{4\pi\sigma(\omega)}{\omega} \right) E(r, \omega) = 0 \quad (3.16)$$

ալիքային հավասարումը, որտեղ

$$\epsilon(\omega) = 1 + i \frac{4\pi\sigma(\omega)}{\omega} \quad (3.17)$$

մեծությունը կրնակեալ դիլենկտրական քավանցելիությունն է: Մեծ հաճախությունների դեպքում, երբ

$$\omega\tau \gg 1, \quad (3.18)$$

առաջին մոտավորությամբ (3.17) և (3.6) առնչություններից կստանանք՝

$$\epsilon(\omega) \approx 1 + i \frac{4\pi}{\omega} \cdot \frac{\sigma}{-\iota\omega\tau} = 1 - \frac{4\pi\sigma}{\tau} \cdot \frac{1}{\omega^2} = 1 - \frac{\omega_p^2}{\omega^2}, \quad (3.19)$$

որտեղ

$$\omega_p^2 = \frac{4\pi\sigma}{\tau} = \frac{4\pi n e^2}{m} \quad (3.20)$$

մեծությունը այսպես կոչված պլազմային հաճախությունն է: Եթե  $\omega < \omega_p$ , ապա  $\epsilon(\omega) < 0$ , և (3.16) հավասարման լուծումները տարածության մեջ էքսպոնենցիալ օրենքով մարում են, այսինքն՝ ալիքը չի կարող տարածել միջավայրում: Սակայն, եթե  $\omega > \omega_p$ , ապա  $\epsilon(\omega) > 0$ , և (3.16) հավասարումն ունի տատանողական լուծումներ, որոնք համապատասխանում են

մետաղում սարածվող ալիքին: Այսինքն՝  $\omega > \omega_p$  հաճախորդայամբ ալիքների համար մեստաղը թափանցիկ է: Այս եզրակացությունը ճիշտ է, եթե  $\omega = \omega_p$  հաճախորդայան համար տեղի ունի (3.18) պայմանը: Օգտվելով  $\tau \sim 1$  (2.14) արտահայտությունից, կստանանք՝

$$\omega_p \cdot \tau \approx 2 \cdot 10^3 \left( \frac{n_0}{n} \right)^{1/2} \cdot \frac{1}{\rho_\mu} : \quad (3.21)$$

Քանի որ  $\rho_\mu$  մեծությունը մի քանի միավորի (մկՕհմ·սմ-ով) կարգի է, իսկ  $n_0/n \sim 0,04 \div 1$ , ապա  $\omega_p \tau \gg 1$ :

Փորձում, իրոք, հայտնաբերված և ալկալիական մետաղների թափանցիկությունը ուղարամանուշակագույն ափրույթում:  $\omega_p$ -ին համապատասխանող ալիքի երկարությունը կարելի և գնահատել (3.20) առնչության օգնությամբ՝

$$\lambda_p = \frac{2\pi c}{\omega_p} \approx 3,3 \left( \frac{n_0}{n} \right)^{1/2} 10^3 \text{ Å} : \quad (3.22)$$

(3.22) բանաձևով հաշվարկված արժեքները գտնվում են փորձից ստացված տվյալների հետ բավարար համաձայնության մեջ միայն ալկալիական մետաղների համար:

Դիելեկտրական թափանցելության համար ստացված (3.19) բանաձևից հետևում է Լեկտրոնային զազում լիցքի  $\rho(r, t)$  խոռոչային տատանումների հնարավորությունը, որոնց ժամանակային կախումը տրվում է  $e^{-i\omega t}$  օրենքով: Իրոք, օգտվենք անընդհատության հավասարումից՝

$$\nabla j = -\frac{\partial \rho}{\partial t}, \quad \text{որտեղից} \quad \nabla j(r, \omega) = i\omega \rho(r, \omega), \quad (3.23)$$

և Պուասոնի հավասարումից՝

$$\nabla E = 4\pi\rho(r, t), \quad \text{որտեղից} \quad \nabla E(r, \omega) = 4\pi\rho(r, \omega) : \quad (3.24)$$

Նկատի ունենալով նաև (3.13) կապը, կստանանք՝

$$i\omega\rho(r, \omega) = 4\pi\sigma(\omega)\rho(r, \omega) : \quad (3.25)$$

Օգտվելով կոմպլեքս դիէլեկտրական ֆակտունցնելության (3.17) սահմանումից, (3.25) հավասարման ոչ զրոյական լուծում ունենալու պայմանը կարելի է ներկայացնել

$$1 + i \frac{4\pi\sigma(\omega)}{\omega} = \epsilon(\omega) = 0 , \quad (3.26)$$

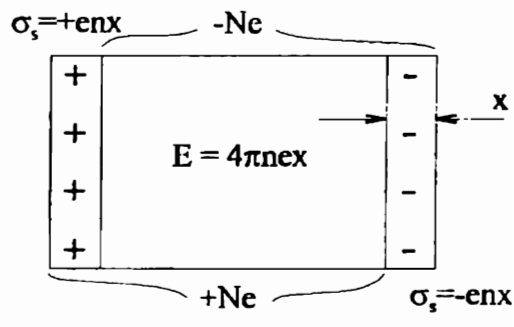
տևարով, որը հենց  $\omega = \omega_p$  հաճախությունը որոշող պայմանն է (տես (3.19) հավասարումը): Տվյալ դեպքում (3.26) հավասարումն այն պայմանն է, որին պետք է բավարարի հաճախությունը, որպեսզի լիցքի խտության ալիքը կարողանա տարածվել: Այս տատանումների (ընդունված է անվանել «պլազմային») բնույթը կարելի է հասկանալ հետևյալ պարզ մոդելի օգնությամբ:

Ենթադրենք՝ էլեկտրոնային զազը որպես ամբողջություն  $x$ -ով շեղել ենք դրական Փոնի նկատմամբ (նկ. VI.3):

Ըեղման ռողությամբ համակարգի եզրերին կառաջանան հակառակ նշանի մակերևութային լիցքեր  $\sigma_s = \pm enx$  խտությամբ, որոնց ստեղծած դաշտը կոնենա  $E = 4\pi\sigma_s$ , մեծությունը: Էլեկտրոնային համակարգի շարժման հավասարումը կզրկի հետևյալ կերպ՝

$$Nm\ddot{x} = -eN \cdot 4\pi\sigma_s \quad \text{կամ} \quad \ddot{x} + \frac{4\pi e^2 n}{m} x = 0 , \quad (3.27)$$

որը նկարագրում է  $\omega_p$  հաճախությամբ երկայնական տատանումներ: Կան բազմաթիվ փորձեր, որոնցում հայտնաբերված են լիցքի խտության  $\omega_p$  հաճախությամբ պարբերական փոփոխություններ:



Նկ. VI.3

## §4. Մագնիսադիմաղրություն: Հոլի Նրեույրը

Այժմ ուսումնասիրենք էլեկտրանույյին գազի հաղորդականությունը համասեռ հասաւառուն մագնիսական դաշտում: Խնչպես հայտնի է, մագնիսական դաշտը շարժվող լիցքի վրա ազդում է Լորենցի ուժով:

$$f_t = \frac{q}{c} [\mathbf{v}_t, \mathbf{H}], \quad (4.1)$$

որտեղ  $q$ -ն մասնիկի լիցքն է,  $\mathbf{v}_t$ -ն՝ արագությունը: Այդ ուժը հասեմասական է արագությանը, ուսաի միջին խմբութիւն համար գրված (2.7) հավասարման մեջ էլեկտրոնների վրա ազդող (4.1) ուժերի միջինի համար կարող ներ օգտվել (4.1) բանաձևից՝  $\mathbf{v}_t$ -ն փոխարինելով միջին (հոսքներացի)  $\mathbf{v}$  արագությամբ:

Եթե կա նաև հասաւառուն  $E$  էլեկտրական դաշտ, ապա միջին խմբութիւն համար շարժման հավասարումը կլինի՝

$$\frac{dp}{dt} = -eE - \frac{e}{mc} [\mathbf{p}, \mathbf{H}] - \frac{\mathbf{p}}{\tau} \quad (4.2)$$

Ենթադրենք, էլեկտրական դաշտի լարվածության վեկտորը գտնվում է  $(x, y)$  հարթության մեջ՝  $E(E_x, E_y, 0)$ , իսկ մագնիսական դաշտն ուղղված է  $z$  առանցքով՝  $H(0, 0, H)$ . (4.2) հավասարումն արտագրենք պլոյեկցիաներով՝

$$\begin{aligned} \frac{dp_x}{dt} &= -eE_x - \frac{eH}{mc} p_y - \frac{p_x}{\tau}, \\ \frac{dp_y}{dt} &= -eE_y + \frac{eH}{mc} p_x - \frac{p_y}{\tau}, \\ \frac{dp_z}{dt} &= 0. \end{aligned} \quad (4.3)$$

Հավասարումների (4.3) համակարգում առկա

$$\omega_c = \frac{eH}{mc} \quad (4.4)$$

մեծությունը մագնիսական դաշտում էլեկտրոնի սյաման շրջանային («ցիկլոտրոնային») հաճախությունն է:

Ստացվում է, որ հոսանքի  $j$  լսաւորյունը հասաւուն մեծություն է, (4.3) համակարգից ստանում ենք՝

$$\begin{aligned} 0 &= -eE_x - \omega_c p_y - \frac{1}{\tau} p_x, \\ 0 &= -eE_y + \omega_c p_x - \frac{1}{\tau} p_y. \end{aligned} \quad (4.5)$$

Նկատի ունենալով (2.2) կապը և (4.5) հավասարությունները բազմապատճենով  $-ne\tau/m$ -ով, կստանանք՝

$$\begin{aligned} \sigma E_x &= \omega_c \tau j_y + j_x, \\ \sigma E_y &= -\omega_c \tau j_x + j_y, \end{aligned} \quad (4.6)$$

որտեղ  $\sigma$ -ն ստանիկ է կտրահաղորդականության գործակիցն է, եթե  $H = 0$  (անս (2.12) բանաձեռ): Լուծելով (4.6) համակարգը  $j_x$ -ի և  $j_y$ -ի նկատմամբ, կստանանք՝

$$\begin{aligned} j_x &= \frac{\sigma}{1 + (\omega_c \tau)^2} (E_x - \omega_c \tau E_y) \equiv \sigma_{xx} E_x + \sigma_{xy} E_y, \\ j_y &= \frac{\sigma}{1 + (\omega_c \tau)^2} (\omega_c \tau E_x + E_y) \equiv \sigma_{yx} E_x + \sigma_{yy} E_y. \end{aligned} \quad (4.7)$$

Այսպիսով, համաձայն (4.7) հավասարությունների, մազնիսական դաշտին աղղահայաց խարրության մեջ էլեկտրոնային գազի հաղորդականությունը նկարագրվում է երկրորդ կարգի տեսքորով՝

$$\sigma_{ik} = \begin{pmatrix} \sigma_{xx} & \sigma_{xy} \\ \sigma_{yx} & \sigma_{yy} \end{pmatrix},$$

որտեղ

$$\begin{aligned} \sigma_{xx} &= \sigma_{yy} = \frac{\sigma}{1 + (\omega_c \tau)^2} \equiv \sigma_{xx}(H), \\ \sigma_{xy} &= -\sigma_{yx} = -\frac{\sigma \cdot \omega_c \tau}{1 + (\omega_c \tau)^2} \equiv \sigma_{xy}(H); \end{aligned} \quad (4.8)$$

Եթե (4.6) համակարգը լուծենք  $E_x$ -ի և  $E_y$ -ի նկատմամբ, կստանանք՝

$$\begin{aligned} E_x &= \frac{1}{\sigma} j_x + \frac{\omega_c \tau}{\sigma} j_y \equiv \rho_{xx} j_x + \rho_{xy} j_y, \\ E_y &= \frac{1}{\sigma} j_y - \frac{\omega_c \tau}{\sigma} j_x \equiv \rho_{yy} j_y + \rho_{yx} j_x. \end{aligned} \quad (4.9)$$

(4.9) հավասարությունների օգնությամբ որոշվում է անսակարար դիմադրության տենզորը՝

$$\rho_{ik} = \begin{pmatrix} \rho_{xx} & \rho_{xy} \\ \rho_{yx} & \rho_{yy} \end{pmatrix},$$

որտեղ

$$\rho_{xx} = \rho_{yy} = \frac{1}{\sigma}, \quad \rho_{xy} = -\rho_{yx} = \frac{\omega_c}{\sigma} \tau. \quad (4.10)$$

(4.8) և (4.10) բանաձևերի օգնությամբ կարևոր է  $\rho_{ik}$  և  $\sigma_{ik}$  տենզորների բաղադրիչներն արտահայտել իրար միջոցով՝

$$\rho_{xx} = \rho_{yy} = \frac{\sigma_{xx}}{\sigma_{xx}^2 + \sigma_{xy}^2}, \quad \rho_{xy} = -\rho_{yx} = -\frac{\sigma_{xy}}{\sigma_{xx}^2 + \sigma_{xy}^2}, \quad (4.11)$$

$$\sigma_{xx} = \sigma_{yy} = \frac{\rho_{xx}}{\rho_{xx}^2 + \rho_{xy}^2}, \quad \sigma_{xy} = -\sigma_{yx} = -\frac{\rho_{xy}}{\rho_{xx}^2 + \rho_{xy}^2}; \quad (4.12)$$

Տեսակարար դիմադրության (հաղորդականության) մագնիսական դաշտի լարվածության մեծությունից կախվածության երևույթը հայտնի է որպես մագնիսադիմադրություն:

Չանի որ մագնիսական դաշտը չի ազդում այդ դաշտի ուղղությամբ շարժվող լիցքի վրա, ապա էլեկտրոնային համակարգի հաղորդականությունը  $\propto$  առանցքի ուղղությամբ մնում է նույնը, ինչ որ մագնիսական դաշտի բացակայությամբ (համաձայն (4.3) համակարգի երկրորդ հավասարման,  $p_z = const$ ):

Եթե ենթադրենք, որ  $E_z \neq 0$ , ապա

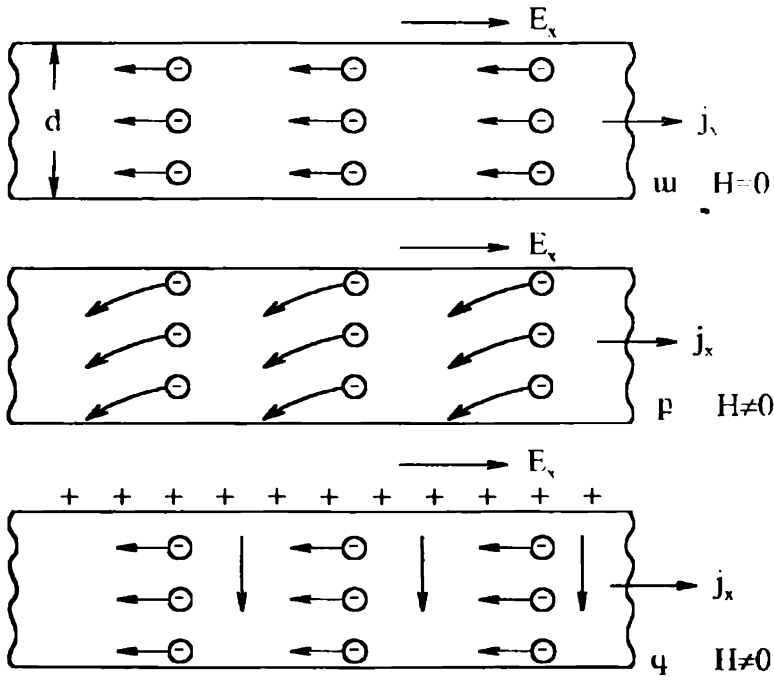
$$j_z = \sigma E_z \equiv \sigma_{zz} E_z, \quad \sigma_{zz} = \sigma: \quad (4.13)$$

Այսպիսով,  $E$  և  $H$  վեկտորների կամայական փոխականության դեպքում հաղորդականության տևանգությունը կունենա հետևյալ տևարքը՝

$$\sigma_{ik} = \begin{pmatrix} \sigma_{xx} & \sigma_{xy} & 0 \\ \sigma_{yx} & \sigma_{yy} & 0 \\ 0 & 0 & \sigma_{zz} \end{pmatrix}, \quad (4.14)$$

որտեղ անդամը  $\sigma_{ik}$  բաղադրիչները տրվում են (4.8) և (4.13) արտահայտություններով:

Այժմ ուսումնասիրենք փորձում մազնիսադիմադրության չափման հնարավորությունը:



Նկ. VI.4

Նմուշն ընտրենք ժապավենի տեսքով (Նկ. VI.4, ա): Կիրառված արտաքին  $E(E_x, 0, 0)$  դաշտն ուղղված է  $x$  առանցքով, կեկտրոնների հոսքն արագությունը հակառակ է ուղղված, մազնիսական դաշտը գլու է (Նկ. VI.4, ա): Եթե  $H \neq 0$ , էլեկտրոնների վրա ազդում է Լորենցի ուժը, որն

Էլեկտրոններին շեղում է դեպի ժամանակակից սառորին և գրք (նկ. VI.4, ը): Էլեկտրոնները բաշխվում են ստորին և վերի երկայնքով, իսկ վերին և վերի մոտ առաջանաւում է դրական լիցքի ավելցուկ: Լիցքի վերաբաշխման սրուցեար մազնիսական դաշտին ուղղահայաց հարթոքյան մեջ շարունակվում է այնքան ժամանակ, մինչև որ վերաբաշխման շնորհիվ ծագած ներքին լինիսական դաշտի կողմից էլեկտրոնի վրա ազդող ուժը համակշռում է Լորենցի ուժը: Արդյունքում յ ուղղահայաց էլեկտրոնի վրա ազդող ուժը, հետևաբար՝ և հոսանքի խորության  $j_y$  բաղադրիչը, հավասարվում է զրոյի, և թիրեղում հաստատվում է  $j_x$  հոսանքը (նկ. I.4, զ):  $E_y$  դաշտը (Հոլի լայնական դաշտ) որոշվում է (4.6) հավասարումներից, եթե  $j_y = 0$ :

$$E_y = -\omega_c \tau E_x = -\frac{eH\tau}{mc} E_x : \quad (4.15)$$

$E_y$  դաշտի մեծությունը փորձով կարելի է որոշել, չափելով թիրեղի վերին և ստորին եզրերի միջև ծագած պուտենցիալների աարքերաբյունը՝  $V_H$ -ը:

Համաձայն Հոլի կողմից կատարված չափումների,  $V_H$ -ը ուղիղ համեմատական է հոսանքի  $j_x$  խորությանը, մազնիսական դաշտի  $H$  լարվածությանը և թիրեղի  $d$  լայնությանը:

$$V_H = R_H j_x H d , \quad (4.16)$$

որտեղ  $R_H$  մեծությունը Հոլի գործակիցը (հաստատումն) է: (4.15) և (4.16) առնչություններից Հոլի գործակիցի համար կստանանք՝

$$R_H = \frac{V_H}{j_x H d} = \frac{E_y}{j_x H} = -\frac{(eH\tau/mc)E_x}{(ne^2\tau/m)E_x H} = -\frac{1}{enc} , \quad (4.17)$$

որի համաձայն, ազատ էլեկտրոնների համար  $R_H < 0$ , այսինքն՝  $R_H$ -ի նշանը համընկնում է ազատ լիցքակիրների նշանի հետ, իսկ  $R_H$ -ի մեծությունը կախված է միայն էլեկտրոնների կոնցենտրացիայից: Այս պարզ արդյունքը՝ (4.17) բանաձեղ, հետևանքը է այն ենթադրության, որի համաձայն ոելաքսացիայի  $\tau$  ժամանակը միևնույնն է բոլոր էլեկտրոնների համար, անկախ նրանց արագություններից: Այս ենթադրության հետևանքն է նաև այն տեսական արդյունքը, ըստ որի տեսակարար դիմադրությունը

կախված չէ մագնիսական դաշտի մեծությունից: Իրոք, համաձայն (4.6) նավասարումներից առաջինի,  $\zeta_0$  ի հաստատված դաշտում, եթե  $J_y = 0$ ,

$$J_x = \sigma E_x , \quad (4.18)$$

այսինքն՝ հաղորդականությունը նույնն է, ինչ որ  $H = 0$  դեպքում:

Փորձում չափված  $R_H$ -ի միջոցով (4.17) բանաձևից էլեկտրոնների ո կոնցենտրացիան որոշելիս ծագում է դժվարություն, կապված այն բանի հետ, որ  $R_H$ -ը կախված է մագնիսական դաշտի լարվածությունից, չերմաստիճանից և նմուշի այլ բնուրագրերից: Որոշ իմաստով սա անսպասելի է, քանի որ նշված մեծություններից կախված հիմնական բնուրագիրը՝  $\tau$  -ն, չի մասնակցում (4.17) բանաձևում: (Ենթամենայնիվ, ինչպես հետևում է ավելի ընդհանուր տեսությունից, շատ մեծապես ներկայացնելու մեջ առաջացած (4.17) արտահայտությունը շատ ցածր ջերմաստիճաններում և ուժեղ ( $H \geq 10^4$  Гս) դաշտերում իրոք համապատասխանում է իրականությանը):

Որոշ մետաղների համար Հոդի  $R_H$  գործակցի արժեքները բերված են Աղյուսակ VI.1-ում  $n^*/n = -l/R_H \text{ enc}$  հարաբերության տեսքով, որտեղ  $n^* = -l/R_H \text{ enc}$  այն կոնցենտրացիան է, որի դեպքում փորձում չափված  $R_H$ -ը եամբնկնում է (4.17) բանաձևով հաշված արժեքի հետ:

### Աղյուսակ VI.1

| Մետաղ     | $Z$ | $n^*/n$ | Մետաղ     | $Z$ | $n^*/n$ |
|-----------|-----|---------|-----------|-----|---------|
| <b>Li</b> | 1   | 0,8     | <b>Ag</b> | 1   | 1,3     |
| <b>Na</b> | 1   | 1,2     | <b>Au</b> | 1   | 1,5     |
| <b>K</b>  | 1   | 1,1     | <b>Be</b> | 2   | -0,2    |
| <b>Rb</b> | 1   | 1,0     | <b>Mg</b> | 2   | -0,4    |
| <b>Cs</b> | 1   | 0,9     | <b>In</b> | 3   | -0,3    |
| <b>Cu</b> | 1   | 1,5     | <b>Al</b> | 3   | -0,3    |

Ինչպես հետևում է Աղյուսակ VI.1-ի տվյալներից, աղյալյական մետաղների համար Դրույեի տեսության համընկնումը փորձի հետ բավականաշափ լավ է, ազնիվ մետաղների (Cu, Ag, Au) համար՝ համեմատաբար վատ, իսկ մյուսների համար ընդհանրապես տեղի չունի: Այս վերջինների համար  $R_H > 0$ , այսինքն՝ նրանցում հսանքը սպայմանավորված է ոչ քև էլեկտրոնների, այլ դրական լիցք ունեցող մասնիկների ուղղորդված շարժումով: (Այս վաստի որակական բացատրությունը տրված է VII.4-ում):

### §5. Զերմահաղորդականություն: Վիդեման-Ֆրանցի օրենքը: Զերեկի երևույթը

Դրույեի անսության ամենամեծ նվաճումը Վիդեմանի և Ֆրանցի կողմից դեռևս 1853թ. փորձնականորեն ստացված օրենքի բացատրությունն էր: Համաձայն այդ օրենքի, մետաղի զերմահաղորդականության և էլեկտրահաղորդականության գործակիցների հարաբերությունը չերմաստիճանի զայյին ֆունկցիա է՝

$$\frac{\kappa}{\sigma} = L \cdot T , \quad (5.1)$$

որտեղ  $L$  համեմատականության գործակիցը (Լորենցի թիվ) նույն արժեքն ունի բոլոր մետաղների համար (տես Աղյուսակ VI.2, Լորենցի թիվը տրված է  $10^{-8}$ Վտ·Օհմ·Կ<sup>-2</sup> միավորներով):

Աղյուսակ VI.2

| Մետաղ     | $\kappa/\sigma T$<br>(273 K) | $\kappa/\sigma T$<br>(373 K) | Մետաղ     | $\kappa/\sigma T$<br>(273 K) | $\kappa/\sigma T$<br>(373 K) |
|-----------|------------------------------|------------------------------|-----------|------------------------------|------------------------------|
| <b>Li</b> | 2,22                         | 2,43                         | <b>Au</b> | 2,32                         | 2,36                         |
| <b>Na</b> | 2,12                         | —                            | <b>Be</b> | 2,36                         | 2,42                         |
| <b>K</b>  | 2,23                         | —                            | <b>Mg</b> | 2,14                         | 2,25                         |
| <b>Rb</b> | 2,42                         | —                            | <b>Fe</b> | 2,61                         | 2,88                         |
| <b>Cu</b> | 2,20                         | 2,29                         | <b>Al</b> | 2,14                         | 2,19                         |
| <b>Ag</b> | 2,31                         | 2,38                         | <b>Zn</b> | 2,28                         | 2,30                         |

Այս բացատրության շրջանակներում ենթադրվում է, որ ջերմային հոսքի հիմնական մասը պայմանավորված է էլեկտրոններով: Ենթադրության համար հիմք է ծառայում այն փաստը, որ մետաղները շատ ավելի լավ են և աղորդում ջերմությունը, քան մեկուսիչները:

Եթե մետաղն ձողի ծայրերի միջև պահպանվում է ջերմասահճանների հաստատուն տարրերություն, ապա ձողում հաստատվում է ջերմության ստացիոնար հոսք: Միավոր ժամանակում հոսքի ուղղությանն ուղղահայց միավոր մակերեսով անցած լուրզիան (ջերմային հոսքը):

$$\vec{J}_q = -\kappa \nabla T : \quad (5.2)$$

Ջերմահաղորդականության գործակիցը՝  $\kappa > 0$ , ուստի ջերմային հոսքն ուղղված է  $\nabla T$ -ին հակառակ, այսինքն՝ ջերմաստիճանի նվազման ուղղությամբ: Քանի որ էլեկտրոնային գազը Դրույգեի մոդելում դիստարկվում է որպես դասական խղեալսկան գազ, ապա կարելի է օգտվել դասական գազերի կինետիկ տեսության մեջ ջերմահաղորդականության գործակցի համար ստացված բանաձևից:

$$\kappa = \frac{1}{3} I \cdot \bar{v} \cdot c_v , \quad (5.3)$$

որտեղ  $I$ -ն ազատ վազքի միջին երկարությունն է,  $\bar{v}$ -ն՝ միջին ջերմային արագությունը,  $c_v$ -ն՝ զագի մլավոր ծավալի ջերմունակությունը, որը միասում զագի համար հավասար է:

$$c_v = \frac{3}{2} n k_B , \quad (5.4)$$

որտեղ  $k_B = 1,38 \cdot 10^{-16}$  էրգ/К Բոլցմանի հաստատունն է: Բաժամելով (5.3) արտահայտությունը էլեկտրահաղորդականության գործակցի (2.12) բանաձևի վրա և նկատի ունենալով, որ

$$\frac{m \bar{v}^2}{2} \approx \frac{\bar{m v^2}}{2} = \frac{3}{2} k_B T , \quad (5.5)$$

կստանանք՝

$$\frac{\kappa}{\sigma} = \frac{3}{2} \left( \frac{k_B}{e} \right)^2 \cdot T : \quad (5.6)$$

Աջ մասում ստացվածը համեմատական է, բացարձակ չերմաստիճանին, իսկ համեմատականության գործակիցը կախված է միայն հիմնարար  $k_B$  և  $e$  հաստատուններից, բանի որ կոնկրետ մետաղը բնուրագրող  $n$  և  $l$  մեծությունները կրնատվում են: Այսպիսով՝ (5.6) լավը համրնելում է (5.1) առնչության հետ, և Լորենցի բվի համար ստացվում է

$$L = \frac{\kappa}{\sigma T} = \frac{3}{2} \left( \frac{k_B}{e} \right)^2 = 1.1 \cdot 10^{-8} \frac{\text{Վա.} \cdot \text{Օհմ}}{\text{K}^2} \quad (5.7)$$

արժեքը, որը միշտն հաշվով մոտ երկու անգամ փոքր է Աղյուսակ VI.2-ում բերված տվյալներից:

Հարկ I Եշել, որ էլեկտրահաղորդականության հաշվարկի սկզբնական տարրերակում Դ-բուղևն սխալմամբ ստացել էր (2.12) բանաձևով տրվող ճիշտ արտահայտությունից երկու անգամ փոքր արտահայտություն, որի պատճառը ենտելյան է: Էլեկտրանի ուղղորդված շարժման արագությունը բախտումից անմիջապես հետո զրո է, իսկ հաջորդ բախման պահին, այսինքն՝  $\tau$  ժամանակ անց, այն հավասար է  $-eE\tau/m$ , ուստի հոսքնբացի միշտն արագությունը՝

$$\mathbf{v}_{av}^D = \frac{1}{2} [\mathbf{v}(0) + \mathbf{v}(\tau)] = \frac{1}{2} \left( 0 - \frac{eE\tau}{m} \right) = -\frac{eE\tau}{2m} : \quad (5.8)$$

Սակայն պեսաք է նկասի ունենալ, որ էլեկտրոններն ունեն ազատ վազքի տարրեր ժամանակներ՝  $0 \div \infty$  բոլոր ինարավոր արժեքներով:  $t, t+dt$  ժամանակականության բախման հավանականությունը հավասար է  $w(t)dt$ , որտեղ

$$w(t) = \frac{1}{\tau} e^{-t/\tau} \quad (5.9)$$

ֆանկցիան էլեկտրանի՝  $(0, t)$  ժամանակահատվածում ազատ (առանց բախման) շարժման հավանականությունն է: Հետևաբար, ուղղորդված շարժման՝ բատ բալոր էլեկտրոնների միջինացված արագությունը՝

$$\mathbf{v}_{av} = \int_0^\infty w(t) \mathbf{v}(t) dt = - \int_0^\infty \frac{eEt}{m} \cdot e^{-t/\tau} \frac{dt}{\tau} = -\frac{eE\tau}{m} : \quad (5.10)$$

Նշեցված սխալի հնտևանքով Լորենցի բվի համար ստացվում է

$$L_D = 3 \left( \frac{k_B}{e} \right)^2 = 2,22 \cdot 10^{-8} \text{ Аар}\cdot\text{Охм}/\text{К}^2 \quad (5.11)$$

արժեքը, որը հիանալի համաձայնության մեջ է գտնվում վարձի հետ: Այս հաշողությունն այնքան տպավորիչ է, որ խբանները՝ կուտակությունները:

Այմ ծանոքանաբը Զեեբեկի երևոյթի հետ, բայց որի անհամասեռ տաքացված ծողությունը այնքան տպավորիչ է, որ խբանները՝ կուտակությունները:

Զերմաստիճանային գրադիենտի շնորհիվ էլեկտրանները կատարում են ուղղորդված շարժում՝ ուղղված դեպի ծողի ցածր զերմաստիճան ունեցող ծայրը: Քանի որ էլեկտրոններն ունեն լիցք, ապա այդ ուղղորդված շարժումն իրևնից հոսանք է ներկայացնում, այսինքն՝ էլեկտրական լիցք է տևականիվում ծողի առաջ մասից դեպի սառ մասը: Դրա հետևանքով ծողի բարձր զերմաստիճանով ծայրը լիցքավորվում է դրական, իսկ ցածր զերմաստիճանով ծայրը՝ բացասական: Լիցքի վերաբաշխման ենտևանքով ծագած այդ ներքին դաշտն կ սկսում է աստիճանաբար արգելակել լիցքի հետագա վերաբաշխմանը, այնպէս որ հավասարակշիռ վիճակում զոյտրյուն ունի հաստատված ներքին էլեկտրական դաշտ, որը լիովին նամակում է զերմաստիճանների տարբերությամբ պայմանավորված միջին արագությունը, իսկ էլեկտրական հոսանքը դառնում է հավասար զրոյի: Զերմաստիճանների տարբերության հետևանքով առաջացած զերմակելեկտրական դաշտի լարվածությունը՝

$$E = Q \nabla T, \quad (5.12)$$

որտեղ համեմատականության  $Q$  գործակիցը կօշվում է դիմերենցիալ զերմակելեկտրաշարժ ուժ: Որոշենք  $Q$ -ն: Ենթադրենք, զերմաստիճանային գրադիենտն ուղղված է  $x$  առանցքով: Որևէ  $x$  կետում էլեկտրոնի միջին արագությունը, պայմանավորված  $\nabla T$ -ով, կլինի հավասար

$$v_Q = \frac{1}{2} [v_x(x - v_x \tau) - v_x(x + v_x \tau)] = -\tau v_x \frac{dv_x}{dx} = -\tau \frac{d}{dx} \left( \frac{v_x^2}{2} \right): \quad (5.13)$$

Քանի որ բաշխումն ըստ արագությունների իզոտրոպ է, ապա կարելի է (5.13) արագակայատրյունն ընդհանրացնել, անցնելով «եռաչափ»  $v$  արա-

գույքանը՝

$$\langle v_x^2 \rangle = \langle v_y^2 \rangle = \langle v_z^2 \rangle = \frac{1}{3} \langle v^2 \rangle,$$

այնպես որ (5.13) արտահայտության վտիսարեն կստացվի

$$v_Q = -\tau \frac{d}{dx} \left( \frac{\langle v^2 \rangle}{6} \right) = -\frac{\tau}{6} \frac{d}{dT} \langle v^2 \rangle \cdot \nabla T : \quad (5.14)$$

Հավասարակշռության դնապրում

$$v_E + v_Q = 0, \quad (5.15)$$

որտեղ  $v_E$ -ն տրվում է (2.10) բանաձևով: Օգտվելով (2.10), (5.12), (5.14) արտահայտություններից, (5.15) պայմանից կստանանք դիֆերենցիալ ջերմակշռությունը՝

$$Q = -\frac{1}{3e} \frac{d}{dT} \left( \frac{m \langle v^2 \rangle}{2} \right) = -\frac{c_v}{3ne} : \quad (5.16)$$

Այս արդյունքը, իմշապես նաև  $\kappa/\sigma$  հարաբերությունը, կախված չէ ռեզաքսացիայի  $\tau$  ժամանակից: Օգտվելով դասական էլեկտրոնային գազի ջերմունակության (5.4) արտահայտությունից,  $Q$ -ի համար կստանանք՝

$$Q = -\frac{k_B}{2e} = -0,43 \cdot 10^{-4} \text{Վ/Կ} : \quad (5.17)$$

Մետաղների համար սենյակային ջերմաստիճաններում դիֆերենցիալ ջերմակշռությունը բնութագրական արժեքները 1մկՎ/Կ կարգի են, այսինքն՝ մոտ 100 անգամ փոքր են, քան (5.17) բանաձևից ստացված արժեքները:

## §6. Լորենցի էլեկտրոնային տեսությունը

Դրույնի տեսության մեջ մենք գործ ունենք միջինացված էլեկտրոնների հետ, այսինքն՝ կինետիկական գործակիցները հաշվելիս բոլոր էլեկտրոններին վերագրվում է միևնույն միջին արագությունը: Սակայն էլեկտրոնային գազում առկա են բոլոր հնարավոր արագություններով էլեկտրոններ: Բացի այս, էլեկտրոններն ընդհանուր դնապրում կարող են նաև տարածականորեն անհամասեռ բաշխված լինել:

Ազատ կիսկտրոնային գազն ավելի կատարյալ՝ վիճակագրական մեթոդներով նկարագրելու համար անհրաժեշտ է օգտվել կինևտիկ տեսության և վիճակագրական ֆիզիկայի ապարատից:

Վիճակագրական մեթոդներով եաշվարկներ կատարելիս անհրաժեշտ է ժամանակի ցանկացած  $t$  պահին գիտենալ էլեկտրոնների բաշխումն ըստ արագությունների և կոօրդինատների, ինչը արվում է  $f(t, r, v)$  բաշխման ֆունկցիայի միջոցով: Վերջինս սահմանվում է հետևյալ առնչությամբ՝

$$dN = f(t, r, v) dr dv , \quad (6.1)$$

որտեղ  $dN$ -ը այն էլեկտրոնների քիվն է, որոնց արագություններն ընկած են  $v, v + dv$  տիրույթում, իսկ կոօրդինատները՝  $r, r + dr$  տիրույթում: (6.1) արահայտությունից հետևում է, որ  $f(t, r, v)dv$  մեծությունն այն էլեկտրոնների կոնցենտրացիան է, որոնց արագությունները գտնվում են  $v, v + dv$  տիրույթում: Հետևաբար՝ միավոր ծավալում էլեկտրոնների քիվը (էլեկտրոնների կոնցենտրացիան) հավասար է.

$$n(r, t) = \int_{-\infty}^{\infty} f(r, v, t) dv : \quad (6.2)$$

Բաշխման ֆունկցիան փոփոխվում է ինչպես արտաքին դաշտերի և անհամասեռությունների ազդեցության տակ, այնպես էլ բախտունների հեաւանքով և ընդհանուր դեպքում բավարարում է Բոլցմանի կինետիկ հավասարմանը: Սակայն որոշակի ենթադրությունների օգնությամբ, որոնք հաշվի են առնում քննարկվող եամակարգի առանձնահատկությունները, Լորենցը ստացավ կինետիկ հավասարման մի նոր տարրերակ:

Լորենցի կողմից արված ենթադրություններն են՝

1. Ցրող կենտրոնները (մետաղի իոնները) պիտի գնդեր են և էլեկտրոնների հետ բախվելիս իրենց լցահում են որպես առածզական մարմիններ (առածզական եարվածի մոտավորություն),

2. Էլեկտրոնների բախտուններն իրար են կարելի է անտեսել (անկախ էլեկտրոնների մոտավորություն),

3. Բոլոր ցրող կենարունները միասին գրադեցնում են մետաղի ամբողջ ծավալի միայն չնչին մասը,

4. Եթե մետաղի անհամասեռ է կամ կամ ջերմաստիճանային գրադինտներ, ապա էլեկտրոնի ազատ վագրի  $I$  միջին երկարության կարգի

Եեռակորտաքյունների վրա բոլոր մեծությունները փոփոխվում են փոքր չսփով՝

$$I \left| \frac{dA}{dr} \right| \equiv I \left| \nabla A \right| \ll A : \quad (6.3)$$

5. Արտաքին դաշտում ազատ վազքի միջին երկարության վրա կեկտրոնի ծեռք բերած և ներգիան շատ փոքր է. նրա միջին չերմային և ներգիայից՝

$$e/E \ll \bar{\varepsilon} : \quad (6.4)$$

Քանի որ  $I = \tau v_T$ , խև  $\bar{\varepsilon} \sim mv_T^2$ , որտեղ  $v_T$ -ն էլեկտրոնի զերմային արագությունն է, ապա (6.4) պայմանը կարելի է գրել նաև այլ տևաքավ՝

$$e\tau E \ll m v_T$$

Կամ

$$|v_D| = \frac{e\tau E}{m} \ll v_T , \quad (6.5)$$

այսինքն՝ արտաքին դաշտում էլեկտրոնի ձևոր բերած ուղղորդված շարժման արագությունը շատ փոքր է նրա միջին ջերմային արագությունից:

**4. Ι. 5. Ιεραρχοι της Εκκλησίας στην Επαρχία Καρδίτσας**

Այժմ անցնենք կիսեալի հավասարման արտածմանը:  
Եթե  $t$  պահին էնեկտրոնը գտնվում է  $r(x, y, z)$  կետում և ունի  $v(v_x, v_y, v_z)$  արագություն, ապա  $dt$  ժամանակ անց, երեք բախտում տեղի չի ունեցել, այն կզտնվի  $r + v dt$ ,  $(x + v_x dt, y + v_y dt, z + v_z dt)$  կետում և կունենա  $v + a dt$  ( $v_x + a_x dt, v_y + a_y dt, v_z + a_z dt$ ) արագությունը: Չարժման և արագացման հետևանքով  $t$  պահին  $dr dv = dx dy dz dv_x dv_y dv_z$  ծավալում գտնվող էնեկտրոնները  $t + dt$  պահին կզտնվեն  $dr' dv' = dx' dy' dz' dv'_x dv'_y dv'_z$  ծավալում:  
Արագության և արագացման վորքը վուփոխությունների հետևանքով

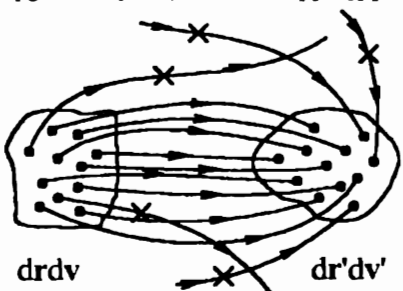
$$dr'dv' = dr dv : \quad (6.6)$$

Բայմանան պրոցեսով էլեկտրոնի արագույթունը վելքիչպում է վերջավոր շափով, այսինքն՝ եթե բախտումից առաջ էլեկտրոնի արագույթունն ընկած էր

$\mathbf{v}, \mathbf{v} + d\mathbf{v}$  ալիրույթում, ապա բախտումից հետո այն այլս չի պատկանի նշված ալիրույթին: Նույն ձևով, բախտումից առաջ  $\mathbf{v}, \mathbf{v} + d\mathbf{v}$  տիրույթին շպատկանող էլեկտրոնը բախման հետևանքով կարող է հայտնվել այդ տիրույթում (Նկ. VI.5):

Բախտումների հետևանքով  $dt$  ժամանակամիջոցում,  $d\mathbf{r}d\mathbf{v}$  ծավալում էլեկտրոնների թվի փոփոխությունը նշանակենք հետևյալ կերպ՝

$$\left[ \frac{\partial f}{\partial t} \right]_{st} dt d\mathbf{r}d\mathbf{v} : \quad (6.7)$$



Նկ. VI.5

(6.1), (6.6) և (6.7) արտահայտություններից կարող ենք գրել հաշվեկշռի հավասարում  $d\mathbf{r}d\mathbf{v}$  ծավալում գտնվող էլեկտրոնների թվի համար՝

$$dN(t + dt) = dN(t) + \left[ \frac{\partial f}{\partial t} \right]_{st} dt d\mathbf{r}d\mathbf{v} \quad (6.8)$$

կամ

$$f(t + dt, \mathbf{r} + \mathbf{v} dt, \mathbf{v} + a dt) d\mathbf{r}d\mathbf{v} = f(t, \mathbf{r}, \mathbf{v}) d\mathbf{r}d\mathbf{v} + \left[ \frac{\partial f}{\partial t} \right]_{st} dt d\mathbf{r}d\mathbf{v} : \quad (6.9)$$

որտեղ  $a = F/m$ ,  $F$ -ը էլեկտրոնի վրա ազդող ուժն է, իսկ  $\left[ \partial f / \partial t \right]_{st}$  մեծությունը բախտումների ինտեգրալն է՝ միավոր ծավալում, միավոր ժամանակում բաշխման ֆունկցիայի փոփոխությունը, պայմանավորված բախտումներով: Բախտումների ինտեգրալի արտահայտությունը տալուց հետո միայն (6.9) առնչությունը ձեռք կբերի ստույգ մաթեմատիկական իմաստ:

Այժմ ստանանք ցրող կենտրոնների հետ էլեկտրումների բախտումների ինտեգրալի արտահայտությունը: Կենթաղրենք, որ կենտրոններն անշարժ ամրացված են, ունեն  $R$  շառավիղ և բաշխված են  $N_0$  խտությամբ:

Այն էլեկտրոնների թիվը, որոնք միավոր ժամանակում բախվում են ցրող կենտրոնի  $dS = R^2 d\Omega$  մակերեսին և որոնց արագություններն ընկած են  $\mathbf{v}, \mathbf{v} + d\mathbf{v}$  տիրույթում (այսպես կոչված « $d\mathbf{v}$  էլեկտրոններ»), հավասար է

$dS$  հիմքով և  $n \cdot v$  բարձրությամբ զլանում եղած էլեկտրոնների քվին՝ (նկ. VI.6)

$$dS \cdot n \cdot v \cdot f(v) dv = R^2 d\Omega \cdot v \cos \theta \cdot f(v) dv , \quad (6.10)$$

որպես  $n$ -ը  $dS$ -ի նորմալն է, իսկ  $\theta$ -ն՝  $v$ -ի և  $n$ -ի միջև անկյունը։ Միավոր ծավալում, միավոր ժամանակում « $dv$  էլեկտրոնների» բախտմաների ընդհանուր թիվը հավասար է՝

$$dv \int N_0 R^2 v \cos \theta f(v) d\Omega \equiv a \cdot dv : \quad (6.11)$$

Սա հենց այն էլեկտրոնների թիվն է, որոնք 1սմ<sup>3</sup>-ում 1վ-ում բախտմաների և անկյունում  $dv$  տիրույթից։

Եթե էլեկտրոնների թիվը, որոնք 1սմ<sup>3</sup>-ում 1վ-ում բախտմաների և անկյունում  $dv$  էլեկտրոններ, հավասար է՝

$$dv \int N_0 R^2 v \cos \theta f(v') d\Omega \equiv b \cdot dv , \quad (6.12)$$

որտեղ  $v'$ -ը այն էլեկտրոնի արագությունն է, որը բախտման հետո ունի  $v$  արագություն։ Քանի որ բախտման առաջական է, ապա

$$|v'| = |v| = v , \quad (6.13)$$

իսկ  $v' \rightarrow v$  անցման ժամանակ արագության վոփոխությունը՝

$$v - v' = 2v \cos \theta \cdot n : \quad (6.14)$$

(6.11) և (6.12) առնչություններից բախտմաների ինտեղրայի համար կստանանք՝

$$\left[ \frac{\partial f}{\partial t} \right]_s = b - a = N_0 R^2 v \int \{f(v') - f(v)\} \cos \theta d\Omega : \quad (6.15)$$

Տեղադրելով (6.15) արտահայտությունը (6.9) առնչության մեջ, կստանանք լինելով հավասարումը Լորենցի տեսքով՝

$$\frac{\partial f}{\partial t} + v \frac{\partial f}{\partial r} + \frac{F}{m} \frac{\partial f}{\partial v} = N_0 R^2 v \int \{f(v') - f(v)\} \cos \theta d\Omega : \quad (6.16)$$

Այն զծային, ինտեղրողիքենցիալ հավասարում է:

Բախումների խնտեզրայի (6.15) արտահայտությունից հետևում է, որ արտաքին դաշտերի և զրադիենտների բացակայության դեպքում ստացիոնար վիճակի բաշխման ֆունկցիան բավարարում է

$$f(\mathbf{v}') = f(\mathbf{v})$$

պայմանին, այսինքն՝ կախված է միայն արագության մեծությունից՝

$$f_0(\mathbf{v}) \equiv f_0(|\mathbf{v}|) \equiv f_0(v^2) : \quad (6.17)$$

Դասական վիճակագրությունում  $f_0$ -ն արգում է Մաքսվելի բաշխման ֆունկցիայով՝

$$f_0(v^2) = A \exp\left(-\frac{mv^2}{2k_B T}\right), \quad A = n \left(\frac{m}{2\pi k_B T}\right)^{3/2}, \quad (6.18)$$

որտեղ  $n$ -ը էլեկտրոնների կոնցենտրացիան է:

## §7. Կինետիկ հավասարման լուծումը: Կինետիկական գործակիցների հաշվարկը

Արտաքին ազդեցությունները խախառում են համակարգի հավասարակշռական վիճակը, առաջ բերելով համապատասխան հոսքեր: Կինետիկական գործակիցները կապ են հաստատում պատճառի (ազդեցության) և հետևանքի (հոսքի) միջև և որոշվում են համակարգի իիմնական բնութագրերով: Համակարգում ծագող նոսրերը հաշվելու համար անհրաժեշտ է գիտենալ (6.16) հավասարման լուծումը:

Ենթադրենք, էլեկտրոնային զազը զտնվում է հաստատուն էլեկտրական դաշտում, որն ուղղված է  $x$  առանցքով: Նույն առանցքով ուղղենք նաև չերմաստիճանային զրադիենտը: Դանդաղ փոփոխվող և քոյլ դաշտերի մոտավորության շրջանակներում (տես 4. և 5. ենթադրությունները) (6.16) հավասարման լուծումը կինետիկական գործակիցների հաշվարկությամբ կատարվում է:

$$f(\mathbf{v}, r) = f_0(\mathbf{v}) + f_1(\mathbf{v}, r) \quad (7.1)$$

տեսքով, որանուն բաշխման ֆունկցիայի որոնելի ուղղումը՝

$$|f_1| \sim O(E, dT/dx) : \quad (7.2)$$

Հարկ է նշել, որ ստացիոնար վիճակի բաշխման ֆունկցիան  $T = T(x)$  կապի շնորհիվ անքացահայտողեն կախված է  $x$  կոօրդինատից, այսինքն՝  $f_0$ -ն Մաքսվելի տեղային  $T(x)$  ջերմաստիճանով բաշխումն է:

Ձևափոխենք (6.16) հավասարման ձախ մասը, պահելով միայն  $E$ -ին և  $dT/dx$ -ին համեմատական անդամները՝

$$\frac{\partial f}{\partial t} = 0, \quad \mathbf{v} \frac{\partial f}{\partial \mathbf{r}} = \mathbf{v} \frac{\partial f_0}{\partial \mathbf{r}} + \mathbf{v} \frac{\partial f_1}{\partial \mathbf{r}} \approx \mathbf{v}_x \frac{\partial f_0}{\partial x} \sim O(dT/dx),$$

$$\frac{\mathbf{F} \cdot \partial f}{m \partial \mathbf{v}} = -\frac{eE_x}{m} \frac{\partial f}{\partial \mathbf{v}_x} = -\frac{eE}{m} \frac{\partial f_0}{\partial \mathbf{v}_x} - \frac{eE}{m} \frac{\partial f_1}{\partial \mathbf{v}_x} \approx -\frac{eE}{m} \frac{\partial f_0}{\partial \mathbf{v}_x} \sim O(E). \quad (7.3)$$

Այժմ ձևափոխենք (6.16) հավասարման աջ մասը: Նպատակահարմար և բաշխման ֆունկցիայի ուղղումը ներկայացնել

$$f_1(\mathbf{v}) = \mathbf{v}_x \cdot \chi(\mathbf{v}), \quad (7.4)$$

տեսքով, որաեղ գործը  $\chi(\mathbf{v})$ -ն անհայտ է: Ենթադրվում է, որ այն կախված է միայն արագության մեծությունից: Համաձայն (7.4) առնչության,  $f_1$  ֆունկցիան եակահամաշափի է ըստ  $\mathbf{v}_x$ -ի:  $f_1$ -ի այսպիսի ընտրությունը համապատասխանում է այն իրադրությանը, որ  $E_x$  դաշտի և  $dT/dx$  գրադիենտի առկայությունը խախտում է տարածության իզուրոպությունը (սպառ դիպում՝  $x$  և  $-x$  ուղղությունների համարժեքությունը):

Օգտվելով (7.4) նշանակումից, ինչպես նաև նկաաի ունենալով (6.14) կապը  $\mathbf{v}$ -ի և  $\mathbf{v}'$ -ի միջև, կստանանք՝

$$\int \{f(\mathbf{v}') - f(\mathbf{v})\} \cos \theta d\Omega = \chi(\mathbf{v}) \int (\mathbf{v}'_x - \mathbf{v}_x) \cos \theta d\Omega =$$

$$= -2v\chi(\mathbf{v}) \int \cos \alpha \cdot \cos^2 \theta d\Omega, \quad (7.5)$$

որտեղ  $\alpha$ -ն  $\mathbf{n}$  նորմալի կազմած անկյունն է  $x$  առանցքի հետ:

Հաշվենք ստացված ինտեգրալը: Օ կեաից (նկ. VI.6) տանենք  $\mathbf{v}$ -ի ուղղությանը զուգահետ ՕՊ ուղիղը, որից կիաշվենք  $\mathbf{n}$ -ին զուգահետ ՕQ ուղի կազմած  $\theta$  անկյունը (նկ. VI.7):  $\psi$  թենուային անկյան հաշվարկը տարպում է POX հարթությունից: Քանի որ

$$\cos \alpha = \cos \theta \cos \varphi + \sin \theta \sin \varphi \cos \psi, \quad (7.6)$$

ապա ըստ  $d\Omega = \sin \theta d\theta d\psi$  մարմնային անլյան խնտեզրակի համար կստանանք՝

$$\int \cos \alpha \cos^2 \theta d\Omega = \int_0^{\pi/2} \sin \theta d\theta \int_0^{2\pi} (\cos \theta \cos \varphi + \sin \theta \sin \varphi \cos \psi) d\psi = \\ = 2\pi \int_0^{\pi/2} \sin \theta \cos^3 \theta d\theta \cdot \cos \varphi = \frac{\pi}{2} \cos \varphi. \quad (7.7)$$

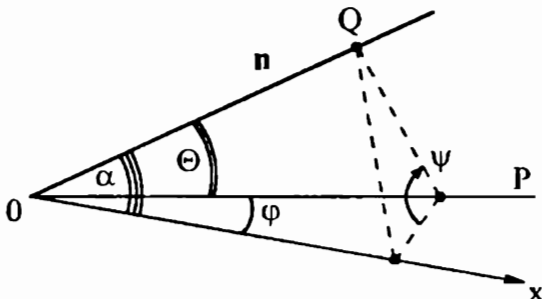
որտեղ (նկ. VI.7)

$$\cos \varphi = \frac{v_x}{v} : \quad (7.8)$$

Սահմանենք նաև ազատ վազքի միջին երկարությունը եւտեղական առնչությամբ՝

$$l = \frac{1}{\pi N_0 R^2} : \quad (7.9)$$

Զևավիշտորյուններից



Նկ. VI.7

հետո (6.16) հավասարման վիճակին ստացվում է

$$v_x \frac{\partial f_0}{\partial x} - \frac{eE}{m} \frac{\partial f_0}{\partial v_x} = -\frac{v_x}{l} v \chi(v) \quad (7.10)$$

առնչությունը  $\chi(v)$  անհայտ ֆունկցիայի համար:

Որպես հավասարակշռական վիճակի բաշխման  $f_0$  ֆունկցիա  $L$ -ը ևնցն օգտագործեց Մաքսվելի բաշխումը՝ (6.18) բանաձևը: Այս դեպքում (7.10) հավասարությունը որոշ գործողություններից հետո  $\chi(v)$  ֆունկցիայի համար կստանանք

$$\chi(v) = -\frac{f_0(v)}{T} \cdot \frac{l}{v} \left[ \frac{eE}{k_B} + \frac{dT}{dx} \left( \frac{mv^2}{2k_B T} - \frac{3}{2} \right) \right] \quad (7.11)$$

արտահայտությունը, որի եամածայն  $\chi(v)$  ֆունկցիան կախված է միայն արագության մեծությունից:

Այժմ հաշվենք համակարգում հաստաված հոսանքի խառնքությունը:

Ենթադրության համաձայն, էլեկտրական դաշտը և ջերմասավճանացին գրադիենտն ուղղված են  $x$  առանցքով, ուստի զրոյից տարբեր կլինի հոսանքի խտության միայն  $x$  լադադրիչը՝

$$j_x = -e \int_{-\infty}^{\infty} v_x f(v) dv = -e \int_{-\infty}^{\infty} v_x f_0(v) dv - e \int_{-\infty}^{\infty} v_x f_1(v) dv : \quad (7.12)$$

Առաջին գումարելին հավասար է զրոյի, բանի որ թերմոդինամիկական հավասարակշռության վիճակում արագությունների փոստրուս բաշխման հետևանքով հոսքերը բացակայում են: Մարեմատիկորեն այս փաստը պայմանավորված է ընդինտեգրալ  $v_x f_0(v)$  ֆունկցիայի կենտությամբ: Նկատի ունենալով (7.4) նշանակումը, կստանանք՝

$$j_x = -e \int_{-\infty}^{\infty} v_x^2 \chi(v) dv : \quad (7.13)$$

Քանի որ  $\chi(v)$  ֆունկցիան կախված է միայն արագության մեծությունից՝  $v = (v_x^2 + v_y^2 + v_z^2)^{1/2}$ -ից, ապա դժվար չեն համոզվել, որ

$$\int_{-\infty}^{\infty} v_x^2 \chi(v) dv = \int_{-\infty}^{\infty} v_y^2 \chi(v) dv = \int_{-\infty}^{\infty} v_z^2 \chi(v) dv = \int_{-\infty}^{\infty} \frac{v^2}{3} \chi(v) dv : \quad (7.14)$$

Արագությունների տարածության մեջ դեկարտյան կոորդինատներից անցնելով զնդային կոորդինատների, (7.11), (6.18) և (7.13) արտահայտություններից կստանանք՝

$$j_x = -\frac{4\pi e}{3} \int_0^{\infty} v^4 \chi(v) dv = \frac{4\pi e l}{3T} \left[ A \left( \frac{eE}{k_B} - \frac{3}{2} \frac{dT}{dx} \right) I_3 + \frac{mA}{2k_B T} \frac{dT}{dx} I_5 \right], \quad (7.15)$$

որտեղ (տես Մաս I, Հավելված 2)

$$I_{2k+1}(\alpha) = \int_0^{\infty} x^{2k+1} e^{-\alpha x^2} dx = \frac{k!}{2\alpha^{k+1}}, \quad k = 0, 1, 2, \dots \quad (7.16)$$

$$\alpha = \frac{m}{2k_B T} : \quad (7.17)$$

Տարրական ձևափոխություններից հետո հոսանքի խտության համար կստանանք հետևյալ վերջնական արտահայտությունը՝

$$j_x = \frac{4\pi e k_B l}{3(2\pi m k_B T)^{1/2}} \left( \frac{eE}{k_B} + \frac{1}{2} \frac{dT}{dx} \right) : \quad (7.18)$$

Զերմային հոսքի խտությունը հաշվելու համար պես է միայն (7.12) արտահայտության մեջ էլեկտրոնի լիցքը՝ ( $-e$ )-ն, վտասարինել էլեկտրոնի էներգիայով՝  $m v^2 / 2$ -ով, այսինքն՝

$$q_x = \int_{-\infty}^{\infty} \frac{mv^2}{2} \cdot v_x f(v) dv : \quad (7.19)$$

Հաշվարկները, որոնք չեն տարբերվում վերը կատարվածներից, բերում են հետևյալ վերջնական արդյունքին՝

$$q_x = -\frac{4}{3} nl \left( \frac{2k_B^3 T}{\pi m} \right)^{1/2} \left( \frac{eE}{k_B} + \frac{3}{2} \frac{dT}{dx} \right) : \quad (7.20)$$

Հաշվենք էլեկտրահաղորդականության գործակիցը: Եթե  $T = const$ , ինչը համապատասխանում է հաղորդականության չափման պայմաններին, (7.18) բանաձևից կստանանք՝ .

$$j_x = \sigma \cdot E , \quad \sigma = \frac{4}{3} \cdot \frac{nle^2}{(2\pi m k_B T)^{1/2}} : \quad (7.21)$$

Զերմահաղորդականության գործակիցը որոշելիս պետք է նկատի ունենալ որ հաստատված (ստացիոնար) զերմային հոսք ստանալու համար պես է ապահովել

$$j_x = 0 \quad \text{կամ} \quad \frac{eE}{k_B} + \frac{1}{2} \frac{dT}{dx} = 0 \quad (7.22)$$

պայմանի կատարումը, ինչը համարժեք է էլեկտրոնների ուղղորդված շարժման արագության զրո լինելու պայմանին (տես (5.15) բանաձևը): (7.20) և (7.22) արտահայտություններից

$$q_x = -\frac{4}{3} nl \left( \frac{2k_B^3 T}{\pi m} \right)^{1/2} \frac{dT}{dx} \equiv -\kappa \frac{dT}{dx} , \quad (7.23)$$

որտեղից

$$\kappa = \frac{4}{3} n l \left( \frac{2k_B^3 T}{\pi m} \right)^{1/2} \quad (7.24)$$

Վիդեման-Ֆրանցի օրենքը, ըստ (7.21) և (7.24) բանաձևերի, կընդունի հետևյալ տեսքը՝

$$\frac{\kappa}{\sigma T} = \frac{4}{3} n l \left( \frac{2k_B^3 T}{\pi m} \right)^{1/2} \frac{1}{T} \frac{3(2\pi m k_B T)^{1/2}}{4n l e^2} = 2 \left( \frac{k_B}{e} \right)^2, \quad (7.25)$$

այսինքն՝ Լորենցի թվի համար ստացվում է  $L_L = 2(k_B/e)^2$  արժեքը, որն ընդհանուր առմամբ ավելի փառ է համապատասխանում վիրճին, քան Դրույեի տեսության մեջ ստացված  $L_D = 3(k_B/e)^2$  արժեքը:

Վերջապես, (7.22) առնչությունից դիֆերենցիալ զերմակշունչի համար ստացված արտահայտությունը համընկնում է (5.17) բանաձևի հետ:

## ՄԵՏԱՂՆԵՐԻ ՏԵՍՈՒԹՅՈՒՆՆ Ըստ ԶՈՄԵՐՖԵԼԴԻ

### §1. Ֆերմի-Դիրակի բաշխումը

Դրույդե-Լորենցի դասական էլեկտրոնային տեսությունը հաջողորդամբ բացատրեց մետաղների մի շաբթ հասկություններ: Սակայն լինելով գուտ դասական, այս տեսությունը չէր կարող բացատրել, մինչև անգամ որպակապես, բազմաքիվ ֆիզիկական հատկություններ, որոնց հիմքում, ինչպես պարզվեց ավելի ուշ, ընկած են բվանտային օրինաչափություններ: Բավական և հիշել թեկուզ էլեկտրոնային զագի ջերմունակության պարագայությունը, ինչպես նաև պարամագնիսական բնույթունը:

Ինչպես հայտնի է, դասական տեսության արդյունքները հավասարի են այնպիսի պայմաններում, երբ բվանտային երևույթների դեռք կարելի է անտեսել: Եթե մասնիկին վերազրկող ալիքային «փարեթի» չափը՝ դը-Բըրոյի ալիքի  $\lambda_B$  երկարությունը, զգալիորեն փոքր է, մասնիկների միջև միջին  $\bar{r}$  հեռավորությունից՝

$$\lambda_B \ll \bar{r}, \quad (1.1)$$

ապա մասնիկների ալիքային «փարեթների» վերադրում տևելի չի ունենում, ուստի կարելի է օգտվել դասական տեսությունից: Համակարգի վիճակը բնութագրող մակրոսկոպական պարամետրերի միջոցով արտահայտված (1.1) առնչությունը (Մաս I, IV.1):

$$B \equiv \frac{N}{V} \left( \frac{\hbar^2}{mk_B T} \right)^{3/2} \ll 1 \quad (1.4)$$

պայմանը դասական (Բոլցմանի) վիճակագրության կիրառելիության չափանիշն է:

Մենյակային ջերմասահմանում կենաց էլեկտրոնային զագի համար այս անհավասարությունը խախավում և նախ այն պատճառով, որ էլեկտրոնի զանգվածը մոտ 10<sup>4</sup> անգամ փոքր է միջին մոլեկուլային զանգվածից, և, լրկրող՝ մետաղներում կենաց էլեկտրոնացիաները 10<sup>3</sup> ÷ 10<sup>4</sup> ամ-

զամ գերազանցում են նորմալ պայմաններում մոլեկուլային գազերի բնութագրական խտությունը՝  $L_{\text{շմ}}/n$  թիվը:

Իրոք, գնահատենք  $B$  մեծությունը: Մետաղների համար բնութագրական էլեկտրոնային  $n = N/V \sim n_0 = 10^{22}$  սմ<sup>-3</sup> կարգի կոնցենտրացիայի և  $T = 300\text{K}$  ջերմաստիճանի դեպքում  $n_0(\hbar^2/mk_B T)^{3/2} \approx 50$ , ինչը համապատասխանում է (1.2) պայմանին հակառակ անհավասարությանը: Չանչ որ  $B \sim T^{-3/2}$ , ապա սենյակայինից ցածր ջերմաստիճաններում այն էլ ավելի մեծ արժեքներ կը նույնականացնի:

Այսպիսով, զայխ ենք այն եզրակացության, որ էլեկտրոնային գազը մետաղում չի կարելի նկարագրել դասական վիճակագրությամբ:

Էլեկտրոնների նկատմամբ քվանտային վիճակագրության կիրառումը հիմնվում է քվանտային մեխանիկայում հայտնի նույնականության սկզբունքի և Պառիի սկզբունքի վրա: Համաձայն վերջինի, ցանկացած քվանտային վիճակում կարող է գտնվել միայն մեկ էլեկտրոն (կամ, ավելի ընդհանուր ծևակերպումով՝ կիսամբռոջ սպինով մասնիկ՝ ֆերմիոն): Այս սկզբունքից անմիջապես հետևում է, որ եթե գործ ունենք մեծ քվով էլեկարուններից կազմված համակարգի հետ, ապա նրա նույնիսկ ամենափոքր էներգիայով վիճակում բոլոր քվանտային վիճակները, այդ քվում՝ նաև ոչ փոքր էներգիաներ ունեցողները, կլինեն գրաղված: Սա է էլեկտրոնային համակարգը նկարագրող Ֆերմի-Դիրակի քվանտային վիճակագրության հիմնական տարրերությունը Բոլցմանի դասական վիճակագրությունից, ըստ որի ցանկացած քվով մասնիկներ կարող են ունենալ միևնույն էներգիան և իմպուլսը: Մասնավորապես, դասական համակարգի ամենափոքր էներգիան հավասար է զրոյի, երբ բոլոր մասնիկներն ունենան զրոյական էներգիա:

Ֆերմի-Դիրակի բաշխման հայտնագործումից հետո Զոմերֆելդն այն կիրառեց մետաղում գտնվող էլեկտրոնային համակարգի նկատմամբ, ինչը բույլ տվեց ազատվել Դրույեի անսության մեջ առկա հիմնականում թերմոդինամիկական հակասություններից: Փաստուն Զոմերֆելդի մոդելն իրենից ներկայացնում է էլեկտրոնային գազի Դրույեի դասական մոդելը, միայն այն տարրերությամբ, որ էլեկտրոնների բաշխումն ըստ արագությունների (էներգիաների) նկարագրվում է ոչ թե դասական (բոլցմանյան),

այլ Ֆերմի-Դիրակի թվանշային բաշխումով, որն ունի հետևյալ տևաքը՝

$$f(\varepsilon_i) = \left[ \exp \frac{\varepsilon_i - \mu}{k_B T} + 1 \right]^{-1} : \quad (1.3)$$

$f(\varepsilon_i)$ -ն հավանականությունն է այն բանի, որ գերմային հավասարակշռության վիճակում գտնվող իդեալական էլեկտրոնային զագում  $\varepsilon$ , էներգիայով վիճակը գրադեցված է էլեկտրոնի կողմից:  $\mu$  մեծությունը (քիմպուսենցիալը) թերմոդինամիկակամ պարամետրերի ֆունկցիա է և որոշվում է այն պայմանից, որ էլեկտրոնների  $N$  թիվը համակարգում տրված մեծության է՝

$$\sum_i f(\varepsilon_i) = N , \quad (1.4)$$

որանու գումարումը կատարվում է ըստ բոլոր թվանշային վիճակների:

Ըստային թվերի ( $i$ ) համախմբով որոշվող  $\varepsilon$ , էներգիաները համապատասխան Ծրեղինգերի հավասարման սեփական արժեքներն են:

## §2. Էլեկտրոնային զագը հիմնական վիճակում

Ուսումնասիրները էլեկտրոնային զագի հասկությունները հիմնական վիճակում, եթե  $T = 0\text{K}$ :  $N$  էլեկտրոնները գրադեցնում են  $V$  ծավալ և քանի որ չեն փոխազդում իրար հետ (անկախ էլեկտրոնների մասավորաբան), ապա հիմնական վիճակը կարելի է որոշել, հաշվելով սկզբում առանձին էլեկտրոնի մակարդակները  $V$  ծավալում, իսկ հետո՝ լրացնել այդ մակարդակները, նկատի ունենալով Պառլի սկզբունքը:

Ազատ էլեկտրոնի համար Ծրեղինգերի ստացիոնար հավասարումն ունի հետևյալ տևաքը՝

$$-\frac{\hbar^2}{2m} \left( \frac{\partial^2}{\partial x^2} + \frac{\partial^2}{\partial y^2} + \frac{\partial^2}{\partial z^2} \right) \psi = -\frac{\hbar^2}{2m} \nabla^2 \psi = \varepsilon \psi : \quad (2.1)$$

Մետաղի ծավալում էլեկտրոնի շարժման սահմանափակությանը հաշվի առնելու համար անհրաժեշտ է օգտվել սահմանային պայմաններից, որոնց պետք է բավարարեն (2.1) հավասարման լուծումները:

Հարմարության համար մետաղի ծավալն ընտրենք  $L = V^{1/3}$  կողմանը

Խորանարդի ճևով: Նկասի ունենալով, որ տեղափոխման կրևոյքների ուսումնայիրման համար հարմար է օգտվել վագող էլեկտրոնային ալիքներից, դիմենք այսպես կոչված «շրջանային» կամ Բոռն-Կարմանի սահմանային պայմաններին (Մաս I, III.6):

$$\begin{aligned}\psi(x+L, y, z) &= \psi(x, y, z), \\ \psi(x, y+L, z) &= \psi(x, y, z), \\ \psi(x, y, z+L) &= \psi(x, y, z):\end{aligned}\quad (2.2)$$

(2.1) հավասարման նորմավորված լուծումն ունի

$$\psi_k(r) = \frac{1}{\sqrt{V}} e^{ikr} \quad (2.3)$$

աեաքը, իսկ նրան համապատասխանող սևիական լներզիան՝

$$\varepsilon(k) = \frac{\hbar^2 k^2}{2m}, \quad (2.4)$$

որտեղ  $k$ -ն կորդինատից անլիախ կամայական վեկաոր է:  $k$  վեկտորի իմաստը պարզելու համար նկատենք, որ (2.3) արտահայտությունն իմպուլսի օպերատորի սեփական ֆունկցիան է  $p = \hbar k$  սևիական արժեքով՝

$$\hat{p} \psi_k = -i\hbar \nabla \left( \frac{1}{\sqrt{V}} e^{ikr} \right) = \hbar k \frac{1}{\sqrt{V}} e^{ikr} = \hbar k \psi_k : \quad (2.5)$$

Այսպիսով,  $\psi_k(r)$  ալիքային ֆունկցիայով նկարագրվող լևկուրոնն ունի  $p$  իմպուլս, համեմատական  $k$ -ին, որը կարելի է մեկնաբանել որպես ալիքային վեկտոր:

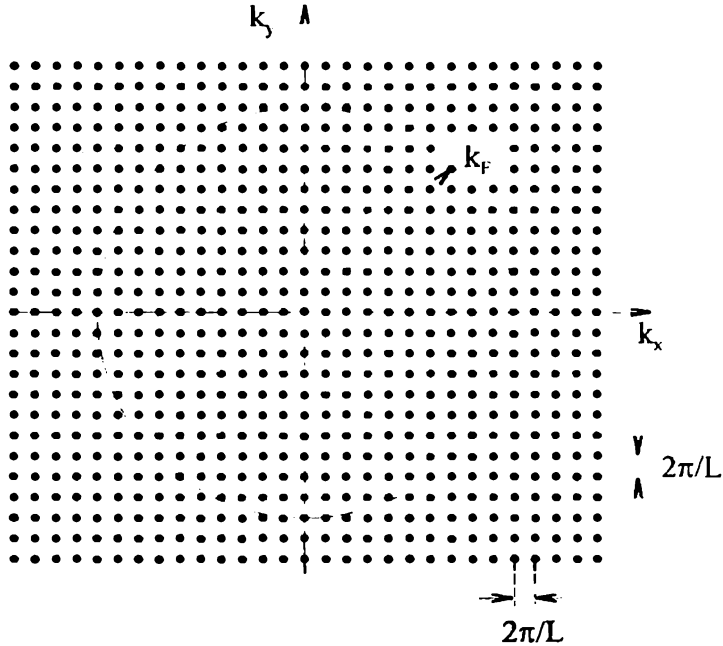
Այժմ օգտվենք (2.2) սահմանային պայմաններից: Ինչպես հետևում է (2.3) և (2.2) արտահայտություններից,  $k$  վեկտորը կարող է բնդունել միայն այնպիսի արժեքներ, որոնց համար տեղի ունեն

$$e^{ik_x L} = e^{ik_y L} = e^{ik_z L} = 1 \quad (2.6)$$

պայմանները և որոնցից ստացվում են ալիքային վեկտորի բաղադրիչների հետևյալ արժեքները՝

$$k_x = \frac{2\pi}{L} n_x, \quad k_y = \frac{2\pi}{L} n_y, \quad k_z = \frac{2\pi}{L} n_z, \quad (2.7)$$

որակ տեղ  $n_x, n_y, n_z = 0, \pm 1, \pm 2, \dots$ : Այսպիսով, եռաչափ  $k$ -տարածության մեջ բոլորապահ են ալիքային վեկտորներ, որոնց բաղադրիչները  $2\pi/L$  մեծության պատիկներ են (նկ. VII.1, Նրկափ տարրերակ):  $k$ -տարածության մեջ յուրաքանչյուր բոլոր վեկտորների (յուրաքանչյուր վիճակի) բաժինն է բնկնում  $(2\pi/L)^d$  ծավալ, որտեղ  $d$ -ն տարածության չափողականությունն է:



Նկ. VII.1

Եռաչափ տարածության միավոր ծավալում վիճակների թիվը (վիճակների խառնությունը) կլինի հավասար

$$\frac{1}{(2\pi/L)^3} = \frac{L^3}{(2\pi)^3} = \frac{V}{(2\pi)^3} : \quad (2.8)$$

Նկատի ունենալով Պատուի ալգորիթմը և էլեկտրոնի երկու հնարավոր սպինային վիճակները, յուրաքանչյուր էներգիական մակարդակի վրա կարելի է

տեղավորել միայն երկու էլեկտրոն՝  $k \uparrow$  և  $k \downarrow$  վիճակներում։ Համակարգի ներքին էներգիան կը մղունի նվազագույն արժեք այն դեպքում, եթե բոլոր մակարդակները զբաղեցված են երկուական էլեկտրոններով՝  $k = 0$  վիճակից մինչև առավելագույն  $k_F$  ալիքային թվով վիճակը։ Զբաղեցված վիճակները  $k$ -տարածության մեջ գտնվում են մի զնդում, որի  $k_F$  շառավիղի (Ֆերմի շառավիղի) մեծությունը կարելի է որոշել մասնիկների թվի և զբաղեցված վիճակների թվի հավասարության պայմանից։

$$N = 2 \cdot \frac{4\pi}{3} k_F^3 \cdot \frac{V}{(2\pi)^3} = \frac{k_F^3}{3\pi^2} V : \quad (2.9)$$

Անհրաժեշտ է նշել, որ շնայած ալիքային վեկտորի ընդունած արժեքների բնույթությանը, (2.9) հավասարությունը գործնականորեն ճշգրիտ է, քանի որ  $N$ -ը շաա մեծ է ( $10^{22} \div 10^{23}$ ), իսկ մեկ վիճակին բաժին ընկնող  $(2\pi)^3/V$  ծավալը՝ շատ փոքր, որի հետևանքով զբաղեցված վիճակների տիրույթը գործնականորեն գունդ է։ (2.9) առնչությունից որոշվում է Ֆերմիի  $k_F$  շառավիղը։

$$k_F = \left( 3\pi^2 \frac{N}{V} \right)^{1/3} = \left( 3\pi^2 n \right)^{1/3} : \quad (2.10)$$

$k > k_F$  վիճակները  $k$ -տարածության մեջ ազատ են։ Այսպիսով,  $k_F$  շառավիղով գնդի (Ֆերմիի գունդ) մակերևույթը (Ֆերմիի մակերևույթը) իրարից սահմանազատում է զբաղեցված ( $k \leq k_F$ ) և ազատ ( $k > k_F$ ) վիճակների տիրույթը։

Էլեկտրոնային զազի հիմնական վիճակը նկարագրելու համար անհրաժեշտ է գիտենալ էլեկտրոնների կոնցենտրացիան, քանի որ նրա բարոր բնութագրերն արտահայտվում են վերջինիս միջոցով։ Այսպես՝ Ֆերմիի խմառութը՝

$$p_F = \hbar k_F = \hbar \left( 3\pi^2 n \right)^{1/3} , \quad (2.11)$$

Ֆերմիի էներգիան՝

$$\varepsilon_F = \frac{p_F^2}{2m} = \frac{\hbar^2 k_F^2}{2m} = \frac{\hbar^2}{2m} \left( 3\pi^2 n \right)^{2/3} , \quad (2.12)$$

Ֆերմիի արագությունը՝

$$v_F = \frac{\hbar k_F}{m} = \frac{\hbar}{m} (3\pi^2 n)^{1/3} : \quad (2.13)$$

Աղյուսակ VII.1-ում բերված են այս մեծությունների արժեքները որոշ մետաղների համար: Ինչպիս հետևում է բերված տվյալներից,  $k_F \sim 10^8$  սմ<sup>-1</sup>,  $v_F \sim 10^8$  սմ/վ,  $\epsilon_F \sim 1,5 \div 15$  էՎ:

Աղյուսակ VII.1

| Տարր | $\epsilon_F$ (էՎ) | $k_F$ (Å <sup>-1</sup> ) | $v_F$ (10 <sup>8</sup> սմ/վ) | $T_F$ (10 <sup>4</sup> K) | $T_m/T_F$ |
|------|-------------------|--------------------------|------------------------------|---------------------------|-----------|
| Li   | 4,74              | 1,12                     | 1,29                         | 5,51                      | 0,0083    |
| Na   | 3,24              | 0,92                     | 1,07                         | 3,77                      | 0,0098    |
| K    | 2,12              | 0,75                     | 0,86                         | 2,46                      | 0,0136    |
| Rb   | 1,85              | 0,70                     | 0,81                         | 2,15                      | 0,0145    |
| Cs   | 1,59              | 0,65                     | 0,75                         | 1,84                      | 0,0165    |
| Cu   | 7,00              | 1,36                     | 1,57                         | 8,16                      | 0,0166    |
| Ag   | 5,49              | 1,20                     | 1,39                         | 6,38                      | 0,0193    |
| Au   | 5,53              | 1,21                     | 1,40                         | 6,42                      | 0,0208    |
| Be   | 14,3              | 1,94                     | 2,25                         | 16,6                      | 0,0094    |
| Mg   | 7,08              | 1,36                     | 1,58                         | 8,23                      | 0,0112    |
| Ca   | 4,69              | 1,11                     | 1,28                         | 5,44                      | 0,0205    |
| Sr   | 3,93              | 1,02                     | 1,18                         | 4,57                      | 0,0228    |
| Al   | 11,7              | 1,75                     | 2,03                         | 13,6                      | 0,0068    |

Այժմ հաշվենք էլեկտրոնային համակարգի ներքին էներգիան հիմնական վիճակում:

$$U_0 = 2 \sum_{k \leq k_F} \frac{\hbar^2 k^2}{2m}, \quad (2.14)$$

որտեղ 2 գործակիցը պայմանակիրված է էլեկտրոնային սպինի երկու հնարիսվոր կառմնորդումով:

Ընդհանրապես

$$\sum_k F(k) \quad (2.15)$$

անսրի գումարը կարելի է հաշվել, կատարելով անցում ինտեգրալի (Մաս I, III.6.12): Եթե  $F(k)$  ֆունկցիան ( $2\pi/L$ ) կարգի հետավորությունների վրա եապես չի փոփոխվում, ապա (2.15) գումարը կարելի է ներկայացնել

$$\sum_k F(k) \Rightarrow \int F(k) \cdot \frac{dk}{(\Delta k)} , \quad (2.16)$$

անսրով, որսեղ  $(\Delta k) = (2\pi)^3/V$  մեծորյունը մեկ քոյլատրելի  $k$ -ին բաժին ընկնող ծավալն է  $k$ -տարածության մեջ: Ալդապես, կատարելով անցում այսպես կոչված թերմոդինամիկական սահմանին ( $V \rightarrow \infty$ ,  $N \rightarrow \infty$ ,  $N/V < \infty$ ), կստանանք՝

$$\lim_{V \rightarrow \infty} \frac{1}{V} \sum_k F(k) = \int \frac{dk}{8\pi^3} F(k) : \quad (2.17)$$

(2.14) և (2.17) բանաձևերից հիմնական վիճակի էներգիայի համար կստանանք՝

$$U_0 = 2 \cdot \frac{V}{(2\pi)^3} \int_0^{k_F} \frac{\hbar^2 k^2}{2m} \cdot 4\pi k^2 dk = \frac{V \hbar^2 k_F^5}{10\pi^2 m} = \frac{3}{5} N \varepsilon_F : \quad (2.18)$$

Մեկ մասնիկին բաժին ընկնող էներգիան՝

$$\bar{\varepsilon} = \frac{U_0}{N} = \frac{3}{5} \varepsilon_F : \quad (2.19)$$

Այս էներգիան մետաղների անտորյան մեջ խաղում է նոյն կարևոր դերը, ինչ որ  $\bar{\varepsilon} = 3k_B T/2$  էներգիան՝ դասական վիճակագրության մեջ:

Ֆերմիի էներգիային կարելի է համապատասխանության մեջ դնել ֆերմիի ջնրմաստիճանը՝

$$T_F = \frac{\varepsilon_F}{k_B} : \quad (2.20)$$

Եթե  $\varepsilon_F$  էներգիան արտահայտենք ԷՎ-երով, ապա  $T_F$  ջնրմաստիճանի համար կստանանք՝

$$T_F \cong \varepsilon_F (\text{ԷՎ}) \cdot 1,16 \cdot 10^4 \text{K} : \quad (2.21)$$

$T_F$ -ը կարելի է մեկնարանել որպես ջերմաստիճան, որի դեպքում դասական զազի մասնիկի միջին ջերմային էներգիան հավասարվում է ֆերմիի էներ-

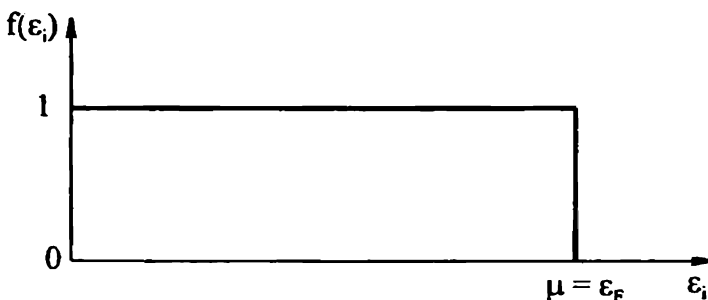
զիային: Ակտիվայա է, որ  $T_F$ -ը ոչ մի կապ չունի էլեկտրոնային գազի ջերմաստիճանի հետ, որը բնարկվող դեպքում հավասար է զրոյի: Ինչպես եթեում է Աղյուսակ VII.1-ից,  $T_F$ -ի բնորբագրուսկան արժեքներն ընկած են  $10^4 \div 10^5 \text{ K}$  ակտիվություն:

Կարենոր հետևողություն կարելի է անել մետաղի հալման ( $T_m$ ) և Ֆերմիի ջերմաստիճանների համեմատությունից: Մետաղների մեծ մասի համար  $T_m/T_F$  հարաբերությունը  $10^{-2}$  կարգի մեծություն է (տես Աղյուսակ VII.1), ուստի էլեկտրոնային գազի հատկությունները էլեկտրոնների ջերմային շարժումով պայմանավորված միայն փոքր փոփոխարժյուններ կարող են կրկի:

Աղյուսակ VII.1-ից հետևում է նաև, որ Ֆերմիի արագությունը լուսի արագության  $1\%-ի$  կարգի մեծություն է: Այն մուս 10 անգամ զերազանցում է դասական անսությամբ սենյակային ջերմաստիճաններում ( $T \sim 300 \text{ K}$ ) էլեկտրոնի միջին արագությունը:

Այժմ ուսումնաբիրներ (1.3) բաշխման ֆունկցիան  $T \rightarrow 0 \text{ K}$  դեպքում:

Եթե  $\varepsilon_i \leq \mu$ ,  $f(\varepsilon_i) = 1$ , իսկ եթե  $\varepsilon_i > \mu$ ,  $f(\varepsilon_i) = 0$ : Սա համարժեք է մեզ արդյուն ծանոր իրադրությանը, եթե  $\varepsilon_i \leq \varepsilon_F$  էներգիաներով բոլոր մակարդակները զբաղեցված են, իսկ  $\varepsilon_i > \varepsilon_F$  էներգիաներով մակարդակները՝ ազատ: Հետևաբար, քիմպուանցիալը՝  $\mu(T) \rightarrow \varepsilon_F$ , եթե  $T \rightarrow 0 \text{ K}$ :



Նկ. VII.2

Նկ. VII.2-ում պատկերված է բաշխման ֆունկցիայի գրաֆիկը  $T = 0 \text{ K}$ -ում (Ֆերմիի «աստիճանը»): (1.3) բանաձևի փոխարեն  $T = 0 \text{ K}$ -ում

բաշխման ֆունկցիան կարելի է ներկայացնել միավոր բոփչի ֆունկցիայի միջոցով՝

$$f(\varepsilon_i) = \theta(\varepsilon_F - \varepsilon_i) = \begin{cases} 1, & \varepsilon_i < \varepsilon_F \\ 0, & \varepsilon_i > \varepsilon_F \end{cases} : \quad (2.22)$$

$T = 0\text{K}$  վիճակում գտնվող Լեկտրոնային զազն անվանում ևն լրիվ այլասերված, նշելով այն վիաստը, որ այդպիսի զազի հասկությունները հիմնավորապես տարրերվում ևն դասական Լեկտրոնային զազի հասկություններից:

### §3. Էլեկտրոնային զազը գրոյից տարրեր ջերմաստիճաններում

Այժմ պարզենք Լեկտրոնային զազի թիրմողինամիկական բնորագրերի կախումը զազի ջերմաստիճանից: Այդ նպատակով հաշվենք Լեկտրոնային զազի ներքին էներգիան:

Անկախ Լեկտրոնների մոտավորությամբ համակարգի ներքին էներգիան հավասար է բոլոր մակարդակներում գտնվող էլեկտրոնների ներգիաների գումարին՝

$$U = 2 \sum_k \varepsilon(k) f(k) , \quad (3.1)$$

որտեղ  $2f(k)$  մեծորյունը  $\varepsilon(k)$  ներգիայով Լեկտրոնների միջին թիվն է: Բաշխման ֆունկցիայի կախումը  $k$ -ից արտահայտվում է ներգիայի միջոցով, ընդ որում բվանտային բվերի  $i$  հավաքածուն բաղկացած է  $k_x, k_y, k_z$  մեծորյուններից և միարժեքորեն որոշում է  $\varepsilon(k)$  ներգիայով մակարդակը (Էլեկտրոնի բվանտային վիճակը որոշելու համար անհրաժեշտ է աալ նաև սպինային բվանտային թիվը): Խերմողինամիկական սահմանում

$$U = \frac{V}{4\pi^3} \int \varepsilon(k) f(\varepsilon(k)) dk : \quad (3.2)$$

Մասնիկների թիվի համար գրված (1.4) արտահայտությունը կրնդունի հետևյալ սենյառ՝

$$N = \frac{V}{4\pi^3} \int f(\varepsilon(k)) dk : \quad (3.3)$$

Քանի որ (3.2) և (3.3) բանաձևերում ընդիմական գրալ արսակահայտությունները կախված են  $\varepsilon(k)$ -ից, նպատակահարմար և վիճակների քիվը նույնպես արտահայտել է ներգիշայի միջոցով:

Նշանակենք  $G(\varepsilon)$ -ով վիճակների խտության ֆունկցիան, այսինքն՝ միավոր 1.6 ներգիշայի ափություն վիճակների քիվը:  $\varepsilon, \varepsilon + d\varepsilon$  տիրություն վիճակների քիվը հավասարեցնելով  $k, k + dk$  ափություն վիճակների քվին, կստանանք՝

$$G(\varepsilon)d\varepsilon = \frac{V}{4\pi^3} k^2 dk \int_{(4\pi)} d\Omega = \frac{V}{\pi^2} k^2 dk : \quad (3.4)$$

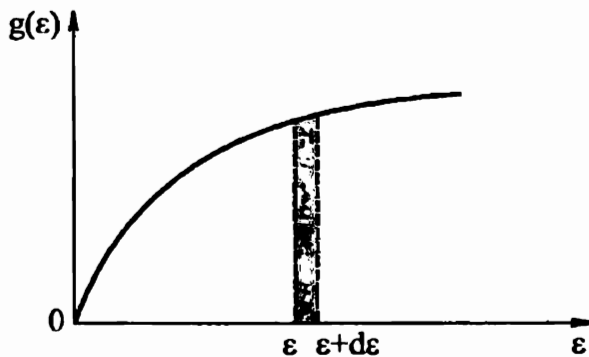
Նկատի ունենայով (2.4) դիսպերսիայի օրենքը, վիճակների խտության ֆունկցիայի համար կստանանք՝

$$G(\varepsilon) = \frac{Vm}{\pi^2 \hbar^2} k = \frac{Vm}{\pi^2 \hbar^2} \left( \frac{2m\varepsilon}{\hbar^2} \right)^{1/2} \equiv V \cdot A \varepsilon^{1/2}, \quad (3.5)$$

որուեղ

$$A = \frac{1}{2\pi^2} \left( \frac{2m}{\hbar^2} \right)^{3/2} : \quad (3.6)$$

$G(\varepsilon)$  ֆունկցիայի համար ստացված  $\varepsilon^{1/2}$  կախումը պայմանավորված և միմիայն (2.4) դիսպերսիայի օրենքով և ոչ մի առնչություն չունի վիճակագրության հետ:  $G(\varepsilon)$ -ի միջոցով և արտահայտվում համակարգի միավոր



Նկ. VII.3

ծավալին բաժին ընկնող վիճակների խտության ֆունկցիան՝

$$g(\varepsilon) = \frac{G(\varepsilon)}{V} = A \varepsilon^{1/2}, \quad (3.7)$$

որի գրաֆիկը պատկերված է նկ. VII.3-ում: Միավոր ծավալին բաժին ընկնող վիճակների թիվը  $\varepsilon, \varepsilon + d\varepsilon$  տիրույթում հավասար է նկ. VII.3-ում ընդգծված մակերեսին:

Արտազրկենք այժմ (3.2) և (3.3) արտահայտությունները, օգտագործելով (3.5) և (3.7) բանաձևերով որտշված ֆունկցիաները.

$$U = \int_0^{\infty} \varepsilon f(\varepsilon) G(\varepsilon) d\varepsilon, \quad (3.8)$$

$$N = \int_0^{\infty} f(\varepsilon) G(\varepsilon) d\varepsilon: \quad (3.9)$$

Ներքին և ներզիայի խտությունը տրվում է

$$u = \frac{U}{N} = \frac{1}{V} \int_0^{\infty} \varepsilon f(\varepsilon) g(\varepsilon) d\varepsilon, \quad (3.10)$$

իսկ էլեկտրոնների կոնցենտրացիան՝

$$n = \int_0^{\infty} f(\varepsilon) g(\varepsilon) d\varepsilon \quad (3.11)$$

բանաձևերով: (3.8)-(3.11) բանաձևերում  $f(\varepsilon)$ -ն Ֆերմի-Դիրակի բաշխման ֆունկցիան է՝

$$f(\varepsilon) = \frac{1}{e^{(\varepsilon - \mu)/k_B T} + 1}: \quad (3.12)$$

Գրված ինտեգրալները հաշվելու համար նախ ուսումնասիրենք  $f(\varepsilon)$  ֆունկցիայի վարը:

Ինչպես հետևում է (3.12) արտահայտությունից,  $f(\varepsilon)$ -ն էապես վոլֆում է  $\mu - k_B T \leq \varepsilon \leq \mu + k_B T$  տիրույթում, ընդունելով  $\varepsilon = \mu$  կետում  $1/2$  արժեքը:  $T = 0\text{K}$ -ում  $\varepsilon = \mu(0) = \varepsilon_F$  արժեքին համապատասխանող կտրուկ «աստիճանը» լրողվում է, ընդ որում լրողման չափը  $k_B T$ -ի կարգի է (նկ. VII.4): Սա նշանակում է, որ  $\varepsilon \leq \mu$  և ներզիայով վիճակները մասամբ

դատարկվում են, իսկ  $\varepsilon \geq \mu$  վիճակները՝ մասամբ լրացվում էներոպի. Զերմաստիճանից կախված փոփոխվում է նաև  $\mu(T)$  սահմանային էներգիան, սակայն ինչպես ցույց կատար ստորև,  $k_B T \ll \varepsilon_F$  դեպքում բավարար ճշգրտությամբ կարելի է ընդունել  $\mu(T) \approx \mu(0) = \varepsilon_F$ :

Բաշխման ֆունկցիայի ածանցյալը արվում է

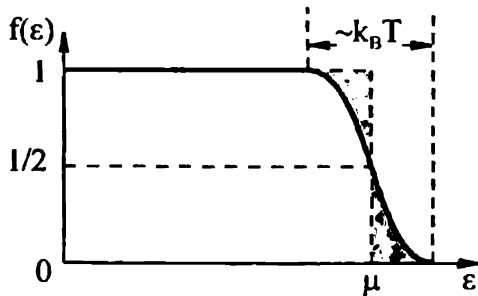
$$-\frac{\partial f}{\partial \varepsilon} = \frac{1}{k_B T} \cdot \frac{e^{(\varepsilon - \mu)/k_B T}}{\left[ e^{(\varepsilon - \mu)/k_B T} + 1 \right]^2} = \frac{1}{4k_B T} \cdot ch^{-2} \left( \frac{\varepsilon - \mu}{2k_B T} \right) \quad (3.13)$$

արտահայտությամբ, որը  $(\varepsilon - \mu)$ -ի զույգ ֆունկցիա է (նկ. VII.5): Այն ունի սուր մաքսիմում  $\varepsilon = \mu$  կետում, որի մեծությունը հավասար է  $(4k_B T)^{-1}$ : Քանի որ (3.13) արտահայտության ինտեգրալն իստ է  $\varepsilon$ -ի՝

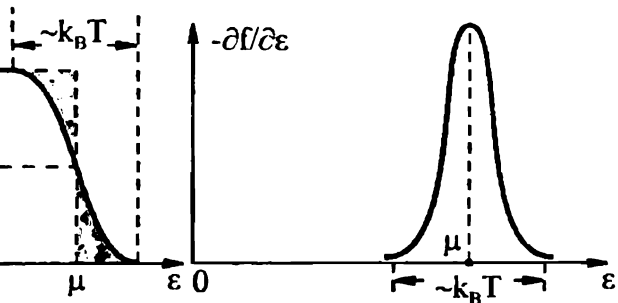
$$-\int_0^{\varepsilon} \frac{\partial f}{\partial \varepsilon} d\varepsilon = f(0) - f(\infty) = \frac{1}{e^{-\mu/k_B T} + 1} \approx 1 \quad (3.14)$$

$k_B T \ll \mu$  դեպքում, ապա եթե  $T \rightarrow 0$ ,  $-\partial f/\partial \varepsilon$  ֆունկցիան իրեն պահում է որպես «դելտա»-ֆունկցիա՝

$$-\frac{\partial f}{\partial \varepsilon} = \delta(\varepsilon_F - \varepsilon) : \quad (3.15)$$



Նկ. VII.4



Նկ. VII.5

Այսպիսով, բաշխման ֆունկցիան էապես փոփոխվում է միայն  $\mu$ -ի շուրջն ընկած  $k_B T$ -ի կարգի տիրություն: Նկատի տեսնալով  $f(\varepsilon)$ -ի և  $f'(\varepsilon)$ -ի նշված հատկությունները, սատանանք հաշվարկային բանաձև

$$I = \int_0^{\infty} f(\varepsilon) \frac{\partial F}{\partial \varepsilon} d\varepsilon \quad (3.16)$$

տեսքի ինտեգրալի համար, որպես  $F(\varepsilon)$  ֆունկցիան բավարարում է հետևյալ պայմաններին՝

- ա) եթե  $\varepsilon \rightarrow 0$   $F(\varepsilon)$ -ն կարող է աճել ոչ արագ, բայց  $\varepsilon^{1-\alpha}$  ( $0 < \alpha < 1$ ),  
 բ) եթե  $\varepsilon \rightarrow \infty$   $F(\varepsilon)$ -ն կարող է աճել ոչ արագ, բայց  $\exp(\varepsilon/k_B T)$ -ը, (3.17)  
 որոնք ավահովում են (3.16) ինտեգրալի զուգամիտորյունը: (3.16) ինտեգրալում կատարելով մասերով ինտեգրում և ստացված ինտեգրալում տեղադրելով  $\varepsilon = \mu$  կստի շուրջ  $F(\varepsilon)$  ֆունկցիայի ժնյալորի շարքը՝

$$F(\varepsilon) = F(\mu) + (\varepsilon - \mu)F'(\mu) + \frac{1}{2}(\varepsilon - \mu)^2 F''(\mu) + \dots, \quad (3.18)$$

կստանանք՝

$$I = L_0 F(\mu) + L_1 F'(\mu) + L_2 F''(\mu) + \dots, \quad (3.19)$$

որտեղ

$$L_n = -\frac{1}{n!} \int_0^{\infty} (\varepsilon - \mu)^n \frac{\partial f}{\partial \varepsilon} d\varepsilon, \quad n = 0, 1, 2, \dots : \quad (3.20)$$

Օգտվելով (3.13) արտահայտությունից և անցնելով ինտեգրման  $z = (\varepsilon - \mu)/k_B T$  փոփոխականի, կստանանք՝

$$L_n = \frac{(k_B T)^n}{n!} \int_{-\infty}^{\infty} \frac{z^n dz}{(e^z + 1)(1 + e^{-z})} = C_n (k_B T)^n, \quad (3.21)$$

եթե  $n$ -ը զույգ է: Կենտ  $n$ -երի դեպքում բնդինտեգրալ ֆունկցիան կենտ է, և  $L_n = 0$ :  $C_n$  գործակիցները մեկի կարգի թվեր են. այսպես, օրինակ՝

$$C_0 = 1, \quad C_2 = \frac{\pi^2}{6}, \quad C_4 = \frac{7\pi^4}{360}: \quad (3.22)$$

(3.18)-(3.22) բանաձևերից (3.16) ինտեգրալի համար ստանում ենք հետևյալ ասիմպտոտական վերլուծությունը՝

$$I = \int_0^\infty f(\varepsilon) \frac{\partial F}{\partial \varepsilon} d\varepsilon = F(\mu) + \frac{\pi^2}{6} (k_B T)^2 F''(\mu) + \frac{7\pi^4}{360} (k_B T)^4 F'''(\mu) + \dots \quad (3.23)$$

Այժմ հաշվենք թիմպուէնցիալը, օգտվելով նորմավորման պայմանից, զրված (3.11) տեսքով: Համեմատելով վերջինս (3.16) առնչության հետ, կորոշենք  $F(\varepsilon)$  ֆունկցիան՝

$$\frac{\partial F}{\partial \varepsilon} = g(\varepsilon), \quad F(\varepsilon) = \int_0^\varepsilon g(\varepsilon') d\varepsilon': \quad (3.24)$$

Քանի որ մասնիկների խառնքումը  $T$ -ից անկախ տրված մեծություն է, ապա նույնապահակարմաք է (3.11) պայմանի ձևիս մասում  $n$ -ի փոխարեն գրել (3.23) ինաւեզրալի արժեքը  $T=0K$  դեպքում, երբ բաշխման ֆունկցիան սրվում է (2.22) բանսածեով, այսինքն՝

$$\int_0^{\varepsilon_F} g(\varepsilon) d\varepsilon = \int_0^{\mu} g(\varepsilon) d\varepsilon + \frac{\pi^2}{6} (k_B T)^2 g'(\mu) + O(T^4) \quad (3.25)$$

Կամ

$$0 = (\mu - \varepsilon_F) g(\varepsilon_F) + \frac{\pi^2}{6} (k_B T)^2 g'(\varepsilon_F), \quad (3.26)$$

որտեղից կորոշենք թիմիական սպոտենցիալը՝

$$\mu = \varepsilon_F - \frac{\pi^2}{6} \cdot \frac{g'(\varepsilon_F)}{g(\varepsilon_F)} (k_B T)^2 : \quad (3.27)$$

Այս բանաձևից կարենի է օգտվել նաև անկախ էլեկտրոնների այլ մողեների դեպքում, երբ դիսպերսիայի օրենքը քառակուսային չէ:

Ազատ էլեկտրոնների համար (3.7) և (3.6) առնչություններից հետևում է, որ

$$g(\varepsilon_F) = \frac{1}{2\pi^2} \left( \frac{2m}{\hbar^2} \right)^{3/2} \varepsilon_F^{1/2} = \frac{3n}{2\varepsilon_F}, \quad (3.28)$$

$$g'(\varepsilon_F) = \frac{g(\varepsilon_F)}{2\varepsilon_F}, \quad (3.29)$$

$$\mu = \varepsilon_F \left[ 1 - \frac{\pi^2}{12} \left( \frac{k_B T}{\varepsilon_F} \right)^2 \right]; \quad (3.30)$$

Ըստ այս բանաձևի,  $T$ -ի մեծացման հետ մեծ մասնաւում է:  $\mu$ -ի վավերաբանում է:  $(k_B T / \varepsilon_F)^2 = (T / T_F)^2$  մեծությանը և անգամ հազար շերմասսային անգամ  $10^{-4}$  կարգի մեծություն է (այս Ալյոսակ VII.1):

Մետաղի գոյության ամբողջ շերմասսային ափրոյքում մեկ լինիտրոնին բաժին ընկնող շերմային էներգիան՝  $k_B T \ll \varepsilon_F$ : Այս պայմաններում էլեկտրոնային գազը կոչվում է ուժեղ այլասերված:

#### §4. Էլեկտրոնային գազի շերմունակությունը

Մետաղների դասական էլեկտրոնային տեսության համար էլեկտրոնային գազի շերմունակության պրոբլեմը մնաց անլուծելի: Պարադոքսը (դասական տեսության շրջանակներում) կայանում էր հետևյալում: Քանի որ էլեկտրոնների համախումբը դիտվում էր որպես դասական գազ, ապա յուրաքանչյուր էլեկտրոնի բաժինը գազի շերմունակության մեջ պետք է լիներ հավասար  $3k_B/2$ : Մեկ մոլ մետաղում էլեկտրոնների ներդրումը շերմունակության մեջ՝  $C_V'' = ZN_A \cdot (3k_B/2) = 3RZ/2$ , որտեղ  $R$ -ը գազային հաստատունն է, իսկ  $Z$ -ը՝ մետաղի արժեքականությունը: Սենյակային շերմասահմաններում մետաղի լրիվ շերմունակությունը, համաձայն դասական էլեկտրոնային տեսության, պետք է լիներ հավասար

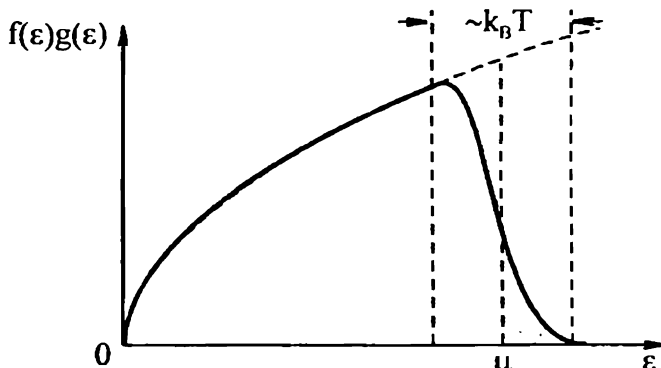
$$C_V'' = C_V''' + C_V'''' = 3R \left( 1 + \frac{Z}{2} \right), \quad (4.1)$$

և, հետևաբար, զգալիորեն տարբերվեր անհաղորդիչ նյութի՝ միայն ցանցային  $C_V''' = 3R$  մոլային շերմունակությունից: Սակայն, ինչպես հետևում է փորձից, և մետաղների, և անհաղորդիչների համար սենյակային շերմասահմաններում տևող ունի Դյուլմագ-Պտիի օրենքը՝  $C_{\text{մետ}} \approx C_{\text{անհ}} \approx 3R$ . Ավելի նույր չափումների համաձայն, մետաղում էլեկտրոնային շերմունա-

կուրյան ներդրումը սենյակային չերմասահճաններում չի գերազանցում  $3R$  արժեքի 1%-ը: Ստացվում է այնպես, որ էլեկտրա- և չերմահաղորդականությանը մասնակցող և կարծես լիկ ազատ շարժվող էլեկտրոնները չերմունակության մեջ ներդրում ինչ-ինչ պատճառներով չեն տալիս:

Պարադոքսն իսկույն բացարկվում է, եթե դասական բաշխման փոխարժեն օգտագործվում է Ֆերմի-Դիրակի բվանային բաշխումը:

Էլեկտրոնային համակարգը տաքացնելիս ջերմային էներգիա կարող է կլանել միայն լրողման տիրույթի էլեկտրոնները, որոնք գտնվում են ազատ վիճակներից  $k_B T$ -ի կարգի հետափորությունների վրա (նկ. VII.6):



Նկ. VII.6

Խորբային էլեկտրոնները չեն կարող կլանել  $k_B T$  մեծությամբ ջերմային էներգիան, քանի որ մոտակա էներգիական մակարդակները զբաղեցված են: Զերմային եղանակով կարող են ակտիվանալ և, այսպիսով, իրենց պահել որպես դասական մասնիկներ միայն  $\mu \approx \varepsilon_F$ -ի շորջ  $k_B T$  տիրությունը ընկած էլեկտրոնները, որոնց թիվը՝

$$\Delta N \sim g(\varepsilon_F) k_B T V \sim k_B T \frac{N}{\varepsilon_F}, \quad (4.2)$$

խակ էլեկտրոնային զագի ներբին էներգիայում նրանց ներդրումը՝

$$\Delta U \sim \Delta N \cdot k_B T \sim \frac{N}{\varepsilon_F} (k_B T)^2 : \quad (4.3)$$

Զերմունակության համար (4.3) արտահայտությունից ստացվում է

$$C_V^\epsilon = \left( \frac{\partial \Delta U}{\partial T} \right)_V \sim N k_B \frac{T}{T_F}, \quad (4.4)$$

զնահատականը, որի համաձայն էլեկտրոնային ջերմունակությունը կազմում է դասական տեսությամբ արվող  $\sim N k_B$  արժեքի  $T / T_F$  մասը: Մասնավորապես, սենյակային ջերմաստիճանում՝  $T \sim 300\text{K}$ ,  $T / T_F \sim 0,01$ :

Այժմ ստանանք էլեկտրոնային ջերմունակության համար ճշգրիտ արտահայտություն  $k_B T \ll \epsilon_F$  տիրույթում: Այդ նպատակով հաշվենք էլեկտրոնային գազի ներքին էներգիան: (3.8) և (3.23) բանաձևերի համաձայն՝

$$U = \int_0^\mu \epsilon G(\epsilon) d\epsilon + \frac{\pi^2}{6} (k_B T)^2 \cdot \frac{d}{d\epsilon} [\epsilon G(\epsilon)]_{\epsilon=\mu} + \dots, \quad (4.5)$$

որտեղ, պահելով  $T^2$ -ն եամեմատական բոլոր անդամները, կստանանք՝

$$\begin{aligned} U &= \int_0^{\epsilon_F} \epsilon G(\epsilon) d\epsilon + \int_{\epsilon_F}^\mu \epsilon G(\epsilon) d\epsilon + \frac{\pi^2}{6} (k_B T)^2 \mu G'(\mu) + \frac{\pi^2}{6} (k_B T)^2 G(\mu) + \dots \approx \\ &\approx U_0 + \epsilon_F \left[ (\mu - \epsilon_F) G(\epsilon_F) + \frac{\pi^2}{6} (k_B T)^2 G'(\epsilon_F) \right] + \frac{\pi^2}{6} (k_B T)^2 G(\epsilon_F) + O(T^4). \end{aligned} \quad (4.6)$$

Քանի որ  $\mu - \epsilon_F \sim T^2$  և  $G'(\mu)$ -ի զործակիցը նույնպես  $T^2$  կարգի է, ապա բառակոտական փակազգեթափ  $G(\mu)$ -ի և  $G'(\mu)$ -ի արգամենտը վախարինված է  $\epsilon_F$ -ով: Նկատի ունենալով նաև (3.26) հավասարությունը, կստանանք՝

$$U = U_0 + \frac{\pi^2}{6} (k_B T)^2 G(\epsilon_F) : \quad (4.7)$$

Ջերմունակությունը՝

$$C_V^\epsilon = \left( \frac{\partial U}{\partial T} \right)_V = \frac{\pi^2}{3} k_B^2 G(\epsilon_F) \cdot T \quad (4.8)$$

կամ, նկատի ունենալով (3.28) և (3.7) բանաձևերը,

$$C_V^\epsilon = \frac{\pi^2}{2} N k_B \frac{k_B T}{\epsilon_F} = \frac{\pi^2}{2} N k_B \frac{T}{T_F}, \quad (4.9)$$

որը որակական գնահատումով ստացված (4.4) արտահայտությունից տարբերվում է ընդամենը թվային գործակցով:

Մոլային ջերմունակության համար (4.9) բանաձևից կստանանք՝

$$C_V^{\mu} = \gamma T , \quad \gamma = \frac{\pi^2 N_A k_B Z}{2T_F} = \frac{\pi^2 RZ}{2T_F} : \quad (4.10)$$

Ցածր ջերմաստիճաններում, եթե  $T \ll T_D$  ( $T_D$ -ն Դեբայի ջերմաստիճանն է), մետաղի ջերմունակությունը կարելի է ներկայացնել էլեկտրոնային և ցանցային ջերմունակությունների գումարի տեսքով՝

$$C_V^{\mu} = \gamma T + AT^3 , \quad (4.11)$$

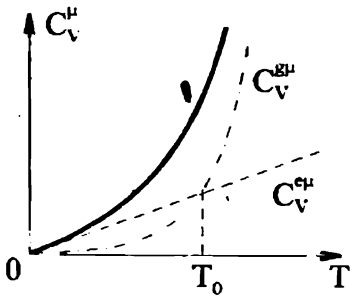
որտեղ  $A$  հաստատունը արտահայտվում է  $T_D$ -ի միջոցով (Սա 1, IV.4.38)՝

$$A = \frac{12\pi^4}{5} \cdot \frac{R}{T_D^5} : \quad (4.12)$$

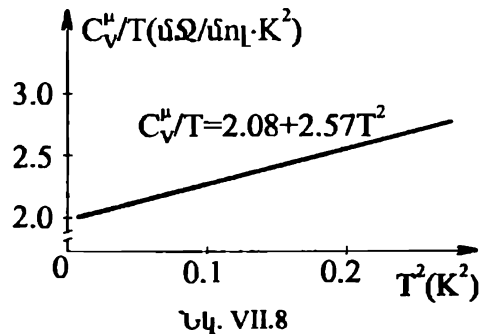
Ներմուծենք  $T_0$  ջերմաստիճանը, որի դեպքում էլեկտրոնային և ցանցային ջերմունակությունները հավասարվում են (նկ. VII.7):

$$T_0 = \left( \frac{\gamma}{A} \right)^{1/2} = \left( \frac{5}{24\pi^2} \right)^{1/2} Z^{1/2} T_D \left( \frac{T_D}{T_F} \right)^{1/2} \simeq 0,145 T_D \left( \frac{T_D}{T_F} \right)^{1/2} Z^{1/2} : \quad (4.13)$$

Եթե  $T < T_0$ , ջերմունակության մեջ գերակշռում է զծային անդամը, իսկ  $T > T_0$  դեպքում՝ խորանարդայինը:  $T_0$ -ի արժեքները մի շարք մետաղների համար բերված են Աղյուսակ VII.2-ում: Սետադների մեծ մասի համար  $T_0$ -ն մի քանի կելվինի կարգի մեծություն է:



Նկ. VII.7



Նկ. VII.8

| Տարր | Z | $T_D$ | $T_D / T_F$ | $T_0$ | $\gamma, \text{մ.Զ.մոլ}^{-1} \text{K}^2$ |       | $m_h/m$ |
|------|---|-------|-------------|-------|--|-------|---------|
|      |   |       |             |       | անս.                                     | վործ. |         |
| Li   | 1 | 344   | 0,079       | 3,9   | 0,74                                     | 1,76  | 2,3     |
| Na   | 1 | 158   | 0,065       | 1,5   | 1,09                                     | 1,47  | 1,3     |
| K    | 1 | 91    | 0,061       | 0,8   | 1,67                                     | 1,97  | 1,2     |
| Rb   | 1 | 56    | 0,051       | 0,4   | 1,93                                     | 2,43  | 1,3     |
| Ag   | 1 | 225   | 0,059       | 1,9   | 0,63                                     | 0,67  | 1,1     |
| Au   | 1 | 165   | 0,051       | 1,2   | 0,63                                     | 0,67  | 1,1     |
| Cu   | 1 | 343   | 0,065       | 3,2   | 0,50                                     | 0,67  | 1,3     |
| Be   | 2 | 1440  | 0,093       | 27    | 0,50                                     | 0,21  | 0,42    |
| Mg   | 2 | 400   | 0,070       | 5,8   | 1,00                                     | 1,34  | 1,3     |
| Sr   | 2 | 147   | 0,057       | 1,7   | 1,80                                     | 3,64  | 2,0     |
| Al   | 3 | 428   | 0,056       | 6     | 0,92                                     | 1,26  | 1,4     |

Փորձում ստացված արժեքները հարմար է մեկնարանել, կառուցելով  $C_V^\mu/T$  մեծության կախումը  $T^2$ -ուց, որն ուղիղ զիծ է: Նրա բերությունը հավասար է (4.11) բանաձևում առկա  $A$  հաստատունին, իսկ ուղղի շարունակությունը  $C_V^\mu/T$  առանցքից հատում է  $\gamma$  -ին հավասար հատված:

Նկ. VII.8-ում պատկերված է  $C_V^\mu/T - \ln T^2$ -ուց կախման զրաֆիկը կալիումի համար:  $A$  հաստատունի միջոցով որոշված Դեբայի ջերմաստիճանի արժեքները որոշ մետաղների համար բերված են Աղյուսակ VII.2-ում:

Փորձում  $\gamma$  գործակիցը չափում է մեծ ճշտությամբ, սակայն տեսական արժեքները երբեմն զգալիորեն տարրերվում են փորձնական արժեքներից: Այդ ասարքերությունը կարելի է վերագրել մետաղում էլեկտրոնի զանգվածի վտվությանը ազատ էլեկտրոնի զանգվածի համեմատությամբ, քանի որ, համաձայն (4.10) առնչության,  $\gamma \sim 1/T_F \sim 1/\varepsilon_F \sim m$  և

$$\frac{\gamma_{ex}}{\gamma} = \frac{m_h}{m} : \quad (4.14)$$

$m_i$  մեծությանը ընդունված է անվանել չերմային արդյունաբար զանգված: Նրա ստրուկտուրայունը ազատ է լեկտրոնի  $m$  զանգվածից պայմանավորված է, այնպիսի գործուներով, որպիսիք են էլեկտրոնի փոխազդեցությունը բյուրեղական սյարքերական դաշտի, ատոմների (իոնների) տատանումների, ինչպես նաև այլ էլեկտրոնների հետ:

### §5. Էլեկտրոնային գազի էլեկտրահաղորդականությունը և չերմահաղորդականությունը

Էլեկտրահաղորդականության և չերմահաղորդականության Զոմերֆիլի սեսության մեջ արկում են նույն ենթադրությունները և օգսվում են նույն լինեարի եավասարումից, ինչ որ Լորենցի էլեկտրոնային տեսության մեջ (տես VI.6):

Տարրերությունը կայանում է նրանում, որ Մարսկել-Բոլցմանի ֆունկցիայի փոխարևեն որպես հավասարակշռական վիճակի բաշխման ֆունկցիա վերցվում է Ֆերմի-Դիրակի բաշխումը, իսկ ազատ վազքի երկարությունը, որը Լորենցի աեսության մեջ տրվում է (VI.7.9) բանաձևով, կատարում է աեսության պարամետրի դեր: Այն ընդհանուր դեպքում կախված է էլեկտրոնի էներգիայից՝  $I = I(\varepsilon)$  և կարող է որոշվել տեսական և փորձնական տվյալների համեմատումից:

Արտաքին էլեկտրական դաշտի և չերմաստիճանային գրադիենտի առկայությամբ բաշխման ֆունկցիայի անհավասարակշռական մասի համար կարելի է գրել

$$f_1(r, v) = v_x \cdot \chi(v), \quad (5.1)$$

որտեղ  $\chi(v)$ -ն տրվում է (VI.7.10) բանաձևով՝

$$\chi(v) = -\frac{l}{v} \left( -\frac{eE}{mv_x} \frac{\partial f_0}{\partial v_x} + \frac{\partial f_0}{\partial x} \right); \quad (5.2)$$

Հավասարակշռական  $f_0$  ֆունկցիան  $v_x$ -ից կախված է էներգիայի միջոցով, ուսափ

$$\frac{\partial f_0}{\partial v_x} = mv_x \frac{\partial f_0}{\partial \varepsilon}, \quad (5.3)$$

և, հետևաբար՝

$$\chi(\varepsilon) = -\frac{l(\varepsilon)}{v} \left( -eE \frac{\partial f_0}{\partial \varepsilon} + \frac{\partial f_0}{\partial x} \right) : \quad (5.4)$$

Հոսանքի խտությունը՝

$$j_x = -\frac{e}{V} \cdot 2 \sum_k v_x(k) f(k) : \quad (5.5)$$

Կատարելով (2.17) առնչության միջոցով անցում ըստ  $k$ -ի գումարից ինտեգրալի և օգտվելով (VI.7.14) և (5.4) բանաձևերից, կստանանք՝

$$j_x = -\frac{e^2 E}{3} \int_0^\infty v l(\varepsilon) \frac{\partial f_0}{\partial \varepsilon} g(\varepsilon) d\varepsilon + \frac{e}{3} \int_0^\infty v l(\varepsilon) \frac{\partial f_0}{\partial x} g(\varepsilon) d\varepsilon : \quad (5.6)$$

Նման ձևով ջերմային հոսքի խտության համար ստանում ենք

$$q_x = \frac{meE}{6} \int_0^\infty v^3 l(\varepsilon) \frac{\partial f_0}{\partial \varepsilon} g(\varepsilon) d\varepsilon - \frac{m}{6} \int_0^\infty v^3 l(\varepsilon) \frac{\partial f_0}{\partial x} g(\varepsilon) d\varepsilon \quad (5.7)$$

արտահայտությունը:  $g(\varepsilon)$ -ն տրվում է (3.7)-(3.6) բանաձևերով:

Այժմ ստանանք էլեկտրահաղորդականության գործակցի արտահայտությունը Զոմերֆելի անտուրյան շրջանակներում:

### 1. Էլեկտրահաղորդականություն

Դիտարկենք հոսանքը համասեռ, հավասարաչափ տաքացված լարում: Այս դեպքում հավասարակշռական  $f_0$  բաշխման ֆունկցիայի մեջ մտնող  $\mu$  և  $T$  պարամետրերը կախված չեն կոորդինատից, ուստի  $(\partial f_0 / \partial x) = 0$ : Ըստ (5.6) բանաձևի

$$j_x = \sigma E, \quad \sigma = -\frac{e^2}{3} \int_0^\infty v(\varepsilon) l(\varepsilon) g(\varepsilon) \frac{\partial f_0}{\partial \varepsilon} d\varepsilon : \quad (5.8)$$

Էլեկտրահաղորդականության  $\sigma$  գործակցի համար ստացված արտահայտության ինտեգրալի մեջ ներդրում է տայլս միայն  $\varepsilon_F$ -ի մոտ  $k_B T$ -ի կարգի էներգիական տիրույթը, քանի որ նրանից դուրս  $\partial f_0 / \partial \varepsilon$  ածանցյալը հափասար է զրոյի (տես (3.13) և նկ. VII.5): Առաջին մոտավորությամբ այդ ածանցյալը կարելի է փոխարինել «դելտա»-ֆունկցիայով՝

$$\frac{\partial f_0}{\partial \varepsilon} = -\delta(\varepsilon_F - \varepsilon) : \quad (5.9)$$

(5.9) և (5.8) առնչություններից կստանանք՝

$$\sigma = \frac{e^2}{3} v_F l_F g_F = \frac{e^2}{3} v_F l_F \frac{3n}{2\varepsilon_F} = \frac{ne^2 \tau_F}{m} , \quad (5.10)$$

որպես

$$\tau_F = \frac{l_F}{v_F} : \quad (5.11)$$

(« $F$ » իմղերսով նշանակված է տվյալ մեծության՝ ֆերմիի Անդրզիային համապատասխանող արժեքը):

Ստացված (5.10) բանաձևն արաւարուսաւ լրիվ համրնկնում և Դրույդի աեսության մեջ ստացված (VI.2.12) սարսահայտության հետ: Սակայն  $\tau_F$ -ը կախված չէ ջերմաստիճանից, ի տարբերություն (VI.2.12)-ում գրված  $\tau$ -ի, որը, լինելով հակադարձ համեմատական միջին ջերմային արագությանը, կախված է  $T^{-1/2}$ -ից:

(5.10) բանաձևից հետևում է մի կարևոր արդյունք՝

$$\sigma = \frac{ne^2 l_F}{mv_F} \sim n^{2/3} \cdot l_F : \quad (5.12)$$

Սա նշանակում է, որ  $\sigma$ -ի մեջ ներդրած են տալիս ոչ բոլոր էլեկտրոնները, այսինքն՝ ոչ բոլոր ազատ էլեկտրոններն են մասնակցում հաղորդականությանը: Այսպիսով, ի տարբերություն Դրույդի տեսության, որտեղ բոլոր ազատ էլեկտրոնները մասնակցում են հաղորդականության պրոցեսին («ազատ էլեկտրոն» հասկացությունը նույնական է «հաղորդականության էլեկտրոն» հասկացությանը), Զուներֆելդի տեսության մեջ առաջ է զայխ նոր՝ «հաղորդականության էլեկտրոն» հասկացությունը:

## 2. Ջերմահաղորդականություն

Դիտարկներ էլեկտրոններավ սատեղծված ջերմային հոսքը և ստանանք ջերմահաղորդականության գործակցի համար արաւահայտություն:

(5.6) և (5.7) բանաձևերում առկա ( $\partial f_0 / \partial x$ ) ածանցյալը պայմանավորված է ջերմաստիճանային զրադիենտով, ուստի այն կարելի է ներկայացնել

$$\frac{\partial f_0}{\partial x} = \frac{\partial f_0}{\partial T} \cdot \frac{\partial T}{\partial x} \quad (5.13)$$

տեսքով, որտեղ առկա ( $\partial f_0 / \partial T$ ) ածանցյալը նպատակահարմար է արտահայտակ ( $\partial f_0 / \partial \varepsilon$ ) ֆունկցիայի միջոցով: Դժվար չէ համոզվել, որ

$$\frac{\partial f_0}{\partial T} = -\frac{\partial f_0}{\partial \varepsilon} \left( \frac{\varepsilon - \mu}{T} + \frac{\partial \mu}{\partial T} \right) = -\frac{m \nu^2}{2T} \frac{\partial f_0}{\partial \varepsilon} + \frac{\partial f_0}{\partial \varepsilon} \left( \frac{\mu}{T} - \frac{\partial \mu}{\partial T} \right): \quad (5.14)$$

Տեղադրենք (5.13) և (5.14) արտահայտությունները Խոսանքի խտության (5.6) և ջերմային հոսքի խտության (5.7) բանաձևերի մեջ: ( $\partial f_0 / \partial x$ ) -ով անդամները կարելի և գրել մեկ միասնական տեսքով՝

$$\int_0^\infty v' l \frac{\partial f_0}{\partial x} g(\varepsilon) d\varepsilon = \left( \frac{\mu}{T} - \frac{\partial \mu}{\partial T} \right) \frac{\partial T}{\partial x} K_1 - \frac{m}{2T} \frac{\partial T}{\partial x} K_{n+2}, \quad (5.15)$$

որտեղ  $i = 1, 3$ , ինչպես նաև կատարված է նշանակում՝

$$K_i = \int_0^\infty v' l(\varepsilon) \frac{\partial f_0}{\partial \varepsilon} g(\varepsilon) d\varepsilon : \quad (5.16)$$

Ինչպես զիտենք, հաստատված ջերմային հոսքի դեպքում (անս VI.5), անդի ոճի  $j = 0$  պայմանը, որտեղից որոշվում է ներքին (ջերմաէլեկտրական) դաշտի լարվածությունը: (5.6), (5.15) և (5.16) բանաձևերի միջոցով  $j = 0$  պայմանից սահմանվում ենք

$$E = \frac{1}{e} \cdot \frac{\partial T}{\partial x} \left( \frac{\mu}{T} - \frac{\partial \mu}{\partial T} - \frac{m}{2T} \frac{K_3}{K_1} \right) \quad (5.17)$$

արտահայտությունը: Տեղադրելով այն (5.7) բանաձևում և կատարելով որոշ ձևափոխություններ, ջերմային հոսքի համար կսահմանը՝

$$q_x = -\frac{m^2}{12T} \frac{K_3^2 - K_1 K_5}{K_1} \frac{\partial T}{\partial x} = -\kappa \frac{\partial T}{\partial x} \quad (5.18)$$

արտահայտությունը, որտեղից ջերմահաղորդականության գործակիցը՝

$$\kappa = \frac{m^2}{12T} \left( \frac{K_3^2}{K_1} - K_5 \right): \quad (5.19)$$

Այժմ հաշվենք  $K_1$  ինտեգրալները: (5.16) բանաձևում կատարենք մասնաւով ինտեգրում և օգտվենք (3.23) վերլուծությունից՝

$$\begin{aligned} K_1 &= \int_0^{\infty} F_i(\varepsilon) \frac{\partial f_0}{\partial \varepsilon} d\varepsilon = F_i(\varepsilon) f_0(\varepsilon) \Big|_0^{\infty} - \int_0^{\infty} f_0 \frac{\partial F_i}{\partial \varepsilon} d\varepsilon = \\ &= - \left[ F_i(\mu) + \frac{\pi^2}{6} (k_B T)^2 F_i''(\mu) + \dots \right], \end{aligned} \quad (5.20)$$

որտեղ կատարված է

$$F_i(\varepsilon) = v^i l(\varepsilon) g(\varepsilon) \quad (5.21)$$

նշանակումը: Նկատի ռունենալով նաև, որ

$$F_i(\mu) = F_i(\varepsilon_F) + F'_i(\varepsilon_F)(\mu - \varepsilon_F) + O(T^4), \quad (5.22)$$

(5.19) բանաձևից կստանանք՝

$$\kappa = \frac{m^2}{12TK_1} \left\{ A + (\mu - \varepsilon_F)B + \frac{\pi^2}{6} (k_B T)^2 C \right\}, \quad (5.23)$$

որտեղ

$$A = F_3^2(\varepsilon_F) - F_1(\varepsilon_F)F_5(\varepsilon_F), \quad (5.24)$$

$$B = 2F_3F'_3 - F_1F'_5 - F'_1F_5, \quad (5.25)$$

$$C = 2F_3F''_3 - F_1F''_5 - F'_1F_5, \quad (5.26)$$

իսկ  $F'_i, F''_i$  ածանցյալներն ըստ էներգիայի վերցված են  $\varepsilon_F$  կետում:

Համաձայն (5.21) նշանակման,  $A = 0$ : Անմիջական հաշվումներով կարելի է համոզվել, որ նաև  $B = 0$ : Քանի որ (5.23) արտահայտության համարիչը  $T^2$  կարգի է, ապա հայտարարում կարելի է  $K_1$ -ը փոխարինել  $-F_1(\varepsilon_F)$ -ով:  $C$  զործակիցը հաշվելիս պարզվում է, որ  $l(\varepsilon)$ -ի I և II կարգի ածանցյալներն ըստ էներգիայի կրճատվում են, այնպես որ արդյունքում ջերմահաղորդականության զործակցի համար ստացվում է հետևյալ վերջնական արտահայտությունը՝

$$\kappa = \frac{\pi^2}{3} \cdot \frac{n l_F}{m v_F} k_B^2 T : \quad (5.27)$$

Եթե  $T = 0\text{K}$ , ջերմահաղորդականության գործակիցը՝  $\kappa = 0$ , ի տարրերություն էլեկտրահաղորդականության գործակիցի, որը  $T = 0\text{K}$ -ում գրուից տարրեր մեծություն է:

Նշենք մի կարևոր համարմանը: Համաձայն (4.9) բանաձեկի, էլեկտրոնային գազի միավոր ծավալի ջերմունակությունը՝

$$c_v = \frac{C_v}{V} = \frac{\pi^2}{3} k_B^2 g(\varepsilon_F) \cdot T = \frac{\pi^2}{2} \cdot \frac{n k_B^2 T}{\varepsilon_F} = \frac{\pi^2 n k_B^2 T}{m v_F^2} : \quad (5.28)$$

Համեմատելով  $c_v$ -ի այս արտահայտությունը (5.27) բանաձեկի հետ, ստանում ենք

$$\kappa = \frac{1}{3} c_v l_F v_F \quad (5.29)$$

առնչությունը, այսինքն՝ դասական կինետիկ տեսության արդյունքը:

Այս արդյունքն, իհարկե, անսպասելի չէր: Եթե դասական տեսության մեջ ջերմահաղորդականության պրոցեսին մասնակցում են բոլոր մասնիկները, որոնց վերագրվում է  $v$  ջերմային արագություն, ապա քննարկվող դեպքում նույն դերը կատարում են Ֆերմիի մակերևույթի մոտ  $k_B T$ -ին համեմատական էներգիական շերտի էլեկտրոնները, որոնց միջին արագությունը հավասար է  $v_F$ :

(5.27) և (5.10) առնչություններից Վիդեման-Ֆրանցի օրենքի համար ստացվում է

$$\frac{\kappa}{\sigma} = \frac{\pi^2}{3} \left( \frac{k_B}{e} \right)^2 \cdot T : \quad (5.30)$$

արտահայտությունը: Այս արդյունքը, ինչպես արդեն նշվել է, պայմանավորված է այն հանգամանքով, որ մետաղը բնութագրող  $n$  և  $l$  մեծությունները կրճատվում են: (5.30) առնչությունից Լորենցի թվի համար Զոմերֆելդի տեսության մեջ ստացվում է

$$L_s = \frac{\pi^2}{3} \left( \frac{k_B}{e} \right)^2 \quad (5.31)$$

արժեքը, որը միջին հաշվով ավելի լավ և համապատասխանում փորձին, քան Դրուդի տեսության մեջ ստացված  $3(k_B/e)^2$  արժեքը:

Այժմ ստանանք դիֆերենցիալ ջերմաէլշու-ի արտահայտությունը: Համեմատենով (5.17) և (VI.5.12) բանաձևերը, կստանանք՝

$$Q = \frac{1}{e} \left( \frac{\mu}{T} - \frac{\partial \mu}{\partial T} - \frac{m}{2T} \frac{K_3}{K_1} \right); \quad (5.32)$$

Նկատի ունենալով բիմպոտենցիալի (3.30) արտահայտությունը և օգավելով (5.20)-(5.22) բանաձևերից, որոշ ծևափոխություններից հետո  $Q$  գործակցի համար կսահմանանք հետևյալ վերջնական արտահայտությունը՝

$$Q = -\frac{k_B}{e} \cdot \frac{\pi^2}{6} \cdot \frac{k_B T}{\varepsilon_F} \left( 1 + \frac{d \ln l(\varepsilon)}{d \ln v(\varepsilon)} \Big|_{\varepsilon=\varepsilon_F} \right); \quad (5.33)$$

Հարկ է նշել, որ, որպես կանոն, ռելաքսացիայի ժամանակի՝ էներգիայից ունեցած կախաւուն էապես չի ազդում մետաղի հատկությունների վրա: Բացառություն է կազմում ջերմաէլշուն, որի համար գրված (5.33) արտահայտության մեջ բացահայտորեն մասնակցում է  $l'(\varepsilon)$  ածանցյալը: Մասնավորապես, եթե ռելաքսացիայի ժամանակը՝  $\tau = l/v \sim l\varepsilon^{-1/2} \sim \varepsilon^{-1/2}$ , այսինքն,  $l(\varepsilon)$ -ն կախված չէ էներգիայից, ապա

$$Q = -\frac{k_B}{2e} \cdot \frac{\pi^2}{3} \cdot \frac{k_B T}{\varepsilon_F} = Q_D \frac{\pi^2}{3} \cdot \frac{k_B T}{\varepsilon_F}; \quad (5.34)$$

Այս արագահայտությունը Դրայեի տեսությամբ ստացված արդյունքից (տես VI.5.17) հիմնականում տարբերվում է  $k_B T/\varepsilon_F$  գործակցով, որը սենյակային ջերմաստիճաններում  $10^{-2}$  կարգի մեծություն է: (5.34) բանաձևով ստացված արժեքը՝  $Q \sim 10^{-6}$ Վ/Կ, մոտ է փորձում դիտված արժեքներին: Դժվար չէ համոզվել, որ (5.34) արտահայտությունը կարելի է ստանալ նաև (VI.5.16) բանաձևից, նրանում տեղադրելով էլեկտրոնային ջերմունակության (4.8) արտահայտությունը:

## §6. Դասական տեսության մեջ Ֆերմի-Դիրակի քվանտային բաշխման օգտագործման հիմնավորումը

Ինչպես արդեն նշվել է, Զոմերֆելդի էլեկտրոնային տեսության հիմքում ընկած է Լորենցի դասական էլեկտրոնային տեսությունը, որտեղ էլեկտրոնի վիճակը որոշվում է միաժամանակ կոորդինատով և իմպուլսով: Մյուս կողմից, Զոմերֆելդի տեսության մեջ օգտագործվում է Ֆերմի-Դիրակի քվանտային բաշխումը: Հարց է առաջանում, թե որքանով է հիմնավորված նման մոտեցումը:

Հայտնի է, որ էլեկտրոնի շարժման դասական նկարագրությունը հիմնավորված է այն դեպքում, եթե նրա կոորդինատը և իմպուլսը չափվում են այնպիսի ճշտությամբ, որը չի խախտում անորոշությունների առնչությունը:

Մետաղում գտնվող էլեկտրոնի բնութագրական իմպուլսը  $\hbar k_F$ -ի կարգի է, ուստի նրա իմպուլսի  $\Delta p$  անորոշությունը պետք է շատ փոքր լինի  $\hbar k_F$ -ից: Կոորդինատի անորոշությունը պետք է բավարարի

$$\Delta x \sim \frac{\hbar}{\Delta p} >> \frac{\hbar}{\hbar k_F} = \frac{1}{k_F} \sim n^{-1/3} \sim \bar{r} \quad (6.1)$$

անհավասարությանը, որտեղ էլեկտրոնների միջև միջին  $\bar{r}$  հեռավորությունը մի քանի Ա կարգի մեծություն է:

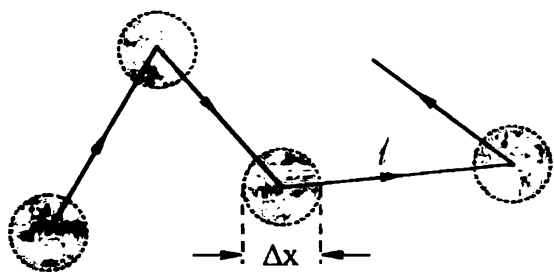
Այսպիսով, դասական նկարագրությունը հիմնավորված է, եթե կոորդինատի անորոշությունը շատ մեծ է ցանցի հաստատմանց: Հետևաբար, չի կարելի դասականորեն նկարագրել միջատոմական հեռավորությունների վրա տեղայնացված էլեկտրոնները: Սակայն մետաղում հաղորդականության էլեկտրոնները կապված չեն որոշակի իոնների հետ, այլ ազատ շարժվում են մակրոսկոպական նմուշում, ուստի նրանց կոորդինատների անորոշության բնութագրական չափը՝  $\Delta x \sim V^{1/3} - L >> \bar{r}$ :

Դրանքի մոդելում էլեկտրոնի կոորդինատների զիտենալը էական է հիմնականում երկու տեսակետից:

1. Եթե մետաղի վրա ազդում է անհամասնո էլեկտրական դաշտ կամ առկա է ջերմաստիճանային գրադիենտ, ապա անհրաժեշտ է տալ էլեկտրոնի կոորդինատներն այնպիսի  $\Delta x$  ճշտությամբ, որը զգալիորեն փոքր է արտաքին ազդակների փոփոխման բնութագրական հեռավորությունից:

Որպես կանոն, այդ բնութագրական հևտավորությունները շատ մեծ են Ա-ներից, ուստի անհրաժեշտ  $\Delta x$ -ի աւականվումը չի բերում իմպուլսի զգակի անորոշության: Օրինակ՝ լուսային ալիքի էլեկտրական դաշտը կազմում է  $\lambda \sim 1000 \text{ \AA}$  ( $\ll \lambda$ ), ապա  $\Delta k \sim 1/\Delta x \sim 10^6 \text{ սմ}^{-1}$ , այն դեպքում, եթե  $n \sim 10^{23} \text{ սմ}^{-3}$  կոնցենտրացիաների դեպքում  $k_F \sim 10^8 \text{ սմ}^{-1} >> \Delta k$ -ից: Սակայն եթե  $\lambda \leq 100 \text{ \AA}$  կարգի մեծություն է, ապա  $\Delta k \sim k_F$  և այս դեպքում պետք է օգտվել բվանային մեխանիկայից:

2. Դրույղի մոդելում անբացախայտորեն հնքաղրվում է, որ էլեկտրոնը կարելի է տեղայնացնել այնպիսի տիրույթներում, որոնց զծային շափերը զգալիորեն փորբ են ազատ վազքի միջին կրկարությունից՝  $\Delta x \ll l$  (նկ. VII.9), այլապես անհմասս է օգտվել բախտմների մասին այսուկերացումից: Նկատի ունենալով  $\Delta x$ -ի բնութագրական արժեքները ( $\Delta x >> a$ -ից ցանցի հասաւառունից), չի կարելի հավատ ընծայել այն դասական դատողություններին, որոնց համաձայն  $l \leq 10 \text{ \AA}$ . Բարե-



Նկ. VII.9

բախտաբար,  $l$  -ը զգալիորեն զերազանցում է բերված արժեքը: Իրոք, օգտվելով  $\tau$ -ի համար բերված (VI.2.15) բանաձևից և որովես բնութագրական էլեկտրոնային արագություն վերցնելով  $v_F$ -ը, ազատ վազքի միջին երկարության համար կստանանք :

$$l = v_F \cdot \tau = \frac{2,7}{\rho_\mu} \left( \frac{n_0}{n} \right)^{2/3} \cdot 10^3 \text{ \AA}: \quad (6.2)$$

Սենյակային ջերմասահիճաններում  $\rho_\mu$  տեսակարար դիմադրությունը մի քանի մկՕհմ-ամ կարգի մեծություն է, իսկ  $n_0/n$  պարամետրը փոփոխվում է  $0,04 \div 1$  տիրույթում, այնպես որ  $l$  -ը հարյուրավոր  $\text{\AA}$ -ների կարգի

մեծություն է: Զերմաստիճանի նվազմանը զուգընթաց  $T$ -ը զգալիորեն աճում է:

Այսպիսով, կան բազմաթիվ երևույթներ, որոնցում և առանձին էլեկտրանի, և էլեկտրոնների համախմբի վարքը կարելի է բավարար ճշտությամբ նկարագրել դասական մեխանիկայով:

## §7. Դասական էլեկարժենային տեսության թերությունները

Դասական էլեկտրոնային աեսությունը հաջողությամբ բացատրում է մետաղների բազմաթիվ ետակություններ: Այն բացահայտ թերությունները, որոնք բնորոշ են Դրույնի տեսությանը, պայմանավորված են էլեկտրոնային զազը դասական վիճակագրության օգնությամբ նկարագրելու փաստով: Այս հանգամանքով է պայմանավորված զերմունակության սլարադրսը, երբ էլեկարժենային զերմունակությունը մուս երկու կարգով փոքր է ստացվում դասական աեսությամբ կանխատեսված արժեքից, լինչպես նաև զերմականի հաշվարկված արժեքը, որը սենյակային զերմաստիճաններում մոտ երկու կարգով զերազանցում է փորձում դիտվող արժեքները: Ինչպես զիանենք, Չոմերֆելդը հաջողությամբ վերացրեց նշված թերությունները Ֆերմի-Դիրակի վիճակագրության օգտագործումով, սակայն քողեց առանց փոփոխության ազատ էլեկտրոնների մոդելի մյուս հիմնական ենթադրությունները: Այսպիսի մոտեցման հետևանքով ազատ էլեկարժենների Չոմերֆելդի տեսության շրջանակներում ստացվող շատ քանակական արդյունքներ են կասառում են փորձին: Բացի սրանից, Չոմերֆելդի տեսությունը պատասխան չի տալիս մի շարք սկզբունքային հարցերի:

Այժմ նշենք այն հիմնական փաստերը, որոնց բացատրությունը դասական էլեկտրոնային տեսության շրջանակներում ստացվող շատ քանակական արդյունքներ են կասառում են փորձին:

### 1. Էլեկտրահաղորդականության գործակցի զերմաստիճանային կախումը (ստատիկ հաղորդականություն):

Փորձից հայանի է, որ էլեկտրահաղորդականության գործակցը զերմաստիճանից կախված փոփոխվում է: Համաձայն Լորենցի տեսության, այդ կախումը արվում է  $T^{-1/2}$  օրենքով (տև VI.2.21), որը հակասում է փորձին, համաձայն որի բարձր զերմաստիճաններում  $\sigma \sim T^{-1}$  (տեսակարար

դիմադրությունը՝  $\rho \sim T$ ), իսկ ցածր ( $T \ll T_D$ ) ջերմաստիճաններում  $\sigma \sim T^{-5}$  ( $\rho \sim T^5$ ): Փորձում դիտված վարքը բացատրելու համար Զոմեր-Ֆելի տեսության մեջ արիենտականորեն մտցվում է ջերմաստիճանից կախված ոնլարսացիայի ժամանակ:

## 2. Հոլի գործակից

Դասական Լենկուրոնային տեսությունը Հոլի գործակցի համար տալիս է  $R_{II} = -1/e\pi c$  արտահայտությունը, որը կախված չէ ջերմաստիճանից, ոնելարսացիայի ժամանակից և մազնիսական դաշտի լարվածությունից: Փորձում չափված արժեքները նույն կարգի են, ինչ որ  $R_H$ -ի բանաձևից ստացվածները, սակայն վիրձում դիտվում է կախում ինչպես մազնիսական դաշտի լարվածությունից, այնաևս կ ջերմաստիճանից: Որոշ մետաղներում (**Be, Mg, In, Al**) Հոլի գործակիցը դրական է, ինչն ընդհանրապես անհականալի է այս տեսության շրջանակներում:

## 3. Մազնիսադիմացրաւյուն

Տեսության համաձայն, մազնիսական դաշտին ուղղահայաց ուղղությամբ մետաղի դիմադրությունը կախված չէ դաշտի լարվածությունից, ինչը եակառում է վիրձին: Որոշ դեպքերամ (օրինակ՝ **Cu-ի, Ag-ի, Au-ի** համար) դիմադրությունը  $H$ -ից կախված կարող է անվերջ աճել, ընդ որում որոշ դեպքերում էլ այն կախված է դաշտի նկատմամբ նշումի կողմնորոշումից:

Փորձում դիտվում է նաև երկայնական մազնիսադիմացրաւյան ( **$E \parallel H$** ) երևույթը, իսկ դասական տեսության համաձայն այն գոյություն ունենալ չի կարող:

## 4. Ջերմաէլքու

Գործակցի մեծությունը կարգով համընկնում է վիրձի հետ, սակայն նշանը միշտ չէ, որ համընկնում է տեսության կանխասեսածի հետ:

## 5. Վիլենման-Ֆրանցի օրենք

Այս օրենքի բացատրությունը դասական էլեկտրոնային տեսության մեծագույն նվաճումն է: Իրականում այն լավ համապատասխանում է վիրձին սենյակային ջերմաստիճաններում, իսկ եաճախ՝ նաև շատ ցածր (մի քանի **K**) ջերմաստիճաններում: Միշանելյալ ջերմաստիճանների տիրույթում

այն տեղի չունի, և  $\kappa/\sigma T$  մեծությունը կախված է ջերմաստիճանից:

#### 6. Էլեկտրոնային ջերմունակություն

Չոմերքի աւսուրյան կարևոր նվաճումը Լեկտրոնային գազի ջերմունակության սյարադրքի բացատրությունն է: Ջերմունակության գծային օրինակ լավագույնս տեղի ունի աղլալիական մետաղների համար, փոքր ինչ վատ՝ ազնիվ մետաղների և վաս՝ անցումային (**Fe, Mn**) մետաղների համար ( $\gamma$ -ի արժեքը շատ փոքր է անսական արդյունքից), ինչպես նաև **Bi**-ի և **Sb**-ի համար ( $\gamma$ -ի արժեքը շատ մեծ է անսականից):

Նշված, ինչպես նաև մի շարք այլ դժվարությունների հետ մեկտեղ, դասկան Լեկտրոնային աւսուրյան մեջ կան հիմնարար դժվարություններ.

1. Ինչո՞վ է որոշվում հաղորդականության լեկտրոնների քիվը: Տեսության մեջ ներադրվում է, որ բոլոր արժեքական լեկտրոնները դասում են հաղորդականության լեկտրոններ, իսկ մյուս լեկտրոնները մնում են կապված իոնների հետ: Հարց է ծագում, թե ինչո՞ւ և այդպես և ինչպես վարվել այն դևառում, եթե տվյալ մետաղն ունի մի քանի տարրեր արժեքականություն (օրինակ **Fe**):

2. Ինչո՞ւ որոշ տարրեր մետաղներ չեն: Մեկուսիչների գոյության վաստը խառում է վլրն ընտրված վորձառական կանոնի լորջ թերությունների մասին: Ինչո՞ւ, օրինակ, բորը (**B**) մեկուսիչ է, իսկ նրա հարևան այլումինը (**Al**)՝ լավագույն մետաղ, ածխածնի «ալմաստ» տարածելք մեկուսիչ է, իսկ «զրաֆիտ» տարածելք՝ հաղորդիչ:

Նշված դժվարությունների հաղթահարման ուղիներ գտնելու համար աներաժեշտ է մեկ անգամ ևս քննարկել այն մոտավորությունները, որոնք ընկած են դասական լեկտրոնային աւսուրյան հիմքում: Դրանցից հիմնականներն են.

#### ա) Ազատ լեկտրոնների մոտավորություն

Ենթադրվում է, որ իոնների դերը մետաղում անշան է: Նրանք ոչ մի ազդեցություն չեն գործում լեկտրոնների վրա բախտությունների միջև ընկած ժամանակամիջոցում: Իրականում և ‘Էրուժեի, և Չոմերքների մոդելներում իսկ միայն ապահովում են մետաղի լեկտրաջեղոքությունը:

#### բ) Անկախ էլեկտրոնների մոտավորություն

Հաշվի չի առնվում միջելեկտրոնային փոխագոյնությունը:

## զ) Ռեկարսացիայի ժամանակի մուաավորություն

Ենթադրվում է, որ բախման արդյունքը կախված չէ բախման պահին կեկարոնի վիճակից:

Պինդ մարմնի ճշգրիտ տեսություն կառուցելու համար անհրաժեշտ է հրաժարվել օգտագործված մոտավորություններից: Մակայև տեսությունը կառուցելիս կարելի է զգալիորեն առաջ գնալ, եթե սկզբում փորձենք բարելավել ազատ էլեկտրոնների մոտավորության որոշ կողմեր, շարունակելով օգնվել (բ) և (զ) մոտավորություններից:

Դասական էլեկտրոնային սենսորյան դմվարությունների հիմնական պատճառը (ա) մոտավորությունն է, որն իր ենթին, բաղկացած է մի քանի պարզեցումներից:

1. Արհամարիվում է իոնների ազդեցությունը էլեկտրոնների վրա բախումների միջև ընկած ժամանակահատվածում:

2. Չի պարզաբանվում իոնների դերը բախման պրոցեսում:

3. Հաշվի չի առնվամ այն հանգամանքը, որ իոնները, որպես ինքնուրույն դինամիկական օբյեկտներ, կարող են իրենց ներդրումն ունենալ տարբեր ֆիզիկական երևույթներում:

Եթե, օրինակ, չարվեան 2. և 3. պարզեցումները, ապա կարելի է բացատրել Վիդեման-Ֆրանցի օրենքը նաև միջանկյալ ջերմաստիճաններում, ինչպես նաև էլեկտրահաղորդականության ջերմաստիճանային կախումը:

Կարելորագույն նշանակություն ունի 3. պարզեցումից հրաժարվելը, այսինքն՝ իոնների դինամիկական վարքի հաշվառումը: Պարզվում է, որ եթե հաշվի չափանենք իոնների շարժումը («անշարժ իոնների» մոտավորության), ապա անշարժ իոնների ստատիկ դաշտը կարելի է լրիվ հաշվի առնել ազատ էլեկտրոնների մոդելի փոքր ծևափոխության միջացով, ընդ որում այդ տեսության մեջ բախմաններն ընդհանրապես բացակայում են: Իոնների դերը բախմաններում բացահայտվում է միայն նրանց շարժումը հաշվի առնելու շնորհիվ:

## ԳՈՏԻԱԿԱՆ ՏԵՍՈՒԹՅԱՆ ՀԻՄՈՒՆՔՆԵՐԸ

**§1. Էլեկտրանի ալիքային ֆունկցիան պարբերական դաշտում:  
Բլոխի թեորեմը**

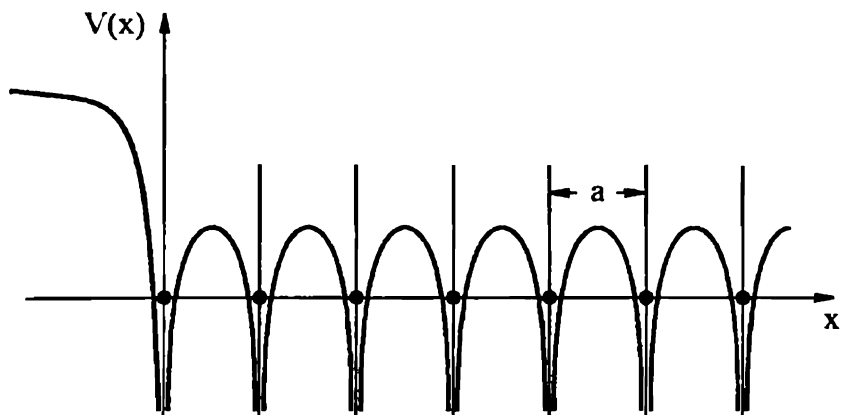
Ազատ էլեկտրոնների մողելը հաջողությամբ բացասարում է մետաղների մի շարք էլեկտրանային հատկություններ, սակայն բազմաթիվ այլ ֆիզիկական հատկություններ այս մողելի շրջանակներում չեն կարող բացարձև: Մասնավորապես, ազատ էլեկտրոնների մողելը չի կարող պատասխանել այն իմանական հարցին, թե ինչո՞ւ որոշ նյութեր բյուրեղական վիճակում հաղորդիչներ են, իսկ մյուսները՝ մեկուսիչներ կամ կիսահաղորդիչներ, որոնց հատկություններն էապես կախված են ջերմաստիճանից:

Մետաղների և մեկուսիչների ֆիզիկական հատկությունների և առանձնապես՝ էլեկտրախաղորդականության, տարբերությունները բացատրելու համար աներաժեշտ է վերանայել ազատ էլեկտրոնների մողելը, առաջին հերթին հաշվի առնելով բյուրեղական մարմնի ամենակիմնական հատկությունը՝ տարածական պարբերականությունը:

Բյուրեղում գտնվող ցանկացած էլեկտրոնի վրա ազդում է բյուրեղի ներքին դաշտը, որը ստեղծվում է տարածական ցանցի հանգույցների շուրջ տատանված լուսների և բյուրեղում առկա բոլոր էլեկտրոնների կազմից: Էլեկտրանի վրա ազդող, ժամանակի ընթացքում միջինացված ներքին բյուրեղական դաշտի պոտենցիալը խորանարդային բյուրեղում, օրինակ՝ <100> ուղղությամբ պատկերված է նկ. VII.1-ում:

Բյուրեղի մակերևայթի մոտ բյուրեղական դաշտի պոտենցիալի պարբերականությունը խախտվում է, ցանցի հաստատունն այդ տիրույթում փոփոխվում է, սակայն ցանցի մի քանի հաստատունի չափով բյուրեղի ծավալի մեջ խորանարդի կարելի է մեծ ճշտությամբ համարել, որ ցանցի հաստատունն այլև չի փոփոխվում (Եթե, ինարկե, ցանցում արատներ չկան):

Հետագա ուսումնասիրություններում կենքաղընք, որ նմուշը բոլոր ուղղություններով օժտված է տարածական պարբերականությամբ, ինչն, իր հերթին, համարժեք է այն ենթադրությանը, որ նմուշն ունի «անվերջ» մեծ



Նկ. VIII.1

տարածական չափեր (Մաս I, I.1):

Այսպիսով, ծագում է հետևյալ եիմնական հարցը. ինչպես է բյուրեղի պարբերական պոտենցիալն ազդում կեկարտնի վիճակի և, դրանով իսկ, բյուրեղի ֆիզիկական հատկությունների վրա: Այլ կերպ ասած, ինչպես են փոփոխվում ազատ էլեկտրոնի քանտային վիճակները բյուրեղի պարբերական պոտենցիալային դաշտի ազդեցուրյան տակ:

Այս հարցին պատասխանելու համար նախ և առաջ անհրաժեշտ է պարզել էլեկտրոնի վիճակը նկարագրող ալիքային ֆունկցիայի վարքը պարբերական դաշտում:

Պարզության համար կը նաև նշեմ միաշափ խնդիրը, այսինքն՝ կորոշենք էլեկտրոնի ալիքային ֆունկցիան միաշափ, անսահմանափակ բյուրեղում:

Միաշափ բյուրեղում Շրեդինգերի հավասարումը կարելի է ներկայացնել հետևյալ ընդհանրացված տեսքով՝

$$\frac{d^2\psi}{dx^2} + f(x)\psi = 0 , \quad (1.1)$$

որտեղ

$$f(x) = \frac{2m}{\hbar^2} [\varepsilon - V(x)] , \quad (1.2)$$

$m$ -ը էլեկտրանի զանգվածն է,  $\varepsilon$ -ն՝ էներգիան,  $V(x)$ -ը՝ պարբերական պոտենցիալը (ավելի ճիշտ՝ էլեկտրոնի պոտենցիալ էներգիան պարբերական դաշտում):

Հետագա հաշվարկմերում կօգտվենք միայն պոտենցիալի պարբերականության եատկությունից, այսինքն, կենքաղթենք, որ

$$f(x+a) = f(x), \quad (1.3)$$

որտեղ  $a$ -ն ցանցի հաստատունն է՝ պոտենցիալի տարածական պարբերականության բնութագիրը: Այսպիսի մոտեցման դեպքում ստորև ստացվող արդյունքները կրում են համընդիանուր բնույթ, այսինքն՝ կախված չեն  $f(x)$  ֆունկցիայի ( $V(x)$  պոտենցիալի) կոնկրետ տեսքից:

Ուսումնասիրներ (1.1) հավասարումը: Այն երկրորդ կարգի դիֆերենցիալ հավասարում է, ուստի  $\varepsilon$  պարամետրի ցանկացած արժեքի դեպքում ունի երկու անկախ լուծում՝  $g(x)$  և  $h(x)$ : (1.1) հավասարման ընդհանուր լուծումը կարելի է ներկայացնել այս անկախ լուծումների գծային համակցության տեսքով՝

$$\psi(x) = Ag(x) + Bh(x), \quad (1.4)$$

որտեղ  $A$ -ն և  $B$ -ն հաստատուն գործակիցներ են:  $f(x)$  ֆունկցիայի (1.3) հատկության համաձայն, (1.1) եավասարմանը բավարարում են նաև  $g(x+a)$  և  $h(x+a)$  լուծումները: Քանի որ (1.1) հավասարման ցանկացած լուծում պեաք է արտահայտվի անկախ  $g(x)$  և  $h(x)$  լուծումների միջոցով, ապա կարող ենք գրել՝

$$g(x+a) = \alpha_1 g(x) + \alpha_2 h(x), \quad (1.5)$$

$$h(x+a) = \beta_1 g(x) + \beta_2 h(x), \quad (1.6)$$

որտեղ  $\alpha_1, \alpha_2, \beta_1$  և  $\beta_2$  գործակիցները հաստատուններ են: (1.4)-(1.6) առնչությունների համաձայն՝

$$\psi(x+a) = Ag(x+a) + Bh(x+a) = (\alpha_1 A + \beta_1 B)g(x) + (\alpha_2 A + \beta_2 B)h(x) : \quad (1.7)$$

Այժմ ապացուցենք, որ  $\psi(x+a)$  ֆունկցիան միշտ կարելի է ներկայացնել

$$\psi(x+a) = \lambda\psi(x) \quad (1.8)$$

տեսքով, որտեղ  $\lambda$  հաստատումը պետք է որոշենք: (1.4), (1.7) և (1.8) հավասարումներից հետևում է, որ

$$\begin{cases} (\alpha_1 - \lambda)A + \beta_1 B = 0 \\ \alpha_2 A + (\beta_2 - \lambda)B = 0 \end{cases} : \quad (1.9)$$

Հավասարումների (1.9) համակարգը կունենա ոչ զրոյական լուծում՝  $A \neq 0$ ,  $B \neq 0$ , եթե նրա որոշիչը հավասար է զրոյի, այսինքն՝

$$\begin{vmatrix} \alpha_1 - \lambda & \beta_1 \\ \alpha_2 & \beta_2 - \lambda \end{vmatrix} = \lambda^2 - \lambda(\alpha_1 + \beta_2) + (\alpha_1\beta_2 - \alpha_2\beta_1) = 0 : \quad (1.10)$$

Կարելի է ցույց տալ (Հավելված 3), որ

$$\alpha_1\beta_2 - \alpha_2\beta_1 = 1, \quad (1.11)$$

$$\alpha_1 = g(a), \quad \alpha_2 = g'(a), \quad \beta_1 = h(a), \quad \beta_2 = h'(a), \quad (1.12)$$

որից հետո (1.10) պայմանը կընդունի հետևյալ տեսքը՝

$$\lambda^2 - 2I_0\lambda + 1 = 0, \quad (1.13)$$

որտեղ կատարված է նշանակում՝

$$2I_0 = g(a) + h'(a) : \quad (1.14)$$

(1.13) հավասարման լուծումները տրվում են

$$\lambda_1 = L_0 + \sqrt{L_0^2 - 1}, \quad \lambda_2 = I_0 - \sqrt{L_0^2 - 1} \quad (1.15)$$

արտահայտություններով և բավարարում են

$$\lambda_1 \cdot \lambda_2 = 1 \quad (1.16)$$

պայմանին: Հարկ է նշել, որ  $L_0$  մեծությունը, համաձայն (1.14) որոշման, կախված է (1.1) հավասարման  $\varepsilon$  պարամետրից, այսինքն՝ էլեկտրոնի էներգիայից:

Այսինքն, ապացուցվեց, որ գոյություն ունի  $\lambda$  հաստատումի երկու արժեք (բացի  $I_0 = 1$  դեպքից), և, համաձայն (1.8) առնչության՝ երկու ֆունկցիա՝

$$\psi_{(1)}(x + a) = \lambda_1 \psi_{(1)}(x), \quad (1.17)$$

$$\psi_{(2)}(x + a) = \lambda_2 \psi_{(2)}(x) : \quad (1.18)$$

Եթե  $|L_0| > 1$ , ապա  $\lambda_1$  և  $\lambda_2$  արմատները իրական են, և նրանցից մեկը մեծ է, իսկ մյուսը՝ փոքր է մեկից: Այս դեպքում, օգտվելով (1.17) և (1.18) ասմանություններից, կստանանք՝

$$\psi_{(1)}(x + n\alpha) = \lambda_1^n \psi_{(1)}(x), \quad \psi_{(2)}(x + n\alpha) = \lambda_2^n \psi_{(2)}(x): \quad (1.19)$$

Եթե  $n \rightarrow \infty$ , ապա  $\lambda_1^n \rightarrow \infty$ , իսկ  $\lambda_2^n \rightarrow 0$  (կամ հակառակը), այսինքն՝  $x \rightarrow \infty$  ձգանելիս  $\psi_{(1)}(x) \rightarrow \infty$ , իսկ  $\psi_{(2)}(x) \rightarrow 0$  (կամ հակառակը), իսկ եթե  $x \rightarrow -\infty$  ( $n \rightarrow -\infty$ ),  $\psi_{(1)}(x) \rightarrow 0$ ,  $\psi_{(2)}(x) \rightarrow \infty$ : Այսանդից հետևում է, որ ոչ  $\psi_{(1)}(x)$ -ը, ոչ  $\psi_{(2)}(x)$ -ը, հետևաբար՝ և նրանց զծային համակցությունը, չեն կարող ծառայել որպես էլեկտրոնի ալիքային ֆունկցիա տարածական պարբերականությամբ օժապած սխալայում: Եվ, քանի որ  $L_0$  պարամետրի արժեքը որոշվում է  $\varepsilon$  էներգիայով, ապա կարելի է սկզբու որ բյուրեղում զոյություն ունենալ չեն կարող  $\varepsilon$  էներգիայով էլեկտրոնային վիճակներ, որոնց դեպքում  $|L_0| > 1$ . Այսինքն՝ այդպիսի էներգիաներով վիճակներն «արգելված» են:

Եթե  $|L_0| < 1$ , ապա կարելի է ընդունել, որ  $L_0 = \cos ka$ , որտեղ  $k$  -ն իրական հաստատուն է: (1.15) բանաձևի համաձայն

$$\lambda_{1,2} = \cos ka \pm i \sin ka = \exp(\pm ika), \quad (1.20)$$

հետևաբար՝

$$\psi_{(1,2)}(x + \alpha) = e^{\pm ika} \psi_{(1,2)}(x), \quad (1.21)$$

այսինքն՝ էլեկտրոնի ալիքային ֆունկցիայի արգումենտը զանցի հաստատումով փոխելիս ֆունկցիայի մոդուլը չի փոխվում, փոխվում է միայն նրա փուլը: Հետևաբար՝ և  $\psi_{(1)}(x)$ -ը, և  $\psi_{(2)}(x)$ -ը, և նրանց զծային համակցությունը կարող են լինել Ծրեղինգերի հավասարման լուծումներ: Այսպիսով, բյուրեղում կարող են իրականանալ այնպիսի  $\varepsilon$  էներգիայով էլեկտրոնային վիճակներ, որոնց դեպքում  $|L_0| < 1$ : Այսինքն՝ այդպիսի էներգիաներով վիճակները «քույլատրված» են:

Էլեկտրոնի (1.21) ալիքային ֆունկցիան կարելի է ներկայացնել նաև

$$\psi(x) = e^{\pm ikx} u(x) \quad (1.22)$$

տեսքով, որտեղ  $u(x)$  ֆունկցիան ունի նույն պարբերությունը, ինչ որ սարածական ցանցը: Իրոք, (1.22) և (1.21) ամէությունների համաձայն՝

$$u(x+a) = e^{\mp ik(x+a)} \psi(x+a) = e^{\mp ik(x+a)} e^{\pm ika} \psi(x) = e^{\mp ika} \psi(x) \equiv u(x),$$

այսինքն՝

$$u(x+a) = u(x); \quad (1.23)$$

Ստացված արդյունքները կարելի է ձևակերպել բնորմի տեսքով՝

պարբերական դաշտում էլեկտրոնի ալիքային ֆունկցիան միշտ կարելի է ներկայացնել

$$\psi_k(x) = e^{ikx} u_k(x) \quad (1.24)$$

Այսքան, որտեղ  $u_k(x)$  ֆունկցիան պարբերական է ըստ ցանցի հաստատունի (Ֆ.Բլոխ, 1928թ.):

Եթե հաշվի առնենք նաև էլեկտրոնի ալիքային ֆունկցիայի ժամանակային կախումը, ապա լրիվ ալիքային ֆունկցիան կարելի է ներկայացնել

$$\psi_k(x,t) = e^{-i\left(\frac{\varepsilon}{\hbar}t - kx\right)} u_k(x) = e^{-\frac{i}{\hbar}(\varepsilon t - kx)} u_k(x) \quad (1.25)$$

Մեսքով: Այս ալիքները նկարագրում են էլեկտրոնի «ազատ» շարժումը բյուրեղում, եթե նրա վրա ազդում է միայն բյուրեղի ներքին դաշտը, իսկ արտաքին ուժերը բացակայում են: Այս ալիքները հայտնի են որպես Բլոխի ալիքներ: Ի տարբերության ազատ տարածության մեջ տարածվող դր-Բլոխի ալիքների, Բլոխի ալիքի ամպլիտուդը՝  $u_k(x)$  ֆունկցիան, մոդուլացված է, այսինքն՝ տարրական թօքի տարբեր էլետրոնում ընդունում է տարրեր արժեքներ: (1.25) ալիքում առկա  $\hbar k$  մեծությունը կատարում է նույն դերը, ինչ որ ազատ տարածության մեջ շարժվող էլեկտրոնի իմպուլսը:

Եռաչափ դեպքում Բլոխի բնորմը տրվում է (1.24) բանաձևի ընդհանրացումն հանդիսացող

$$\psi_k(r) = e^{ikr} u_k(r) \quad (1.26)$$

առնչությամբ, որտեղ  $k$ -ն էլեկտրոնի ալիքային վեկտորն է, իսկ  $u_k(r)$  ֆունկցիան ունի բյուրեղի տարածական ցանցի պարբերականությունը:

Եթեղինգերի ևակսարման լուծման (1.24) կամ (1.26) ներկայացումը համապատասխանում է այն ֆիզիկական իրողությանը, ըստ որի էլեկտ-

րոնի՝  $r$  և  $r+l$  կետերում գտնվելու հավանականությունը չպեսք է կախված լինի ստարրական բջի դիրքից, այսինքն՝ տևողափոխության  $l$  վեկտորից (աեղափոխական համաչափության հատկություն): Իրոք, Բլոխի բեռնմի համաձայն, էլեկտրոնի՝  $r+l$  կետում գտնվելու հավանականությունը՝

$$w(r+l) = \psi_k^*(r+l)\psi_k(r+l) = e^{-ikl}\psi_k^*(r)e^{ikl}\psi_k(r) = \psi_k^*(r)\psi_k(r) = w(r) :$$

Բլոխի (1.26) բեռնմից անմիջապես հետևում է, որ իդեալական պարբերական դաշտում  $k$  ալիքային վեկտորը սլահպանվում է: Այլ կերպ ասած՝ իդեալական պարբերականություն ունեցող ցանցում էլեկտրոնը չի ցրվում: Էլեկտրոնի ցրումները պայմանավորված են ցանցի պարբերականության խախտումներով՝ իոնների շերմային տատանումներով և արատներով: Ուսափ իդեալական պարբերականությամբ օժտված բյուրեղի էլեկտրական դիմադրությունը կլինի հավասար գրոյի:

Այժմ պարզենք, թե ինչպիսի արժեքներ կարող է ընդունել  $k$  մեծությունը (տես (1.20)): Օգտվելով Բոոն-Կարմանի շրջանային պայմանից (Սա 1, III.2.16):

$$\psi_k(x+Na) = \psi_k(x), \quad (1.27)$$

որտեղ  $L = Na$  մեծությունը միաշափ բյուրեղի երկարությունն է, և Բլոխի բեռնմից՝

$$\psi_k(x+Na) = e^{ikNa} \psi_k(x), \quad (1.28)$$

կստանանք, որ  $k$  մեծության ընդունած արժեքները որոշվում են

$$\exp(ikNa) = 1 \quad (1.29)$$

պայմանից՝

$$k_n = \frac{2\pi}{Na} n \equiv \frac{2\pi}{L} n, \quad (n = 0, \pm 1, \pm 2, \dots) : \quad (1.30)$$

Եթե  $n$  ամբողջ թվի ընդունած արժեքները սահմանափակենք ( $-N/2, N/2$ ) տիրույթում, ապա  $k_n$  մեծության համապատասխան արժեքների բազմությունը կլրացնի Բրիլյուենի առաջին գոնան՝

$$-\frac{\pi}{a} \leq k_n < \frac{\pi}{a} : \quad (1.31)$$

Եռաչափի բյուրեղի դեպքում  $k$  ալիքային վեկտորի թույլատրելի արժեքները ստացվում են (1.27) և (1.28) բանաձևերի բնդիանրացումից և պատկանում են  $k$ -տարածուրյան մեջ

$$-\pi \leq ka_i < \pi, \quad (i = 1, 2, 3) \quad (1.32)$$

առնչություններով որոշվող Բրիլյունի առաջին գոնային:

Ստացված արդյունքները նույնարար համբնկնում են բյուրեղական ցանցի տասանումները բնուրագրող  $q$  ալիքային վեկտորի սեփական արժեքները որոշող բանաձևերի հետ (Մաս I, III.6): Համբնկնումն, անշուշտ, պատահական չէ, բանի որ և ցանցային դինամիկայի հիմնական հավասարումների լուծումների, և պարբերական դաշտում Լեկտրոնի համար Ծրեղինզերի հավասարման լուծումների տեսքը հետևածք է միևնույն ֆիզիկական պատճառի՝ բյուրեղական ցանցի տարածական պարբերականության:

Հետագայում, նկատի ունենալով վերը նշվածը, էլեկտրոնի  $k$  ալիքային վեկտորի, Բրիլյունի գոնայում նրա բնդունած արժեքների բաշխման և դրանց բվի մասին տեղեկություններ ստանալու նպաստակով կարող ենք օգտվել Մաս I, III-ում ստացված արդյունքներից:

## §2. Կրոնիգ-Պեննի մոդելը

Էլեկտրոնի ալիքային ֆունկցիայի տեսքը պարբերական դաշտում որոշելիս մենք առնշեցինք այնպիսի իրադրության, եթե Լեկտրոնի էներգիան կարող է ընդունել որոշակի՝ «քույլասրված» արժեքներ, իսկ էներգիայի այլ արժեքներ լեկտրոնն ընդունել չի կարող, դրանք էլեկտրոնի համար «արգելված» են:

Այժմ պարզենք, թե ինչպիսին է պարբերական դաշտում էլեկտրոնի էներգիական սպեկտրի բնույթը:

Որպես կանոն, Ծրեղինզերի հավասարման մեջ մտնող  $V(r)$  պուանցիալ էներգիայի վերլուծական տեսքը հայտնի չէ: Եթե անգամ այն հայտնի լիներ, ապա Ծրեղինզերի հավասարումը կրերվեր երկրորդ կարգի մասնական ածանցյալներով, պարբերական գործակիցներով դիֆերենցիալ հավասարման, որի լուծումը հնարիսվոր չէ ներկայացնել վերլուծական տեսքով: Ուսափ խնդիրը կարևի և առավելագույնս պարզեցնել, դիտարկելով միա-

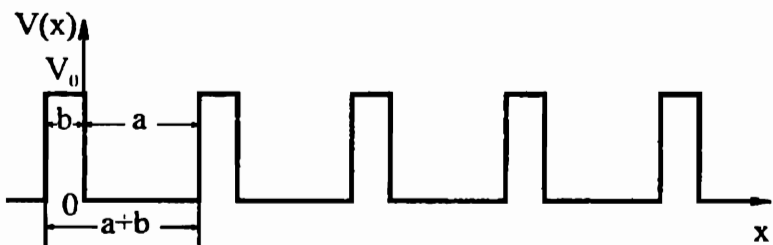
շափ բյուրեղի դևաքը և վերցնելով էլեկտրոնի պոաւենցիալ էներգիայի համար ամենասլարզ վերլուծական արաւահայատրյունը, որը բավարարում է պարբերականության պայմանին: Այս մոտեցումը (մոդելը) առաջարկվել է Ռ.Կրոնհիգի և Վ.Պիննիի կողմից 1931թ.:

Կրոնհիգ-Պիննիի մոդելի շրջանակներում միաշափ բյուրեղի պոտենցիալը մուարկում է հետևյալ մոդելային պոաւենցիալով (նկ. VIII.2)

$$V(x) = \begin{cases} 0, & nc \leq x \leq nc + a, \\ V_0, & nc + a \leq x \leq (n+1)c, \end{cases} \quad (2.1)$$

այսինքն՝ այն ուղանելուն, որ լայնությամբ սլոտենցիալ փոսերի անվերջ համակարգ է, որոնք միմյանցից բաժանված են  $b$  լայնությամբ արգելքներով:  $n$ -ը փոսի համարն է ( $n = 0, \pm 1, \pm 2, \dots$ ),  $c$ -ն՝ պոտենցիալի պարբերությունը՝

$$c = a + b : \quad (2.2)$$



Նկ. VIII.2

Այս մոդելը, լինելով բավականաշափ կոպիա, այնուհանդերձ չափազանց օգտակար է, քանի որ բացահայտորեն ցուցադրում է պարբերական դաշտում էլեկտրոնի քվանտային (ալիքային) բնույթով պայմանավորված առանձնահատկությունները:

Համաձայն Բլոխի թեորեմի, (2.1) պարբերական պոտենցիալով դաշտում էլեկտրոնի ալիքային ֆունկցիան տրվում է (1.24) առնչությամբ (պարզության համար հետազա հաշվարկելու մեջ առանձնահատկությունը կ ցուցիչը բաց է թողնված)

$$\psi(x) = e^{ikx} u(x) : \quad (2.3)$$

Տևաղերելով (2.3) արտահայտությունը Ծրեդինգերի միաշավի հավասարման մեջ, կստանանք հավասարում  $u(x)$  պարբերական ֆունկցիայի համար՝

$$\frac{d^2u}{dx^2} + 2ik \frac{du}{dx} - \left[ k^2 - \alpha^2 + \frac{2m}{\hbar^2} V(x) \right] u = 0 , \quad (2.4)$$

որտեղ

$$\alpha = \frac{1}{\hbar} (2m\varepsilon)^{1/2} : \quad (2.5)$$

Օգտվելով պուտենցիալի (2.1) արտահայտությունից, կստանանք՝

$$\frac{d^2u_1}{dx^2} + 2ik \frac{du_1}{dx} - (k^2 - \alpha^2) u_1 = 0 , \quad nc \leq x < nc + a , \quad (2.6)$$

$$\frac{d^2u_2}{dx^2} + 2ik \frac{du_2}{dx} - (k^2 - \beta^2) u_2 = 0 , \quad nc + a \leq x < (n+1)c , \quad (2.7)$$

որտեղ  $u_1(x)$ -ը (2.4) հավասարման լուծումն է փոսի տիրույթում ( $V = 0$ ), իսկ  $u_2(x)$ -ը՝ արգելքի տիրույթում ( $V = V_0$ ),

$$\beta = \frac{1}{\hbar} [2m(\varepsilon - V_0)]^{1/2} : \quad (2.8)$$

Հաստատում զործակիցներով (2.6) և (2.7) հավասարումների լուծումներն ունեն էքսպոնենցիալ տեսք՝  $\exp(\gamma_{1,2} \cdot x)$ , որտեղ

$$\gamma_1 = -i(k \pm \alpha), \quad \gamma_2 = -i(k \pm \beta) : \quad (2.9)$$

$n$ -րդ փոսում (2.6) հավասարման լուծումը կրնդանի

$$u_{1n}(x) = A_n \exp[i(\alpha - k)x] + B_n \exp[-i(\alpha + k)x] \quad (2.10)$$

տեսքը, իսկ  $n$ -րդ արգելքի տիրույթում՝

$$u_{2n}(x) = C_n \exp[i(\beta - k)x] + D_n \exp[-i(\beta + k)x] , \quad (2.11)$$

որտեղ  $A_n, B_n, C_n$  և  $D_n$  մեծությունները կամայական հաստատուններ են:

Եթե օգտվենք  $u(x)$  ֆունկցիայի պարբերականության պայմանից՝

$$u_{1,2}^{(n)}(x + nc) = u_{1,2}^{(n)}(x) = u_{1,2}^{(0)}(x) , \quad (2.12)$$

կստանանք առնչությունները  $A_n, B_n, C_n$  և  $D_n$  անհայտ հաստատունների միջև: Իբրոք, (2.10) և (2.12) բանաձևերի համաձայն, փոսի ալիքություն ( $0 \leq x \leq a$ )

$$A_0 e^{i(\alpha-k)x} + B_0 e^{-i(\alpha+k)x} = A_n e^{i(\alpha-k)(x+nc)} + B_n e^{-i(\alpha+k)(x+nc)}, \quad (2.13)$$

որտեղից

$$A_n = A_0 e^{-i(\alpha-k)nc}, \quad B_n = B_0 e^{i(\alpha+k)nc}: \quad (2.14)$$

Նույն ձևով (2.11) և (2.12) բանաձևերից արգելրի տիրություն ( $-b \leq x \leq 0$ ) ստացվում են

$$C_n = C_0 e^{-i(\beta-k)nc}, \quad D_n = D_0 e^{i(\beta+k)nc}: \quad (2.15)$$

առնչությունները: Հասածայն (2.14) և (2.15) առնչությունների, համակարգի պարբերականության հետևանքով կամայական մեծ (իսկ  $n \rightarrow \infty$  դեպքում՝ անվերջ) բառով հաստատուններն արտահայտվում են ընդամենը 4 անհայտ հաստատուններով՝  $A_0, B_0, C_0$  և  $D_0$  մեծություններով: Այս մեծությունները որոշվում են (2.3) բանաձևով տրվող լրիվ ալիքային ֆունկցիայի և նրա ածանցյալի վրա  $x=0$  և  $x=a$  կետերում դրվող անընդհատության պայմաններից: (2.3), (2.10), (2.11), (2.14) և (2.15) բանաձևերից ստանում ենք ալիքային ֆունկցիայի արտահայտությունը վիսի և արգելրի տիրություններում:

$$\psi_{1,n}(x) = [A_0 e^{i\alpha(x-nc)} + B_0 e^{-i\alpha(x-nc)}] e^{iknc}, \quad (2.16)$$

$$\psi_{2,n}(x) = [C_0 e^{i\beta(x-nc)} + D_0 e^{-i\beta(x-nc)}] e^{iknc}: \quad (2.17)$$

(2.16) բանաձևում քառակուսի վակազներում զրկած արտահայտությունը էլեկտրոնի ալիքային ֆունկցիան է  $n=0$  բջին պատկանող փոսում:  $n$ -րդ բջին պատկանող փոսում էլեկտրոնի ալիքային ֆունկցիան՝  $\psi_{1,n}(x)$ -ը,  $\psi_{1,0}(x)$ -ից տարբերվում է միայն  $\exp(ikcn)$  փուլային արտադրիչով: Նույնը տեղի ունի նաև (2.17) արտահայտությամբ տրվող արգելրի ալիքային ֆունկցիայի համար:

Ալիքային ֆունկցիայի և նրա ածանցյալի անընդհատության

$$\left. \begin{aligned} \psi_{1,0}(0) &= \psi_{2,0}(0), & \psi'_{1,0}(0) &= \psi'_{2,0}(0) \\ \psi_{1,0}(a) &= \psi_{2,0}(a), & \psi'_{1,0}(a) &= \psi'_{2,0}(a) \end{aligned} \right\} \quad (2.18)$$

պայմաններից կստանանք 4 համասեռ հավասարումների համակարգ՝ 4 անհայտ գործակիցների համար՝

$$\begin{aligned} A_0 + B_0 - C_0 - D_0 &= 0 \\ i\alpha A_0 - i\alpha B_0 - i\beta C_0 + i\beta D_0 &= 0 \\ e^{i\alpha a} A_0 + e^{i\alpha a} B_0 - e^{-i\beta b+ikc} C_0 - e^{i\beta b+ikc} D_0 &= 0 \\ i\alpha e^{i\alpha a} A_0 - i\alpha e^{i\alpha a} B_0 - i\beta e^{-i\beta b+ikc} C_0 + i\beta e^{i\beta b+ikc} D_0 &= 0 \end{aligned} \quad (2.19)$$

Այն կունենա ոչ զրոյական լուծում, եթե նրա որոշիչը հավասար է զրոյի՝

$$\begin{vmatrix} 1 & 1 & -1 & -1 \\ i\alpha & -i\alpha & -i\beta & i\beta \\ e^{i\alpha a} & e^{-i\alpha a} & -e^{-i\beta b+ikc} & -e^{i\beta b+ikc} \\ i\alpha e^{i\alpha a} & -i\alpha e^{i\alpha a} & -i\beta e^{-i\beta b+ikc} & i\beta e^{i\beta b+ikc} \end{vmatrix} = 0 : \quad (2.20)$$

Բացելով որոշիչը, կստանանք

$$-\frac{\alpha^2 + \beta^2}{2\alpha\beta} \sin \alpha a \cdot \sin \beta b + \cos \alpha a \cdot \cos \beta b = \cos k(a+b) \quad (2.21)$$

հավասարումը, որը կալվ է հաստատում  $\alpha, a, b, V_0$  և  $k$  մեծությունների միջև: Քանի որ  $\alpha$  և  $\beta$  մեծությունները, ըստ (2.5) և (2.8) բանաձևերի, արտահայտվում են էլեկտրոնի  $\varepsilon$  լերզիայի միջոցով, ալդե (2.21) հավասարումը անբացահայտուն ներկայացնում է  $\varepsilon$ -ի և  $k$ -ի միջև կապը՝  $\varepsilon(k)$  դիսպերսիոն հավասարումը արված  $V_0$ ,  $a$  և  $b$  պարամետրերով նկարագրվող պարբերական դաշտում:

Ուսումնասիրենք (2.21) տրանսգենդենտ հավասարումը:

Ենթադրենք, որ էլեկտրոնի էներզիան մեծ է պոտենցիալ արգելքի բարձրությունից՝  $V_0 < \varepsilon < \infty$ : Այս դեպքում, համաձայն (2.8) առնչության,  $\beta$  մեծություն իրական է:

Թեավոյսենք (2.21) հավասարման ձախ մասը՝

$$F(\varepsilon) \equiv -\frac{\alpha^2 + \beta^2}{2\alpha\beta} \sin \alpha a \cdot \sin \beta b + \cos \alpha a \cdot \cos \beta b = A \cdot \cos(\alpha a - \delta) : \quad (2.22)$$

Օգտվելով տարրերության կոսինուսի արտահայտությունից և հավասարեցնելով  $\sin \alpha a$  և  $\cos \alpha a$  անդամների գործակիցները, կստանանք՝

$$A = \left[ 1 + \frac{(\alpha^2 - \beta^2)^2}{4\alpha^2 \beta^2} \sin^2 \beta b \right]^{1/2}, \quad (2.23)$$

$$\operatorname{tg}\delta = -\frac{\alpha^2 + \beta^2}{2\alpha\beta} \operatorname{tg}\beta b : \quad (2.24)$$

(2.21) հավասարումը կրնդունի հետևյալ տեսքը՝

$$\left[ 1 + \frac{(\alpha^2 - \beta^2)^2}{4\alpha^2 \beta^2} \sin^2 \beta b \right]^{1/2} \cos(\alpha a - \delta) = \cos k(a+b) : \quad (2.25)$$

Եթե էլեկտրոնի էներգիան փոքր է պոտունցիալ արգելվի բարձրությունից՝  $0 < \varepsilon < V_0$ , ապա, համաձայն (2.8) առնչության,  $\beta$ -ն կեղծ է՝

$$\beta = i\gamma, \quad \gamma = \frac{1}{\hbar} [2m(V_0 - \varepsilon)]^{1/2} : \quad (2.26)$$

Նկատի ունենալով  $\cos ix = \operatorname{ch} x$  և  $\sin ix = i \operatorname{sh} x$  առնչությունները, (2.21) հավասարումը կարելի է ներկայացնել հետևյալ տեսքով՝

$$\left[ 1 + \frac{(\alpha^2 + \gamma^2)^2}{4\alpha^2 \gamma^2} \operatorname{sh}^2 \gamma b \right]^{1/2} \cos(\alpha a - \delta) = \cos k(a+b), \quad (2.27)$$

$$\operatorname{tg}\delta = \frac{\alpha^2 + \gamma^2}{2\alpha\gamma} \operatorname{th} \gamma b : \quad (2.28)$$

(2.25) և (2.27) հավասարումների ծախս մասերն ունեն միևնույն տեսքը՝  $\cos(\alpha a - \delta)$ , բազմապատկած  $\varepsilon$ -ից կախված գործակցով, որը միշտ մեծ է մեկից: Եթե  $\varepsilon \rightarrow 0$ , (2.27) հավասարման ծախս մասի գործակիցն ընդունում է առավելագույն արժեք՝  $\operatorname{ch}[(2mb^2V_0/\hbar^2)^{1/2}] > 1$ , իսկ եթե  $\varepsilon \rightarrow \infty$ , ապա (2.25) հավասարման ծախս մասի գործակիցը զգտում է մեկի, մնալով միշտ մեկից մեծ:

Ըստ (2.5) և (2.8) առնչությունների՝

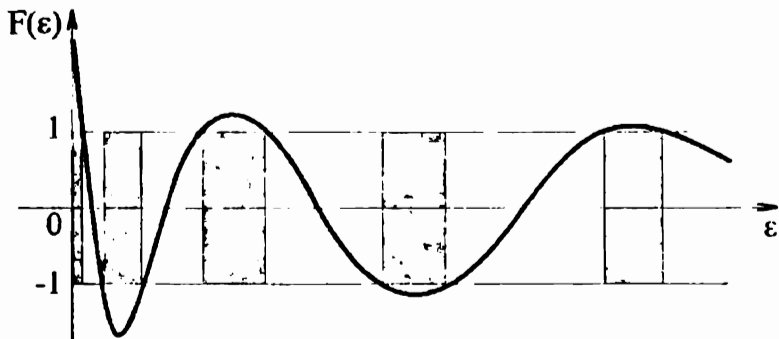
$$\alpha^2 - \beta^2 = \alpha^2 + \gamma^2 = \frac{2mV_0}{\hbar^2} = \text{const}, \quad (2.29)$$

ուստի (2.25) և (2.27) հավասարումների ծախս մասերը կարելի է ներկայաց-

Յեկ մեկ միասնական կորի տեսքով (նկ. VIII.3), իսկ աշ մասի բնդունած արժեքներն ընկած են  $[1, -1]$  ախրույթում:  $F(\varepsilon)$  ֆունկցիոյի  $[-1, 1]$  ախրույթում ընկած արժեքներին համապատասխանում են իրական  $k$ -եր: Մյուս կողմից, եթե  $|F(\varepsilon)| > 1$ , ապա  $\varepsilon$ -ի այդ արժեքներին համապատասխանող  $k$ -երի համար

$$\cos k(a+b) > 1 \text{ կամ } \cos k(a+b) < -1, \quad (2.30)$$

որաեղից բխում է, որ  $k$  ալիքային թիվը կոմպլեքս է՝ լուր կ  $\neq 0$ : Եյս դեպքում (2.3) լուծումները չեն բավարարում ալիքային ֆունկցիոյի վրա դրվող ֆիզիկական պահանջներին: Կոմպլեքս ալիքային թվերին համապատասխանող էներգիայի արժեքները կենաւրոն ընդունել չեն կարող, այսինքն՝ էներգիայի այդպիսի արժեքներն կենաւրոնի համար «արգելված» են. Նկ. VIII.3-ում արգելված էներգիաներին համապատասխանող ախրույթները սավերագծված են:



Նկ. VIII.3

Այսպիսով, պարբերական դաշտում էլեկտրոնի էներգիական սպեկտրն ունի շերտավոր կառուցվածք՝ այն բաղկացած է էներգիայի՝ լրաց հաջորդող «արգելված» և «քույլարելի» սեփական արժեքների ախրույթներից, որոնք կոչվում են համապատասխանաբար արգելված և քույլարելի էներգիական գույմներ:

Էլեկտրոնի էներգիական սպեկտրի որոշ ընդհանուր հատկույթուններ անմիջականորեն բխում են (2.25) և (2.27) հավասարումներից, որոնք կարենի են ներկայացնել մեկ հավասարումով՝

$$f(\varepsilon) = \cos k c, \quad (2.31)$$

որտեղ  $f(\varepsilon)$ -ն (2.25) կամ (2.27) հավասարման ձևին մասն է համապատասխանաբար  $\varepsilon > V_0$  և  $0 < \varepsilon < V_0$  դեպքում:

ա) Եթե (2.31) հավասարման աջ մասում  $k$ -ից անցնենք  $-k$ , ապա հավասարումը կմնա անփոփոխ, այսինքն՝  $k$  և  $-k$  ալիքային բվով բվանտային վիճակներում էլեկտրոնն ունի նույն էներգիան: Այլ կերպ ասած, էլեկտրոնի դիսպերսիոն հավասարումը ալիքային բվի զույգ ֆունկցիա է

$$\varepsilon(-k) = \varepsilon(k): \quad (2.32)$$

Այս պայմանը անողի ունի ցանկացած էներգիական գոտու համար:

բ) Եթե (2.31) հավասարման մեջ կատարենք անցում  $(\varepsilon, k) \rightarrow (\varepsilon + \frac{2\pi}{c}l, k + l)$ , որը  $k$ -ի հետ կապված է

$$k' = k + \frac{2\pi}{c}l, \quad l = \pm 1, \pm 2, \dots \quad (2.33)$$

առնչությամբ, ապա հավասարումը կմնա անփոփոխ, այսինքն՝  $k$  և  $k'$  ալիքային բվերով բվանտային վիճակներում էլեկտրոնն ունի նույն էներգիան՝

$$\varepsilon(k') = \varepsilon\left(k + \frac{2\pi}{c}l\right) = \varepsilon(k), \quad l = \pm 1, \pm 2, \dots, \quad (2.34)$$

այսինքն՝ պարբերական դաշտում էլեկտրոնի էներգիան ալիքային բվի ստարտերական ֆունկցիա է, որի պարբերությունը եավասար է  $2\pi/c$ :

զ) Եթե (2.31) հավասարումն ածանցնենք ըստ էներգիայի, կատանանք՝

$$\frac{d\varepsilon}{dk} = -\frac{c \sin k c}{f'(\varepsilon)}, \quad (2.35)$$

որտեղ  $f' \equiv df/d\varepsilon$ : Այս առնչության աջ մասն ընդունում է զույական արժեքներ միայն  $k = \pm \pi m/c$  ( $m = 0, 1, 2, \dots$ ) կետերում, որոնցում  $f'(\varepsilon) \neq 0$  (նկ. VIII.3): Հետևաբար՝  $\varepsilon(k)$  ֆունկցիան էրստրեմալ արժեքներ կարող է ընդունել միայն բիլյունի զոնայի կենտրոնում և նրա սահմանների վրա, բայց ոչ զոնայի ներսի (բացի  $k = 0$ ) կետերում:

Ինչպես անսանք, արգելված գոտուն պատկանող էներգիաների համար ալիքային բիվն ընդունում է կոմպլեքս արժեքներ՝

$$k = \operatorname{Re} k + i \operatorname{Im} k \equiv k_1 + ik_2 : \quad (2.36)$$

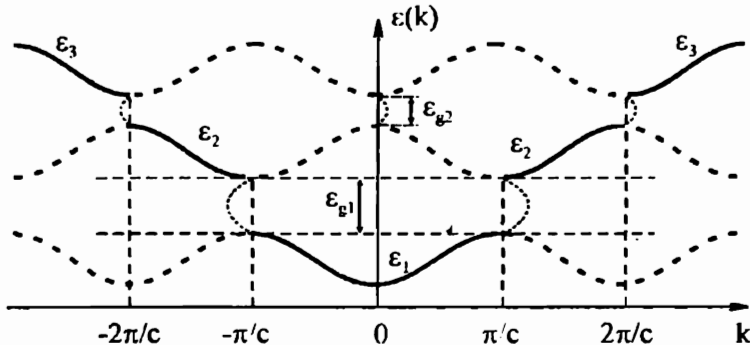
$\cos k c$  ֆունկցիան իրական է ցանկացած  $k$ -ի համար, ուստի

$$k = \frac{\pi}{c} m + i k_2, \quad m = 0, \pm 1, \pm 2, \dots, \quad (2.37)$$

իսկ  $k_2$  մեծությունը, որպես  $\varepsilon$  էներգիայի ֆունկցիա, որոշվում է

$$(-1)^m \operatorname{ch}(k_2 c) = f(\varepsilon) \quad (2.38)$$

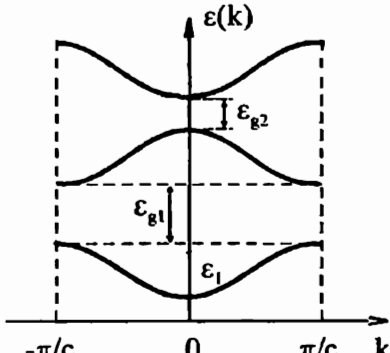
հավասարությունից: Եթե  $\varepsilon \rightarrow \infty$ , (2.25) հավասարման համաձայն,  $|f(\varepsilon)| \rightarrow 1$  արգելված գոտիներին պատկանող էներգիաների համար, ուսափ  $k_2 \rightarrow 0$ ,



Նկ. VIII.4

այսինքն՝  $k \rightarrow k_1$ , և էլեկտրոնի վարքը զործնականորեն համբնկնում է ազատ էլեկտրոնի վարքի հետ: Նկ. VIII.4-ում պատկերված է (2.25) և (2.27) հավասարություններից ստացվող  $\varepsilon(k)$  դիսպերսիոն հավասարությունը և (2.38) հավասարությունից որոշվող  $k_2(\varepsilon)$  ֆունկցիան (մասը կը լսագծեր) արգելված գոտիներում:

Օգսվելով (2.33) առնչությունից,  $k$  ալիքային թվի վտանգաման տիրույթը կարուի է սահմանափակել  $[-\pi/c, \pi/c]$  տիրույթը (Բրիլյուունի առաջին գոնայով) և  $\varepsilon(k)$  դիսպերսիոն կորը դիտարկել միայն այդտեղ: Դրա համար անհրաժեշտ է նկ. VIII.4-ում պատկերված կորերը



Նկ. VIII.5

$2\pi m/c$ -ով ( $m = \pm 1, \pm 2, \dots$ ) տեղափոխել  $[-\pi/c, \pi/c]$  տիրույթ: Արդյունքում կստացվի այսպես կոչված բերված գոտիական սխեման (նկ. VIII.5, անս նաև Մաս I, III.4):

Դիսպերսիայի օրենքի բացահայտ տեսքը գանելու նպատակով օգտվենք այն հանգամանքից, որ անսուբյան մեջ մանող պարամետրերը՝  $V_0$ ,  $a$ ,  $b$  մեծությունները կարող են ընդունել կամայական արժեքներ: Մասնավորապես, ստորև կենքադրենք, որ արգելքի լայնությունը՝  $b \rightarrow 0$ , իսկ բարձրությունը՝  $V_0 \rightarrow \infty$ , բայց այնպէս, որ

$$b \cdot V_0 = \text{const} : \quad (2.39)$$

Քանի որ  $\varepsilon < V_0$  դեպքում (2.26) առնչությամբ տրվող  $\beta$  մեծությունը կեղծ է, ապա (2.21) հիմնական հավասարումից կստանանք՝

$$\frac{\gamma^2 - \alpha^2}{2\gamma\alpha} \operatorname{sh} \gamma b \cdot \sin \alpha a + \operatorname{ch} \gamma b \cdot \cos \alpha a = \cos k(a+b) : \quad (2.40)$$

Եթե  $b \rightarrow 0$ , համաձայն (2.26) և (2.39) առնչությունների,

$$\gamma b = \frac{1}{\hbar} [2m(V_0 - \varepsilon)]^{1/2} \cdot b \approx \frac{1}{\hbar} (2mV_0 b)^{1/2} \cdot b^{1/2} \sim b^{1/2} \rightarrow 0$$

$$\operatorname{sh} \gamma b \approx \gamma b, \quad \operatorname{ch} \gamma b \approx 1, \quad c = a + b \approx a,$$

ուստի (2.40) հավասարումը կը նդանի

$$P \frac{\sin \alpha a}{\alpha a} + \cos \alpha a = \cos ka \quad (2.41)$$

տեսքը, որաեղ պոտենցիալային արգելքը բնութագրող  $P$  պարամետրը տրվում է հետևյալ արտահայտությամբ՝

$$P = \frac{\gamma^2 ba}{2} \approx \frac{mV_0 ba}{\hbar^2} = \text{const} : \quad (2.42)$$

Ուսումնասիրներ (2.41) հավասարման լուծումները  $P$  պարամետրի տարրեր արժեքների դեպքում:

1.  $P \rightarrow 0$ : (2.41) հավասարումից կստանանք՝

$$\cos \alpha a = \cos ka \quad \text{և} \quad \left( \frac{2m\varepsilon}{\hbar^2} \right)^{1/2} \cdot a = ka,$$

հետևաբար՝

$$\varepsilon = \frac{\hbar^2 k^2}{2m}, \quad (2.43)$$

որն ազատ մասնիկի դիսպերսիոն հավասարումն է:

2.  $P$  պարամետրի մեծ արժեքների համար (2.41) հավասարումը հարմար է ներկայացնել

$$\frac{\sin \alpha a}{\alpha a} + \frac{1}{P} \cos \alpha a = \frac{1}{P} \cos ka \quad (2.44)$$

տեսքով: Այժմ, եթե  $P \rightarrow \infty$  ( $b = const$ ,  $V_0 \rightarrow \infty$ , ինչը համապատասխանում է անվերջ խոր պատճենցիալ փոսի մոտավորությանը), (2.44) հավասարումից կստանանք՝

$$\frac{\sin \alpha a}{\alpha a} = 0, \quad (2.45)$$

այսինքն՝

$$\alpha a = \pi n, \quad n = \pm 1, \pm 2, \pm \dots \quad (2.46)$$

( $n = 0$  արժեքը բացառված է, քանի որ այդ դեպքում (2.45) հավասարման ձախ մասը հավասար է մեկի):

(2.46) և (2.5) առնչություններից էլեկտրոնի էներգիայի համար կստանանք՝

$$\varepsilon_n = \frac{\pi^2 \hbar^2}{2ma^2} n^2 : \quad (2.47)$$

Այսպիսով,  $P \rightarrow \infty$  դեպքում քույլապրենի էներգիական գոտիները վերածվում են դիսկրետ մակարդակների:

3.  $P \gg 1$  և վերջավոր է: Ֆիզիկորեն այս դեպքը համապատասխանում է տվյալ հանգույցի եեւ ամուր կապված (կամ փոսում տեղայնացված) մասնիկին, որն, այնուամենայնիվ կարող է քունելային անցումներ կատարել մի հանգույցից (փոսից) մյուսը: Ասվածին համապատասխան, (2.44) հավասարման լրացումը կփնտրենք

$$\alpha a = \pi n + \delta, \quad |\delta| \ll 1 \quad (n \neq 0) \quad (2.48)$$

տեսքով: Սահմանափակվելով գծային ( $\sim \delta$ ) անդամներով, կստանանք՝

$$\delta = \frac{\pi n}{P} [(-1)^n \cos ka - 1] : \quad (2.49)$$

(2.5), (2.47)-(2.49) առնչություններից հետևում է Էլեկտրոնի դիսպերսիոն հավասարումը՝

$$\varepsilon_n(k) = \varepsilon_n \left( 1 - \frac{2}{P} \right) + (-1)^n \frac{2\varepsilon_n}{P} \cos ka : \quad (2.50)$$

Տրված  $n$ -ի դեպքում ( $n$ -ր էներգիական գոտու համարն  $L$ )  $k$ -ի փոփոխաման հետ էլեկտրոնի էներգիան փոփոխավում է  $\varepsilon_n^{\text{min}}$  և  $\varepsilon_n^{\text{max}}$  արժեքների միջև, որոնք համապատասխանաբար որոշում են  $n$ -րդ քույլատրելի գոտու հատակը և առաստաղը:  $n$ -րդ էներգիական քույլատրելի գոտու լայնությունը՝

$$\Delta\varepsilon_n \equiv \varepsilon_n^{\text{max}} - \varepsilon_n^{\text{min}} = \frac{4\varepsilon_n}{P} \sim \frac{n^2}{P} , \quad (2.51)$$

այսինքն՝ որքան բարձր է ընկած էներգիական գոտին, այնքան այն լայն է: Տրված  $n$ -ի դեպքում գոտու լայնությունը՝  $\Delta\varepsilon_n \sim 1/P$ , այսինքն՝ որքան «ամոր» է կապված էլեկտրոնը տվյալ հանգույցի հետ, այնքան նեղ է էներգիական գոտին:

Քննարկվող մոդելի շրջանակներում, բայց (2.50) բանաձևի, կենա համարով էներգիական գոտիների հատակները զտնվում են  $k = 0$  կետում, իսկ առաստաղները՝  $k = \pm(2m+1)\pi/a$  կետերում (Բրիլյուենի գոնայի եզրերին), գոյզ  $n$ -երի դեպքում՝ հակառակը:  $n$ -րդ արգելված էներգիական գոտու լայնությունը սահմանվում է որպես հաջորդ՝ վերին  $n+1$ -րդ քույլատրելի գոտու հատակին և  $n$ -րդ քույլատրելի գոտու առաստաղին համապատասխանող էներգիաների տարբերություն՝

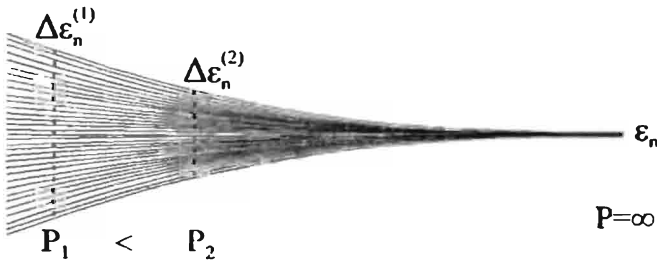
$$\varepsilon_{gn} = \varepsilon_{n+1}^{\text{min}} - \varepsilon_n^{\text{max}} = \varepsilon_{n+1} - \varepsilon_n - \frac{4}{P} \varepsilon_{n+1} : \quad (2.52)$$

Այս արտահայտությունից հետևում է, որ արգելված գոտու լայնությունը  $P$ -ի մեծացման հետ աճում է:

$P$  պարամետրի տարրեր արժեքներին համապատասխանող դեպքերի քննարկումը հնարավորություն է տալիս պարբերական դաշտում էլեկտրոնի էներգիական սպեկտրի շերտավոր բնույթը մեկնաբանել հետևյալ ֆիզիկական դատողություններով:

$P = \infty$  դեպքում միաշափ ցանցը կարելի է պատկերել որպես  $N \gg 1$  քվով պոտենցիալ փոսերի հավաքածու, ընդ որում, քանի որ քոլոր պոտեն-

ցիալ փոսերը (ցանցի հանգույցները) նույնական ևն, ապա էլեկտրոնի էներգիական մակարդակները, որոնք տրվում նն (2.47) բանաձևով, նույնն են բոլոր փոսերում: Էլեկտրոնը տվյալ էներգիայով վիճակ կարող է ունենալ զոնվելով  $N$  փոսերից ցանկացածում, այսինքն էլեկտրոնի տվյալ էներգիայով վիճակն ըստ դիրքի  $N$ -պատիկ այլասերված է:



Նկ. VIII.6

Եթե  $P$  սլարամետրն ընդունում է մեծ, բայց վերջավոր արժեքներ, ապա փոսերը սկսում են «վոխազգել», այսինքն՝ մի փոսի ներկայությունը (որն էլեկտրոնը «զգում» է քունելային անցման հնարավորության հետևանքով) ազդում է հարևան փոսում էլեկտրոնի էներգիական մակարդակի դիրքի վրա: Արդյունքում տվյալ էներգիայով մակարդակի այլասերվածը հանվում է՝  $N$ -պատիկ այլասերված մակարդակը վերածվում է իրար մոտ դասավորված էներգիական մակարդակների «խորձ»՝ էներգիայի բույլատրելի արժեքների գոտու, որում մակարդակների թիվը հավասար է  $N$ -ի (նկ. VIII.6):  $P$  պարամետրի նվազմանը զուգընթաց բույլատրելի գոախների լայնությունները մեծանում են:

•

### §3. Ջվագիիմպալս: Արտաքին դաշտի ազդեցությունը բյուրեղում գանվող էլեկտրոնի վրա: Արդյունարար զանգվածի զաղափարը

Եթե Բլիժի  $u_k(x)$  ամպլիտուդը հաստատուն մեծորյուն է, ապա էլեկտրոնի (1.22) ալիքային ֆունկցիան վերածվում է  $\exp(\pm ikx)$  հարք ալիքի, որը նկարագրում է  $p = \pm \hbar k$  իմպուլսով ազատ էլեկտրոնի շարժումը, որին համապատասխանում է

$$\varepsilon = \frac{\hbar^2 k^2}{2m} = \frac{p^2}{2m} \quad (3.1)$$

Էներգիա: Համաձայն §2-ում ստացված արդյունքների, էներգիայի  $\varepsilon >> V_0$  արժեքների համար էլեկտրոնի դիսպերսիոն հավասարումը հանգում է (3.1) բանաձևին:

Էլեկտրոնի թվանսային վիճակը նկարագրող  $k$  մեծությունը շարժումը բնութագրող հաստատուն է, իսկ  $\hbar k$  մեծությունն ունի իմպուլսի չափայնություն: Երբ էլեկտրոնի էներգիան մեծանում է, այսինքն՝ էլեկտրոնն ավելի ու ավելի «ազատ» է դառնում,  $k$  մեծության արժեքները մոտենում են ազատ մասնիկի իմպուլսի և  $\hbar$ -ի հարաբերությանը: Ընդամենը, այս եզրակացությունը կապ չունի պարբերական պոտենցիալի կոնկրետ տեսքի հետ:  $\hbar k$  մեծությունը նկարագրում է էլեկտրոնի դինամիկական վարքը բյուրեղական ցանցում, այնպես, ինչպես էլեկտրոնի իմպուլսը՝ նրա վարքը վակուումում: Նշված նմանությաններից ենթավ  $\hbar k$  մեծությունը կոչվել է թվազիմպուլս, ինչը միաժամանակ նշում է նաև նրա՝ իմպուլսից տարրեր լինելու հանգամանքը: Այս տարրերությունն ավելի հստակեցնելու համար հարկ է նշել, որ բյուրեղական պոտենցիալի առկայությամբ էլեկտրոնի ակնքարրային իմպուլսը շարժման հաստատուն չէ: Սակայն կարելի է հաշվել էլեկտրոնի միջին արագությունը, քանի որ տրված էներգիայով վիճակում  $\hbar k$  թվազիմպուլսն ունի խիստ պրոցակի, հաստատուն արժեք:

Ուսումնասիրենք բյուրեղում գտնվող էլեկտրոնի շարժումն արտաքին դաշտերի ազդեցության տակ:

Էլեկտրոնի շարժումն ավելի ակնառու դարձնելու նպատակով տեղայնացնենք էլեկտրոնի ալիքային ֆունկցիան, վերաբերելով տարրեր  $k$ -երով լուծումներ: Արդյունքում էլեկտրոնը «ներկայացնող» ալիքային փաթեթի խմբային արագությունը կտրվի

$$v_g \equiv v = \frac{d\omega}{dk} = -\frac{1}{\hbar} \frac{d\varepsilon}{dk} \quad (3.2)$$

բանաձևով, որտեղ օգտագործված է էլեկտրոնի էներգիայի և հաճախության միջև  $\varepsilon = \hbar\omega$  կապը: (3.2) բանաձևից ենտևում է, որ բյուրեղական դաշտի ազդեցությունը էլեկտրոնի շարժման վրա ամբողջությամբ պայմանավորված է  $\varepsilon(k)$  դիսպերսիոն հավասարումով: Եռաչափի բյուրեղում

Էլեկտրոնի միջին (քվանտամէխանիկական) արագությունը որոշվում է (3.2) բանաձևի ընդհանրացում հանդիսացող

$$\mathbf{v} = \frac{1}{\hbar} \frac{\partial \epsilon}{\partial \mathbf{k}} \equiv \frac{1}{\hbar} \nabla_{\mathbf{k}} \epsilon(\mathbf{k}) \quad (3.3)$$

առնչությամբ, որտեղ  $\nabla_{\mathbf{k}} \equiv \partial / \partial \mathbf{k}$  -ն գրադիենտն է  $\mathbf{k}$  -տարածության մեջ:

Այժմ ենթադրենք, որ բյուրեղը գանգում է  $E$  արտաքին էլեկտրական դաշտում: Դաշտի ազդեցությամբ  $dt$  ժամանակում էլեկտրոնի էներգիան կփոխվի

$$d\epsilon = -eE dx = -eEv dt \equiv \frac{d\epsilon}{dk} dk \quad (3.4)$$

շափով: (3.2) և (3.4) բանաձևերից հետևում է, որ

$$dk = -\frac{eE}{\hbar} dt \quad (3.5)$$

կամ

$$\hbar \frac{dk}{dt} = \frac{dp}{dt} = -eE = F , \quad (3.6)$$

որտեղ  $p = \hbar k$  -ն էլեկտրոնի քվազիիմպուլսն է,  $F = -eE$  -ն էլեկտրոնի վրա արտաքին դաշտի կողմից ազդող ուժը: Եռաչափ բյուրեղի դեպքում

$$\frac{dp}{dt} = F : \quad (3.7)$$

Համաձայն (3.6) բանաձևի, էլեկտրոնի քվազիիմպուլսի փոփոխման արագությունը հավասար է էլեկտրոնի վրա ազդող արագքին ուժին: (3.6) բանաձևը Նյուտոնի II օրենքի նմանակն է և ցույց է տալիս, որ պարբերական դաշտում էլեկտրոնի քվազիիմպուլսն արտաքին դաշտի ազդեցության տակ փոփոխվում է ճիշտ այնպես, ինչպես ազատ էլեկտրոնի իմպուլսը:

Եթե բյուրեղը գանգում է արտաքին մագնիսական դաշտում, որի  $\mathbf{H}$  լարվածությունն այնպիսին է, որ էներգիական գույնական կառուցվածքը մնում է անփոփոխ, ապա (3.7) հավասարությունը տեղի ունի նաև Լորենցի ոտի դեպքում՝

$$\hbar \frac{dk}{dt} = -\frac{e}{c} [\mathbf{v} \times \mathbf{H}] : \quad (3.8)$$

Նկատի ունենալով (3.3) առնչությունը, (3.8) հավասարումը կարելի է ներկայացնել

$$\frac{dk}{dt} = -\frac{e}{c\hbar^2} \nabla_k \epsilon(k) \times H \quad (3.9)$$

Անսրով: Քանի որ ցանկացած  $k$  կևառամ  $\nabla_k \epsilon(k)$  վեկտորն ուղղահայաց է,  $\epsilon(k) = const$  մակերևույթին, ապա ըստ (3.9) բանաձևի,  $k$ -տարածության մեջ էլեկտրոնը շարժվում է այդ մակերևույթով, ինչ որում նրա բվազիլիմպուսի պրոյեկցիան մազնիսական դաշտի ուղղության վրա՝  $k_H$  վեկտորը մնում է հաստատում:

Ընդհանուր դեպքում, եթե բյուրեղը գտնվում է  $E$  էլեկտրական և  $H$  մազնիսական դաշտերում, ապա էլեկտրոնի շարժման հավասարումն ընդունում է հետևյալ անսրը՝

$$\frac{dk}{dt} = -e \left( E + \frac{1}{c} [\mathbf{v} \times \mathbf{H}] \right) : \quad (3.10)$$

Միաշափ պարբերական դաշտում էլեկտրոնի արագացման արտահայտությունը կարելի է ստանալ, բայց ժամանակի ածանցելով (3.2) բանաձևը՝

$$\frac{dv}{dt} = \frac{1}{\hbar} \frac{d}{dt} \left( \frac{d\epsilon}{dk} \right) = \frac{1}{\hbar} \frac{d^2 \epsilon}{dk^2} \cdot \frac{dk}{dt}, \quad (3.11)$$

որաեղից, նկատի ունենալով (3.6) հավասարումը, կստանանք՝

$$\frac{dv}{dt} = \frac{1}{\hbar^2} \frac{d^2 \epsilon}{dk^2} \cdot F : \quad (3.12)$$

Համեմատելով այս արտահայտությունը Նյուտոնի II օրենքի՝  $a = F/m$  տեսքով ձևակերպման հետ, զայխ ենք այն եզրակացության, որ  $F$ -ի գործակիցը կատարում է հակադարձ զանգվածի դեր: Սական ենք էլեկտրոնի արոյունարար զանգվածը հետևյալ արտահայտությամբ՝

$$\frac{1}{m^*} = \frac{1}{\hbar^2} \frac{d^2 \epsilon}{dk^2} : \quad (3.13)$$

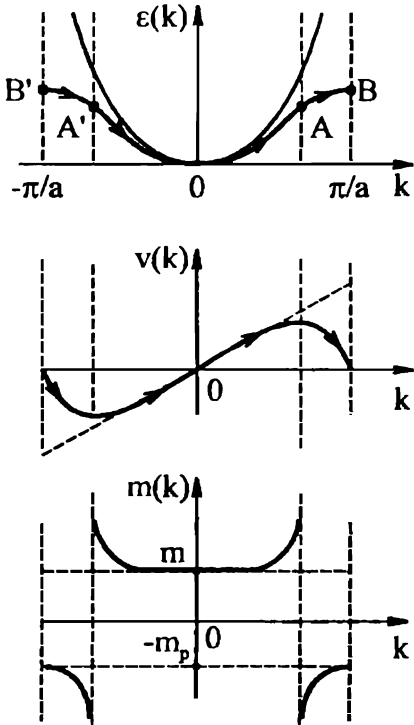
Պարբերական դաշտում գտնվող էլեկտրոնին վերագրելով  $m^*$  արդյունարար զանգված, մենք կարող ենք նրան համարել ազատ և նրա շարժումն արտաքին դաշտում նկարագրել որպես ազատ էլեկտրոնի շարժում:

Երի բյուրեղական դաշտար բացակայում  $L$ , ապա էլեկտրոնի (3.1) դիսպերսիոն հավասարությունը և արդյունարար գանգվածի (3.13) սահմանումից ենաւում  $L \cdot m^* = m$  արդյունարար գանգվածի տարրերությունը մասնիկի իրական (վակուումում ունեցած) գանգվածից հետևանք է բյուրեղական ցանցի ազդեցության:

Հարկ է նշել, որ արդյունարար գանգվածի ներմուծումը բնդամներ հարմար միջոց է պարբերական դաշտում էլեկտրոնի վարքը նկարագրելու համար: Արդյունարար գանգվածը գանգված չէ, սովորական իմաստով՝ այն չի որոշում էլեկտրոնի զրավիտացիոն և իներցիոն հատկությունները: Այն կարող է լինել ինչպես մեծ, այնպես էլ փոքր վակուումում էլեկտրոնի գանգվածից: Ավելին, այն կարող է լինել նաև բացասական այն  $k$ -երի համար, որոնց դեպքում  $d^2\varepsilon/dk^2 < 0$ :

Այժմ ուսումնասիրենք էլեկտրոնի դիմանիկան արտաքին էլեկտրական դաշտում և պարզենք միաշափ բյուրեղական պարբերական դաշտի առկայությամբ պայմանավորված նրա առանձնահատկությունները (Ակ. VIII.7):

Դիցուք  $t = 0$  պահին էլեկտրոնը գտնվում է  $k = 0$  կետում:  $E \neq 0$  դաշտի ազդեցությամբ էլեկտրոնը կարագանա, նրա էներգիան կմնանա, և այն կը քաղաքեցնի գոտու ավելի ու ավելի մեծ էներգիաներով քվանտային վիճակներ: Փոքր  $k$ -երի համար, քանի դեռ  $\varepsilon(k) \sim k^2$ , էլեկտրոնի արագությունը՝  $v = \hbar k/m^* \sim k$ , քանի որ արդյունարար գանգվածը՝  $m^* = \hbar^2(d^2\varepsilon/dk^2)^{-1} = m$  մնում է հաստատում: Այսպիսի էլեկտրոնն



Ակ. VIII.7

իրեն պահում է որպես «նորմար» մասնիկ՝ ունի դրական, հաստատուն գանգված և արտաքին ուժի ազդեցությամբ արագանում է:  $k$ -ի մեծացման հետ  $\varepsilon(k)$  կորն աճում է ավելի դաշնաղ, քան պարաբոլը,  $m^*$ -ը սկսում է մեծանալ, իսկ  $v$ -ի աճը դանդաղում է: A կետը  $\varepsilon(k)$  կորի շրջման կետն է՝ այդ կետում  $(d\varepsilon/dk)_A = \max$ , իսկ  $(d^2\varepsilon/dk^2)_A = 0$ , ուստի էլեկտրոնի արագությունը դառնում է աստվելագույնը, իսկ  $m^* \rightarrow \infty$ : A շրջման կետն անցնելիս  $m^*$ -ը փոխում է նշանը՝ այն դառնում է բացասական, որի հետևանքով  $k$ -ի հետագա մեծացման հետ էլեկտրոնի արագությունը փորձանում է, չնայած արտաքին ուժի և մեծությունը, և ուղղությունը մնացել է անփոփոխ: B կետում՝ թրիստենի զոնայի սահմանի վրա էլեկտրոնը կրում է բրեզյան անդրադարձում և հայտնվում է B' կետում: B'A' տիրույթում այն արագանում է արտաքին ուժին հակառակ ուղղությամբ, և նրա արագությունը փոխվում է զրոյից մինչև  $-v_{\max}$ , իսկ արդյունարար զանգվածը՝  $-m_p^*$ -ից մինչև  $-\infty$ : A' շրջման կետում  $m^*$ -ը փոխում է նշանը և դառնում դրական, ուստի A'O տիրույթում էլեկտրոնն արագանում է արտաքին ուժի ուղղությամբ, նրա արագությունն աստիճանաբար աճում է, իսկ  $m^*$ -ն ընդունում է  $m$  հաստատուն արժեքը: Այսպիսով՝ պարբերական դաշտում զանվոր էլեկտրոնը արտաքին հաստատուն էլեկտրական դաշտի ազդեցության տակ կատարում և պարբերական, ժամանակի մեջ կրկնվող շարժում:

Էլեկտրոնի այսպիսի վարքը պայմանավորված է արտաքին  $F$  ուժի և բյուրեղական դաշտի կազմից էլեկտրոնի վրա ազդյան ներքին ուժի հարաբերակցության փոփոխությամբ: OA ալիրույթում ներքին ուժը, մնալով փոքր արտաքին ուժից, աստիճանաբար մեծանում է և A կետում հավասարվում է արտաքին ուժին: Այս տիրույթում էլեկտրոնն արագանում է արտաքին ուժի ուղղությամբ, սակայն արագացման մեծությունը փորձանում է և A կետում հավասարվում զրոյի՝  $(dv/dt)_A \sim (d^2\varepsilon/dk^2)_A = 0$ : Քանի որ արտաքին ուժը մնում է հաստատուն, ապա էլեկտրոնն «իրեն պահում» է այնպես, որ կարծես նրա զանգվածն անընդեալ մեծանում է, A կետում դառնալով հավասար անվերջության: AB տիրույթում բյուրեղական ցանցը էլեկտրոնի վրա ազդում է ավելի մեծ ուժով, քան արտաքին ուժն է, ուստի էլեկտրոնը

Ճեզք է բերում բացասական արագացում, նրա արագությունը փոքրանում է և Յ կետում դառնում գրությունը լինի: Այսինքն, էլեկտրոնն իրեն պահում է որպես բացասական վոլտիչական գանգվածով մասնիկ: Յ կետում անդրադարձման հետևանքով  $k$ -ն փոխում է նշանը ( $k = \pi/a \rightarrow -\pi/a$ ) և հայտնվում Յ' կետում: Յ' տիրույթում էլեկտրոնն արագացվում է ցանցի դաշտով, որը նրա վրա ազդում է ավելի մեծ ուժով, քան արտաքին ուժն է, ուստի էլեկտրոնն արագանում է,  $F$ -ի հակառակ ուղղությամբ, իրեն պահելով որպես բացասական վոլտիչական գանգվածով մասնիկ: Յ' կետից աջ ներքին ուժը դառնում է արտաքին ուժից վորք, և էլեկտրոնն իրեն պահում է որպես սովորական՝  $m = const > 0$  զանգվածով մասնիկ:

Որոշենք  $E = const$  դաշտում գտնվող միաչափ բյուրեղում էլեկտրոնի շարժման  $T_0$  պարբերությունը:  $T_0$  ժամանակում էլեկտրոնի  $\hbar$  քվազիիմպուլսը փոխվում է,  $2\pi\hbar/a$  չափով, ուստի (3.5) հավասարումից հետևում է

$$T_0 = \frac{2\pi\hbar}{aeE} \quad (3.14)$$

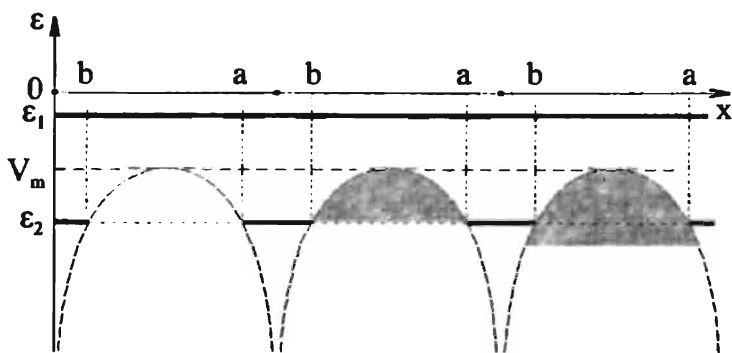
առնչությունը, որտեղ  $a$ -ն ցանցի հաստատումն է: Թույլ՝  $E \leq 10^4$  Վ/սմ դաշտերում  $T_0 \geq 10^{-11}$  վ կարգի մեծություն և զգալիորեն գերազանցում է էլեկտրոնի կյանքի  $\tau \sim 10^{-14}$  վ միջին տևողությունը:  $\tau \ll T_0$  պայմանը բացառում է իրական բյուրեղում էլեկտրոնի պարբերական շարժման հնարավորությունը, քանի որ մինչև Բրիլյուունի զոնայի սահմանին հասնելը և անդրադառնալը, էլեկտրոնը կիասցնի բազմիցս ցրվել բյուրեղում առկա արագաների վրա: Վերջին աարիներին ստեղծված արևեստական պարբերական կառուցվածքներում՝ գլուխանցերում (ցանցի  $a \geq 100 \text{ \AA}$  հաստատումով), որոշակի պայմաններում  $T_0 \sim \tau$ , և դիտվում են երևայթներ, որոնցում ի հայտ է գալիս էլեկտրոնի շարժման պարբերական բնույթը:

Հարկ է նշել, որ բյուրեղի պարբերական դաշտում շարժվող էլեկտրոնի խնդիրը և արդյունարար զանգվածով էլեկտրոնի խնդիրը միևնույն արտաքին ուժից դեպքում տավան և միևնույն արդյունքը, եթե էլեկտրոնի վիճակներն ընկած են էներգիական զոտու էքստրեմումների շրջակայքում, որտեղ արդյունարար զանգվածը հաստատուն մեծություն է:

#### **§4. Հաղորդիչներ և մեկաւսիչներ: Խոռոչի գուղափարը**

Պարբերական դաշտում էլեկտրանի և լուսագիրական սպեկտրի բնույթի պարզաբանումը հնարավորություն ընծեռեց միասնական հիմքի վրա բացատրելու մարմինների՝ բատ հաղորդականության դասակարգումը հաղորդիչների և մեկուսիչների:

Համաձայն դասական պատկերացումների, հաղորդիչների և մեկուսիցների տարրերությունը պայմանավորված է հաղորդիչներում այսպես կոչված «ազատ» էլեկտրոնների առկայությամբ, որոնք անարգել կարող են շարժվել բյուրեղի ողջ ծավալում և արտաքին, ցանկացած չափով բույլ էլեկտրական դաշտի ազդեցությամբ ձեռք բերել շարժման ուղղորդված բաղադրիչ, այսինքն՝ սաեղծել էլեկտրական հոսանք: «Ազատ» համարվում է այն էլեկտրոնը, որի լրիվ լներգիան՝  $\varepsilon_1$ -ը, ավելի մեծ է, քան բյուրեղական պոտենցիալի  $V_m$  առավելագույն արժեքը (Ել. VIII.8): Եթե էլեկտրոնի լրիվ էներգիան՝  $\varepsilon_2 < V_m$ , ապա այն կարող է շարժվել միայն երկու հարեւան մաքսիմալների միջև ընկած *աՅ* տիրույթում՝ այն «կապված» է ցանցի գործակի հանգույցի հետ, ուստի չի կարող մասնակցել ազատ էլեկտրոնների ուղղորդված շարժմանը: Այսպիսով, դասական մոտեցման շրջանակներում շրջանցվում է հեալյալ հիմնական հարցը. ինչո՞ւ որոշ նյութերում կան «ազատ» էլեկտրականներ, իսկ մյուսներում՝ չկան:



Ակ. VIII.8

Քվանտամեխանիկական մոռեցումը քննարկվող խնդրին բերում է այն և գրակացործյան, որ բյուրեղական ցանցում  $\hat{L}$  էլեկտրոնները մի բջիջ մյուսը կարող են անցնել ինչպես  $\varepsilon > V_m$ , այնպես էլ  $\varepsilon < V_n$  դևալում, եթե անցումը կաաարկում է բունելային եղանակով՝ առանց Լներգիայի վոփոխության: Բյուրեղում էլեկտրոնի ալիքային ֆունկցիան  $\varepsilon < V_n$  դևալում և զրոյից տարրեր և ցանկացած կետում: Ուսափ, շնայած արգելվների առկայությանը, էլեկտրոններն ազատ են, քանի որ նրանցից ցանկացածը կարող է գտնվել ցանկացած տարրական բջիջում, այսինքն՝ շարժվել բյուրեղով: Այս տևանկյունից բյուրեղի բոլոր էլեկտրոններն այս կամ այն չափով ազատ են: Մի բջիջ մյուսն անցման հավանականությունը կարող է ընդունել տարրեր արժեքներ, կայսված էլեկտրոնի Լներգիայից, արգելվի բարձրությունից և լայնությունից: Ասոմի ներքին բաղանքին սպառականող էլեկտրոնների համար  $\varepsilon << V_n$ , ուստի հավանականության խությունը, բացի ավյալ ասումը պարունակող բջիջուց, մնացածներում շատ փոքր է՝  $|\psi_k|^2 << 1$ : Արդյունքում այս էլեկտրոնները գործնականորեն «տեղայնացված» են, «կապված» տվյալ ատոմի հետ, ուստի չեն կարող մասնակցել էլեկտրահաղորդականության սյուցեաին:

Ընդհակառակը, ատոմի արտաքին՝ թույլ կապված էլեկտրոնների համար  $|\psi_k|^2$  մեծությունը զգալի է բյուրեղի բոլոր տարրական բջիջներում, ուստի այս էլեկտրոնները կարող են շարժվել ամբողջ բյուրեղով և էլեկտրական դաշտի առկայության դեպքում՝ մասնակցել եռանքին:

Սակայն հսդգրիչների և մեկուսիչների տարրերությունը պայմանավորված է ոչ թե նրանցում մեծ կամ փոքր թվով թույլ կապված կամ արժեքական էլեկտրոններով, այլ էլեկտրոնների շարժման ազատությունը սահմանափակող այլ գործուներով:

Որպեսզի համակարգում ծագի էլեկտրական եռանք, աներաժեշտ է, որ տիտարքին էլեկտրական դաշտը կարողանա համակարգում ստեղծել էլեկտրոնների՝ ըստ իմպուլսների բաշխման անհամաշավություն, այսինքն՝ այնպիսի վիճակ, երբ դաշտի տողությամբ և հակառակ ուղղությամբ շարժվող էլեկտրոնների թիվը տարրերում են իրարից:

Հավասարակշռական վիճակում, եթե արտաքին էլեկտրական դաշտը

բացակայում է, Էլեկտրոնների բաշխածան ֆունկցիան իմպուլսի գույզ ֆունկցիա է՝

$$f_0(-p) = f_0(p) : \quad (4.1)$$

Այսպիսով, հարցը հանդում է, ենտևալին. հնարավո՞ր է, արդյոք, թույլ արարքին էլեկտրական դաշտի միջոցով լսախտել էլեկտրոնների բաշխածան ֆունկցիայի գույզությունը, այսինքն՝ համակարգում սաւողել էլեկտրոնների բառ իմպուլսների բաշխման անհամաշավությունը՝

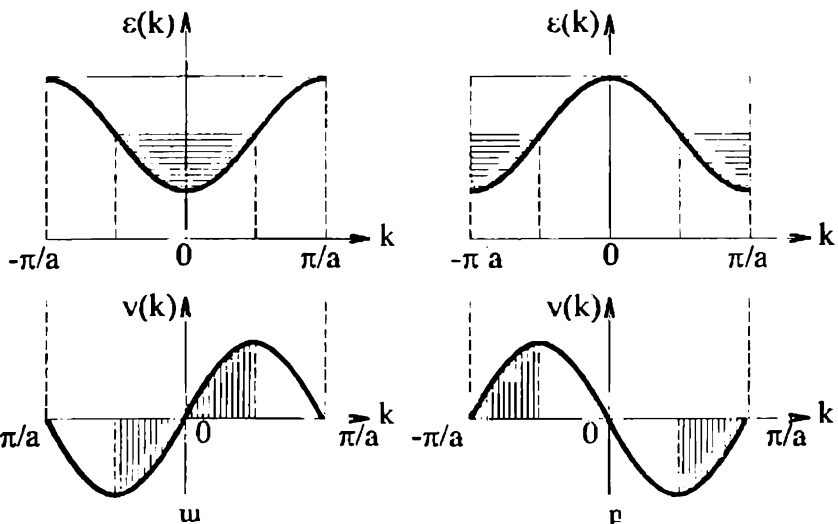
$$f(-p; E) \neq f(p; E) : \quad (4.2)$$

Ինչպես զիտենք, էլեկտրոնները բյուրնդում զբաղեցնում են թվանշային վիճակներ, որոնք կազմում են էներգիական բույատրելի գոախներ:  $n$ -րդ էներգիական գոստում յուրաքանչյուր քվանտային վիճակ արվում է քվանտային քվերի ( $k, s_z$ ) հավաքածուով, որտեղ  $k(k_x, k_y, k_z)$ -ն ալիքային վեկտորն է,  $s_z$ -ը՝ սպինի պրոյեկցիան: Քվանտային վիճակների թիվը որոշվում է քվանտային բվերի հնարավոր բույատրելի արժեքներով: Քանի որ աարքեր ֆիզիկական վիճակներ նկարագրող ալիքային վեկտորները հաստատուն խտորդամբ բաշխված են Բրիջուենի առաջին գոնայում, որտեղ նրանց թիվը  $N$  է ( $N$ -ը աարքական բչիցների թիվն և նմուշում), իսկ տվյալ  $k$ -ով քվանտային վիճակում, համաձայն Պատուի սկզբունքի, կարող է լինել երկու էլեկտրոն, ապա ցանկացած էներգիական գոտում էլեկտրոնի բույատրելի քվանտային վիճակների թիվը  $2N$  է:

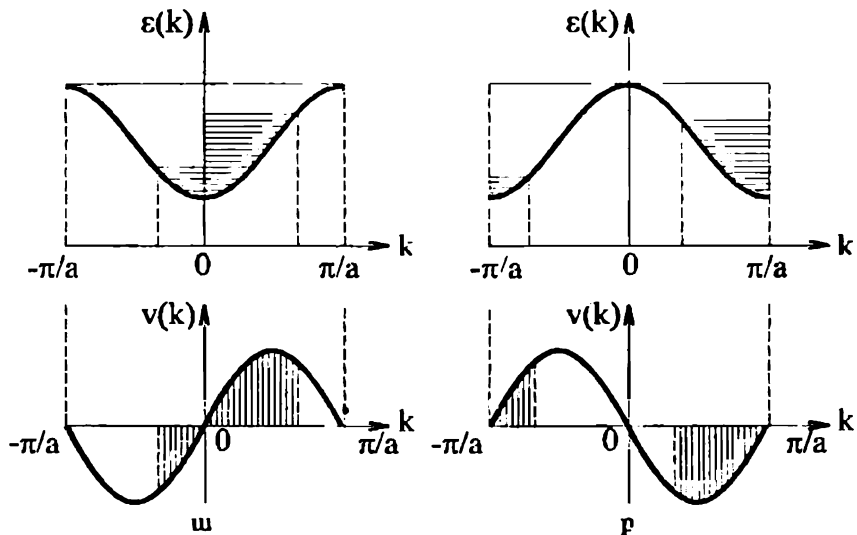
Եթե  $T = 0\text{K}$ -ում սկսենք էներգիական գոտիները լրացնել էլեկտրոններով, ապա նրանք կզբաղեցնեն մեկ կամ մի քանի ստորին էներգիական գոտիներ, իսկ վերջին գոտին կարող է լինել ինչպես մասամբ, այնպես էլ լիրվ լրացված:

1. Դիցուք՝ ամենավերջին էներգիական գոտին մասամբ է լրացված:

Եթե արաւաքին դաշտը՝  $E = 0$ , ապա էլեկտրոններն ըստ քվազիիմպուլսների բաշխված են համաշափ՝  $p$  քվազիիմպուլսով յուրաքանչյուր էլեկտրոնի կարևոր և համապատասխանության մեջ դնել  $-p$  քվազիիմպուլսով էլեկտրոն: Հետևաբար, չլրացված գոտու էլեկտրոնների միջին քվազիիմպուլսը (միջին արագությունը) կլինի հավասար գրայի, ինչը համապատասխանում է համակարգի հավասարակշռական վիճակին:



Նկ. VIII.9



Նկ. VIII.10

Նկ. VIII.9, VIII.10-ում պատկերված են էլեկտրոնի էներգիայի և արագության՝  $k$  քվանտային քվից կախման զրաֆիկները կենտ (ω) և գույզ (ρ)

զուաիմերի համար, որոնցում էլեկտրոններով գրադեգված վիճակները ստվերագծված են:

Եթե  $E \neq 0$ , ապա դաշտի ուղղությամբ շարժվող էլեկտրոնները կդանդաղեցվեն, նրանց էներգիաները և բվագիմալուսները կվոքրանան, իսկ դաշտին հակառակ շարժվող էլեկտրոններին՝ կմեծանան: Գուաում առկա մեծ էներգիայով և մինչև դաշտ միացնելն ազատ մակարդակները կցվեն, իսկ ավելի փոքր էներգիայով և մինչև դաշտ միացնելը գրադեգված մակարդակները կդատարկվեն: Այսպիսով, էլեկտրական դաշտի ազդեցության առակ մասնակիորեն լրացված գուաու էլեկտրոնները վերաբաշխվում են, նրանց բաշխման ֆունկցիան դառնում է անհամաշավի ըստ  $p$ -ի, իսկ միջին արագությունը՝ գրոյից աւարեր, ուսակ առաջանում է հոսանք (Յլ. VIII.10):

Այսպիսով, եթե տվյալ բյուրեղում էլեկտրոնի էներգիական սակելարի վերջին բույլատրելի գուաին լրացված է մասամբ, առաջ արտաքին բույլ էլեկտրական դաշտում նրանում կառաջանա հոսանք, այսինքն՝ այդպիսի բյուրեղը հաղորդիչ է:

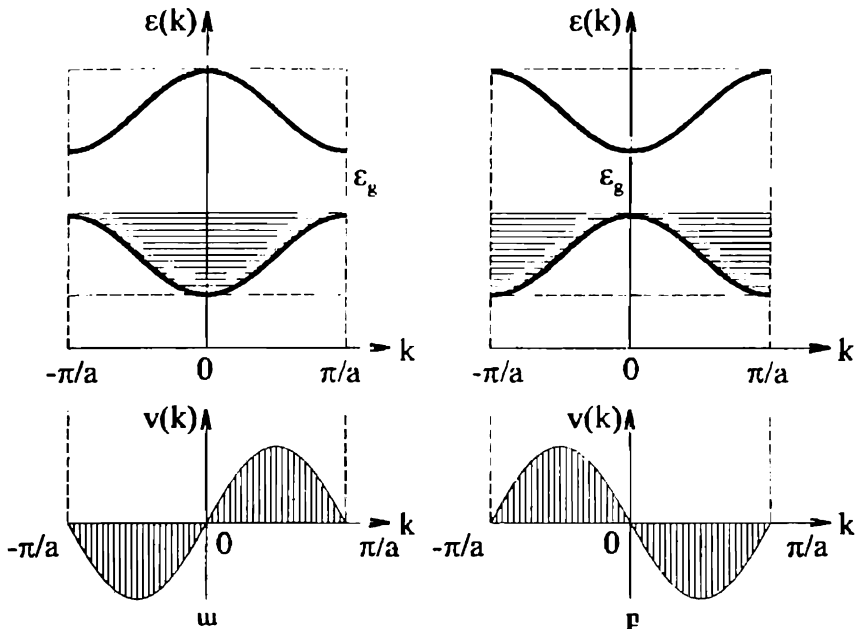
Հարկ է նշել, որ  $T = 0K$  սահմանակակումը սկզբունքային նշանակություն չունի, բանի որ, անգամ սենյակային ջերմասահմաններում, էլեկտրոնային գազն ուժեղ այլասերված է՝  $k_B T \ll \varepsilon_F(0)$ :

Սակայն ջերմասահմանի դերը կարևորվում է այլ ամնչությամբ: Ջերմասահմանի բարձրացման հետ մեծանում է ցանցի հանգույցների շուրջ խնմների տատանման ամպիլտուդը (Մաս I, IV.6), և էլեկտրոնների բախումները ցանցին ավելի հաճախակի են դառնում: Այդ բախումներն ուղեկցվում են էլեկտրոնների կողմից էներգիայի կորուստներով, ուստի տրված արտաքին դաշտում հաստավում է դիմամիկ հավասարակշուրջուն դաշտի կողմից էլեկտրոններին տրված և էլեկտրոնների կողմից բյուրեղական ցանցին տրված հզորակյունների միջև, որից հետո էլեկտրոնների միջին արագությունն այլև չի աճում, ինչը պայմանավորում է հաստատուն դաշտում հաստատուն հոսանքի գոյաւթյունը:

2. Այժմ դիտարկենք այն դեպքը, երբ վերջին էներգիական գոտին լրացված է:

$T = 0K$ -ում բոլոր քանտային վիճակները գրադեգված են էլեկտրոններով, իսկ հաջորդ բույլատրելի էներգիական գոտին, որը վերջին, ամբողջությամբ լցված գոտուց բաժանված է  $\varepsilon_g$  լայնությամբ արգելված գոտիով,

լրիվ ազատ է (Ըկ. VIII.11): Լրացված գուառու էլեկտրոնների միջին իմպուլսը զրո է, քանի որ ըստ իմպուլսների բաշխումը համաչափ է:



Նկ. VIII.11

Եթե  $E \neq 0$ , ապա լրացված էներգիական գոտու էլեկտրոններն արագանալ չեն կարող, քանի որ տվյալ քանատային վիճակի էներգիայից և մեծ, և փոքր էներգիաներակ քայլոր վիճակները զբաղեցված են: Որպեսզի առաջանա հոսանք, անհրաժեշտ է վերջին լրացված գոտուց էլեկտրոններին «տեղափոխությ» հաջորդ, ավելի մեծ էներգիաներակ ազատ գտնի: Դրա համար անհրաժեշտ է նրանց հաղորդել արգելված գոտու լայնությունը զերագանցող էներգիա: Եթե արգելված գոտու լայնությունը բավականաչափ մեծ է, ապա թույլ արտաքին էլեկտրական դաշտը չի կարող էլեկտրոններին հաղորդել պահանջվող էներգիան, ուստի նմուշում հոսանք չի առաջանա: Այսպիսով՝ լրիվ լրացված վերջին էներգիական գոտիով բյուրեղը մեկանափակ է:

Ստացված հայտանիշի օգնությամբ որոշենք տրված ատոմներից կազմված միաչափ բյուրեղի հաղորդիչ լինելու պայմանը:

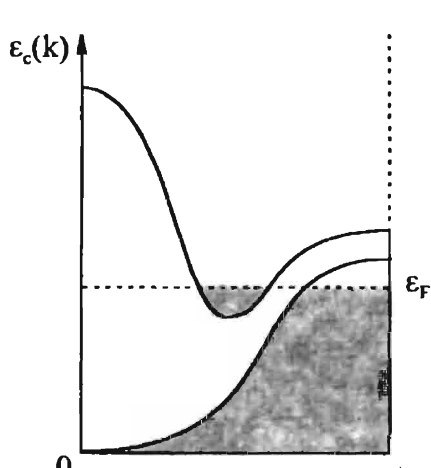
Դիտարկենք  $N$  տարրական բջիջից կազմված միաչափ բյուրեղ, որի յուրաքանչյուր բջջում պարունակվում է  $s$  հատ ատոմ՝ և կարգաքով և  $Z$  արժեքականությամբ (պարզության համար ներադրում ենք, որ ատոմներն ունեն նույն արժեքականությունը): Լրացված էներգիական գոտիների թիվը հավասար է էնելիարուների թվի և մեկ գոտում տեղերի թվի հարաբերությանը՝

$$N_0 = \frac{N \cdot s \cdot z}{2N} = \frac{1}{2}zs : \quad (4.3)$$

Ցանկացած ատոմի էնելիարուների թիվը կարելի է ներկայացնել որպես փակ էնելիարունային քաղանքներում գտնվող գույզ թվով էնելիարուների և վերջին քաղանքում գտնվող արժեքական էնելիարուների թվի գումար՝  $z = 2m + Z$ , որտեղ  $m = 0, 1, 2, \dots$ : Հետևաբար՝ լրացված գոտիների թիվը՝

$$N_0 = ms + \frac{1}{2}sZ : \quad (4.4)$$

Եթե  $s$ -ը գույզ է, ապա, անկախ  $Z$ -ից,  $N_0$ -ն ամբողջ է, ուսահ գործ ունենք մեկուսիչի հետ: Սակայն եթե  $s$ -ը կենտ է, ապա  $N_0$ -ի ամբողջ կամ կիսա-ամբողջ իմելը կախված է  $Z$ -ի արժեքից:



Նկ. VIII.12

$$N_0 = ms + nZ + \frac{Z}{2} : \quad (4.5)$$

Եթե  $Z$ -ը կենտ է, ապա վերջին էներգիական գոտին լրացված է կիսով, և բյուրեղը հաղորդիչ է: Եթե  $Z$ -ը գույզ է, ապա բյուրեղը կլինի մեկուսիչ:

Միաչափ բյուրեղի համար սահացված այս հետևողությունը, որպես կանոն, կիրառելի չէ եռաչափ բյուրեղների դեպքում, քանի որ նրանցում դիավում է էներգիական գոտիների «ծածկյան» երևոյթը, այսինքն՝ եթե բրիլյունի գոնայի որևէ կետում վերին գոտու էներ-

զիան ավելի փոքր է, քան նրանից ներքև ընկած գոտուն պատկանող էներգիան (ընդհանուր դեպքում՝ Էրիութենի գոնայի այլ կետում, Յկ. VIII.12):

Եթե գոտիները «ծածկվում» են, ապա մեկ (վերջին) լրացված գոտու փոխարեն, ինչը բնութագրութեան է մելուսից համար, առաջանում են կրկու (Նրեմն՝ ավելի), մասամբ լրացված գոտիներ, և բյուրնդը ի հայտ և բերում զգալի հաղորդականություն:

Այսպես, հիմնային և ազնիվ մետաղներում տարրական բջջին բաժին է ընկնում մեկ էլեկտրոն, և, ինչպես ցոյց է տալիս փորձը, դրանք լավագույն հաղորդիչներ են՝ ախայիկ մետաղներ (Այուսակ VIII.1: Տվյալները տրված են առանց մնացորդային դիմադրության,  $T = 295\text{K}$ ):

### Այուսակ VIII.1

| Տարր                                     | Li   | Na   | K    | Rb   | Cs   | Cu   | Ag   | Au   |
|--|------|------|------|------|------|------|------|------|
| $\sigma(10^5 \Omega^{-1}\text{սմ}^{-1})$ | 1.07 | 2.11 | 1.39 | 0.80 | 0.50 | 5.88 | 6.21 | 4.55 |

Հազվագյուտ խողային մետաղներում տարրական բջջին բաժին է ընկնում երկու էլեկտրոն, այսինքն՝ նրանք «պետք» է լինեն մեկուսիչներ, սակայն նրանց էներգիական գոտիները «ծածկվում» են, ուստի նրանք մետաղներ են (Այուսակ VIII.2: Տվյալները տրված են առանց մնացորդային դիմադրության,  $T = 295\text{K}$ ):

### Այուսակ VIII.2

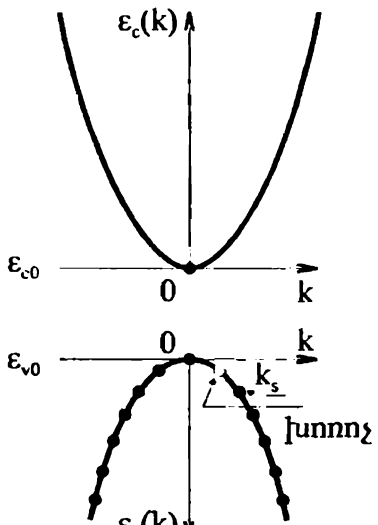
| Տարր | $\sigma(10^5 \Omega^{-1}\text{սմ}^{-1})$ | Տարր | $\sigma(10^5 \Omega^{-1}\text{սմ}^{-1})$ |
|------|--|------|--|
| Ce   | 0,12                                     | Tb   | 0,09                                     |
| Pr   | 0,15                                     | Dy   | 0,11                                     |
| Nd   | 0,17                                     | Ho   | 0,13                                     |
| Sm   | 0,10                                     | Tm   | 0,16                                     |
| Eu   | 0,11                                     | Yb   | 0,38                                     |
| Gd   | 0,07                                     | Lu   | 0,19                                     |

Եթե  $T \neq 0\text{K}$ , ապա վերջին լրացված գոտուց (որն ընդունված է անվանել արժեքական) որոշ էլեկտրոններ չերմային շարժման արդյունքում կարող են ձեռք բերել մինչև մոտակա դատարկ գոտին (որն ընդունված է ան-

վանել հաղորդականության) բնկած արգելված գուառ լայնությանը հավասար էներգիա և անցնել հաղորդականության գոտի: Այս պարագայում քոյլ էլեկտրական դաշտի կիրառումը կբերի հոսանքի առաջացման: Որքան փոքր է տվյալ արգելված գոտու լայնությունը, այնքան շատ էլեկտրոններ տրված ջերմաստիճանում կարող են անցնել հաղորդականության գոտի: Ջերմաստիճանի բարձրացման հետ հաղորդականության գոտի անցնող էլեկտրոնների թիվն արագ աճում է, որի հետևանքով մեծանում է  $T = 0K$ -ում մեկուսի բյուրեղի էլեկտրահաղորդականությունը:

Էլեկտրոնների՝ հաղորդականության գոտի անցումների հետևանքով արժեքական գոտու առաստաղին մոռա զտնվող որոշ քվանտային վիճակներ ազատվում են: Արժեքական գոտում մնացած էլեկտրոնները, դաշտի ազդեցությամբ մեծացնելով իրենց լենքի անդամները, կարող են զբաղեցնել այդ ազատված վիճակները: Այսպիսով,  $T \neq 0K$ -ում արտաքին դաշտն ի վիճակի է վերաբաշխել նաև լրիվ չլրացված արժեքական գոտու էլեկտրոնների բաշխումն ըստ իմպուլսների և ստուգել հոսանք:

Եթե արժեքական գոտում որևէ էլեկտրոն, դաշտում մեծացնելով իր էներգիան, զբաղեցնում է ազատված քվանտային վիճակ, ասկա նրա կող-



Նլ. VIII.13

մից ազատված քվանտային վիճակն է զբաղեցվում և մեկ այլ էլեկտրոնի կողմից (Նլ. VIII.13.  $\epsilon_{c0}$ -ն հաղորդականության

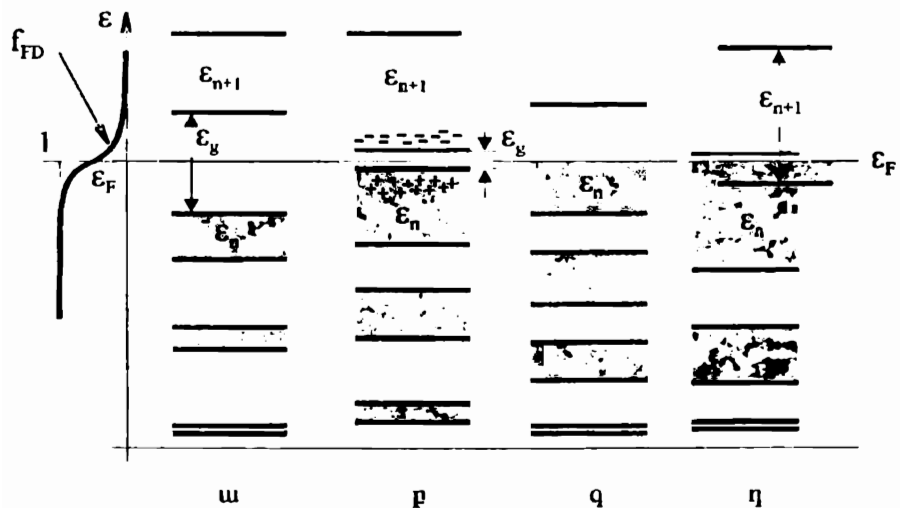
(c) գոտու հատակն է,  $\epsilon_{v0}$ -ն՝ արժեքական (v) գոտու առաստաղը): Արյունքում էլեկտրոնի կողմից ազատված քվանտային վիճակը շարժվում է էլեկտրոնի շարժման ուղղությանը հակառակ ուղղությամբ, այնպէս, ինչպէս տրված էլեկտրական դաշտում կշարժվեր էլեկտրոնի լիցքի բացարձակ արժեքին հավասար  $+e$  լիցքով և դրական զանգվածով մասնիկը: Այսպիսի շարժումական վիճակները, որոնք բնութագրվում են էլեկտրոնների պակասությունով և շարժման բնույթով նման են

դրական լիցքով մասնիկների շարժմանը, կոչվում ևն խոռոչներ: Էներգիական գուաում որևէ բվանտային վիճակում խոռոչի առկայությունը հսմարժեք է այդ վիճակում լեկարոնի բացակայության: Տևականորեն զգայի ենջտ է բննարկել ոչ թե լեկտրոնների «փոխանցումավագր»: Այլ դրան համարժեք մեկ մասնիկի՝ խոռոչի շարժումը:

Եթե էլեկտրական գուաում անցնում է հաղորդականության գծախ, ապա բյուրեղում միաժամանակ սուզանում է երկու լիցքակիր՝ էլեկտրան (հաղորդականության գոտում) և խոռոչ (արժեքական գուաում), որունք  $E \neq 0$  դեպքում մասնակցում են հոսանքի սանդնւանը, այսինքն՝ հոսանքը պայմանավորված է և լեկարոնների, և խոռոչների ուղղորդված շարժումով:

Հարկ է եիշել սակայն, որ խոռոչի գաղափարի ներմուծումը պարզապես հարմար ակտական հնարք է. խոռոչն իրական մասնիկ չէ, ինչպիսին լեկարոնն է, այն չի կարող գոյուրյուն ունենալ վակուումում:

Այն նյուրերը, որոնց էլեկտրահաղորդականությունը պայմանավորված է վերը նկարագրված ֆիզիկական պրոցեսներով, կոչվում են կիսահաղորդիչներ: Կիսահաղորդիչների և մոնիուսիչների միջև ատրերությունը որոշ խմաստով պայմանական է: Որքան փոքր է հաղորդականության և արժե-



Նկ. VIII.14

բական գոսիների միջև ճնշյալ լայնությունը, այնքան ավելի շատ Լիկարտոն-ներ կարող են չերմային ակտիվացման արդյունքում անցնել հաղորդականության գոտի, ուստի և ավելի մեծ կյինի նմուշի հաղորդականությունը: Նկ. VIII.14-ում պատկերված են Լներգիական գոտիների լրացման վերը դիտարկված դեսպերը, երբ  $T \neq 0K$  (ա - մելուսիչ, թ - կիսահատորդիչ, զ - մետաղ, դ - մետասի, գոսիների «ծածկում»:  $f_{FD}$ -ն Ֆերմի-Դիրակի բաշխման ֆունկցիան է):

Հաղորդականության գոտի անցած Լիկարտոնները նորից կարող են վերադառնայ արժեքական գոտի, որտեղ կան ազատ քվանտային վիճակներ: Քանի որ չերմային շարժման հետևանքով Լիկարտոնների անցումները հաղորդականության գոտի չեն դաշտարկմ, ապա տրված չերմասահճանում դեպի հաղորդականության գոտի և հասկառակ ուղղությամբ Լիկարտոնային և սրբերն իրար համակշռում են: Հաստատվում է շարժուն հավասարակշռություն, որի դեպքում Լիկարտոնների և խոռոչների կոնցենտրացիաները մնում են հաստատուն:

Գոտիական անսության շրջանակներում խոռոչի գաղափարի ներմուծումը հնարավորություն տվեց ենշտությամբ բացատրելու որոշ մեաաղների Հոլի  $R_H$  գործակցի դրական լինելու փաստը (VI.4, Աղյուսակ VI.1): Նշված մետաղներում տեղի ունի էներգիական գոտիների «ծածկում» (Նկ. VIII.12), որի արդյունքում առաջանում է լրիվ չլրացված գոտի, որի ներդրումը Հոլի գործակցում դրական է և զերազանցում է մասնակիորեն լրացված գոտու Լիկարտոնների ներդրումը:

## ՊԻՆԴ ՄԱՐՄԻՆՆԵՐԻ ՄԱԳՆԻՍԱԿԱՆ ՀԱՏԿՈՒԹՅՈՒՆՆԵՐԸ

### §1. Պինդ մարմինների դասակարգումն ըստ մագնիսական հատկությունների

Նյութը կազմող տարրական մասնիկները էլեկտրոնները, պրոտոնները և նեյտրոնները օժանակած են ինպուլսի մոմենտով, որը պայմանավորված է ինչպես նրանց ուղևորային շարժումով, այնպես էլ սեփական մեխանիկական մոմենտով՝ սպինով: Հայտնի է, որ և ուղևորային շարժման, և սպինի հետ կապված է մագնիսական մոմենտ, ուստի տարրական մասնիկներն իրենցից ներկայացնում են տարրական մագնիսներ, և նրանից կազմված ցանկացած համակարգ՝ միջով, էլեկտրոնային քաղանք, ատոմ, մոլեկուլ մակրոմարմին, սկզբունքորեն մագնիսականության աղբյուր է: Այս տեսանկյունից բնության մեջ գոյություն ունեցող բոլոր մարմինները մագնիսական նյութեր են, այսինքն՝ մագնիսականությունը համբարդիանուր բնույթ է կրում:

Նյութերի դասակարգումն ըստ մագնիսական հատկությունների կարելի է կատարել երեսությանորեն, օգտագործելով նյութի մագնիսական որևէ բնութագիր, առանց պարզելու մագնիսականության կրոնկրուտ կրողներին և նրանց միջև գործող փոխազդեցությունները: Ընդունված է այդ դասակարգումը կատարել ըստ մագնիսական բնկալունակության նշանի և մեծության:

Նյութը *H* լարվածությամբ մագնիսական դաշտում ձեռք է բերում որոշակի մագնիսական մոմենտ՝ այն մագնիսանում է: Եթե *M*-ով նշանակեմք նյութի միավոր ծավալի մագնիսական մոմենտը, որն ընդունված է անվանել մագնիսացվածություն, ապա կապը մագնիսացվածության և դաշտի լարվածության միջև տրվում է

$$M = \chi H \quad (1.1)$$

բանաձևով, որտեղ  $\chi$  -ն նյութի մագնիսական ընկալունակությունն է: Նյութում մագնիսական դաշտը բնութագրվում է ինդուկցիայի *B* վեկտորով՝

$$B = H + 4\pi M = H(1 + 4\pi\chi) = \mu H \quad , \quad (1.2)$$

որաւել մագնիսական բափանցելիությունն է և արաւահայսվում է ընկալունակության միջոցով՝

$$\mu = 1 + 4\pi\chi : \quad (1.3)$$

Ընդհանուր դևպրում և ընկալունակությունը, և մագնիսական բափանցելիությունը II կարգի տեսքորներ են, ուստի (1.1) և (1.2) առնչությունները տեսլի ունեն միայն իզուրուպ մարմինների համար: Հետազայում կընթադրենք, որ զործ ունենք իզուրուպ պինդ մարմնի՝ բազմաբյուրեղի հետ:

Համաձայն (1.1) սահմանման,  $\chi$  մեծությունը չափազուրկ է՝

$$\chi = \frac{M}{H} , \quad (1.4)$$

բանի որ  $M$ -ը և  $H$ -ը նույն չափայնությունն ունեն:  $\chi$ -ի հետ մեկտեղ հաճախ օգտագործվում են միավոր զանգվածի ընկալունակության՝  $\chi_\rho$ -ի և մոլային (ատոմային) ընկալունակության՝  $\chi_\mu$ -ի հասկացությունները՝

$$\chi_\rho = \frac{M \cdot V}{H \cdot m} = \frac{\chi}{\rho} , \quad (1.5)$$

$$\chi_\mu = \frac{M \cdot V}{H \cdot v} = \frac{\chi}{\rho} \bar{\mu} = \chi_\rho \cdot \bar{\mu} , \quad (1.6)$$

որտեղ  $V$ -ն մարմնի ծավան է,  $\rho$ -ն՝ լստությունը,  $v$ -ն՝ մոլերի քիվը  $m$  զանգվածում,  $\bar{\mu}$ -ն՝ մոլային զանգվածը:

Ըստ մագնիսական հատկությունների պինդ մարմինները բաժանվում են երեք խմբի.

*ա) Դիամագնիսական նյութեր (դիամագնիսներ),* որոնց ընկալունակությունը բացասական է՝  $\chi < 0$ , բացարձակ արժեքով  $10^{-6} \div 10^{-5}$  կարգի մեծություն է, և կախված չէ ոչ ջերմաստիճանից, ոչ մագնիսական դաշտի լարվածությունից: Մագնիսական բափանցելիությունը՝  $\mu \approx 1$ , ուստի  $B$  և  $H$  վեկտորները գործնականորեն նույնն են:

*բ) Պարամագնիսական նյութեր (պարամագնիսներ),* որոնց ընկալունակությունը դրական է՝  $\chi > 0$  և  $10^{-5} \div 10^{-3}$  կարգի մեծություն է. կախված

Է ջերմաստիճանից, գործնականորեն կախված չէ մազնիսական դաշտի լարվածությունից:  $\mu \approx 1$ , ուստի  $B$  և  $H$  վեկտորները զրեք նույնն են:

գ) *Մազնիսակարգավորված կամ ուժեղ մազնիսական նյութեր (ֆեռո-մազնիսներ, հակաֆեռոմազնիսներ, ֆեռիմազնիսներ)*, որոնց ընկալունակությունը դրական է և շատ անգամ մեծ պարամագնիսների ընկալունակությունից, եապես կախված է և ջերմաստիճանից, և մազնիսական դաշտի լարվածությունից: Այս նյութերի մազնիսական բավանցելիությունը կարող է ընդունել շատ մեծ արժեքներ, ուստի  $B$  և  $H$  վեկտորներն իրարից կարող են խփստ տարբերվել:

Դիամագնիսական և պարամագնիսական հատկությունները բնորոշ են նյութերին բոլոր ազրեգատային վիճակներում, սակայն մազնիսակարգավորված վիճակ հնարավոր և միայն բյուրեղներում:

Չանչի որ դիամագնիսների և պարամագնիսների ընկալունակությունը շատ փոքր է մեկից՝  $|\chi| << 1$ , ապա այս նյութերի համար ընդունված է «քոյլ մազնիսական նյութեր» անվանումը: Թույլ մազնիսական նյութերում մազնիսացվածությունը մազնիսական դաշտի լարվածության գծային ֆունկցիա է, ուստի ընկալունակության

$$\chi = \frac{M}{H} \quad \text{և} \quad \chi = \frac{dM}{dH} \quad (1.7)$$

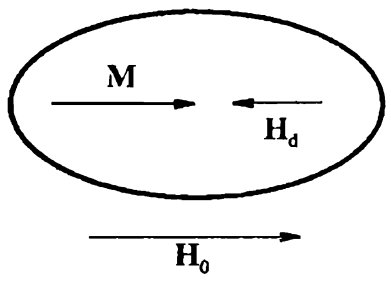
սահմանումները համարժեք են:

Ի տարբերաբեր քոյլ մազնիսական նյութերի, ուժեղ մազնիսական նյութերը բնութագրվում են երկու տարբեր ընկալունակություններով՝ լրիվ ընկալունակություն, որը սահմանվում է (1.1) առնչությամբ, և դիֆերենցիալ ընկալունակություն, որը սահմանվում է որպես

$$\chi_d = \frac{dM}{dH} \quad (1.8)$$

և կախված է մազնիսական դաշտի լարվածությունից ոչ գծային օրենքով:

Ուժեղ մազնիսական նյութերի մյուս առանձնահատկությունը «նյութի ընկալունակություն» և «նմուշի ընկալունակություն» հասկացությունների տարբերությունն է: Բանն այն է, որ այս նյութերի մազնիսացվածությունը կախված է ոչ միայն ընկալունակությունից (նյութի տեսակից), այլ նաև նմուշի երկրաչափական բնութագրերից, քանի որ մազնիսացման հետևան-



Նկ. IX.1

բով նմուշում առաջանում է արտաքին մագնիսական դաշտին հակառակ ուղղված այսպիս կոչված «ապամուզ-նիսացնող» դաշտ՝  $H_d$  (նկ. IX.1), որի մեծությունը համեմատական է նմուշի մագնիսացվածությանը՝

$$H_d = 4\pi nM : \quad (1.9)$$

ո գործակիցը կոչվում է ապամագնիսացնող գործոն և համընկնում է Մաս I,

V-ում ներմուծված ապարիեռացնան գործակցի հետ: Նրա մեծությունը (համասեռ նյութում) կախված է միայն նմուշի ծեփից:

Գումարային մագնիսական դաշտը նմուշում՝

$$H = H_0 - 4\pi nM = H_0 - 4\pi n\chi H \quad (1.10)$$

կամ

$$H_0 = H(1 + 4\pi n\chi) , \quad (1.11)$$

որպես  $H_0$ -ն արտաքին մագնիսական դաշտի լարվածությունն է:

Նմուշի ընկալունակությունը՝

$$\chi_0 = \frac{M}{H_0} = \frac{M}{H(1 + 4\pi n\chi)} = \frac{\chi}{1 + 4\pi n\chi} : \quad (1.12)$$

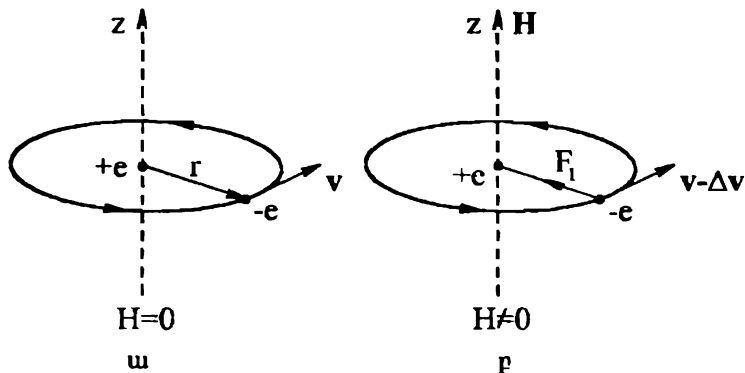
Ապամագնիսացնող գործոնի արժեքներն ընկած են  $0 \leq n \leq 1$  տիրույթում, ուստի թույլ մագնիսական նյութերի համար  $4\pi n\chi \ll 1$  և  $\chi_0 \approx \chi$ , իսկ ուժեղ մագնիսական նյութերում  $\chi_0$  և  $\chi$  մեծություններն իրարից կարող են եապես տարրերվել: Որպես առաջարկած մագնիսական նյութի նմուշին տալիս են բարակ, երկար գլանի ձև, որի դեպքում  $n \ll 1$  և  $\chi_0 \approx \chi$ :

Հետագա շարադրանքի առաջին մասը (§§2-6) նվիրված է թույլ մագնիսական նյութերի, իսկ երկրորդ մասը (§§7-14)՝ ուժեղ մագնիսական նյութերի ուսումնասիրությանը:

## §2. Ատոմական դիամագնիսականություն: Բորի, Վան-Լեևենի թեորեմը

Դիամագնիսականությունը պայմանավորված է էլեկտրական լիցքերի՝ արտաքին մագնիսական դաշտը մասնակիորեն Ալբանավորելու հատկությամբ: Այն դրսեորումն է Լենցի կանոնի, որի համաձայն կոնտուրում մագնիսական հոսքի վոլտությունը նրանում մակածում է ինդուկցիոն հոսանք, որը խշընդուռում է այդ հոսքի վոլտությանը: Հետեւաբար՝ դիամագնիսականությամբ օժտված են առանց բացառության բոլոր մարմինները, սակայն այն շատ հաճախ ի հայտ չի գալիս ավելի ուժեղ պարամագնիսականությամբ քողարկվելու պատճառով:

Այժմ ծանրանանը դիամագնիսականության դասական տեսությանը, որը տրվել է Պ.Լանժըվենի կողմից (1905):



Նկ. IX.2

Պարզության համար նախ դիտարկենք մեկ էլեկտրոնի շարժումը մագնիսական դաշտի ուղղությանն ուղղահայաց հարթության մեջ: Եթե  $H = 0$ , ապա էլեկտրոնը պատվում է միջուկի շորջը կալինյան ուժի ազդեցության տակ (Նկ. IX.2, α), ուստի նրա շարժման հավասարումը կունենա

$$m\omega_0^2 r = \frac{e^2}{r^2} \quad (2.1)$$

տեսքը, որտեղից որոշվող

$$\omega_0 = \left( \frac{e^2}{mr^3} \right)^{1/2} \quad (2.2)$$

մեծությունը էլեկտրոնի շրջանային հաճախաբերությունն է: Երբ մագնիսական դաշտը զրայից աճելով, հասնում է որոշակի  $H$  արժեքի, էլեկտրոնի ուղևծությունը սահմանափակված մակերեսով մագնիսական հոսքն աճում է, որի հետևանքով ծագում է ուղևծությունը շրջավորով ուղղված մակածված էլեկտրական դաշտ: Այն փոփոխությունը էլեկտրոնի զարգությունը (նկ. IX.2, բ-ում պատկերված դեպքում էլեկտրոնի արագությունը փոքրանում է): Միաժամանակ էլեկտրոնի վրա ազդում է Լորենցի ուժը, որն ուղղված է շրջանի շառավղով (նկ. IX.2, բ): Լորենցի

$$\mathbf{F}_L = -\frac{e}{c} [\mathbf{v}, \mathbf{H}] \quad (2.3)$$

ուժի հաշվառումով շարժման հավասարությունը կը նշունք

$$m\omega^2 r = m\omega_0^2 r \mp \frac{e}{c} \omega r H \quad (2.4)$$

տեսքը, որտեղ  $\omega$ -ն մագնիսական դաշտում էլեկտրոնի պտտման նոր հաճախաբերությունն է, իսկ ( $\mp$ ) նշանները համապատասխանում են շրջանագծով պտտման երկու հնարավոր ուղղություններին: (2.4) հավասարման լուծումներն են

$$\omega = \mp \frac{eH}{2mc} \pm \sqrt{\left( \frac{eH}{2mc} \right)^2 + \omega_0^2} : \quad (2.5)$$

Եթե մագնիսական դաշտի լարվածությունը քավարարում է

$$H \ll H_0 = \frac{2mc\omega_0}{e} \quad (2.6)$$

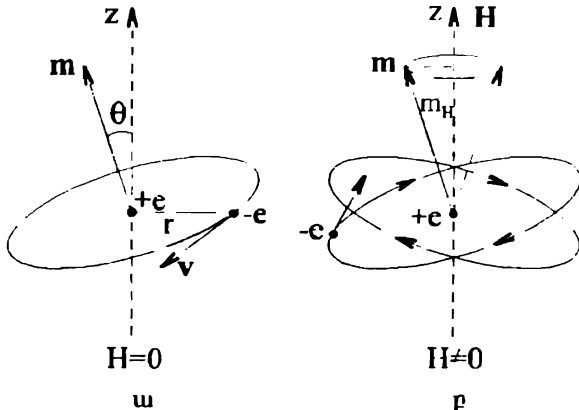
պայմանին, ապա (2.5) քանաձևից կստանանք՝

$$\omega = \mp \frac{eH}{2mc} \pm \omega_0 : \quad (2.7)$$

Մագնիսական դաշտի ազդեցության տակ էլեկտրոնի պտայտի հաճախաբերության փոփոխությունը՝

$$\omega_L = \frac{eH}{2mc} \quad (2.8)$$

մեծությունը կոչվում է լիսրմորյան հաճախություն: Այն բնութագրում է էլեկտրոնի ուղեծրային շարժման վրա արտաքին մագնիսական դաշտի ազդեցության չափը: Ըստ (2.6) պայմանի,  $\omega_0 \sim 10^{15}$  ռադ·վ<sup>-1</sup> արժեքների համար  $H_0 \approx 10^8$  Գս, այն դեպքում, եթե ներկայում փորձում ստացվող մագնիսական դաշտները չեն գերազանցում  $10^7$  Գս-ը:



Նկ. IX.3

Եթե էլեկտրոնային ուղեծրի հարթության նորմալը դաշտի ուղղության հետ կազմում է զրոյից տարրեր անկյուն (նկ. IX.3, ա), ապա նորմալով ուղղված կլինի նաև էլեկտրոնի սաեղծած փակ նոսանքի մագնիսական մոմենտի  $m$  վեկտորը: Եթե  $H \neq 0$ , ապա էլեկտրոնի վրա կազդի ուժի մոմենտ՝

$$K = [m, H], \quad (2.9)$$

որը պայմանավորում է համակարգի  $L$  մեխանիկական մոմենտի փոփոխությունը ժամանակի ընթացքում՝

$$\frac{dL}{dt} = K = [m, H] : \quad (2.10)$$

Նկատի ունենալով համակարգի մեխանիկական և մագնիսական մոմենտների միջև

$$m = -\frac{e}{2mc} L \quad (2.11)$$

կապը, (2.10) հավասարումը կարելի է ներկայացնել

$$\frac{dm}{dt} = -\frac{e}{2mc} [m, H] = -[m, \omega_L] \quad (2.12)$$

տեսքով, որտեղ  $\omega_L$  վեկտորն ուղղված է  $H$ -ով, իսկ նրա մեծությունը տրվում է (2.8) բանաձևով: Համաձայն (2.12) հավասարման,  $m$  վեկտորը  $\omega_L$  անկյունային արագությամբ պտտվում է  $H$  վեկտորի շորջը, ըստ որում նրա մեծությունը և  $H$ -ի ուղղության հետ կազմած անկյունը չեն փոփոխվում ժամանակի ընթացքում (լարմորյան կոնապտույտ (պրեցեսիա), նկ. IX.3, բ): Իրոք, եթե (2.12) հավասարումը բազմապատկենք սկալյարուն նախ՝  $m$ -ով, իսկ հետո՝  $H$ -ով, և նկատի ունենանք, որ  $(m[m, H]) = (H[m, H]) = 0$ , ապա կստանանք՝

$$m \frac{dm}{dt} = \frac{1}{2} \frac{d}{dt} (|m|^2) = 0, \quad |m| = const, \quad (2.13)$$

$$H \frac{dm}{dt} = \frac{d}{dt} (Hm) = H \frac{dm_H}{dt} = 0, \quad m_H = const:$$

Այսպիսով, անկախ էլեկտրոնային ուղեծրի հարթության դիրքից, արտաքին մագնիսական դաշտը բերում է էլեկտրոնի պտտման անկյունային արագության փոփոխության  $\omega_L$ -ով:

Մագնիսական դաշտում էլեկտրոնի ծեռք բերած լրացուցիչ  $\omega_L$  անկյունային արագությունը պայմանավորում է լրացուցիչ հոսանք՝

$$i = \frac{-e}{T_L} = -\frac{e\omega_L}{2\pi} = -\frac{e^2 H}{4\pi mc}, \quad (2.14)$$

որի ստեղծած մագնիսական մոմենտը՝

$$\Delta m = \frac{1}{c} i S = -\frac{e^2 HS}{4\pi mc^2}, \quad (2.15)$$

որտեղ  $S$ -ը էլեկտրոնի ուղեծրով սահմանավակված մակերեսի պրոյեկցիան է դաշտին ուղղահայաց հարթության վրա՝

$$S = \pi(x^2 + y^2) = \pi\rho^2 : \quad (2.16)$$

$z$  էլեկտրոն ունեցող ատոմի՝ արտաքին մագնիսական դաշտում ծեռք բե-

բած մազնիսական մոմենտը՝

$$\langle M_1 \rangle = z \langle \Delta m \rangle = -\frac{e^2 H}{4mc^2} \sum_{k=1}^z (\langle x_k^2 \rangle + \langle y_k^2 \rangle), \quad (2.17)$$

որտեղ  $\langle \dots \rangle$ -ը նշանակում է տարածական միջինացում: Գնդային համաչափությամբ օժտված ատոմի համար

$$\langle x_k^2 \rangle = \langle y_k^2 \rangle = \langle z_k^2 \rangle = \frac{1}{3} \langle R_k^2 \rangle, \quad (2.18)$$

որտեղ  $R_k$ -ն  $k$ -րդ էլեկտրոնի ուղեծրի շառավիղն է: Եթե նյութի միավոր ծավալում պարունակվում է  $N_1$  ատոմ, ապա մազնիսացվածության համար (2.17) և (2.18) բանաձևերից կստանանք՝

$$M = N_1 \langle M_1 \rangle = -\frac{e^2 N_1 z}{6mc^2} \langle R^2 \rangle \cdot H, \quad (2.19)$$

որտեղ

$$\langle R^2 \rangle = \frac{1}{Z} \sum_{k=1}^z \langle R_k^2 \rangle \quad (2.20)$$

մեծությունը էլեկտրոնային ուղեծրի միջինացված շառավիղն է: (1.1) սահմանումից և (2.19) արտահայտությունից կստանանք՝

$$\chi = -\frac{e^2 N_1 z}{6mc^2} \langle R^2 \rangle = -\frac{e^2 N_A \rho z}{6mc^2 \bar{\mu}} \langle R^2 \rangle, \quad (2.21)$$

որտեղ  $N_A$ -ն Ավոգադրոյի թիվն է: (2.21), (1.5) և (1.6) բանաձևերից միավոր զանգվածի և մոլային ընկալունակությունների համար ստացվում են հետևյալ արտահայտությունները՝

$$\chi_\rho = \frac{1}{\rho} \chi = -\frac{e^2 N_A z}{6mc^2 \bar{\mu}} \langle R^2 \rangle, \quad (2.22)$$

$$\chi_\mu = \bar{\mu} \chi_\rho = -\frac{e^2 N_A z}{6mc^2} \langle R^2 \rangle : \quad (2.23)$$

Վերջին բանաձևի մեջ տեղադրելով հիմնարար հաստատունների արժեքները, կստանանք՝

$$|\chi_\mu| \approx 2,832 \cdot 10^{10} z \langle R^2 \rangle : \quad (2.24)$$

Այս մեծությունը կախված է միայն էլեկտրոնային ուղեծրի շառավղից: Եթե ընդունենք  $\langle R^2 \rangle \sim 10^{-16} \text{ սմ}^2$ , ապա

$$|\chi_\mu| \sim 10^{-6} z, \quad (2.25)$$

որը կարգով համրնենում է վորձի հետ (Աղյուսակ IX.1): Աղյուսակ IX.1-ում տրված են իներտ գազերի դիամագնիսական բնկալունակության փորձնական և տեսական արժեքներն բատ տարրեր աղյուրների:

### Աղյուսակ IX.1

| Տարր      | $ \chi_\mu  \cdot 10^{-6} \text{ սմ}^3 \text{ մոլ}^{-1}$ |            |
|-----------|--|------------|
|           | Վորձ   | Տեսություն |
| <b>He</b> | 2,02   | 1,86       |
| <b>Ne</b> | 6,96   | 7,4        |
| <b>Ar</b> | 19,23  | 18,8       |
| <b>Kr</b> | 28,02  | 31,7       |
| <b>Xe</b> | 42,02  | 42,9       |

Մենք հաշվեցինք դիամագնիսական բնկալունակությունը զուտ դասական ձևով, առանց հաշվի առնելու ասումի սպիտ: Այդ պատճառով  $\chi$ -ի համար ստացված (2.21) (ինչպես նաև  $\chi_r$ -ի և  $\chi_\mu$ -ի) արտահայտությունը վերաբերվում է փակ՝  $S = 0$  սպիտով էլեկտրոնային թաղանթները ունեցող ատոմներին (այսպես կոչված աստոմական դիամագնիսականություն):

Ընկալունակության (2.21) բանաձևն արտածելիս մենք անբացահայտորեն ենթադրեցինք, որ տարրական շրջանային հոսանքները կայուն են, ինչը հակասում է դասական պատկերացումներին:

Այժմ ապացուցենք, որ արտաքին մագնիսական դաշտում գտնվող լիցքերի դասական հանրույթի մագնիսական մոմենտը հավասարակշռական վիճակում հավասար է գրոյի (Բորի, Վան-Լենինի թեորեմ):

Արաւարքին մագնիսական դաշտում դասական մասնիկների (լիցքերի) համակարգի համիլտոնիանն ընդհանուր դեպքում ունի հետևյալ տեսքը՝

$$\mathcal{H} = \sum_{k=1}^N \frac{1}{2m_k} \left( p_k + \frac{q_k}{c} A_k \right)^2 + U(r_1, r_2, \dots, r_N), \quad (2.26)$$

որտեղ  $p_k$ -ն  $k$ -րդ մասնիկի իմպուլսն է,  $m_k$ -ն՝ զանգվածը,  $q_k$ -ն՝ լիցքը,  $A_k$ -ն՝ մագնիսական դաշտի վեկտոր-պոտենցիալը  $k$ -րդ մասնիկի գտնվելու կետում, որը ստեղծվում է արտաքին մագնիսական դաշտի և լիցքավորված մասնիկների շարժման հետևանքով ծագող հոսանքների կողմից (ներքին

դաշտեր), իսկ  $U(r_1, r_2, \dots, r_N)$ -ը մասնիկների վոլտագուցության պոտենցիալ էներգիան է:

Դասական համակարգի վիճակագրական ինտեգրալը՝

$$Z_{cl} = \int_{-\infty}^{\infty} \cdots \int_{-\infty}^{\infty} \int_{(V)} \cdots \int_{(V)} \exp \left\{ -\frac{\mathcal{H}}{k_B T} \right\} dp_1 dp_2 \cdots dp_N dr_1 dr_2 \cdots dr_N : \quad (2.27)$$

Տեղադրելով այս արտահայտության մեջ (2.26) արտահայտությունը և անցնելով ինտեգրման նոր վոլտագրականների՝

$$P_k = p_k + \frac{q_k}{c} A_k, \quad (k = 1, 2, \dots, N), \quad (2.28)$$

կարող ենք (2.27) վիճակագրական ինտեգրալը ներկայացնել՝

$$Z_{cl} = \int_{-\infty}^{\infty} \cdots \int_{-\infty}^{\infty} \exp \left\{ -\frac{1}{k_B T} \sum_{k=1}^N \frac{P_k^2}{2m_k} \right\} \frac{\partial(p_1, p_2, \dots, p_N)}{\partial(P_1, P_2, \dots, P_N)} dP_1 dP_2 \cdots dP_N \times \\ \times \int_{(V)} \cdots \int_{(V)} \exp \left\{ -\frac{1}{k_B T} U(r_1, r_2, \dots, r_N) \right\} dr_1 dr_2 \cdots dr_N \quad (2.29)$$

տեսրով: Համաձայն (2.28) կապի,  $(p_1, p_2, \dots, p_N) \rightarrow (P_1, P_2, \dots, P_N)$  ձևափոխության յակոբիանը՝

$$\frac{\partial(p_1, p_2, \dots, p_N)}{\partial(P_1, P_2, \dots, P_N)} = 1, \quad (2.30)$$

ուստի  $Z_{cl}$  մեծությունը կախված կլինի համակարգի  $V$  ծավալից և  $T$  ջերմաստիճանից, բայց ոչ արտաքին մագնիսական դաշտի լարվածությունից՝  $Z_{cl} = Z(T, V)$ :

Խերմոդինամիկայի հայտնի առնչության համաձայն, համակարգի մագնիսական մոմենտն արտահայտվում է համակարգի  $F$  ազատ էներգիայի միջոցով՝

$$M = -\frac{1}{V} \left( \frac{\partial F}{\partial H} \right)_{T, V} = \frac{k_B T}{V} \left( \frac{\partial}{\partial H} \ln Z \right)_{T, V} : \quad (2.31)$$

$Z$ -ը կախված չէ մագնիսական դաշտի լարվածությունից, ուստի  $M = 0$ : Այսպիսով, մագնիսականությունն իր էությամբ զուտ քվանտային երևույթ է:

### §3. Ատոմական բնկալունակության բնդիանուր եաշվարկը

Այժմ արտածենք առանձական բնկալունակության առավել բնդիանուր՝ թվանամելսանիկական արտահայտությունը:

Եթե էլեկտրոններից բաղկացած համակարգը (ատոմ, իոն) գտնվում է արտաքին մագնիսական դաշտում, ապա նրա համիլտոնիանը արվում է հետևյալ արտահայտությամբ՝

$$\hat{\mathcal{H}} = \sum_k \frac{1}{2m} \left( \dot{\hat{\mathbf{p}}}_k + \frac{e}{c} \mathbf{A}_k \right)^2 + U + \sum_k \frac{e}{mc} (\hat{\mathbf{s}}_k \cdot \text{rot} \mathbf{A}_k), \quad (3.1)$$

որտեղ  $\hat{\mathbf{p}}_k = i\hbar \nabla_k$ -ն  $k$ -րդ էլեկտրոնի խմբության օվերատորն է,  $\hat{\mathbf{s}}_k$ -ն սպի-նի օպերատորը,  $\mathbf{A}_k = \mathbf{A}(r_k)$ -ն՝ արտաքին մագնիսական դաշտի վեկտոր-պուանցիալը  $k$ -րդ էլեկտրոնի գանձելու կեառում,  $U \equiv U(r_1, r_2, \dots, r_N)$ -ն՝ էլեկտրոնների էլեկտրաստատիկ փոխազդեցության և արտաքին էլեկտրական դաշտի հետ վոլտագրեցության լներգիան,  $e > 0$ . գումարումը կատարվում է ըստ համակարգի բոլոր էլեկտրոնների:

Ներադրենք, որ արտաքին մագնիսական դաշտը համասեա և հաստատում է, և վեկտոր-պուտնացիան բնարենք

$$\mathbf{A} = \frac{1}{2} [\mathbf{H}, \mathbf{r}] \quad (3.2)$$

աւերով, որանոյց, նկատի ունենալով  $\mathbf{H} = \text{const}$  պայմանը, կստառապե՞-

$$\begin{aligned} \text{rot} \mathbf{A} &= \frac{1}{2} \text{rot} [\mathbf{H}, \mathbf{r}] = \frac{1}{2} \{(\mathbf{r} \nabla) \mathbf{H} - (\nabla \mathbf{H}) \mathbf{r} + (\nabla \mathbf{r}) \mathbf{H} - (\mathbf{H} \nabla) \mathbf{r}\} = \\ &= \frac{1}{2} (\mathbf{H} \text{div} \mathbf{r} - \mathbf{H}) = \frac{1}{2} (3\mathbf{H} - \mathbf{H}) = \mathbf{H}, \end{aligned} \quad (3.3)$$

$$\text{div} \mathbf{A} = \frac{1}{2} \text{div} [\mathbf{H}, \mathbf{r}] = \frac{1}{2} (\mathbf{r} \cdot \text{rot} \mathbf{H} - \mathbf{H} \cdot \text{rot} \mathbf{r}) = 0 : \quad (3.4)$$

Զեափոխենք (3.1) համիլտոնիանում կինետիկ էներգիայի օպերատորը.

$$\frac{1}{2m} \left( \dot{\hat{\mathbf{p}}}_k + \frac{e}{c} \mathbf{A}_k \right)^2 = \frac{1}{2m} \left[ \dot{\hat{\mathbf{p}}}_k^2 + \frac{e}{c} (\hat{\mathbf{p}}_k \mathbf{A}_k + \mathbf{A}_k \hat{\mathbf{p}}_k) + \frac{e^2}{c^2} \mathbf{A}_k^2 \right] =$$

$$= -\frac{\hbar^2}{2m} \nabla_k^2 - \frac{ie\hbar}{c} (\nabla_k A_k + A_k \nabla_k) + \frac{e^2}{c^2} A_k^2 : \quad (3.5)$$

Օգտվելով (3.4) պայմանից, կարող ենք գրել, որ

$$\begin{aligned} (\nabla_k A_k + A_k \nabla_k) \psi &= \nabla_k (A_k \psi) + A_k \nabla_k \psi = \psi (\nabla_k A_k) + \\ &+ 2A_k \nabla_k \psi \equiv \psi \operatorname{div} A_k + 2A_k \nabla_k \psi = 2A_k \nabla_k \psi, \end{aligned}$$

այսինքն՝  $A_k$  և  $\nabla_k$  օպերատորները կոմուտացվում են: Եթե մազնիսական դաշտն ուղղված է  $z$  առանցքով՝  $H \equiv H(0,0,H)$ , ապա

$$A_{kx} = -\frac{1}{2} Hy_k, \quad A_{ky} = \frac{1}{2} Hx_k, \quad A_{kz} = 0, \quad (3.6)$$

$$2A_k \nabla_k = 2 \left( A_{kx} \frac{\partial}{\partial x_k} + A_{ky} \frac{\partial}{\partial y_k} \right) = H \left( x_k \frac{\partial}{\partial y_k} - y_k \frac{\partial}{\partial x_k} \right), \quad (3.7)$$

$$A_k^2 = A_{kx}^2 + A_{ky}^2 = \frac{1}{4} H^2 (x_k^2 + y_k^2). \quad (3.8)$$

(3.3)-(3.8) արտահայտությունների օգնությամբ Համիլլառնի (3.1) օպերատորը կմերկայացվի

$$\hat{\mathcal{H}} = \hat{\mathcal{H}}_0 + \frac{e\hbar H}{2mc} (\hat{L}_z + 2\hat{S}_z) + \frac{e^2 H^2}{8mc^2} \sum_k (x_k^2 + y_k^2) \quad (3.9)$$

տեսքով, որտեղ  $\hat{\mathcal{H}}_0$ -ն համակարգի համիլլառիանն է արտաքին դաշտի բացակայության դեպքում,  $\hbar \hat{L}_z$ -ը համակարգի էլեկտրոնների ուղեծրային շարժման մեխանիկական մոմենտի

$$\hbar \hat{L} = \sum_k [r_k, \hat{p}_k] \quad (3.10)$$

օպերատորի  $z$  բաղադրիչն է, իսկ  $\hbar \hat{S}_z$ -ը՝ էլեկտրոնների սեփական մեխանիկական մոմենտի (սպինի)

$$\hbar \hat{S} = \sum_k \hat{s}_k \quad (3.11)$$

օպերատորի  $z$  բաղադրիչը:

(Այսպիսով, արտաքին մազնիսական դաշտն ազդում է և ուղեծրային, և սեփական շարժման վրա, ինդ որում այդ ազդեցությունը նկարագրվում է

$$\hat{\mathcal{H}}' = \frac{e\hbar H}{2mc} (\hat{L}_z + 2\hat{S}_z) + \frac{e^2 H^2}{8mc^2} \sum_k (x_k^2 + y_k^2) \quad (3.12)$$

օպերատորով:

Հետագա հաշվարկները կկատարենք, օգտվելով խուռադամների աեսուրյունից, բանի որ համաձայն ստորև արված զնահասականների, ներկայումս ստացվող մագնիսական դաշտերում  $\hat{\mathcal{H}}'$ -ով պայմանավորված վովիլսուրյունը շատ անգամ փոքր է ասումի զրգության Լերզիայից:

Խոտորումների աւտուրյամբ,  $n$ -րդ մակարդակի Լերզիայի վովիլսուրյունը  $H$ -ի  $\Pi$  կարգի անդամների հաշվառումով, արվում է.

$$\Delta E_n = \langle n | \hat{\mathcal{H}}' | n \rangle + \sum_{n \neq n'} \frac{|\langle n | \hat{\mathcal{H}}' | n' \rangle|^2}{E_n - E_{n'}} \quad (3.13)$$

արտահայտությամբ, որտեղ  $E_n$ -ը  $\hat{\mathcal{H}}_0$  օպերատորի սեփական արժեքն է: Տեղադրելով այս բանաձևում  $\hat{\mathcal{H}}'$ -ի (3.12) արտահայտությունը, կստանանք՝

$$\begin{aligned} \Delta E_n = & \frac{e\hbar H}{2mc} \langle n | \hat{L}_z + 2\hat{S}_z | n \rangle + \frac{e^2 \hbar^2 H^2}{4m^2 c^2} \sum_{n \neq n'} \frac{|\langle n | \hat{L}_z + 2\hat{S}_z | n' \rangle|^2}{E_n - E_{n'}} + \\ & + \frac{e^2 H^2}{8mc^2} \langle n | \sum_k (x_k^2 + y_k^2) | n \rangle: \end{aligned} \quad (3.14)$$

Սա այն հիմնական արտահայտությունն է, որի միջոցով կատարվում է ատոմների, իոնների և մոլեկուլների ընկալունակության հաշվարկը: Այս բանաձևը կարելի է հաշվել նաև բյուրեղի մագնիսական ընկալունակությունը, նբեն այն կարող է ներկայացվել որպես բույլ դՆֆորմացված ազատ ատոմների կամ իոնների հանրույթ:

Գնահատենք  $\Delta E_n$ -ի առանձին գումարելիների կարգը:

Եթե  $\langle n | \hat{L}_z + 2\hat{S}_z | n \rangle \neq 0$ , ապա այն միավորի կարգի է, ինչուարար՝

$$\frac{e\hbar}{2mc} H \langle n | \hat{L}_z + 2\hat{S}_z | n \rangle \sim \frac{e\hbar}{mc} H = \hbar \omega_c, \quad (3.15)$$

որը  $H \sim 10^6$  գս դաշտում  $10^{-3}$  էվ կարգի մեծություն և և զգալի վորք է ասումի գրգուման էներգիայից, որը էՎ-երի կարգի մեծություն է:

Երկրորդ գումարելին համեմատական է

$$\frac{e^2 \hbar^2 H^2}{4m^2 c^2} \sum_{n \neq n'} \frac{1}{|E_n - E_{n'}|} \sim \frac{(\hbar\omega_c)^2}{\Delta} = \frac{\hbar\omega_c}{\Delta} \cdot \hbar\omega_c \quad (3.16)$$

մեծությունը և շատ վորք է առաջին գումարելուց, քանի որ ասումի գրգուման բնուրագրական էներգիան  $|E_n - E_{n'}| \sim \Delta > \hbar\omega_c$ :

Վերջապես, նկատի ունենալով, որ  $\langle n | (x_k^2 + y_k^2) | n \rangle$  մեծությունը ասումի բնուրագրական չափի՝  $a_0 = \hbar^2 / me^2$  մեծության բառակուսու կարգի և, երրորդ գումարելու համար կստանանք՝

$$\begin{aligned} \frac{e^2 H^2}{8mc^2} \langle n | \sum_k (x_k^2 + y_k^2) | n \rangle &\sim O[\omega_c^2 m a_0^2] = O\left[\omega_c^2 m a_0 \cdot \frac{\hbar^2}{me^2}\right] \sim \\ &\sim (\hbar\omega_c)^2 \frac{1}{e^2/a_0} = \hbar\omega_c \cdot \frac{\hbar\omega_c}{e^2/a_0} \ll \hbar\omega_c, \end{aligned} \quad (3.17)$$

քանի որ  $e^2/a_0 \approx 271$  է:

Քննարկենք տարբեր դեսլեր:

ա) Եթե բյուրեղը կազմված է վակ (լրացված) էլեկտրոնային քաղանքներ ունեցող ասումներից կամ խոններից, որոնց սպինը, ուղիծրային մոմենտը, ինչպես նաև լրիվ մոմենտը հավասար են զրոյի՝

$$\hat{L}|0\rangle = \hat{S}|0\rangle = \hat{J}|0\rangle = 0, \quad (3.18)$$

ապա հիմնական  $|0\rangle$  վիճակի էներգիայի  $\Delta E_0$  ուղղման մեջ զրոյից տարբեր է միայն (3.14) արտահայտության երրորդ գումարելին՝

$$\Delta E_0 = \frac{e^2 H^2}{8mc^2} \langle 0 | \sum_k (x_k^2 + y_k^2) | 0 \rangle = \frac{e^2 H^2}{12mc^2} \sum_k \langle 0 | R_k^2 | 0 \rangle, \quad (3.19)$$

որը ստանալիս օգտվեցինք վակ էլեկտրոնային քաղանքներով ասումի զնդային համաչափության համակությունից հետևող (2.18) պայմանից:

Այժմ հաշվենք համակարգի մազնիսական ընկալունակությունը:

Ասումական  $E_n$  մակարդակների միջև զգալի (էՎ-երի կարգի) էներ-

զիական տարբեկության հետևանքով նրանց չերմային գրգռման հավանականությունը գրանցականորեն զրո է, ուստի կարելի է այն հաշվի շառներ, ինչը համարժեք է  $T = 0\text{K}$  ենթադրությանը: Այս պայմաններում համակարգի ազատ լուրջիան հավասար է նորիքն լուրջիային, ուստի (2.31), (1.4) և (3.19) արտահայտությունների օգնությամբ կստանանք՝

$$\begin{aligned} \chi &= \frac{M}{H} = -\frac{1}{HV} \left( \frac{\partial F}{\partial H} \right)_{F,0} \equiv -\frac{1}{HV} \left[ \frac{\partial}{\partial H} (E_0 + \Delta E_0) \right]_{F,0} = \\ &= -\frac{1}{HV} \left( \frac{\partial \Delta E_0}{\partial H} \right)_{F,0} = -\frac{Ne^2}{6mc^2V} \sum_{k=1}^z \langle 0 | R_k^2 | 0 \rangle = -\frac{Ne^2 z}{6mc^2V} \langle R^2 \rangle, \end{aligned} \quad (3.20)$$

որտեղ  $N$ -ը համակարգի ասումների թիվն է,  $z$ -ը՝ ասումի կարգաթիվը (լեկտրոնների թիվը ասումում), իսկ  $\langle R^2 \rangle$ -ը տրվում է (2.20) բանաձևով: Այս արտահայտությունը ասումական դիամագնիսականության՝ «զասականորեն» սահցված (2.21) արդյունքն է, որի միջոցով կարելի է հաշվել իներտ զարերի բյուրեղների, ինչպես նաև պարզ խմային (օրինակ՝ եռուալիալիական) բյուրեղների դիամագնիսական ընկալունակությունը, քանի որ թվարկված բյուրեղներում խոնների՝ բյուրեղական դաշտի ազդեցությամբ պլայմանավորված դեֆորմացիան շատ փոքր է և կարող է անտեսվել:

բ) Դիտարկենք այն դեպքը, երբ պինդ մարմինը կազմված է մեկ չլրացված էլեկտրոնային թաղանք ունեցող ասումներից:

Եթե ասումի լրիվ մոմենտը՝  $J = 0$ , սակայն  $L = S \neq 0$ , ինչը տեղի ունի հնարավոր տեղերի կեսից մեկով պակաս էլեկտրոններ պարանակող էլեկտրոնային թաղանք ունեցող ասումում (օրինակ՝  $d$ -թաղանքում ( $l = 2$ ) հնարավոր տեղերի թիվը հավասար է  $2 \cdot (2l+1) = 10$ ,  $f$ -թաղանքում ( $l = 3$ )  $2 \cdot (2l+1) = 14$ , ուստի  $d$  թաղանք ունեցող ասումում կունենանք  $10 \cdot 2 - 1 = 4$ , օրինակ՝  $\text{Cr}^{2+}$ ,  $\text{Mn}^{3+}$ , իսկ  $f$  թաղանք ունեցող ասումում  $14 \cdot 2 - 1 = 6$ , օրինակ՝  $\text{Eu}^{3+}$ ), ապա (3.14) արտահայտության առաջին գործարելին, որն ասումի սեփական մագնիսական մոմենտի լուրջիան է մագնիսական դաշտում, հավասար է զրոյի՝

$$\frac{e\hbar}{2mc} \langle n | \hat{L}_z + 2\hat{S}_z | n \rangle = \frac{e\hbar}{2mc} \langle 0 | \hat{L}_z + 2\hat{S}_z | 0 \rangle = 0, \quad (3.21)$$

ինչը պայմանավորված է  $J = 0$  վիճակի համաշափությամբ: Սակայն, իտարերաքյուն լրացված էլեկտրոնային քաղանքով ատոմի, (3.14) արտահայտության Ա գումարելին այժմ զրոյից տարբեր է, ուսակ հիմնական վիճակի էներգիայի համար կստանանք՝

$$\Delta E_0 = -\frac{e^2 \hbar^2 H^2}{4m^2 c^2} \sum_{n=0} \frac{\left| \langle 0 | \hat{L}_z + 2\hat{S}_z | n \rangle \right|^2}{E_n - E_0} + \frac{e^2 H^2}{8mc^2} \langle 0 | \sum_k (x_k^2 + y_k^2) | 0 \rangle, \quad (3.22)$$

որը տեղադրելով (3.20) բանաձևում, կստանանք  $N$  մասնիկներից կազմված համակարգի մագնիսական ընկալունակության արտահայտությունը՝

$$\chi = \frac{e^2 N}{2m^2 c^2 V} \sum_{n=0} \frac{\left| \langle 0 | \hat{L}_z + 2\hat{S}_z | 0 \rangle \right|^2}{E_n - E_0} - \frac{e^2 Nz}{6mc^2 V} \langle R^2 \rangle : \quad (3.23)$$

Քանի որ  $E_n - E_0 > 0$  ( $n \neq 0$ ) (հիմնական վիճակի էներգիան ամենափոքրն է), ապա առաջին անդամը միշտ դրական է, այսինքն՝ այն նպաստում է մագնիսական մոմենտի՝ դաշտով ուղղվելուն և համապատասխանում է պարամագնիսականության առաջացմանը (վանֆլեկյան կամ թեռոային պարամագնիսականություն):

զ) Այժմ քննարկենք այն դեպքը, երբ էլեկտրոնային քաղանքի լրիվ մոմենտը՝  $J \neq 0$ :

Կատարված գնահատումների համաձայն, (3.14) արտահայտության մեջ հիմնականը մագնիսական դաշտի լարվածությանը համեմատական առաջին գումարելին է, որը կարելի է ներկայացնել հետևյալ տեսքով՝

$$(\Delta E_n)_1 = \frac{e\hbar}{2mc} H (\bar{J}_z + \bar{S}_z) \equiv \mu_B H (\bar{J}_z + \bar{S}_z), \quad (3.24)$$

որտեղ

$$\mu_B = \frac{e\hbar}{2mc} = 0,923 \cdot 10^{-20} \text{ էրգ/Գս} \quad (3.25)$$

մեծությունը մագնիսական մոմենտի քվանտն լ. Բորի մագնետոնը, իսկ հորիզոնական գծիլով նշված է համապատասխան օպերատորի քվանտամեխանիկական միջինը: Նկատի ունենալով, որ  $J_z$ -ը մագնիսական դաշտում շարժման ինտեղրայ է, նյա միջին արժեքի համար կարող ենք գրել՝

$\bar{J}_z = m_J$ , որտեղ  $m_J$ -ն  $\hat{J}_z$  օպերատորի սեփական արժեքն է:  $\bar{S}_z$  միջինը հաշվելու համար նախ գրենք  $\hat{S}$  օպերատորի պրոյեկցիան  $J$ -ի վրա՝

$$\hat{S}_J = \frac{(\hat{S} \cdot \hat{J})}{J} m_J \equiv \frac{(\hat{S} \cdot \hat{J}) \hat{J}}{J^2}, \quad (3.26)$$

իսկ հետո՝ դաշտի ուղղության ( $z$  առանցքի) վրա՝

$$\bar{S}_z = \frac{(\hat{S} \cdot \hat{J})}{J^2} \bar{J}_z = \frac{m_J}{J^2} (\hat{S} \cdot \hat{J}): \quad (3.27)$$

Տեղադրելով (3.27) արտահայտությունը (3.24)-ում, կստանանք՝

$$(\Delta E_n)_1 = \mu_B H \left( 1 + \frac{(\hat{S} \cdot \hat{J})}{J^2} \right) m_J : \quad (3.28)$$

$\hat{S} \cdot \hat{J}$  սկավար արտադրյալը կորոշենք

$$\hat{L}^2 = (\hat{J} - \hat{S})^2 = \hat{J}^2 + \hat{S}^2 - 2\hat{J}\hat{S}$$

նույնությունից, որը միջինացնելուց հետո կստանանք՝

$$\bar{\hat{J}}\hat{S} \equiv \langle n | \hat{J}\hat{S} | n \rangle = \frac{1}{2} [ J(J+1) + S(S+1) - L(L+1) ] : \quad (3.29)$$

Տեղադրելով այս արդյունքը (3.28) բանաձևում և կատարելով

$$g_J = 1 + \frac{J(J+1) + S(S+1) - L(L+1)}{2J(J+1)} \quad (3.30)$$

Նշանակումը, որը հայտնի է որպես Լանդեի բազմապատկիչ,  $(\Delta E_n)_1$  էներգիան կարելի է ներկայացնել կրճատ ձևով՝

$$(\Delta E_n)_1 \equiv \Delta E_1 = \mu_B m_J g_J H, \quad (3.31)$$

որտեղ  $m_J = -J, -(J-1), \dots, (J-1), J$ , այսինքն՝ ընդունում է  $2J+1$  հատ արժեք: Այսպիսով,  $H=0$  դաշտում  $(2J+1)$ -պատիկությամբ այլասերված հիմնական վիճակը  $H \neq 0$  մազնիսական դաշտում Շնորվում է առանձին վիճակների, որոնցից յուրաքանչյուրի էներգիան տրվում է (3.31) բանաձևով: Եթե (3.31) բանաձևը ներկայացնենք

$$\Delta E_1 = -\mu_J H \quad (3.32)$$

աւելքով, ապա

$$\mu_J = -\mu_B m_J g_J \quad (3.33)$$

մեծությունն իրենից կներկայացնի ատոմի էլեկտրանային քաղանքի մագնիսական մոմենտը, բնդ որում (-) նշանը արտահայտում է այն փաստը, որ մագնիսական մոմենտն ուղղված է  $\hbar m_J$  մեխանիկական մոմենտին հակառակ (տես (2.11) առնչությունը):

(3.14) և (3.22) բանաձևերի արտածման ժամանակ ենթադրվել է, որ իհմնական և առաջին գրգռված մուլտիպլետի միջև էներգիական հեռավորությունը՝

$$E_{L'SJ'} - E_{LSJ} \gg k_B T, \quad (3.34)$$

եթե ազատ էներգիայի մեջ իհմնական ներդրումը տայլս և ն իհմնական մուլտիպլետի  $(2J+1)$  հատ վիճակները: Մյուս կողմից, իհմնական վիճակի այլասերման հետևանքով մագնիսական դաշտում նույն մուլտիպլետին պատկանող մակարդակների միջև

$$\left| (\Delta E_1)_{m_J, m_J \pm 1} \right| = \mu_B g_J H \quad (3.35)$$

էներգիական հեռավորությունը կարող է զգալի փոքր լինել  $k_B T$  էներգիայից: Եթե մտցնենք բնորդագրական

$$T_0 = \frac{\mu_B g_J H}{k_B} \quad (3.36)$$

ջերմաստիճանը, ապա  $T \gg T_0$  պայմանը  $H \sim 10^4$  Գս դաշտերում տեղի ունի, սկսած տասնյակ կելվիններից:

Այս պայմաններում մագնիսական ընկալունակությունը հաշվարկելիս աներաժեշտ է հաշվի առնել էներգիական մակարդակների ջերմային գրգռման հնարավորությունը և օգտվել  $F$  ազատ էներգիայի (բայց ոչ ներցին էներգիայի) արտահայտությունից:

#### §4. Ազատ էլեկտրոնների ուղեծրային դիամագնիսականությունը

Համաձայն Բորի և Վան-Լեենի թեորեմի, դասական լիցքերի համակարգի, այդ թվում և էլեկտրոնային գազի, մագնիսական ընկալունակությունը

Յր հավասար է, զրոյի: Հասկանալի է, որ դասական քննարկման դեպքում բացակայում է լիցքի սեփական մագնիսական մոմենտի գաղափարը, ուստի խոսքը վերաբերվում է ուղեծրային շարժումով պայմանավորված մագնիսականությանը:

Դասական համակարգի էներգիայի անկախությունը մագնիսական դաշտի լարվածությունից հետևանք է այն փաստի, որ շարժվող լիցքի վրա դաշտի կողմից ազդու էռինոցի ուժն աշխատանք չի կատարում:

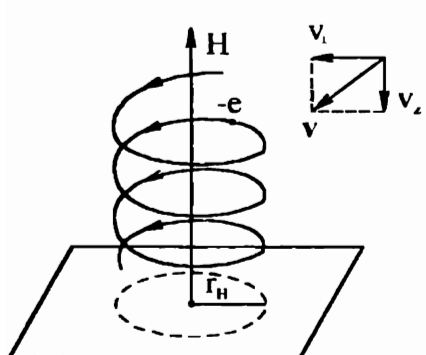
$$\delta A = \mathbf{F}_L \delta r = -\frac{e}{c} ([\mathbf{v}, \mathbf{H}] \mathbf{v}) \delta t = 0 , \quad (4.1)$$

որի հետևանքով էլեկտրոնների հավասարակշռական բաշխման ֆունկցիան մագնիսական դաշտում չի փոփոխվում:

Այլ է իրադրությունը քվանաային դիտարկման դեպքում: Մագնիսական դաշտում, դաշտին ուղղահայաց հարթության մեջ էլեկտրոնի շարժման տիրույթը սահմանափակվում է շրջանագծով, որի շառավիղը՝

$$r_H = \frac{\mathbf{v}_\perp}{\omega_H} = \frac{p_\perp}{m\omega_H} , \quad (4.2)$$

որտեղ  $\mathbf{v}_\perp$ -ն ( $p_\perp$ -ն) կեկտրոնի արագության (իմպուլսի) բաղադրիչն է դաշտի  $\mathbf{H}$  վեկտորին ուղղահայաց հարթության մեջ (նկ. IX.4), իսկ



Նկ. IX.4

$$\omega_H = \frac{eH}{mc} \quad (4.3)$$

մեծությունը էլեկտրոնի շրջանային հաճախությունն է:

Ուղղահայաց հարթության մեջ շարժման սահմանափակման հետևանքով կեկտրոնի լեռզիան քվանտանում է, և այն կարելի է գնահատել անորոշությունների առնչությամբ, որի համաձայն

$$\Delta r \cdot \Delta p \geq \hbar :$$

Կոորդինատի  $\Delta r$  անորոշությունը էլեկտրոնի տեղայնացման տիրույթի չափերի կարգի է:  $\Delta r \sim r_H$ ,  $\Delta p \sim p_\perp$ , ուստի անորոշությունների առնչությունից և (4.2) բանաձևից կստանանք՝

$$r_H \cdot p_1 = \frac{p_1}{m\omega_H} \cdot p_1 = \frac{p_1^2}{m\omega_H} \geq \hbar$$

լրան

$$\epsilon_1 = \frac{p_1^2}{2m} \geq \frac{\hbar\omega_H}{2} \sim H : \quad (4.4)$$

Մազնիսական դաշտի ուղղությամբ էլեկտրոնի արագությունը՝  $v_z = const$ , ուստի էլեկտրոնի էներգիան, դաշտի լարվածությունից կախված, աճում է զծային օրենքով, որի հետևանքով էլեկտրոնային զագր կունենա էլեկտրոնների ուղեծրային շարժումով պայմանավորված դիամագնիսականություն:

Այժմ ստանանք էլեկտրոնային զագի ուղեծրային դիամագնիսական ընկալունակության արտահայտությունը բվանտային տեսության շրջանակներում (Լ.Դ.Լանդաու, 1930թ.):

Ն էլեկտրոններից կազմված իդեալական էլեկտրոնային զագր գտնված է  $z$  առանցքով ուղղված եամասն եաստատուն  $H(0,0,H)$  մագնիսական դաշտում, որը նկարագրվում է  $A(0,Hx,0)$  վեկտոր-պոտենցիալով: Էլեկտրոնի համար Ծրեղինզերի հավասարումն ունի հետևյալ տեսքը՝

$$\left[ \frac{1}{2m} \hat{p}_x^2 + \frac{1}{2m} \left( \hat{p}_y + \frac{e}{c} Hx \right)^2 + \frac{1}{2m} \hat{p}_z^2 \right] \psi(x, y, z) = \epsilon \psi(x, y, z) : \quad (4.5)$$

Զախ մասում զրված Համիլտոնի օպերատորը բացահայտ ձևով չի պարունակում  $y$  և  $z$  կոորդինատները, ուստի  $\hat{p}_y$ -ը և  $\hat{p}_z$ -ը կամուսացվում են համիլտոնիամի հետ, այսինքն՝ նրանց սեփական արժեքները պահպանվում են: Ուրեմն, (4.5) հավասարման լուծումները կարելի են բերկայացնել

$$\psi(x, y, z) = \exp \{ i(yk_y + zk_z) \} u(x) \quad (4.6)$$

տեսքով, որտեղ  $k_y = p_y/\hbar$ ,  $k_z = p_z/\hbar$  մեծություններն ալիքային վեկտորի  $y$  և  $z$  բաղադրիչներն են, իսկ  $u(x)$  ֆունկցիան որոշվում է (4.6) արտահայտությունը (4.5) հավասարման մեջ տեղադրելուց հետո ստացվող

$$\left[ -\frac{\hbar^2}{2m} \frac{d^2}{dx^2} + \frac{m\omega_H^2(x - x_0)^2}{2} \right] u(x) = \epsilon' u(x) \quad (4.7)$$

հավասարումից, որտեղ կատարված էն հետևյալ նշանակումները՝

$$x_0 = -\frac{c\hbar}{eH} k_y = -\frac{\hbar k_y}{m\omega_H} = -\frac{v_y}{\omega_H}, \quad \epsilon' = \epsilon - \frac{\hbar^2 k_z^2}{2m}; \quad (4.8)$$

(4.7) հավասարումը միաշափ, ներդաշնակ տատանակի Ծրեպինգերի հավասարումն է, որի սեփական արժեքները տրվում են

$$\epsilon'_n \equiv \epsilon_n = \hbar\omega_H \left( n + \frac{1}{2} \right), \quad n = 0, 1, 2, \dots \quad (4.9)$$

բանաձևով (Լանդաուի մակարդակներ), իսկ սեփական ֆունկցիաներն արտահայտվում են էրմիտի  $H_n$  բազմանդամների միջոցով՝

$$u_0(x - x_0) = \frac{1}{(\pi\lambda_H)^{1/2}} \frac{1}{\sqrt{2^n n!}} \exp\left[-\frac{(x - x_0)^2}{2\lambda_H^2}\right] H_n\left(\frac{x - x_0}{\lambda_H}\right), \quad (4.10)$$

որտեղ

$$\lambda_H = \left(\frac{c\hbar}{eH}\right)^{1/2} = \left(\frac{\hbar}{m\omega_H}\right)^{1/2} \quad (4.11)$$

մեծությունը մազնիսական երկարությունն է, որը բնութագրում է  $x_0$  կետի շուրջ էլեկտրոնի տեղայնացման տիրույթի զծային չափները:

Համաձայն (4.6) և (4.10) բանաձևերի, էլեկտրոնի վիճակը մազնիսական դաշտում որոշվում է  $k_y$ ,  $k_z$  և  $n$  քվանտային թվերով (առանց սպինային վիճակի հաշվառման), իսկ էլեկտրոնի էներգիան, համաձայն (4.8) և (4.9) բանաձևերի, տրվում է

$$\epsilon_{n,k_z} = \hbar\omega_H \left( n + \frac{1}{2} \right) + \frac{\hbar^2 k_z^2}{2m} \equiv \epsilon_n + \frac{\hbar^2 k_z^2}{2m} \quad (4.12)$$

արտահայտությամբ և կախված է միայն երկու՝  $n$  և  $k_z$  քվանտային թվերից: Այսպիսով, տեղի ունի էներգիական մակարդակների այլասերում ըստ  $k_y$  քվանտային թվի՝ բոլոր քվանտային վիճակներում, որոնք իրարից տարբերվում են միայն  $k_y$ -ով, էլեկտրոնն ունի միևնույն էներգիան: Այլասերման պատճառը համասեռ մազնիսական դաշտում ներդաշնակ տատանակի էներգիայի անկախարյունն է տատանակի կենտրոնի  $x_0$  կոորդինատից,

այսինքն՝  $k_y$ -ից:

Ենթադրյալ (4.12) և ազատ էլեկտրոնի լուրջիայի

$$\varepsilon_{k_x, k_y, k_z} = \frac{\hbar^2 k_x^2}{2m} + \frac{\hbar^2 k_y^2}{2m} + \frac{\hbar^2 k_z^2}{2m} \equiv \frac{\hbar^2 k_\perp^2}{2m} + \frac{\hbar^2 k_z^2}{2m} \quad (4.13)$$

արտահայտությունների համեմատությունից հետևում է, որ մազնիսական դաշտը բնրում է  $H$ -ին ուղղահայաց (տվյալ դեպքում՝  $xy$ ) հարթության մեջ էլեկտրոնի շարժման քվանտացման՝

$$\varepsilon_\perp = \frac{\hbar^2 k_\perp^2}{2m} \rightarrow \varepsilon_n = \hbar\omega_H \left( n + \frac{1}{2} \right), \quad (4.14)$$

իսկ  $H$ -ի ուղղությամբ էլեկտրոնի լուրջիան մնում է անփոփոխ:

Այժմ պարզեցրենք  $\varepsilon_{n, k_z}$  մակարդակի այլասերման պատճենությունը, այսինքն՝ որոշենք, թե քանի տարբեր արժեք կարող է ընդունել  $k_y$  բաղադրիչը:

Ենթադրենք, էլեկտրոնը գտնվում է  $L_x$ ,  $L_y$  և  $L_z$  կողերով մի գուգահեռանիստում: Մազնիսական դաշտում էլեկտրոնը տատանվում է  $x_0$  կենտրոնի շուրջ, որը պատկանում է  $L_x$  կողմին, այսինքն՝

$$0 \leq |x_0| \leq L_x, \quad (4.15)$$

կամ, եթե նկատի ունենանք  $x_0$ -ի (4.8) նշանակումը՝

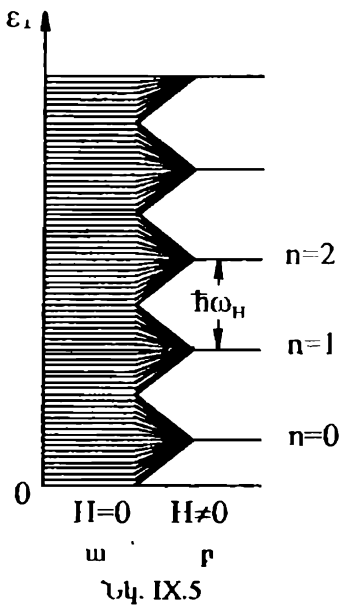
$$0 \leq k_y \leq \frac{eH}{c\hbar} L_x : \quad (4.16)$$

Քանի որ  $k_y$ -ն ընդունում է քվազիանընդհատ արժեքներ, որոնց միջև հեռավորությունը՝  $\Delta k_y = 2\pi/L_y$ , ապա  $eHL_x/c\hbar$  մեծությամբ տիրույթում  $k_y$ -ի ընդանած տարբեր արժեքների թիվը՝

$$g_n = \frac{(eHL_x/c\hbar)}{2\pi/L_y} = \frac{L_x L_y}{2\pi} \frac{eH}{c\hbar} = \frac{S}{2\pi\lambda_H^2}, \quad (4.17)$$

որտեղ  $S = L_x L_y$ -ը համակարգի մակերեսն է մազնիսական դաշտին ուղղահայաց հարթության մեջ:  $S_1 = \pi\lambda_H^2$  մեծությունը էլեկտրոնի տեղայնացման տիրույթի մակերեսն է, որտեղ կարող է գտնվել երկու էլեկտրոն՝ հակառակ

սալինելով, ուստի  $S/S_1$  հարաբերությունը տալիս է  $x_0$  կորդինատի, այսինքն՝  $k_y$ -ի, տարրեր արժեքների լրիվ թիվը: Հարկ է նշել նաև, որ  $g$ -ը



$n=2$

$n=1$

$n=0$

$H=0 \quad H \neq 0$

w r  
Խկ. IX.5

կախված չէ  $n$ -ից, այսինքն՝ մազնիսական դաշտում բոլոր կոնգլուման մակարդակներն ունեն այլասերման միևնույն պատիկությունը, որը, համաձայն (4.17) արտահայտված է, իսկ համեմատական է մազնիսական դաշտի լարվածությանը:

Նկ. IX.5-ում պատկերված են ազատ էլեկտրոնի բվագիտիսկրետ էլեկտրոնի պատկերը (ա) և լամպառի մակարդակները (բ):

Այլասերման պատիկության (4.17) արտահայտությունը կարելի է ստանալ նաև այլ նորմակով, ենթադրուելով վիճակների թվի հասկացությունից:

$H = 0$  դեպքում վիճակների թիվը  $dk_x dk_y$  ախտույթում (առանց սպինի հաշվառման):

$$dg = \frac{dk_x}{2\pi/L_x} \cdot \frac{dk_y}{2\pi/L_y} = \frac{L_x L_y}{(2\pi)^2} dk_x dk_y = \frac{S}{2\pi} k_1 dk_1 = \frac{Sm}{2\pi\hbar^2} d\varepsilon_1 : (4.18)$$

$H \neq 0$  դեպքում  $xy$  հարթության մեջ շարժման բվանտացման հետևանքով  $\varepsilon_1$ -ի ամենափոքր հնարավոր փոփոխությունը, ըստ (4.14) արտահայտության, հավասար է  $(\varepsilon_{n+1} - \varepsilon_n)$ -ի, ուստի

$$g = \int_{\varepsilon_n}^{\varepsilon_{n+1}} \frac{Sm}{2\pi\hbar^2} d\varepsilon_1 = \frac{Sm}{2\pi\hbar^2} (\varepsilon_{n+1} - \varepsilon_n) = \frac{Sm\omega_H}{2\pi\hbar} = \frac{S}{2\pi\lambda_H^2} : \quad (4.19)$$

$N$  էլեկտրոններից բաղկացած համակարգի թերմոդինամիկական բնութագրերը որոշելու համար անհրաժեշտ է հաշվարկել համակարգի վիճակագրական գումարը: Դիտարկելով էլեկտրոնների համակարգը որպես իդեալական զար, որը նկարագրվում է բուցմանյան վիճակագրությամբ, կարող ենք գրել, որ

$$Z = \frac{1}{N!} z_1^N , \quad (4.20)$$

որտեղ  $z_1$ -ը մեկ կենտրոնի վիճակագրական գումարն է՝

$$z_1 = \sum_{(i)} \exp\left(-\frac{\epsilon_{(i)}}{k_B T}\right) : \quad (4.21)$$

Քվանտային թվերի հավաքածուն՝  $(i) \equiv (n, k_z, k_y, s_z)$ , որտեղ  $s_z$  սպիռային քվանտային թիվն ընդունում է երկու արժեք, միարժեքորեն որոշում է կենտրոնի վիճակը։ Քանի որ էլեկտրոնի էներգիան մազմխական դաշտում ըստ (4.12) բանաձևի, կախված է միայն  $n$ -ից և  $k_z$ -ից, այսպա կատարելով գումարում ըստ  $k_y$ -ի և  $s_z$ -ի,  $z_1$ -ը կարող ներկայացնել

$$z_1 = \sum_{\substack{n, s_z \\ k_y, k_z}} \exp\left[-\frac{\epsilon_{n, k_z}}{k_B T}\right] = 2g \cdot \frac{L_z}{2\pi} \int_{-\infty}^{\infty} dk_z \sum_{n=0}^{\infty} \exp\left[-\frac{\hbar\omega\left(n + \frac{1}{2}\right) + \frac{\hbar^2 k_z^2}{2m}}{k_B T}\right] \quad (4.22)$$

առարություն, որտեղ ըստ քվազիանընդիաս  $k_z$  փոփոխականի կաստարվել է անցում գումարից՝ ինտեղրալի։

Ըստ  $n$ -ի անվերջ երկրաչափական պրոզրեսիայի գումարը՝

$$\sum_{n=0}^{\infty} \exp\left[-\frac{\hbar\omega_H}{k_B T}\left(n + \frac{1}{2}\right)\right] = \frac{\exp(-\hbar\omega_H/2k_B T)}{1 - \exp(-\hbar\omega_H/k_B T)} = \left(2 \sinh \frac{\hbar\omega_H}{k_B T}\right)^{-1} , \quad (4.23)$$

իսկ ըստ  $k_z$ -ի ինտեղրալ՝

$$\int_{-\infty}^{\infty} \exp\left(-\frac{\hbar^2 k_z^2}{2mk_B T}\right) dk_z = \left(\frac{2\pi m k_B T}{\hbar^2}\right)^{1/2} : \quad (4.24)$$

Նպատակահարմար է նաև  $\hbar\omega_H$ -ը ներկայացնել հետևյալ կերպ՝

$$\hbar\omega_H = \hbar \cdot \frac{eH}{mc} = \frac{e\hbar}{2mc} \cdot 2H = 2\mu_B H : \quad (4.25)$$

(4.17), (4.23)-(4.25) բանաձևերի օգնությամբ  $z_1$ -ի համար ստացվում է հետևյալ վերջնական արտահայտությունը՝

$$z_1 = \frac{SeHL_z(2\pi m k_B T)^{1/2}}{4\pi^2 \hbar^2 c \operatorname{sh} \left( \frac{\mu_B H}{k_B T} \right)} = V \left( \frac{m k_B T}{2\pi \hbar^2} \right)^{3/2} \cdot \frac{\frac{\mu_B H}{k_B T}}{\operatorname{sh} \left( \frac{\mu_B H}{k_B T} \right)}, \quad (4.26)$$

որտեղ  $V = SL_z = L_x L_y L_z$ -ը համակարգի ծավալն է: Օգտվելով համակարգի ազատ էներգիայի, վիճակագրական գումարի և մազնիսացվածության միջև (2.31) կապից, կստանանք՝

$$\begin{aligned} M &= -\frac{1}{V} \left( \frac{\partial F}{\partial H} \right)_{T, V} = \frac{k_B T}{V} \frac{\partial}{\partial H} \ln Z = \\ &= \frac{N \mu_B}{V} \left( \frac{k_B T}{\mu_B H} - \operatorname{cth} \frac{\mu_B H}{k_B T} \right) = -n \mu_B L \left( \frac{\mu_B H}{k_B T} \right). \end{aligned} \quad (4.27)$$

որտեղ  $n$ -ը էլեկտրոնների կոնցենտրացիան է, իսկ

$$L(x) = \operatorname{cht} x - \frac{1}{x} = \frac{e^x + e^{-x}}{e^x - e^{-x}} - \frac{1}{x} \quad (4.28)$$

արտահայտությունը լանժըվենի ֆունկցիան է:

Ուսումնասիրնենք մազնիսացվածության վարքը տարրեր սահմանային դեպքերում:

1. «Թույլ» մազնիսական դաշտեր («բարձր» ջերմասահմաններ)

$$x = \frac{\mu_B H}{k_B T} \ll 1 : \quad (4.29)$$

Նկատի ունենալով  $x \ll 1$  արժեքների համար  $L(x)$  ֆունկցիայի վերլուծությունը՝

$$L(x) \approx \frac{x}{3} - \frac{x^3}{45} + O(x^5), \quad (4.30)$$

մազնիսական ընկալունակության համար կստանանք՝

$$\chi = \frac{M}{H} = -n \mu_B \frac{\mu_B}{3k_B T} = -\frac{n \mu_B^2}{3k_B T}, \quad (4.31)$$

որից հետևում է էլեկտրոնային զագի՝ ուղեծրային շարժումով պայմանավորված դիամագնիսականությունը:

## 2. «Ուժեղ» մազնիսական դաշտեր («ցածր» չերմաստիճաններ)

$$x = \frac{\mu_B H}{k_B T} \gg 1 : \quad (4.32)$$

Այս դեպքում  $L(x)$  ֆունկցիայի վերլուծությունը տրվում է

$$L(x) \approx 1 - \frac{1}{x} + O(e^{-2x}) \quad (4.33)$$

արտահայտությամբ, ուստի մազնիսացվածության համար ստանում ենք՝

$$M \approx -n\mu : \quad (4.34)$$

$T \rightarrow 0K$  դեպքում, ըստ (4.31) բամաձևի,  $|\chi| \rightarrow \infty$ , ինչը հակասում է փարձին: Պատճառն այն է, որ (4.31) արտահայտությունն արտածելիս օգտվեցինք բոլցմանյան վիճակագրությունից, որն ակնհայտորեն խախտվում է ցածր ջերմաստիճաններում: Այնուամենայնիվ, (4.31) արտահայտությունից կարևոր է ստանալ էլեկտրոնային զազի դիամազնիսական բնկալունակության ճիշտ արտահայտություն, եթե էլեկտրոնների լրիվ  $n$  կոնցենտրացիան փոխարինենք Ֆերմիի մակերևույթի մոտ  $k_B T$  լայնությամբ շերտում զտնվող և իրենց «դասականորեն» պահող էլեկտրոնների  $n_T$  կոնցենտրացիայով (VII.3.28):

$$n_T = k_B T g(\varepsilon_F) = \frac{3n k_B T}{2\varepsilon_F} : \quad (4.35)$$

(4.31) արտահայտության մեջ կատարելով անցում  $n$ -ից  $n_T$ -ին, կստանանք էլեկտրոնային զազի ուղեծրային դիամազնիսականության արտահայտությունը (Լ.Լանդաու)

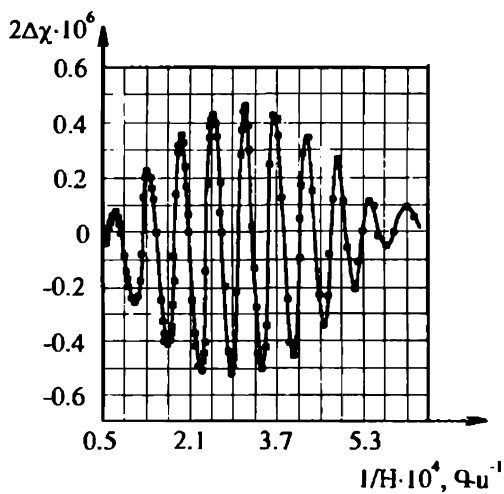
$$\chi = -\frac{n_T \mu_B^2}{3k_B T} = -\frac{n \mu_B^2}{3\varepsilon_F} = -\frac{m \mu_B^2}{\hbar^2 (3\pi^2)^{2/3}} n^{1/3}, \quad (4.36)$$

որը կախված է միայն էլեկտրոնային զազի կոնցենտրացիայից:

Մազնիսական դաշտում գտնվող իդեալական էլեկտրոնային զազի թերմոպլազմիկական մեծությունների ճշգրիտ հաշվարկը կատարվում է Ֆերմի-Դիրակի վիճակագրության շրջանակներում, ընդ որում ազատ էներգիայի համար ստացվում է հետևյալ արահայտությունը (առանց սպինի հաշվառման)

$$F = N\mu - \frac{VeHk_B T}{2\pi^2 c\hbar} \sum_{n=0-\infty}^{\infty} \int \ln \left\{ 1 + \exp \frac{1}{k_B T} \left[ \mu - 2\mu_B H \left( n + \frac{1}{2} \right) - \frac{\hbar^2 k_z^2}{2m} \right] \right\} dk_z, \quad (4.37)$$

որտեղ  $\mu \equiv \mu(T, V, N)$  ֆունկցիան համակարգի քիմիկունցիալն է: Այս արտահայտության հաշվարկը կապված է զգայի մաթեմատիկական դժվարությունների հետ, սակայն բոլոր է կարևորագույն արդյունքի, որի համաձայն բոլոր թերմոդինամիկական մեծություններն ըստ  $1/H$ -ի պարբերական ֆունկցիաներ են, ինչն առավելապես արտահայտվում է ուժեղ մազնից սական դաշտերում և ցածր ջերմաստիճաններում, եթե  $\mu_B H >> k_B T$ : Մասնավորապես, մազնիսական դաշտը մոնուան փոփոխելիս կենկուրունային զազի դիամագնիսական մոմնենտի պարբերական փոփոխաւթյունը հայտնի է որպես Դե-Հաագ-Վան-Ալֆենի երևոյթ և առաջին անգամ դիտվել է բիսմուտում (Bi) 1930թ.:



Նկ. IX.6

պարբերական վարքը մազնիսական դաշտում որակապես կարևի է բացատրել հետևյալ դատաղությունների օգնությամբ:

$T = 0K$ -ում Ֆերմիի մակարդակից ներքև ընկած բոլոր մակարդակները զբաղեցված են, իսկ նրանից վեր՝ բոլորն ազատ (նկ. IX.7): Էլեկտրոնային զազի  $n \sim 10^{22} \div 10^{23} \text{ սմ}^{-3}$  կոնցենտրացիաների դեպքում Ֆերմիի էներ-

լունակության՝  $(1/H)$ -ից կախման փորձարարական կողք ցինկի համար  $T = 4.2K$  ջերմաստիճանում. օրդինատների առանցքի վրա տեղադրված  $z$  և  $x$  (կամ  $y$ ) առանցքների ուղղությամբ  $Zn$ -ի միաբարերեղի մազնիսական ընկալունակությունների  $\Delta\chi = \chi_z - \chi_x$  տարբերությունը:

Թերմոդինամիկական մեծությունների՝ ըստ  $1/H$ -ի

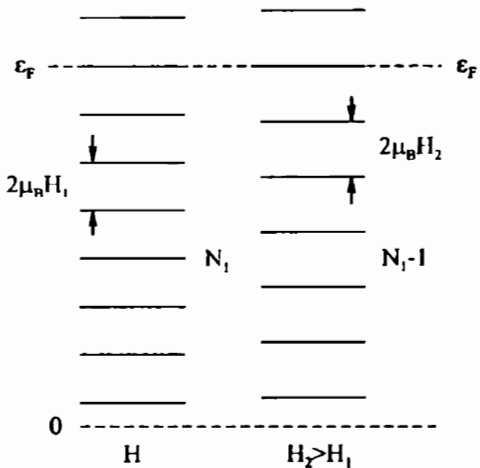
զիան մի քանի էՎ-ի կարգի մեծություն է (Աղյուսակ VII.1), ուստի լրացված էներգիական մակարդակների թիվը՝

$$N_1 = \frac{\varepsilon_F}{2\mu_B H} \sim \frac{10^{-12}}{10^{-20} H} \sim \frac{10^8}{H} \sim 10^3 \div 10^4 \quad (4.38)$$

Կարգի մեծություն է անգամ  $H \sim 10^4 \div 10^5$  Գս դաշտերում:

Երբ մազնիսական դաշտի լարվածությունն աճում է, ապա մեծանում է Լանդաուի մակարդակների միջև  $2\mu_B H$  հեռավորությունը, և  $H$ -ի որոշակի արժեքի դեպքում լրացված մակարդակներից ամենավերինը հավասարվում և անցնում է Ֆերմիի մակարդակը: Դրանից հետո էներգիական մակարդակների բաշխումը կլինի նման նախկին բաշխմանը, միայն այն տարրերությամբ, որ այժմ Ֆերմիի մակարդակից ներքև կա  $N_1 - 1$  մակարդակ (նկ. IX.

7): Քանի որ (4.38) զնահատման համաձայն  $N_1 \gg 1$ , ապա այդ տարրերությունը գործնականորեն աննշան է, այդ իսկ



Նկ. IX.7

պատճառով նոր, ավելի մեծ մազնիսական դաշտում համակարգի վիճակը կլինի լիմվին համարժեք հին վիճակին, որն էլ նշանակում է պարբերական կախում մազնիսական դաշտի լարվածությունից:

Որոշենք թերմոպղինամիկական ֆունկցիաների փոփոխման պարբերությունը: Մազնիսական դաշտի լարվածության մեծացման հետ, ըստ (4.17) բանաձևի, մեծանում է յուրաքանչյուր էներգիական մակարդակում տեղերի թիվը: Այդ տեղերը գրադացվում են ամենավերին մակարդակից դեպի ստորիններ գնացող էլեկտրոններով, երբ վերջինս անցնում է Ֆերմիի մակարդակը: Քանի որ եամակարգում էլեկտրոնների թիվը կախված չէ դաշտի լարվածությունից, ապա

$$N = N_1 g_1 = (N_1 - 1) g_2 = const : \quad (4.39)$$

Օգտվելով (4.17) և (4.38) արտահայտություններից, (4.39) պայմանից կստանանք

$$\frac{\varepsilon_F}{2\mu_B H_1} H_1 = \left( \frac{\varepsilon_F}{2\mu_B H_1} - 1 \right) H_2, \quad (4.40)$$

որաեղից հետևում է

$$\Delta \left( \frac{1}{H} \right) \equiv \frac{1}{H_1} - \frac{1}{H_2} = \frac{2\mu_B}{\varepsilon_F} \quad (4.41)$$

արտահայտությունը: Այն բերմողին ամիկական ֆունկցիաների վուլտյաման պարբերությունն է բառ  $1/H$  վուլտուսկանի և գործնականորեն հաստատուն մեծություն է:  $\Delta(1/H)$ -ի միջոցով կարելի է արտահայտել նաև բառ  $H$ -ի վուլտյաման պարբերությունը:

$$\Delta H \equiv H_2 - H_1 = H_1^2 \Delta \left( \frac{1}{H} \right) = H_1^2 \frac{2\mu_B}{\varepsilon_F}, \quad (4.42)$$

որն, ի տարբերություն  $\Delta(1/H)$  պարբերության, վուլտուսկող մեծություն է:

## §5. Ատոմների և իօնների պարամագնիսականությունը:

### Կյուրի օրենքը

Մեր ասումի (իոնի) կամ մոլեկուլի սևվական մագնիսական մոմենտը գրուից տարբեր է, ապա այդպիսի մասնիկներից կազմված նյութը կլինի պարամագնիսական: Մասնավորապես, զրոյից տարբեր մագնիսական մմմնենս ունեն չլրացված կենկարունային բաղանքում կենա բվով կենկարուն պարունակող ասումները (օրինակ՝ ալկալիական մետաղները), բանի որ ելեկտրոնների գումարային սպինը, որը կիսաամրող (և միավորներով) մեծություն է, չի կարող եամակշռվել ուղեծրային մոմենտով, որը միշտ ամբողջ է: Պարամագնիսականությամբ կարող են օժտված լինել նաև գույզ թվով ելեկտրոններ ունեցող ասումները կամ մոլեկուլները:

Արտաքին մագնիսական դաշտի բացակայությամբ մակրոմարմնի մագնիսացվածությունը հավասար է զրոյի, բանի որ չերմային շարժման հետևանքով նաևնիկների մագնիսական մոմենտներն ուղղված են պաստական ձևով, բոլոր հնարավոր ուղղություններով: Սակայն մագնիսական

դաշտի աճին զուգընթաց բոլոր մասնիկների մագնիսական մոմենտները ծեռք են բերում դաշտի ուղղությամբ բաղադրիչներ, որոնք, զումարվելով, տալիս են զրոյից տարրեր մագնիսացվածություն:

Ծանոթանանք նաև պարամագնիսականության դասական տեսությանը (Պ.Լ.անժըլվեն):

Դիտարկենք  $\mu$  մագնիսական մոմենտների իդեալական գագ, որը գտնվում է  $H$  մագնիսական դաշտում:  $\mu$  մոմենտի պոտենցիալ էներգիան տրվում է

$$W = -\mu H = -\mu_z H = -\mu H \cos \theta \quad (5.1)$$

բանաձևով, որտեղ  $\mu_z$ -ը մագնիսական մոմենտի պրոյեկցիան է դաշտի ուղղությամբ,  $\theta$ -ն՝  $\mu$  և  $H$  վեկտորների կազմած անկյունը:

Հավանականությունն այն բանի, որ  $\mu$  վեկտորը գանգում է  $(\theta, \varphi)$  ուղղության շուրջ  $d\Omega = \sin \theta d\theta d\varphi$  մարմնային անկյան մեջ, սրվում է Բոլցմանի բաշխման ֆունկցիայով՝

$$f(\theta, \varphi) d\Omega = A \exp\left(-\frac{W}{k_B T}\right) d\Omega = A \exp\left(\frac{\mu H \cos \theta}{k_B T}\right) d\Omega, \quad (5.2)$$

իսկ նորմավորման  $A$  հաստատունը արտահայտվում է մեկ մասնիկի վիճակագրական ինտեգրալի՝  $H$ -ից կախված մասի միջոցով՝

$$\frac{1}{A} = z_1(H, T) = \int_0^{2\pi} d\varphi \int_0^\pi \sin \theta d\theta \cdot \exp\left(\frac{\mu H}{k_B T} \cos \theta\right) = \frac{4\pi k_B T}{\mu H} \operatorname{sh} \frac{\mu H}{k_B T} : \quad (5.3)$$

Վիճակագրական գումարի մնացած մասը կախված է համակարգի ծավալից և քերմաստիճանից և մագնիսացվածությունը հաշվելիս դեր չի խաղում (կարևոր է ենքաղրել, որ  $\mu$  մոմենտը գանգած է և միայն կարող է պտտվել սեռոված կենտրոնի շուրջ բոլոր ուղղություններով):

$N$  մագնիսական մոմենտների համակարգի ազատ էներգիայի՝  $H$ -ից կախված մասն արտահայտվում է  $z_1$ -ի միջոցով՝

$$F(H, T) = -Nk_B T \ln z_1(H, T) = -Nk_B T \ln \left( \frac{4\pi k_B T}{\mu H} \operatorname{sh} \frac{\mu H}{k_B T} \right) : \quad (5.4)$$

բանաձևով, որը տեղադրելով (2.31) արտահայտության մեջ, մազնիսացվածության համար կստանանք՝

$$M = -\frac{1}{V} \left( \frac{\partial F}{\partial H} \right)_{T,V} = n\mu \left( \text{cht} \frac{\mu H}{k_B T} - \frac{k_B T}{\mu H} \right) \equiv n\mu L \left( \frac{\mu H}{k_B T} \right), \quad (5.5)$$

որտեղ  $n$ -ը մազնիսական մոմենտների կոնցենտրացիան է:

(5.5) արտահայտությունը նկարագրում է մազնիսացվածության ջերմաստիճանային և մազնիսական դաշտի լարվածությունից ունեցած կախումներն ընդհանուր դեպքում:

Ուսումնաժիրներ մազնիսացվածության վարքը տարբեր սահմանային դեպքերման:

1. «Ուժեղ» մազնիսական դաշտեր («ցածր» ջերմաստիճաններ)

$$x = \frac{\mu H}{k_B T} \gg 1 : \quad (5.6)$$

Օգտվելով  $L(x)$  ֆունկցիայի (4.33) վերլուծությունից, մազնիսացվածության համար ստանում ենք

$$M \approx n\mu \quad (5.7)$$

արտահայտությունը, ըստ որի բոլոր մազնիսական մոմենտներն ուղղված են դաշտի ռեզուրյամբ, այսինքն՝ տեղի ունի հագեցում՝ մազնիսացվածությունը կախված չէ ոչ դաշտի լարվածությունից, ոչ ջերմաստիճանից:

2. «Ժույյը» մազնիսական դաշտեր («բարձր» ջերմաստիճաններ)

$$x = \frac{\mu H}{k_B T} \ll 1 : \quad (5.8)$$

Նկատի ունենալով  $x \ll 1$  արժեքների համար  $L(x)$  ֆունկցիայի (4.30) վերլուծությունը, մազնիսացվածության համար կստանանք՝

$$M \approx n\mu \cdot \frac{\mu H}{3k_B T} = \frac{n\mu^2}{3k_B T} H \equiv \chi H, \quad (5.9)$$

որտեղ

$$\chi = \frac{n\mu^2}{3k_B T} : \quad (5.10)$$

Ընդունված է մազնիսական ընկալմանակության (5.10) արտահայտությունը

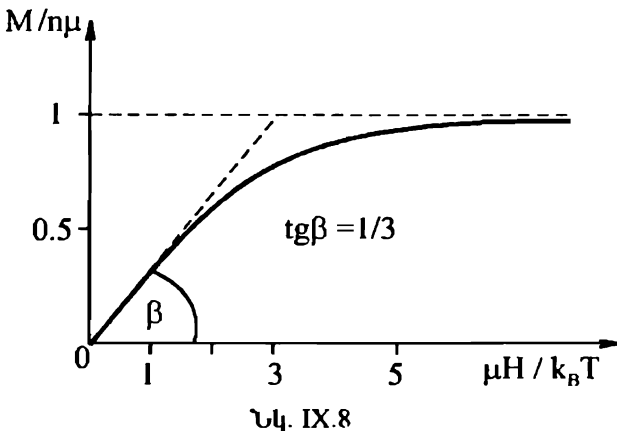
Անըլիայացնել հետևյալ տեսքով՝

$$\chi = \frac{C}{T}, \quad (5.11)$$

որը հայտնի է որպես Կյուրիի օրենք պարամագնիսների համար, իսկ

$$C = \frac{n\mu^2}{3k_B} \quad (5.12)$$

մեծությունը կոչվում է Կյուրիի հաստատուն: Նկ. IX.8-ում պատկերված է մագնիսացվածության կախումը  $\mu H/k_B T$  փոփոխականից:



Ազատ էներգիայի (5.4) բանաձևի օգնությամբ համակարգի էնտրոպիայի՝ դաշտի լարվածությունից կախված մասի համար ստացվում է

$$S(H, T) = - \left( \frac{\partial F}{\partial T} \right)_H = Nk_B \left[ \ln \left( \frac{4\pi k_B T}{\mu H} \sinh \frac{\mu H}{k_B T} \right) - \frac{\mu H}{k_B T} L \left( \frac{\mu H}{k_B T} \right) \right] \quad (5.13)$$

արտահայտությունը: Եթե  $T \rightarrow 0$ K,  $x = (\mu H/k_B T) \rightarrow \infty$ , ուստի

$$S(H, T) \approx -Nk_B \cdot \ln \left( \frac{\mu H}{k_B T} \right) \rightarrow -\infty, \quad (5.14)$$

ինչը հակասում է թերմոդինամիկայի III օրենքին, որի համաձայն, եթե  $T \rightarrow 0$ K,  $S \rightarrow 0$  (Ներնստի թեորեմ): Այս հակասությունը հետևանք է դա-

սական սևության սահմանավակուրյան և պայմանավորված է այն հանգամանքով, որ նրանում հաշվի չի առնված մոմենտի տարրածական բվանտացումը, որի համաձայն տրված  $J$  մոմենտի պրոյեկցիան բնդունում է  $-2J+1$  հատ արժեք՝  $m_J = -J, -(J-1), \dots, J-1, J$ : Ի տարրերություն դասական բննարկման, եթե մազնիսական մոմենտի պրոյեկցիան դաշտի ուղղությամբ՝  $\mu_z = \mu \cos \theta$  մեծությունն ընդունում է անվերջ բվով արժեքներ ( $\theta$  անկյունը փոփոխվում է անընդիատ  $[0, \pi]$  տիրույքում), տարածական բվանտացման հաշվառումով մազնիսական մոմենտի պրոյեկցիայի ընդունած արժեքները տրվում են (3.33) բանաձևով:

Մազնիսական մոմենտի տարածական բվանտացման հաշվառումն իրականացվում է (5.3) վիճակագրական ինստերալից գումարին անցումով, որի մեջ տեղադրվում է մազնիսական մոմենտի լեռգիայի (3.31) արտահայտությունը՝

$$z_1(H, T) = \sum_{m_J=-J}^J \exp\left(\frac{\mu_B g_J m_J H}{k_B T}\right) \equiv \sum_{-J}^J e^{m\alpha}, \quad (5.15)$$

որտեղ

$$\alpha = \frac{\mu_B g_J H}{k_B T} : \quad (5.16)$$

(5.15) արտահայտությունը վերջավոր երկրաչափական պրոզրեսիա է, որի գումարը՝

$$\sum_{-J}^J e^{m\alpha} = e^{-Ja} \frac{e^{(2J+1)\alpha} - 1}{e^\alpha - 1} = \frac{\operatorname{sh}[(J+1/2)\alpha]}{\operatorname{sh}(\alpha/2)} : \quad (5.17)$$

Տեղադրելով (5.17) արտահայտությունը ազատ էներգիայի (5.4) սահմանման մեջ և ածանցելով այն ըստ  $H$ -ի, մազնիսացվածության համար կստանանք՝

$$M = n \mu_B g_J J B_J \left( \frac{J \mu_B g_J H}{k_B T} \right), \quad (5.18)$$

որտեղ  $B_J(y)$  ֆունկցիան տրվում է.

$$B_J(y) = \frac{2J+1}{2J} \operatorname{cth}\left(\frac{2J+1}{2J} y\right) - \frac{1}{2J} \operatorname{cth}\left(\frac{1}{2J} y\right) \quad (5.19)$$

արտահայտությամբ:

Ուսումնասիրնենք մագնիսացվածության վարքը սուպերֆեր սահմանային դեպքերում:

1. «Ուժեղ» մազնիսական դաշտեր՝

$$y = \frac{J\mu_B g_J H}{k_B T} \gg 1 : \quad (5.20)$$

Արգումենտի մեծ արժեքների համար

$$\begin{aligned} B_J(y) &\approx \frac{2J+1}{2J} \left[ 1 + 2 \exp\left(-\frac{2J+1}{J}y\right) \right] - \frac{1}{2J} \left[ 1 + 2 \exp\left(-\frac{1}{J}y\right) \right] = \\ &= 1 - \frac{1}{J} e^{-y/J} \left[ 1 - (2J+1)e^{-2y} \right], \end{aligned} \quad (5.21)$$

ուստի մագնիսացվածության համար սուպերֆեր է

$$M = n\mu_B g_J J \quad (5.22)$$

ակնհայտ արդյունքը:

2. «Ժողով» մազնիսական դաշտեր՝

$$y = \frac{J\mu_B g_J H}{k_B T} \ll 1 : \quad (5.23)$$

Օգտվելով cth y ֆունկցիայի վերլուծությունից՝

$$\operatorname{cth} y = \frac{1}{y} + \frac{y}{3} - \frac{y^3}{45} + \dots, \quad (5.24)$$

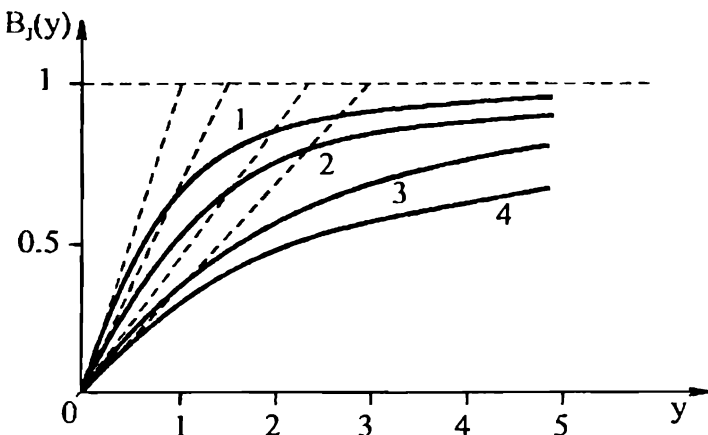
$B_J(y)$  ֆունկցիայի համար կստանանք՝

$$B_J(y) \approx \frac{J+1}{3J} y - \frac{(J+1)(2J^2+2J+1)}{90J^3} y^3 + \dots : \quad (5.25)$$

$J$  մեծության ամենափոքր արժեքը  $1/2$  է, ուստի  $y=0$  կետում  $B'_J(0)$  ածանցյալի արժեքները փոփոխվում են

$$\sqrt{3}(J=\infty) \leq B'_J(0) \leq 1(J=1/2)$$

Միայն առաջարկություն:  $B_J(y)$  ֆունկցիայի ( $M/Jng_J\mu_B$  չափագուրկ մագնիսացվածության) գրաֆիկները  $J$ -ի մի քանի արժեքների համար արկած են նկ. IX.9-ում ( $1. J=1/2$ ,  $2. J=1$ ,  $3. J=7/2$ ,  $4. J=\infty$ ):



Նկ. IX.9

(5.18) և (5.25) բանաձևերի համաձայն՝

$$M = n\mu_B g_J J \frac{J+1}{3J} \frac{\mu_B g_J J H}{k_B T} = \frac{n\mu_B^2 g_J^2 J(J+1)H}{3k_B T} \equiv \chi H, \quad (5.26)$$

որտեղից մազնիսական ընկալունակության հանար ստացվում է

$$\chi = \frac{n\mu_B^2 g_J^2 J(J+1)}{3k_B T} \equiv \frac{C}{T} \quad (5.27)$$

արտահայտությունը և Կյուրիի հաստատունի նոր արժեքը՝

$$C = \frac{n\mu_B^2 g_J^2 J(J+1)}{3k_B} : \quad (5.28)$$

Համաձայն (3.36) գնահատման, Կյուրիի օրենքը ստու ունի շատ լայն ջերմաստիճանային տիրույթում, սկսած  $(10^{-4} H)K$  ջերմաստիճաններից:

Փորձում Կյուրիի հաստատունը որպեսվում է  $\chi^{-1} = T/C$  կախումն արտահայտող ուղղի զծի թեքության միջոցով (նկ. IX.10)

Այժմ համեմատենք պարամագնիսական՝  $\chi_p$  և աստոնական դիամագնիսականության՝  $\chi_d$  ընկալունակությունները:

Համաձայն (5.27) և (3.20) բանաձևերի՝

$$\left| \frac{\chi_p}{\chi_d} \right| = \frac{g_J^2 J(J+1)}{2z k_B T} \cdot \frac{\hbar^2}{m \langle R^2 \rangle} : (5.29)$$

Սեմյակային ( $T \sim 300\text{K}$ ) չերմասսի-ճամներում  $\text{Gd}^{3+}$  իոնի համար ( $J=S=7/2$ ,  $L=0$ ,  $g_J=2$ ,  $z=64$ )

(5.29) հարաբերությունը  $\approx 525$ : Այսինքն՝  $J=7/2$  մոմենտով չլրացված բաղանքի պարամագնիսական ներդրումը լրիվ ընկալունակության մեջ մոտ 525 անգամ զերազանցում է բոլոր էլեկտրոնների դիամագնիսական ներդրումը և որի բացարձակ արժեքը  $\text{Gd}-ի$  համար, բառ ( $2.21$ ) բանաձեի ( $\rho \approx 8.23\text{q}/\text{սմ}^3$ ,  $\mu = 157.25\text{q}/\text{մոլ}$ ) հավասար է  $\approx 9.5 \cdot 10^{-6}$ :

Մագնիսացվածության (5.18) բնդիանուր արտահայտությունից սահմանային անցումով կարելի է ստանալ (5.5) դասական արդյունքը:

Իրաք, եթե  $\hbar \rightarrow 0$ , վերջավոր մագնիսական մոմենտ ստանալու համար անհրաժեշտ  $I$ , որ միաժամանակ  $J \rightarrow \infty$ : Այս դեպքում

$$g_J \mu_B J = g_J \frac{e\hbar}{2mc} J \rightarrow \mu : \quad (5.30)$$

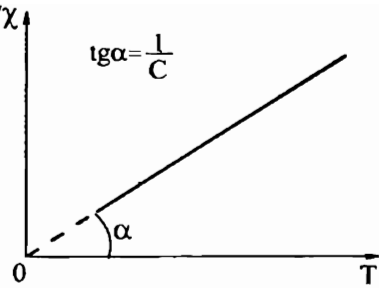
Մյուս կողմից, եթե  $J \rightarrow \infty$ ,

$$\begin{aligned} B_J(y) &= \frac{2J+1}{2J} \operatorname{cth} \left( \frac{2J+1}{2J} \frac{\mu H}{k_B T} \right) - \frac{1}{2J} \operatorname{cth} \left( \frac{1}{2J} \frac{\mu H}{k_B T} \right) \approx \\ &\approx \operatorname{cth} \frac{\mu H}{k_B T} - \frac{1}{2J} \frac{2J k_B T}{\mu H} + O \left( \frac{1}{J^2} \right) = L \left( \frac{\mu H}{k_B T} \right), \end{aligned}$$

այսինքն՝

$$M = n g_J \mu_B J B_J \left( \frac{J g_J \mu_B H}{k_B T} \right) \Bigg|_{\substack{\hbar \rightarrow 0 \\ J \rightarrow \infty}} = n \mu L \left( \frac{\mu H}{k_B T} \right) :$$

Այժմ անհրաժեշտ է պարզել, թե որքանով մոմենտների իդեալական «զագի» համար ստացված արդյունքները կիրառելի են պինդ մարմնի



Նկ. IX.10

մագնիսական բնկալունակությունը հաշվարկելի է, բանի որ պինդ մարմնում ատոմի (իոնի) վրա կարող է որաշչի լինել նրա շրջապատճի ազդեցությունը:

Ենցական ցույց է տալիս վորձը, հազվագյուտ հողային տարրերի խնդիր սլաքունակող մեկուսիչ բյուրեղների պարամագնիտական բնկալունակությունը մեծ ճշուաբերաբեր նկարագրվում է. Կյուրիի (5.27) օրենքով՝ Հաճախ նրանում առկա  $C$  հաստատունը ներկայացվում է.

$$C = \frac{n\mu_B^2 P_{eff}^2}{3k_B} \quad (5.31)$$

տեսրով, որտեղ  $n$  մացված և  $P_{eff}$  մագնիսատնների արդյունաբար թիվը՝

$$P_{eff} = g_J \sqrt{J(J+1)} : \quad (5.32)$$

### Ալյուսակ IХ.2

| $Z$ | Տարր | 4f-բաղանքի կազմությունը | $P_{eff}$ . սես. | $P_{eff}$ . վորձ. |
|-----|------|-------------------------|------------------|-------------------|
| 57  | La   | 4f <sup>0</sup>         | 0,00             | ηիամազն.          |
| 58  | Ce   | 4f <sup>1</sup>         | 2,54             | 2,4               |
| 59  | Pr   | 4f <sup>2</sup>         | 3,58             | 3,5               |
| 60  | Nd   | 4f <sup>3</sup>         | 3,62             | 3,5               |
| 61  | Pm   | 4f <sup>4</sup>         | 2,68             | —                 |
| 62  | Sm   | 4f <sup>5</sup>         | 0,84             | 1,5               |
| 63  | Eu   | 4f <sup>6</sup>         | 0,00             | 3,4               |
| 64  | Gd   | 4f <sup>7</sup>         | 7,94             | 8,0               |
| 65  | Tb   | 4f <sup>8</sup>         | 9,72             | 9,5               |
| 66  | Dy   | 4f <sup>9</sup>         | 10,63            | 10,6              |
| 67  | Ho   | 4f <sup>10</sup>        | 10,60            | 10,4              |
| 68  | Er   | 4f <sup>11</sup>        | 9,59             | 9,5               |
| 69  | Tm   | 4f <sup>12</sup>        | 7,57             | 7,3               |
| 70  | Yb   | 4f <sup>13</sup>        | 4,54             | 4,3               |
| 71  | Lu   | 4f <sup>14</sup>        | 0,00             | ηիամազն.          |

Աղյուսակ IХ.2-ում բերված են  $P_{eff}$ -ի արժեքները չլրացված 4f էլեկտրոնային թաղանքով հազվագյուտ հոդային տարրերի եռարժեք իոն-ների համար, որոնք որոշվել են (5.32) բանաձևով ( $P_{eff}$ , սև.) և ստացվել են վործից՝ Կյուրիլի հաստատոնի չափումներից և (5.31) բանաձևից ( $P_{eff}$ , փորձ.): Փորձի և տեսության համընկնումը (բացի  $Eu^{3+}$ -ից և  $Sm^{3+}$ -ից) բույլ է տախու և լրակացնել, որ շրջապատը գործնականորեն չի ազդում 4f թաղանքի լեկարունների վրա: Բանն այն է, որ 4f թաղանքը գտնվում է իմանի «լսորդում» (նրա շառավիղը մոտ 0,3 Å է) և լկրանավորված է շրջապատի ազդեցույթունից  $Ss^2$  և  $Sr^6$  լրացված լեկտրոնային թաղանքներով:  $Eu^{3+}$  և  $Sm^{3+}$  իոնների մոտ դիսավոր զգակի չեղումները տեսությունից հետևանք են այն բանի, որ տրված  $L$ -ի և  $S$ -ի, այսինքն՝ տրված մուկահալեսի համար տարրեր (իմանականում՝ վորքը)  $J$ -երով մակարդակների միջև հնուավորությունը՝  $|\Delta E_{J,J\pm 1}| \sim k_B T$  սենյակային ջերմաստիճաններում, այնինչ Կյուրիի օրենքը ստացված է՝  $|\Delta E_{J,J\pm 1}| >> k_B T$  հնրադրության դեպքում:

Այլ է իրադրությունը անցումային մետաղների, օրինակ՝ երկաթի խմբի խոնների համար: Թեև նրանց համար նույնպես աևորի ունի Կյուրիի օրենքը, սակայն վործին ավելի մոտ են  $P_{eff}$ -ի այն արժեքները, որոնք որոշվում են ըստ  $P_{eff} = \sqrt{S(S+1)}$  բանաձևի, այսինքն՝ կարծես ուղեծրային  $L$  մոմենտն ընդհանրապես բացակայում է: Այս փասար հայտնի է, որպես ուղեծրային մոմենտի «աստիցում», որն ավելի բնդիանուր երևությի՝ բյուրեղական ներքին լեկտրական դաշտում էներգիական մակարդակների ճնշեման մասնավոր դրսւություն է: Խ տարրերություն 4f լեկտրունների, երկարի իոնի Յd թաղանքը փաստուն «ամենադրսինն» է, ուստի և առավել ենրակա բյուրեղական անհամասնո դաշտի ներգործությանը: Եյուրեղական դաշտի ազդեցության տակ խախտվում է կապը  $L$  և  $S$  վեկտորների միջև, ուստի վիճակներն այլա չի կարելի դասակարգել ըստ  $J$ -ի արժեքների: Բացի այդ, բյուրեղական դաշտը մասնակիութեան կամ լրիվ վերացնում է ասոմի՝ տրված  $L$ -վիճակի ( $2L+1$ )-պատճեալ այլասերվածությունն ըստ  $L_z$ -ի:

Ինչպես հասկանալ մոմենտի «ասուցման» երևությը:

Կանոնականացած դաշտում (օրինակ՝ միջուկի կուլոնյան դաշտում)

դասական ուղեծրի հարքությունը տարածության մեջ սևեռված է, ուսափ մոմենտի բոլոր քաղադրիչները՝  $L_x$ ,  $L_y$ ,  $L_z$ -ը, պահպանվում են: Քվանտային մեխանիկայում այս դեպքում պահպանվում են  $L^2$ -ն և  $L_z$ -ը: Եթե դաշտը կենարունակամաշափ չէ, ապա ուղեծրի հարքությունը տարածության մեջ պատճենվում է, մոմենտի քաղադրիչներն այլև հաստատուն չեն մնում և կարող են միջին հաշվով գրո դառնալ: Չնայած  $L^2 \neq 0$ , սակայն գրո և դառնում են առաջինը  $L_z$ -ի միջինը և քանի որ մազնիսական մոմենտի  $\tau$  քաղադրիչը, համաձայն (2.11) առնչության, համեմատական է  $L_z$ -ին, ապա գրո է դառնում են այն:

## §6. Սպինային պարամագնիսականություն

Ելեկտրոնների ուղեծրային շարժումով պայմանավորված մազնիսացվածությունը որոշելիս ներադրվեց, որ Լեկտրոնները չունեն սեփական մազնիսական մոմենտ:

Այժմ պարզենք Լեկտրոնի սեփական մազնիսական մոմենտի ներդրումը Լեկտրոնային գազի մազնիսացվածության մեջ: Կենքադրենք, որ Լեկտրոնի ուղեծրային շարժումը չի ազդում Լեկտրոնի սեփական մազնիսական մոմենտի վրա, այսինքն՝ հաշվի չենք առնի սպին-ուղեծրային փոխազդեցությունը:

Քանի որ Լեկտրոնն ունի սեփական մազնիսական մոմենտ՝  $\mu_B$ , ապա դասական վիճակագրության շրջանակներում Լեկտրոնների համակարգի մազնիսացվածությունը կարելի է հաշվել Կյուրիի օրենքով, (5.26) բանաձևում տևողադրելով  $J = S = 1/2$ ,  $g_J = 2$ :

$$M = \frac{n\mu_B^2}{k_B T} H, \quad \chi = \frac{n\mu_B^2}{k_B T} : \quad (6.1)$$

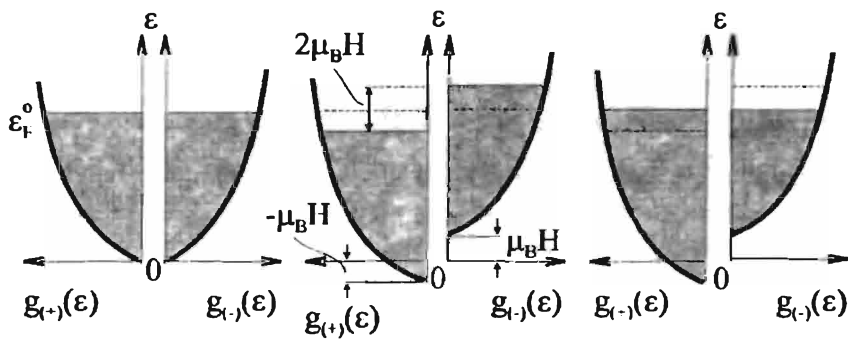
Սակայն, ինչպես ցույց է տալիս վործը, մեսադների մեծամասնության մազնիսական ընկալունակությունը կախված չէ ջերմաստիճանից, իսկ նրա մեծությունը սենյակային ջերմաստիճաններում մոտ 100 անգամ փոքր է (6.1) բանաձևից ստացվող արժեքից: Վ. Պաուլին ցույց տվեց, որ վործի

Ինտ հսմբելկնող արդյունքներ կարելի է ստանալ, եթե էլեկտրոնային գազը նկարագրվի Ֆերմի-Դիրակի բաշխումով:

Արտաքին մազնիսական դաշտի բացակայությամբ էլեկտրոնային գազի արդյունարար մազնիսական մոմենտը  $T = 0\text{K}$ -ում հավասար է զրոյի, բանի որ կան նույն քվով և հակառակ ուղղություններով սպիներ: Որևէ ուղղության զուգահեռ (+) և հակագուգահեռ (-) սպիներով վիճակների խսություններն իրար հավասար են (նկ. IX.11, ա)

$$g_+(\varepsilon) = g_-(\varepsilon) = \frac{1}{2} g(\varepsilon), \quad (6.2)$$

որտեղ  $g(\varepsilon)$ -ն վիճակների խսության լրիվ ֆունկցիան է:



Նկ. IX.11

Եթե  $H \neq 0$ , ապա, սեփական մազնիսական մոմենտի էներգիայի  $W = -\mu_z H$  արտահայտության համաձայն,  $H$ -ին զուգահեռ սպինի ( $\mu_z = \mu_B$ ) էներգիան փոքրանում է  $\mu_B H$ -ով, իսկ հակագուգահեռ սպինի ( $\mu_z = -\mu_B$ ) էներգիան մեծանում  $\mu_B H$ -ով: Տեղի է ունենում (+) և (-) վիճակների էներգիական մակարդակների՝ իրար նկասմամբ  $2\mu_B H$  տեղաշարժ (նկ. IX.11, բ), որի դեպքում (+) և (-) վիճակների միատևակ լրացումն այլևս չի համապատասխանում համակարգի նվազագույն էներգիային: Հավաստրակշռության վիճակին անցնելիս (-) սպիներով էլեկտրոնների

որոշ մասը գրադարձնում է ավելի փոքր էներգիա ունեցող և ազատ (+) վիճակները, որի հետևանքով համակարգի լրիվ էներգիան փորբանում է, և համակարգը ծեռք է թրում զրոյից տարբեր մազնիսական մոմենտ (նկ. IX.11, զ): Գնահատումների համաձայն, փորձում ստացվող ամենաուժեղ մազնիսական դաշտերում  $\mu_B H \ll \varepsilon_F$ , ուստի  $\mu_B H$  տիրույթում  $g_{\pm}(\varepsilon)$  ֆունկցիաների փոքր փոփոխությունները կարելի է հաշվի չառնել և (+) և (-) սպիներով էլեկտրոնների խտությունների փոփոխությունների համար զրել:

$$\delta n_{\pm} \approx \pm g_{\pm}(\varepsilon_F) \mu_B H : \quad (6.3)$$

Համակարգի մազնիսացվածության համար (6.3) առնչությունների օգնությամբ կստանանք՝

$$\begin{aligned} M &= \mu_B \delta n_+ + (-\mu_B) \delta n_- = \mu_B (\delta n_+ - \delta n_-) = \\ &= \mu_B^2 H [g_+(\varepsilon_F) + g_-(\varepsilon_F)] = \mu_B^2 g(\varepsilon_F) H : \end{aligned} \quad (6.4)$$

Նկասի ունենալով վիճակների խտության (VII.3.28) արտահայտությունը, (6.4) առնչությունից էլեկտրոնային գազի մազնիսական ընկալունակության համար կստանանք (Վ. Պատիկ, 1927թ.)՝

$$\chi = \mu_B^2 g(\varepsilon_F) = \frac{3\eta\mu_B^2}{2\varepsilon_F} : \quad (6.5)$$

Դժվար չէ համոզվել, որ այս բանաձևն անմիջականորեն ստացվում է (6.1) բանաձևից, եթե նրանում լրիվ էլեկտրոնային կոնցենտրացիայի փոխարեն տեղադրենք «դասական» վարք ունեցող էլեկտրոնների կոնցենտրացիայի (4.35) արտահայտությունը: Սենյակային ջերմաստիճաններամ  $\chi$ -ի փորձնական արժեքի մոտ 100 անգամ փորբությունը (6.1) դասական արտահայտությունից ստացվող արժեքից պայմանավորված է հենց  $n_T$  և  $n$  կոնցենտրացիաների հարաբերությամբ, որը, համաձայն (4.35) առնչության, հավասար է

$$\frac{n_T}{n} = \frac{3k_B T}{2\varepsilon_F} = \frac{3}{2} \frac{T}{T_F} \sim \frac{10^2}{10^4} \sim 0,01 : \quad (6.6)$$

Այժմ ստանանք սպինային պարամագնիսական ընկալունակության արտահայտությունը ջերմաստիճանների ողջ տիրույթում:

Մազնիսական դաշտի ուղղությամբ ուղղված սպիներով Լեկտրոնների թիվը  $\varepsilon, \varepsilon + d\varepsilon$  աիրույքում որոշելու համար անհրաժեշտ է գտնել  $g_+(\varepsilon)$  գիճակների խառնության ֆունկցիան  $H \neq 0$  դեպքում: (+) սպինով Լեկտրոնի իմպուլսը որոշվում է

$$p_+ = \left[ 2m(\varepsilon + \mu_B H) \right]^{1/2}, \quad \varepsilon \geq -\mu_B H \quad (6.7)$$

արտահայտությունից, ուսակի վիճակների թվի համար կարող ենք գրել

$$\begin{aligned} g_+(\varepsilon) d\varepsilon &= \frac{4\pi p_+^2 dp_+}{(2\pi\hbar)^3} = \frac{4\pi \cdot 2m(\varepsilon + \mu_B H) \cdot (2m)^{1/2}}{8\pi^3 \hbar^3 \cdot 2(\varepsilon + \mu_B H)^{1/2}} d\varepsilon = \\ &= \frac{1}{4\pi^2} \left( \frac{2m}{\hbar^2} \right)^{3/2} (\varepsilon + \mu_B H)^{1/2} d\varepsilon = \frac{1}{2} g(\varepsilon + \mu_B H) d\varepsilon. \end{aligned} \quad (6.8)$$

այսինքն՝

$$g_+(\varepsilon) = \frac{1}{2} g(\varepsilon + \mu_B H), \quad \varepsilon \geq -\mu_B H : \quad (6.9)$$

Նույն ձևով (-) սպիներով վիճակների խառնության ֆունկցիայի համար կարող ենք գրել՝

$$g_-(\varepsilon) = \frac{1}{2} g(\varepsilon - \mu_B H), \quad \varepsilon \geq \mu_B H : \quad (6.10)$$

(6.9) և (6.10) արտահայտությունների օգնությամբ (+) և (-) սպիներով Լեկտրոնների կոնցենտրացիաների համար կստանանք՝

$$n_+ = \int_{-\mu_B H}^{\infty} f(\varepsilon) g_+(\varepsilon) d\varepsilon = \frac{1}{2} \int_{-\mu_B H}^{\infty} f(\varepsilon) g(\varepsilon + \mu_B H) d\varepsilon = \frac{1}{2} \int_0^{\infty} f(\varepsilon - \mu_B H) g(\varepsilon) d\varepsilon, \quad (6.11)$$

$$n_- = \int_{\mu_B H}^{\infty} f(\varepsilon) g_-(\varepsilon) d\varepsilon = \frac{1}{2} \int_{\mu_B H}^{\infty} f(\varepsilon) g(\varepsilon - \mu_B H) d\varepsilon = \frac{1}{2} \int_0^{\infty} f(\varepsilon + \mu_B H) g(\varepsilon) d\varepsilon, \quad (6.12)$$

որտեղ  $f(\varepsilon)$ -ն Ֆերմի-Դիրակի բաշխման ֆունկցիան է:

Համակարգի մազնիսական մոմենտը բոլոր Լեկտրոնների սեփական մազնիսական մոմենտների գումարն է՝

$$M = \mu_B(n_+ - n_-) = \frac{1}{2} \mu_B \int_0^\infty [f(\varepsilon - \mu_B H) - f(\varepsilon + \mu_B H)] g(\varepsilon) d\varepsilon, \quad (6.13)$$

իսկ էլեկտրոնների կոնցենտրացիան հավասար է՝

$$n = n_+ + n_- = \frac{1}{2} \int_0^\infty [f(\varepsilon - \mu_B H) + f(\varepsilon + \mu_B H)] g(\varepsilon) d\varepsilon : \quad (6.14)$$

Վերջին արտահայտությունն անբացահայտորեն որոշում է համակարգի քիմիկական դաշտի լարվածությունից, էլեկտրոնների կոնցենտրացիայի և մազնիսական դաշտի լարվածության ֆունկցիա՝

$$\mu = \mu(T, n, H) : \quad (6.15)$$

(6.14) արտահայտության օգնությամբ պարզենք քիմիկական դաշտում մազնիսական դաշտի լարվածությունից: Քանի որ  $\mu_B H \ll \bar{\varepsilon}$  քնութագրական միջին է ներգիայից, ապա (6.14) բանաձևում քաշչափան ֆունկցիան կարելի է վերածել շարքի ըստ  $\mu_B H$  «վորք» պարամետրի՝

$$\begin{aligned} n &= \int_0^\infty f(\varepsilon) g(\varepsilon) d\varepsilon + (\mu_B H)^2 \int_0^\infty \frac{\partial^2 f}{\partial \varepsilon^2} g(\varepsilon) d\varepsilon + \dots = \\ &= \int_0^\infty f(\varepsilon) g(\varepsilon) d\varepsilon + O(\mu_B H)^2 : \end{aligned} \quad (6.16)$$

Այս արտահայտությունը  $(\mu_B H / \bar{\varepsilon})^2$  կարգի անդամների ճշտությամբ համընկնում է:  $H = 0$  դեպքում գրված նորմավորման պայմանի հետ, ուստի քիմիկական դաշտի համար կարող ենք նշված ճշտությամբ գրել՝

$$\mu(T, n, H) \approx \mu(T, n, 0) : \quad (6.17)$$

Մազնիսացվածության համար (6.13) արտահայտությունից ստացվում է՝

$$M = -\mu_B^2 H \int_0^\infty \frac{\partial f}{\partial \varepsilon} g(\varepsilon) d\varepsilon \equiv \chi H , \quad (6.18)$$

որտեղից հետևում է ընկալունակության ընդիանուր բանաձև՝

$$\chi = -\mu_B^2 \int_0^\infty \frac{\partial f}{\partial \varepsilon} g(\varepsilon) d\varepsilon : \quad (6.19)$$

Մասնավորապես, եթե  $T = 0\text{K}$ ,

$$\frac{\partial f}{\partial \varepsilon} = -\delta(\varepsilon - \varepsilon_F) , \quad (6.20)$$

և (6.19) բանաձևից ստացվում է (6.5) արտահայտությունը:

Ուժեղ այլասերված էլեկտրոնային գազի դեպքում, եթե  $k_B T \ll \varepsilon_F$ , (6.19) ինտեգրալը մի անգամ մասերով ինտեգրելուց հետո բերվում է (VII.3.23) տեսքի, որտեղից

$$\chi = \mu_B^2 \left[ g(\mu) + \frac{\pi^2}{6} (k_B T)^2 \left( \frac{d^2 g}{d \varepsilon^2} \right)_\mu \right] : \quad (6.21)$$

$\chi$ -ի ջերմասափանանային կախումը որոշելու համար պետք է նկատի ունենալ նաև, որ իրմասաւենցիալի ջերմասափանանային ուղղումը, որը արվում է (VII.3.27) արտահայտությամբ: Արդյունքում կստանանք՝

$$g(\mu) \approx g(\varepsilon_F) + \left( \frac{dg}{d\varepsilon} \right)_{\varepsilon_F} (\mu - \varepsilon_F) = g(\varepsilon_F) + \frac{2g(\varepsilon_F)}{2\varepsilon_F} \left[ -\frac{\pi^2}{12} \left( \frac{k_B T}{\varepsilon_F} \right)^2 \right], \quad (6.22)$$

$$\left( \frac{d^2 g}{d \varepsilon^2} \right)_\mu \approx \left( \frac{d^2 g}{d \varepsilon^2} \right)_{\varepsilon_F} = -\frac{g(\varepsilon_F)}{4\varepsilon_F^2} : \quad (6.23)$$

Տեղադրելով (6.22), (6.23) արտահայտությունները ընկալունակության (6.21) բանաձևում, կստանանք՝

$$\chi(T) = \mu_B^2 g(\varepsilon_F) \left[ 1 - \frac{\pi^2}{12} \left( \frac{k_B T}{\varepsilon_F} \right)^2 \right] = \chi(0) \left[ 1 - \frac{\pi^2}{12} \left( \frac{k_B T}{\varepsilon_F} \right)^2 \right], \quad (6.24)$$

որի համաձայն էլեկտրոնային գազի պարամագնիսական ընկալունակությունը գործնականում կախված չէ ջերմասափանացից:

Եթե էլեկտրոնային գազն այլասերված չէ, այն նկարագրվում է դասական (բոլցմանյան) բաշխումով՝

$$f(\varepsilon) = \exp \frac{\mu - \varepsilon}{k_B T} , \quad (6.25)$$

որի միջոցով (6.19) բանաձևից կստանանք՝

$$\chi = \frac{\mu_B^2}{k_B T} \int_0^\infty f(\varepsilon) g(\varepsilon) d\varepsilon = \frac{n\mu_B^2}{k_B T} : \quad (6.26)$$

Վերջինս դասական արդյունքից՝ (5.10) բանաձևից, աւարտերվում է  $1/3$  գործակցով, ինչը հետևանք է դաշտի ուղղության վրա էլեկտրոնի սպինի միայն երկու պրոյեկցիայի գոյության, ի տարրերություն դասական տեսության մեջ հնարավոր բոլոր պրոյեկցիաների, որոնք ընկած են  $(-\mu_B, \mu_B)$  տիրույթում։ Հարկ է նշել նաև, որ (6.26) բանաձևը համընկնում է (6.1) բանաձևի հետ, քանի որ վերջինս սահացվել է Կյուրիի օրենքից տարածական բվանացման հաշվառմամբ։

Սպինային ընկալունակությունը զնահատելու համար (6.5) արտահայտության մեջ տեղադրենք Ֆերմիի Լերզիայի  $\hbar^2 k_F^2 / 2m$  և  $\mu_B = e\hbar / 2mc$  արտահայտությունները.

$$\chi = \left( \frac{\alpha}{2\pi} \right)^2 a_0 k_F \approx 1,3 \cdot 10^{-6} a_0 k_F , \quad (6.27)$$

որտեղ  $\alpha = e^2 / \hbar c \approx 1/137$  մեծությունը նույր կառուցվածքի հաստատունն է,  $a_0 = \hbar^2 / me^2 \approx 0,53 \text{ \AA}$ ՝ բոդի շառավիղը,  $k_F$ -ը՝ Ֆերմիի ալիքային թիվը։ Էլեկտրոնների մետաղական կոնցենտրացիաների համար  $a_0 k_F \sim 1$  և  $\chi \approx 10^{-6}$ ։ Այսպիսով,  $\chi$ -ն ունի փոքր՝ դիամագնիսական ընկալունակության կարգի արժեք, որը զգալի փոքր է իմաների պարամագնիսական ընկալունակությունից։ Այս հանգամանքը պայմանավորված է ջերմային անկարգավորության նկատմամբ Պաուլիի սկզբանքի գերակայությամբ, որն ավելի արդյունավետ ծևով է ճնշում մագնիսական դաշտի ազդեցության տակ նույն ուղղությամբ դասավորվելու սպիների ծավալուն։ Իրոք, մագնիսական դաշտի կողմնորոշիչ ազդեցության չափանիշը մագնիսական  $\mu_B H$  էներգիայի և էլեկտրոնի  $\bar{\epsilon}$  միջին լերզիայի հարաբերությունն է։ Դասական էլեկտրոնային զագում  $\bar{\epsilon} \sim k_B T$ , իսկ այլասերված զագում  $\bar{\epsilon} \sim \varepsilon_F$ , ուստի

$$\frac{\mu_B H}{\varepsilon_F} = \frac{\mu_B H}{k_B T} \cdot \frac{k_B T}{\varepsilon_F} = \frac{\mu_B H}{k_B T} \cdot \frac{T}{T_F} \ll \frac{\mu_B H}{k_B T} , \quad (6.28)$$

քանի որ  $T \ll T_F$ ։

Էլեկտրոնային գազի ուղեծրային դիամագնիսական ընկալունակության (4.36) և սպինային պարամագնիսական ընկալունակության (6.5) արտահայտությունների միջև աեղի ունի

$$\chi_d = -\frac{1}{3} \chi_s \quad (6.29)$$

կապը, որից հետևում է, որ էլեկտրոնային գազի լրիվ ընկալունակությունը՝

$$\chi = \chi_s + \chi_d = \frac{2}{3} \chi_s = \frac{n \mu_B^2}{\varepsilon_F} > 0 , \quad (6.30)$$

այսինքն՝ ազատ էլեկտրոնային գազը պարամագնիսական է:

Եթե ազատ էլեկտրոնային գազի մոդելը կիրառենք, ինչպես դա սովորաբար արվում է, մեաաղների նկատմամբ, ապա (6.30) արդյունքը համարժեք է այն պնդմանը, որ բոլոր (ոչ ֆեռոմագնիսական) մետաղները պետք է լինեն պարամագնիսներ: Սակայն հայտնի է, որ կան շատ մետաղներ, որոնք դիամագնիսներ են: Որակապես այս փաստը բացարձում է այն հանգամանքով, որ մետաղում (ավելի ճիշա՛ր բյուրեղի պարբերական դաշտում) գտնվող էլեկտրոնի էներգիական սպեկտրը զգալիորեն տարբերվում է ազատ էլեկտրոնի սպեկտրից (VIII.3): Մասնավորապես, դիսպերսիայի բառակրուտային օրենքի դեպքում, ոչ մեծ իմպուլսների ախրույթում էլեկտրոնին վերագրվում է  $m^*$  արդյունարար զանգված, որը կարող է էապես տարբերվել ազատ էլեկտրոնի  $m = 9,1 \cdot 10^{-28}$  գ զանգվածից: Ի տարբերություն սպինային պարամագնիսականության, որը որոշվում է ազատ էլեկտրոնի  $m$  զանգվածով, ուղեծրային դիամագնիսականությունը որոշվում է  $m^*$  զանգվածով, ուստի նրանում Բորի մագնետոնի փոխարեն պետք է ներմուծել Բորի «արդյունարար» մագնետոնը՝

$$\mu_B = \frac{e\hbar}{2mc} \rightarrow \mu_B^* = \frac{e\hbar}{2m^*c} = \mu_B \frac{m}{m^*} : \quad (6.31)$$

Էլեկտրոնային գազի լրիվ ընկալունակության համար կստանանք՝

$$\chi = \chi_s + \chi_d = \frac{3n\mu_B^2}{2\varepsilon_F^0} - \frac{n\mu_B^{*2}}{2\varepsilon_F^0} = \chi_s \left[ 1 - \frac{1}{3} \left( \frac{m}{m^*} \right)^2 \right] : \quad (6.32)$$

Եթե  $m^* < m/\sqrt{3}$ , ապա լրիվ ընկալունակությունը՝  $\chi < 0$ , և էլեկտրոնային

զազը դիամագնիսական է, հակառակ՝  $m^* > m/\sqrt{3}$  դեպքում այն պարամագնիսական է:

Դիամագնիսական բնկալունակությունը հսմեմատաքար մեծ արժեքներ է ընդունում որոշ կիսահաղորդիչներում, որոնք բնուրագրվում են վորք՝  $m^* \leq 0,1m$  կարգի արդյունարար գանգվածներով:

## §7. Մագնիսական կարգավորվածություն

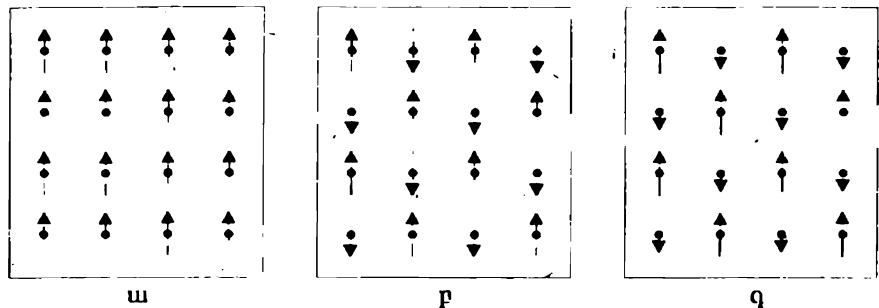
Պարամագնիսական նյութերում, մասնավորապես՝ պինդ պարամագնիսներում, արտաքին մագնիսական դաշտում ծևոք բերված մագնիսական մոմենտը՝ մագնիսացվածքայինը, պայմանավորված է արտաքին դաշտի ուղղողող և ջերմային շարժման քառայնությունը բնուրացրող Լեբգիաների՝  $\mu_B H$ -ի և  $k_B T$ -ի հարաբերակցությամբ։ Բյուրեղական ցանցի հանգույցում տեղայնացված մասնիկին բաժին ընկնող միջին մագնիսական մոմենտը տրվում է (5.19) բանաձևով, որի համաձայն  $H = 0$  դեպքում, ցանկացած ջերմասահճանում միջին մագնիսական մոմենտը հավասար է զրոյի (նյութի պարամագնիսական վիճակ):

Որոշ պինդ մարմիններում, որոշակի ջերմասահճանից ցածր ջերմաստիճանային տիրություն, մեկ մասնիկին բաժին ընկնող մագնիսական մոմենտը կարող է գրոյից տարրերվել նաև արտաքին մագնիսական դաշտի բացակայությամբ։ Այդպիսի պինդ մարմիններն ընդունված և անվանել մագնիսակարգավորված:

Չրոյից տարբեր, տեղայնացված մագնիսական մոմենտները կարող են փոխել կամ չփոխել մարմնի մագնիսացվածությունը։ Եթե մագնիսսկան մոմենտները փոխաւում են մագնիսացվածությունը, ապա միկրոսկոպիկան մակարդակի վրա գոյություն ունեցող մագնիսական կարգավորվածությունը, անզամ արտաքին մագնիսական դաշտի բացակայությամբ, ի հայտ է գալիս մակրոսկոպական մագնիսացվածության ձևով, որը կոչվում է ինքնաբերական (սպոնտան) մագնիսացվածություն։ Այդպիսի կարգավորված վիճակն ընդունված և անվանել ֆեռոմագնիսական (նկ. IX.12, ա):

Եթե միկրոսկոպական մակարդակի վրա գոյություն ունեցող կարգավորվածությունը չի բերում մակրոսկոպական մագնիսական մոմենտի առա-

զացման, այսինքն՝ առանձին, վլոյից սարրեր մազնիսական մոմենտների գումարը հավասար է զրոյի, ապա՝ այդպիսի մազնիսակարգավորված վրճակն ընդունված է անվանել հակաֆեռոմազնիսական (նկ. IX.12, բ):



Նկ. IX.12

Պարզագույն ֆեռոմազնիսական նյութերում բոլոր անդայնացված մազնիսական մոմենտներն ունեն միևնույն մեծությունը և նույն միջին ուղղությունը, իսկ եակաֆեռոմազնիսական նյութերում մազնիսական մոմենտները կազմում են միևնույն կառուցվածքն ունեցող և իրար մեջ ներդրված մազնիսական ենթացանցեր: Յուրաքանչյուր ենթացանցում բոլոր մազնիսական մոմենտները և նրանց ուղղությունները նույնն են, սակայն ենթացանցերի գրամարային մազնիսական մոմենտներն իրար հավասար են և ուղղված են եակառակ, այնպէս որ լրիվ (մազնիսական ենթացանցերի գումար) մազնիսական մոմենտներ հավասար է զրոյի:

Եթե ենթացանցերի մազնիսական մոմենտներն իմաների կամ նրանց թվի սարքերության հետևանքով իրար հավասար չեն, ընդ որում նրանց տարրերությունն առանձին մազնիսական ենթացանցերի մոմենտների կարգի է, ապա այդպիսի մազնիսակարգավորված վիճակն ընդունված է անվանել ֆեռոմազնիսական (նկ. IX.12, գ. ընդունված է նաև «զհամակշռված հակաֆեռոմազնիսականություն» անվանումը):

Որոշ նյութեր, հակաֆեռոմազնիսականությամբ օժաւած լինելով՝ հանդերձ, ունեն ինքնարերական մազնիսական մոմենտ, որը կազմում է առանձին մազնիսական ենթացանցի մազնիսացվածության  $10^3 \div 10^2$  մասը: Այսպիսի ինքնարերական մոմենտը պայմանավորված է որոշակի պայ-

մաններում ենթացանցերի մագնիսական մոմենտների խխառ հակազուգահեռության խախառումով: Այս նյութերն ընդունված է անվանել թույլ ֆեռոմագնիսական:

Ֆերիմագնիսականությունը կարելի է դիսել որպես մագնիսական կարգավորվածության ամենաընդհանուր վիճակ, որը բնութագրվում է երկու և ավելի մագնիսական ենթացանցերի գոյությամբ:

Մագնիսակարգավորված մետաղների համար անդայնացված մագնիսական մոմենտի գաղափարը կիրառելի չէ, ուստի նրանց դասակարգումն ըստ մագնիսական հատկությունների կատարվում է սպինային խտության Փունկցիայի միջոցով՝

$$s_z(r) = \frac{1}{2} [n_{\uparrow}(r) - n_{\downarrow}(r)], \quad (7.1)$$

որը որոշված է յուրաքանչյուր կեսում կամայական  $z$ -ուղղության համար:  $n_{\uparrow}(r)$ -ով և  $n_{\downarrow}(r)$ -ով նշանակված են տարբեր սպինային ( $\uparrow\downarrow$ ) վիճակներում գտնվող էլեկտրոնների կոնցենտրացիաները:

Մագնիսակարգավորված վիճակում  $s_z(r) \neq 0$ : Ֆեռոմագնիսական մետաղում գրայից տարբեր է նաև  $\int d\tau s_z(r)$  ինտեգրալը, իսկ հակաֆեռոմագնիսական մետաղում այդ ինաւզրալը ցանկացած  $z$ -ուղղությամբ հավասար է զրոյի:

### Աղյուսակ IX.3

| Նյութ                   | $T_c$ (K) | $M_0$ (Գս) | Նյութ                     | $T_c$ (K) | $M_0$ (Գս) |
|-------------------------|-----------|------------|---------------------------|-----------|------------|
| <b>Fe</b>               | 1043      | 1752       | <b>Au<sub>2</sub>MnAl</b> | 200       | 323        |
| <b>Co</b>               | 1388      | 1446       | <b>Cu<sub>2</sub>MnAl</b> | 630       | 726        |
| <b>Ni</b>               | 627       | 510        | <b>Cu<sub>2</sub>MnIn</b> | 500       | 613        |
| <b>Gd</b>               | 293       | 1980       | <b>EuO</b>                | 77        | 1910       |
| <b>Dy</b>               | 85        | 3000       | <b>EuS</b>                | 16,5      | 1184       |
| <b>CrBr<sub>3</sub></b> | 37        | 270        | <b>MnAs</b>               | 318       | 870        |
| <b>MnBi</b>             | 670       | 675        | <b>GdCl<sub>3</sub></b>   | 2.2       | 550        |

Մագնիսակարգավորված վիճակում մագնիսացվածությունը (ֆեռո- և ֆեռիմագնիսաներում) կամ ենթացանցերի մագնիսական մոմենտները (հակաֆե-

ոռմագնիսմերում) ամենամեծ արժեքը՝  $M_0$ , ունեն  $T = 0\text{K}$  ջերմասահճանում և ջերմաստիճանի աճին զուգընթաց, որպես կանոն, նվազում էն, դառնալով զյու որոշակի ջերմասահճանում:

Աղյուսակ IХ.4

| Նյուր                   | $T_N(\text{K})$ | Նյուր                   | $T_N(\text{K})$ |
|-------------------------|-----------------|-------------------------|-----------------|
| <b>MnO</b>              | 122             | <b>KCoF<sub>3</sub></b> | 125             |
| <b>FeO</b>              | 198             | <b>MnF<sub>2</sub></b>  | 67,34           |
| <b>CoO</b>              | 291             | <b>FeF<sub>2</sub></b>  | 78,4            |
| <b>NiO</b>              | 600             | <b>CoF<sub>2</sub></b>  | 37,7            |
| <b>KFeF<sub>3</sub></b> | 115             | <b>VS</b>               | 1040            |
| <b>KMnF<sub>3</sub></b> | 88,3            | <b>Cr</b>               | 311             |

Աղյուսակ IХ.5

| Նյուր  | $T_c(\text{K})$ | $M_0 (\text{T.u})$ |
|--|-----------------|--------------------|
| <b>Fe<sub>3</sub>O<sub>4</sub></b>               | 858             | 510                |
| <b>CoFe<sub>2</sub>O<sub>4</sub></b>             | 793             | 475                |
| <b>NiFe<sub>2</sub>O<sub>4</sub></b>             | 858             | 300                |
| <b>CuFe<sub>2</sub>O<sub>4</sub></b>             | 728             | 160                |
| <b>MnFe<sub>2</sub>O<sub>4</sub></b>             | 573             | 560                |
| <b>Y<sub>3</sub>Fe<sub>5</sub>O<sub>12</sub></b> | 560             | 195                |

Ֆեռո- և ֆերմագնիսական նյութերում այդ ջերմասահճանն ընդունված է, անվանել Կյուրիի ջերմասահճան (Կյուրիի կես)՝  $T_c$ , իսկ հակաֆենոպմագնիսական նյութերում՝ Նեելի ջերմասահճան՝  $T_N$ :  $T_c$  կամ  $T_N$  ջերմասահճանից բարձր ջերմասահճաններում մագնիսակարգավորված նյութն անցնում է պարամագնիսական վիճակի: IX.3, IX.4, IX.5 աղյուսակներում բերված են համապատասխանաբար Փեռո-, հակաֆեռո- և ֆերմագնիսական որոշ նյութերի  $T_c$  և  $T_N$  ջերմաստիճանները և առավելագույն խճճարերական մագնիսացվածության արժեքները:

Մագնիսակարգավորված վիճակում ( $T \leq T_c$ ) ինքնարերական մագնիսացվածության ջերմաստիճանային կախումը նկարագրվում է

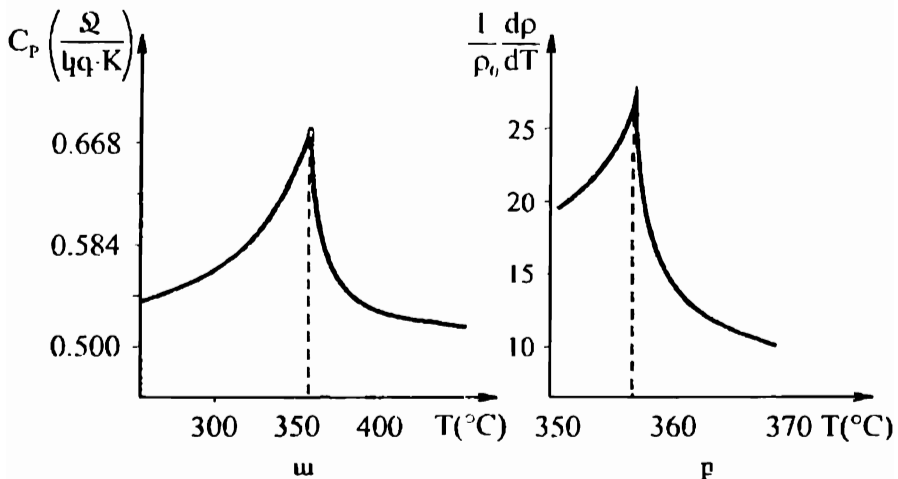
$$M(T) \sim (T_c - T)^\beta \quad (7.2)$$

աստիճանային օրենքով, որաւել տարրեր ֆեռոմագնիսների համար, համաձայն վորդից ստացվող արդյունքների,  $0,33 \leq \beta \leq 0,37$ :  $T_c$  բնութագրական ջերմաստիճանին պարա�ագնիսական տիրույթից մոտենալիս ( $T \geq T_c, T \rightarrow T_c$ ) ֆեռոմագնիսի ընկալունակությունն աճում է

$$\chi(T) \sim (T - T_c)^\gamma \quad (7.3)$$

օրենքով: Փորձի համաձայն, տարրեր նմուշների համար  $1,2 \leq \gamma \leq 1,7$ :

Հակաֆեոտմագնիսական նյութերում  $\chi(T)$ -ն բնդունում է առավելացույն (վերջավոր) արժեքը  $T^* \geq T_c$  կետում, իսկ  $T_c$  անցումային կետում առավելագույնն է  $\chi'(T)$  ածանցյալը:



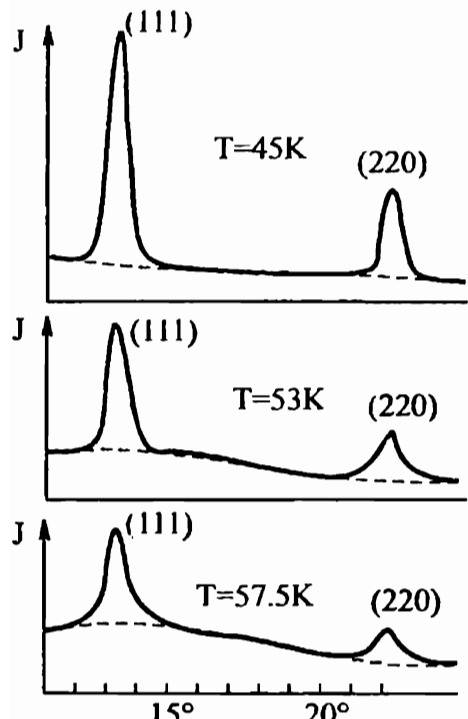
Նկ. IX.13

Հարկ է նշել, որ  $T \approx T_c$  կետում մագնիսակարգավորված նյութերի ոչ միայն մագնիսական, այլ բոլոր ֆիզիկական բնութագրերն ունեն այսպիս կոչված ֆեռոմագնիսական շեղումներ (անոմալիաներ). որոնցով և այս նյութերը տարրերվում են թույլ մագնիսական նյութերից:

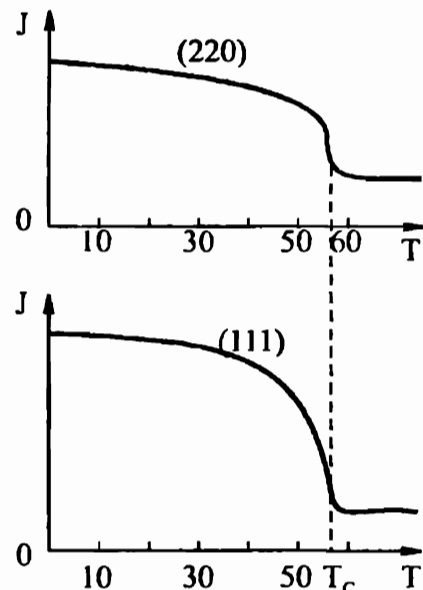
Ֆեռոմագնիսական շեղումների առկայությունը թույլ է տալիս բավականաչափ մեծ ճշառությամբ նյութի ոչ մագնիսական բնութագրերից որոշել անցումային ջերմաստիճանը: Նկ. IX.13-ում պատկերված են նիկելի ջերմումակործյան (ա) և տևակարար դիմադրության ջերմաստիճանային գործակցի (բ) ջերմաստիճանային կախումները, որոնցից երևում են  $T \approx T_c$  կետում ֆեռոմագնիսական շեղումները:

Մագնիսակարգավորված նյութերի կառուցվածքային ուսումնասիրության լավագույն միջոցը մագնիսական նեյտրոնագրությունն է, որն ուսումնասիրում է մագնիսակարգավորված նյութերում դանդաղ նեյտրոնների ցրման օրինաչափությունները: Քանի որ նեյտրոնն ունի մագնիսական մո-

մենա ( $\mu_n = -1.91 \mu_B$ ), ասլա, բացի բրեզյան մաքսիմումներից, որտնք պայմանավորված են աստղային միջուկների վրա նեյտրոնների ցրումով և առկա են նաև մագնիսական կարգավորվածությունից գուրկ բյուրեղներում, առաջանում են լրացուցիչ մաքսիմումներ, որում պայմանավորված են նեյտրոնների մագնիսական մոմենտների և էլեկտրոնային սպինների փոխազդեցությամբ: Ընդունին, այդ լրացուցիչ (մագնիսական) մաքսիմումները հեշտությամբ առարկերվում են սովորական մաքսիմումներից, քանի որ ջերմաստիճանի աճին գուգրներաց նրանց ինտենսիվությունը նվազում է և  $T \geq T_c$  տիրույթում՝ դառնում գրության մագնիսական մաքսիմումները փոփոխվում են նաև արտաքին մագնիսական դաշտի ազդեցության տակ:



Նկ. IX.14



Նկ. IX.15

Նկ. IX.14-ում պատկերված է նեյտրոնների գրման բրեզյան (111) և (220) մաքսիմումների  $J$  ինտենսիվության փոփոխությունը՝ կախված չերմասախճանից հակաֆլուունագնիական նյութում (նանգանի վանադիյան  $MnV_2O_4$ ,  $T_N = 56K$ ), իսկ նկ. IX.15-ում՝ այդ գծերի ինտենսիվությունների չերմասախճանային կախման կորերը: Ինչպես երևում է գծագրերից, եթե  $T > T_N$ , մաքսիմումների ինտենսիվությունը զործնականորեն կախված չէ չերմասախճանից:

## §8. Ֆեռոմագնիսականություն

Ֆեռոմագնիսական վիճակի հիմնական տառանձնահատկությունը առանց արաւաքին դաշտի վերջավոր ինքնարկական մագնիսական մոժենատի (հազեցման մագնիսացվածության) գոյությունն է.  $0 \leq T \leq T_c$  չերմասախճանային տիրուցում:

Ինքնարկական մագնիսացվածության գոյարյունը ֆեռոմագնիսներում երևութարանորեն բացասարկվել է Պ.Վեյսի կողմից 1907թ.: Համաձայն Վեյսի վարկածի, ֆեռոմագնիսական վիճակում գանվող բյուրեղում մագնիսական մոմենտների միջև զործում է արդյունարար փոխազդեցուրյան, որը սահմանում է բոլոր մոմենտներին ուղղվել իրար գուշակելու և միևնույն ուղղությամբ: Այդ փոխազդեցուրյանը համապատասխանության մեջ է դրվում ներքին արդյունարար մագնիսական դաշտը  $H_E$  (բնդունված են նաև «Վեյսի դաշտ», «մոլեկուլային միջին դաշտ» և «վիլյանակային դաշտ» անվանումները): Ներքին  $H_E$  դաշտը կողմնորոշիչ ազդեցուրյուն է ունենում մագնիսական մոմենտների չերմանային շարժման վրա, բերելով գումարային մագնիսական մոմենտի առաջացման:

Ըստ միջին դաշտի մոսավորության, արդյունարար ներքին դաշտը համեմատական է նմուշի մագնիսացվածությանը՝

$$H_E = \lambda M . \quad (8.1)$$

որտեղ  $\lambda$  մեծությունը կոչվում է մոլեկուլային դաշտի կամ Վեյսի հաստատում և կախված չէ չերմասախճանից: (8.1) բանաձևում  $M$  մագնիսացվածությունը համապատասխանում է  $H_E$  դաշտում և  $T$  չերմասախճանում չերմային հավասարակշռության վիճակին:

Ներքին մագնիսական դաշտի լարվածությունը կարելի է գնահատել, իրար հավասարեցնելով  $H_E$  դաշտում մագնիսական մոմենտի առավելագույն և ներզիան և  $T_c$  ջերմաստիճանում մեկ մագնիսական մոմենտին բաժին ընկնող ջերմային էներզիան:

$$g_J \mu_B J H_E (T = 0\text{K}) \sim k_B T_c : \quad (8.2)$$

Եթե կարի համար ( $J \approx S = 1$ ,  $g_J \approx 2$ ,  $T_c \approx 10^3 \text{ K}$ ) կատարված գնահատման համաձայն  $H_E \approx 7 \cdot 10^6 \text{ Гц}$ : Համեմատության համար նշենք, որ ցանցի հաստատությունի կարգի ( $a \sim 2 \div 3 \text{ Å}$ ) հետապորտության վրա մագնիսական մոմենտի ստեղծած դիսլոյային դաշտի խրվածությունը՝

$$H_d \sim \frac{\mu_B}{a^3} \sim 10^3 \text{ Гц}$$

Կարզի մեծությունը և առնվազն 1000 անգամ փոքր  $H_E$  դաշտի լարվածությունից:

Կատարված գնահատումներից ակնհայտորեն բխում է, որ  $H_E$  ներքին դաշտը չի կարող լինել մագնիսական դիսլոյային վոլտագդեցության արդյունք: Եթե այն իր ծագումով պայմանավորված լիներ մագնիսական դիսլոյային վոլտագդեցությամբ, ապա ֆեռոմագնիսական կարգավորվածությունը, համաձայն (8.2) առնչության և արված գնահատականի, կանհետանար

$$T_c^* \sim \frac{\mu_B H_d}{k_B} \approx \frac{\mu_B H_E}{k_B} \cdot \frac{H_d}{H_E} = T_c \frac{H_d}{H_E} \sim 10^{-3} T_c \sim 1\text{K}$$

Կարզի ջերմաստիճաններում: Այսպիսով, ներքին մագնիսական դաշտի գոյությունը պայմանավորված է ոչ մագնիսական բնույթի վոլտագդեցությամբ:

Այժմ ծանրանանք ֆեռոմագնիսական վիճակի երևորաբանական անսությանը, առանց պարզելու ներքին արդյունարար դաշտի ծագման պատճառը, որը հնարավոր է բացասարել միայն քվանտային տեսության շրջանակներում:

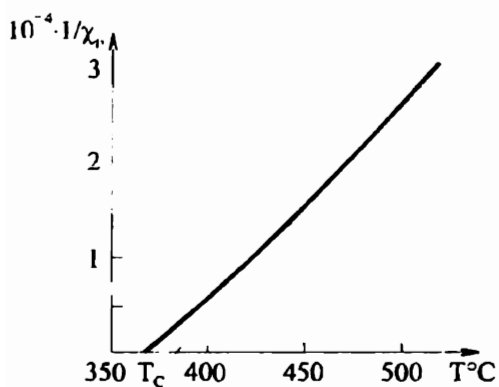
Եթե ֆեռոմագնիսական նյութը գտնվում է պարամագնիսական վույտում  $T > T_c$ , ապա, համաձայն Կյուրիի օրենքի (աևս (5.10) բանաձևը)

$$M = \chi_p \cdot H_0 = \frac{C}{T} (H + H_E) = \frac{C}{T} (H + \lambda M), \quad (8.3)$$

որտեղ  $C$ -ն Կյուրիի հաստատունն է, իսկ  $H$ -ը՝ արագին մազնիսական դաշտի լարվածությունը: Նկատի ունենալով մազնիսական բնկալունակության սահմանումը, (8.3) հավասարումից կստանանք՝

$$\chi = \frac{M}{H} = \frac{C}{T - C\lambda} : \quad (8.4)$$

Եթե առնչության համաձայն,  $H = 0$  դեպքում գրոյից տարրեր մազնիսացվածություն ( $M \neq 0$ ) ի հայտ է գալիս Կյուրիի կետում՝



Նկ. IX.16

$$T_c = C\lambda \quad (8.5)$$

Չերմաստիճանում: Այսպիսով, պարամետրներում փուրուն ֆեռոմագնիսական նյութի մազնիսական բնկալունակությունը նկարագրված է.

$$\chi = \frac{C}{T - T_c} \quad (8.6)$$

առնչությամբ, որը հայտնի է որպես Կյուրի-Վենյի օրենք: Այս օրենքը մնջագույն ճշտությամբ անդի տևի  $T > T_c$  չերմաստի-

ճաններում, սակայն եթե  $T \rightarrow T_c$ ,  $\chi(T)$ -ն սրբում է (7.3) օրենքով:

Նկ. IX.16-ում պատկերված է միավոր գանգվածի բնկալունակության հակադարձ մեծության չերմաստիճանային կախման կորը նիկելի համար, իսկ կետագծերով պատկերված է բարձրությամբ ափուրության ափուրության կատարիած արտամուտարկումը:

Օգավելով (8.5) առնչությունից և Կյուրիի հաստատունի (5.28) արագահայտությունից, մոդելուային դաշտի հաստատունի համար կստանանք՝

$$\lambda = \frac{T_c}{C} = \frac{3k_B T_c}{ng_J^2 \mu_B^2 J(J+1)} = \frac{3k_B T_c \bar{\mu}}{\rho N_A g_J^2 \mu_B^2 J(J+1)} : \quad (8.7)$$

Երկարի համար ( $T_c \approx 10^3 \text{ K}$ ,  $\bar{\mu} \approx 56 \text{ G/мт}$ ,  $\rho \approx 7.8 \text{ Г/м}^3$ ,  $g_J \approx 2$ ,  $J \approx S = 1$ ) կստարված գնահատման համաձայն,  $\lambda \approx 5000$ : Ուսակ, օգտվելով Այլուսակ IX.3-ում բերված երկարի հագեցման մազնիսացվածության

$M_0 \approx 1750$  գ.ս արժեքից, (8.1) առնչությունից կատանանք՝  $H_E \approx \lambda \cdot M \sim \sim 9 \cdot 10^6$  գ.ս, ինչը բնականաբար, համբնենում է (8.2) առնչությունից սահմանաված զնահասականի հետ:

Այժմ որոշենք ֆեռոմագնիալ սագնիսացվածության կախումը չերմաստիճանից և արտաքին մագնիսական դաշալի լարվածությունից:

Օգտվենք պարամագնիական նյութի մագնիսական մոմենտի (5.18) արտահայտությունից, նրանում  $H$ -ի փոխարևն աւեղադրելով լրիվ դաշալի  $H + H_E = H + \lambda M$  արտահայտությունը: Արդյունքում ստուգվում է սրանցենդենտ հավասարում մագնիսացվածությունը որոշելու համար՝

$$M = M_{S0} B_J \left[ \frac{g_J \mu_B J (H + \lambda M)}{k_B T} \right], \quad (8.8)$$

որտեղ  $M_{S0} = n g_J \mu_B J$  հագեցման մագնիսացվածությունը համապատասխանում է բոլոր մագնիսական մոմենտների՝ գուգակներու և միենույն կողմն ուղղվածությանը,  $B_J(x)$ -ը՝ բնիստենի ֆունկցիան է (տես (5.19) բանաձևը):

Անցնենք նոր փոփոխականի, նշանակելով

$$\alpha = \frac{g_J \mu_B J}{k_B T} (H + \lambda M) = \frac{\mu}{k_B T} (H + \lambda M), \quad (8.9)$$

որտեղ  $\mu = g_J \mu_B J$ -ն մեկ մասնիկի մագնիսական մոմենտն է: (8.8) հավասարումն ընդունում է

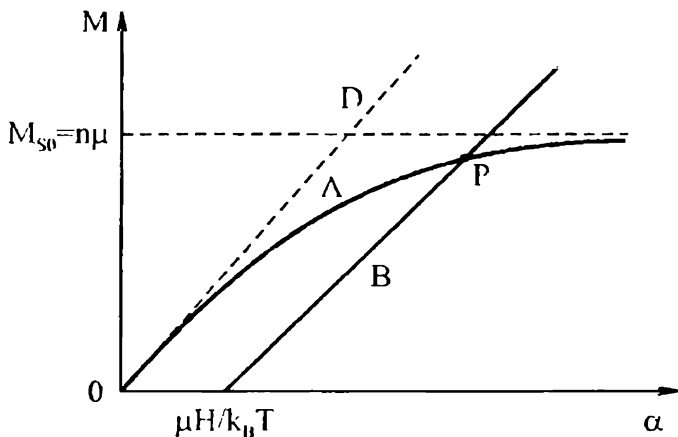
$$M = n \mu B_J(\alpha) \quad (8.10)$$

անսրբ: (8.9) կապից նույնպես  $M$ -ն արտահայտենք  $\alpha$ -ով՝

$$M = \frac{k_B T}{\lambda \mu} \alpha - \frac{H}{\lambda} : \quad (8.11)$$

Այսպիսով, (8.8) հավասարման լուծումը հավասարագոր է (8.10) և (8.11) հավասարումների համատեղ լուծմանը, եթե որպես անկախ փոփոխական է ծառայում  $\alpha$ -ն:

Պատկերենք (8.10) և (8.11) հավասարումները ( $M, \alpha$ ) հարթության վրա (նկ. IX.17, A կողը տրվում է (8.10), իսկ B ուղղիղը (8.11) հավասարումով): A և B կորերի հատման P կետի կոորդինատները (8.10) և (8.11) հավասարումների համակարգի լուծումներն են:



Նկ. IX.17

1. Ընթարկեանք նախ  $H = 0$  դեպքի և որոշենք ինքնարերական մագնիսացվածության չերմասափառային կախումը: Այս դեպքում  $B$  ուղղության անցնում  $\mathbf{L}$  Օ կետով:

*a) Ցածր ջերմասափառներ՝  $\alpha \gg 1$ :*

Եթե  $T \rightarrow 0\text{K}$ ,  $A$  և  $B$  կորինի հատման  $P$  կեար անդաշարժվում և դեպի  $\alpha$ -ի մեծ արժեքների տիրույք, իսկ մագնիսացվածությունը ծգաւում է իր սահմանային  $M_{s0}$  արժեքին: Օգտվելով Բրիլյունի ֆունկցիայի՝ արգումենտի մեծ արժեքների համար (5.21) վերլուծությունից և նրանում անդադրելով  $\lambda$  հասակառունի (8.7) արտահայտությունը, կատարեանք ինքնարերական մագնիսացվածության չերմասափառային կախումը՝

$$M \approx M_{s0} \left[ 1 - \frac{1}{J} \exp \left( -\frac{3}{J+1} \cdot \frac{T_c}{T} \right) \right]: \quad (8.12)$$

Սուացված արտահայտությունը ճիշտ չի նկարագրում մագնիսացվածության զերմասափառային վարքը  $T \rightarrow 0\text{K}$  ափրույթում (տես §12):

*b) Բարձր ջերմասափառներ՝  $\alpha \ll 1$ :*

Զերմասափառնի բարձրացմանը զուգընթաց  $B$  կորի թերությունն աճում է, և հատման  $P$  կեար անդաշարժվում է դեպի փոքր արգումենտների տիրույք: Եթե  $B$  ուղիղը համրնկնում  $\mathbf{L}$   $A$  կորին կորդինատների սկզբնակետում տարված շոշափողի հետ (OD),  $P$  կետը համրնկնում է  $O$  կետի հետ,

ինչը համապատասխանում է  $M = 0$  վիճակին:  $\alpha = 0$  կետում A և B կորերի ածանցյալների հավասարության պայմանից (5.25) վերլուծության միջոցով կստանանք՝

$$\left( \frac{dM}{d\alpha} \right)_{\alpha=0} = \frac{k_B T_0}{\lambda \mu} = n \mu B'_J(\alpha) \Big|_{\alpha=0} = \frac{J+1}{3J} n \mu : \quad (8.13)$$

Այս առնչությունը որոշում է այն  $T_0$  ջերմաստիճանը, որի դեպքում  $M = 0$ :

$$T_0 = \frac{\lambda \mu^2 n (J+1)}{3J k_B} = \frac{\lambda J^2 \mu_B^2 g_J^2 n (J+1)}{3J k_B} = \\ = \lambda \cdot \frac{\mu_B^2 g_J^2 n J (J+1)}{3k_B} \equiv \lambda \cdot C = T_c, \quad (8.14)$$

որտեղ  $C$ -ն կյուրիկի հաստատունն է:  $T > T_c$  տիրույթում A և B կորերի հատման միակ կետը  $\alpha = 0$  կեան է, որին համապատասխանում է  $M = 0$  վիճակը:

Պարզենք ինքնարերական մագնիսացվածության ջերմաստիճանային կախման տեսքը  $T \sim T_c$  տիրույթում: Օգտվելով (5.25) վերլուծությունից, նրանում պահենով նաև  $\alpha^3$ -ին համեմատական անդամը, (8.10) հավասարումը կարելի է ներկայացնել

$$M \approx n \mu (A\alpha - B\alpha^3) = n \mu \left[ A \cdot \frac{\mu \lambda}{k_B T} M - B \cdot \left( \frac{\mu \lambda}{k_B T} \right)^3 M^3 \right] \quad (8.15)$$

տեսքով, որտեղ

$$A = \frac{J+1}{3J}, \quad B = \frac{(J+1)(2J^2 + 2J + 1)}{90J^3} : \quad (8.16)$$

(8.13), (8.14) և (8.16) առնչությունների նամաձայն՝

$$\frac{A n \mu^2 \lambda}{k_B} = T_c, \quad (8.17)$$

$$B \cdot \left( \frac{\mu \lambda}{k_B T} \right)^3 n \mu = B \cdot \left( \frac{T_c}{T} \right)^3 \frac{n \mu}{A^3 (n \mu)^3} = \frac{3(2J^2 + 2J + 1)}{10(J+1)^2} \cdot \left( \frac{T_c}{T} \right)^3 \frac{1}{M_{so}^2} =$$

$$\equiv \alpha \left( \frac{T_c}{T} \right)^3 \frac{1}{M_{S0}^2}, \quad \alpha = \frac{3(2J^2 + 2J + 1)}{10(J+1)^2}, \quad (8.18)$$

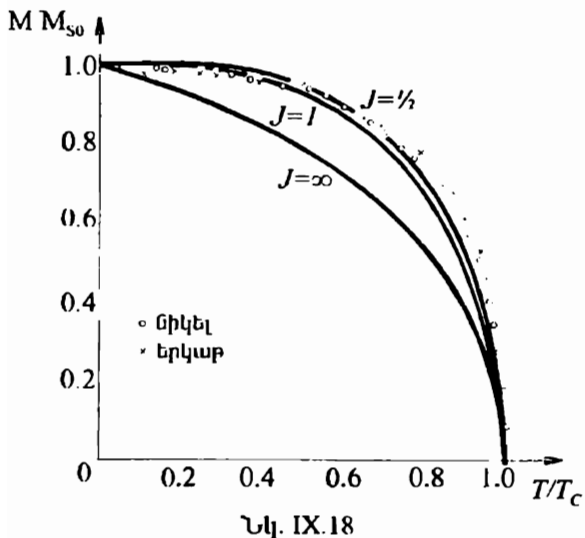
ուստի (8.15) արտահայտությունը կրնդունի ինտեղայլ վերջնական սեպք՝

$$\frac{M}{M_{S0}} \left[ \left( 1 - \frac{T_c}{T} \right) + \alpha \left( \frac{T_c}{T} \right)^3 \left( \frac{M}{M_{S0}} \right)^2 \right] = 0 : \quad (8.19)$$

Պարամագնիսական աիրույրում  $T > T_c$ , և  $(1 - T_c/T) > 0$ , ուստի (8.19) հավասարումն ունի միայն զրոյական լուծում  $M = 0$ , ինչը համապատասխանում է ինքնարերական մագնիսացվածության բացակայությանը:

Եթե  $T < T_c$ , ասլա (8.19) հավասարումից կստունանք՝

$$M = M_{S0} \alpha^{-1/2} \left( \frac{T_c}{T} \right)^{3/2} \left( \frac{T_c}{T} - 1 \right)^{1/2} \sim (T_c - T)^{1/2} : \quad (8.20)$$



Նկ. IX.18

Այս կախումը վորձում դիաված (7.2) օրենքից տարբերվում է  $\beta$  ցուցչի արժեքով: Այս վաստը, ինչպես նաև մագնիսացվածության (8.12) բանաձևից ստացվող արդյունքի և վորձի չհամընկնելը, եթե  $T \rightarrow 0K$ , ցույց է տալիս միջին դաշտի մոտավորության սահմանափակությունը:

Եթե բոլոր ջերմաստիճաններում ( $0 \leq T \leq T_c$ ) բարձրացնական կետի կորդի-

նատները տեղադրվեն  $M/M_{S0}$  և  $T/T_c$  առանցքների վրա, ապա կատացվի ինքնարերական մագնիսացվածության ջերմաստիճանային կախման կորը ցանկացած  $J$ -ի դեպքում: Նկ. IX.18-ում պատկերված են  $M(T)$  կորերը  $J = \infty$ ,  $J = 1$  և  $J = 1/2$  արժեքների համար և վորձում նրկարի (x) և նիկելի

(օ) համար սստացված արժեքները: Տեսական կորերը բավականաշափ լավ են մոտարկում փորձնական տվյալները. նիկելի համար ստացված կետերը մոտ են  $J = 1/2$  կորին, իսկ երկարի համար ստացվածները  $J = 1$  կորին:

2. Այժմ ուսումնասիրենք արտաքին մագնիսական դաշտի ազդեցությունը ֆեռումագնիսական նյութի մագնիսացվածության վրա: Նկատի ունենալով ընդհանուր դեպքում մագնիսացվածության ոչ գծային կախվածությունը մագնիսական դաշտի լարվածությունից, գրենք դիֆերենցիալ ընկալունակության

$$\chi_d = \frac{dM}{dH} = n\mu \frac{dB_J}{d\alpha} \cdot \frac{d\alpha}{dH} \quad (8.21)$$

արտահայտությունը: Մյուս կողմից, համաձայն (8.9) հավասարման,

$$\frac{d\alpha}{dH} = \frac{\mu}{k_B T} + \frac{\mu\lambda}{k_B T} \frac{dM}{dH} = \frac{\mu}{k_B T} + \frac{\mu\lambda}{k_B T} \chi_d : \quad (8.22)$$

(8.21) և (8.22) արտահայտություններից կստանանք՝

$$\chi_d = \frac{n\mu^2 B'_J(\alpha)}{k_B \left[ T - \frac{n\lambda\mu^2}{k_B} B'_J(\alpha) \right]} : \quad (8.23)$$

ա) Ցածր չերմասահճաններ՝  $T \ll T_c (\alpha \gg 1)$ :

Օգտվենք  $B_J(\alpha)$ -ի՝ մեծ արգումենտների համար (5.21) վերլուծությունից և հաշվենք նրա ածանցյալը՝

$$B'_J(\alpha) \approx \frac{1}{J^2} \exp\left(-\frac{\alpha}{J}\right) : \quad (8.24)$$

Քանի որ (8.23) արտահայտության հայտարարը համեմատական է  $T$ -ին, եթե  $T \rightarrow 0$ , ապա դիֆերենցիալ ընկալունակությունը՝

$$\chi_d \sim T^{-1} B'_J(\alpha) \sim T^{-1} \exp\left(-\frac{\mu H}{J k_B T} - \frac{\lambda M}{J k_B T}\right) \rightarrow 0 : \quad (8.25)$$

Ընկալունակության նման վարքը պայմանավորված է այն հանգամանքով, որ արտաքին մագնիսական դաշտը շատ փոքր է ներքին արդյունարար դաշտի համեմատությամբ, և զգալի  $\chi_d$  սաանալու համար անհրաժեշտ է ունենալ ուժեղ մագնիսական դաշտեր: Այս իմաստով  $T \ll T_c$  սիրույթում

$\chi$ -ն անվանում են ընկալունակություն ուժեղ դաշտերում:

բ)  $E$  արձր գերմասահճամեր  $T >> T_c$ , ինչպես նաև  $T \sim T_c$  ( $\alpha \ll 1$ ):

Նկատի ունենալով, որ  $H \ll H_E$  և  $\alpha \ll 1$ , (8.8) հավասարման աջ մասը վերածվել շարքի բառ  $\alpha$ -ի, պահելով նաև  $\alpha^3$ -ի կարգի անդամները, ընդունում ըստ  $\alpha$ -ի զգային անդամում կպահենք նաև  $H$ -ին համեմատական անդամը: Արդյունքում կստանանք՝

$$\frac{M}{M_{s0}} \left( 1 - \frac{T_c}{T} \right) + \alpha \left( \frac{T_c}{T} \right)^3 \left( \frac{M}{M_{s0}} \right)^3 = \frac{T_c}{T} \cdot \frac{H}{\lambda M_{s0}}, \quad (8.26)$$

$$\chi_d = \left[ \frac{3H}{M} + 2\lambda \left( 1 - \frac{T}{T_c} \right) \right]^{-1}, \quad (8.27)$$

որտեղ  $M$ -ը (8.26) հավասարման լուծումն է: (8.26) հավասարումը (8.19) հավասարումից տարրերվում է միայն աջ մասում առկա անդամով:

Ուսումնասիրենք (8.26) և (8.27) հավասարումները տարրեր դնալով կրում:

1) Եթե  $T >> T_c$ , ապա (8.26) հավասարման ծախս մասի երկրորդ գումարելին անահենով առաջինի նկատմամբ, կստանանք՝

$$M \approx \frac{T_c}{(T - T_c)\lambda} H = \frac{C}{T - T_c} H,$$

Այս արտօնահայտությունը սևդադրելով (8.27) բանաձևի մեջ, կստանանք՝

$$\chi_d = \chi = \frac{C}{T - T_c}, \quad (8.28)$$

որն իրենից ներկայացնում է Կյուրի-Վեյսի օրենքը:

2) Եթե  $T \geq T_c$  կամ  $T \leq T_c$ , ապա (8.26) հավասարման ծախս մասում անհրաժեշտ է պահել երկու գումարելիներն և, իսկ ընկալունակությունը հաշվարկել (8.27) բանաձևով:

3) Եթե  $T = T_c$ , ապա մազնիսացվածության կախումը մազնիսական դաշտի լարվածությունից տրվում է

$$M = M_{s0} \left( \frac{H}{\lambda a M_{s0}} \right)^{1/3} \sim H^{1/3} \quad (8.29)$$

օրենքով, որը հաստատվում է ֆեռոմագնիսական մնացողության և համաձուլվածքների համար լիործում ստացված ավշայներով:

Ընկալունակության համար (8.27) բանաձեխ ստացված

$$\chi_d = \frac{1}{3} \frac{M}{H} \sim H^{-2.3} \quad (8.30)$$

առնչությունն անմիջապես հետևում է նաև (8.29) բանաձեխ և դիֆերենցիալ ընկալունակության (1.8) սահմանումից:

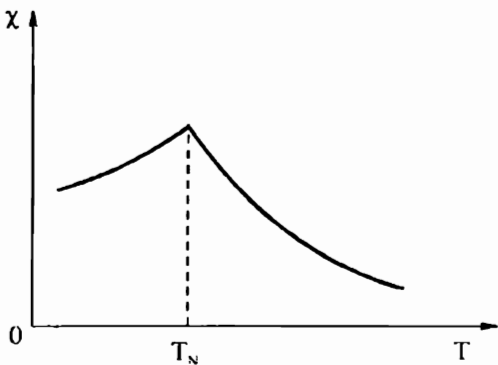
## §9. Հակաֆեռոմագնիսականություն

Մնացնիսական մոմենտների հակաֆեռոմագնիսական դասավորվածության դեպքում արթիքը մազնիսական ներացանցերի պատկանող հարեան սպիտակն ուղղված են իրար եակառակ, ուստի միմյանց չեզոյացնում են: Այս չեզոքացման հետևանքով ինքնարերական մազնիսացվածությունը գործնականում հավասար է զրոյի, ուստի հակաֆեռոմագնիսական նյութը դասակարգվում է որպես բույ մազնիսական, իսկ նրա մազնիսական ընկալունակությունը  $10^{-5} \div 10^{-2}$  կարգի մեծություն է, ինչպես և պարամագնիսական նյութերին:

Սակայն, ի տարբերություն պարամագնիսների, հակաֆեռոմագնիսում մազնիսական մոմենտների հակագուգական դասավորվածությունը պայմանավորված է հենց ուժեղ փոխազդեցությամբ, որը խոշոնդոտում է մազնիսական մոմենտների կողմնորոշմանն արտաքին մազնիսական դաշտի ուղղությամբ, և որի հետևանքով հակաֆեռոմագնիսի մազնիսական ընկալունակությունը կարող է լինել նաև ավելի փոքր, քան պարամագնիսինը: Զերմաստիճանի բարձրացման հետ մազնիսական մոմենտների կարգավորվածությունն աստիճանաբար խախտվում է, որի հետևանքով, հակառակ պարամագնիսների, մազնիսական ընկալունակությունը մեծանում է: Ոլորշակի  $T_N$  չերմաստիճանում (Նևելի ջերմաստիճան) մազնիսական ներացանցերի մազնիսական մոմենտների գումարը դամում է զրո, ստեղծվում է լրիվ անկանոն, քառային վիճակ, որից հետո չերմաստիճանի հետագա աճի հետ մազնիսական ընկալունակությունը, ինչպես և պարամագնիսների մոտ, նվազում է: Հակաֆեռոմագնիսի մազնիսական ընկալունակության չերմաս-

ային պատճենագույն կախման կորը պատկերված է նկ. IX.19-ում:

Ծանոթանանք այժմ հակաֆուզոմագնիսացվածության երևորաբանական տևողաբանը այս հակաֆուզոմագնիսացվածության երևորաբանական տևողաբանը (Լ.Նելլ, 1932թ.): Պարզության համար դիագրամներից բաղկացած կառուցվածքը, երբ յուրաքանչյուր մագնիսական մոմենտի ամենամուշ հարեաները պատճենում են մյուս մագնիսական ներացանցին: Միջին մոդելուային դաշտի անսուբյան շրջանակներում «1» ներացանցի որևէ հանգույցում արդյունարար ներքին մագնիսական դաշտի լարվածությունը կարելի է ներկայացնել:



Նկ. IX.19

գույցում արդյունարար ներքին մագնիսական դաշտի լարվածությունը կարելի է ներկայացնել

$$H_1 = \lambda_{11}M_1 + \lambda_{12}M_2 \quad (9.1)$$

տեսքով, որտեղ  $M_1$  ( $M_2$ )-ը առաջին (երկրորդ) մագնիսական ներացանցի մագնիսական մոմենտն է,  $\lambda_{11}$ -ը՝ մոդելուային դաշտի հաստատությունը, սլայմանավորված «1» ներացանցի մագնիսական մոմենտների (սպինների) փոխազդեցությամբ,  $\lambda_{12}$ -ը՝ «1» և «2» ներացանցերի սպինների փոխազդեցությամբ: Նոյնի ձևով «2» ներացանցի որևէ հանգույցում արդյունարար ներքին մագնիսական դաշտի լարվածության համար կարող ենք գրել՝

$$H_2 = \lambda_{21}M_1 + \lambda_{22}M_2 : \quad (9.2)$$

Քանի որ «1» և «2» ներացանցերը համարմեք են, ապա

$$\lambda_{11} = \lambda_{22} \equiv \lambda, \quad \lambda_{12} = \lambda_{21} \equiv \nu, \quad (9.3)$$

ընդ որում  $\lambda > 0$ , իսկ  $\nu < 0$ , ինչպես նաև

$$M_2 = -M_1, \quad (9.4)$$

այսինքն՝ ներացանցերի մոմենտները հավասար են և ուղղված հակառակ: (9.1)-(9.4) առնչություններից կստանանք՝

$$H_1 = (\lambda - \nu) M_1, \quad (9.5)$$

$$H_2 = (\lambda - \nu) M_2 : \quad (9.6)$$

Սյուս կողմից, «1» և «2» ննբացանցերի մագնիսացվածությունների հավասարակշռական արժմեքները կարենի է ներկայացնել (5.18) արտահայտության միջոցով, նրանում արաւաքին մագնիսական դաշտի լարվածության վոխարեն տեղադրելով արդյունարար մագնիսական դաշտի արտահայտությունը համապատասխան ենթացնի համար՝

$$M_1 = \frac{n\mu}{2} B_J \left( \frac{\mu H_1}{k_B T} \right) = \frac{n\mu}{2} B_J \left[ \frac{\mu(\lambda - \nu) M_1}{k_B T} \right], \quad (9.7)$$

$$M_2 = \frac{n\mu}{2} B_J \left( \frac{\mu H_2}{k_B T} \right) = \frac{n\mu}{2} B_J \left[ \frac{\mu(\lambda - \nu) M_2}{k_B T} \right], \quad (9.8)$$

որտեղ  $n$ -ը ատոմների կոնցենտրացիան է ( $n/2$  յուրաքանչյուր ննբացանցի համար):

Չերմաստիճանի աճի հետ  $M_1$  և  $M_2$  մագնիսացվածությունները նվազում են և  $T = T_N$  ջերմաստիճանում դառնում զրո: Եթե  $T \sim T_N$  և  $M_{1,2} \rightarrow 0$ , կարող ենք օգտվել  $B_J(x)$  ֆունկցիայի (5.25) վերլուծությունից և զրել՝

$$M_1 = \frac{n\mu}{2} \left[ \frac{J+1}{3J} \cdot \frac{\mu(\lambda - \nu)}{k_B T} M_1 + O(M_1^3) \right], \quad (9.9)$$

կամ

$$M_1 \left[ \frac{n\mu^2 (J+1)(\lambda - \nu)}{6Jk_B T} - 1 + O(M_1^2) \right] = 0 : \quad (9.10)$$

Եթե  $M_1 \neq 0$ , ապա պետք է զրոյի հավասար լինի փակագծի մեջ զրված արտահայտությունը, այսինքն՝

$$\frac{n\mu^2 (J+1)(\lambda - \nu)}{6Jk_B T} = 1 - O(M_1^2), \quad (9.11)$$

և եթե  $M_1 \rightarrow 0$ , (9.11) բանաձևից կորոշվի Նեելի ջերմաստիճանը՝

$$T_N = \frac{n\mu^2 (J+1)(\lambda - \nu)}{6Jk_B} = \frac{n\mu_B^2 g_J^2 J(J+1)}{3k_B} \cdot \frac{\lambda - \nu}{2} = \frac{C(\lambda - \nu)}{2}, \quad (9.12)$$

որաեղ  $C$ -ն Կյուրիի հաստատություն է:

Այժմ ուսումնասիրենք արտաքին մագնիսական դաշտի ազդեցությունը հակաֆիեռոմագնիսի մասնիսական հասկությունների վրա: Հարկ է նշել, որ արտաքին դաշտի տուկայությամբ մագնիսական ենթացանցերի մագնիսացվածությունների մեծարյունների հավասարության (9.4) պայմանը լսախտվում է:

ա) Եթե հակաֆիեռումագնիսական նմուշը գտնվում է  $H$  լարվածությամբ դաշտում, որն ուղղված է «1» ենթացանցի մագնիսացվածության ուղղությամբ, ապա «1» և «2» ենթացանցերի մագնիսացվածությունները որոշվում են

$$M_1 = \frac{n\mu}{2} B_J \left[ \frac{\mu(H + \lambda M_1 + \nu M_2)}{k_B T} \right], \quad (9.13)$$

$$M_2 = \frac{n\mu}{2} B_J \left[ \frac{\mu(H + \lambda M_2 + \nu M_1)}{k_B T} \right], \quad (9.14)$$

տրամադրելու հավասարությունը համակարգից:

Որոշենք հակաֆիեռոմագնիսի «երկայնական» ( $H \uparrow \uparrow M_1$ ) մագնիսական ընկալունակությունը՝

$$\chi_{\parallel} = \frac{\partial(M_1 + M_2)}{\partial H} : \quad (9.15)$$

Ածանցելով (9.13) և (9.14) հավասարություններն ըստ  $H$ -ի՝

$$\frac{\partial M_1}{\partial H} = \frac{n\mu}{2} \cdot B'_J \cdot \frac{\mu}{k_B T} \left( 1 + \lambda \frac{\partial M_1}{\partial H} + \nu \frac{\partial M_2}{\partial H} \right),$$

$$\frac{\partial M_2}{\partial H} = \frac{n\mu}{2} \cdot B'_J \cdot \frac{\mu}{k_B T} \left( 1 + \lambda \frac{\partial M_2}{\partial H} + \nu \frac{\partial M_1}{\partial H} \right)$$

և գումարելով իրար ստացված արտահայտությունները, կստանանք՝

$$\chi_{\parallel} = \frac{n\mu^2}{k_B T} \cdot \frac{B'_J}{\left[ 1 - \frac{n\mu^2}{2k_B T} B'_J (\lambda + \nu) \right]}, \quad (9.16)$$

որտեղ  $B'_J$ -ն Բրիլյուենի ֆունկցիայի ածանցյալն է ըստ իր արգումենտի:

Եթե  $T > T_N$ ,  $T \sim T_N$ , ապա  $B_J(x)$  ֆունկցիայի արգումենտը՝  $x = \mu(H + \lambda M_1 + \nu M_2)/k_B T_N \ll 1$ , ուստի, նկատի ունենալով (5.25) վերլուծությունը, կստանանք՝

$$\frac{n\mu^2}{k_B} \cdot B'_J = \frac{n\mu^2}{k_B} \cdot \frac{J+1}{3J} = \frac{ng_J^2 \mu_B^2 J(J+1)}{3k_B} \equiv C$$

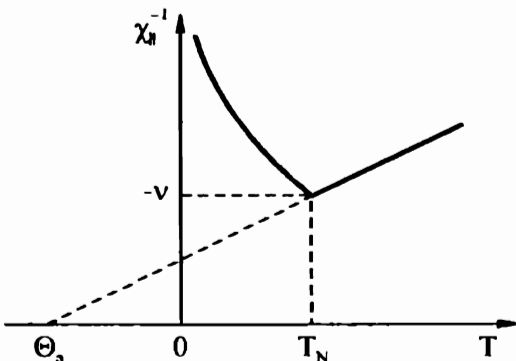
Կատարելով

$$\theta_a = \frac{1}{2}C(\lambda + \nu) \quad (9.17)$$

նշանակումը, որն ընդունված է անվանել հակաֆեռումագնիսական նյութի Կյուրիի պարամագնիսական (կամ ասիմպտոտական) ջերմաստիճան,  $\chi_I^{-1}$ -ի համար (9.16) առնչությունից կստանանք

$$\chi_I^{-1} = \frac{C}{T - \theta_a} \quad (9.18)$$

բանաձեր, որը Կյուրի-Վեյսի օրենքի նմանակն է հակաֆեռումագնիսի համար  $T > T_N$  տիրույթում:  $(1/\chi_I, T)$  հարթության վրա  $\chi_I^{-1}$  ֆունկցիայի զրաֆիկը եատում է  $T$  առանցքը  $\theta_a$  կետում (նկ.



Նկ. IX.20

IX.20): Հարկ է նշել, որ եթե ֆեռումագնիսական նյութի համար առաջին մոտավորությամբ Կյուրիի պարամագնիսական ( $\theta_a$ ) և ֆեռումագնիսական ( $T_c$ ) ջերմաստիճաններն իրար հավասար են, ապա հակաֆեռումագնիսական նյութերում դրանք էապես տարբերվում են իրարից ( $\theta_a$  և  $T_N$ ): Իրոր, քանի որ  $M_1$  և  $M_2$  մագնիսացվածություններն իրար հակառակ են ուղղված, ապա  $\nu < 0$ , և, ըստ (9.12) առնչության,  $T_N > 0$ , իսկ  $\theta_a$ -ն, ըստ (9.17) նշանակման, տարբերվում է  $T_N$ -ից և կարող է լինել նաև բացասա-

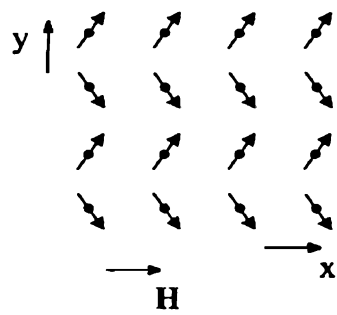
կամ՝  $\theta_a < 0$ , եթե  $\lambda < |\nu|$ :  $T_N$  և  $\theta_a$  բնութագրական ջերմաստիճանները կապված են

$$T_N = \theta_a \frac{\lambda - \nu}{\lambda + \nu} = \theta_a \frac{\lambda + |\nu|}{\lambda - |\nu|} \quad (9.19)$$

առնչությամբ, որը հետևում է (9.12) և (9.17) բանաձևերից:  $T = T_N$  կետում, ըստ (9.18) արտահայտության,

$$\chi_1 = \frac{C}{T_N - \theta_a} = \frac{C}{\frac{C(\lambda - \nu)}{2} - \frac{C(\lambda + \nu)}{2}} = -\frac{1}{\nu} = \frac{1}{|\nu|} : \quad (9.20)$$

Ջերմաստիճանի նվազման հետ յուրաքանչյուր մազնիսական ենթացանցի մազնիսացվածությունն աճում է, իսկ  $B'$  ածանցյալը նվազում է քայլությամբ օրենքով (տես (5.21) բանաձև), և եթե  $T \rightarrow 0$ ,  $\chi_1 \rightarrow 0$  (նկ. IX.20):



Նկ. IX.21

բ) Այժմ որոշենք հակաֆեռումազնիսի մազնիսական ընկալունակությունը ենթացանցերի մազնիսական մոմենտներին ուղղահայաց արտաքին դաշտում՝  $\chi_1$ -ը:

Մազնիսական դաշտի ազդեցության տակ «1» և «2» ենթացանցերի մազնիսացվածությունները թերվում են միևնույն ուղղությամբ, այնպէս որ, անգամ  $T = 0$ K ջերմաստիճանում, ընկալունակությունը զրայից տարբեր է: Եթե արտաքին դաշտն ուղղված է

$x$  առանցքով (նկ. IX.21), ապա «1» ենթացանցի արդյունարար մազնիսական դաշտի բաղադրիչները կլինեն

$$\begin{aligned} H_{1x} &= \lambda M_{1x} + \nu M_{2x}, \\ H_{1y} &= \lambda M_{1y} + \nu M_{2y}. \end{aligned} \quad (9.21)$$

Քանի որ «1» և «2» ենթացանցերը համաչափ են, ապա

$$M_{1x} = M_{2x}, \quad M_{1y} = -M_{2y}, \quad (9.22)$$

հետևաբար՝ (9.21) և (9.22) արտահայտություններից

$$H_{1x} = (\lambda + \nu) M_{1x}, \quad H_{1y} = (\lambda - \nu) M_{1y}: \quad (9.23)$$

Արտաքին դաշտում ուղղված է  $x$  առանցքով, ուստի արդյունարար մագնիսացվածությունն ուղղված կլինի  $H_0(H_{0x}, H_{0y}) \equiv (H + H_{lx}, H_{ly})$  արդյունարար դաշտի ուղղությամբ՝

$$\frac{H_{0x}}{H_{0y}} = \frac{H + H_{lx}}{H_{ly}} = \frac{H + (\lambda + \nu)M_{lx}}{(\lambda - \nu)M_{ly}} = \frac{M_{lx}}{M_{ly}}, \quad (9.24)$$

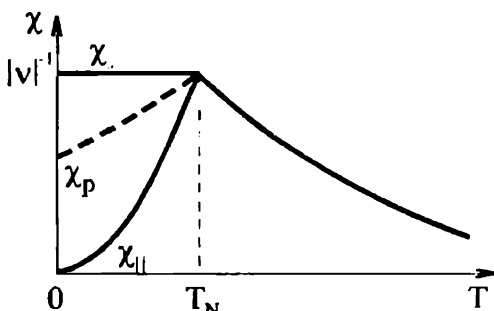
որտեղից՝

$$M_{lx} = -\frac{H}{2\nu}; \quad (9.25)$$

(9.22) և (9.25) առնչություններից հետևում է ընկալունակության

$$\chi_{\perp} = \frac{M_x}{H} = \frac{M_{lx} + M_{2x}}{H} = \frac{2M_{lx}}{H} = -\frac{1}{\nu} = \frac{1}{|\nu|}, \quad (9.26)$$

արժեքը, ինչը համընկնում է (9.20) արտահայտության հետ: Այսպիսով,  $(0, T_N)$  տիրայքում  $\chi_{\perp}$ -ը մնում է հաստատուն (նկ. IX.22):



Նկ. IX.22

Անհրաժեշտ է նկատի ունենալ, որ նկ. IX.22-ում պատկերված կորերը նկարագրում են միաբարեղի մագնիսական ընկալունակությունների վարքը: Բազմաբարեղից պատրաստված նմուշի ընկալունակությունը ստացվում է ըստ անկյան համապատասխան ձևով միջինացումից (նկ. IX.22,  $\chi_p$  կարը):

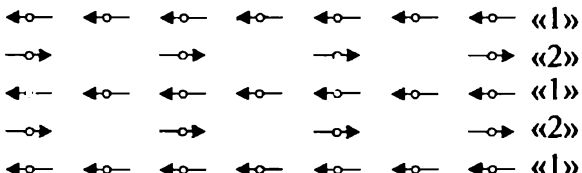
## §10\*. Ֆեռիմագնիսականություն

Ի տարրերություն հակաֆլուունագնիսական նյութերի, որոնցում մագնիսական ննթացանցերի մագնիսացվածություններն իրար հավասար են և ուղղված հակադիր կողմեր, ֆեռիմագնիսական նյութերում մագնիսացվածություններն իրար հավասար չեն, իսկ նրանց տարրերությունը ենթացանցերի մագնիսացվածությունների կարգի է:

Ֆեռիմագնիսականության Նրանքանական տեսությունը արվել է Լ.Նեկի կողմից (1948թ.) պարզ մոդելի հիման վրա, որի համաձայն ֆեռիմագնիսական նյութը բաղկացած է միևնույն սենսակի ատոմներից, որոնք բաշխված են «1» և «2» ննթացանցերի միջև  $a:b$  հարաբերությամբ (նկ. IX.23), ընդ որում

$$a+b=1 : \quad (10.1)$$

Տվյալ ենթացանցի կամայական եանգույցում միջին մոլեկուլային դաշտը, ինչպես և հակաֆեռունագնիսաներում, որոշվում է որպես այդ ննթացանցի և մյուս ենթացանցի մագնիսացվածություններով ստեղծված արդյու-



Նկ. IX.23

Նարար դաշտերի գումար: «1» և «2» ննթացանցերի եանգույցներում արդյունարար մագնիսական դաշտերը տրվում են համապատասխանաբար

$$H_1 = \lambda_{11}M_1 + \lambda_{12}M_2, \quad H_2 = \lambda_{21}M_1 + \lambda_{22}M_2 \quad (10.2)$$

բանաձևերով: Կենթադրենք, որ միևնույն ենթացանցին պատկանող հանգույցներում սպինների փոխազդեցությունը ֆեռունագնիսական բնույթ ունի՝  $\lambda_{11} > 0$ ,  $\lambda_{22} > 0$ , իսկ տարրեր ենթացանցերի սպինների փոխազդեցությունը՝ հակաֆեռունագնիսական՝  $\lambda_{12} = \lambda_{21} < 0$ : Նպատակահարմար է կատարել հետևյալ նշանակումները՝

$$\lambda_{12} = \lambda_{21} = -w, \quad \lambda_{11} = \alpha w, \quad \lambda_{22} = \beta w, \quad (10.3)$$

որտեղ  $\alpha$  ( $\beta$ ) զործակիցը բնութագրում է միջին մոլեկուլային դաշտը «1» ( $«2»$ ) մազնիսական ենթացանցում (արտահայտված  $w$  միավորներով): Նշանակենք նաև  $J_1$  ( $J_2$ )-ով «1» ( $«2»$ ) ենթացանցի մեկ հանգույցին վերագրվող միջին մազնիսական մոմենտը՝ բազմապատկած համակարգի մասնիկների թվով: Մազնիսական ենթացանցերի մազնիսացվածություններն արտահայտվում են  $J_1$  և  $J_2$  մեծությունների միջոցով՝

$$M_1 = aJ_1, \quad M_2 = bJ_2 : \quad (10.4)$$

(10.2)-(10.4) բանաձևերից հետևում են ներքին արդյունարար դաշտերի արտահայտությունները՝

$$H_1 = w(\alpha a J_1 - b J_2), \quad H_2 = w(\beta b J_2 - a J_1) : \quad (10.5)$$

Մազնիսական մոմենտների հավասարակշռական արժեքները  $H$  դաշտում, ինչպես և §§8,9-ում քննարկված դեպքերում, որոշվում են

$$\begin{aligned} J_1 &= n\mu B_J \left[ \frac{\mu w(\alpha a J_1 - b J_2) + \mu H}{k_B T} \right], \\ J_2 &= n\mu B_J \left[ \frac{\mu w(\beta b J_2 - a J_1) + \mu H}{k_B T} \right] \end{aligned} \quad (10.6)$$

արտահայտություններով:

Որոշենք այժմ ֆեղիմազնիաի մազնիսական ընկալունակությունը: Սահմանման համաձայն՝

$$\chi = \frac{\partial M}{\partial H} = \frac{\partial}{\partial H} (aJ_1 + bJ_2) = a \frac{\partial J_1}{\partial H} + b \frac{\partial J_2}{\partial H} : \quad (10.7)$$

(10.6) բանաձևերից որոշելով  $\partial J_1 / \partial H$  և  $\partial J_2 / \partial H$  ածանցյալները և տեղադրելով (10.7) արտահայտության մեջ, կստանանք՝

$$\chi = C \frac{T - Cwab(\alpha + \beta + 2)}{T^2 - Cw(\alpha a + \beta b)T + C^2 w^2 ab(\alpha\beta - 1)}, \quad (10.8)$$

որտեղ

$$C = \frac{n\mu^2}{k_B} B'_J : \quad (10.9)$$

Ուսումնասիրենք ընկալունակության (10.8) արտահայտությունը պարամագնիաական տիրույթում: Այս տիրույթում  $B_J$  ֆունկցիայի արգումենտը շատ փոքր է մեկից, ուստի, օգտվելով (5.25) վերլուծությունից, կստանանք՝

$$C = \frac{n\mu^2}{k_B} \cdot \frac{J+1}{3J} = \frac{n\mu_B^2 g_J^2 J(J+1)}{3k_B} :$$

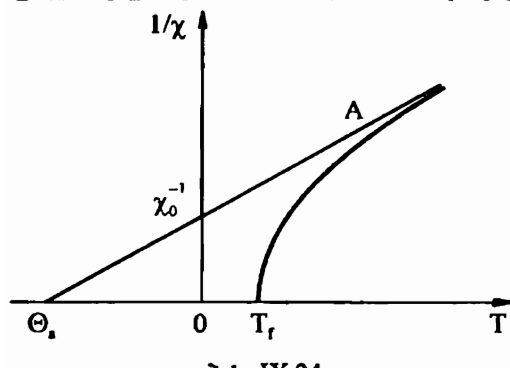
Ընկալունակության ջերմաստիճանային կախումը կարելի է ներկայացնել

$$\frac{1}{\chi} = \frac{T}{C} + \frac{1}{\chi_0} - \frac{\sigma}{T - \theta} \quad (10.10)$$

տեսքով, որտեղ

$$\begin{aligned} \frac{1}{\chi_0} &= w(2ab - \alpha a^2 - \beta b^2), \\ \sigma &= Cw^2 ab [a(\alpha+1) - b(\beta+1)]^2, \\ \theta &= Cwab(\alpha+\beta+2): \end{aligned} \quad (10.11)$$

Եթե  $T \rightarrow \infty$ , (10.10) արտահայտության երրորդ գումարելին ծզառն է զրոյի: Արդյունքում (10.10) բանաձևով տրվող ֆունկցիայի ասիմպտոտը՝



$$\frac{1}{\chi} = \frac{T}{C} + \frac{1}{\chi_0} \quad (10.11)$$

ուղիղը, հատում է օրդինատ-ների առանցքը  $\chi_0^{-1}$  կետում և ունի  $C^{-1}$  թեքություն, իսկ նրա հատման կետն արացիս-ների առանցքի հետ տալիս է այսպես կոչված Կյուրիի ասիմպտոտական ջերմաստիճանը (նկ. IX.24):

$$\theta_a = -\frac{C}{\chi_0} : \quad (10.12)$$

Մյաւ կողմից, երբ ջերմաստիճանը նվազում է,  $1/\chi(T)$  ֆունկցիայի գրաֆիկն ավելի և ավելի է ենուանում A ասիմպոտից, և  $T_f$  ջերմաստիճանում, որը կոչվում է Կյուրիի ֆեռիմագնիսական կետ,  $\chi^{-1}(T_f) = 0$  (նկ. IX.24): Օգտվելով  $T_f$  ջերմաստիճանի սահմանումից և (10.8) բանաձևից,  $T_f$ -ի որոշման համար կստանանք՝

$$T_f^2 - Cw(\alpha\alpha + \beta\beta)T_f + C^2w^2ab(\alpha\beta - 1) = 0 \quad (10.13)$$

հավասարումը, որի լուծումները տրվում են

$$T_f = \frac{Cw}{2} \left[ \alpha\alpha + \beta\beta \pm \sqrt{(\alpha\alpha - \beta\beta)^2 + 4ab} \right] \quad (10.14)$$

արտահայտությամբ:

Եթե  $T_f \leq 0$ , ապա ամբողջ ջերմաստիճանային տիրույթում նյութը գտնվում է պարամագնիսական վիճակում: Եթե  $T_f > 0$ , ապա  $0 \leq T \leq T_f$  տիրույթում նյութը ծեռը է բերում ինքնարերական մագնիսացվածություն, որը տրվում է

$$M = \alpha J_1 + \beta J_2 \quad (10.15)$$

արտահայտությամբ, իսկ  $J_1$ -ը և  $J_2$ -ը որպես ներկայացներից  $H = 0$  և  $T < T_f$  դեպքում:

Եթե  $T_f = 0$ , ապա, համաձայն (10.14) արտահայտության,

$$\alpha\alpha + \beta\beta \pm \sqrt{(\alpha\alpha - \beta\beta)^2 + 4ab} = 0$$

կամ

$$\alpha\beta = 1 : \quad (10.17)$$

Եթե  $\alpha > 0$ ,  $\beta > 0$ , ապա (10.17) և (10.14) առնչություններից հետևում է, որ

$$T_{f1} = Cw(\alpha\alpha + \beta\beta) > 0, \quad T_{f2} = 0, \quad (10.18)$$

այսինքն՝ նյութը գտնվում է ֆեռիմագնիսական վիճակում:

Եթե  $\alpha < 0$ ,  $\beta < 0$ , ապա

$$T_{f1} = 0, \quad T_{f2} = Cw(\alpha\alpha + \beta\beta) < 0, \quad (10.19)$$

այսինքն՝ նյութը գտնվում է պարամագնիսական վիճակում:

Ֆլոդմագնիսական վիճակի ամենակարևոր առանձնահատկությունն այն է, որ մագնիսական և բացանցերի ինքնարերական մագնիսացվածությունների զերմաստիճանային կախումները կարող են էապես աարբեր տևաքանչ ունենալ, կախված  $\alpha$ ,  $\beta$ ,  $a$ ,  $b$  պարամետրերի արժեքներից: Այդ կախամների մասին պաակերացում կազմելու համար պարզենք, թե  $T = 0$  շերմաստիճանում ինչպես են փոփոխվում  $J_1$  և  $J_2$  հավասարակշռական մագնիսացվածությունները:

$H = 0$  դեպքում, տրված  $J_1$  և  $J_2$  մեծությունների համար արդյունաբար մոլեկուլային դաշտի և մագնիսացվածությունների փոփոխվության էներգիան՝

$$E = -\frac{1}{2} \alpha J_1 \cdot H_1 - \frac{1}{2} b J_2 H_2 , \quad (10.20)$$

(10.5) բանաձևերի օգնությամբ կընդունի հետևյալ տեսքը՝

$$E = -\frac{1}{2} w \left( \alpha \alpha^2 J_1^2 - 2ab J_1 J_2 + \beta b^2 J_2^2 \right) : \quad (10.21)$$

Կախված  $J_1$  և  $J_2$  մեծություններից,  $E$ -ն ընդունում է նվազագույն արժեքներ, որոնց մեծությունները որոշվում են  $\alpha$ ,  $\beta$ ,  $a$  և  $b$  պարամետրերի արժեքներով: Հնարավոր է չորս դեպք.

1. Պարամագնիսական վիճակ՝

$$J_1 = J_2 = 0 , \quad (10.22)$$

և ըստ (10.21) առնչությամ՝

$$E = 0 : \quad (10.23)$$

2. Լրիվ հազեցման վիճակ, եթե  $J_1$  և  $J_2$  մեծություններն ընդունում են առավելագույն արժեքներ՝

$$J_1 = n\mu , J_2 = -n\mu , \quad (10.24)$$

$$E = -\frac{1}{2} w n^2 \mu^2 \left( \alpha \alpha^2 + 2ab + \beta b^2 \right) : \quad (10.25)$$

3. «1» ենթացանցի մագնիսացվածությունն առավելագույնն է՝  $J_1 = n\mu$ , իսկ «2» ենթացանցը հազեցած չէ, և նրա մագնիսացվածության հավասարակշռական արժեքը որոշվում է էներգիայի մինիմումի պայմանից՝

$$\frac{\partial E}{\partial J_2} = 0, \quad \text{որաւեղից} \quad J_2 = \frac{a}{\beta b} n \mu. \quad (10.26)$$

$$E = -\frac{1}{2} \omega n^2 \mu^2 a^2 \left( \alpha - \frac{1}{\beta} \right); \quad (10.27)$$

4. «2» Ենթացանցի մազնիսացվածությունն առավելագույնն է՝  $J_2 = -n \mu$ , իսկ «1» Ենթացանցինը որոշվում է հներզիայի մինիմումի պայմանից՝

$$\frac{\partial E}{\partial J_1} = 0, \quad \text{որաւեղից} \quad J_1 = -\frac{b}{\alpha a} n \mu, \quad (10.28)$$

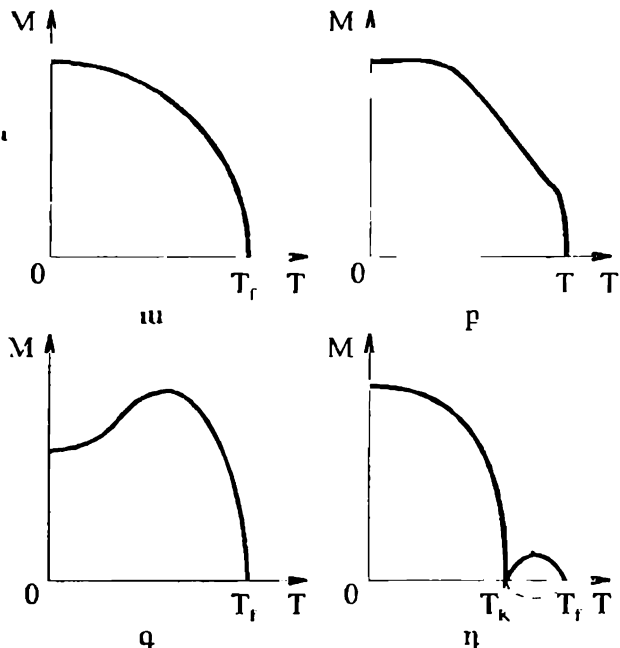
$$E = -\frac{1}{2} \omega n^2 \mu^2 b^2 \left( \beta - \frac{1}{\alpha} \right); \quad (10.29)$$

Թե բվարկված դեպքերից որը կիրականանա  $T = 0\text{K}$ -ում, կախված է  $\alpha$ ,  $\beta$ ,  $a$  և  $b$  պարամետրերի արժեքներից:

Եթե ենթացանցի մազնիսացվածությունը հազեցված չէ (3. և 4. դեպքեր), ապա մազնիսական մոնինսների կարգավորվածությունը խախավում է ջերմաստիճանի բարձրացմանը գուգրներաց: Ուստի, կախված  $J_1$  և  $J_2$  մեծությունների հարաբերակցությունից, արդյունաբար մազնիսացվածությունը՝ որպես ջերմաստիճանի ֆունկցիա, կարող է արագ նվազել կամ, ընդհակառակը՝ աճել, ինչը և բերում է  $M(T)$  կախման բազմագանության: Նկ. IX.25-ում պատկերված են ֆերիմազնիսի ինքնարերական մազնիսացվածության ջերմաստիճանային կախումների հնարավոր կորերը:

Միայն ֆերիմազնիսին բնորոշ առանձնահասակություն է այն փաստը, որ ջերմաստիճանի բարձրացմանը գուգրներաց հնարավոր է ինքնարերական մազնիսացվածության նշանի (ուղղության) փոփոխություն որոշակի կետում՝  $T_K$ , որն ինդունված է անվանել համակշռման (կոմպենսացիայի) չերմաստիճան (նկ. X.25, դ):

Մազնիսացվածության նման ջերմաստիճանային վարքը պարզելու համար ենթադրում են, որ  $H = 0$ ,  $T \leq T_f$  և օգավենը (10.6) հավասարումներից: Սահմանափակվելով  $B_J$  ֆունկցիայի վերլուծության առաջին անդա-



Նկ. IX.25

մով և նկատի ունենալով (5.28) առնչությունը, կստանանք՝

$$J_1 = \frac{Cw}{T} (\alpha a J_1 - b J_2), \quad J_2 = \frac{Cw}{T} (\beta b J_2 - a J_1); \quad (10.30)$$

Քանի որ  $T = T_K$  գերմասահճանում  $M(T_K) = 0$ , ապա

$$\begin{aligned} M &= a J_1 + b J_2 = \frac{Cw}{T_K} [(\alpha a^2 - ab) J_1 + (\beta b^2 - ab) J_2] = \\ &= \frac{Cw}{T_K} [(\alpha a - b) - (\beta b - a)] a J_1 = 0: \end{aligned} \quad (10.31)$$

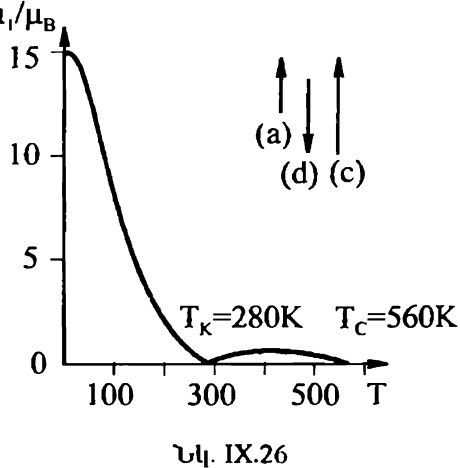
Այսպիսով, սարբեր նշաններ ունեցող մազնիսացվածություններով վիճակների բաժանման սահմանը որոշվում է հետևյալ պայմանից՝

$$a(\alpha + 1) - b(\beta + 1) = 0: \quad (10.32)$$

Եթե  $a(\alpha + 1) > b(\beta + 1)$ , ապա  $M > 0$ , իսկ եթե  $a(\alpha + 1) < b(\beta + 1)$ , ապա

$M < 0$ : Դժվար չէ անսնել, որ (10.32) պայմանի դեպքում (10.11) բանաձևով որոշվող  $\sigma$  մնաբարյունը հավասար է զրոյի, ուստի վերանում է խնքնարերական մազնիսացվածության առաջանալու միասում:

Ֆերիմազնիսների դասական ներկայացուցիչներն են ֆերիտները, որոնց բնդիսնուր բիմլիական բանաձևն է  $\text{MOFe}_2\text{O}_3$ , որտեղ  $\text{M}$ -ը մետաղի ( $\text{Zn}, \text{Cd}, \text{Fe}, \text{Ni}, \text{Cu}, \text{Co}, \text{Mg}$ ) երկարժեք կատլունն է: Հարկ է նշել նաև ֆերիտ-նոնարարերը, որոնք խորանարդային կարտուցվածք ունեցող մնկուսիլքուրեղներ են  $\text{M}_3\text{Fe}_5\text{O}_{12}$  ընդհանուր բանաձևով, որտեղ  $\text{M}$ -ը լուարժեք մետաղի իոն է, իսկ  $\text{Fe}$ -ը՝ երկարի եռարժեք իոնը ( $S = 5/2, L = 0$ ): Հազվագյուտ խողային ֆերիտ-նոնարարերում  $\text{M}^{3+}$  խոնները հազվագյուտ հողային մետաղների խորից են և անդադրվում են  $c$ -ենթացանցի հանգույցներում: Երկարի 5 խոններից 3-ը գրադացնում են  $d$ -ենթացանցի, իսկ 2-ը՝  $a$ -ենթացանցի հանգույցները:  $a$ -ենթացանցում մազնիսական մոմենտներն ուղղված են  $d$ -ենթացանցի մազնիսական մոմենտներին հակառակ:  $c$ -ենթացանցի մազնիսացվածությունն ուղղված է  $a$ - և  $d$ -ենթացանցերի գումարային ( $3 \cdot 5 \mu_B - 2 \cdot 5 \mu_B = 5 \mu_B$ ) մազնիսացվածությանը հակառակ (նկ. IX.26):  $T = 0\text{K}$  ջերմասահճանում  $\text{Cd}_3\text{Fe}_5\text{O}_{12}$  նոնարարի մեկ բանաձևային միավորին բաժին ընկնող մազնիսական մոմենտը  $\mu_l(0) = (3 \cdot 7 - 5) \mu_B = 16 \mu_B$ , որտեղ  $7 \mu_B$ -ն զարդարված է  $(\text{Cd})$  մեկ խճի մազնիսական մամենսն է: Յածը ջերմասահճաններում  $\text{Cd}$ -ի 3 խոնների գումարային մազնիսացվածությունը մեծ է երկարի խոնների գումարային մազնիսացվածությունից, սակայն չերմասահճանի բարձրացման հետ այն կարուկ նվազում է, որի հետևանքով բյուրեղի լրիվ մազնիսական մոմենտը դառնում է զրո և ապա նորից աճում՝ շնորհիվ  $\text{Fe}^{3+}$  խոնների ներդրման գե-



Նկ. IX.26

բակշության: Նկ. IX.26-ում պատկերված է **Gd<sub>3</sub>Fe<sub>5</sub>O<sub>12</sub>**-ի մեկ բանաձևային միավորի մազնիսացվածության ջերմաստիճանային կախման գրաֆիկը:

## §11. Փոխանակային փոխագդեցություն: Հայզենբերգի մոդելը

Ուժեղ մազնիսական նյութերի ֆիզիկական հատկություններն ուսումնական լուծումների համար մազնիսական դաշտ, որի ազդեցության առաջնարար մազնիսական մոմենտները ծեռք են բնարում որոշակի կարգավորված դասավորվածություն: Կարելի էր ենթադրել, որ մոմենտների միջև գործող մազնիսական փոխագդեցությունը, որին համապատասխանության մեջ է դրվում  $H_E$  դաշտ, պայմանավորված է մազնիսական մոմենտների դիվալային փոխագդեցությամբ: Սակայն §8-ում կատարված զնահատումների համաձայն, այդ փոխագդեցությամբ հնարավոր չէ բացարել մազնիսական մոմենտների միջև իրական փոխագդեցությունը: Մազնիսական փոխագդեցության հիմնական պատճառների թվից կարելի է բացառել նաև սպին-ուղենական փոխագդեցությունը, որը, սակայն, կարևոր դեր է խաղում առանձին ատոմի լրիվ մազնիսական մոմենտների որոշելիս:

Մազնիսական փոխագդեցության հիմնական աղբյուրը էլեկտրոնների էլեկտրաստատիկ (կուլոնյան) փոխագդեցությունն է: Սակայն, ի տարբերություն անմիջական ուժային փոխագդեցության, մազնիսական փոխագդեցությունը կախված է էլեկտրոնների (մազնիսական իոնների) սպիների ուղղություններից և հետևանք է Պաուլիի սկզբունքի:

Որպեսզի պարզենք կապը համակարգի էներգիայի և սպինի միջև, դիտարկենք ընդամենը երկու էլեկտրոն ունեցող համակարգ և օգտվենք ջրածնի մոլեկուլի տեսության որոշ արդյունքներից (Մաս I, II.6):

Ինչպես զիտենք, էլեկտրոնային համակարգի լրիվ ալիքային ֆունկցիան հակահամաշափ ֆունկցիա է, այսինքն՝ այն փոխում է իր նշանը, եթե կատարվում է երկու էլեկտրոնների փոխատեղություն՝  $r_1, s_1 \leftrightarrow r_2, s_2$ : Սպին-ուղենական փոխագդեցության անտեսման և արտաքին մազնիսական դաշտի բացակայության պայմաններում համակարգի համիլտոնիանը կախված չէ սպինից, ուստի լրիվ ալիքային ֆունկցիան տրվում է կոորդի-

նատային՝  $\psi(r_1, r_2)$  և սպինային՝  $\chi(s_1, s_2)$  ֆունկցիաների արտադրյալի սեպարվ՝

$$\Phi(r_1, s_1; r_2, s_2) = \psi(r_1, r_2) \cdot \chi(s_1, s_2) : \quad (11.1)$$

Հնարավոր սպինային վիճակներից, որոնց համապատասխանում են  $s_1$  և  $s_2$  սպիների  $z$ -պրոյեկցիաների որոշակի արժեքներ (այն է՝  $s_{z1} = 1/2$  ( $\uparrow$ ),  $s_{z2} = 1/2$  ( $\uparrow$ ), որը համառոտակի կնշանակներ  $|s_{z1}, s_{z2}\rangle \equiv |\uparrow\uparrow\rangle$  խորհրդականվ, ինչպես նաև մնացած երեք հնարավոր վիճակները՝  $|\uparrow\downarrow\rangle$ ,  $|\downarrow\uparrow\rangle$  և  $|\downarrow\downarrow\rangle$ ), կարող ենք կազմել հետևյալ զծային համակցությունները՝

$$\chi_1(s_1, s_2) = \frac{1}{\sqrt{2}}(|\uparrow\downarrow\rangle - |\downarrow\uparrow\rangle), \quad S = |s_1 + s_2| = 0, \quad S_z = s_{1z} + s_{2z} = 0, \quad (11.2)$$

$$\chi_2(s_1, s_2) = |\uparrow\uparrow\rangle, \quad S = 1, \quad S_z = 1 \quad (11.3)$$

$$\chi_3(s_1, s_2) = \frac{1}{\sqrt{2}}(|\uparrow\downarrow\rangle + |\downarrow\uparrow\rangle), \quad S = 1, \quad S_z = 0, \quad (11.4)$$

$$\chi_4(s_1, s_2) = |\downarrow\downarrow\rangle, \quad S = 1, \quad S_z = -1 \quad (11.5)$$

Այս չորս ֆունկցիաներից  $\chi_1(s_1, s_2)$ -ը հակահամաշափ է՝

$$\chi_1(s_2, s_1) = -\chi_1(s_1, s_2), \quad (11.6)$$

իսկ մնացած երեքը՝ համաշափ՝

$$\chi_i(s_2, s_1) = \chi_i(s_1, s_2), \quad (i = 2, 3, 4), \quad (11.7)$$

հետևաբար՝  $S = 0$  (սինգլես) սպինային վիճակում համակարգը կնկարագրվի համաշափ կոօրդինատային  $\psi_s(r_1, r_2)$  ֆունկցիայով, իսկ  $S = 1$  (տրիպլետ) սպինային վիճակում հակահամաշափ  $\psi_{as}(r_1, r_2)$  ֆունկցիայով: Կորոլինատային  $\psi(r_1, r_2)$  ալիքային ֆունկցիան բավարարում է Ծրեղինգերի հավասարմանը՝

$$\hat{\mathcal{H}}\psi \equiv \left[ -\frac{\hbar^2}{2m} (\nabla_1^2 + \nabla_2^2) + V(r_1, r_2) \right] \psi(r_1, r_2) = E\psi(r_1, r_2), \quad (11.8)$$

որտեղ  $V(r_1, r_2)$  -ը տրվում է (Մաս I, II.2.2) բանաձևով:

Նշանակենք (11.8) հավասարման ամենափոքր սեփական արժեքները, որոնք համապատասխանում են սինգլետ՝  $\psi_s$  և տրիպլետ՝  $\psi_{as}$  լուծում-

Անըին, համապատասխանաբար  $E_s$ -ով և  $E_t$ -ով: Համակարգի հիմնական վիճակում համակարգի սպինը հավասար կլինի զրոյի:  $S = 0$ , եթե  $E_s < E_t$ , և հավասար կլինի մեկի՝  $S = 1$ , եթե  $E_t < E_s$ : Այսպիսով, առկա է վոլտադարձ կապ (11.8) հավասարման լուծմամբ համաչափության և համակարգի լրիվ սպինի միջև, որը պայմանավորված է ոչ թե ուղղակի սպին-ուղղեծրային վոլտադարձությամբ, որն ընդհանրապես հաշվի չի առնված (11.8) հավասարման մեջ, այլ Պաուլիի սկզբունքով:

Այժմ պարզենք կեկտրոնային համակարգի լրիվ սպինի կախումը սինզիլեա և արիալեստ վիճակներում ունեցած էներգիաների աւարտերությունից: Այդ նպատակով կատուցենք նոր օպերատոր՝ այսպիս կոչված տպինային համելատոնիան, որի սեփական արժեքները համբնկնում են (11.8) հավասարման  $E_s$  և  $E_t$  սեփական արժեքների հետ, իսկ սեփական ֆունկցիաները որոշում են համալատասխան վիճակներում համակարգի լրիվ սպինը: Երկարակտրոնային համակարգի լրիվ սպինի օպերատորի բառակուսին:

$$\hat{S}^2 = (\hat{s}_1 + \hat{s}_2)^2 = \hat{s}_1^2 + \hat{s}_2^2 + 2\hat{s}_1\hat{s}_2 : \quad (11.9)$$

Փոխարինենք օպերատորների բառակուսիները համալատասխան սեփական արժեքներով՝

$$\hat{s}_1^2 = \hat{s}_1(\hat{s}_1 + 1) = \frac{1}{2}\left(\frac{1}{2} + 1\right) = \frac{3}{4}, \quad \hat{s}_2^2 = \frac{3}{4}, \quad (11.10)$$

$$\hat{S}^2 = S(S+1),$$

կստանանք՝

$$\hat{s}_1\hat{s}_2 = \frac{1}{2}[S(S+1) - \hat{s}_1^2 - \hat{s}_2^2] = \frac{1}{2}\left[S(S+1) - \frac{3}{2}\right] = \begin{cases} -\frac{3}{4}, & S=0, \\ \frac{1}{4}, & S=1: \end{cases} \quad (11.11)$$

Հետևաբար՝ որոնելի սպինային օպերատորը կարելի է ներկայացնել

$$\hat{\mathcal{H}}_s = \frac{1}{4}(E_s + 3E_t) - (E_s - E_t)\hat{s}_1\hat{s}_2 \quad (11.12)$$

տեսքով: Նրա սեփական արժեքներն են  $E_s$ -ը (եթե  $S=0$ ) և  $E_t$ -ն (եթե  $S=1$ ): Առաջին՝  $\bar{E} = (E_s + 3E_t)/4$  գումարելին կախված չէ սպինից և ըստ

սպինայիմ 4 հմարավոր վիճակների (1 սինգլետ և 3 արիսպլեա) միջինացված Լներգիան է, որը որպես հասաւատուն կարելի է բաց բողնել, խակ նրկորություն գումարելին կախված է համակարգի սպինից: Լնդունված է սպինային համիլտոնիանը ներկայացնել հետևյալ տեսքով (Ա. Հայզենբերգ, 1927թ.)՝

$$\hat{\mathcal{H}}_s = -J \cdot \hat{\mathbf{s}}_1 \hat{\mathbf{s}}_2 , \quad (11.13)$$

որտեղ

$$J = E_s - E_t : \quad (11.14)$$

եթե  $J > 0$ , առյա, բայց (11.13) առնչության, համակարգի վիոքը էներգիայով վիճակին համապատասխանում է երկու էլեկտրոնների սպինների գուգակեռությունը ( $S = 1$ ), իսկ  $J < 0$  դեպքին՝ հակազուգահեռությունը ( $S = 0$ ):

Ի տարրերություն մազնիսական դիսպուային փոխազդեցության

$$u_{12} = \frac{1}{R^3} \left[ \mu_1 \mu_2 - \frac{3}{R^2} (\mu_1 R)(\mu_2 R) \right] \quad (11.15)$$

էներգիայի, որը կախված է մազնիսական մոմենտների տարածական դիրքերից  $\mu R$  արագությամբ միջոցով, սպինային համիլտոնիանով տրվող փոխազդեցության էներգիան իզոտրոպ է, այն կախված է միմիայն  $s_1$  և  $s_2$  սպինների փոխադարձ դիրքից: Այս իզոտրոպությունը հետևանք է (11.8) հավասարնան  $\hat{\mathcal{H}}_s$  օպերատորի սպինային անկախաւության և կախված չէ նրա տարածական համաշավությունից:

(11.14) արտահայտությամբ արվող  $J$  մնանականը, որն ընդունված է անվանել փոխանակային փոխազդեցության հաստատուն կամ պարամետր, կարելի է ներկայացնել

$$J = \frac{Q+A}{1+S^2} - \frac{Q-A}{1-S^2} = \frac{2(A-QS^2)}{1-S^4} \quad (11.16)$$

տեսքով, որտեղ  $A$ -ն փոխանակային,  $Q$ -ն՝ կուլոնյան, իսկ  $S$ -ը՝ ծածկման ինտեգրալներն են (Մաս I, II.6.18-6.29 բանաձևերը.  $W_s \equiv E_s$ ,  $W_{as} \equiv E_t$ ):  $R \gg a_B$  հեռավորությունների վրա  $J(R)$  մնանականը նվազում է էրապոնենցիալ օրենքով:

Ընդհանրացնենք (11.13) արտահայտությունը  $N$  էլեկտրոններից կազմված համակարգի համար՝

$$\hat{\mathcal{H}}_s = - \sum_{i \neq j} J_y \cdot \hat{\mathbf{s}}_i \hat{\mathbf{s}}_j , \quad (11.17)$$

որանդ  $\hat{\mathbf{s}}_i$ -ն  $i$ -րդ էլեկտրոնի սպիռի օայերատորն է, իսկ  $J_y \equiv J(R_{ij})$  մեծությունը՝  $(ij)$  գույզի վոխանակային վոխագդեցության պարամետրը:

Անհրաժեշտ է նշել, որ, որպես կանոն,  $N$  էլեկտրոնների համար զրված (11.17) արտահայտությունը կիրառվում է նաև  $\hat{\mathbf{S}}_\alpha = \sum_i \hat{\mathbf{s}}_i$ ,  $S_\alpha > 1/2$  գումարային սպիռով ատոմների դեպքում:

$$\hat{\mathcal{H}}_s = - \sum_{\alpha \neq \beta} J_{\alpha\beta} \cdot \hat{\mathbf{S}}_\alpha \hat{\mathbf{S}}_\beta : \quad (11.18)$$

Այսպիսով, մազնիսական մոմենտների կարգավորվածությունը մազնիսական բյուրեղներում պայմանավորված է (11.18) համիլտոնիանով նկարագրվող վոխանակային վոխագդեցությամբ: Տեսության մյուս խնդիրը վոխանակային վոխագդեցության  $J_{\alpha\beta} \equiv J(R_\alpha, R_\beta)$  հաստատումի նշանի որոշումն է, որպէս պայմանավորված է մազնիսական կարգավորվածության բնույթը՝ ֆեռոմագնիսական, թե հակաֆեռոմագնիսական: Եթե  $J < 0$ , ապա էներգիապես ճեղնապատճեն այնպիսի վիճակ, երբ հարեւան ատոմների սպիռները հակագուգահեն են: Այսպիսի վիճակը համարատավախանում է հակաֆեռոմագնիսական կարգավորվածությանը (Ակ. IX.12, բ):  $J > 0$  դեպքում աեղի ունի ֆեռոմագնիսական կարգավորվածություն, երբ բոլոր ատոմների մազնիսական մոմենտներն իրար գուգահեն են (Ակ. IX.12, ա):

Հետագա հաշվարկներում պարզության համար կննքադրենք, որ սպիռն իրեն պահում է որպես դասական մեխանիկական մոմենտ:

Եթե վոխանակային վոխագդեցության  $J$  հաստատումի նշանը որոշում է մազնիսական կարգավորվածության բնույթը, ապա նրա մեծությունը որոշում է մազնիսական կարգավորվածության վիճակը նկարագրող երևությաբանական բնուրագրերը, մասնավորապես՝ Կյուրիի ջերմաստիճանը:

Իրոք, (11.18) համիլտոնիան արտագրենք հետևյալ սենյակով՝

$$\mathcal{H}_s = - \sum_{\alpha} \left[ \sum_{\beta} J_{\alpha\beta} S_{\beta} \right] \cdot S_{\alpha} \equiv \sum_{\alpha} \mathcal{H}_{\alpha} : \quad (11.19)$$

Սոլեկտային դաշտի մոտավորության շրջանակներում  $S_{\alpha}$  սպիռի նարեամ

սպիները պետք է փոխարինել իրենց միջին արժեքներով՝

$$S_\beta \rightarrow \bar{S}_\beta = \frac{1}{g\mu_B} \bar{\mu}, \quad (11.20)$$

որտեղ  $\bar{\mu}$ -ն առանձի միջին մազնիսական մոմենտն է: Այս դեպքում փոխանակային փոխագործության միջին էներգիայի համար կարող ենք գրել

$$\mathcal{H}_s = - \sum_{\alpha \neq \beta} J_{\alpha\beta} S_\alpha S_\beta \Rightarrow - \sum_{\alpha \neq \beta} J_{\alpha\beta} S_\alpha \bar{S}_\beta = - \frac{1}{g\mu_B} \sum_{\alpha \neq \beta} J_{\alpha\beta} S_\alpha \bar{\mu} \equiv - \bar{\mu} H_E, \quad (11.21)$$

որտեղ միջին մոլեկուլային մազնիսական դաշտի լարվածությունը՝

$$H_E = \frac{1}{g\mu_B} \sum_{\beta} J_{\alpha\beta} S_\alpha = \frac{1}{(g\mu_B)^2} \sum_{\beta} J_{\alpha\beta} \bar{\mu} : \quad (11.22)$$

Այս արտահայտության օգնությամբ մոլեկուլային դաշտի  $\lambda$  հաստատունի համար կստանանք՝

$$H_E = \lambda M \equiv \lambda \cdot n \bar{\mu} \equiv \frac{1}{(g\mu_B)^2} \bar{\mu} \sum_{\beta} J_{\alpha\beta} ,$$

որտեղից

$$\lambda = \frac{1}{n(g\mu_B)^2} \sum_{\beta} J_{\alpha\beta} : \quad (11.23)$$

Նկատի ունենալով կապը մոլեկուլային դաշտի  $\lambda$  հաստատունի և Կյուրիի ջերմաստիճանի միջև, ինչպես նաև Կյուրիի հաստատունի (5.28) արտահայտությունը, կստանանք՝

$$T_c = \lambda C = \frac{1}{n(g\mu_B)^2} \sum_{\beta} J_{\alpha\beta} \cdot \frac{ng^2 \mu_B^2 S(S+1)}{3k_B} = \frac{S(S+1)}{3k_B} \sum_{\beta} J_{\alpha\beta} : \quad (11.24)$$

Քանի որ  $J_{\alpha\beta}$  գործակիցները ենուավորությունից կախված շատ արագ նվազում են, ապա (11.24) գումարում կարելի է սահմանափակվել միայն ամենամուշ հարեւանների մուաւուրությամբ: Նշանակելով այդ հարեւանների թիվը  $z$ -ով, Կյուրիի  $T_c$  ջերմաստիճանի համար (11.24) բանաձևից կարող ենք գրել՝

$$T_c \approx \frac{S(S+1)}{3k_B} z \cdot J(a) \sim \frac{J(a)}{k_B}, \quad (11.25)$$

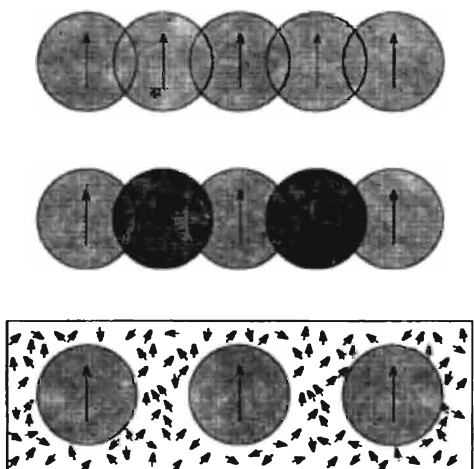
ընդ որում

$$J(a) \sim \gamma \frac{e^2}{a} \approx \gamma E_c, \quad (11.26)$$

որտեղ  $a$ -ն ցանցի հաստատունն է,  $E_c$ -ն՝ էլեկտրաստափիկ (կուլոնյան) վոլտագույքության էներգիան, իսկ  $\gamma$ ՝ մեծությունը որոշվում է հարևան հանգույցների ատոմների ալիքային ֆունկցիաների ծածկումով։ Գնահատումների ժամանակ կարենի է օգտվել

$$\gamma \approx \frac{T_c}{T_m} \quad (11.27)$$

բանաձևից, որտեղ  $T_m$ -ը բյուրեղի հալման ջերմաստիճանն է:  $\gamma$  պարամետրը համեմատաբար մեծ է Յդ-տարրերի միացությունների համար և փոքր է հազվագյուտ հողային միացությունների համար, քանի որ 4f-էլեկտրոնները բավականաչափ խորն են ընկած աստմում և նրանց ալիքային ֆունկցիաները շատ քիչ են ծածկվում։ Մաս է պատճառը, որ հազվագյուտ հողային խոնների մագնիսական կարգավորվածությունը տեղի է ունենալ



Նկ. IX.27

համեմատաբար ցածր ջերմաստիճաններում։

w Սազմիսական փոխագույքության վերն ուսումասիրված դեպքը հայտնի է ուղղ (կամ անմիջական) փոխանակություն անվամբ, քանի որ այն պայմանավորված է երկու խոնների էլեկտրոնների ուղղակի կուլոնյան փոխագույքությամբ (Յկ. IX.27, w)։ Սակայն հաճախ մագնիսական խոնները միմյանցից բաժանված են ոչ մագնիսա-

կան (լրացված էլեկտրոնային քաղանքներ ունեցող) իտներով։ Նման մագնիսական իտների միջև նազնիսական փոխազդեցությունն իրականացվում է ոչ մագնիսական իտնի էլեկտրոնների միջոցով, և որն ավելի էական է, քան մագնիսական իտների ուղղակի փոխանակային փոխազդեցությունը։ Մագնիսական փոխազդեցության դիտարկվող դեպքը հայտնի է որպես գերփոխանակություն (նկ. IX.27, բ) և իրականանում է մեկուսիչ մագնիսական բյուրեղներում։

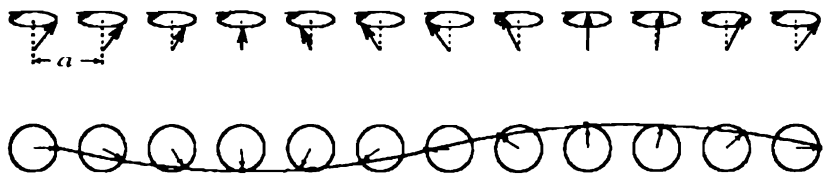
Հազվագյուտ հոդային մետաղներում մագնիսական փոխազդեցությունն իրականացվում է այլ ճանապարհով։ Բացի անմիջական ուղղակի փոխանակային փոխազդեցությունից, որը բավականաշափ քոյլ է 4F էլեկտրոնների համեմատարար ուժեղ աւելացնացման հետևանքով, մագնիսական իտները հիմնականում փոխազդում են հաղորդականության լեկտրոնների միջոցով (նկ. IX.27, զ)։ Փոխանակային փոխազդեցության այս դեպքը հայտնի է որպես անուղղակի փոխազդեցություն։

## §12<sup>o</sup>. Սպինային ալիքները ֆեռոմագնիսներում

Ուժեղ մագնիսական նյութերի թերմոդինամիկական հատկությունները որոշելու և, մասնավորապես, ինքնարերական մագնիսացվածության ջերմաստիճանային վարքը զածը ջերմասահիճանների ափրույթում ճշակու համար անհրաժեշտ I. քննարկել սպինային համակարգի գրգռված վիճակը։

Ուսումնասիրենք ճախ ֆեռոմագնիսական նյութերը։ Ֆեռոմագնիսի հիմնական վիճակում ( $T = 0K$ ) բոլոր մագնիսական մոմենտները (սպիները) ուղղված են նոյն ուղղությամբ։ Սպինային համակարգի ամենափոքր էներգիայով գրգռված վիճակը համապատասխանում է մեկ սպինի՝ այդ ուղղությունից շեղվելուն։ Զանի որ այդ սպինը փոխազդում է հարևան սպիների հետ, այս նրա շեղումը հաղորդվում է հարևաններին։ Այսպիսով, սպինի շեղումը չի մնում տեղայնացված, այն տարածվում է ամբողջ բյուրեղով որպես սպինային ալիք։

Նկարագրված մեխանիզմը նոյնական է բյուրեղական ցանցի որևէ հանգույցի ատոմի տասանողական շարժման և ցանցում առածզական ալիքի առաջացման մեխանիզմի հետ։ Նկ. IX.28-ում պատկերված է սպինային ալիքը միաշափ գծային ցանցում ժամանակի տրված պահին։



Նկ. IX.28

Յուրաքանչյուր սպին կոնապտույա 1. կասարում, և նրա վուլը որոշվում է  $k$  ալիքային բվով (սպինային ալիքի երկարությունը՝  $\lambda = 12a$ , որտեղ  $a$ -ն ցանցի հասասաւուն է):

Այժմ սատանանք ֆեռոմագնիսում սպինային ալիքի դիսպլինուն հավասարումը  $\omega = \omega(k)$  կախումը:

Ննդադրելով, որ սպինն իրեն պահում է որպես դասական մեխանիկական մոմենտ, կարող ենք օգտվել շարժման դասական հավասարումներից: Կենթադրենք նաև, որ սվյալ սպինը վոլխագում է միայն իր ամենանուա հարեւան սպիների հետ: Այս դեպքում  $R$  հանգույցում գտնվող  $S_R$  սպինի վոլխագուցության լներգիան մոտակա  $R + \delta$  հանգույցներում գտնվող  $r$  հաւաքական սպիների հետ կարգի

$$\mathcal{H}_s = -J \cdot S_R \sum_{\delta} S_{R+\delta} \quad (12.1)$$

արտահայտությամբ, որտեղ  $J$ -ն վոլխանակային վոլխագուցության իզոտրոպության հետևանքով միևնույն է բոլոր  $r$  հարեւանների համար: (12.1) արտահայտությամբ տրվող էներգիան կարելի է մեկնաբանել որպես  $S_R$  սպինի լներգիա արդյունաբար «արտաքին» մագնիսական դաշտում՝

$$\mathcal{H}_s = -\mu_s \cdot H_R, \quad \mu_s = -g\mu_B S_R, \quad (12.2)$$

որի լարվածությունը (տես նաև (11.22) բանաձևը)

$$H_R = -\frac{J}{g\mu_B} \sum_{\delta} S_{R+\delta}: \quad (12.3)$$

Ինչպես հայտնի է մեխանիկայից, մասնիկի իմպուլսի մոմենտի ( $\hbar S_R$ ) վոլխաման արագությունը հավասար 1. մոմենտի վրա ազդող ուժի մոմենտին:

$$\frac{d}{dt}(\hbar S_R) = \mu_s \times H_R = -\frac{J}{g\mu_B} \sum_{\delta} (\mu_s \times S_{R+\delta}) = J \left( S_R \times \sum_{\delta} S_{R+\delta} \right); \quad (12.4)$$

Արտագրենք (12.4) շարժման հավասարումն ըստ պլոյեկցիաների՝

$$\frac{dS_R^x}{dt} = \frac{J}{\hbar} \left( S_R^y \sum_{\delta} S_{R+\delta}^z - S_R^z \sum_{\delta} S_{R+\delta}^y \right), \quad (12.5\alpha)$$

$$\frac{dS_R^y}{dt} = \frac{J}{\hbar} \left( S_R^z \sum_{\delta} S_{R+\delta}^x - S_R^x \sum_{\delta} S_{R+\delta}^z \right), \quad (12.5\beta)$$

$$\frac{dS_R^z}{dt} = \frac{J}{\hbar} \left( S_R^x \sum_{\delta} S_{R+\delta}^y - S_R^y \sum_{\delta} S_{R+\delta}^x \right); \quad (12.5\gamma)$$

Ստացանք ոչ զծային հավասարումների համակարգ, քանի որ (12.5α)-(12.5γ) հավասարումների աջ մասերը պարունակում են սպինի պլոյեկցիաների արագությամներ:  $T = 0\text{K}$  վիճակում սպինի ռողդությունից փոքր շեղումների (թույլ գրգռումների) համար կարելի է վերցնել  $S_R^z \equiv S$  և (12.5) հավասարումների աջ մասերում արեամարել  $S_R^x$  և  $S_R^y$  մեծությունների արտադրյալներով անդամները: Նկատի ունենալով նաև, որ  $\sum_{\delta} S_{R+\delta}^z = zS$ ,

(12.5) համակարգի վոխարեն կստանանք զծային հավասարումների հետևյալ համակարգը՝

$$\frac{dS_R^x}{dt} = \frac{J}{\hbar} \left( zS \cdot S_R^y - S \sum_{\delta} S_{R+\delta}^y \right) = \frac{JS}{\hbar} \left( zS_R^y - \sum_{\delta} S_{R+\delta}^y \right), \quad (12.6)$$

$$\frac{dS_R^y}{dt} = \frac{J}{\hbar} \left( S \sum_{\delta} S_{R+\delta}^x - S_R^x \cdot zS \right) = -\frac{JS}{\hbar} \left( zS_R^x - \sum_{\delta} S_{R+\delta}^x \right), \quad (12.7)$$

$$\frac{dS_R^z}{dt} = 0; \quad (12.8)$$

(12.8) հավասարումից հետևում է  $S_R^z = const = S$  պայմանը: (12.6) և (12.7) հավասարումների լուծումները կիմտրենք վագող ալիքների տեսքով՝

$$S_R^x = u \cdot \exp[i(kR - \omega t)], \quad S_R^y = v \cdot \exp[i(kR - \omega t)], \quad (12.9)$$

որտեղ  $u$  և  $v$  անհայտ ամպլիտուդները բավարարում են

$$\begin{aligned} -i\omega u - \frac{JS}{\hbar} \left[ z - \sum_{\delta} \exp(ik\delta) \right] v &= 0, \\ \frac{JS}{\hbar} \left[ z - \sum_{\delta} \exp(ik\delta) \right] u - i\omega v &= 0 \end{aligned} \quad (12.10)$$

հավասարությունների համակարգին, որի ոչ-զրոյական լուծումներ ունենալու պայմանից ստացվում է սպինային ալիքի դիսպերաժոն հավասարությունը՝

$$\omega(k) = \frac{JS}{\hbar} \left[ z - \sum_{\delta} \exp(ik\delta) \right] = \frac{JS}{\hbar} \left[ z - \sum_{\delta} \cos(k\delta) \right]: \quad (12.11)$$

Մասնավորապես, միացափ բյուրեսի դեպքում ( $\delta \rightarrow \delta = \pm\alpha, z = 2$ )

$$\hbar\omega(k) = 2JS(1 - \cos ka) : \quad (12.12)$$

Ինչպես հետևում է (12.11) առնչությունից և (12.10) համակարգից,

$$v = -iu, \quad (12.13)$$

այսինքն՝ (12.9) առնչություններավ տրվող պրայեկցիաները մեծությամբ հավասար են, իսկ ժամանակի ցանկացած պահի՝ փուլով շեղված են  $\pi/2$ -ով, ինչը նշանակում է  $S_R$  վեկտորի կոնապտույտ  $z$  առանցքի շուրջ:

Երկարավիքային սահմանում՝  $ka \ll 1$ , (12.11) հավասարությունը

$$\omega(k) \approx \frac{JS}{\hbar} \alpha^2 k^2, \quad (12.14)$$

որը նույնարդությամբ տեղի ունի և պարզ ( $\delta = \pm\alpha, 0, 0; 0, \pm\alpha, 0; 0, 0, \pm\alpha$ ), և ծավալակենտրոնացված ( $\delta = \pm\alpha/2, \pm\alpha/2, \pm\alpha/2$ ), և նիստակենտրոնացված ( $\delta = \pm\alpha/2, \pm\alpha/2, 0; \pm\alpha/2, 0, \pm\alpha/2; 0, \pm\alpha/2, \pm\alpha/2$ ) խորանարդային ցանցների համար. Ի տարրերություն ձայնային ալիքների, որոնց համար երկարավիքային սահմանում  $\omega(k) \sim k$ , սպինային ալիքների դեպքում  $\omega(k) \sim k^2$ , ինչը պայմանավորում է ֆեռոմագնիսական նյութի բերմողինամիկական առանձնահատկությունները:

Օգտվելով սպինային ալիքների (12.11) դիսպերաժոն հավասարությունից, որտեղնք ֆեռոմագնիսական նմուշի մագնիսացվածության ջերմաստիճանային կախամը ցածր ջերմաստիճանների տիրույթում:

$N$  սպիների համակարգի լրիվ սպինը հիմնական վիճակում հավասար է  $NS$ , քանի որ բօլոր սպիներն իրար գուգահեռ են և ուղղված միևնույն կող-

մը: Երբ համակարգում գրգռվում է սպինային ալիք, ապա համակարգի լրիվ սպինը փոքրանում է, բանի որ սպիների գուգահեռությունը լսախսավում է:

Կապ հասաւատենք սպինային ալիքի ամպլիտուդի և սպինի  $z$ -քաղադրիչի միջև: Հանի որ  $S_R^x, S_R^y \ll S_R^z \sim S$ , ապա

$$S^z = \left[ S^2 - (S_x^2 + S_y^2) \right]^{1/2} \approx S \left[ 1 - \frac{S_\perp^2}{S^2} \right]^{1/2} \approx S - \frac{S_\perp^2}{2S}, \quad (12.15)$$

որտեղ  $S_\perp^2 = S_x^2 + S_y^2 = 2u^2$ : Եթե  $n_k$ -ով նշանակենք  $k$  ալիքային վեկտոր ունեցող գրգռված սպինային ալիքների թիվը ( $n_k = 0, 1, 2, \dots$ ) և նկատի ունենանք, որ ամեն մի նոր սպինային ալիք առաջանալիս համակարգի լրիվ սպինի քաղադրիչը  $z$  ուղղությամբ փոքրանում է միավորավ, կստանանք՝

$$NS - n_k = NS_z \approx NS - \frac{Nu_k^2}{S}$$

կամ

$$n_k \approx \frac{Nu_k^2}{S}, \quad (12.16)$$

որտեղից՝

$$u_k^2 = \frac{S}{N} n_k : \quad (12.17)$$

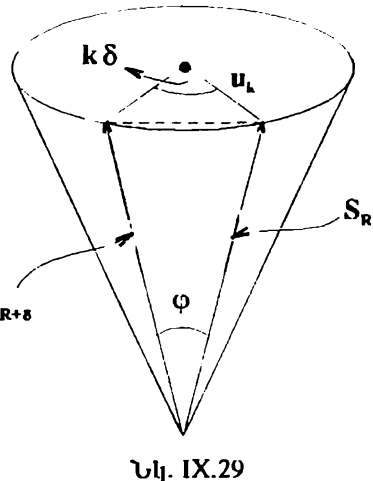
Սպինային համակարգի փոխանակային էներգիան ամենամոռ հարկանների մոտավորությամբ տրվում է:

$$U = N\mathcal{H}_s = -JN \sum_{\delta} S_R \cdot S_{R+\delta} = -JNS^2 \sum_{\delta} \cos(S_R S_{R+\delta}) \quad (12.18)$$

արտահայտությամբ:  $R$  և  $R+\delta$  սպիների միջև անկյունը կապված է սպինային ալիքում  $S_R$  և  $S_{R+\delta}$  սպիների միջև փուլերի  $k\delta$  տարրերության հետ հետևյալ առնչությամբ (նկ. IX.29):

$$2S \sin \frac{\varphi}{2} = 2u_k \sin \frac{k\delta}{2},$$

որտեղից՝



Նկ. IX.29

$$\cos \varphi = 1 - 2 \left( \frac{u_k}{S} \right)^2 \sin^2 \left( \frac{k\delta}{2} \right); \quad (12.19)$$

(12.19) և (12.18) արտահայտություններից հետևում է, որ վտխանակային էներգիան՝

$$U = -JNS^2 \sum_{\delta} \left[ 1 - 2 \frac{u_k^2}{S^2} \sin^2 \left( \frac{k\delta}{2} \right) \right] = -JNzS^2 + JNu_k^2 \sum_{\delta} 2 \sin^2 \left( \frac{k\delta}{2} \right) = \\ = -JNzS^2 + JNu_k^2 \left( z - \sum_{\delta} \cos k\delta \right) \equiv -JNzS^2 + \varepsilon_k, \quad (12.20)$$

որտեղ

$$\varepsilon_k = JNu_k^2 \left( z - \sum_{\delta} \cos k\delta \right) \quad (12.21)$$

մեծությունը սպինային համակարգի զրգուման էներգիան է։ Նկատի ունենալով (12.17) և (12.11) արտահայտությունները,  $\varepsilon_k$  զրգուման էներգիան կարելի է ներկայացնել

$$\varepsilon_k = \hbar\omega(k) \cdot n_k \quad (12.22)$$

տեսքով, որը համընկնում է ներդաշնակ տատանակի էներգիական սպեկտրի հետ։ Ուստի ջերմային հավասարակշռության վիճակում  $k$  ալիքային վեկտորով զրգումների (սպինային ալիքների) միջին թիվը կտրվի բողեւյնշտեյնի բաշխումով՝

$$\bar{n}_k = \left[ \exp \frac{\hbar\omega(k)}{k_B T} - 1 \right]^{-1}; \quad (12.23)$$

$T \neq 0K$  ջերմաստիճանում համակարգում զրգոված սպինային ալիքների լրիվ թիվը (անկախ  $k$  ալիքային վեկտորի արժեքից) տրվում է

$$\sum_k n_k = \sum_k \bar{n}_k = \int_{\Omega_0} \frac{V dk}{(2\pi)^3} \bar{n}_k = \int_0^{\omega_m} G(\omega) \bar{n}(\omega) d\omega \quad (12.24)$$

արտահայտությամբ, որտեղ ինտեգրումն ըստ  $k$ -ի կատարվում է Բրիլյուենի գոնայի  $\Omega_0$  ծավալով, իսկ  $\omega_m$ -ը սպինային ալիքի ամենամեծ հնարավոր հաճախությունն է։ Վիճակների խառնության ֆունկցիան՝

$$G(\omega) = \frac{4\pi k^2}{(2\pi)^3} \frac{dk}{d\omega} V : \quad (12.25)$$

Եթե  $k = k_{\max}$ , ինչը համապատասխանում է Բրիլյունի զոնայի սահմանին,  $k_m \delta = \pm\pi$ , ուստի, նկատի ոնենալով (12.11) առնչությունը, կարող ննջ գրել, որ (տես նաև (11.25) բանաձեր)

$$\frac{\hbar\omega(k_{\max})}{k_B T} = \frac{\hbar\omega_m}{k_B T} = \frac{2JSz}{k_B T} = \frac{6}{S+1} \cdot \frac{T_c}{T}, \quad (12.26)$$

որտեղ  $T_c$ -ն կյուրիի չերմաստիճանն է: Քննարկվող դեպքում  $T \ll T_c$ , ուստի մեծ հաճախություններով (մեծ  $k$ -երով) սպինային ալիքների ներդրումը (12.24) ինանգրալում կարելի է արհամարիել նրանց միջին քվի էքսպոնենցիալ փոքր լինելու պատճառով և ինտեգրումը կատարել ( $0, \infty$ ) տիրույթում: Այսպիսով, հիմնական ներդրումը (12.24) ինանգրալում պայմանավորված է փոքր ( $k\sigma \ll 1$ ) ալիքային քվով սպինային ալիքներով, որոնց դիմավերման հավասարումը տրվում է (12.14) առնչությամբ: Այս մոտավորությամբ վիճակների խառնության ֆունկցիայի համար (12.25) արտահայտությունից կստանանք՝

$$G(\omega) = \frac{V}{4\pi^2} \left( \frac{\hbar}{JS\alpha^2} \right)^{3/2} \cdot \omega^{1/2} : \quad (12.27)$$

Տեղադրելով (12.23) և (12.27) արահայտությունները (12.24) ինանգրալում, կստանանք՝

$$\sum_k \bar{n}_k \approx \frac{V}{(2\pi)^2} \left( \frac{\hbar}{JS\alpha^2} \right)^{3/2} \int_0^\infty \frac{\omega^{1/2} d\omega}{\exp\left(\frac{\hbar\omega}{k_B T}\right) - 1} =$$

$$= \frac{V}{(2\pi)^2} \left( \frac{k_B T}{JS\alpha^2} \right)^{3/2} \int_0^\infty \frac{t^{1/2} dt}{e^t - 1} = \frac{V}{(2\pi)^2} \left( \frac{k_B T}{JS\alpha^2} \right)^{3/2} \zeta\left(\frac{3}{2}\right) \cdot \Gamma\left(\frac{3}{2}\right),$$

որտեղ  $\zeta(3/2) \approx 2,612$  ( $\zeta$ -ն ՈՒմանի ֆունկցիան է),  $\Gamma(3/2) = \sqrt{\pi}/2$ :

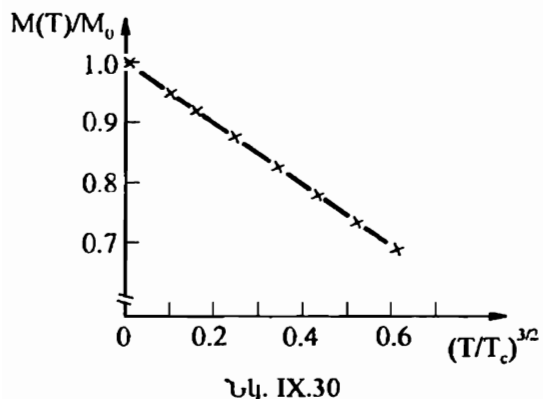
Մագնիսացվածության հարաբերական փոփոխությունը տրվում է հնտկյալ բանաձևով՝

$$\frac{\Delta M}{M_0} = \frac{1}{N_0 S} \cdot \frac{1}{V} \sum_k \bar{n}_k , \quad (12.29)$$

որտեղ  $N_0 = Q/a^3$  մեծությունը ասումների թիվն է միավոր ծավալում, իսկ  $Q = 1,2,4$  համապատասխանաբար պարզ ծավալակենարոնացված և նիստակենարոնացված խորանարդային ցանցերի համար: (12.28) և (12.29) բանաձևերից ստացվում է ֆետոնագնիսական նմուշի մագնիսացվածության չերմաստիճանային կախումը  $T << T_c$  տիրույքում:

$$M(T) = M_0 \left( 1 - \frac{\Delta M}{M_0} \right) = M_0 \left[ 1 - \frac{0,0587}{SQ} \left( \frac{k_B T}{JS} \right)^{3/2} \right] : \quad (12.30)$$

Այս բանաձևը հայտնի է որպես Բլոխի «3/2»-ի օրենք: Ստացված չերմաստիճանային կախումը հետևանք է (12.14) դիսալերսիոն հավասարման և, ի տարրերություն (8.12) արտահայտության, համապատասխանում է վորձում ստացվող արդյունքներին: Չերմաստիճանի բարձրացմանը գուգընթաց մագնիսացվածության նվազումը պայմանավորված է սպինային ալիքների թվի մնացմամբ: Նկ. IX.30-ում պատկերված է զարդարինիտմի ( $T_c = 293K$ ) հարարերական մագնիսացվածության  $(T/T_c)^{3/2}$ -ից ունեցած



Նկ. IX.30

կախման գրաֆիկը, որն ուղիղ զիծ է, ինչը համապատասխանում է Բլոխի (12.30) օրենքին:

Սպինային ալիքներ կարող են գրգռվել նաև հակաֆեռումագնիսական նյութերում: Սպինային ալիքների տեսությունը հակաֆեռումագնիսներում զգալիքնեն բարդ է. ամենաընդհանուր դեպքում նրանցան գրգռվում են իրարից տարբեր դիսալերսիոն հավասարումներով սպինային ալիքներ: Մասնավորապես, իզոտրոպ հակաֆեռումագնիսական նյութում

գրգռվում են իրարից տարբեր դիսալերսիոն հավասարումներով սպինային ալիքներ: Մասնավորապես, իզոտրոպ հակաֆեռումագնիսական նյութում

արտաքին մագնիսական դաշտի բացակայությամբ, սպինային ալիքի դիսպերսիոն հավասարումը կամայական  $k$ -երի համար գծային է:

$$\omega(k) = \frac{J\sigma}{\hbar} [S(S+1)]^{1/2} k : \quad (12.31)$$

Սպինային ալիքների դիսպերսիոն հավասարման գլուխնայր հնարավորություն է այլիս որոշել նաև եամակարգի ջերմունակության մեջ նրանց ներդրումը: Մասնավորապես, վերն արված ենքաղրությունների շրջանակներում, օգտվելով (12.23), (12.27) առնչություններից և ջերմունակության սահմանումից, ֆլոռմագնիսում սպինային ալիքների ներդրման համար կստանանք՝

$$C_{VS}^F = \frac{\partial}{\partial T} \int_0^\infty \hbar \omega \bar{n}(\omega) G(\omega) d\omega = \frac{\partial}{\partial T} \left\{ \frac{V\hbar}{4\pi^2} \left( \frac{\hbar}{JS\sigma^2} \right)^{3/2} \left( \frac{k_B T}{\hbar} \right)^{5/2} \int_0^\infty \frac{t^{3/2} dt}{e^t - 1} \right\} = \\ = \frac{Vk_B}{\sigma^3} \left( \frac{k_B T}{JS} \right)^{3/2} \frac{15\zeta(5/2)}{32\pi^{3/2}} \equiv AT^{3/2} : \quad (12.32)$$

Առանց մանրամասն արտածումների, նկատի ունենալով միայն (12.31) դիսպերսիոն հավասարման նմանությունը (այն է՝ գծայնությունը) ցանցային տատանումների դիսպերսիոն հավասարմանը երկարալիքային սահմանում (Մաս I, IV.4.7) և ցանցային ջերմունակության արտահայտությունը (Մաս I, IV.4.37), հակաֆենոմագնիսի ջերմունակության մեջ սպինային ալիքների ներդրման ջերմաստիճանային կախման համար կստանանք  $C_{VS}^{AF} \sim T^3$  կախումը, որը Դերայի օրենքի նմանակն է:

### §13. Մագնիսական անիզոտրոպություն

Բացի փոխանակային վիճակություններից, որոնք որոշում են մագնիսական կարգավորվածության բնույթը և ունեն կովոնյան ծագում, մագնիսակարգավորված նյութերում կարևոր դեր են խաղած նաև մագնիսական բնույթի ուժերը, որոնք զգալիորեն բույլ են կովոնյան ուժերից: Փոխանակային վիճակությունն օժաված է իզոտրոպությամբ, քանի որ այն բերում է փոխագորդ սպիների գուգահեռության կամ հակազուգահեռության (կախված փոխանակային ինտեգրալի նշանից) և ոչ մի կերպ չի որո-

շամ նրանց ուղղությունները տարածական ցանցի նկատմամբ: Միայն վոխանակային փոխազդեցության առկայության պայմաններում մազնիսակարգավորված բյուրեղի մազնիսացվածության վեկտորի ուղղությունը բյուրեղում կլիներ լրիվ անորոշ: Սակայն, ինչպես ցույց է տալիս փորձը, իոնների մազնիսական մոմենտները (սպիները) մազնիսակարգավորված բյուրեղում ուղղված են ոչ քև պատահականորեն, այլ բյուրեղագրուսկան առանցքների նկատմամբ միանգամայն որոշակի անկյուններով: Այս երևույթը՝ մազնիսացվածության վեկտորի կախումը ուղղությունից, հայտնի է որպես մազնիսաբյուրեղագրական անիզուրոպություն և պայմանավորված լ մազնիսական բնույթի փոխազդեցությունների գոյությամբ:

Այս փոխազդեցություններից առաջինը դիպոլ-դիպոլային փոխազդեցությունն է, որը  $\mu = g\mu_B S$  մազնիսական մոմենտով և իրարից  $r_{ij}$  եւտավորության վրա գտնվող  $i$  և  $j$  մոմենտների համար արվում է

$$E_{ij} = \frac{g^2 \mu_B^2}{r_{ij}^3} \left[ S_i S_j - \frac{3(S_i r_{ij})(S_j r_{ij})}{r_{ij}^2} \right] \quad (13.1)$$

արտահայտությամբ, որի համաձայն փոխազդեցության էներգիան կախված է  $r_{ij}$  շառավիղ-վեկտորի կամ, այլ կերպ ասած, բյուրեղական ցանցի նկատմամբ  $S_i$  և  $S_j$ , սպիների դիրքից: Արդյունքում սպիները ցանցի նկատմամբ կողմնարոշվում և այնպես, որ նրանց լրիվ էներգիան ըստ ցանցի բռնոր ատոմների, այսինքն  $E_{ij}$  մեծությունների գումարը լինի նվազագույնը: Ընդումին, միմյանց նկատմամբ հարեւն սպիների կողմնարոշումը մնում է անփոփոխ, քանի որ այն պայմանավորված է շաա ավելի ուժեղ փոխանակային փոխազդեցությամբ: Բյուրեղագրական ուղղությունը, որով ուղղվում են այսիները էներգիայի մինիմումի պայմաններում, ընդունված է անվանել հեշտ մազնիսացման ստդություն կամ հեշտ մազնիսացման առանցք:

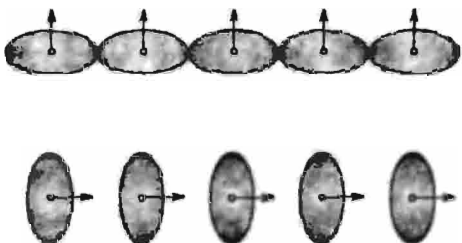
Մազնիսական բնույթի մյուս փոխազդեցությունը, որը նույնպես կախված է սպիների՝ ցանցի նկատմամբ կողմնարոշումից, պայմանավորված է սպին-ուղևծրային փոխազդեցությամբ, որը բնութագրվում է

$$E_{sl} \sim \lambda(LS) \quad (13.2)$$

Եներգիայով, որտևել  $L$ -ը ատոմի ուղեծրային մոմենտն 1, որը որոշում է ատոմի (իոնի) էլեկտրոնային ամպի տևաքը, և հաստատության կախված չէ.  $L$ -ից և  $S$ -ից և համեմատական է  $(Ze^2/\hbar c)^2$  մեծությանը ( $Z$ -ը ատոմի լիարգարիվն է): Բյուրեղում ատոմների (իոնների) էլեկտրոնային քաղաքները որոշակի դիրքեր են զրագում տարածական ցանցի նկատմամբ, ինչն, իր ենթիմ, բերում է սպիների որոշակի կողմնորոշման ցանցի նկատմամբ: Մազնիսարյութեղագրական անլիգոտրոպությանը սխեմատիկորեն պատկերված է նկ. IX.31-ում, որից հետևում է, որ էլեկտրոնների փոխանակային փոխազդեցության լներգիաների տարբերությունը հետևանք է էլեկտրոնային ամպերի ծածկման տարբերության:

Մազնիսական փոխազդեցություններին հաճապատասխանության մեջ է դրվում որոշակի լներգիա, որը կախված է մազնիսական մոմենտի՝ տարածության մեջ ունեցած դիրքից և կոչվում է անլիգոտրոպության լներգիա: Անլիգոտրոպության լներգիան զգալիորեն բույլ է

փոխանակային փոխազդեցության լներգիայից, քանի որ ոնի ռեսանիվիստական ծագում իրոք



Նկ. IX.31

$$E_y \sim \frac{\mu_B^2}{r_y^3} \sim \frac{\mu_B^2}{a_B^3} \sim \left( \frac{e\hbar}{mc} \right)^2 \cdot \left( \frac{me^2}{\hbar^2} \right)^3 \sim \left( \frac{e^2}{\hbar c} \right)^2 \cdot \frac{me^4}{\hbar^2} \sim \alpha^2 \cdot Ry,$$

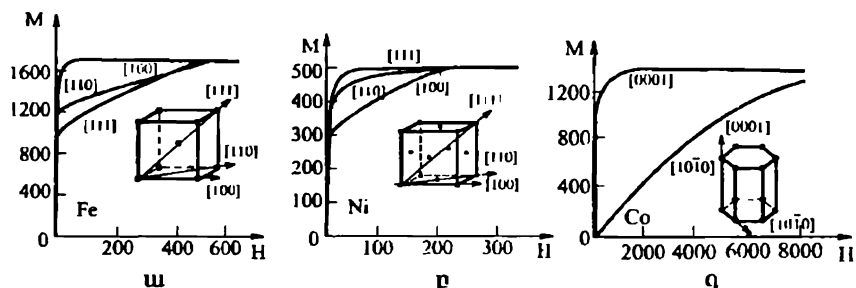
$$E_{sl} \sim \lambda \sim \left( \frac{Ze^2}{\hbar c} \right)^2 Ry \sim Z^2 \cdot \alpha^2 \cdot Ry,$$
(13.3)

որտեղ  $\alpha = e^2/\hbar c \approx 1/137$  մեծությունը նույր կառուցվածքի հաստատունն է, իսկ  $Ry = me^4/2\hbar^2 \approx 13,6$  էՎ. Ռիդրեզի լներգիան: Ըստ (13.3) բանաձևի  $E_y \sim 10^{-4}$  էՎ, իսկ  $E_{sl} \sim 10^{-2}$  էՎ ( $Z \sim 10$ ): Այս է պատճառը, որ բյուրեղի մազնիսացվածության մեծությունը որոշելիս անլիգոտրոպության լներգիան

հաշվի չի առնվում. այն որոշում է միայն մագնիսացվածության վեկտորի ուղղությունը:

Խորանարդային բյուրեղի (օրինակ՝ երկարի) հեշտ մագնիսացման ուղղությունները համընկնում են խորանարդի կողերի հետ, իսկ հերսազնալ բյուրեղի (օրինակ՝ կորալայի) հեշտ մագնիսացման ուղղությունը համընկնում է վեցերորդ կարգի առանցքի հետ: Նկ. IX.32-ում բերված են մագնիսացվածության արտաքին մագնիսական դաշտի լարվածությունից կախման զրաֆիկները տարրեր բյուրեղագրական ուղղությունների համար:

Ինչպես երևում է բերված կրուսերից, երկարի համար ենշտ մագնիսացման ուղղությունը է [100], Եիկենի համար՝ [111], կորալտի համար՝ [0001] ուղղությունը, իսկ դժվար մագնիսացման ուղղություններն են համապատասխանարար [111]-ը (Fe), [100]-ն (Ni) և [10<sup>-1</sup>0]-ն (Co):



Նկ. IX.32

Եթե բյուրեղը մագնիսացվել է ինչ-որ ուղղությամբ, ապա նմուշի միավոր ծավալի մագնիսական անիզուարության էներգիան արտահայտվում է մագնիսացվածության վեկտորի բյուրեղագրական ուղղությունների հետ կազմած ուղղորդ կոսինուսներով՝

$$E_{\alpha} = \Phi(\alpha_1, \alpha_2, \alpha_3), \quad (13.4)$$

որտեղ  $\Phi$ -ն  $\alpha$ , ուղղորդ կոսինուսների գույզ ֆունկցիա է, քանի որ բյուրեղագրական առանցքների հակառակ ուղղությունները մագնիսական տեսակետից իրար համարժեք են: Խորանարդային բյուրեղների համար այն նաև համաչափ ֆունկցիա է  $\alpha$ ,  $\leftrightarrow \alpha$ , փոխառեղությունների նկատմամբ: Ըստ  $\alpha_i$  փոփոխականների ամենացածր՝ քառակուսային կարգում, նշված պայ-

մանմերին բավարարում է  $\alpha_1^2 + \alpha_2^2 + \alpha_3^2$  ձևը, որը, սակայն հավասար է միավորի և չի կարող նկարագրել անիզոտրոպության երևոյթը: Հաջորդ՝ ըստ  $\alpha$ , փոփոխականների չորրորդ և վեցերորդ աստիճանի անդամները տրվում են համապատասխանաբար

$$\alpha_1^4 + \alpha_2^4 + \alpha_3^4 = 1 - 2(\alpha_1^2\alpha_2^2 + \alpha_2^2\alpha_3^2 + \alpha_1^2\alpha_3^2) \quad (13.5)$$

և

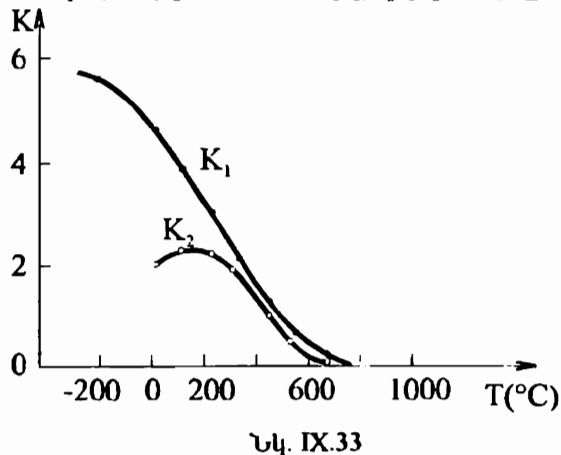
$$\alpha_1^6 + \alpha_2^6 + \alpha_3^6 = 1 - 3(\alpha_1^2\alpha_2^2 + \alpha_2^2\alpha_3^2 + \alpha_1^2\alpha_3^2) + 3\alpha_1^2\alpha_2^2\alpha_3^2 \quad (13.6)$$

բանաձևերով, որոնք ստանալիս օգտվել ենք  $(\alpha_1^2 + \alpha_2^2 + \alpha_3^2)^n = 1$  ( $n = 0, 1, 2, \dots$ ) նույնությունից: Այսպիսով, ներառյալ  $\alpha$ , փոփոխականների վեցերորդ կարգի անդամները, խորանարդային բյուրեղի անիզոտրոպության էներգիայի խտորդյան համար կարող ենք գրել՝

$$E_a = K_1(\alpha_1^2\alpha_2^2 + \alpha_2^2\alpha_3^2 + \alpha_1^2\alpha_3^2) + K_2\alpha_1^2\alpha_2^2\alpha_3^2, \quad (13.7)$$

որտեղ  $K_1$  և  $K_2$  գործակիցները կոչվում են անիզոտրոպության առաջին և երկրորդ հաստատունները: Հաճախ (13.7) բանաձևում երկրորդ գումարելին արհանարիվում է առաջինի նկատմամբ: Անիզոտրոպության հաստատունների նշանները և մեծությունները որոշում են տվյալ բյուրեղի համար «հեշտ» մազնիսացման բյուրեղագրական ուղղությունը: Նկ. IX.33-ում պատրաված են անիզոտրոպության հաստատունների զերմաստիճանային կախման կորերը

երկարի համար ( $K$ -ն տրված է  $10^5$  լրդ/ամ<sup>3</sup> միավորներով): Զերմաստիճանի աճի հետ անիզոտրոպության հաստատունները նվազում են և ձգտում գրոյի, եթե  $T \rightarrow T_c$ :



Նկ. IX.33

## §14. Ֆեռոմագնիսական դոմեններ

Ֆեռոմագնիսի ֆիզիկական հատկություններն ուսումնասիրելիս մինչև այժմ ենթադրվել է, որ բյուրեղի ոլց ծավալում մագնիսացվածությունը (վորք տատանումների ճշառությամբ, պայմանավորված սպինային ալիքների գոյությամբ) ունի միևնույն մեծությունն ու ողդությունը: Սակայն եթե սենյակային ջերմասահմաններում դիտարկենք, օրինակ՝ կրկարի ( $T_c \sim 1000\text{K}$ ) մի կառու, ապա հեշտությամբ կհամոզվենք, որ նրա մագնիսացվածությունը շատ փոքր է հազեցման վիճակին համապատասխանող արժեքից, և հազեցում սահմանալու համար պահանջվում է արտաքին մագնիսական դաշտ:

Այս վասարը բացատրենու համար անհրաժեշտ է դիտարկել մագնիսական մոմենտների դիպոլային վոլտագրեցությունը, որն առաջման արհամարիվել է փոխանակային փոխագդեցության նկատմամբ: Սակայն փոխանակային փոխագդեցությունն ունի ցանցի հասսատունի կարգի գործության շառավիղ, ուստի սպինների միջև հեռավորությունն աճելիս այն շատ արագ (էքսպոնենցիալ օրենքով) նվազում է, ի արդեռություն դիպոլային փոխագդեցության, որը նվազում է  $r^{-3}$  օրենքով: Այս կրկու փոխագդեցությունների մրցակցության արդյունքում մակրոսկոպական նմուշի մագնիսական վտադասավորությունը կարող է բավականաչափ բարդ լինել, քանի որ հակայական բվով սպինների դիպոլային փոխագդեցության էներգիան դառնում է զգալի, և նրա ազդեցությունը կարող է էապես փոխել փոխանակային փոխագդեցության անսանկյունից նպաստավոր սպինային փոխադասավորությունը:

Դիպոլային փոխագդեցության անսանկյունից ֆեռոմագնիսական նմուշի համասեռ մագնիսացվածության վիճակը բոլորովին նպաստավոր չէ: Իրոք, համասեռ մագնիսացվածության վիճակում նմուշի հանդիպակաց մակերևույթների վրա տեղի ունի մագնիսացվածության բրիչք, քանի որ նմուշում  $M \neq 0$ , իսկ նրանից դուրս  $M = 0$ , այսինքն՝  $\text{div } M \neq 0$ : Համաձայն մագնիսաստիկայի հիմնական հավասարման՝

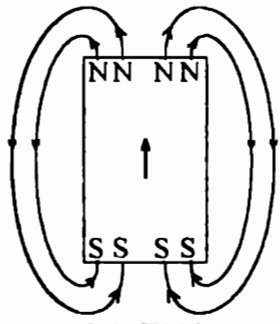
$$\text{div } B = \text{div}(H + 4\pi M) = 0, \quad (14.1)$$

կամ

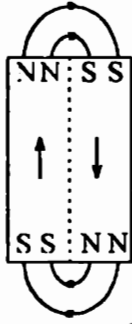
$$\text{div } H = -4\pi \text{div } M \neq 0, \quad (14.2)$$

որտևնդից անմիջապես հետևում է, որ  $H \neq 0$ : Ընդունված է ասել, որ նմուշի մակերևույթի վրա առաջանում ևն «մագնիսական բևեռներ» (նկ. IX.34): Նմուշը հանդիս է զայիս որպես մագնիս, որը շրջապատող տարածության մեջ ստելարում է զզայի էներգիայով օժտված մագնիսական դաշտ: Մագնիսական էներգիան՝

$$E_m = \frac{1}{8\pi} \int B^2 dV , \quad (14.3)$$



Նկ. IX.34



Նկ. IX.35

որտև ինսեկտումը կապարվում է ամբողջ տարածությամբ՝ ներառյալ նմուշի  $V$  ծավալը:

$$\text{Նմուշից դուրս } M = 0, H \sim r^{-3}, \text{ իսկ նմուշի ներսում } H = 0, \text{ ուստի } B = 4\pi M : \quad (14.4)$$

Արդյունքում մագնիսական էներգիայի համար կստանանք հետևյալ զնահատականը՝

$$E_m = \frac{1}{8\pi} \int (4\pi M)^2 dV + \frac{1}{8\pi} \int H^2 dV \sim 2\pi M^2 V : \quad (14.5)$$

Դիպոլային վտխագղեցության, հետևաբար և մագնիսական էներգիան էապես կփոքրանա, եթե նմուշը տրոհվի առանձին մակրոսկոպական տիրույթների՝ դոմենների, որոնց մագնիսական մոմենտների ուղղությունները լիստ աւարքեր են (նկ. IX.35):

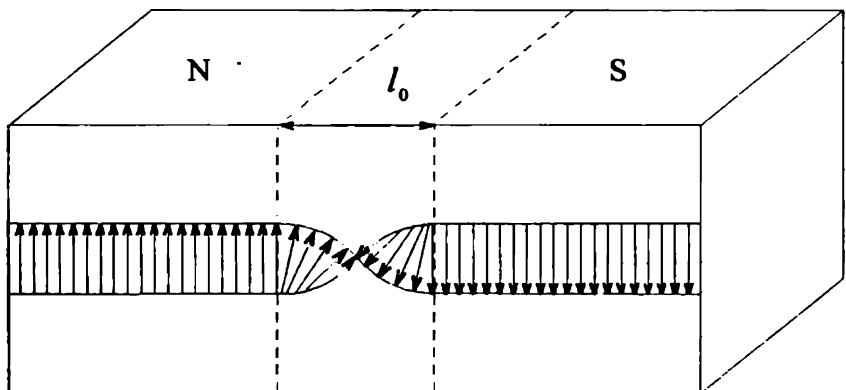
Իրոք, եթե նմուշը արտիվի  $n$  թվով դոմենների, ապա յուրաքանչյուր դոմենում հագեցման մագնիսացվածությունը հավասար կլինի  $M/n$ , իսկ

## Նմուշի մագնիսական էներգիան՝

$$E_m \sim n \left( \frac{M}{n} \right)^2 V \sim \frac{1}{n} M^2 V , \quad (14.6)$$

որը  $n$  անգամ փոքր է դրմենների չտրոհված նմուշի մագնիսական էներգիայից: Հետևաբար՝ մագնիսական (դիպոլային) փոխազդեցության տեսանկյունից նպատակահարմար է նմուշի՝ հնարավորին չափ շատ դոմենների տրոհվելը:

Մյուս կողմից, դրմենների տրոհված նմուշում հարեան դոմենների սպիներն ունեն իրարից զգալիորեն տարբեր ուղղություններ, որի հետևանքով սպիների փոխանակային փոխազդեցության էներգիան մեծանում է: Սակայն վերջինիս կարճազդեցության հետևանքով այն կմեծանա միայն դոմենների բաժանման սահմանին մոտ գտնվող սպիների համար: Արան հակառակ, դիպոլային փոխազդեցության էներգիայի փոքրացումն իրենից ներկայացնում է ծավալային երևոյթ: Արդյունքում դրմենների տրոհվելու հետևանքով նմուշի լրիվ էներգիան փոքրանում է, քանի որ բոլոր սպիների դիպոլային փոխազդեցության էներգիայի արդյունարար նվազումը, որպես ծավալային երևոյթ ( $\sim V$ -ին), կարող է զերազանցել դրմենների բաժանման սահմաններին մոտ գտնվող սպիների փոխանակային փոխազդեցության արդյունարար աճը, որպես մակերևությային երևոյթ ( $\sim S_D$ ), եթե, իհարկե, դրմենները դեռևս շատ փոքր չեն (տես՝ ստորև):



Նկ. IX.36

Միջլումնային սահմանի առաջացումով պայմանավորված աճը կարելի է փոքրացնել, եթե մի դամենից մյուսին անցնելիս սպիտակ ուղղությունները փոխվեն ոչ թե ցանցի հաստատնի, այլ նրանից զգալիորեն մեծ երկարության վրա, ընդգրկելով որոշակի անցումային շերտ (դոմենային կամ Բլոխի պատ, նկ. IX.36):

Իրոք, սպիտակ դասականորեն դիտարկելիս երկու սպիտակ փոխանակային փոխագոյեցության էներգիան՝

$$H_s = -\mathbf{J} \cdot \mathbf{S}_1 \mathbf{S}_2 = -JS^2 \cos \varphi , \quad (14.7)$$

որտեղ  $\varphi$ -ն սպիտակի միջև անկյունն է: Երկու հարևան  $180^\circ$ -աստիճանային ( $\varphi = 180^\circ$ ) դամեններին պատկանող սպիտակի համար (նկ. IX.35)  $H_s = JS^2$ : Մյուս կողմից, եթե մի դամենից մյուսին անցումը կատարված է  $N$  հավասար քայլերով, ապա երկու հարևան սպիտակի միջև անկյունը՝  $\varphi = \pi/N$  ( $N \gg 1$ ), իսկ նրանց փոխանակային փոխագոյեցության էներգիան՝

$$H'_s = -JS^2 \cos \frac{\pi}{N} \approx -JS^2 \left[ 1 - \frac{1}{2} \left( \frac{\pi}{N} \right)^2 \right] : \quad (14.8)$$

Սպիտակ շրջվելը  $180^\circ$ -ով կատարված է  $N$  քայլով, ոստի դրա համար պահանջվող էներգիան կլինի հավասար

$$\Delta E = N \left[ H'_s - (-JS^2) \right] = \frac{\pi^2}{2N} \cdot JS^2 , \quad (14.9)$$

որը  $2N/\pi^2$  անգամ փոքր է  $H_s = JS^2$  էներգիայից: Համաձայն (14.9) արտահայտության,  $\Delta E \sim N^{-1}$ , ոստի անցումային տիրույթը՝ Բլոխի պատը, կարող է հաստությամբ հավասարվել նմուշի չափերին: Սակայն դրան խոչընդոտում է մազնիսական անիզոտրոպության երևույթը, այսինքն՝ Բլոխի պատի վերջավոր  $I_0$  լայնություն ունենալը պայմանավորված է անիզոտրոպության էներգիայի գոյությամբ: Գնահատենք  $I_0$ -ն (նկ. IX.36):

Պատի միավոր մակերեսին քաժին ընկնող էներգիան հավասար է փոխանակային փոխագոյեցության և անիզոտրոպիայի էներգիաների գումարին:

$$\sigma = \sigma_{\text{ee}} + \sigma_a : \quad (14.10)$$

Պասի միավոր մակերեսով անցնող աստօմական (սպինային) շղթաների քիվը (նկ. IX.36-ում պատկերված է մեկ այդպիսի շղթա) հավասար է  $1/\alpha^2$  : Բազմապատկելով այն մեկ աստօմական շղթայի  $\Delta E$  էներգիայով՝ (14.9) արտահայտությամբ, կստանանք միավոր մակերեսին բաժին ընկնող փոխանակային էներգիան՝

$$\sigma_{ex} = \frac{1}{\alpha^2} \cdot \Delta E = \frac{\pi^2 JS^2}{2Na^2} : \quad (14.11)$$

Ըստ մեծության կարգի, պատի միավոր մակերեսին բաժին ընկնող անիզոտրոպության էներգիան՝

$$\sigma_a = \frac{E_a Na S_0}{S_0} \approx KNa , \quad (14.12)$$

որտեղ  $K$ -ն անիզոտրոպության հաստատունն է,  $S_0$ -ն՝ պատի մակերեսը: Տեղադրենք (14.11) և (14.12) արտահայտությունները (14.10) աւճության մեջ և որոշենք նրա մինիմումն ըստ  $N$ -ի՝

$$\left( \frac{d\sigma}{dN} \right)_{N=N_0} = -\frac{\pi^2 JS^2}{2a^2 N_0^2} + Ka = 0 , \quad (14.13)$$

որտեղից՝

$$N_0 = \pi \left( \frac{JS^2}{2a^2 K} \right)^{1/2} \quad (14.14)$$

Բլոխի սլատի հաստությունը՝

$$I_0 = aN_0 = \pi \left( \frac{JS^2}{2aK} \right)^{1/2} , \quad (14.15)$$

իսկ պատի միավոր մակերեսին բաժին ընկնող էներգիան՝

$$\sigma_0 = \frac{\pi JS^2}{2a^3 N_0} + KaN_0 = \pi \left( \frac{JS^2 K}{a} \right)^{1/2} \quad (14.16)$$

Թվային գնահատումներ կատարելու համար նպաստակահարմար է ստացված արտահայտություններում օգտագործել վոլխանակային  $J$  ինտեգրալի և կյուրիի  $T_c$  ջերմաստիճանի միջև (11.25) կապը, որի օգնությամբ կստանանք՝

$$N_0 \approx \left( \frac{k_B T_c}{Ka^3} \right)^{1/2}, \quad l_0 \approx \left( \frac{k_B T_c}{Ka} \right)^{1/2}, \quad \sigma_0 \approx \left( \frac{K \cdot k_B T_c}{a} \right)^{1/2}; \quad (14.17)$$

Երկարի համար ( $T_c \approx 1000\text{K}$ ,  $a \approx 3\text{\AA}$ ) սենյակային ջերմաստիճաններում ( $K \approx 4 \cdot 10^5 \text{էրգ/սմ}^2$ ) ստացվում են հետևյալ բնութագրական արժեքները՝

$$N_0 \approx 300, \quad l_0 \approx 1000\text{\AA} = 10^{-8}\text{սմ}, \quad \sigma_0 \approx 1\text{էրգ/սմ}^2,$$

այսինքն երկու հարկան դրմենների միջև անցումային շերտի լայնությունը՝  $l_0 >> a$ , իսկ սպինի պտույտն իրականացվում է  $N_0 >> 1$  սպինների փոքր՝  $\varphi_0 = \pi/N_0 \leq 1^\circ$  անկյունով պտույտների արդյունքում:

Այժմ որոշենք դրմենի չափերը:

Դիտարկենք շերտավոր դրմենային կառուցվածք ունեցող ֆեռոմագնիսական նմուշ, որն ունի  $L$  կողով խորանարդի սենք (նկ. IX.37):  $D$ -ն դրմենի լայնությունն է,  $n$ -ը՝ դրմենների քիվը: Նմուշի մազնիսական էներգիան տրվում է (14.6) բանաձևով՝

$$E_m \approx \frac{1}{n} M^2 V = \frac{L^3}{n} M^2 = DL^2 M^2, \quad (14.18)$$

իսկ դրմենային պատերի լրիվ էներգիան՝

$$E_w \approx \sigma_0 L^2 n = \frac{\sigma_0 L^3}{D}; \quad (14.19)$$

Նմուշի միավոր ծավալին բաժին ընկնող էներգիան՝

$$\varepsilon = \frac{1}{L^3} (E_m + E_w) = \frac{\sigma_0}{D} + \frac{DM^2}{L} \quad (14.20)$$

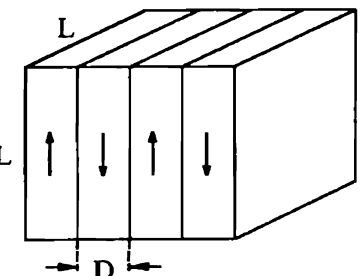
ունի մինիմալ արժեք, եթե՝

$$\left( \frac{d\varepsilon}{dD} \right)_{D=D_0} = -\frac{\sigma_0}{D_0^2} + \frac{M^2}{L} = 0, \quad (14.21)$$

որսեղից

$$D_0 = \left( \frac{L\sigma_0}{M^2} \right)^{1/2} = \frac{1}{M} (L\sigma_0)^{1/2} \sim L^{1/2}, \quad (14.22)$$

իսկ էներգիայի խսությունը՝



Նկ. IX.37

$$\varepsilon_0 = \frac{2\sigma_0}{D_0} = 2M \left( \frac{\sigma_0}{L} \right)^{1/2} \sim \frac{1}{\sqrt{L}} : \quad (14.23)$$

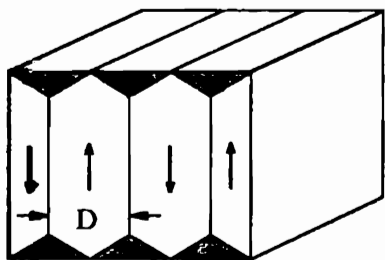
Համաձայն (14.22) բանաձևի, որքան մեծ է հազեցման  $M$  մագնիսացվածությունը, այնքան փոքր է դրամենի  $D_0$  հաստությունը, այսինքն՝ այնքան շատ դրամենների է բաժանվում նմուշը.

$$n_0 = \frac{L}{D_0} = \frac{LM}{\left(L\sigma_0\right)^{1/2}} = M \left( \frac{L}{\sigma_0} \right)^{1/2} \quad (14.24)$$

Սյուս կողմից, մեծ  $\sigma_0$ -ին համապատասխանում է մեծ  $D_0$ , այսինքն՝ պատստեղծելու համար անհրաժեշտ էներգիայի մեծացումը խոչընդոտում է դրամենների բաժանման պրոցեսին:

Ըժային գնահատումների համաձայն, երկարի  $L = 1$  սմ կրողվ և  $M \approx 2 \cdot 10^2$  գս մոմենտով խորանարդային նմուշի համար  $D_0 \approx 5 \cdot 10^{-3}$  սմ, որի ավելի քան երկու կարգով գերազանցում է Բլիխի պատի  $I_0$  հաստությունը, իսկ  $\varepsilon_0 \approx 5 \cdot 10^2$  էրգ/սմ<sup>3</sup>: Համասեռ մագնիսացված նմուշի համար  $\varepsilon_0 \sim M^2 \sim 4 \cdot 10^4$  էրգ/սմ<sup>3</sup>, այսինքն՝ դրամենների շտրուկած վիճակում մագնիսացման էներգիան մոտ երկու կարգով գերազանցում է նույն նմուշի՝ դրամենների տրուկած վիճակում ունեցած էներգիան: Այս է պատճառը, որ թերմոդինամիկական հավասարակշռության վիճակում ֆեռոմագնիսական նմուշը տրուկում է դրամենների:

Դիտարկենք այժմ Լանդաու-Լիֆշիցի տիպի դրամենային կառուցվածք (Նկ. IX.38): Տվյալ դեպքում նմուշի հանդիպակաց նիստերին մագնիսական բևեռներ չեն առաջանում, ուստի մագնիսական դաշտը նմուշից դուրս բացակայում է և  $E_m = 0$ : Եռանկյուն կտրվածքով «վիակոր» դրամենները շերտավոր դրամենների նկատմամբ ունեն  $90^\circ$ -ով շեղված և դժվար մագնիսական առանցքով ուղղված մագնիսական մոմենտներ, ուստի նրանց հետ կապված է մագնիսարյութեղագրական անիզոտրոպության որոշակի էներգիա՝



Նկ. IX.38

$$E_a \approx K \cdot V_1, \quad (14.25)$$

որտեղ  $V_1$  -ը  $90^\circ$ -ի դոմենների զբաղեցրած ծավալն է՝

$$V_1 = \frac{D^2}{4} L \cdot 2n = \frac{DL^2}{2} : \quad (14.26)$$

(14.26), (14.25) և (14.19) բանաձևերից հետևում է նմուշի միավոր ծավալի

$$\varepsilon' = \frac{1}{L^3} \left( \frac{\sigma_0 L^3}{D} + K \frac{DL^2}{2} \right) = \frac{\sigma_0}{D} + \frac{KD}{2L} \quad (14.27)$$

Էներգիայի արտահայտությունը, որն ընդունում է նվազագույն արժեք՝

$$\varepsilon'_0 = \left( \frac{2\sigma_0 K}{L} \right)^{1/2}, \quad (14.28)$$

եթե

$$D'_0 = \left( \frac{2\sigma_0 L}{K} \right)^{1/2} : \quad (14.29)$$

Ինչպես և շերտավոր դամենային կառուցվածքում,  $D'_0 \sim L^{1/2}$  և  $\sigma'_0 \sim L^{1/2}$ :

Էներգիայի խտության համար ստացված (14.23) և (14.28) արտահայտությունների համեմատությունից հետևում է, որ շերտավոր դոմենային կառուցվածքն ավելի նպաստավոր է, քան Լանդաու-Լիֆշիցի տիպի կառուցվածքը, եթե  $\varepsilon_0 < \varepsilon'_0$ , այսինքն՝

$$2M \left( \frac{\sigma_0}{L} \right)^{1/2} < \left( \frac{2\sigma_0 K}{L} \right)^{1/2} \quad \text{կամ} \quad K > 2M^2, \quad (14.30)$$

ինչը համապատասխանում է ուժեղ անիզոտրոպության դեպքին: Հակառակ՝  $K < 2M^2$  դեպքում իրացվում է Լանդաու-Լիֆշիցի տիպի դոմենային կառուցվածքը: Սի տիպի կառուցվածքից մյուսին անցնելու ճշգրիտ պայմանը տրվում է

$$K = 2\pi M^2 \quad (14.31)$$

առնչությամբ:

Համաձայն (14.23) և (14.28) արտահայտությունների, նմուշի էներգիայի խտությունը նրա չափերի վորդացման հետ աճում է  $L^{-1/2}$  օրենքով և բավականաչափ փոքր  $L$ -երի դեպքում այն կարող է այնքան մեծանալ, որ

դոմենային կառուցվածքի առաջանալը դառնա էներգիապես ոչ ձեռնատու, և նմուշը մնա միադրմեն վիճակում: Բանն այն է, որ նմուշի շափերը վորքացնելիս դոմենային պատերի էներգիան կազմում է նմուշի էներգիայի ավելի ու ավելի մեծ մասը:

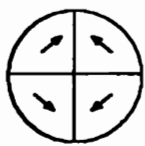
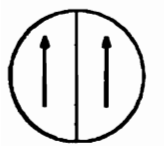
Գնահատենք նմուշի ամենամեծ շափը, որից հետո այն կմնա միադրմեն վիճակում: Եթե նշանակենք  $R$ -ով դոմենի շառավիղը, ապա ըստ մեծության կարգի

$$E_{\text{w}} \sim \sigma_0 R^2 > M^2 R^3 \sim E_{\text{m}},$$

որտեղից

$$R \leq R_0 \sim \frac{\sigma_0}{M^2} \quad (\text{կամ } \frac{\sigma_0}{K} \sim K^{1/2}): \quad (14.32)$$

Եթե  $\sigma \sim 1 \text{ էրգ/սմ}^2$ ,  $M \approx 2 \cdot 10^2$  գս և  $R_0 \approx 10^{-5}$  սմ, այսինքն՝ ավելի փոքր՝  $R < R_0$  շառավղով նմուշները կգտնվեն միադրմեն վիճակում (նկ. IX.39):



Նկ. IX.39

Հարկ է նշել, որ բացի քննարկված գործոններից, դոմենային կառուցվածքի վրա էական ազդեցություն կարող է ունենալ նաև նմուշի կոնկրետ ձևը:

Հակաֆենոմագնիսական բյուրեղներամ գումարային մագնիսա-

կան մոմենտը զրո է, և մագնիսաստանիկ էներգիան հավասար է զրոյի, ուստի պատճառներ չկան, որպեսզի նմուշը տրոհվի դոմենների: Այնուամենայնիվ, ինչպես ցույց են տալիս փորձերը, որոշ դեպքերում հակաֆենոմագնիսական նյութերը նույնպես ունեն դոմենային կառուցվածք, որը, չնայած էներգիական տեսանկյունից ձեռնատու չէ, սակայն կարող է լինել բավականաչափ կայուն:

Այժմ ուսումնասիրներ արտաքին մագնիսական դաշտի ազդեցությունը ֆենոմագնիսական նմուշի դոմենային կառուցվածքի վրա:

Դոմենների տրոհված նմուշը գտնվում է ապամագնիսացված՝  $M = 0$  վիճակում: Արտաքին մագնիսական դաշտ կիրառելիս ծագում է զրոյից տարբեր մագնիսացվածություն, որը դաշտի մեծացմանը զուգընթաց աճում է մինչև բյուրեղի հագեցման մագնիսացվածության  $M_0$  արժեքը: Մագնի-

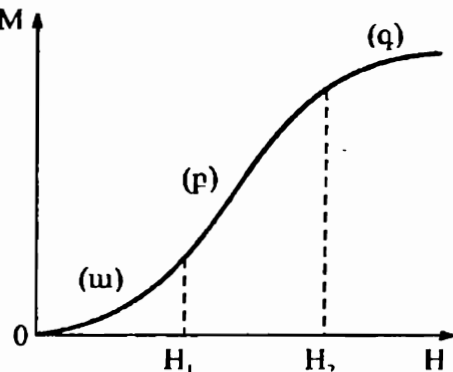
սացվածության արտաքին դաշտից ունեցած ոչ զծային կախումը (նկ. IX.40) պայմանավորված է իրարից անկախ երկու պրոցեսներով.

1. Արտաքին դաշտի նկատմամբ «հարմար» ձևով կողմնորոշված մոմենտներով դոմենների աճ՝ այլ, «ոչ հարմար» կողմնորոշմամբ դոմենների հաշվին: Այս պրոցեսն իրականացնում է քոյլ արտաքին մագնիսական դաշտերում և հետևանք 1. դոմենային սահմանների դարձնելի տեղափոխման, այսինքն՝ երր արտաքին դաշտու ձգտում է զլոյի, դռմանային

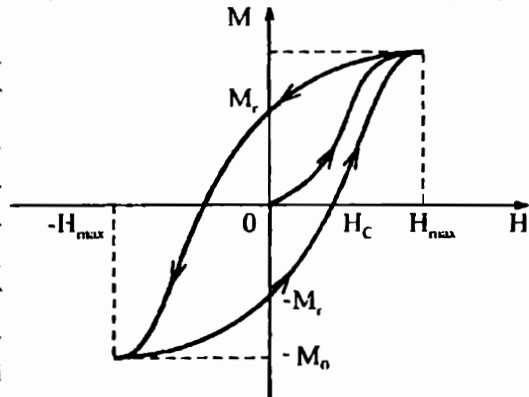
սահմանները վերադառնում են իրենց սկզբնական ( $H = 0$ ) դիրքերին (նկ. IX.40, (ա) ախրոյք՝  $0 \leq H \leq H_1$ ): Դաշտի ենտագու աճը քնրում է դոմենային սահմանների անդարձելի տեղափոխության (նկ. IX.40, (բ) ախրոյք՝  $H_1 \leq H \leq H_2$ ):

2. Ուժեղ ( $H > H_2$ ) արագին դաշտում դռմենների մագնիսական մոմենտների վեկտորների սխույթ՝ դաշտի ուղղությամբ (նկ. IX.40, (զ) ախրոյք):

Եթե մագնիսական դաշտը փոխվի շրջանաձև՝  $0 \rightarrow H_{\max} \rightarrow 0 \rightarrow -H_{\max} \rightarrow 0$ , ապա նմուշի մագնիսացվածության  $H$ -ից ունեցած կախումը կապատկերվի նկ. IX.41-ում տրված կորով՝ հիստերիզմի օդակով (բնդունված է նաև անխնիկական մագնիսացվածության կոր անվանումը), որը բնութագրվում է



Նկ. IX.40

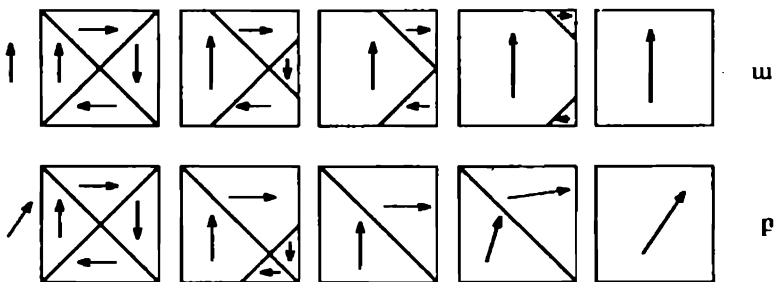


Նկ. IX.41

ենտևայլ մեծություններով՝ հազեցման  $M_0$  մագնիսացվածությամբ, մնացորդային  $M$ , մագնիսացվածությամբ և  $H_c$  կուրցիտիվ դաշտով:  $M_0$ -ն բնաբազրում է նյութը, իսկ  $M$ , և  $H_c$  մեծությունները կապես կախված են նմուշի նախապատճերյունից՝ նրա մեխանիկական, չերմային և մագնիսական մշակումից, արատների անսակլից և նրանց խառնությունից (այսպես կոչված կառուցվածքազգայուն բնութագրեր):

Հիստերեզիսի կորի բացատրությունը հանգում է բազմադրման նմուշներում դրամենային պատերի շարժման, ինչպես նաև մագնիսական դրամեների ստեղծման պրոցեսի բացատրությանը միադրամն, այսինքն, հազեցած նմուշներում:

Նկ. IX.42-ում սլատկերպած է միաբրյուրեղական նմուշի դրամենային կառուցվածքի փոփոխությունը մագնիսական դաշտի աճին գուգրմբաց, երբ դաշտն ուղղված է հեշտ մագնիսացման առանցքի ուղղությամբ՝ (ա), և եթե այն հեշտ մագնիսացման ուղղության հետ որոշակի անկյուն է կազմում (բ): Հնարավոր է նաև դրամենային սահմանների տեղաշարժ և դրամենների մագնիսական մոմենտների պատույտ՝ միաժամանակ:



Նկ. IX.42

Ըստ փոքր՝  $R < R_0$  չափերով միադրամն, այսինքն՝ հազեցած մագնիսացվածությամբ մասնիկներից կազմված համակարգը կարող է մագնիսանալ միայն մագնիսական մոմենտի պատույտի միջոցով, ընդ որում, այդ պատույտի համար կարող են պահանջվել շատ մեծ մագնիսական դաշտեր, պայմանավորված ինչպես մագնիսական անիզոտրոպությամբ, այնպես էլ մասնիկների ձևի անհզուրոպատրիյամբ:

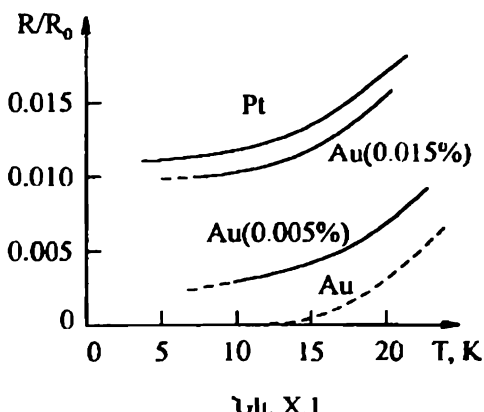
## ԳԵՐՀԱՎՈՐԴԱԿԱՆՈՒԹՅՈՒՆ

### §1. Գերհաղորդականության հայտնագործումը

1908թ. Հ. Կամերինը Օնեսին հաջողվեց հեղուկացնել վերջին իներս գազը՝ հելիումը (հեղուկացման ջերմաստիճանը՝  $T_b = 4,2\text{K}$ ), ինչը հնարավորապես ընձեռուց կատարել ֆիզիկական հնտագոտություններ 1÷10K ջերմաստիճանների ախրույթում:

Մետաղների, մասնավորապես, պլատինի ( $\text{Pt}$ ) և ոսկու ( $\text{Au}$ ) լինիտրական դիմադրության չափումների հիման վրա Կամերինը Օնեսը եկավ այն եզրակացության, որ եթե  $T \rightarrow 0\text{K}$ , մետաղի  $R$  դիմադրությունը ծգտում է նրա մնացորդային դիմադրությանը, որի մեծությունը կախված է նմուշի մաքրության աստիճանից (նկ. X.1.  $R_0$ -ն դիմադրությունն է  $0^\circ\text{C}$ -ում):

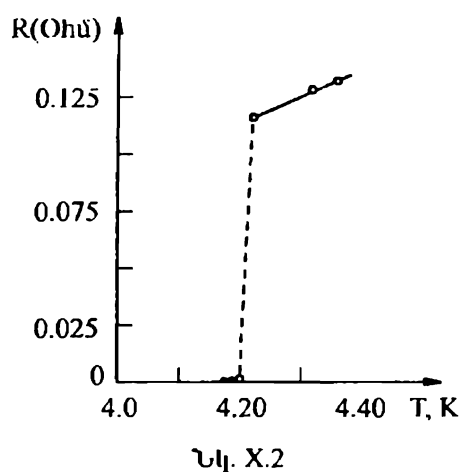
Պետք էր սպասել, որ կատարյալ մաքրուր պլատինը և ոսկին հելիումի հեղուկացման և ավելի ցածր ջերմաստիճաններում կունենան անվերջ փորք դիմադրություն (նկ. X.1, ամբողջությամբ կետազիծ կորը կատարյալ մաքրուր ոսկու համար): Այսպիսի պատկերացումը չիր հակասում քվանտային տեսությունից բխող եզրակացություններին: Իրոք, պինդ մարմնի տեսության համաձայն, եթե  $T \rightarrow 0\text{K}$ , հավասարակշռության դիրքերի շուրջ տատանվող ատոմներից յուրաքանչյուրին բաժին ընկնող միջին ջերմային էներգիան նվազում է էքսպոնենցիալ օրենքով (Մաս I, IV.2.14):  $\epsilon(\omega, T) \approx \hbar\omega \exp(-\hbar\omega/k_B T)$ , որտեղ  $\omega$ -ն տատանման հաճախությունն է: Քանի որ, համաձայն Կամեր-



Նկ. X.1

լինգ Օնեսի իրավացի նմրադրությամ, մաքուր նմուշների դիմադրությունը պայմանավորված է ատոմների շարժումով, որի ինտենսիվությունը ջերմաստիճանն իցեցնելիս էապես նվազում է, ապա փորձի արդյունքները լիովին համապատասխանում են տեսության եղակացություններին:

Սնդիլի հետ կատարված փորձերը (սնդիլը կարելի է ստանալ շատ մաքուր վիճակում) կարծես հաստատեցին այս ենրադրությունը, սակայն



Նկ. X.2

կմելով նրա արտակարգ կենսարական սնդիլից անվանվեց զերհաղորդիչ վիճակ, իսկ երևայքը՝ զերհաղորդականություն (1911թ.): Հետազո փորձերը ցույց տվեցին, որ զերհաղորդականության հատկությամբ օժտված են բազմաթիվ այլ նյութեր՝ մետաղներ, կիսականագործիչներ և տարրեր համաձուլվածքներ, այսինքն՝ զերհաղորդիչ վիճակը նյութի նոր վիճակի, որը,

Այն չերմաստիճանը, որի դեպքում նյութը նորմալ ( $R \neq 0$ ) վիճակից անցնում է զերհաղորդիչ վիճակի, կոչվում է կրիստիկական ջերմաստիճան՝  $T_c$ : Այսուակ X.1-ում տրված են  $T_c > 2\text{K}$  կրիտիկական ջերմաստիճան ունեցող թիմիական տարրերը (անս նաև Հավելված 4), իսկ Այսուակ X.2-ում՝ որոշ միացությունների կրիտիկական ջերմաստիճանները:

Որքա՞ն է դիմադրության թոփշը զերհաղորդականության վիճակին անցնելիս, այլ կերպ ասած, որքանո՞վ կարելի է խոսել էլեկտրական դիմադ-

կաստարևագործված չափից սարքերով կատարված փորձերը ցույց տվեցին, որ դիմադրությունը նվազում է ոչ քե աստիճանաբար, այլ թոփշրածե, մի քանի հայութերորդական աստիճանների տիրույթում թվականությունը գործնականում նիմիչ գրությունը (նկ. X.2. փորձում դիմադրությունը սնդիլի համան չերմաստիճանում ունեցած դիմադրության համեմատությամբ փորձրանում է մոտ  $10^6$  անգամ):

Փաստորեն, աեղի էր ունենում սնդիլի անցում նոր վիճակի, որը,

Ելյուսակ X.1

| Տարր | $T_c$ , K |
|------|-----------|
| Nb   | 9.26      |
| Tc   | 7.77      |
| Pb   | 7.19      |
| La   | 6.06      |
| V    | 5.30      |
| Ta   | 4.48      |
| Hg   | 4.15      |
| Sn   | 3.72      |
| In   | 3.40      |
| Tl   | 2.39      |

Ելյուսակ X.2

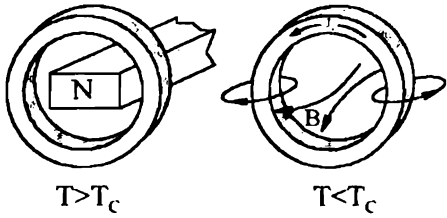
| Միացուրյուն                                   | $T_c$ , K |
|---|-----------|
| $\text{Nb}_3(\text{Al}_{0.8}\text{Ge}_{0.2})$ | 20,9      |
| $\text{Nb}_3\text{Sn}$                        | 18,05     |
| $\text{Nb}_3\text{Al}$                        | 17,5      |
| $\text{V}_3\text{Si}$                         | 17,1      |
| $\text{V}_3\text{Ga}$                         | 16,5      |
| $\text{NbN}$                                  | 16,0      |
| $\text{MoN}$                                  | 12,0      |
| $\text{Nb}_3\text{Au}$                        | 11,5      |
| $\text{La}_3\text{In}$                        | 10,4      |
| $\text{Ti}_2\text{Co}$                        | 3,44      |

բուրյան անհետացման մասին:

Ակզենտական փորձերում, դիմադրության չափման ավանդական եղանակով ( $R = U/I$ , չափվում է նմուշի վրա բարնան անկումը՝  $U$ -ն և նմուշով անցնող լուսանքը՝  $I$ -ն) կարելի էր պարզել, որ գերհաղորդականության անցնելիս դիմադրությունը փոփռանում է ավելի քան 1000 անգամ: Ինչ վերաբերվում է նրա անհետացմանը, ապա կարելի էր պնդել որ այն դասում է չափիչ սարքի զգայնությունից փորք, այնպես որ այն հնարավոր չէր չափել:

1914թ. Կամերլինգ Օնեսն առաջարկեց շատ փոքր դիմադրությունների չափման լավագույն եղանակ՝ չափել գերհաղործիչ օդակում մակածված հոսանքի մարտում: Եթե օդակի դիմադրությունը լինի զրոյից տարրեր, ապա կելտրական հոսանքի էներգիան աստիճանաբար կվերածվի ջոռույան ջերմության: Գիտենալով գերհաղործիչ օդակի երկրաչափական չափերը և փորձում չափելով օդակում հոսանքի մարման ժամանակը, կարելի է գնահատել օդակի դիմադրությունը գերհաղործիչ վիճակում:

Դիտարկենք կապարեն օդակ, որը գտնվում է հաստատուն մազնիսի դաշտում (նկ. X.3), նորմալ վիճակում, այսինքն՝ նրա ջերմաստիճանը՝  $T > T_c$ : Սառեցնենք կապարեն օդակը մինչև  $T < T_c$ , դարձնելով այն գերհաղործիչ, և ապա հեռացնենք մազնիսը:



Նկ. X.3

Օղակ թափանցող մագնիսական հոսքի փոփոխությունը նրանում մակածում է  $I_s$  հոսանք: Համաձայն էներգիայի պահպանման օրենքի, ինդուկցիոն հոսանքի էներգիայի փոփոխությունը միավոր ժամանակում եավասար է օղակի  $R$  դիմադրության վրա անջատված էղորությանը՝

$$-\frac{d}{dt} \left( \frac{1}{2} L I_s^2 \right) = I_s^2 \cdot R , \quad (1.1)$$

որտեղ  $L$ -ը օղակի ինդուկտիվությունն է: (1.1) հավասարման լուծումը տրվում է

$$I_s(t) = I_s(0) \exp \left( -\frac{R}{L} t \right) \quad (1.2)$$

տեսքով, որտեղ  $I_s(0)$ -ն հոսանքն է սկզբնական ( $t = 0$ ) պահին:

Օրինակ՝ եթե  $t = 1 \cdot \text{ժամում}$ , կտրվածքի  $d = 0,1$  սմ տրամագծով և  $r = 5$  սմ շառավղով կապարե օղակում ( $L \approx 1,3 \cdot 10^{-7}$  Հն) հոսանքը փոքրանա 1%-ով, այսինքն՝  $I_s(t)/I_s(0) \approx 0,99$ , ապա դիմադրության համար (1.2) բանաձևից կատանանք  $R \leq 3,6 \cdot 10^{13}$  Օհմ զնահատականը: Ստացված արդյունքից բխում է, որ զերհաղորդիչ վիճակին անցնելիս կապարե օղակի դիմադրությունը փոքրանում է ավելի քան  $10^8$  անգամ:

Կոլինզի փորձում զերհաղորդիչ օղակում մակածված հոսանքը պահպանվել է 2,5 տարուց ավել (փորձն ընդհատվել է): Նշված ժամանակամիջոցում հոսանքի փոփոխության բացակայության փաստից հնարավոր նղակ զնահատել օղակի տեսակարար դիմադրության վերին սահմանը՝  $\rho_{\max} = 10^{-21}$  Օհմ-սմ: Զ.Ֆայյի և Ռ.Միլսի կողմից 60-ական թվականների սկզբներին փորձում ուսումնասիրվել է  $Nb_{0,75}Zr_{0,25}$  համաձուլվածքից պատ-

բասսիված սոլենօդում գերհաղորդիչ հոսանքի նվազումը միջուկային մագնիսական ռեզոնանսի (ՄՄՌ) ճշգրիտ մեթոդ: Ստացված արդյունքների համաձայն, հոսանքի նվազման ժամանակը զնահատվել է առնվազն  $10^5$  ապրի:

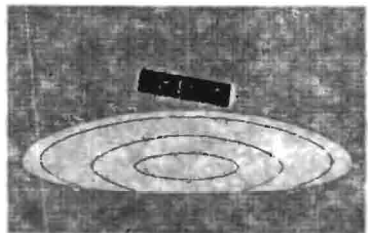
Որոշ փորձնական տվյալների համաձայն, գերհաղորդիչ վիճակի անցնելիս դիմադրությունը բոլիչած է փոքրանում և  $10^{14}$  անգամ: Այս թիվը պատկերացնելու համար կատարենք հետևյալ համեմատությունը. գերհաղորդիչ և նորմալ վիճակում դիմադրությունների հարարկերությունը (Աղյուսակ X.3):

Բերված տվյալներից կարելի է վստահորեն եզրակացնել, որ գերհաղորդիչ վիճակում դիմադրությունը (հաստատուն լուսանքի դեպքում) իրար անհետանում է:

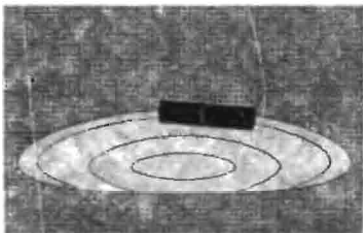
Գերհաղորդիչ վիճակում չմարող հաստատուն հոսանքի գոյության փաստն ապացուցվում է նաև «ճախրող» մազմիսի հանրահայտ փորձով

Աղյուսակ X.3

| Նյութ     | $\rho$ , Ωհմ·սմ (300K) |
|-----------|------------------------|
| պղինձ     | $1,7 \cdot 10^{-6}$    |
| արեստ     | $10^8$                 |
| չոր վայրտ | $10^{10}$              |
| մարմար    | $10^{10}$              |
| արմասս    | $10^{12}$              |
| հախճապակի | $2 \cdot 10^{15}$      |
| սաք       | $10^{19}$              |



ա



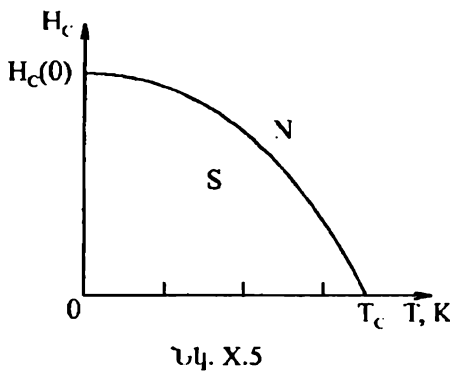
բ

Նկ. X.4

(Նկ. X.4): Փոքրիկ հաստատուն մազմիսի իշեցվում և գերհաղորդիչ վիճակում զտնված կապարև ափսեի վրա (ա): Ըստ Լենցի կսմոնի, ափսեի կարվածք թափանցող մազմիսական հոսքի փոփոխությունն ափսեում մա-

կածում և այնպիսի ուղղությամբ հոսանք, որի սանդած մազնիսական դաշտը վաճում է մազնիսը, պահելով նրան ափսեից որոշակի հավասարակշռական հեռավորության վրա (բ. վոքրիկ մազնիսին կապված թեր ծզված չէ): Քանի դեռ ափսեում հոսանքները չեն մարել, այսինքն՝ բանի դեռ այն գերմաղորդիչ վիճակում է, մազնիսը «կճախրի» ափսեի վրա:

Գերհաղորդիչ վիճակում զանգող մեսադի դիմադրությունը գրությունը է: Մակայն Կամերինգ Օնեսի վարձերից պարզվեց, որ սուանց բարձրացնելու մետադի չերմասափեանը ( $T < T_c$ ),



կարելի է «քանդել» զերմաղորդիչ վիճակը, եթե նմուշը անդադրվի որոշակի լարվածությամբ մազնիսական դաշտում: Մազնիսական դաշտի լարվածության ամենասուրբ արժեքը, որի դեպքում զերհաղորդականությունն անհետանում է, այսինքն՝ նմուշն անցնում է նորմալ վիճակի, կոչվում է կրիստակական (շնմային) դաշտ:  $H_c$ :

Կրիստակական դաշտի արժեքը կախված է նմուշի չերմասափեանից: Այդ կախումը բավարար ճշտությամբ կարելի է մուտքաբեր պարաբոլական օրենքով (Տուինի օրենք):

$$H_c(T) = H_{c0} \left[ 1 - \left( \frac{T}{T_c} \right)^2 \right], \quad (1.3)$$

որտեղ  $H_{c0} \equiv H_c(0)$  մեծությունը կրիստակական դաշտի արժեքն է  $T = 0\text{K}$ -ում (նկ. X.5, Հավելված 4):  $H_c(T)$  կորը բաժանում է իրարից զերհաղորդիչ ( $S$ ) վիճակի և նորմալ ( $N$ ) վիճակի տիրապետական օրենքով (Տուինի օրենք):

## §2. Իդեալական դիամագնիսականություն: Մայսների Երևույթը

Սետաղական հաղորդչի էլեկտրական դիմադրության զրո դառնալը  $T_c$ -ից ցածր ջերմաստիճաններում բերում է չափազանց կարևոր հետևանքի՝ զերխաղորդչի կոնտուր քափանցող մագնիսական լիիվ հոսքը մնում է հաստատում, քանի դեռ կոնտուրի դիմադրությունը՝  $R = 0$ :

Եթե կոնտուրը գտնվում է  $H$  համասեռ մագնիսական դաշտում, ապա նրա  $S$  կարգաձրով մագնիսական հոսքը (Ալ. X.6, ա)

$$\Phi = HS :$$

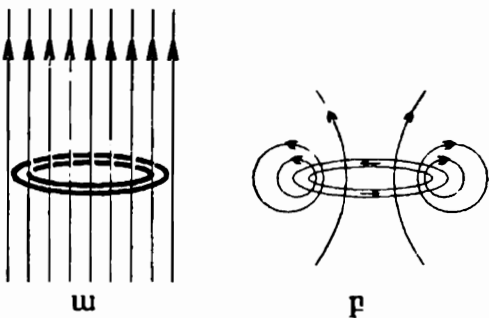
Եթե մագնիսական դաշտը ժամանակից կախված փոփոխվի, ապա կոնտուրում կմակածվի հոսանք, որի ուղղությունը, Լենցի կանոնի համաձայն, կխոչընդունակ կոնտուր քափանցող հոսքի փոփոխարյանը, իսկ մեծությունը կորոշվի ինդուկցիոն էլշուի մեծությամբ: Նկատի ունենալով նաև ինքնինդուկցիայի էլշուի առկայությունը կոնտուրում, վերջինիս համար Օհմի օրենքը կարելի է ներկայացնել հետևյալ տեսքով՝

$$-S \frac{dH}{dt} - L \frac{dI}{dt} = IR : \quad (2.1)$$

Եթե կոնտուրը գտնվում է գերխաղորդչի վիճակում, ապա  $R = 0$ , և (2.1) հավասարությունը հետևում է

$$LI + SH = \text{const} \quad (2.2)$$

առնչությունը, որի ձախ մասը կոնտուր քափանցող լիիվ մագնիսական հոսքն է՝ ստեղծված արտաքին  $H$  մագնիսական դաշտի և կոնտուրով հոսող ինդուկցիան հոսանքի կողմից: Եթե մագնիսական դաշտը փոփոխվի, ապա կոնտուրում կմակածվի լրացուցիչ հոսանք, որը կհամակշռի արտաքին դաշտի փոփոխմամբ պայմանավորված հոսքի փոփոխարյունը: Մասնավորապես, եթե  $H$  դաշտը դառնա զրո, ապա ողջ հոսքը պայմանավորված կլինի միայն ինդուկցիոն հոսանքով:



Ալ. X.6

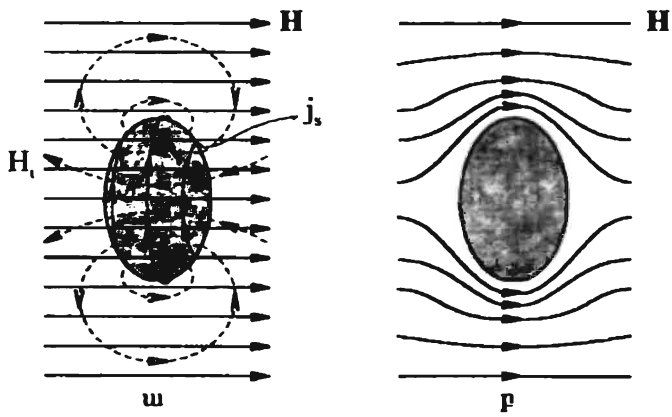
Այժմ ենթադրենք, որ նմուշը սառեցվել է և բերվել գերեաղորդիչ վիճակի, այսինքն՝ այն դարձել է իդեալական հաղորդիչ՝  $R = 0$ : Նմուշի ներսում ընտրված ցանկացած կոնտուրի դիմադրություն հավասար է զրոյի, հետևաբար՝ նրանով անցնող մագնիսական հոսքը չի կարող փոփոխվել: Այս պնդումը ճիշտ է կամայական կոնտուրի համար, միայն եթե մագնիսական դաշտը նմուշում ժամանակից կախված չի փոփոխվում:

$$\dot{B} = 0 : \quad (2.3)$$

Այսպիսով, հոսքի բաշխումը նմուշի ներսում պետք է մնա այնպիսին, ինչպիսին էր դիմադրությունը զրա դաւնալու պահին:

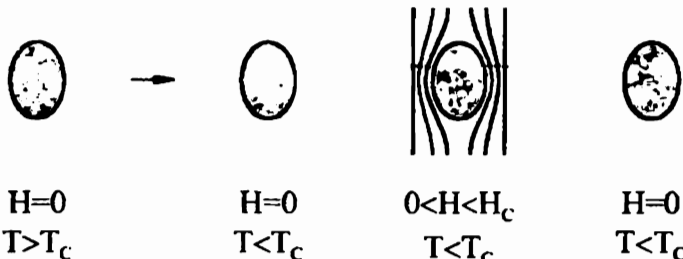
Ուսումնասիրենք այսպիսի իդեալական հաղորդչի վարքը տարրեր պայմաններում:

ա) Ենթադրենք, որ նմուշն անցնում է գերեաղորդիչ վիճակի արտաքին դաշտի բացակայությամբ, որից հետո կիրառվում է մագնիսական դաշտ: Քանի որ նմուշում  $B$  ինդուկցիան փոփոխվել չի կարող, ապա պետք է մնա հավասար իր սկզբնական, այսինքն՝  $B = 0$  արժեքին: Հետևաբար՝ արտաքին մագնիսական դաշտը նմուշում մակածում է շմարտղ հոսանքներ, որոնք, հասելով նմուշի մակերեսարային շերտով, նմուշի ցանկացած կետում ստեղծում են կիրառված մագնիսական դաշտին հավասար և հակառակ ուղղված դաշտ: Նմուշից դուրս մակերևութային հոսանքների դաշտը գումարվում է արտաքին դաշտին (նկ. X.7, ա):



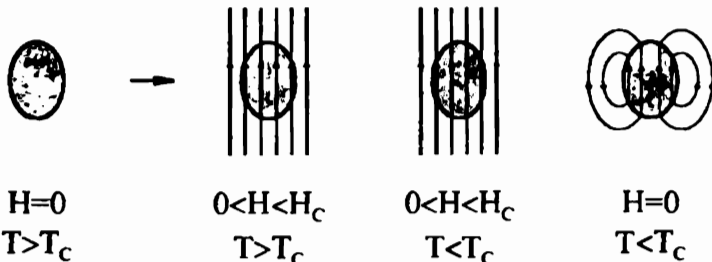
Նկ. X.7

Քննարկվող դեպքում մագնիսական դաշտը չի կարողանում բափանցել նմուշի ծավալի մեջ, այնպես որ նրանում մագնիսական դաշտը բացակայում է (նկ. X.7, բ): Ընդունված է ասել, որ նմուշը ցուցաբերում է իդեալական դիամագնիսականություն: Եթե արտաքին դաշտը դառնա զրտ, ապա նմուշը կմնա իր սկզբնական՝ չմագնիսացված վիճակում: Նկ. X.8-ում պատկերված են նմուշի վիճակի փոփոխության հաջորդական փուլերը:



Նկ. X.8

բ) Այժմ ենթադրենք, որ նմուշը գտնվում է արտաքին մագնիսական դաշտում, նորմալ վիճակում ( $T > T_c$ ): Դաշտը կրավաճցի նմուշի ողջ ծավալի մեջ, և ներքին դաշտը գործնականում չի տարբերվի կիրառված դաշտից (եթե նմուշը ոչ ֆեռոմագնիսական նյութից է): Եթե նմուշն անցնի գերեաղորոխ վիճակի, ապա դիմադրության զրտ դառնալը չի անդրադառնա նրա մագնիսացման վրա, և դաշտը նմուշի ներսում կմնա անփոփոխ: Սակայն եթե սկսենք փոքրացնել արտաքին մագնիսական դաշտը, ապա իդեալական հաղորդչում կմակաձեւն մակերևության հոսանքներ, որոնք կպահպանեն նմուշի ծավալում մագնիսական ինդուկցիայի սկզբնական արժեքը: Արդյունքում նմուշը կմնա մագնիսացված վիճակում (նկ. X.9):



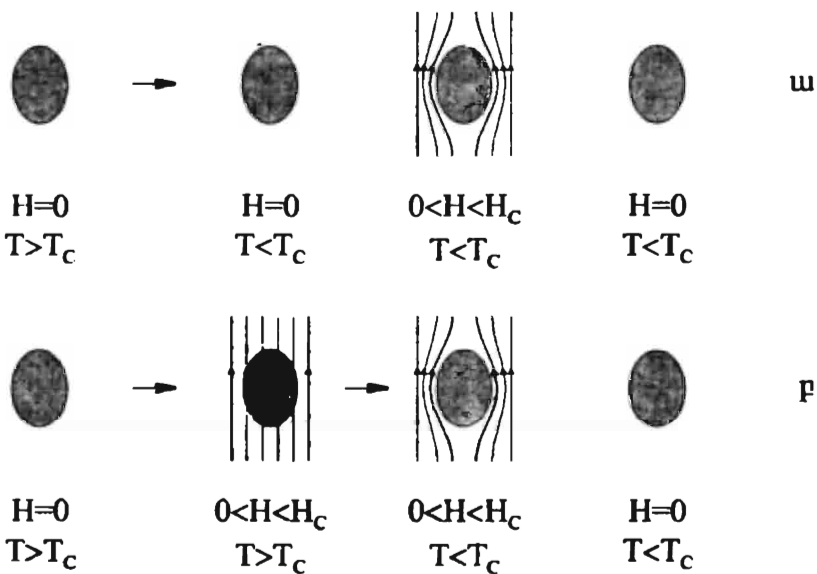
Նկ. X.9

Նկ. X.8-ում և նկ. X.9-ում պատկերված փուլերից վերջին՝ չորրորդ փուլում նմաշը գտնվում է միևնույն պայմաններում ( $H = 0$ ,  $T < T_c$ ), սակայն նրա մազնիսացվածությունը տարբեր է: Այսպիսով, զայս ենք եղանակացության, որ իդեալական հաղորդչի մազնիսացվածությունը միարժեքորեն չի որոշվում արտաքին պայմաններով՝ այն կախված է առաջին փուլից չորրորդին անցման եղանակի ընտրությունից:

Սակայն Վ.Մայսների և Ռ.Օքսենֆելդի կողմից (1933թ.) զնդաձև նմուշի շուրջ մազնիսական դաշտի բաշխման մանրակրկիտ չափումները ցույց տվեցին, որ անկախ անցման եղանակի ընտրությունից, վերջնական վիճակը միշտ համընկնում է նկ. X.7, բ-ում պատկերված վիճակի հետ, այսինքն՝ մազնիսական հոսքը դրաւ է մղվում զերիաղորդչի ծավալային տիրույթից: Այլ կերպ ասած, զերեաղորդիչ վիճակում գտնվող նմուշի ներսում միշտ

$$B = 0 : \quad (2.4)$$

Այս փաստը եայտնի է որպես Մայսների երևույթ: Նկ. X.10-ում պատկերված են զերեաղորդիչ նմուշի մազնիսացման տարբեր եղանակները:



Նկ. X.10

Անհրաժեշտ է մեկ անգամ ևս շեշտել, որ Մայսների երևույթը չի հետևում իդեալական հաղորդականության  $R = 0$  պայմանից: Իրոք, համաձայն Օհմի օրենքի՝

$$\mathbf{E} = \rho \cdot \mathbf{j}, \quad (2.5)$$

եթե  $\mathbf{j} \neq 0$ , ապա  $\rho = 0$  պայմանից հետևամ է, որ  $\mathbf{E} = 0$ : Մյուս կողմից, համաձայն Մաքսվելի

$$rot \mathbf{E} = -\frac{1}{c} \frac{\partial \mathbf{B}}{\partial t} \quad (2.6)$$

հավասարման,  $\dot{\mathbf{B}} = 0$ , որը (2.3) պայմանն է, որի համաձայն, եթե  $R = 0$  մազնիսական հոսքը փոփոխվել չի կարող: Մայսների երևույթը հակասում է այս պնդմանը, և իիմբ է տալիս Եզրակացնելու, որ իդեալական դիամագնիսականությունը ( $B = 0$ ) և իդեալական հաղորդականությունը ( $\rho = 0$ ) գերհաղորդիչ վիճակի երևու, իրարից էապես տարբեր առանձնահատկություններ են:

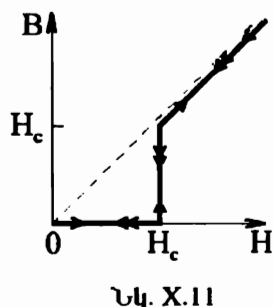
Ուսումնաաիրենք մազնիսական ինդուկցիայի փոփոխությունը՝ կախված արտաքին մազնիսական դաշտի մեծությունից, տարբեր վիճակներում գտնվող նմուշների համար: Եթե նմուշը նորմալ վիճակում գտնվող, ոչ ֆեռոմագնիսական մետաղ է, ապա մազնիսական ինդուկցիան նմուշում գործնականում չի տարբերվում արտաքին դաշտից, քանի որ  $\mu \approx 1$ , ուստի

(նկ. X.11, կետագիծը)

$$\mathbf{B} = \mu \cdot \mathbf{H} \approx \mathbf{H}: \quad (2.7)$$

Եթե նմուշն անցել է գերհաղորդիչ վիճակի, ապա այն իդեալական դիամագնիս է, ուստի արտաքին դաշտն անելիս մազնիսական ինդուկցիան մնում է հավասար գրոյի: Եթե դաշտը դառնում է հավասար կրիտիկական  $H_c$  դաշտին, նմուշն անցնում է նորմալ վիճակի, և նրանում մազնիսական դաշտի ինդուկցիան փոխվում է (2.7) առնչության համաձայն (նկ. X.11):

Մաքուր՝ արատներ չպարանակող նմուշի համար այս պրոցեսը դարձելի է, այսինքն, եթե արտաքին դաշտը փոքրացվի և դառնա հավասար



$H_c$ -ի, ապա նմուշը կանցնի զերհաղորդիչ վիճակի և նրանում  $H < H_c$  բոլոր արժեքների համար  $B = 0$  (կրկնակի սլաքները նկ. X.11-ում պատկերում են հակառակ պրոցեսը):

Օգտվելով միավոր ծավալի մազնիսական մոմենտի (մազնիսացվածության) և  $B$  և  $H$  վեկտորների միջև կասկաց (IX.1.2), կստանանք՝

$$M = \frac{1}{4\pi} (B - H), \quad (2.8)$$

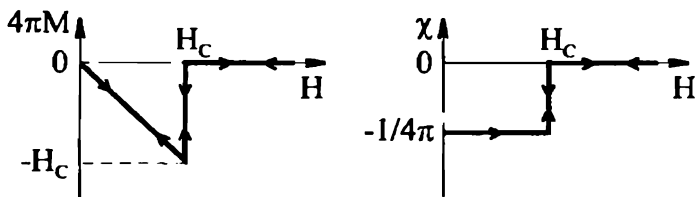
իսկ մազնիսական բնկալունակության համար՝

$$\chi = \frac{1}{4\pi} (\mu - 1) \quad (2.9)$$

արտահատությունները: Համաձայն այս բանաձևերի, նորմալ վիճակում գտնվող նմուշի մազնիսական մոմենտը և մազնիսական բնկալունակությունը գործնականում հավասար են զրոյի: Եթե  $T < T_c$ , զերհաղորդիչ նմուշում  $B = 0$ ,  $M = -H/4\pi$ , եետևաբար՝

$$\chi = -\frac{1}{4\pi}, \quad (2.10)$$

ինչը համապատասխանում է իդեալական դիամագնիսին: Նկ.X.12-ում պատկերված են  $M(H)$  և  $\chi(H)$  կախումները զերհաղորդիչ նմուշի համար:



Նկ. X.12

Մայսների երևոյթի մաթեմատիկական արտահայտությունը՝ (2.4) պայմանը, խախտվում է զանգվածեղ նմուշի մակերևության բարակ շերտում, որի հաստությունը կախված է ինչպես մետաղի տեսակից, այնպես էլ ջերմաստիճանից և, որպես կանոն,  $10^{-5}$  սմ կարգի մեծություն է: Այս է պատճառը, որ Մայսների երևոյթը չի դիսվում բարակ մետաղական թա-

դանքներում և կողովոյային մասնիկներում, որոնց հաստությունը կամ չափելը մակերևութային շերտի հաստության կարգի են:

### §3. Միջանկյալ վիճակ: I և II սեռի գերիադորդիչներ

Գերիադորդչի ներսում մազնիսական ինդուկցիայի զրո լինելը պայմանավորված է մակերևութային հոսանքներով, որոնց մեծությունը և բաշխումն այնպիսին է, որ նրանց կողմից ստեղծված ներքին դաշտը եակառակ է ուղղված կիրառված արտաքին դաշտին և համակշռություն է այն:

Իրադրությունը կարելի է ներկայացնել հետևյալ երկու ձևով:

#### 1. Գերիադորդչի ներսում

$$B_i = H_i = M_i = 0 ,$$

մակերևույթի վրա

$$. \quad j_s \neq 0 .$$

Ամուշից դուրս

$$B_e = H + H_s ,$$

որտեղ  $H_s$ -ն դաշտի լարվածությունն է նմուշի ներսում,  $M_s$ -ն՝ նմուշի մազնիսական մոմենտը,  $j_s$ -ը՝ մակերևութային հոսանքի խտությունը, իսկ  $H$ -ը՝ նրա կողմից ստեղծված մազնիսական դաշտը, որով և պայմանավորված է  $H$  դաշտի «աղավաղությունը» նմուշի մոտակայքում (Յկ. X.7, թ):

Սակայն ավելի հարմար է համարժեք ներկայացումը, որի համաձայն մազնիսական դաշտում գտնվող գերիադորդիչը ներկայացվում է որպես մազնիսական նյութ՝ ներքին դաշտով և մազնիսական մոմենտով: Այսպիսով, համաձայն այսպես կոչված «ողիամազնիսական» ներկայացման

#### 2. գերիադորդչի ներսում

$$B_i = 0 , \quad H_i \neq 0 , \quad M_i \neq 0 ,$$

մակերևույթի վրա

$$j_s = 0 ,$$

Ամուշից դուրս

$$B_e = H + H_s ,$$

որտեղ  $H_s$ -ը պայմանավորված է նմուշի մագնիսական մոմենտով: Ըստ այս մոտեցման, համաձայն (2.8) բանաձևի՝

$$M = M_i = -\frac{1}{4\pi} H_i , \quad (3.1)$$

որտեղից հետևում է նմուշի իդեալական դիամագնիս լինելը՝ (2.10) արտահայտությունը:

Նկ. X.12-ում պատկերված է մագնիսացվածության կախումը դաշաի լարվածությունից զանգվածեղ, բարակ և երկար զլանի տեսք ունեցող զերհաղորդչի համար (դաշտն ուղղված է զլանի երկայնական առանցքով): Եթե արտաքին դաշտը՝  $H < H_c$ , նմուշն անցնում է զերհաղորդիչ վիճակի, ընդ որում դաշտը լրիվ դուրս է մնդում նմուշից: Այսպիսի վարք ունեցող զերհաղորդիչներն ընդունված է անվանել I սեռի զերհաղորդիչներ:

Այժմ պարզենք, թե ինչպես և ազդում նմուշի երկրաչափական ձևը նրա զերհաղորդականության վրա:

Ենթադրենք, նմուշն ունի  $a > b$  կիսառանցքներով պտտման էլիպսարդի տեսք և արտաքին դաշտն ուղղված է մեծ կիսառանցքով, որը համընկնում է կոօրդինատական համակարգի  $x$  առանցքի հետ: Սահմանային պայմաններից, նկատի ունենալով նաև համաստու էլիպսարդում  $B$ ,  $H_i$  և  $M$ , վեկտորների հաստատումությունը և զուգահեռությունը  $H$  արտաքին մագնիսական դաշտին, կստանանք՝

$$H_i = H - 4\pi n_x M_i , \quad (3.2)$$

որտեղ  $n_x$  ապամագնիսացման գործակիցը տրվում է դիելեկտրական էլիպսարդի ապարևեռացման գործակցի համար ստացված

$$n_x = \frac{1-\eta^2}{2\eta^2} \left( \ln \frac{1+\eta}{1-\eta} - 2\eta \right) \quad (3.3)$$

բանաձևով (Մաս I, V.2.8), որտեղ  $\eta = (1-b^2/a^2)^{1/2}$ : (3.1) և (3.2) արտահայտություններից կստանանք՝

$$H_i = \frac{H}{1-n_x} , \quad (3.4)$$

$$M_i = -\frac{H}{4\pi(1-n_x)} : \quad (3.5)$$

«Անվերջ» զլանի դեպքում ( $a \gg b$ ,  $\eta \rightarrow 0$ )  $n_x \rightarrow 0$ , ուստի նմուշի մակըրևոյթի վրա արտաքին դաշտը նույն է բոլոր կետերում, ինչի հետևանքով նմուշը մնում է լրիվ գերհաղորդիչ վիճակում, քանի որ  $H \leq H_c$ , իսկ եթե  $H > H_c$ , այն ամբողջությամբ անցնում է նորմալ վիճակի:

Ընդհանուր դեպքում  $B$ -ի նորմալ բաղադրիչի և  $H$ -ի տանգեցիալ բաղադրիչի անընդհատությունից հետևում է, որ էլիպսարդածն նմուշի (նկ. X.13) հասարակածի վրա

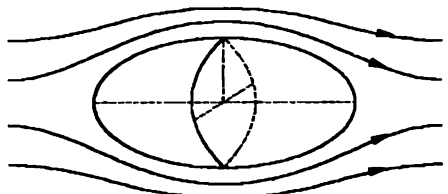
$$H_q = H_i = \frac{H}{1-n_x} , \quad (3.6)$$

իսկ բևեռներում՝

$$H_p = B_i = 0 : \quad (3.7)$$

Բացի «անվերջ» երկար զլանածն նմուշից, բոլոր նմուշների համար  $n_x \neq 0$ , և դաշտը նմուշի շուրջ անհամասեռ է, ուստի ծագում է հետևյալ հարցը. Ի՞նչ կկատարվի գերհաղորդիչ նմուշի հետ, եթե  $n_x \neq 0$ , այսինքն՝ եթե  $H_q = H_c > H$ :

Մանրամասն քննարկենք զնդի օրինակը ( $n_x = 1/3$ ): Եթե արտաքին դաշտը զնդի հասարակածի վրա հավասարվի  $2H_c/3$ -ի, ապա



Նկ. X.13

ներքին դաշտը հասարակածի վրա, համաձայն (3.6) բանաձևի, կլինի

$$H_q = H_c , \quad (3.8)$$

և առաջին հայացքից կարող է բվալ, թե զունդը կամցնի նորմալ վիճակի: Սակայն եթե դա տեղի ունենար, ապա նորմալ վիճակում  $\mu \approx 0$  պայմանի հետևանքով կստացվեր, որ

$$H_i = H = \frac{2}{3} H_c < H_c , \quad (3.9)$$

այսինքն՝ գունդը գտնվում է նորմալ վիճակում կրիտիկականից բույլ մագնիտական դաշտում:

Այս պարադաքսը կարելի է լուծել, եթե ենթադրենք, որ երբ  $H_i = H_c$ , հնարավոր է զերիադրողիչ և նորմալ ֆազերի համատեղ գեյուրյունը նմանակում (այնպես, ինչպես ենդուկ և գոլորշի ֆազերի համատեղ գոյուրյունը, եթե ճնշումը հավասար է հազեցած գոլորշու ճնշմանը):

Պարզության համար կարելի է ենթադրել, որ  $H_c(1-n_x) \leq H < H_c$  դեպքում գունդը տրմակում է նորմալ ( $N$ ) և զերիադրողիչ ( $S$ ) շերտերի, որոնք գուգահեն են կիրաւիված դաշտին (նկ. X.14): Մազմիսական ուժագծերի մի մասը շրջացում է գունդը, իսկ մյուս մասն անցնում է նրա նորմալ վիճակում գտնվող ափրույթներով: Նորմալ ափրույթում  $B = H_c$ , իսկ զերիադրությունում  $B = 0$ :  $N$  և  $S$

տիրույթները բաշխված են այնպես, որ մագնիսացվածությունը զծային օրենքով փոփոխվում է  $H = H_c(1-n_x)$  դաշտում ունեցած

$$M_i = -\frac{1}{4\pi} H_i = -\frac{H}{4\pi(1-n_x)} = -\frac{H_c}{4\pi}. \quad (3.10)$$

արժեքից մինչև  $M_i = 0$  արժեքը, երբ  $H = H_c$ :

Այսպիսով,  $H_c(1-n_x) \leq H < H_c$  տիրույթում

$$M_i = -\frac{1}{4\pi n_x} (H_i - H) = -\frac{1}{4\pi n_x} (H_c - H), \quad (3.11)$$

$$H_i = H - 4\pi n_x M_i = H_c, \quad (3.12)$$

$$B_i = H_i + 4\pi M_i = H_c - \frac{1}{n_x} (H_c - H) : \quad (3.13)$$

Մազմիսական դաշտի  $H_c(1-n_x) \leq H < H_c$  արժեքների համար նմուշ գտնվում է մասամբ նորմալ, մասամբ՝ զերիադրողիչ վիճակում, որն ընդունված է անվանել միջանկյալ վիճակ: Հարկ է նշել, որ միջանկյալ վիճակ գր-

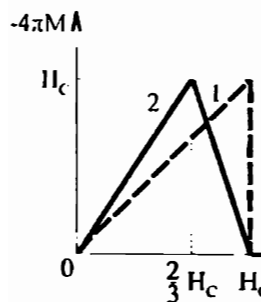
յուրյան ունի մազնիսական դաշտի որոշակի ( $\Delta H = n_x H_c$ ) աիրույքում ցանկացած ձևի նմուշի համար, բացի անվերջ երկար զլանի ( $n_x \rightarrow 0$ ) դեպքից:

Սիցանկյալ վիճակում նմուշը բաղկացած է գերեթզորդիչ տիպույթներից՝ դրանեններից, որոնք իրարից բաժանված են նորմայի վիճակում գտնվող տիրույթներով: Դրանային կառուցվածքի առաջանայր, իմշտես և մազնիսակարգավորված նյութերում (աևս IX.14), սլայմանավորված է նմուշի՝ արված վիճակում հնարավոր նվազագույն լմերին ունենալու միաւումով: Նկ. X.15-ում պատկերված է, անսգել զնդի միջանկյալ վիճակի կառուցվածքը ( $T = 2.85\text{K}$ ,  $H = 0.7H_c$ , նորմայ աիրույթները սսվերագծված են):

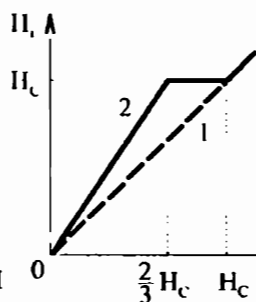


Նկ. X.15

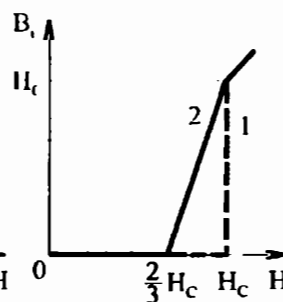
Նկ. X.16, 17, 18-ում արված են  $M_i(H)$ ,  $H_i(H)$  և  $B_i(H)$  կախումները արտաքին դաշտի վավերական  $0 \leq H \leq H_c$  աիրույթում անվերջ զլանի ( $n_x = 0, 1$  կետազծերը) և զնդի ( $n_x = 1/3, 2$  կոծ զծերը) համար:



Նկ. X.16



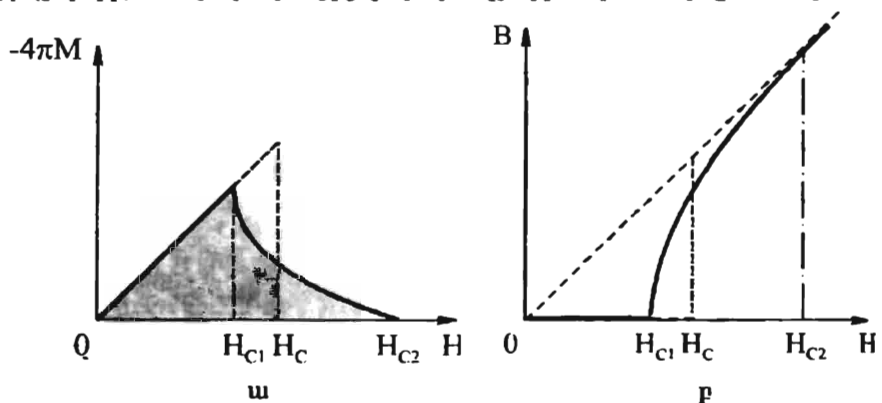
Նկ. X.17



Նկ. X.18

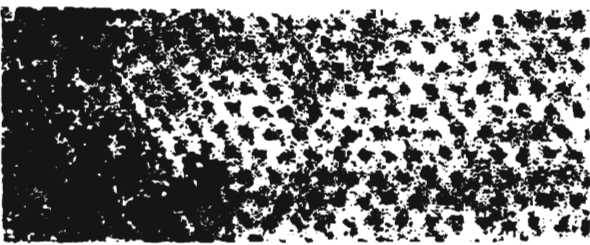
II սեափ գերեադորդիչներում գոյություն ունի նկրիին՝  $H_{c1}(T)$  կրիտիկական դաշտ, որից վորք դաշտը չի կարող բավանցել նմուշի մեջ: Եթե մազնիսական դաշտը զերագանցում է վերին՝  $H_{c2}(T)$  կրիտիկական դաշտը, նմուշն ամբողջուրյամբ անցնում է նորմայ վիճակի, և մազնիսական իսպը բավանցում է նմուշի մեջ: Արտաքին դաշտի  $H_{c1}(T) \leq H \leq H_{c2}(T)$

միջանկյալ արժեքների համար հոսքը մասամբ I թափանցում նմուշի մեջ, նրանում ստեղծելով միկրոսկոպական չափերի ( $\sim 10^{-5}$  սմ) նորմալ և գերհադրդիչ տիրույթների արտիված բարդ կառուցվածք, որն ընդունված է անվանել խառը վիճակ: Խառը վիճակում գտնվող II սեղի գերհադրդչում մազնիսական դաշտը նմուշի ծավալ է թափանցում բարակ մրրկային թելքի (լարերի) տեսքով, որոնցից յուրաքանչյուրի ներսում դաշտն ունի մեծ



Նկ. X.19

արժեք, այնպես որ այդ սիրույթում նյութը գտնվում է նորմալ վիճակում: Լարի միջուկից դուրս նյութը մնում է գերհադրդիչ վիճակում, իսկ յուրաքանչյուր լար շրջապատված է մրրկային խոսանքներով, որոնք էլլրանացնում են լարի ներսում գոյություն ունեցող մազնիսական դաշտը:



Նկ. X.20

Նկ. X.19-ում պատկերված է II սեղի գերհադրդչում մազնիսացվածության և խողուկցիայի՝ արտաքին մազնիսական դաշտի լարվածությունից կախ-

ման զրաֆիկները (ենթադրվում է, որ նմուշն ունի անվերջ երկար զլանի տեսք):  $H_c$  արժեքն ընտրված է  $-4\pi M(H)$  կորի տակ ընկած և  $OH_C$  եխմրով եռանկյան մակերեսների հավասարության պայմանից:

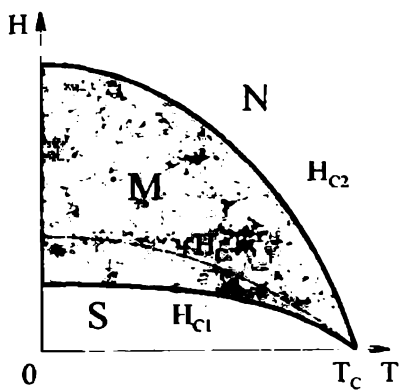
Նկ. X.20-ում պատկերված է խառը վիճակում գտնվող II սեռի գերհաղորդչի (Pb<sub>96</sub>Sn<sub>4</sub>,  $T = 1,1K$ ) մակերևույթին կորալտի փոքրիկ մասնիկների բաշխման էլեկտրոնային միկրոլուսանկարը, որտեղ հստակորեն երևում է մրրկային բեկերով ստեղծված ցանցը (մուգ կետեր):

#### Ալյուսակ X.4

| II սեռի գերհաղորդչիչ  | $H_{c2}$ (4,2K). Գս | $T_c$ , K |
|---|---------------------|-----------|
| <b>Mo<sub>3</sub>Re</b>   | ~8400               | 10        |
| <b>Ti<sub>2</sub>Nb</b>   | ~100000             | 9         |
| <b>Nb<sub>3</sub>Sn</b>   | ~230000             | 18        |
| <b>Nb<sub>3</sub>Al</b>   | ~300000             | 18,7      |
| <b>V<sub>3</sub>Si</b>  | ~240000             | ~17       |
| <b>V<sub>3</sub>Ga</b>  | ~200000             | 14        |
| <b>Nb<sub>79</sub>(Al<sub>17</sub>Ge<sub>27</sub>)<sub>21</sub></b> | ~410000             | ~20,7     |

Անհրաժեշտ է հստակորեն իրարից տարրերև II սեռի գերմաղորդչիների խառը վիճակը I սեռի գերհաղորդչիների միջանկյալ վիճակից: Միջանկյալ վիճակի առաջացումը, ինչպես անսանց, պայմանավորված է ապամազնիսացման գործակցի զրոյից տարրեր ինելու հանգամանքով և կախված է նմուշի ձևից: Խառը վիճակը II սեռի գերհաղորդչի ներքին հասկությունն է և առաջանում է անզամ անվերջ երկար զլանի դեպքում, եթե ապամազնիսացման գործակցը՝  $n_x = 0$ :

Ի տարրերություն I սեռի գերհաղորդչիների, որոնց կրիստիկակալյան դաշտի արժեքները  $10^2 \div 10^3$  Գս կարգի են,



Նկ. X.21

II սեռի այսպիս կոչված «կոշտ» գերմադրդիչներում վերին  $H_{c2}$  կրիտիկական դաշտը կարող է հասնել մինչև  $10^5$  Գս-ի (Աղյուսակ X.4), որի շնորհիվ նրանք ունեն մեծ կիրառական նշանակություն: Նրանցից պատրաստում են սոլենիդներ, որոնցում ստացվում են ուժեղ՝  $100000$  Գս և ավելի մեծ լարվածությամբ կայուն դաշտեր:

Նկ. X.21-ում պատկերված է. II սեռի գերմադրդիչի ֆազային դիագրամը, որանոր նշված են գերիադրդիչ ( $S$  կամ մայսներյան), խառը ( $M$  կամ շուրջնիկովյան) և նորմալ ( $N$ ) ֆազերը:

#### §4. Գերեադրդիչ վիճակի թերմոդինամիկան:

**Զերմունակության բոփչը**

Մայսների երևույթի հայտնագործությունից հետո պարզ դարձավ, որ անկախ գերիադրդիչ վիճակին անցման ձևից, մազմխական դաշտը միշտ դուրս է մնակում նմուշի ծավալից, ինչը վիաստում  $T \leq T_c$  և  $H \leq H_c(T)$  պայմաններում միակ գերիադրդիչ ֆազի գոյությունը:

Եթե գերիադրդիչ նմուշի ջերմաստիճանը բարձրացվի, ասլա այն նորից կանցնի նորմալ վիճակի: Այս վիաստերից հետևում է նորմալ և գերիադրդիչ վիճակների միջև անցման դարձելությունը, ինչը հնարավորություն և տակա նմուշի հատկություններն ուսումնասիրներս կիրառել թերմոդինամիկայի հզոր և համբուղիանուր մեթոդները:

Նմուշի էներգիան նպատակահարմար է ներկայացնել Գիրսի թերմոդինամիկական  $G(T, P, H)$  պոտենցիալով, քանի որ այն կախված է վործում հեշտությամբ փոփոխվող  $T$ ,  $P$  և  $H$  անկախ փոփոխականներից:

$G$  պոտենցիալի դիֆերենցիալի համար թերմոդինամիկայի հիմնական հավասարումից ստացվում է

$$dG = -SdT + VdP - MdH \quad (4.1)$$

արտահայտությունը, որտեղից նմուշի  $S$  էնսերուպիան,  $V$  ծավալը և  $M$  մազմխական մոմենտը կարելի է արտահայտել

$$S = -\left(\frac{\partial G}{\partial T}\right)_{P,H}, \quad V = \left(\frac{\partial G}{\partial P}\right)_{T,H}, \quad M = -\left(\frac{\partial G}{\partial H}\right)_{P,T} \quad (4.2)$$

աւնչություններով: Հասաւատում ճնշման ( $dP = 0$ ) և ջերմաստիճանի ( $dT = 0$ ) դեպքում

$$dG = -\mathcal{M}dH \quad (4.3)$$

մեծությունը նմուշի լերգիայի վոփոխությունն է, պայմանավորված արտաքին  $H$  դաշտի կատարած աշխատանքով: Հետազայում կրնդունենք, որ  $\mathcal{M}$  և  $H$  վեկտորներն ուղղված են միևնույն ուղղության դորձ կունենանք նրանց մեծությունների հետ (4.3)-ը կարող է լինել նաև բացասական, ինչը համարժեք է  $\mathcal{M}$  և  $H$  վեկտորների հակազդականությանը):

Նշանակենք  $G_s(0)$ -ով զերիաղորդիչ նմուշի Գիբսի բերմողինամիկական պոակենցիալը  $H = 0$  արտաքին դաշտում:  $H \leq H_c$  արտաքին մազնիւսկան դաշտում  $G_s(H)$  լերգիան կարելի է ներկայացնել

$$G_s(H) = G_s(0) - \int_0^H \mathcal{M}dH' = G_s(0) - \int_0^H dH' \int_0^{V_s(H')} M(V, H') dV \quad (4.4)$$

այսքան, որտևող  $M(V, H)$ -ը նմուշի մազնիսացվածությունն է: Էլեկտրոդեն նմուշում մազնիսացվածությունը համասեռ է՝ այն կախված չէ ծավալից: Եթե անտեսնենք նաև ծավալի մազնիսական դաշտությունը քոյլ կախումը (մազնիսաստրիկցիա) և  $s \rightarrow n$  անցնան ժամանակ շնչին վոփոխությունը, ընդունելով, որ  $V_n = V_s = V$ , ապա (4.4) արտահայտությունից կստանանք՝

$$G_s(H) = G_s(0) - V \int_0^H M(H') dH' : \quad (4.5)$$

$H_c$  կրիստիկական դաշտում գանվող անվերջ երկար, զլանածեն նմուշի համար (4.4), (4.5) և (3.1) բանաձևերից հետևում է, որ

$$G_s(H_c) = G_s(0) + V \frac{H_c^2}{8\pi} : \quad (4.6)$$

Եթե նմուշը զլանածեն չէ ( $n_x \neq 0$ ), ապա այն կարող է զտնվել միջանկյալ վիճակում, եթե  $H > H_c(1 - n_x)$ , ուստի (4.5) բանաձևով  $G_s(H_c)$ -ն հաշվարկելիս անհրամեշտ է օգտագործել (3.1), (3.4), (3.11) և (3.12) առնչություններից: (4.5) բանաձևում առկա ինտեգրալը  $M(H)$  կորի առակ բնկած մակերևան է, ուստի նկ. X.16-ից հետևում է, որ միևնույն  $H_c$  իմքը և միևնույն  $H_c/4\pi$  բարձրություն ունեցող բոլոր (այդ բվում՝ և 1, և 2 ողլողներով

կազմված) եռանկյուններն ունեն միևնույն՝  $H_c^2/8\pi$  մակերեսը: Այսպիսով, անկախ նմուշի ձևից, արտաքին դաշտի կողմից նմուշի մագնիսացման աշխատանքը տրվում է (4.6) առնչության երկրորդ գումարելյով:

Նորմալ վիճակում ոչ ֆեռոմագնիսական նմուշի մագնիսական ընկալունակությունը չափազանց փոքր է ( $\chi_d \sim 10^{-6} \div 10^{-5}$ ,  $\chi_p \sim 10^{-4} \div 10^{-3}$ ), ուստի նրա թերմոդինամիկական  $G_n$  պոտենցիալը գործնականորնն կախված չէ մագնիսական դաշտի լարվածությունից՝

$$G_n(H_c) = G_n(0) : \quad (4.7)$$

Գերհաղորդիչ և նորմալ ֆազերի հավասարակշռության պայմանը նրանց թերմոդինամիկական պոտենցիալների հավասարությունն է՝

$$G_n(H_c) = G_s(H_c) , \quad (4.8)$$

որտեղից տրված ճնշման դեպքում որոշվում է ֆազային հավասարակշռության  $H_c = H_c(T)$  կախման կորը:

(4.6)-(4.8) առնչություններից հետևում է գերհաղորդիչների թերմոդինամիկայի հիմնական հավասարումը՝

$$G_n(T, P, 0) - G_s(T, P, 0) = \frac{VH_c^2}{8\pi} : \quad (4.9)$$

Էնտրոպիայի (4.2) արտահայտությունից և (4.9) բանաձևից կստանանք՝

$$S_n(0) - S_s(0) = -\frac{VH_c}{4\pi} \frac{dH_c}{dT} , \quad (4.10)$$

որտեղ հաշվի չի առնված ծավալի թույլ ջերմաստիճանային կախումը:

Եթե  $T = T_c$ ,  $H_c = 0$  և  $S_n(0) = S_s(0)$ : Եթե  $0 < T < T_c$ , համաձայն (1.3) առնչության,  $dH_c/dT < 0$ , այսինքն՝ զրոյական մագնիսական դաշտում  $S_s(0) < S_n(0)$ : Սա նշանակում է, որ գերհաղորդիչ ֆազն ավելի կարգավորված է, քան նորմալ ֆազը: Մյուս կողմից, եթե  $T \rightarrow 0$ , ապա, ըստ Ներնստի թեորեմի,  $S_s(0) = S_n(0) = 0$ , հետևաբար՝  $T = 0$  կետում  $dH_c/dT = 0$ , ինչը համապատասխանում է (1.3) առնչությանը: Այսպիսով,  $S_n(0) - S_s(0)$  տարրերությունը, հավասարվելով զրոյի  $T = 0$  և  $T = T_c$  կետերում, անպայման կունենա նվազագույն արժեք  $(0, T_c)$  տիրույթի որևէ կետում:

(4.10) հավասարումից և թարնված ջերմության

$$Q = T(S_n - S_s) \quad (4.11)$$

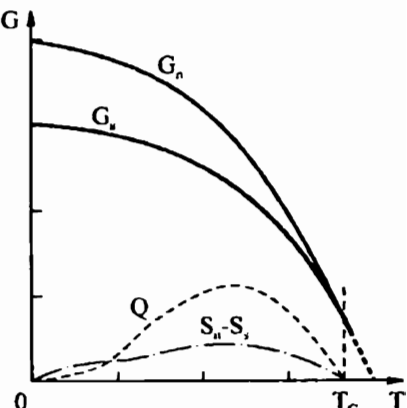
արտահայտությունից հետևում է որ  $Q = 0$ , եթե  $T = T_c$  (անցում զրոյական դաշտում) և  $Q > 0$ , եթե  $H_c > 0$ : Այսինքն՝ գերհաղորդիչ վիճակից նորմալ վիճակին հզորերմ ( $T = const$ ) անցման ժամանակ ջերմություն է կլանվում՝  $Q > 0$ , ուստի  $0 < T < T_c$  ափրույթում նորմալ վիճակին անցումը I կարգի ֆազային անցում է (բոլոր ունի թերմոդինամիկական պատենցիալի I ածանցյալը՝  $S$ -ը), իսկ  $T = T_c$  կետում անցումը II (կամ ավելի բարձր) կարգի I, բանի որ առաջին ածանցյալը՝ էնտրոպիան, անընդհատ է, սակայն բոլոր ունի II կարգի ածանցյալը՝ ջերմունակությունը:

Նկ. X.22-ում պատկերված են  $G_n$

և  $G_s$  պոտենցիալները, էնտրոպիաների  $S_n - S_s$  տարրերությունը և  $Q$  կլանված ջերմաքանակը՝ կախված ջերմաստիճանից:

Համակարգի ջերմունակությունը հաստատուն ճնշման դեպքում արտահայտվում է Գիրսի թերմոդինամիկական պատենցիալի միջոցով՝

$$C_p = T \left( \frac{\partial S}{\partial T} \right)_p = -T \left( \frac{\partial^2 G}{\partial T^2} \right)_{p,H} : \quad (4.12)$$



Նկ. X.22

Գերհաղորդիչ և նորմալ ֆազերի ջերմունակությունների տարրերության համար (4.12) և (4.9) առնչություններից կստանանք՝

$$C_s - C_n = \frac{VT}{4\pi} \cdot \left[ H_c \frac{d^2 H_c}{dT^2} + \left( \frac{dH_c}{dT} \right)^2 \right] : \quad (4.13)$$

Եթե  $T = T_c$ ,  $H_c = 0$  և (4.13) արտահայտությունից հետևում է, որ

$$\Delta C \equiv C_s - C_n = \frac{VT_c}{4\pi} \cdot \left( \frac{dH_c}{dT} \right)_{T_c}^2 > 0 , \quad (4.14)$$

այսինքն՝ ջերմունակությունը  $T_c$  կետում ունի վերջավոր բոլոր:

(4.14) առնչությունը հայտնի է որպես Ռուտգերսի բանաձև և մեծ ճշուարյամբ սեղի ունի մի շարք գերխաղորդիչների համար (Աղյուսակ X.5):

### Աղյուսակ X.5

| Տարր | $T_c$ , K | $(C_s - C_n) \cdot 10^{-3} \Omega \text{ մթ}^{-1}\text{K}^{-1}$ |                            |
|------|-----------|---|----------------------------|
|      |           | Մեսական հաշվարկ բառ<br>Ռուտգերսի բանաձևի                        | Լալորիմետրական<br>տվյալներ |
| Sn   | 3,72      | 10.6  | 10.6                       |
| In   | 3,40      | 9.62  | 9.75                       |
| Tl   | 2.39      | 6.15  | 6.2                        |
| Ta   | 4.39      | 41.6  | 41.5                       |
| Pb   | 7.2       | 41.8  | 52.6                       |

$T < T_c$  տիրույթում, ջերմաստիճանի նվազման հետ (4.13) հավասարման աջ մասը փոքրանում է, և  $T = T^*$  կետում  $\Delta C(T^*) = 0$ : (1.3) առնչությունը տեղադրելով (4.13) հավասարման մեջ և արդյունքը հավասարեցնելով գրոյի, կստանանք՝

$$T^* = \frac{T_c}{\sqrt{3}} : \quad (4.15)$$

Եթե  $T < T^*$ ,  $C_s < C_n$ , և եթե  $T \rightarrow 0$ , ապա  $C_s$  և  $C_n$  ջերմունակությունները, ըստ թերմոդինամիկայի III օրենքի, ձգտում են զրոյի:

Ինչպես հայտնի է, նորմալ հաղործի ջերմունակությունը կարելի է ներկայացնել հաղորդականության էլեկտրոնների  $C_{ne} = \gamma T$  (VII.4.9) և ցանցային  $C_{ng} = \alpha T^3$  (Մաս I, IV.4.38) ջերմունակությունների գոմարի տեսքով: Փորձնական տվյալներից հետևում է, որ գերհաղորդիչ վիճակի անցնելիս ցանցային ջերմունակությունը գործնականորեն չի փոփոխվում, ուստի նմուշի ջերմունակությունների  $C_s - C_n$  տարրերությունը պայմանավորված է նմուշի էլեկտրոնային համակարգի փոփոխությամբ՝

$$C_s - C_n = C_{se} - C_{ne} : \quad (4.16)$$

Փորձերը ցույց են տալիս, որ գերհաղորդիչ վիճակում էլեկտրոնային ջեր-

մունակության  $\gamma T$  գծային անդամը փոխարինվում է ցածր ջերմաստիճաններում շատ ավելի արագ զրոյի ձգտող անդամով, քան  $\gamma T$ -ն է:

Նկ. X.23-ում պատկերված են այսպիսի նորմալ և զերհաղորդիչ վիճակներում չերմունակության ջերմաստիճանային կախումները (կետերով տրված են վործում ստացված արժեքները):  $T < T_c$  աիրույթում նորմալ վիճակ ստացվում է,  $H \approx 300\text{G}$  բույլ մազնիսական դաշտի օգնությամբ, որը «քանդում» է զերհաղորդիչ վիճակը, չափելով ջերմունակության մեծության վրա: Բնութագրական է  $C_s(T)$  կախման վարքը ( $\text{մ.ջ/մոլ}\cdot\text{K}$ ) 0.3K-ից փոքր ջերմաստիճանների աիրույթում, որը կարելի է մոտարկել  $\exp(-\Delta/k_B T)$  եքսպոնենցիալ կախումով, որտեղ առկա  $\Delta$  մեծությունը բնութագրական էներգիայի իմաստ ունի և  $T = 0\text{K}$ -ում  $\Delta(0) \neq 0$ :

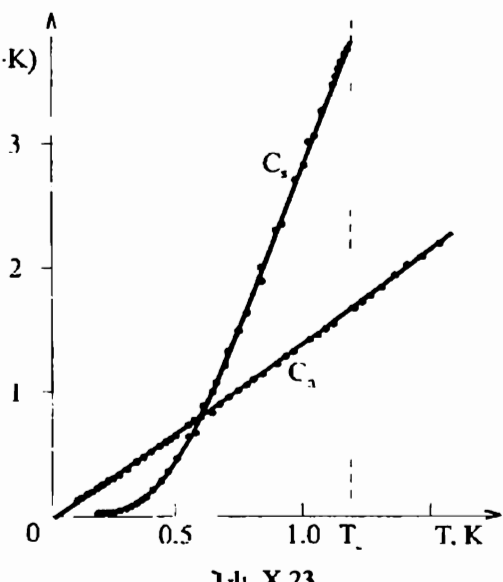
Ջերմաստիճանային նման վարքը յուրահատուկ է այն համակարգին, որի հիմնական վիճակը գրգռված վիճակներից հետացված է  $2\Delta$  մեծությամբ էներգիական ճեղքով:

Այսպիսով, բավականաչափ ցածր ջերմաստիճաններում, եթե կարելի է արհամարել  $C_{se}$  անդամը  $C_{ne}$  անդամի նկատմամբ, կարելի է զնահատել էներգումային ջերմունակության գծային կախման  $\gamma$  գործակիցը:

(4.13), (4.16) բանաձևերի համաձայն, եթե  $C_{se} \ll C_{ne}$ ,

$$\gamma = \frac{C_{ne}}{T} = -\frac{V}{4\pi} \left[ \left( \frac{dH_c}{dT} \right)^2 + H_c \frac{d^2H_c}{dT^2} \right]_{T \rightarrow 0}; \quad (4.17)$$

Եթե  $T \rightarrow 0$ , օգավելով (1.3) բանաձևից, կստանանք՝



Նկ. X.23

$$\gamma = \frac{V}{2\pi} \left[ \frac{H_c(0)}{T_c} \right]^2 : \quad (4.18)$$

Քանի որ  $\gamma$  գործակիցը, համաձայն (VII.4.8) բանաձևի, համեմատական է ֆերմի-մալկարդակի վրա վիճակների խտության  $N(\varepsilon_F)$  ֆունկցիայի արժեքին, ապա  $T \rightarrow 0\text{K}$  ջերմաստիճաններում փորձից ստացվող  $H_c(T)$  կախման միջոցով կարելի է որոշել կեկտրոնային համակարգի  $N(\varepsilon_F)$  կարևորագույն բնութագիրը:

Չննարկված խնդիրներում նմուշի ծավալի հաստատունության մասին ենթադրությունը եխմնավորելու նպատակով օգտվենք  $n \rightarrow s$  ֆազային անցման արոյունքում նմուշի ծավալի:

$$\Delta V \equiv V_n(H_c) - V_s(H_c) = \frac{V_s H_c}{4\pi} \left( \frac{\partial H_c}{\partial P} \right)_T \quad (4.19)$$

Վիտամիատության արտահայտությունից: Տարբեր փորձերում ստացված արդյունքներից եետևում է, որ  $(\partial H_c / \partial P)_T$  ածանցյալի բնութագրական արժեքները  $10^{-9} \div 10^{-8}$  Գս·դին<sup>-1</sup>·սմ<sup>2</sup> կարգի են: Ըստ (4.19) բանաձևի կատարված զնահատումների, երկար գլանի երկարության հարաբերական վիտամիատությունը  $10^{-8}$ -ի կարգի մեծություն է, ինչը եխմնավորում է ծավալի հաստատունության մասին վերն արկած ենթադրությունը:

## §5. Լռնդոնների տեսությունը

Գերեադրողիչ վիճակին անցնելիս նմուշի ծավալից մազնիսական դաշտի դուրս մղվելու մասին պնդումը կրում է մոտավոր բնույթ: Իրոք, եթե այդ դուրս մղումը լիներ լրիվ, ապա մազնիսական դաշտը հադրույչի մակերևությանը վրա պետք է վերջավոր արժեքից քոչշրով ընկներ մինչև գրոյական արժեք, ինչը ենարավոր կլիներ միայն անվերջ մեծ խտությամբ մակերևութային եռանքների առկայության դեպքում: Հասկանալի է, որ այդպիսի եռանքներ գոյություն ունենալ չեն կարող, ուստի պետք է ենթադրել, որ մազնիսական դաշտը որոշ չափով բափանցում է նմուշի մեջ, և նրա մերձմակերևութային բարակ շերտում ծագում են արտաքին դաշտն էլերանացնող

հոսանքներ: Այս հոսանքներն էլ հենց նվազեցնում են դաշտը մինչև զր, ապահովելով գերհաղորդի ծավալում  $B = 0$  պայմանը:

Մայսերի երևոյթի բանակական ուսումնասիրությունը տեսականորեն առաջինը կատարվել է Ֆ. և Հ. Լոնդոնների կողմից: Առաջարկված երևութաբանական տեսությունը հիմնվում է այսպես կոչված Լեկտրոնային «երկինուկ» մոդելի վրա, որի համաձայն գերեաղորդում  $T < T_c$  ջերմաստիճանում միայն  $n_s(T)$  խտությամբ հաղորդականության կեկարտններ կարող են մասնակցել գերհաղորդիչ հոսանքի ստեղծմանը:

Եթե  $T \rightarrow 0K$ , «գերհաղորդիչ» էլեկտրոնների խտությունը գտնում է էլեկտրոնների  $n$  լրիվ խտությամբ, իսկ եթե  $T \rightarrow T_c$ , ապա այն գտնում է զրայի: Մնացած  $n - n_s(T) = n_s(T)$  խտությամբ էլեկտրոնները կազմում են «նորմար» էլեկտրոնային «ենդուկ», որի մասնակցությունը հոսանքին անպայմանորեն ուղեկցվում է դիսիպացիայով՝ եներգիական կորուստներով: Քանի որ գերիաղորդիչ հոսանքի համար  $R = 0$ , ապա ցանկացած չափով թույ էլեկտրական դաշտով ստեղծված հոսանքին մասնակցում են միմիայն «գերհաղորդիչ» էլեկտրոնները, իսկ «նորմար» էլեկտրոնները չեն մասնակցում հոսանքին:

**E** լարվածությամբ էլեկտրական դաշտում «գերեաղորդիչ» էլեկտրոնի շարժման հավասարումը կարելի է ստանալ (VI.2.7) հավասարումից, նրանում ցրումներով պայմանավորված ուղարսացիայի ժամանակը գտնեցնելով անվերջության ( $\tau \rightarrow \infty$ , դիմադրությունը՝  $R \rightarrow 0$ ) և էլեկտրոնների  $n$  խտության փոխարեն տեղադրել «գերհաղորդիչ» էլեկտրոնների  $n_s$  խտությունը:

Անցնելով նաև «գերհաղորդիչ» էլեկտրոնների  $\mathbf{v}_s$  արագությունից գերհաղորդիչ հոսանքի խտությամը՝  $j_s = -e n_s \mathbf{v}_s$ , կստանանք՝

$$\frac{d\mathbf{j}_s}{dt} = \frac{e^2 n_s}{m} \mathbf{E} : \quad (5.1)$$

Սա Լոնդոնների առաջին հավասարումն է և նկարագրում է  $R = 0$  դիմադրությամբ (իդեալական) հաղորդիչը: (5.1) հավասարման մեջ բառ ժամանակի  $d/dt = \partial/\partial t + (\mathbf{v}\nabla)$  լրիվ ածանցյալը կարելի է փոխարինել  $\partial/\partial t$  մասնական ածանցյալով, քանի որ գերհաղորդիչ հոսանքի իրական  $\mathbf{v}_s$  արա-

գույքունները շատ փոքր են Ֆերմիի  $v_F$  բնութագրական արագությունից:

**Տեղադրելով (5.1) հավասարումը Մարսվելի**

$$\text{rot } \mathbf{E} = -\frac{1}{c} \frac{\partial \mathbf{B}}{\partial t} \quad (5.2)$$

հավասարման մեջ, կստանանք՝

$$\frac{\partial}{\partial t} \left( \text{rot } \mathbf{j}_s + \frac{e^2 n_s}{mc} \mathbf{B} \right) = 0 : \quad (5.3)$$

(5.3) առնչությունը և Մաքսվելի

$$\text{rot } \mathbf{B} = \frac{4\pi}{c} \mathbf{j}_s \quad (5.4)$$

հավասարումը, որտեղ շեղման հոսանքներն անտեսված են  $\mathbf{j}_s$ -ի նկատմամբ, որոշում են իդեալական հաղորդչում մազնիսական դաշտերն ու հոսանքները: Ժամանակից անկախ ցանկացած  $\mathbf{B}$  և  $\mathbf{j}_s$  (5.3) և (5.4) հավասարումների տրիվիալ լուծումներ են, ուստի այդ հավասարումները համատեղելի են  $\mathbf{B}$ -ի ցանկացած արժեքի դեպքում: Սակայն այս արդյունքը հակասում է գերխաղորդչի վարքին մազնիսական դաշտում, քանի որ գերխաղորդիչ նմաշի ներսում այն հավասար է զրոյի: Մայսների երևույթը կարելի է նկարագրել, եթե (5.3) հավասարման լուծումների բազմությունից ընտրվեն միայն այն լուծումները, որոնք բավարարում են

$$\text{rot } \mathbf{j}_s = -\frac{e^2 n_s}{mc} \mathbf{B} \quad (5.5)$$

հավասարմանը, որը Լոնդոնների երկրորդ հավասարումն է:

Այսպիսով, ի տարբերություն (5.3) հավասարման, որը տեղի ունի առանց կորուստների հաղորդիչ միջավայրի համար և նշանակում է  $\text{rot } \mathbf{j}_s + e^2 n_s \mathbf{B} / mc$  մեծության անկախություն ժամանակից, գերխաղորդչի առանձնահատկությունն ավելի խիստ պայման է դնում, այն է՝ ժամանակից շկախված հաստատունը պետք է լինի զրո:

Այժմ պարզենք մազնիսական դաշտի վարքը գերխաղորդչում: Տեղադրելով Լոնդոնների (5.5) հավասարման մեջ (5.4) հավասարումից  $\mathbf{j}_s$ -ի արտահայտությունը, կստանանք՝

$$\text{rot rot } \mathbf{B} = -\frac{4\pi n_s e^2}{mc^2} \mathbf{B} : \quad (5.6)$$

ლամի որ

$$\operatorname{rot} \operatorname{rot} \mathbf{B} \equiv \nabla \times \nabla \times \mathbf{B} = \nabla(\nabla \cdot \mathbf{B}) - \nabla^2 \mathbf{B} \quad (5.7)$$

և  $\nabla \cdot B = \text{div } B = 0$ , ալիս (5.6) և (5.7) առնչություններից կստանանք հետևյալ հավասարումը՝

$$\nabla^2 B = \frac{1}{\lambda^2} B, \quad (5.8)$$

ոՊԱՆԵՐ

$$\lambda_L = \left( \frac{mc^2}{4\pi n_s e^2} \right)^{1/2} \quad (5.9)$$

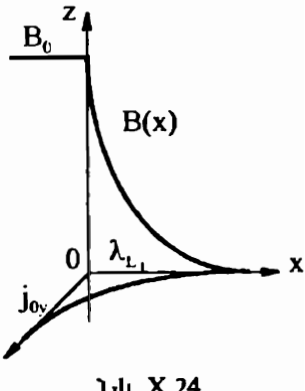
մեծությունն ունի կրկարության չափայնություն: (5.8) հավասարումից հետևամ է, որ այն չունի  $B = \text{const} \neq 0$  լուծում, այսինքն՝ համասեռ դաշտ գերհաղորդում գոյություն ունենալ չի կարող:

Եթե գերիահորդիչը զբաղեցնում է  $x > 0$  կիսատարածությունը, իսկ մագնիսական դաշտն ուղղված է  $z$  առանցքով, այսինքն՝  $B = B(0,0, B_z)$  (Յկ. X.24), ապա (5.8) հավասարումից կստանանք՝

$$\frac{d^2 B_z}{dx^2} - \frac{1}{\lambda_1^2} B_z = 0 , \quad (5.10)$$

որի  $B_z(0) = B_0$  եզրային պայմանին բավարարող և  $x \rightarrow \infty$  վերջավոր լուծումը՝

$$B(x) \equiv B_z(x) = B_0 \exp\left(-\frac{x}{\lambda_L}\right); \quad (5.11)$$



በኢ. X.24

Այսպիսով, զերխաղողո՞ւի ներսում ( $x > 0$ ) դաշ-

առ նվազում է լրապոնենցիալ օրենքով,  $x = \lambda_z$  խորության վրա փոքրանակ  $e \approx 2,71\ldots$  անգամ:  $\lambda_z$  մեծությունը կոչվում է լոնդոնյան թափանցման խորություն: Մազնիսական դաշտը գերիաղողոշում գրույից տարրեր է մերձմակերևությաին շերտում, որի հասարակությունը  $\lambda_z$ -ի կարգի է:

Ընտրված երկրաչափության դեպքում (5.4) հավասարումն ընդունում է հետևյալ տեսքը՝

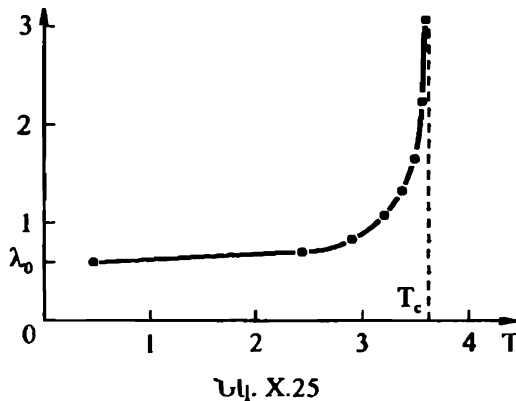
$$-\frac{dB_z}{dx} = \frac{4\pi}{c} j_y, \quad j_x = j_z = 0, \quad (5.12)$$

հետևաբար, նկատի ունենալով (5.11) արտահայտությունը, հոսանքի խոռոչյան համար կստանանք՝

$$j_y = \frac{cB_0}{4\pi\lambda_L} \exp\left(-\frac{x}{\lambda_L}\right) \equiv j_{0y} \exp\left(-\frac{x}{\lambda_L}\right), \quad (5.13)$$

այսինքն՝ հոսանքը զրայից տարրեր է  $\lambda_L$  կարգի հաստությամբ մակերևությաին շերտում (նկ. X.24):

Բժանանցման լրնդրնյան  $\lambda_L$  խորությունը  $\eta_s(T)$  մեծաթյան միջոցով



Նկ. X.25

կախված է նմուշի ջերմաստիճանից: Փորձերից ստացված տվյալների համաձայն,  $\lambda_L(T)$  կախումը կարելի է լավագույնս մոտարկել

$$\frac{\lambda_L(T)}{\lambda_L(0)} = \left[ 1 - \left( \frac{T}{T_c} \right)^4 \right]^{-1/2} \quad (5.14)$$

արտահայտությամբ, որտեղ  $\lambda_L(0)$ -ն բաժանանցման խորությունն է 0K-ում:

Նկ. X.25-ում պատկերված է անազի բաժանանցման խորության կախումը ջերմաստիճանից: Եթե  $T \leq T_c$

$$\frac{\lambda_L(T)}{\lambda_L(0)} = \left[ 1 + \left( \frac{T}{T_c} \right)^2 \right]^{1/2} \cdot \left( 1 + \frac{T}{T_c} \right)^{-1/2} \cdot \left( 1 - \frac{T}{T_c} \right)^{-1/2} \approx \frac{1}{2} \left( 1 - \frac{T}{T_c} \right)^{-1/2}, \quad (5.15)$$

հետևաբար՝ կրիտիկական ջերմաստիճանին մոտենալիս մազնիսական դաշտն ավելի և ավելի խորը է բաժանանցման նմուշի մեջ, և  $T_c$  ջերմաստիճանում  $\lambda_L(T_c) = \infty$ , այսինքն՝ նորմալ վիճակի անցնելիս մազնիսական դաշտը

լրիվ թափանցում է նմուշի մեջ:

Գնահատենք  $\lambda_L(0)$  մեծությունը:  $T=0\text{K}$ -ում գերհաղորդչի բոլոր էլեկտրոնները «գերհաղորդիչ» են:  $n_s \approx n \sim 10^{22} \text{ սմ}^{-3}$ : Այս արժեքը տևողադրելով (5.9) բանաձևում, կստանանք  $\lambda_L(0) \approx 600 \text{ Å}$ : Առյուսակ X.6-ում բերված են  $\lambda_L(0)$ -ի արժեքները մի բանի գերհաղորդիչների համար:

#### Առյուսակ X.6

| Տարր                      | Al  | Cd   | Hg      | In  | Nb  | Pb  | Sn  | Tl  |
|---------------------------|-----|------|---------|-----|-----|-----|-----|-----|
| $\lambda_L(0), \text{ Å}$ | 500 | 1300 | 380-450 | 640 | 470 | 390 | 510 | 920 |

$\lambda_L(0)$ -ի որոշակի ախրույթի առկայությունը սնդիկի (Hg) մոտ հետևանք I. անիզուրոպիայի:  $\lambda_L(0)$ -ի կախման մագնիսական դաշտի ուղղությունից:

I.ոնդոնների (5.5) հավասարման ֆիզիկական իմաստը պարզելու նպատակով գրենք  $A$  վեկտորական պուանոցիալով դաշտում  $q$  լիցր և  $m_q$  զանգված ունեցող մասնիկի իմալուսը՝

$$p_s = m_q v_s + \frac{q}{c} A : \quad (5.16)$$

$j_s = n_q q v_s$  բանաձևի միջոցով, որտեղ  $n_q$ -ն մասնիկների կոնցենտրացիան է,  $v_s$ -ից անցնելով  $j_s$ -ին, (5.16) արտահայտությունից կստանանք՝

$$j_s = \frac{q n_q}{m_q} p_s - \frac{q^2 n_q}{m_q c} A : \quad (5.17)$$

Հստ «երկինդուկ» մոդելի, գերհաղորդիչ վիճակում լիցրակիդներն ունեն  $p_s = 0$  իմպուլս (« $p$ »-տարածության մեջ տևողի է ունենում «կրնդենսացիա»), ուստի (5.17) բանաձևից ստացվում է՝

$$j_s = - \frac{q^2 n_q}{m_q c} A \equiv \frac{c}{4\pi\lambda^2} A \quad (5.18)$$

հավասարումը, որը (5.5) հավասարման համարժեքն է, և որտեղ

$$\lambda = \left( \frac{m_q c^2}{4\pi q^2 n_q} \right)^{1/2} \quad (5.19)$$

Ինչպես հետևում է, գերհաղորդականության միկրոսկոպական տեսությունից (§7), որպես լիքրակիմներ գերհաղորդիչներում հանդես են զալս էլեկտրոնային գույգերը՝  $q = -2e$  լիքրով,  $m_q = 2m$  զանգվածով և  $n_q = n_s/2$  կոնցենտրացիայով: Տեղադրելով այս արժեքները (5.19) արտահայտության մեջ, կստանանք բափանցման լոնդոնյան խորության (5.9) բանաձևը:

Ընդհանուր դեպքում լրիվ հոսանքը հավասար է «նորմալ» և «գերհաղորդիչ» հոսանքների գումարին՝

$$\mathbf{j} = \mathbf{j}_n + \mathbf{j}_s : \quad (5.20)$$

«Նորմալ» հոսանքը նկարագրվում է Մաքսվելի հավասարումներով և Օհմի օրենքով՝

$$\mathbf{j}_n = \sigma_n \mathbf{E} , \quad (5.21)$$

որտեղ  $\sigma_n$ -ը «նորմալ» էլեկտրոնների հաղորդականությունն է:

Այսպիսով, գերհաղորդիչ մետաղը նկարագրու (5.20), (5.21), (5.5) և (5.1) հավասարումների համակարգի օգնությամբ կարելի է գտնել տարրեր վիճակներում գերհաղորդչում հոսանքների և դաշտերի բաշխումը:

Հարկ է նշել, որ Լոնդոնների հավասարումները հիմնարար ֆիզիկական սկզբունքներից չեն արտածված և չեն բացատրում գերհաղորդականության երևույթը: Դրանք որոշակի սահմանափակումներ են, որոնք դրվում են էլեկտրամագնիսականության հավասարումների վրա, որպեսզի ստացված օրինաչափությունները համապատասխանեն վործի արդյունքներին: Լոնդոնների հավասարումները լրացնեն պայմաններ են, որոնց ենթարկվում են զերհաղորդիչ հոսանքները:

Լոնդոնների տեսությունը որակապես բացատրում է վորդում ստացված բազմաթիվ օրինաչափություններ, սակայն տեսության քանակական համապատասխանությունը վարձին շատ դեպքերում հեռու է բավարար լինելուց: Բանն այն է, որ այս տեսությունն իր հոգածքի դասական է, նրանում էլեկտրոնները դիտվում են որպես դասական մասնիկներ, այնինչ զերհաղորդականության երևույթում հիմնական դերը կատարում են բվանտային օրինաչափությունները:

Լոնդոնների անսուրյան մեջ Խնրադրվում է, որ թափանցման  $\lambda_L$  խորությանը կախված չէ, մազնիսական դաշտի լարվածությունից և նմուշի չափերից: Առաջին Խնրադրությունը համարմեք է այն պնդմանը, որ «գերհաղորդիչ» կեկարունների բիվը կախված չէ, մազնիսական դաշտի լարվածությունից: Սակայն հայտնի է, որ մազնիսական դաշտն էապես ազդում է էինկառունների վարքի վրա, ընդհուպ մինչև գերհաղորդիչ վիճակի վերացումը: Այս տեսանկյունից Խնդրունների անսուրյունը համապատասխանում է բույլ դաշտի մոտավորությանը:

Երկրորդ Խնրադրության սահմանափակությունը դառնում է ակնհայտ հատկապես բարակ ( $L \sim 10^3$  Ա կարգի հաստությամբ) քաղանքների գերհաղորդիչ հասկություններն ուսումնաժիրելիս:

Նշված բերությունները վերացված են Վ.Գինզբրուրի և Լ.Լ.անդաուի կողմից գարզացված սևսուրյան մեջ, որը նույնպես երեսութարանական է, սակայն հիմնվում է թվանշային մեխանիկայի և երկրորդ կարգի ֆազային անցումների տեսուրյան վրա:

## §6. Հոսքի թվանշացումը: Կուպերյան գույզեր

Գերհաղորդիչ վիճակում գտնվող օղակում հոսանքը պահպանվում է առանց փոփոխության զործնականորեն անվերց երկար ժամանակ: Կարելի է ասել, որ «օղակ + հոսանք» համակարգը գտնվում է ստացիոնար, այսինքն՝ ժամանակի ընթացքում չփոփոխվող վիճակում: «Օղակ + հոսանք» համակարգի համար այլ ստացիոնար վիճակ կարելի է ստանալ, եթե օղակը սառեցվի մեկ այլ մեծությամբ մազնիսական դաշտում: Դաշտն անչափելիս օղակում կմակածվի գերհաղորդիչ հոսանք, որի մեծությունը կախված է դաշտի լարվածությունից: Նման հնարավոր ստացիոնար վիճակներից ամենափոքր էներգիա կունենա  $j_s = 0^\circ$  առանց հոսանքի վիճակը: Կարելի է մտածել, որ մազնիսական դաշտի լարվածության ընտրությամբ կարելի է սահմանափակաց անսուրյան հոսանքը:

Սակայն, ինչպես հայտնի է թվանշային մեխանիկայից, ստացիոնար վիճակները որաշվում են համակարգի վրա դրվող թվանշացման պայմաններով: Հետևաբար, ընական և ենթադրյալ, որ «օղակ + հոսանք» համակար-

$$\lambda = \left( \frac{m_q c^2}{4\pi q^2 n_q} \right)^{1/2} \quad (5.19)$$

Ինչպես հետևում է զերիաղորդականության միկրոսկոպական տեսությունից (§7), որպես լիցքակիրներ զերիաղորդիչներում հանդես են զայխ էլեկտրոնային գույգերը՝  $q = -2e$  լիցքով,  $m_q = 2m$  զանգվածով և  $n_q = n_s/2$  կոնցենտրացիայով: Տեղադրենով այս արժեքները (5.19) արտահայտության մեջ, կստանանք բավանցման լոնդոնյան խորության (5.9) բանաձևը:

Ընդհանուր դեպքում լրիվ հոսանքը հավասար է «նորմալ» և «զերիաղորդիչ» հոսանքների գումարին՝

$$\mathbf{j} = \mathbf{j}_n + \mathbf{j}_s : \quad (5.20)$$

«Նորմալ» հոսանքը նկարագրվում է Մաքսվելի հավասարումներով և Օհմի օրենքով՝

$$\mathbf{j}_n = \sigma_n \mathbf{E} , \quad (5.21)$$

որտեղ  $\sigma_n$ -ը «նորմալ» էլեկտրոնների հաղորդականությունն է:

Այսպիսով, զերիաղորդիչ մետաղը նկարագրու (5.20), (5.21), (5.5) և (5.1) հավասարումների եամակարգի օգնությամբ կարելի է գտնել տարրեր վիճակներում զերիաղորդչում հոսանքների և դաշտերի բաշխումը:

Հարկ է նշել, որ Լոնդոնների հավասարումները հիմնարար ֆիզիկական սկզբունքներից չեն արտածված և չեն բացատրում զերիաղորդականության երևույթը: Դրանք որոշակի սահմանափակումներ են, որոնք դրվում են էլեկտրամագնիսականության հավասարումների վրա, որպեսզի ստացված օրինաչափությունները համապատասխանեն վարձի արդյունքներին: Լոնդոնների հավասարումները լրացնեն պայմաններ են, որոնց ենթարկվում են զերիաղորդիչ հոսանքները:

Լոնդոնների տեսությունը գրակապես բացարձակ է փորձում ստացված բազմաթիվ օրինաչափություններ, սակայն տեսության քանակական համապատասխանությունը փորձին շատ դեպքերում հեռու է բավարար լինելուց: Բանն այն է, որ այս տեսությունն իր էությամբ դասական է, նրանում էլեկտրանները դիտվում են որպես դասական մասնիկներ, այնինչ զերիաղորդականության երևույթում հիմնական դերը կատարում են բվանտային օրինաչափությունները:

Լոնդոնների տևուրյան մեջ Անգլիական դաշտի լարվածությունը է, որ բավանցման լշ խորոշությունը կախված չէ. մազնիսական դաշտի լարվածությունից և նմուշի չափերից: Առաջին Անգլիական դաշտի ամառների և այն պնդմանը, որ «զերիաղորդիչ» է էլեկտրոնների թիվը կախված չէ. մազնիսական դաշտի լարվածությունից: Սակայն հայտնի է, որ մազնիսական դաշտն էապես ազդում է էլեկտրոնների վարքի վրա, ընդհուած մինչև գերիաղորդիչ վիճակի վերացումը: Այս տեսանկյունից Լոնդոնների տևուրյունը համապատասխանում է բոյլ դաշտի մոտավորությանը:

Երկրորդ Անգլիական սահմանափակությունը դառնում է ակնեայտ հատկապես բարակ ( $L \sim 10^3$  Å կարգի հաստությամբ) քաղամբների գերիաղորդիչ հատկություններն ուսումնասիրներս:

Նշված բերությունները վերացված են Վ.Գինզբորդի և Լ.Լ.անդաուի կողմից գարզացված տևուրյան մեջ, որը նույնպես երևորաբանական է, սակայն հիմնվում է թվանշային մեխանիկայի և երկրորդ կարգի ֆազային անցումների տևուրյան վրա:

## §6. Հոսքի թվանշացումը: Կուսլերյան գույզեր

Գերիաղորդիչ վիճակում գանվող օղակում հոսանքը պահպանվում է առանց փոփոխության գործնականորեն անվերջ երկար ժամանակ: Կարելի է ասել, որ «օղակ + հոսանք» համակարգը գտնվում է ստացիոնար, այսինքն՝ ժամանակի ընթացքում չփոփոխվող վիճակում: «Օղակ + հոսանք» համակարգի համար այլ ստացիոնար վիճակ կարելի է ստանալ, եթե օղակը սառեցվի մեկ այլ մեծությամբ մազնիսական դաշտում: Դաշտն անշատելիս օղակում կմակածվի գերիաղորդիչ հոսանք, որի մեծությունը կախված է դաշտի լարվածությունից: Նման հնարավոր ստացիոնար վիճակներից ամենափրկ էներգիա կունենա  $j_s = 0^\circ$  առանց հոսանքի վիճակը: Կարելի է մտածել, որ մազնիսական դաշտի լարվածության ընտրությամբ կարելի է ստանալ ցանկացած մեծության հոսանք:

Սակայն, ինչպես հայտնի է թվանշային մեխանիկայից, ստացիոնար վիճակները որպաշտում են համակարգի վրա դրվող թվանշացման պայմաններով: Հետևաբար, ընական է ենթադրել, որ «օղակ + հոսանք» համակար-

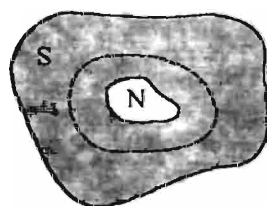
զր ևս կարող է ունենալ թվանշացման պայմաններով որոշվող ստացիտնար վիճակներ:

1950թ. Ֆ.Լոնդոնի կողմից կանխատեսվել է զերհաղորդիչ օդակում մազնիսական հոսքի թվանտացման երևույթը:

Եթե ենթադրենք, որ «օդակ + հոսանք» եամակարգը գտնվում է որոշակի թվանտային վիճակում, ապա թվանտացման պայմանը կը նշունի հետևյալ տեսքը:

$$\oint_C p_s dl = nh, \quad n = 0, 1, 2, \dots, \quad (6.1)$$

որտեղ  $p_s$ -ը զերհաղորդիչ հոսանք ստեղծող մասնիկի իմպուլս է,  $dl$ -ը՝ հետազգի տարրը,  $C$ -ը՝ ինտեգրման կոնտուրը, (նկ. X.26,  $S$ -ը զերհաղորդիչ



Նկ. X.26

տիրույթն է,  $N$ -ը՝ նորմալ տիրույթը, որաւել մազնիսական դաշտի լարվածությունը զրոյից տարբեր է. կետազնով պատկերված է  $C$  կոնտուրը):  $p_s$  իմպուլսը որոշում է մասնիկի դրայվի ալիքի երկարությունը՝  $\lambda = h / |p_s|$  և կապված է մասնիկի «կինետիկական» (մասնիկի կինետիկ էներգիան որոշող)  $m v_s$  իմպուլսի հետ (5.16) առնչությամբ: (5.17)

առնչության օգնությամբ թվանտացման (6.1) պայմանը կարելի է ներկայացնել

$$\frac{m_q}{q^2 n_q} \oint_C j_s dl + \frac{1}{c} \oint_C A dl = \frac{h}{q} n \quad (6.2)$$

տեսքով: Օգտական Ստորական թերեմից՝

$$\oint_C A dl = \iint_S \text{rot } A dS, \quad (6.3)$$

որտեղ  $S$ -ը  $C$  կոնտուրով սահմանափակված մակերեսն է, և նկատի ունենալով  $\text{rot } A = B$  կապը, (6.2) առնչության փոխարեն կստանանք՝

$$\frac{m_q}{q^2 n_q} \oint_C j_s dl + \frac{1}{c} \iint_S B dS = \frac{h}{q} n : \quad (6.4)$$

Զախ մասում զրկած մեծությունը Ֆ. և Հ. Լոնդոնների կողմից անվանվել է ֆլուքտուացիա, որի մեջ մտնող երկրորդ գումարելին (առանց  $1/c$  գործակցի)

մագնիսական հոսքն  $I$ .  $S$  մակերևոսվ (ներառյալ նաև բավանցման շերտը): Համաձայն (6.4) պայմանի, ֆլուքսողիդը կարող է ունենալ միայն դիսկրետ,  $h/q$  մեծության պատճեն, այսինքն՝ այն բվանաւանում է:

Եթե  $C$  կոնտուրն ամրողությամբ բնկած է գերհաղորդիչ տիրույթում, որտեղ  $j_s = 0$ , ապա (6.4) հավասարումից ստացվում է մագնիսական հոսքի բվանաւացման սլայմանը՝

$$\iint_S BdS \equiv \Phi_s = n \frac{ch}{q} \equiv n \Phi_0 , \quad n = 0, 1, 2, \dots \quad (6.5)$$

այսինքն՝  $C$  կոնտուրը «ձգող»  $S$  մակերևոսվ մագնիսական հոսքը կարող է ընդունել միայն  $\Phi_0$  մեծության պատճեն, արժեքներ, ընդունելով

$$\Phi_0 = \frac{ch}{q} \quad (6.6)$$

մեծությունը մագնիսական հոսքի բվանտն է («ֆլուքսուն»):

Լոնդոնների տեսության մեջ որպես «գերհաղորդիչ» լիցրակիրներ համդես են զալիս էլեկտրոնները, ուստի մագնիսական հոսքի բվանտի համար ստացվում է հետևյալ բվային արժեքը՝

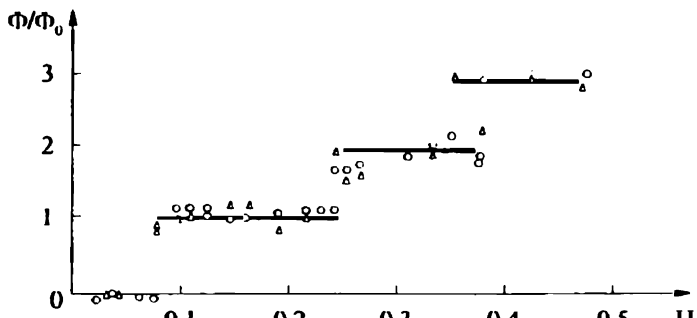
$$\Phi_0^{(L)} = \frac{ch}{q} \approx 4,14 \cdot 10^{-7} \text{ Գս} \cdot \text{սմ}^2 :$$

Սակայն, ինչպես ցույց են տալիս փորձերը, (Ռ. Դու և Մ.Ներառուեր, Գերմանիա, 1961թ.; Բ. Դիվեր և Ու. Ֆեյրբենք, ԱՄՆ, 1961թ.), մագնիսական հոսքի բվանտի համար ստացվում է երկու անգամ փոքր արժեք՝

$$\Phi_0 = \frac{ch}{2e} \approx 2,07 \cdot 10^{-7} \text{ Գս} \cdot \text{սմ}^2 : \quad (6.7)$$

Այս արտահայտությունից և (6.6) սահմանումից հետևում է, որ  $q = 2e$ , այսինքն՝ գերհաղորդիչ հոսանքը պայմանավորված է էլեկտրոնային գույզերով (այսպես կոչված «կուպերյան գույզեր»), որոնց վերազրկում է նաև  $m_q = 2m$  զանգված: Նկ. X.27-ում պատկերված է Բ. Դիվերի և Ու. Ֆեյրբենքի կողմից անագն զլանիկում մագնիսական հոսքի չափամեջների արդյունքը՝ բերված մագնիսական հոսքի՝  $\Phi/\Phi_0$  մեծության կախումը զլանիկում «քոնված» (կամ «սառեցված») մագնիսական դաշտի մեծությունից: Նկա-

թից հստակորեն երևում էն մագնիսական հոսքի  $n = 0,1$  և 2 բվանտով վիճակները:



Նկ. X.27

Հարկ է նշել, որ (6.4) արտահայտության մեջ  $m_q/q^2 n_q$  գործակցի մեծությունը կախված չէ այն քանից, թե ինչ մասնիկներով է տնդավորական հոսանքը՝ առանձին էլեկտրոններով՝, թե՞ կուպերյան գույզերով: Վերջին դեպքում, քացի  $q = 2e$  և  $m_q = 2m$  առնչություններից, որպես լիցրակիրների կոնցենտրացիա պետք է վերցնել  $n_q = n/2$  մեծությունը:

Մագնիսական հոսքի քվանտացման երևույթը վկայում է նաև կուպերյան գույզերի ուժեղ վտակային կոռելյացիայի (վտխկապակցվածության, փոխհամաձայնեցվածության) մասին, քանի որ, փորձի համաձայն, քազոր կուպերյան գույզերն ունեն միևնույն  $n$  քվանտային թիվը: Հաջորդ՝  $n'$  քվանտային թիվն անցնելիս բոլոր կուպերյան գույզերն անցնում են միևնույն նոր՝  $n'$ -ով որոշվող քվանտային վիճակին: Եթե մեկ առանձին կուպերյան գույզ իր քվանտային թիվը մեծացնի միավորով, իսկ մյուսները մնան նույն  $n$ -ով վիճակում, ապա դրա ենտ կապված մագնիսական հոսքի փոփոխաւթյունը՝  $\Delta\Phi = \Phi_0/N_c$ , որտեղ  $N_c$ -ն կուպերյան գույզերի թիվն է տվյալ ջերմաստիճանում:  $N_c$  թիվ մակրոսկոպական բնույթի պատճառով  $\Delta\Phi$ -ն շատ անգամ փոքր է փորձում դիտվող  $\Phi_0$  արժեքից:

Ներմուծելով կուպերյան գույզի գաղափարը, արտաքին մագնիսական դաշտում գերհաղորդիչ հոսանքի քվանտամեխանիկական արտահայտու-

բյունը կարելի է գրել բնդիանրացված սևաբով, նրանում վելցնելով  $q = -2e$  և  $m_q = 2m$ :

$$\mathbf{j}_s = -\frac{e}{2m} \left\{ \psi^* \left( -i\hbar \nabla + \frac{2e}{c} \mathbf{A} \right) \psi + \psi \left[ \left( -i\hbar \nabla + \frac{2e}{c} \mathbf{A} \right) \psi \right]^* \right\} : \quad (6.8)$$

Այս արտահայտությունից, որն առաջին անգամ գրվել է Վ.Գինզբուրգի և Լ.Լանդաուի կողմից, կատարելով որոշ ներադրություններ, կարելի է ստանալ Լոնդոնների տևառության (5.5) (կամ (5.18)) հավասարումը:

Իրոք, ենթադրենք, որ  $\psi$  ալիքային ֆունկցիայի փոփոխությունը տարածության մեջ պայմանավորված է միայն նրա փուլի փոփոխությամբ՝

$$\psi(\mathbf{r}) = |\psi| \exp[i\varphi(\mathbf{r})] ; \quad |\psi| \approx \text{const} : \quad (6.9)$$

Ֆիզիկուրեն այս ենթադրությունը նշանակում է, որ կուպերյան գույզերի խտությունը ևապես չի տարրերվում թիրմողինամիկական հավասարակշռության վիճակում ունեցած խտությունից: Կուպերյան գույզերը կարող են տեղափոխվել, բայց չկուտակվել և ոչ էլ ոչնչանալ: Տեղադրելով (6.9) հավասարումը (6.8) արտահայտության մեջ, կստանանք՝

$$\mathbf{j}_s \cong - \left( \frac{2e^2}{mc} \mathbf{A} + \frac{e\hbar}{m} \nabla \varphi \right) |\psi|^2 : \quad (6.10)$$

(6.10) հավասարման աջ և ձախ մասերի վրա ազդելով «րօ» օպերատորավ և նկատի ունենալով, որ ցանկացած ֆունկցիայի համար  $\text{rot}(\nabla \varphi) \equiv \equiv \text{rot}(\text{grad } \varphi) = 0$ , կստանանք Լոնդոնների

$$\text{rot } \mathbf{j}_s = - \frac{e^2 n_s}{mc} \mathbf{B}$$

հավասարումը, որտեղ որպես կուպերյան գույզերի խառություն եանդես է գալիս

$$n_s = 2|\psi|^2 \quad (6.11)$$

Մնջությունը: Այս համապատասխանեցումը հիմնավորված է, եթե  $\psi$ -ն մեկնաբանվի որպես կուպերյան գույզի ալիքային ֆունկցիա:

Գերիադրությամբ (6.10) արտահայտությունից ուղղակիորեն ստացվում է նաև մազմիսական հոսքի քվանտացման (6.5) պայմանը: Ին-

տեղբենք (6.10) արտահայտությունը  $C$  վաև կոնսուրով, որն ամրադրությամբ գտնվում է գերիադրուիչ ալիքություն (նկ. X.26) և նրանում անդադրենք  $j_s = 0$ . Ակատի ունենալով նաև (6.3) առնչությունը, կստանանք՝

$$\frac{2e^2}{mc} \Phi_s = -\frac{e\hbar}{m} \oint_C \nabla \varphi \cdot dl : \quad (6.12)$$

Մյուս կողմից, քանի որ  $\psi$  ալիքային ֆունկցիան միարժիք է, ապա վաև կոնսուրով պատվելիս նրա փուլը պեսը է. փոփոխվի  $\Delta\varphi = 2\pi n$  մեծությամբ, որտեղ  $n$ -ն ամրող թիվ է: Հետևաբար՝

$$\oint_C \nabla \varphi \cdot dl = \oint_C \frac{\partial \varphi}{\partial l} dl = \oint_C d\varphi \equiv \Delta\varphi = 2\pi n : \quad (6.13)$$

(6.12) և (6.13) բանաձևերի համաձայն՝

$$|\Phi_s| = \frac{\hbar c}{2e} \cdot 2\pi n = \frac{\hbar c}{2e} \cdot n \equiv \Phi_0 \cdot n : \quad (6.14)$$

Արփած ենրադրությունների շրջանակներում ստացված այս ոչ լսիստ ալլացուցքը հիմնավորում է զերևադրուիչ վիճակը (6.9) ալիքային ֆունկցիայով նկարագրելու իրավացիությունը:

## §7. Գերիադրդականության միկրոսկոպական տևության

### ֆիզիկական հիմունքները

Գերիադրդականության երևույթի փորձարարական ուսումնասիրությունները և երևորաբանական տեսությունների արդյունքները համագիծ ձևով ցույց տվեցին, որ գերիադրուիչ վիճակն օծված է որոշակի կարգավորվածությամբ, որն ի հայտ է գալիս նորմալ վիճակից զերիադրուիչ վիճակի անցնելյան:

Ցանկացած կարգավորվածություն, անկախ նրա ծագման ֆիզիկական պատճառներից, հետևանք է որոշակի փոխագոյնեցության, որի ինտենսիվությամբ էլ հենց որոշվում է ավյալ կարգավորված վիճակին անցման բնութագրական ջերմաստիճանը: Օրինակ՝ գագերի, հեղուկների և պինդ մարմնների վախճանարձ փոխակերպումները պայմանավորված են ասուների և մոլեկուլների միջև գործող ուժերով, ընդ որում մեկ մասնիկին բաժին

ընկնող կապի էներգիաներն ընկած են  $10^{-2}$ էՎ-ից մինչև մի քանի էՎ տիրույթում (Մաս I, Աղյուսակ II. I-II.4), և որոնց համապատասխանում են մի քանի տասնյակից մինչև մի քանի հազար կելվին բնութագրական ջերմաստիճաններ: Եվ հատկանշական է, որ անցման ջերմաստիճանի նվազման ենա նյութն անցնում է ավելի կարգավորված վիճակի (զազ → → ենդոկ → պինդ բյուրեղական մարմին):

Ցածր ջերմաստիճանների սիրույթում հանդես են գափս ավելի և ավելի քույլ փոխազդեցություններ: Օրինակ՝  $10^{-4}$ էՎ ( $T \sim 1\text{K}$ ) էներգիաները բնութագրական են աստոմների և մոլեկուլների մագնիսական մոմենտների փոխազդեցության համար և կարող են նպաստել մագնիսական կարգավորվածության առաջացմանը (IX.7, IX.14):

Գերիաղորդիչ վիճակին անցման կրիտիկական ջերմաստիճաններն ընկած են  $10^{-2} \text{K} \div 10\text{K}$  տիրույթում (Աղյուսակ X.1, X.2, Հավելված 4), ուստի պեսար է ննրադրել, որ գերիաղորդականության բերող փոխազդեցությունը բավականաչափ քույլ է: Կատարենք գնահատումներ: Նորմալ մետասով և գերիաղորդի 1սմ<sup>3</sup>-ին բաժին ընկնող էներգիաների տարրերությունը, համաձայն (4.9) բանաձեկի,  $H_c \sim 10^3$ Գս դաշտում  $10^5$  էրգ կարգի մեծություն է: Քանի որ մետասովի 1սմ<sup>3</sup>-ում պարունակվում է մոտ 10<sup>22</sup> էլեկտրոն, ապա գերիաղորդիչ վիճակում յուրաքանչյուր էլեկտրոնին բաժին է ընկնում  $10^5 / 10^{22}$  էրգ  $\approx 10^{-5}$ էՎ էներգիա: Մյուս կողմից, հայտնի է, որ մետաղներում էլեկտրոնների կոլոնյան փոխազդեցության էներգիան էՎ-ի կարգի է և դրա անտևումը բոլորովին չի խանգարում ժամանակակից մետաղների տեսությանը՝ համարժեքորեն նկարագրելու նրանց ֆիզիկական հատկությունները: Այսպիսով, անհրաժեշտ է բացատրել էլեկտրոնային համակարգում կարգավորվածության առաջացումը, պայմանավորված  $10^{-5}$  էՎ կարգի էներգիայով, որը շատ անգամ փոքր է տեսության շրջանակներում անտեսվող էներգիայից:

Գերիաղորդականության երևույթը բացատրելու համար անհրաժեշտ է նախ և առաջ գտնել այն փոխազդեցությունը, որը բերում է էլեկտրոնային համակարգում կարգավորվածության առաջացման:

1950թ. Հ.Ֆրյոնիխը տեսականորեն ցույց տվեց, որ էլեկտրոնների և բյուրեղական ցանցի տատանումների միջև փոխազդեցությունը կարող է

Եթել էլեկտրոնների միջև լրացուցիչ փոխազդեցության, որը որպակի պայմաններում կրում է ծգողության բնույթ: Եթե այն գերազանցի էլեկտրոնների միջև վանդությունը, ապա մետաղում կառաջանա էլեկտրոնների արդյունարար ծգողություն և, որպես հետևանք՝ գերեաղորդականություն:

Ինչպե՞ս պատկերացնել ցանցի միջոցով իրականացվող էլեկտրոն-էլեկտրոն փոխազդեցությունը:

Ենթադրենք՝  $p_1$  իմպուլսով կենացրում տարածվում և բյուրեղում: Ինչոր պահի այն զրգում և ցանցը, այսինքն՝ ստեղծում տատանում, կամ ինչպես ընդունված և ասել, արձակում է ֆոնոն<sup>9)</sup>, որը մինչ այդ գոյություն չուներ, և անցում է նոր՝  $p'_1$  իմպուլսով վիճակի: Ինպուլսի պահպանման օրենքի համաձայն՝

$$p_1 = p'_1 + \hbar q, \quad (7.1)$$

որտեղ  $\hbar q$  մեծությունը ֆոնոնի իմպուլսն է: Ծնված ֆոնոնն անմիջապես կլանվում և մի այլ՝  $p_2$  իմպուլսով էլեկտրոնի կողմից, որն անցնում է նոր՝  $p'_2$  իմպուլսով վիճակի, ընդ որում

$$p'_2 = p_2 + \hbar q : \quad (7.2)$$

Այսպիսով,  $p_1$  և  $p_2$  իմպուլսներով էլեկտրոնները ցանցի միջնորդությամբ անցան  $p'_1$  և  $p'_2$  իմպուլսներով վիճակների, այսինքն՝ ցրվեցին իրար վյա, ինչն էլ հենց նշանակում է փոխազդեցության առկայություն էլեկտրոնների միջև, որի դեպքում, ըստ (7.1) և (7.2) բանաձևերի, նրանց գումար իմպուլսը չի փոխվում:

$$p_1 + p_2 = p'_1 + p'_2 : \quad (7.3)$$

Նկ. X.28-ում տրված է էլեկտրոնների փոխազդեցության գրաֆիկական պատկերը:

Նկ. X.28

Այժմ պարզենք փոխազդեցության բնույթը:

<sup>9)</sup> Ընդունված է ցանցի որոշակի հաճախություն և ալիքային վեկտոր ունեցող տատանմանը (մողին) համապատասխանության մեջ դնել  $\varepsilon_p = \hbar \omega_p$  էներգիայով և  $p = \hbar k$  իմպուլսով «մասնիկ» ֆոնոն, այնպես, ինչպես էլեկտրամագնիսական դաշտի տատանման մողին համապատասխանության մեջ է դրվում դաշտի քվանու ֆունդու:

Երբ լեկտրոնը  $p_1$  իմպուլսով և  $\varepsilon_{p_1} = p_1^2/2m$  էներգիայով վիճակից անցնում է  $p'_1$ ,  $\varepsilon_{p'_1}$  վիճակի, միջավայրում ծագում է էլեկտրոնային խտության փոփոխություն  $\omega = (\varepsilon_{p'_1} - \varepsilon_{p_1})/\hbar$  հաճախությամբ: Դիցուք՝ այսպիսի փոփոխության դեպքում տվյալ տեղում առաջացավ էլեկտրոնների տեղային խտության աճ: Իոնները կծզվեն դեպի այդ տեղը և, քանի որ ոնքն զգալի զանգվածներ, ապա բացասական լիցքի հավելուրդը համաշխատություն է հետո էլ դեռ կշարունակեն շարժվել նոյն ուղղությամբ, ինչի արդյունքում կառաջանա լիցքի վերահամակարություն: Այսինքն՝ տվյալ կետում այժմ կստեղծվի դրական լիցքի ավելցուկ: Երկրարդ էլեկտրոնը, այսպիսով, կծզվի այդ դրական լիցքի կողմից: Այս ծգողությունը կառաջանա, եթե ցանցի հարկադրական տատանումները փուլով համընկնում են հարկադրող ուժի, այլ կերպ՝ էլեկտրոնային խտության փոփոխության հետ, որը կատարվում է  $\omega = (\varepsilon_{p'_1} - \varepsilon_{p_1})/\hbar$  հաճախությամբ: Ինչպես հայտնի է, հարկադրական տատանումները փուլով համընկնում են արտաքին ուժի հետ, եթե տատանողական համակարգի սեփական հաճախությունը մեծ է հարկադրող ուժի հաճախությունից՝  $\omega_0 > \omega$ :

Այսպիսով, երկու էլեկտրոնների փոխազդեցությունը կունենա ծգողության բնույթ, եթե էլեկտրոնային խտության  $\omega$  հաճախությունը փոքր է, ցանցի սեփական տատանումների Դեբայի բնութագրական  $\omega_D$  հաճախությունից, որը (Մաս I, IV.4, III.3) կախված է տատանվող մասնիկի (իոնի)  $M$  զանգվածից՝

$$\omega_D \sim M^{-1/2}: \quad (7.4)$$

Հ.Ֆրյոհլիխի կողմից առաջարկված էլեկտրոն-էլեկտրոն փոխազդեցության ֆոնոնային մնխանիզմը հաստատվեց երկու, իրարից անկախ փորձարարական խմբերի (Է.Մաքսվել և Ս.Ռենորդ և այլք) կողմից հայտնաբերված իզոտոպական երևույթով, որի համաձայն տվյալ մետաղի տարրեր իզոտոպներ ունեն տարրեր կրիտիկական ջերմաստիճաններ և տարրեր կրիտիկական մազնիսական դաշտեր:

Իզոտոպական երևույթը նկարագրվում է հետևյալ առնչություններով՝

$$T_c \cdot M^\alpha = const, \quad H_{0c} \cdot M^\alpha = const, \quad (7.5)$$

որտեղ տարրերի մեծ մասի համար  $\alpha \sim 0.5$  (Աղյուսակ X.7):

(7.4) և (7.5) առնչությունների համաձայն

$$T_c \sim \omega_D, \quad H_{0c} \sim \omega_D : \quad (7.6)$$

Այսպիսով, իգուտոպական երևույթից հետևում է, որ շնայած գերիաղոր-

Աղյուսակ X.7

դիշ վիճակի անցնելիս մետաղի բյուրեղական ցանցը գործնականում փոխվառարյուններ չի կրում, այնուամենայնիվ այն անմիջականորեն մասնակցում է գերիաղորդիչ վիճակ ստեղծելուն: Եթե իգուտոպի զանգվածը մեծ է, ապա  $\omega_D$ -ն համեմատաբար փոքր է, ցանցի կենտրոնով պայմանավորված տեղային բևեռացումը փոքր է, ուստի և փոխազդեցուրյունը՝ բույլ: Արդյունքում կրիական չերմաստիճանը

նվազում է, ինչը և հաստատում է փորձը:

Ցանցում կենտրոնների միջև արդյունարար ձգողության ի հայտ գալը կարելի է մեկնաբանել ավելի ընդիմանուր քվանտամեխանիկական փոխանակային փոխազդեցուրյունների տեսանկյունից, որի համաձայն փոխազդող կենտրոնները փոխանակում են ֆոնոնները: (Ընդունված է կենտրոնի կողմից ստեղծված և մյուս կենտրոնի կողմից կրանված ֆոնոնին անվանել «վիրտուալ», այսինքն՝ առանց կենտրոնի գոյություն չունեցող, ի տարբերակություն ունալ ֆոնոնների՝ ցանցի տատանումներին համապատասխանող քվանտների):

Գերիաղորդականության միկրոսկոպական մեխանիզմը հասկանալու գործում հաջորդ վճռորած քայլը կատարեց Լ.Կուպերը 1956թ.: Նա ցույց տվեց, որ  $T = 0K$ -ում ազատ կենտրոնային զազի նվազագույն լներգիայով հիմնական վիճակը կենտրոնների միջև ցանկացած չափով բույլ ձգողության առկայության պայմաններուն դասնում է անկայուն:

Թվում է թիշ եավանական, որ ցանկացած չափով բույլ ձգողություն եռաչափ դեպքում բերի երկու կենտրոնների կապված վիճակի (կենտրոնային գույզի) առաջացման: Եթեք, համաձայն անորոշությունների առնչության,  $r_0$  շառավղով գույզում կենտրոնների իմպուլսների անորոշությամբ պայմանավորված լներգիան  $\hbar^2/mr_0^2$  կարգի մեծություն է, ուստի կապված

վիճակ կառաջանա, եթև կապի 1.6-րդիսն զերազանցի այդ մեծությունը (Մաս I, II.6): Սակայն Լ. Յուտքերը ցույց տվեց, որ ննան թի հավանական թվացող հնարավորությունը կարող է իրականանալ Պառվի սկզբունքի և մնացած էլեկտրոնների՝ գույզի վրա ազդեցության շնորհիվ:

Էլեկտրոնային համակարգի  $T = 0\text{K}$ -ում հիմնական վիճակի անելայունության ծագման (հետևարար՝ և կուլերյան գույզի առաջացման) պատճառը պարզելու նպատակով ուսումնասիրենը երկու առանձնացված էլեկտրոնների վարքը, որոնք գտնվում են  $r_1$  և  $r_2$  կետերում և որոնց իմպուլսները գտնվում են  $p_F$  շառավղով ֆերմի-գնդոլորաից դուրս՝  $p_1, p_2 > p_F$ : Նշանակենք այդ էլեկտրոնների ալիքային ֆունկցիան  $\Phi(r_1, r_2)$ -ով և առայժմ դիտարկենք միայն այնպիսի վիճակներ, երբ գույզի գանգվածների կենտրոնը գտնվում է դադարի վիճակում: Այս դեպքում ալիքային ֆունկցիան կախված է միայն  $r_1 - r_2$  տարբերությունից և այն կարևի և ներկայացնել հարթակին գումարի տեսքով՝

$$\Phi(r_1 - r_2) = \sum_p g(p) \exp\left[\frac{i}{\hbar} p(r_1 - r_2)\right], \quad (7.7)$$

որտեղ  $|g(p)|^2$  մեծությունը հավանականությունն է այն բանի, որ մի էլեկտրոնը գտնվում է  $p$ , իսկ մյուսը՝  $-p$  իմպուլսով վիճակում: Զանի որ բոլոր  $p < p_F$  վիճակները զբաղեցված են, ապա Պառվի սկզբունքի համաձայն

$$g(p) = 0, \quad \text{եթև} \quad p < p_F : \quad (7.8)$$

Տեղադրելով (7.7) արտահայտությունը երկու էլեկտրոնի համար գրված Ծրեղինգերի հավասարման մեջ՝

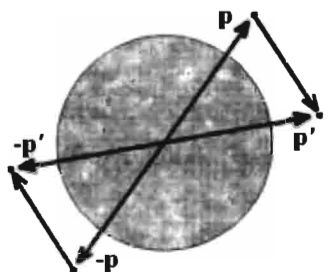
$$\left[ -\frac{\hbar^2}{2m} \nabla_1^2 - \frac{\hbar^2}{2m} \nabla_2^2 + V(r_1, r_2) \right] \Phi(r_1 - r_2) = E \Phi(r_1 - r_2), \quad (7.9)$$

ծախսից բազմապատկելով  $\exp[-ip'(r_1 - r_2)/\hbar]$ -ով և ինտեգրելով ըստ  $r = r_1 - r_2$  փոփոխականի, կստանանք հավասարում անհայտ  $g(p)$  ֆունկցիայի համար՝

$$2 \cdot \frac{p^2}{2m} g(p) + \sum_{p'} V_{p,p'} g(p') = Eg(p), \quad (7.10)$$

$$V_{p,p'} = \frac{1}{L^3} \int V(r) e^{i(p-p')r/\hbar} dr \quad (7.11)$$

մեծությունը երկու էլեկտրոնների փոխազդեցության  $V(r)$  էներգիայի մատրիցական տարրն է  $p$  և  $p'$  վիճակների միջև,  $L^3$ -ը համակարգի ծավալն է:



Նկ. X.29

բացասական է: Պարզության համար ենթադրենք, որ (7.11) մատրիցական տարրը կարելի է ներկայացնել հետևյալ տեսքով՝

$$V_{p,p'} = -\frac{V_0}{L^3}, \quad \text{եթե } |\epsilon_p - \epsilon_F| < \hbar\omega_D, \quad |\epsilon_{p'} - \epsilon_F| < \hbar\omega_D \quad (7.12)$$

$V_{p,p'} = 0$ ,      մնացած դեպքերում:

Համաձայն այս ենթադրության, երկու էլեկտրոն իրար ծգում են միայն այն դեպքում, եթե նրանց էներգիաներն ընկած են ֆերմի-մակերևույթի մոտ  $\hbar\omega_D$  շերտում: Նկատի ունենալով (7.12) մոտավորությունը, (7.10) հավասարությունից կստանանք՝

$$(-2\epsilon_p + E)g(p) = -\frac{V_0}{L^3} \sum_{p'} g(p') : \quad (7.13)$$

Կատարենք նշանակում՝

$$C = -\frac{V_0}{L^3} \sum_{p'} g(p') = const, \quad (7.14)$$

որտեղ գումարամբ կատարվում է միայն ֆերմի-մակերևույթին հարադր հարադր  $\hbar\omega_D$

շերտում գտնվող վիճակներով: (7.13) հավասարման համաձայն՝

$$g(p) = \frac{C}{E - 2\varepsilon_p}, \quad (7.15)$$

որը տեղադրելով (7.14) նշանակման մեջ, կստանանք էլեկտրոնային գույզի  $E$  էներգիան որոշելու հավասարումը՝

$$\frac{V_0}{L^3} \sum_{p'} \frac{1}{E - 2\varepsilon_{p'}} = -1 : \quad (7.16)$$

Նկատի ունենալով էլեկտրոնային համակարգի մակրոսկոպական բնույթը, (7.16) հավասարման մեջ լսար  $p'$ -ի գումարից անցնենք ինտեգրալի (Մաս I, III.6.12):

$$\frac{V_0}{L^3} \cdot \frac{L^3}{(2\pi\hbar)^3} \int \frac{dp'}{2\varepsilon_{p'} - E} = 1 : \quad (7.17)$$

Ընդիմութեալ արտահայտությունը կախված է միայն իմպուլսի մադուլից, ուսարի անցնելով էներգիային և ներմուծելով վիճակների խտության ֆունկցիան սպինի մեկ ուղղության և ծավալի միավորի համար՝

$$N(\varepsilon') d\varepsilon' = \frac{dk'}{(2\pi)^3} = \frac{dp'}{(2\pi\hbar)^3}, \quad (7.18)$$

(7.17) հավասարումը կարող ենք ներկայացնել հետևյալ տեսքով՝

$$f(E) \equiv V_0 \int_{\varepsilon_F}^{\varepsilon_F + \hbar\omega_D} \frac{N(\varepsilon') d\varepsilon'}{2\varepsilon' - E} = V_0 \int_0^{\hbar\omega_D} \frac{N(\varepsilon + \varepsilon_F) d\varepsilon}{2\varepsilon_F - E + 2\varepsilon} = 1 : \quad (7.19)$$

Սահմանենք էլեկտրոնային գույզի կապի էներգիան որպես երկու չփոխագործող էլեկտրոնների և էլեկտրոնային գույզի էներգիաների տարրերություն՝

$$\Delta = 2\varepsilon_F - E : \quad (7.20)$$

Քանի որ  $\hbar\omega_D \ll \varepsilon_F$ , ապա կարելի է (7.19) ինտեգրալում ընդունել  $N(\varepsilon + \varepsilon_F) \approx N(\varepsilon_F)$  և հաշվել ինտեգրալը՝

$$V_0 N(\varepsilon_F) \int_0^{\hbar\omega_D} \frac{d\varepsilon}{2\varepsilon + \Delta} = \frac{1}{2} N(\varepsilon_F) V_0 \ln \left( 1 + \frac{2\hbar\omega_D}{\Delta} \right) = 1, \quad (7.21)$$

որտևելից հետևում է կապի էներգիայի վերջնական արտահայտությունը՝

$$\Delta = \frac{2\hbar\omega_D}{\exp\left[\frac{2}{N(\varepsilon_F)V_0}\right] - 1} : \quad (7.22)$$

Այսպես կոչված բույլ կապի մոտավորությամբ, եթե  $N(\varepsilon_F)V_0 \ll 1$ ,

$$\Delta \approx 2\hbar\omega_D \exp\left[-\frac{2}{N(\varepsilon_F)V_0}\right] : \quad (7.23)$$

Ստացված արդյունքի յուրահասկությունն այն է, որ անզամ շատ բույլ ( $V_0 \rightarrow 0$ ) ձգողական փոխազդեցության դեպքում գոյություն ունի  $\Delta \neq 0$  կապի էներգիա և, հետևաբար՝ նրկու կենկարունների կապված վիճակ:

Յանկացած չափով բույլ ձգողական պոտենցիալի համար վերջավոր կապի էներգիայի գոյությունը պայմանավորված է լցված վիճակների ֆերմի-զնդոլորտի գոյությամբ:

Իրոք, եթե  $\varepsilon_F = 0$ , ապա (7.19) հավասարման աջ մասում առկա

$$I(E) = \int_0^{\hbar\omega_D} N(\varepsilon) \frac{d\varepsilon}{2\varepsilon - E} \quad (7.24)$$

ինտեգրալը  $E = 0$  դեպքում  $I(0)$  վերջավոր մեծություն է, քանի որ  $N(\varepsilon) \sim \varepsilon^{1/2}$ : Եթե  $E < 0$ , ապա  $I(E) < I(0)$  կամ  $V_0 I(0) > V_0 I(E) = f(E) = 1$ : Այս պայմանից հետևում է, որ  $V_0 I(0) < 1$  դեպքում կապված ( $E < 0$ ) վիճակներ չկան: Սակայն, եթե  $N(\varepsilon) \approx \text{const}$ , ապա  $I(2\varepsilon_F) = \infty$ , ուստի ցանկացած չափով փոքր  $V_0$ -ի համար միշտ կգտնվի այնպիսի  $\Delta = 2\varepsilon_F - E > 0$ , որ  $I(2\varepsilon_F - \Delta) = 1/V_0$ , և որի լուծումը տրվում է (7.22) արտահայտությամբ:

(7.23) արտահայտությունը չի կարելի վերածել շարքի ըստ  $V_0$ -ի, եթե  $V_0 \rightarrow 0$ : Այս արդյունքից ենտևում է, որ զերիաղորդականության միկրոսկոպական տեսությունը ենարակոր չէ կառուցել խոտորումների ստանդարտ տեսության շրջանակներում:

## §8. Գաղափար գերհաղորդականության ԲԿԸ տեսության մասին

Գերհաղորդականության միկրոսկոպական տեսությունը, որը հաջողությամբ բացատրում է փորձում դիսվող օրինաչափությունները, ստեղծվել է գերհաղորդականության երևոյթի հայտնագործությունից 46 տարի անց, ամերիկյան գիտնականներ Ջ.Բարյինի, Լ.Կուպերի և Ջ.Շրիֆերի կողմից 1957թ. (գերհաղորդականության ԲԿԸ տեսություն):

ԲԿԸ տեսության մեջ, Կուպերի խնդրի համեմատությամբ, կատարվում է հաջորդ քայլը՝ կառուցվում է հիմնական վիճակ, որտեղ Կուպերյան գույզեր են կազմում բոլոր էլեկտրոնները: Այս մոտեցումն ավելի ընդեհանուր է, քան Կուպերինը, քանի որ յուրաքանչյուր էլեկտրոն կատարում է կրկնակի դեր՝

ա) Պառկի սկզբունքի համաձայն, ապահովում է իմպուլսների ընդունած արժեքների անհրաժեշտ սահմանափակում, ինչը մյուս էլեկտրոններին հնարավորություն է տալիս ստեղծել կապված գույզեր ցանկացած չափով թույլ ճգնաժամկետության առկայության պայմաններում,

բ) մասնակցում է որևէ կապված գույզի ստեղծմանը:

Ուսումնասիրները գերհաղորդչի հիմնական վիճակը, որն իրացվում է  $T = \text{OK}$ -ում, և որին համապատասխանում է նվազագույն էներգիա:

Նորմալ մետաղում նվազագույն էներգիայով վիճակին իմպուլսային տարածության մեջ համապատասխանում է լրիվ «լցված» ֆերմի-գնդոլորար, իսկ նրանից դուրս՝ ազատ վիճակների բազմությունը: Այս վիճակում էլեկտրոնային համակարգի կինետիկ էներգիան ամենափոքրն է, իսկ պոտենցիալ էներգիան ազատ էլեկտրոնների մոդելի շրջանակներամ պարզապես բացակայում է:

«Միացնենք» էլեկտրոնների միջև ցանցի միջնորդությամբ փոխազդեցությունը: Այն ունի ճգնաժամկան բնույթ, ուստի էներգիայի մեջ կտա բացասական ներդրում, փոքրացնելով համակարգի լրիվ էներգիան: Էլեկտրոնների փոխազդեցությունը (ցրումը) հնարավոր է, եթե ( $p_1, p_2$ ) սկզբնական վիճակը զբաղեցված է, իսկ ( $p'_1, p'_2$ ) վերջնական վիճակը՝ ազատ: Հետևաբար՝  $T = \text{OK}$ -ում լրիվ լցված ֆերմի-գնդոլորտն այլևս չի համապատասխանի համակարգի լրիվ էներգիայի նվազագույն արժեքին (կինետիկ էներգիայի աճը փոքր է փոխազդեցության բացասական պոտենցիալ էներգիայից):

**ԲԿԸ** տեսության մեջ էլեկտրոնների միջև փոխազդեցությունը նկարագրվում է հետևյալ հիմնական մոտավորությամբ: Այն էլեկտրոնները, որոնց լներգիան էրը ֆերմի-լներգիայից տարբերվում են ոչ ավելի, քան  $\hbar\omega_D$ -ով ( $\omega_D$ -ն Դերայի հաճախությունն է), փոխադարձաբար ձգվում են, ըստ որում նրանց փոխազդեցության լներգիան հաստատուն է: Մնացած էլեկտրոնները չեն փոխազդում: Էլեկտրոնների փոխազդեցության մատրիցական տարրը տրվում է (7.12) արտահայտությամբ:

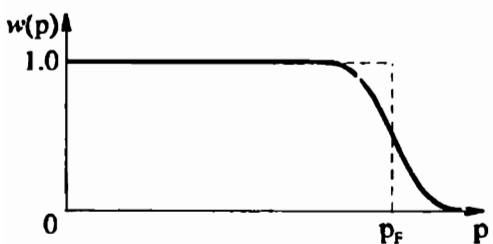
Փոխազդող էլեկտրոնների լներգիան ընկած են

$$\Delta\varepsilon = \frac{(p_F + \Delta p)^2}{2m} - \frac{(p_F - \Delta p)^2}{2m} = \frac{2p_F \Delta p}{m} = 4\varepsilon_F \frac{\Delta p}{p_F} \sim \hbar\omega_D \quad (8.1)$$

լայնությամբ շերտում: (8.1) արտահայտությունից հետևում է, որ

$$\frac{\Delta p}{p_F} \sim \frac{\hbar\omega_D}{4\varepsilon_F} \sim \frac{T_D}{4T_F}: \quad (8.2)$$

Նկատի ունենալով բնութագրական ջերմաստիճանների կարգը՝  $T_D \sim \sim 10^2 \text{ K}$ ,  $T_F \sim 10^4 \div 10^5 \text{ K}$ , կստանանք, որ  $\Delta p/p_F \sim 10^{-3}$ : Այսպիսով, էլեկտրոնային համակարգը զտնվում է մի վիճակում, երբ ֆերմի-մակերևույթից դուրս որոշ վիճակներ զրադեցված են, իսկ նրանից ներս կան որոշ ազատ վիճակներ: Արդյունքում  $T = 0 \text{ K}$ -ում ֆերմի-մակերևույթը դառնում է «լողաված» ի հաշիվ ոչ լրիվ զրադեցված ( $\varepsilon_p \geq \varepsilon_F$ ) և ոչ լրիվ ազատ ( $\varepsilon_p \leq \varepsilon_F$ )



Նկ. X.30

անզամ բացարձակ զրո ջերմաստիճանում էլեկտրոնների բաշխումն ըստ իմպուլսների  $p = p_F$  կետում խզում չունի:

Վիճակների: Նկ. X.30-ում պատկերված է  $T = 0 \text{ K}$ -ում ( $p, -p$ ) երկելեկտրոնային վիճակի զրադեցված լինելու  $w(p)$  հավանականության՝ իմպուլսից կախման զրաֆիլը:

Ի տարբերություն նորմալ մետաղի (Նկ. X.30, կետազիծ),

**ԲԿԸ** մոտավորությամբ էլեկտրոնային համակաղզի հիմնական վիճակի ալիքային ֆունկցիան կառուցվում է հետևյալ ձևով: Խորավորները  $N$  էլեկտրոններն ըստ  $N/2$  գույզերի և նորադրենք, որ յուրաքանչյուր գույզ նկարագրվում է կապված վիճակի  $\Phi(r, s; r', s')$  ալիքային ֆունկցիայով ( $s, s'$ -ը էլեկտրոնների սպիներն են): Այնուհետև դիտարկենք  $N$ - էլեկտրոնային ալիքային ֆունկցիա, որը  $N/2$  նույնական ալիքային ֆունկցիաների արտադրյալ է:

$$\begin{aligned} \Psi(r_1, s_1; r_2, s_2; \dots; r_N, s_N) &= \\ = \Phi(r_1, s_1; r_2, s_2) \cdot \Phi(r_3, s_3; r_4, s_4) \cdots \Phi(r_{N-1}, s_{N-1}; r_N, s_N) & : \quad (8.3) \end{aligned}$$

Այս ֆունկցիան նկարագրում է մի վիճակ, որտեղ բոլոր էլեկտրոնները գույզ-գույզ կապված են, այսինքն՝ կազմում են նույնական երկկետրոնային վիճակների համախումբ: Սակայն (8.3) ֆունկցիան չի բավարարում Պաուլիի սկզբունքից բխող համաչափության հատկությանը, ուստի անհրաժեշտ է այն դարձնել հականամաշափ: Այսպիսով՝

$$\Psi_{BCS}(r_1, s_1; \dots; r_N, s_N) = \hat{A} \Psi(r_1, s_1; \dots; r_N, s_N), \quad (8.4)$$

որտեղ  $\hat{A}$  օպերատորի ազդեցությունը հանգում է  $\Psi$ -ին  $N!-1$  այլ ֆունկցիաներ գումարելուն, որոնցից յուրաքանչյուրը ստացվում է (8.3) ֆունկցիայից բոլոր հնարավոր փոխատեղություններով՝ վերցրած  $(+1)$  կամ  $(-1)$  գործակցով, կայսված փոխատեղությունների թվի գույզ կամ կենտ լինելուց:

**ԲԿԸ** տեսության մեջ  $\Phi(r, s; r', s')$  ֆունկցիաները համարվում են սինգլետ, ուստի նրանց կոորդինատական մասերը՝  $\Phi(r, r')$  ֆունկցիաները, համաշափ են: Եթե կապված գույզի վիճակն օժաված է անդափոխական համաչափությամբ, այսինքն՝  $\Phi(r, r') = \Phi(r - r')$ , ապա վերջինս կարելի է ներկայացնել (7.7) տեսքով, այսինքն՝ որպես մեկնէկտրոնային վլանկների ալիքային ֆունկցիաների արտադրյալների վերադրում: (7.7) արտաելության յուրաքանչյուր գումարելի նկարագրում է հակառակ ուղղված սպիներով և հակառակ ուղղված իմպուլսներով վիճակ՝  $(p\uparrow; -p\downarrow)$ : Քանի որ (7.7) գումարը նույնական գույզերի վիճակների: Վերադրում է, ապա այն անդափոխացված է կոորդինատների  $r = r_1 - r_2$  տարածության մեջ:

Գնահատենք գույզը նկարագրող ալիքային ֆունկցիայի տեղայնացման տիրույթի բնութագրական  $\xi_0$  չափը: (7.7) գումարում հիմնական ներդրում են տալիս այն մեկնաբանային վիճակները, որոնց իմպուլսներն ընկած են (8.2) առնչությամբ որոշվող  $\Delta p$  տիրույթում, ուստի, օգտվելով անորոշությունների առնչությունից, կստանանք՝

$$\xi_0 \sim \frac{\hbar}{\Delta p} \sim \frac{1}{k_F} \cdot \frac{\varepsilon_F}{\hbar \omega_D} \sim 10^{-5} \div 10^{-4} \text{ սմ} \quad (8.5)$$

( $k_F \sim 10^8 \text{ սմ}^{-1}$ ;  $\varepsilon_F \sim 10^3 \hbar \omega_D$ ): Մեկ կուպերյան գույզի գրադեցրած  $\xi_0^3$  կարգի ծավալով տիրույթում կգտնվեն ավելի քան  $\xi_0^3 \cdot n \sim 10^{-15} \cdot 10^{22} \sim 10^7$  այլ գույզերի կենտրոններ: Այսինքն՝ կուպերյան գույզերը չի կարելի պատկերացնել որպես անկախ մասնիկներ, նրանք տարածության մեջ «խառնված» են իրար, ինչն էական է հիմնական վիճակի ալիքային ֆունկցիայի կայունության համար:

Այսպիսով, հիմնական՝ նվազագույն էներգիայով վիճակ առաջանում է, եթե  $\Delta p$  ափառությին պատկանող իմպուլսներով էլեկտրոնները կազմում են ( $p\uparrow; -p\downarrow$ ) կուպերյան գույզեր: Այս վիճակը հաճախ անվանում են կոնդենսացված, քանի որ կուպերյան գույզերն առաջացնում են նվազագույն էներգիայով վիճակ այնպես, ինչպես զազի ատոմները խտանալիս առաջացնում են իեղուկ (ի դեպ, կուպերյան գույզերի համակարգը երբեմն անվանում են նաև էլեկտրոնային կօնդենսատ): Բոլոր կուպերյան գույզերը պատկանում են միևնույն քվանտային վիճակին և ունեն միևնույն էներգիան, քանի որ նրանք անընդեատ ցրվում են մեկէլեկտրոնային վիճակների միջև, որոնց եամապատասխանող իմպուլսներն ընկած են  $\Delta p$  տիրույթում:

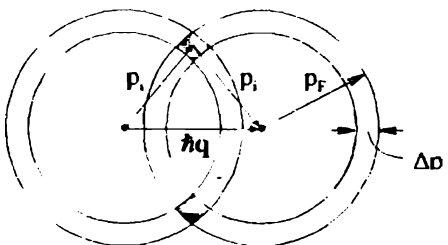
Նվազագույն էներգիայի տեսանկյունից իրար հակառակ ուղղված  $p$  և  $-p$  իմպուլսներով գույզերի առաջացնումը կարելի է բացատրել ինտել ձևով: Երկու էլեկտրոնների փոխազդեցության ժամանակ տեղի ունի իմպուլսի պահպանման (7.3) օրենքը: Որքան շատ են անցումները ( $p_1, p_2$ ) և ( $p'_1, p'_2$ ) վիճակների միջև, այնքան մեծ է դրանց բացասական ներդրումը համակարգի լրիվ էներգիայի մեջ: Եթե, օրինակ,  $p_1 + p_2 = \hbar q$  (նկ. X.31), ապա նշված անցումներին կարող են մասնակցել միայն այն էլեկտրոնները, որոնք ունեն անհամապատասխան իմպուլսներ: Այսպիսով, կայուն կուպերյան գույզը կազմվում է մեկէլեկտրոնային վիճակների միջև անընդեատ ցրվում են մեկէլեկտրոնների միջև, որոնց իմպուլսները ընկած են  $\Delta p$  տիրույթում:

բր, որոնց իմպուլսներն ընկած են իրարից հզ հետավորության վրա գտնվող կենտրոններով ֆերմի-զնդողորտների  $\Delta p$  հաստությամբ զնդային շերտերի եատումից առաջացած օդակածն ծավալի մեջ, որի կտրվածքները նկ. X.31-ում ստվերագծված են: Եթե  $q$  վեկտորն աստիճանաբար փոքրացնենք, ապա ստվերագծված տիրայրները (իմպուլսային տարածության մեջ՝ օդակածն ծավալը) կմեծանան:  $q = 0$  կամ որ նույնն է՝  $p_1 = -p_2$  դեպքում, համակարգի լրիվ Լենրզիայի վորքացմանը լինպաստեն բոլոր այն էլեկտրոնները, որոնց վիճակներն ընկած են  $2\hbar\omega_D$  լայնությամբ էներգիական շերառում:

Այժմ ծանոթանանք ԲԿՇ տեսության կարևորագույն հասկացություններից մեկի՝ Լենրզիական սպեկտրի ճեղքի զարակարին, որի գոյությունը հետևում է բազմաթիվ վորձերից (էլեկտրամագնիսական ճառագայթման կլանումը գերհաղորդչում, ջերմունակության ջերմաստիճանային վարքը (§4), էլեկտրոնների բունելային անցման նրանքները և այլն):

Փորձենք որևէ եղանակով (օրինակ՝ ճառագայթահարման կսմ ստացման միջոցով) գերհաղորդչին հաղորդել էներգիա: Եթե կուպերյան գույզին հաղորդվում է էներգիա, ապա կարելի է կարծել, որ գույզի էներգիայի մեծացումը տեղի կունենա (7.7) ալիքային ֆունկցիայում առկա իմպուլսների մեծացման հաշվին: Սակայն  $\Phi(r)$  ֆունկցիան արդեն պարանակում է բոլոր այն իմպուլսները, որոնք ընկած են  $\Delta p \sim p_F \hbar \omega_D / \epsilon_F$  շերտում և բավարարում է լրիվ իմպուլսի զրո լինելու պայմանին: «Ետևաբար՝ չի կարելի մեծացնել գույզի էներգիան, մեծացնելով զույգ կազմող էլեկտրոնների իմպուլսները և միաժամանակ պահպանել նրանց հակողդվածության և հավասարության պայմանը»:

Եթե գույզը «քանդվի», ապա առաջացած էլեկտրոններն այլև չեն մնենա հավասար և հակուղիված իմպուլսներ, ուստի այլև չեն կարող մասնակցել մեծ թվով ցրումներին, որոնց մասնակցում է կուպերյան գույզը, որի արդյունքում այդ ցրումներով (փոխազդեցությամբ) պայմանավորված



Նկ. X.31

պոտենցիալ էներգիան գործնականորեն կդառնա զրա: Անհմաստ է խոսել զույգում առանձին էլեկտրոնների իմպուլսների մասին  $\Phi(r)$  ֆունկցիայով որոշվող վիճակում (անս (7.7) բանաձեռ): Ընդհակառակը, զույգը քանդիլուց հետո կարելի է էլեկտրոնին վերագրել որոշակի իմպուլս, քանի որ այն գործնականորեն ազատ մասնիկ է:

Համաձայն ԲԿԸ տեսության, կուպերյան զույգը քանդելու և  $p$  և  $p'$  իմպուլսներով (կամ  $\varepsilon_p$  և  $\varepsilon_{p'}$  էներգիաներով) էլեկտրոններ ստանալու համար պահանջվող էներգիան՝

$$E = E_p + E_{p'} = \left[ (\varepsilon_p - \varepsilon_F)^2 + \Delta^2 \right]^{1/2} + \left[ (\varepsilon_{p'} - \varepsilon_F)^2 + \Delta^2 \right]^{1/2}, \quad (8.6)$$

որտեղ  $\Delta$  մեծությունը էներգիական ճեղքի կիսալայնությունն է: (8.6) արտահայտության համաձայն, կուպերյան զույգը քանդելու համար անհրաժեշտ ամենափոքր էներգիան հավասար է  $2\Delta$  և համապատասխանում է  $\varepsilon_p = \varepsilon_{p'} = \varepsilon_F$  արժեքներին:

Նորմալ մետաղում էլեկտրոնը  $|p| < p_F$  գրադեցված վիճակից  $|p'| > p_F$  ազատ վիճակ տանելու համար անհրաժեշտ էներգիան՝

$$E_n = E_{p,n} + E_{p',n} = |\varepsilon_F - \varepsilon_p| + |\varepsilon_{p'} - \varepsilon_F|, \quad (8.7)$$

որը ձգաւում է զրայի, եթե  $|p|$  և  $|p'|$  մեծությունները ձգաւում են Ֆերմիի սահմանային  $p_F$  իմպուլսին: Այսպիսով, նորմալ մետաղի էլեկտրոնային սպեկտրում ճեղք չկա՝ (8.7) մեծությունը կարող է ընդունել ցանկացած արժեք, սկսած զրոյից:

Գերհաղորդչի էլեկտրոնային համակարգի էներգիական սպեկտրում ճեղքի զոյլությունը պայմանավորված է երկու պատճառով: Նախ, կուպերյան զույգի տրանսումը էլեկտրոնների բերում է նրանց կասիի էներգիայի վերացման, այսինքն՝ զույգը քանդելու համար անհրաժեշտ է ծախսել որոշակի էներգիա՝ այնպես, ինչպես մոլեկուլը աստմների տրամելիս: Երկրորդ՝ եթե  $p \uparrow$  վիճակը գրադեցված է էլեկտրոնի կողմից, իսկ  $-p \downarrow$  վիճակն ազատ է, ապա մնացած (չտրոհված) կուպերյան զույգերն այլևս չեն կարող անցնել ( $p \uparrow; -p \downarrow$ ) վիճակի, ուստի ցրումների թիվը, որոնց կարող են մասնակցել զույգերը, կփոքրանա: Որպես ենթևանք՝ կփոքրանա նրանց

կապի էներգիան և նրանց (բացասական) ներդրումը համակարգի լրիվ էներգիայի մեջ, և զերծադրողի լրիվ էներգիան կմնանա:

Էներգիական ճեղքի մեծությունը զերմասահճանի բարձրացմանը զուգընթաց փոքրանում է: Իրոք, եթե զերիադրողի զերմաստիճանն այնպիսին է, որ  $k_B T \sim 2\Delta$ , ապա բազմաթիվ կուպերյան զույգեր կենթարկվեն զերմային տրմանան, և « $p$ » աւարածության շատ վիճակներ գրադեցված կլինեն կլեկարուններով: Լրացված վիճակներում զանվառ կլեկտրոնները, ինչպես նշվեց, չեն կարող մասնակցել զույգերի միջև փոխադարձ անցումներին և, հետևաբար՝ զերիադրողի լրիվ էներգիայի նվազեցմանը:

ԲԿԸ տեսության մեջ էներգիական ճեղքի զերմասահճանային կախման համար ստացված կորը պատկերված է նկ. X.32-ում:  $T \leq T_c$  այդուրում  $\Delta(T)$  կախումն արտահայտվում է

$$\Delta(T) \sim (T_c - T)^{1/2} \quad (8.8)$$

բանաձևով, որի համաձայն  $\Delta(T_c) = 0$ , այսինքն՝  $T = T_c$  զերմաստիճանում զերիադրողին անցնում է նորմալ վիճակի:

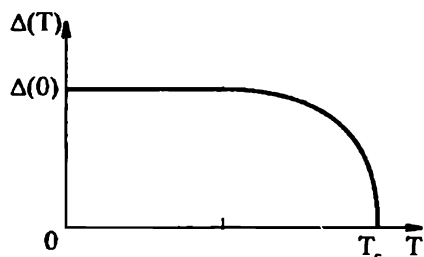
Էներգիական ճեղքի համար ԲԿԸ տեսության հայտնի հավասարումից  $\Delta(T_c) = 0$  դեպքում ստացվում է արտահայտություն կրիտիկական զերմաստիճանի համար՝

$$k_B T_c \cong 1,14 \hbar \omega_D \exp \left[ -\frac{1}{N(\varepsilon_F) V_0} \right] : \quad (8.9)$$

$T = 0\text{K}$  զերմաստիճանում էներգիական ճեղքը՝

$$E_g(0) \cong 2\Delta(0) \cong 4\hbar \omega_D \exp \left[ -\frac{1}{N(\varepsilon_F) V_0} \right] : \quad (8.10)$$

(8.9) և (8.10) բանաձևերից հետևում է էներգիական ճեղքի և կրիտիկական զերմաստիճանի միջև կապը՝



Նկ. X.32

$$\frac{2\Delta(0)}{k_B T_c} \approx 3,52 , \quad (8.11)$$

ինչը լավագույնս համընկնում է տարբեր փորձերում ստացվող քանակական տվյալների հետ:

(8.9) քանածեից անմիջականորեն հետևում է իզոտոպական երևոյթի բացատրությունը: Իրոք, քանածեում առկա էքսպոնենցիալ արտադրիչը կախված չէ իոնի զանգվածից, իսկ Դիբայի հաճախությունը՝  $\omega_D \sim M^{-1/2}$ :

Այժմ ցոյց տանք, որ էներգիական ճնշդի գոյության փաստից հետևում է զերհաղորդչի հիմնական հատկությունը՝ նրանում չնարու հոսանքի գոյությունը:

Եթե զերհաղորդչում ծագել է հոսանք, ապա բոլոր գոյգերն ունեն Ծիւնույն  $P$  իմպուլսը: Այս դեպքում գոյզի ալիքային ֆունկցիան ձևավորող վիճակ-

ները կունենան  $(p + P/2) \uparrow, (-p + P/2) \downarrow$  իմպուլսներ, հետևաբար՝ իմպուլսային տարածության մեջ ֆերմի-զնդոլորտը կանոնաշարժվի  $P/2$  մեծության շափով (նկ. X.33): Դիցուք՝ հոսանքն ողղված է  $x$  առանցքով, այսինքն՝  $P = (P, 0, 0)$ : Դիտարկենք  $(p_F \pm P/2, 0, 0)$  իմպուլսներով էնեկտրոններից կազմված կուպերյան գոյզը: Առավելագույն  $(p_F + P/2)^2 / 2m$  կինետիկ էներգիա ունեցող (1) էնեկտրոնին էներգիապես ձեռնատու է անցնել (2) էնեկտրոնի մոտ՝  $(p_F - P/2)^2 / 2m$  իմպուլսով ազատ վիճակի, որի արդյունքում համակարգի էներգիան կնվազի

$$\frac{1}{2m} \left( p_F + \frac{P}{2} \right)^2 - \frac{1}{2m} \left( p_F - \frac{P}{2} \right)^2 = \frac{1}{m} p_F P \quad (8.12)$$

մեծության շափով: Բայց այս դեպքում զոյզը կքանդվի, որի արդյունքում համակարգի էներգիան կմեծանա 2 $\Delta$ -ով:

Եթե  $P$ -ն բավականաշատ փոքր է, ապա էներգիայի (8.12) շահումը չի կարող ծածկել 2 $\Delta$  կորուսաց, այսինքն՝ զոյզի քանդվելը էներգիապես

նսդատակահարմար չէ:

$P \neq 0$  իմպուլսով վիճակը, լինելով մետաստաբիլ, այսինքն՝ ավելի քիչ կայուն, քան  $P = 0$  վիճակը, այնուամենայնիվ կարող է գոյատևել անվերջ երկար ժամանակ: Այս վիճակը կսկսի քանդվել, եթե գույզի տրոհումը դառնա էներգիապես նույառակահարմար. այսինքն՝ եթե

$$P > P_c = \frac{2m\Delta}{p_F} : \quad (8.13)$$

Եթե համեմատենք (8.1), (8.2) և (8.13) բանաձևերը, ապա ակնհայտ կրառնա, որ  $P_c$  կրիտիկական իմպուլսը համընկնում է  $p_F$  շառավղով ֆերմի-մակերևույթի շորոջ  $2\Delta p$  շերտի լայնության հետ, որին սպառկանող իմպուլսներով էլեկտրոնները միայն կարող են կազմել կուպերյան գույզեր:

$P_c$  իմպուլսին համապատասխանում է  $j_c$  կրիտիկական հոսանք՝

$$j_c = \frac{n_s}{2} \cdot 2e \cdot v_c = n_s e \frac{P_c}{2m} = \frac{n_s e \Delta}{p_F} = \frac{n_s e \Delta}{\hbar k_F} : \quad (8.14)$$

Գնահատենք  $j_c$  հոսանքը: Եթե ընդունենք, որ  $T = 0\text{K}$ -ում  $n_s \sim 10^{22}\text{սմ}^{-3}$ ,  $\Delta \sim 1\text{K} \sim 10^{-16}\text{է.րգ}$ ,  $k_F \sim 10^8\text{սմ}^{-1}$ , ապա կստանանք, որ  $j_c \sim 10^6\text{Ա/սմ}^2$ :

Եթե  $T \neq 0\text{K}$ , ապա որոշ կուպերյան գույզեր, անգամ  $j_c$ -ից փոքր հոսանքների դեսլքում, տրոհվում են էլեկտրոնների, որոնք իրենց սլահում են «նորմալ» մասնիկների նման՝ կարող են գրգռվել, ցրվել և եթե նրանք մասնակցում են հոսանքին, ապա առաջանում է դիմադրություն:

## §9. Զոգեֆսոնի երևույթները

Գերհաղորդում շմարդ հոսանքի գոյությունը պայմանավորված է կուպերյան գույզերի շարժումով:  $2m$  գանգվածով և  $2e$  լիցքով գույզի արագությունը որոշվում է «կապված» էլեկտրոնների զանգվածների կենտրոնի արագությամբ: Ինչպես և սովորական մասնիկներին, կուպերյան գույզին ևս կարելի է վերագրել ալիք, որը ներկայացվում է.

$$\Phi_0 = \Phi(r) \exp \left[ \frac{i}{\hbar} PR \right] = \Phi(r) \Psi_P(R) \quad (9.1)$$

արաւահայառությամբ, որտեղ  $P$ -ն գույզի լրիվ իմպուլսն է,  $R$ -ը՝ զանգվածների կենտրոնի կորդինատը: Եքսպոնացիալ արտադրիչը նկարագրում է գույզի՝ որպես ամրողության, շարժումը և համապատասխանում է վագող ալիքի: Բօլոր կուպերյան գույզերը բնութագրվում են միևնույն  $P$  իմպուլսով, որևէն՝ և ալիքի նույն երկարությամբ՝  $\lambda = h/P$ , ուստի  $\Psi_p(R)$  հարք ալիքը պահպանում է վույի կոհերևնառությունը ցանկացած չափով մնե հեռավորությունների վրա: Իրոք, քանի որ  $\Delta P = 0$ , ապա, իստ անորոշությունների առնչության,  $\Delta x \sim \hbar/|\Delta P| \sim \infty$ :

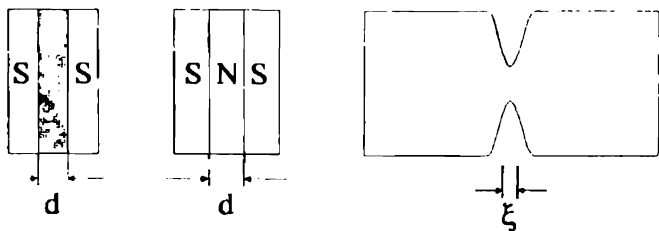
Ի տարրերություն գերհաղործչի, նորմայ մետաղում հաղորդականության էլեկտրոնները ցրման հետևանքով զգալիորեն փոփոխում են իմպուլսները: Եթե իմպուլսի՝ ցրման հետևանքով փոփոխությունը՝  $|\Delta P| \sim p_F$ , ապա կոհերևնառության երկարության համար կսահանան՝  $\Delta x \sim \hbar/p_F \sim k_F^{-1} \approx 10^{-8}$  սմ, այսինքն՝ էլեկտրոնային ալիքները կոհերևնառ են շատ փոքր՝ ցանցի հաստատումի կարգի հեռավորությունների վրա:

Գերհաղորդիչներում կուսկերյան գույզերի կոհերենտության ցայտուն դրսերման ապացույցներից և 1962թ. Բ.Չողեմսոնի կողմից հայտնագործված կուսկերմանը:

Չողեմսոնի առաջին երևոյթը կայանում է նրանում, որ քունելային անցում ունեցող համակարգում հնարավոր է գերհաղորդիչ հոսանքի գոյություն  $U = 0$  պրտենցիալների տարրերության դեպքում:

Երկրորդ երևոյթը կայանում է նրանում, որ երբ գերհաղորդիչ հոսանքը զերագանցում է որոշակի (կրիտիկական) արժեք, քունելային անցումը դառնում է բարձր հաճախությամբ էլեկտրամագնիսական ալիքների առարձան աղյուր:

Հետագայում պարզվեց, որ Չողեմսոնի երևոյթները բնորոշ են ոչ միայն քունելային անցումների, այլ այսպես կոչված քոյլ կապի բոլոր տեսակների համար, այսինքն՝ գերհաղորդիչ շղթայի այն տեղամասների համար, որոնցում կրիտիկական հոսանքն էակես փոքրացված է, իսկ տեղամասի չափը կոհերենտառության երկարության կարգի է: Նկ. X.34-ում պատկերված են քոյլ կապի իրականացման մի քանի տարրերակներ (*s* - գերհաղորդիչ բաղանք, *i* - մեկուսիչ շերտ, *ξ* - կոմերենտության երկարություն):



Նլ. X.34

Իրարից բարակ, մեկուսիչ շերտով բաժանված երկու գերհաղորդիչներից կազմված համակարգը իրեն պահում է որպես մեկ՝ միասնական գերհաղորդիչ: Այսպիսի բույլ կապով համակարգներում դիտվող գերհաղորդականությանը ընդունված է անվանել «բույլ վերհաղորդականություն», քանի որ համակարգի կրիակալական պարամետրերը, օրինակ՝ կրիակալական հոսանքը, գավալորեն փոքր են սովորական գերհաղորդիչի համակարգերի համապատասխան պարամետրերից:

Թույլ գերհաղորդականությամբ համակարգերում դիտվող երևոյթների հիմքում ընկած են գերհաղորդիչի վիճակի բանատային հասկությունները, մասնավորապես այն հանգամանքը, որ բոլոր կուպերյան զույգերը գտնվում են նույն բանատային վիճակում և նկարագրվում են նույն ալիքային ֆունկցիայով, այնպես որ նրանց վարբր վոլտամածայնեցված է, նրանք կոներենա են:

Եթե ունենք միևնույն գերհաղորդչի իրարից մեկուսացված, նույն ցերմաստիճանով երկու կտոր, ապա նրանց ալիքային ֆունկցիաների մոդուլները պետք է համընկնեն, իսկ փոլերը կարող են լինել կամայական: Ստեղծենք կտորների միջև բույլ կասի, այսինքն՝ այնպիսի միացում, որն էապես շաղողի կտորների վրա, այլ խաղա զրգուման դեր: Կապի առկայությամբ առաջանում է միասնական համակարգ՝ մեկ ալիքային ֆունկցիայով, որը կարելի է դիտել որպես երկու կտորների ալիքային ֆունկցիաների վերադրման հետևանքով առաջացող ինտերֆերենցիայի արդյունք: Այսինքն՝ կապի եեսլամբով տեղի է ունենում ալիքային ֆունկցիաների փուլերի փոլսամաձայնեցում, որն ընդունված է անվանել վոլտային կոներներություն:

Ուսումնասիրենք Զողեֆսոնի երևոյթները երկմակարդակ համակարգի պարզ մոդելի օգնությամբ:

Նշանակենք  $\Psi_1$ -ով և  $\Psi_2$ -ով 1 և 2 համակարգերի ալիքային ֆունկցիաները: Եթե նրանք մեկուսացված են, ապա ալիքային ֆունկցիաների փոփոխությունը ժամանակի ընթացքում տրվում է Ծրեղինգերի հավասարումով՝

$$i\hbar \frac{\partial \Psi_1}{\partial t} = E_1 \Psi_1, \quad i\hbar \frac{\partial \Psi_2}{\partial t} = E_2 \Psi_2, \quad (9.2)$$

որտեղ  $E_1$ -ը և  $E_2$ -ը 1 և 2 համակարգերի հիմնական վիճակների էներգիաներն են: Եթե համակարգերը կապվեն բույլ կապով, ապա  $\Psi_1$ -ի փոփոխությունը կազդի  $\Psi_2$ -ի վրա և հակառակը: Կապի առկայությամբ  $\Psi_1$  և  $\Psi_2$  ֆունկցիաները կօրոշվեն հետևյալ հավասարումների համակարգից՝

$$i\hbar \frac{\partial \Psi_1}{\partial t} = E_1 \Psi_1 + K \Psi_2, \quad (9.3)$$

$$i\hbar \frac{\partial \Psi_2}{\partial t} = E_2 \Psi_2 + K \Psi_1 : \quad (9.4)$$

Ֆիզիկորեն կապը 1 և 2 գերհաղորդիչների միջև նշանակում է բունելային եղանակով կուպերյան զույգեր փոխանակելու հնարավորություն, որի ինտենսիվությունը որոշվում է  $K$  հաստատունով:

Երկու բույլ կապված գերհաղորդիչների առանձնահատկությունն այլ երկու վիճակներ ունեցող համակարգի, օրինակ՝  $H_2^+$  մոլեկուլի իոնի, համեմատությամբ այն է, որ  $\Psi_1$  և  $\Psi_2$  ֆունկցիաները նկարագրում են մակրոսկոպական լրացման թվերով վիճակներ: Այս դեպքում ալիքային ֆունկցիայի ամպլիտուդի քառակուսին կարելի է դիտել որպես կուպերյան զույգերի խտություն և գրեթե որ

$$\Psi_1 = \sqrt{n_1} \exp(i\varphi_1), \quad \Psi_2 = \sqrt{n_2} \exp(i\varphi_2) \quad (9.5)$$

որտեղ  $n_1$ -ը և  $n_2$ -ը կուպերյան զույգերի խտություններն են 1 և 2 գերհաղորդիչներում, իսկ  $\varphi_1$  և  $\varphi_2$ -ը՝ փուլերը: Տեղադրելով (9.5) արտահայտությունները (9.3) և (9.4) հավասարումներում և առանձնացնելով ստացված հավասարումների իրական և կեղծ մասերը, կստանանք՝

$$\frac{dn_1}{dt} = \frac{2K}{\hbar} \sqrt{n_1 n_2} \sin(\varphi_2 - \varphi_1), \quad (9.6)$$

$$\frac{dn_2}{dt} = \frac{2K}{\hbar} \sqrt{n_1 n_2} \sin(\varphi_1 - \varphi_2), \quad (9.7)$$

$$\frac{d\varphi_1}{dt} = -\frac{1}{\hbar} \left[ E_1 + K \sqrt{\frac{n_2}{n_1}} \cos(\varphi_2 - \varphi_1) \right], \quad (9.8)$$

$$\frac{d\varphi_2}{dt} = -\frac{1}{\hbar} \left[ E_2 + K \sqrt{\frac{n_1}{n_2}} \cos(\varphi_1 - \varphi_2) \right]: \quad (9.9)$$

Ինչպես հետևում է (9.6) և (9.7) հավասարություններից,  $\dot{n}_1 = -\dot{n}_2$ : Եթե 1 և 2 համակարգերը նույն գերհաղորդիչներից են, ապա  $n_1 = n_2$  և

$$\frac{dn_1}{dt} = \frac{2K}{\hbar} n_1 \sin(\varphi_2 - \varphi_1) = -\frac{dn_2}{dt}: \quad (9.10)$$

Չույզերի խտության փոփոխությունը 1 գերհաղորդչում բազմապատկելով նրա  $V$  ծավալով և զույգի  $2e$  լիցքով, կստանանք 1-ից 2 գերհաղորդիչ թույլ կապով անցնող հոսանքի արտահայտությունը՝

$$I_s = 2e \cdot V \cdot \frac{dn_1}{dt} = \frac{2e \cdot V \cdot 2Kn_1}{\hbar} \sin(\varphi_2 - \varphi_1) \equiv I_{s\max} \sin(\varphi_2 - \varphi_1), \quad (9.11)$$

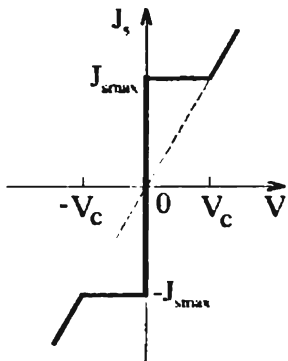
որտեղ առավելագույն (կամ ջողեքսոնյան) հոսանքը՝

$$I_{s\max} = \frac{4eVKn_1}{\hbar}: \quad (9.12)$$

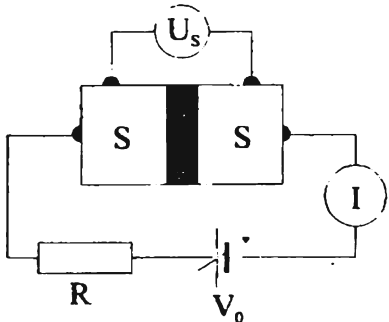
Համաձայն այս բանաձևի, ջողեքսոնյան հոսանքը կախված է ինչպես գերհաղորդի, այնպես էլ մեկուսից շերտի բնութագրերից (արգելվի լայնությունից և բարձրությունից):

Այսպիսով, արտաքին լարման բացակայությամբ թույլ կապով կարող է հոսել հաստատուն հոսանք, որն արժեքներ է ընդունում  $I_{s\max}$  և  $-I_{s\max}$  տիրույթում, կախված փուլերի  $\varphi_2 - \varphi_1$  տարրերությունից (Ջողեքսոնի ստացիոնար երևոյթ): Նկ. X.35-ում պատկերված է թույլ կապի վոլտամպերային բնութագիրը (սկզբնակետով անցնող և մասամբ կետագծված ուղիղը համապատասխանում է Օհմի օրենքին):

Հարկ է նշել, որ 1 և 2 գերհաղորդիչները կապված են հոսանքի աղբյուրի հետ, որն ապահովում է նրանցում  $n_1 = \text{const}$ ,  $n_2 = \text{const}$  պայմանների իրականացումը (նկ. X.36):



Նկ. X.35



Նկ. X.36

Այժմ ուսումնասիրենք Զոգեֆսոնի ոչ ստացիոնար երևոյթը: (9.8) և (9.9) հավասարություններից  $n_1 = n_2$  դեպքում կստանանք՝

$$\frac{d}{dt}(\varphi_2 - \varphi_1) = \frac{1}{\hbar}(E_1 - E_2); \quad (9.13)$$

Եթե  $E_1 = E_2$ , ապա  $\varphi_2 - \varphi_1 = const$  լստ ժամանակի: Սակայն եթե զերծադրության միջև կիրառված է պոտենցիալների  $U$  տարբերություն, ապա

$$E_1 - E_2 = 2eU : \quad (9.14)$$

(9.13) բանաձևի համաձայն, փոլերի  $\varphi_2 - \varphi_1$  տարբերությունը ժամանակից կախված փոխական է

$$\varphi_2 - \varphi_1 = \frac{2eU}{\hbar}t + \Delta\varphi_0 \quad (9.15)$$

զծային օրենքով, որտեղ  $\Delta\varphi_0$ -ն փոլերի տարբերությունն է  $t = 0$  պահին:

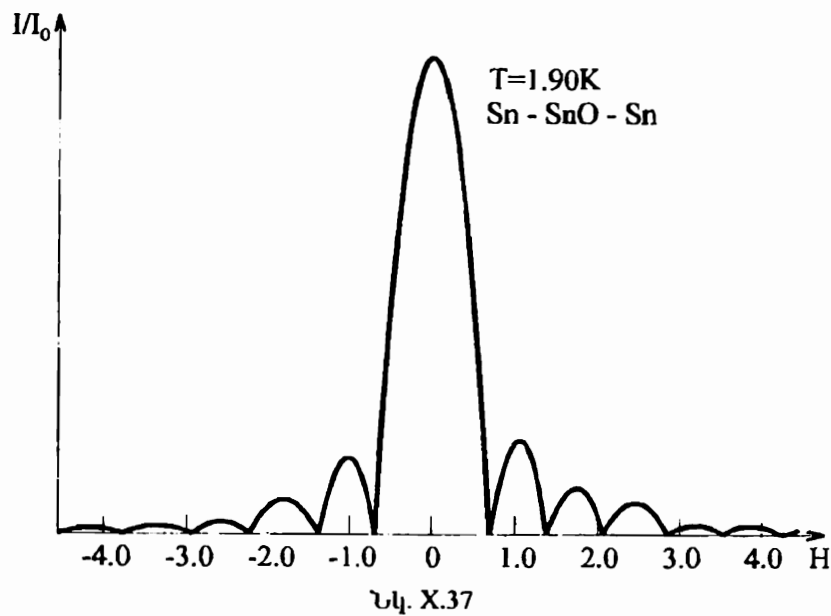
Տեղադրելով (9.15) բանաձևը զոգեֆսոնյան հոսանքի (9.11) արտահայտության մեջ, կստանանք՝

$$I_s = I_{smax} \sin\left(\frac{2eU}{\hbar}t + \Delta\varphi_0\right), \quad (9.16)$$

այսինքն՝ անցումով հոսում է

$$\omega = \frac{2eU}{\hbar} \quad (9.17)$$

հաճախարժամբ վտփոխական հոսանք (Զոգեֆունի ոչ ստացիոնար երևոյթ): Համաձայն (9.17) բանաձևի, եթե կուպերյան զույգն անցնում է թռյլ կապով, առարվում կամ կլանվում է  $\hbar\omega = 2eU$  էներգիայով քվանտ:



Նկ. X.37

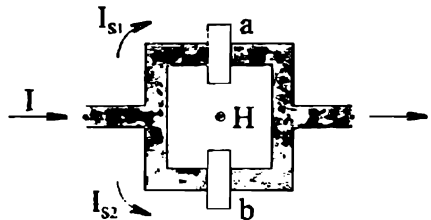
Չըոյից տարբեր գերիադորովի հոսանքը կարող է սլայմանավորված լինել ոչ միայն վլուկերի տարբերությամբ ((9.11) բանաձև), այլ նաև մազնիսական դաշտի վեկտորական պոտենցիալով: Ըստ հաշվարկների, մազնիսական դաշտում զտնվող թռյլ կապով անցնող թունելային հոսանքը, եթե մազնիսական դաշտը զտնվում է թռյլ կապի հարթության մեջ, տրվում է

$$I = I_0 \frac{\left| \sin\left(\pi\Phi/\Phi_0\right) \right|}{\pi\Phi/\Phi_0}, \quad (9.18)$$

բանաձևով, որտեղ  $\Phi$ -ն լրիվ մազնիսական եռարն է թռյլ կապի տիրություն,  $\Phi_0 = \hbar c / 2e$ -ն հոսքի քվանան է, իսկ  $I_0$  մեծությունը կախված է ջերմաստիճանից և թռյլ կապի բնութագրերից, բայց ոչ մազնիսական դաշտի լարվածությունից: Նկ. X.37-ում պատկերված է թռյլային հոսանքի կախումը մազնիսական դաշտի լարվածությունից  $\text{Sn}-\text{SnO}-\text{Sn}$  եպակում (կոնտակ-

տում): Եթե  $\Phi = n\Phi_0$ , որտեղ  $n$  -ն ամբողջ թիվ է,  $I = 0$ :

Այժմ քննարկենք այն դեպքը, երբ շղթայում գուգահեռ միացված է երկու թույլ կապ (նկ. X.38):



Նկ. X.38

Ենթադրենք, որ 1 և 2 կետերի միջև փուլերի տարբերությունը  $a$  անցումով  $\varphi_a$  է, իսկ  $b$  անցումով՝  $\varphi_b$ : Մազնիսական դաշտի բացակայությամբ  $\varphi_a = \varphi_b$ : Եթե մազնիսական դաշտը զրոյից տարբեր է և գտնվում է թունելային կոնտակտների հարրության մեջ, ապա շղթայի մակերես թափանցող  $\Phi$  մազնիսական հոսքը պայմանավորում է  $a$  և  $b$  կետերի միջև փուլերի տարբերությունը, որը տրվում է

$$\varphi_b - \varphi_a = \frac{2e}{\hbar c} \Phi \quad (9.19)$$

արտահայտությամբ: Համաձայն (9.11) բանաձևի՝

$$I_{s1} = I_{s\max} \cdot \sin \varphi_a, \quad I_{s2} = I_{s\max} \cdot \sin \varphi_b, \quad (9.20)$$

ուստի լրիվ հոսանքի համար կստանանք՝

$$I = I_{s\max} (\sin \varphi_a + \sin \varphi_b) = I_{s\max} \cdot 2 \sin \frac{\varphi_a + \varphi_b}{2} \cos \frac{\varphi_a - \varphi_b}{2} = \\ = 2I_{s\max} \cdot \cos \left( \frac{e}{\hbar c} \Phi \right) \sin \left( \varphi_b + \frac{e}{\hbar c} \Phi \right): \quad (9.21)$$

Նկատի ունենալով մազնիսական հոսքի բվանտի (6.7) արտահայտությունը, (9.21) բանաձևը կարելի է ներկայացնել հետևյալ տեսքով՝

$$I = 2I_{s\max} \cdot \cos \left( \pi \frac{\Phi}{\Phi_0} \right) \sin \left( \varphi_b + \pi \frac{\Phi}{\Phi_0} \right): \quad (9.22)$$

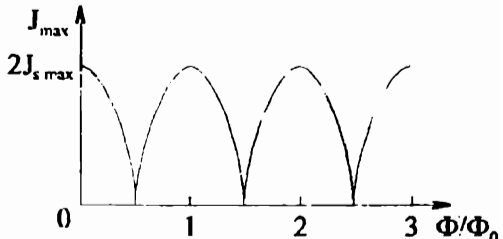
Ստացված բանաձևից հետևում է, որ գուգահեռ միացված տեղամասով

$$I_{\max} \equiv 2I_{s\max} \cdot \cos \left( \pi \frac{\Phi}{\Phi_0} \right) \quad (9.23)$$

լրիվ առավելագույն հոսանքը՝ կախված տեղամաս թափանցող մազնիսական հոսքի (դաշտի լարվածության) մեծությունից, փոփոխվում է պարբերա-

բար, ընդունելով առավելագույն արժեք՝  $2J_{s\max}$ , եթե  $\Phi = n\Phi_0$  և դատնալով  $0$ , եթե  $\Phi = (n + \frac{1}{2})\Phi_0$ , որտեղ  $n = 0, 1, 2, \dots$  (Ալ. X.39):

Երկու բույլ կապերից (ջողլիքունյան տարրերից) կազմված տեղամասը գիրգայուն չափից սարքի բանային ինտերֆերոմետրի (SQUID - գերհաղորդիչ բանասային ինտերֆերոմետրական սարքի) եիճնական մասն է: Նրա միջոցական կարելի է չափել ցանկացած մեծություն, որի վորոխությունը կարելի է վոլտակերպել մազնիսական լուսքի վորոխության: Սարքի զգայունության սահմանափակումը պայմանավորված է միայն ջերմային աղմուկով և, ըստ տևական գնահատումների, կարող է լինել  $10^{-5}\Phi_0 \sim 10^{-12} \text{ Г.м.սմ}^2$  կարգի: Այսպես, եթե ինտերֆերոմետրի (գուգահես միացված տեղամասի) նալերեար և  $\text{սմ}^2$  կարգի է, ապա նրա միջոցով կարելի է չափել մինչև  $10^{-10} \div 10^{-11} \text{ Г.ս}$  կարգի մազնիսական դաշտեր: Համեմատության համար նշենք, որ երկրազնդի մազնիսական դաշտի լարվածությունը մոտ 0,5 Գ.ս է:



Նլ. X.39

## §10. Գաղափար բարձրջերմաստիճանային գերեաղորդականության մասին

1986թ. շվեյցարացի գիտնականներ Ի.Գ.Բետհուրցը և Կ.Ա.Մյուլերը հայսմագործեցին գերեաղորդականության երևույթը այսպես կոչված մետաղ-օրսխույային խեցելուններում (կերամիկաներում): Ba-La-Cu-O համակարգերում, որոնց կրիտիկական ջերմաստիճանը՝  $T_c \approx 30 \div 35 \text{ K}$  և զգալիուն զերազանցում էր մինչ այդ հայտնի ամենաբարձր կրիտիկական ջերմաստիճանը՝  $T_c = 23,2 \text{ K}$ , որը դիսվել է. Nb<sub>3</sub>Ge միացուրյունում:

Կառուցվածքային հետազոտությունները ցուց տվեցին, որ այդ խեցեղենը մի բանի ֆազերի խառնուրդ է, որը նշնցից գերհաղորդիչ է La<sub>2</sub>-Ba<sub>x</sub>CuO<sub>4</sub>

բիմիական բանաձևով նկարագրվող ֆիզդը: Սարունցիումային խեցելինի համար գերիադրդիչ է  $\text{La}_{2-x}\text{Sr}_x\text{CuO}_4$  ֆազը, ընդ որում  $\text{La}_{1.8}\text{Sr}_{0.2}\text{CuO}_4$  միացույթում դիսպում է. խիստ նեղ գերիադրդիչ անցում  $T_c = 36\text{K}$  շերմասահճանում:

Շատ շուտով պարզ դարձավ, որ Խ.Դ.Ռէնդնորցի և Կ.Ա.Մյուլերի կողմից հայսմագործվել է պինդ մարմնի ֆիզիկայի մի նոր ուղղություն՝ օքփուզային բարձրակարգագործականային գերիադրդականությունը (բցզի): Այս հայտնագործությունը կարևորվում է. նաև այն տևանելյունից, որ ցույց տրվեց որոշ սևական գնահատումներից բիստի առավելագույն կրիստակական շերմասահճանի վերին:  $T_c \sim 30\text{K}$  սահմանի բացակայությունը:

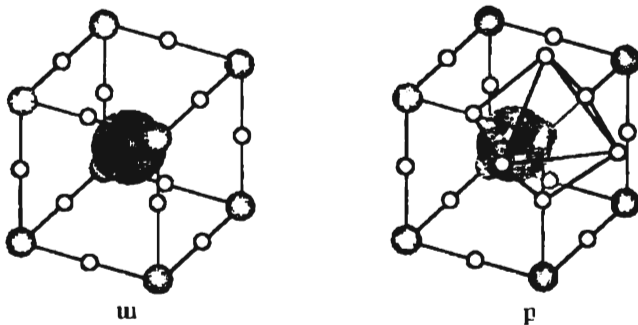
Մի բանի ամիս անց, 1987թ. գարնանը սինթեզվեց այսպես կոչված «1-2-3» համակարգը՝  $\text{ABa}_2\text{Cu}_3\text{O}_7$ , որտեղ  $\text{A}$ -ն մետաղ է, որը կարող է լինել խարիստ (Y) կամ լանտանին բնտանիքի որևէ ներկայացուցիչ, օրինակ  $\text{Gd}$ . **Խօ. Բր. Լս:** Այս համակարգի կրիտիկական շերմասահճանն ընկած է.  $90\text{-}95\text{K}$  տիրույթում, այսինքն՝ գերազանցում է. «ազուային արգելք»  $T_N \approx 77\text{K}$ ՝ ազոտի հեղուկացման շերմասահճանը<sup>7</sup>. Մասնավորապես,  $\text{YBa}_2\text{Cu}_3\text{O}_7$  միացության համար  $T_c \approx 92\text{K}$ : Արդեն 1987թ. տարեվերջին սինթեզվեցին բիսմուտային խեցելինները՝  $\text{Bi}_4(\text{SrCa})_6\text{CuO}_{16}$ . ( $T_c \approx 105\text{K}$ ) և կալիումային խեցելինները՝  $\text{Tl}_2\text{BaCa}_2\text{Cu}_3\text{O}_{10}$   $T_c \approx 125\text{K}$  սևերդային կրիստական շերմասահճանով:

Այսպիսով, եթե 75 տարվա ընթացքում (1911-1986թ.) կրիտիկական շերմասահճանն աճել էր ընդամենը  $19\text{K}$  -ով՝  $4.2\text{K}$ -ից (սնդիկ) մինչև  $23.2\text{K}$  ( $\text{Nb}_3\text{Ge}$ ), այսինքն՝ մոտ  $0.3\text{K}$ ՝ մեկ տարում, առաջ բցզի-երի մոտ այն մեկ տարվա ընթացքում  $35\text{K}$ -ից հասավ  $125\text{K}$ -ի:

Ուսումնասիրությունները ցույց են տալիս, որ բոլոր բցզի-երը, անկախ նրանցում առկա արատներից, պասկանում են պերովսկիտների բյուրեղագրական ընսանիքին և ներկայացնում են խեցելիններ՝ մետաղական և ոչ մետաղական տարրերից (սովորաբար՝ թթվածնից) կազմված պինդ նյութեր:

<sup>7</sup> Այժմ «ձևախրադ» մասնիսի միջոցով Մայսների նրանույթը կարելի է ցուցադրել առանց բարդ փորձարարության ասքարագործմների, որպես սառեցնող հեղուկ եելիտային փախարեն օգագործելով և լուսական ազու:

Պերովսկիաների խլետական կառուցվածքը խորանարդային է՝ և նկարագրվում է  $\text{ABX}_3$ , բանաձևով: Ցուրաքանչյուր խորանարդ կազմված է երեք տարրեր բիմիական տարրերից (A, B, X), վերցված համապատասխանար 1:1:3 հարաբերությամբ: A և B տարրերը մետաղական կատիոններ են, X-ը՝ ոչ մետաղական անիոն: A տարրը՝ երկու մետաղական տարրերից ավելի խոշոր, գտնվում է խորանարդի կենտրոնում, B-ն՝ խորանարդի գագարներում, իսկ X անիոնները գրադացնում են խորանարդի 12 կողերի կենարանները (նկ. X.40, ա):



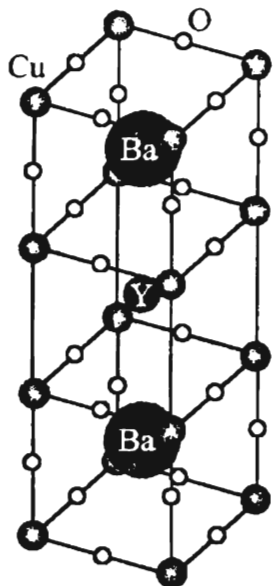
Նկ. X.40

Երրեմն խորանարդային մողելի վոլխարեն օգտագործվում է բազմանիստի (պոլիէթոլի) մողելը (նկ. X.40, բ): Վեց X անիոնները, որոնք շրջապատում են յուրաքանչյուր B կատիոն, կազմում են ուրանիստի 6 գագարները: Այս մողելը մուտքանական կառուցվածքային տարրը բջջում դառնում է ուր ուրանիստերից կազմված խաւորը, որի անդամները կապված են զագարներվ և դասավորված են A կատիոնի շուրջը:

Բջջի պերովսկիաներն ի հայտ են բերում ամենաբազմազան էլեկտրական հասկուրյուններ, պայմանավորված կառուցվածքային վոլխություննելով և բյուրեղական կառուցվածքի արատներով: Որպես կանոն, դրանք մի քանի ֆագերի խառնուրդ են: Մասնավորապես, լավ ուսումնասիրված **Y-Ba-Cu-O** միացուրյունը երկու հիմնական ֆագերի խառնուրդ է, որում մեջից մեկը, որը կազմում է խառնուրդի մոտ 2/3-ը, բաղկացած է վորք, հարթեցված և զրկերպվ հասիկներից և պարունակում է **Y**, **Ba** և **Cu** համապատասխանարար 2:1:1 հարաբերությամբ և ունի կանաչավոն գույն: Մյուս

ֆազը, որը սև գույնի է և բաղկացած է անբափանցիլ, կանոնավոր ձև ունեցող հատիկներից, պարունակում է **Y**, **Ba** և **Cu**՝ 1:2:3 հարաբերությամբ: Այս ֆազը «1-2-3» միացությունն է, որն օժագած է գերհաղորդականությամբ, և որի տարրական բջջի կառուցվածքը պատկերված է նկ. X.41-ում:

Տարրական բջիջը բաղկացած է երեք խորանարդից: Դղյնար (Cu) գրադեցնում է **Ba**-դիրքերը, բարիում (Ba)՝ **A**-դիրք, իսկ իարիում (Y) **A**-դիրք



Նկ. X. 41

կենտրոնական խորանարդում: «1-2-3» միացության երկու հիմնական **YBa<sub>2</sub>Cu<sub>3</sub>O<sub>7</sub>** և **YBa<sub>2</sub>Cu<sub>3</sub>O<sub>6</sub>** ձևերում էլ խարիում պարունակող կենտրոնական խորանարդի ուղղաձիգ չորս կողերի վրա բրվածի ատոմներ չկան: Ինչպես երևում է նկ. X.41-ից, **YBa<sub>2</sub>Cu<sub>3</sub>O<sub>7</sub>** կառուցվածքի տարրական բջում կա երկու հարբություն, որոնք պարունակում են **Cu** և **O** ատոմներ և որոնք ուղղահայաց են **C**-առանցքին (նկ. X.41-ում սավերագծված հարբությունները): **Cu-O** հարբություններ կան նաև բիսուտային և բալիումային խեցելեմներում: Փորձ է արված կապ հաստատել այդ հարբությունների բվի և կրիտիկական ջերմաստիճանի միջև: Այսպես, **La<sub>1.8</sub>Sr<sub>0.2</sub>CuO<sub>4</sub>** միացության տարրական բջում կա մեկ **Cu-O** հարբություն, և  $T_c \sim 40K$ : «1-2-3» համակարգում կա այդպիսի 2 հարբություն, և  $T_c \approx 90K (\sim 2 \times 40K)$ , իսկ բալիումային խեցելեմնում՝ 2 կամ 3 հարբություն, իսկ ապատասխանաբար  $T_c \approx 100K (\sim 2 \times 40K)$  և  $T_c \approx 120K (\sim 3 \times 40K)$  կրիտիկական ջերմաստիճաններով:

Բջջերի համակարգում կա այդպիսի 2 հարբությունների արդյունքում պարզվել, որ նոր տիպի գերհաղորդչների մակրոսկոպական հատկությունները հիմնականում չեն տարբերվում լավ ուսումնասիրված «հելիումային» գերհաղորդիչների հատկություններից: Փորձից հետևում է, որ այս նյութերում ևս մաղնիսական հասքի քվանտը՝  $\Phi_0 = hc/2e$ , այսինքն՝ լիցքի տեղափոխությունը կատարվում է էլեկտրոնային գույզերով:

Բջջի-երր II սեռի գերհադրտվյաներ են: Նրանց յուրահասակուրյունն ի հայտ է զալիս հատկապես կրիտիկական մագնիսական դաշտի չափումներում: Մասնավորապես, արտակարգ մնձ արժեքներ է ընդունում  $H_{c2}$  կրիտիկական դաշտը, որը  $T = 0\text{K}$ -ին մոտ ափբարյուն կարող է գերազանցել  $10^6$ Գս արժեքը: Աղյուսակ X.8-ում բերված են  $T = 0\text{K}$ -ում  $H_{c2}$  դաշտի և  $dH_{c2}/dT$  մեծության արժեքները, երբ  $T \rightarrow T_c$ , մի բանի բջջի-երի համար:

### Աղյուսակ X.8

| Միացուրյուն  | $T_c$ , K | $-dH_{c2}/dT$ , Գս/K,<br>եթե $T \rightarrow T_c$ | $H_{c2}\perp C$ , $10^4$ Գս, $H_{c2}$ -ի<br>առավելագույն արժեքը |
|--|-----------|--|---|
| $\text{BaPb}_{0.75}\text{Bi}_{0.25}\text{O}_3$           | 12        | 50   | 4.5-6   |
| $\text{La}_{1.6}\text{Sr}_{0.2}\text{CuO}_4$             | 38        | 145  | 35  |
| $\text{YBa}_2\text{Cu}_3\text{O}_7$                      | 91        | 165  | 230   |
| $\text{Ba}_2\text{Sr}_2\text{CaCu}_2\text{O}_y$          | 81        |  | 400   |
| $\text{Tl}_2\text{Ca}_2\text{Ba}_2\text{Cu}_3\text{O}_x$ | 125       |  | 130   |

Օքսիդային բջջի-երն օժաված են զգալի մագնիսական բյուրեղագրական անիգուրուպությամբ: Կախված արտաքին մագնիսական դաշտի ուղղությունից (C-առանցքով, թե նրան ուղղահայաց)  $H_{c2}$ -ր կարող է վովովիսվել տասնյակ անգամ: Դրանով պայմանավորված անիգուրուպություն է հանդես բերում և կոհերենտության երկարությունը: Ամենամեծ հարաբերությունը՝ մոտ 40 անգամ, դիտվում է  $\text{Ba}_2\text{Sr}_2\text{CaCu}_2\text{O}_6$  միացուրյունում, որտեղ C-առանցքով  $\xi_{\parallel} = 1 \text{ \AA}$ , իսկ նրան ուղղահայաց ուղղությամբ՝  $\xi_{\perp} \approx 42 \text{ \AA}$ . Կոհերենտության  $\xi_{\parallel}$  երկարության վովությունը C-առանցքի ուղղությամբ ցանցի հաստատունից ևս մի փաստարկ է այն բանի օգտին, որ առնվազն տվյալ միացուրյունում գերհաղորդականությունը պայմանավորված է իրար իետ բույլ կապված **Cu-O** հարթությունների երկավի լևելտրոններով:

Բջջի-երի յուրահասակուրյունները պայմանավորված են նրանց կառուցվածքային առանձնահատկություններով: Խևցեղենների պատրաստման աևխնողգիայի համաձայն, նմուշները կազմված են գերհաղորդիչ հատիկներից, որոնք իրար են միանում շիկամշակման պրոցեսում բնրացող

բիմիական ուսակցիաների շնորհիվ: Հասիկների ներսի համեմատությամբ տարբեր հատիկների կցաւողներում գերհաղորդիչ հատկությունները «ճնշված» են: «Ա, մասնավորապես, պայմանավորված և շիկաճակման պրոցեսում հատիկի ծավալում զանգող խառնուրդների՝ հասիկի մակերևույրը դուրս գալով, ինչպես նաև հատիկների սահմանների ոչ խլեալականությամբ: Այլ կերպ ասած, լսեցին նմուշը կարելի է դիտարկել որպես բազմարիվ գերհաղորդիչ բյուրեղահատիկներից կազմված և միմյանց հետ բույլ շողելքանյան անցումներով կապված մի համակարգ: Եյսպիսի համակարգի մագնիսական հատկություններն ավելի բարդ են, քան համասեռ նմուշները, քանի որ կախված են բազմարիվ գործուններից՝ հատիկների միջև տարրեր անցումների կրիստիկական հոսանքներից, անցումներում «քռնված» մագնիսական հոսքերից և այլն:

Խոցեղեններում կրիստիկական հոսանքները մեծ չեն: Խոցեղենից պատրաստված ամենաորակյալ լարում,  $T = 77\text{K}$ -ում,  $j_c = 4 \cdot 10^3 \text{ A/m}^2$ : Նոյն գերմաստիճանում զգայի մեծ կրիտիկական հոսանք՝  $j_c = 10^6 \text{ A/m}^2$ , հաջողվել է ստանալ  $\text{YBa}_2\text{Cu}_3\text{O}_7$  բջջից պատրաստված բաղանքում  $C$ -առանցքին ուղղահայաց ուղղությամբ:

Օքսիդային  $\text{ABa}_2\text{Cu}_3\text{O}_7$  գերհաղորդիչների անսպասելի հատկություններից մեկն է կրիստիկական ջերմաստիճանի անկախությունն և այն բանից, թե **A** տարրը մագնիսական է, թե՝ ոչ: Ինչպես հայսնի է, «սովորական» գերհաղորդիչների մոտ մագնիսական խառնուրդների անգամ մոտ 1% կոնցենտրացիան լավաս ցածրացնում և կրիտիկական ջերմաստիճանը, քանի որ մագնիսական մոմենտի և կուլտիւրյան զույգի կենտրոնների վոլտագդեցության հետևանքով գոյացր քանդվում է: Օքսիդային գերհաղորդիչների մոտ այս երևոյթը չի նկատվում: Դեռ ավելին՝ պարզվել է, որ հաղորդականության էլեկտրոնները և **A** տարրերի էլեկտրոնները կազմում են կարծես իրարից անկախ համակարգեր: Լեկարտուններն անցնում են գերհաղորդիչ վիճակի, իսկ **A** տառումների մագնիսական մոմենտները՝ մագնիսակարգավորված վիճակի (համապատասխան ջերմաստիճանում), որպես կանոն՝ հակաֆեռում անկախ համակարգեր: Այսպես,  $\text{GdBa}_2\text{Cu}_3\text{O}_{7-\delta}$  ( $T_c = 95\text{K}$ ) միացությունում գերհաղորդիչ ֆազում  $T = 2\text{K}$  ջերմաստիճանում ջերմունակությունն ունի մարսիմում, ինչը վկայում է հակաֆեռում անկախ համապատասխան կարգավորվածության առկայության մասին (IX.7): Որակապես այս փաստը կարելի է բացատրել,

ևնրասդրելով, որ հաղորդականության (իսկ  $T < T_c$ -ում՝ գերիասորդիչ) էլեկտրոնները կազմում են երկարավագած համակարգ, որի վրա համեմատարար հեռու գտնվող մագնիսական աստմաները գործնականորեն չեն ազդում:

Զերմունակության չափումներից հետևում է բջզի-ի էներգիական սպեկտրում էներգիական ճնշեցի առկայությունը, սակայն աարքեր մերուներով տուացված արդյունքները զգալիորեն տարբերվում են իրարից: Այնուամենայնիվ, կարելի է համարել հաստատված, որ  $2\Delta/k_B T_c$  հարաբերությունը և լանդրանային, և խորիումային գերիասորդիչների համար զերազանցում է ԲԿԸ անսուրյունից հայտնի 3,52 արժեքը: Գնահատումների համաձայն, **YBa<sub>2</sub>Cu<sub>3</sub>O<sub>7</sub>** միացուրյան համար այն ընկած է 6-ի և 8-ի միջև:

Հասկանալի է, որ բջզի-երի հասկուրյունների բացասարությունը էլեկտրոն-ֆոննային փոխազդեցուրյան վրա հիմնված ԲԿԸ անսուրյան շրջանակներում, առանց նրա Լական փոփոխության, հիմնավորված չէ (բջզի-երում  $T_c$ -երը էապես բարձր են): Սակայն չի կարելի բացասել կելիստրոն-ֆոննային փոխազդեցուրյան դերը բարձրջերմաստիճանային զերիասորդականության երևույթում:

Չնայած ներկայումս առաջարկվել են բջզի բացասարության տարքեր մեխանիզմներ (ֆոննային, բիպոլյարոնային, էրսիստոնային և այլն), այնուամենայնիվ դեռևս սալորդված չէ այդ երևույթի միասնական տեսությունը:

Հետագուստությունները ցույց են տալիս, որ էլեկտրանագնիսական դաշտում բջզի-երն իրևնց վարքով չեն տարբերվում սովորական զերիասորդիչներից՝ փակ օղակում հոսանքը պահպանվում է, տեղի ունի Մայսների երևույթը և այլն: Տարբերությունն այն է, որ «առվորական» զերիասորդիչներում բոլոր եասկուրյուններն ի հայտ են գալիս հելիումային ջերմաստիճաններում՝ իսկ բջզի-ներում՝ ազոտական ջերմաստիճաններում, ինչը մեծապես խթանում է բջզի-երը գործնական նպատակներով կիրառելու Վտրծերը:

## ԱՐԱՏՆԵՐԸ ՌՅՈՒՐԵՂՆԵՐՈՒՄ

### §1. Բյուրեղական արատների դասակարգումը

Իդեալական բյուրեղական կառուցվածքների մաթեմատիկական աևսուրյունը (Մաս I, I) հնարավորություն է տալիս բացարելու բյուրեղների այնպիսի հասկություններ, ինչպիսիք են խսությունը, առաձգականությունը, չերմունակությունը, դիէլեկտրական և մազնիսական բավանցելիությունը: Այս հասկությունները կոչվում են ծավալային կամ ոչ կառուցվածքագգայուն:

Բոլոր իրական բյուրեղները, ինչպես բնության մեջ հանդիպող, այնպիս էլ արենստականորեն ստացված, իդեալական չեն՝ նրանցում միշտ առկա են կառուցվածքային խախտումներ, որոնց բնույթը է կոչել անկատարելություններ կամ արատներ: Բյուրեղների ծավալային հատկությունները գործնականորեն կախված չեն նրանցում առկա արատներից: Մակայն կառուցվածքային արատներն էապես ազդում են բյուրեղների միշտ շարք այլ հատկությունների վրա: Այսպես, բազմաթիվ բյուրեղների և, մասնավորապես, կիսանադրորդիչների էլեկտրահաղորդականությունը կարող է ամբողջությամբ կախված լինել քիմիապես օտար խառնուրդների առկայությունից: Շատ բյուրեղների գունավորումը հետևանք է նրանցում առկա արատների: Բյուրեղների լումինեսցիան համարյա միշտ կապված է խառնուրդների ներկայության հետ: Դիֆուզիայի երևույթը էապես արագանում է արատների առկայության շնորհիվ: Պյուն մարմինների մեխանիկական և սլլաստիկ հատկությունները պայմանավորված են արատներով: Թվարկած, ինչպես նաև բյուրեղի շատ այլ հասկություններ, զգալիորեն կախված են նրա կատարելության աստիճանից, ուսափ կոչվում են կառուցվածքագգայուն:

Բյուրեղական կառուցվածքի արատներից բացի, կարևոր նշանակություն ունեն այլ տիպի անկասարելություններ՝ էլեկտրոնային կառուցվածքի խախտումներ, որոնք հատկապես ազդում են բյուրեղների կարևորագույն էլեկտրական և մազնիսական հատկությունների վրա:

Սովորաբար, արասի և ն անվանում բյուրեղի ցանկացած տիրույթ, որտեղ միկրոսկոպական մակարդակով մասմիկների (առամների, իոնների, մոլեկուլների) դասավորությունը կարուկ տարբերվում է իդեալական բյուրեղին բնորոշ դասավորությունից:

Բյուրեղի ֆիզիկական հատկությունների վրա արասի ազդեցության բնույթը մեծապես կախված է արասի «ջափայնությունից», այսինքն՝ տարածական չափումների բից, որոնց ուղղությամբ արասն ունի մակրոսկոպական ցանցի և հաստատունից շատ տանգամ մեծ, չափեր:

Կետային (կամ զրո չափանի) արաս է կոչվում բյուրեղական ցանցի աղավաղումը, որը անդամացված է աառմական ծավալի կարգի մեծությամբ տիրույթում:

Եթե ասումների կանոնավոր դասավորությունը խախտվում է, միայն որոշակի զծի վորք ( $\sim \alpha$ ) շրջակա տիրույթում, ապա այդպիսի արասը կոչվում է զծային (կամ միաշափի):

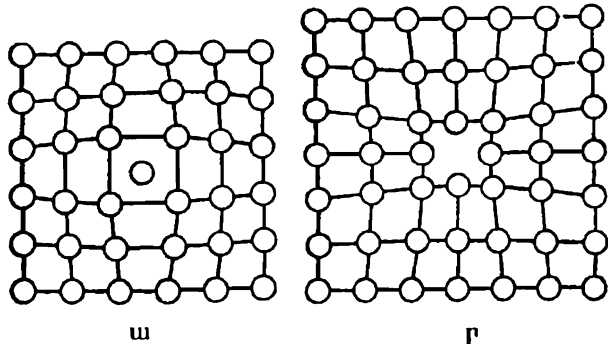
Եթե ասումների կանոնավոր դասավորությունը խախտվում է որոշակի մակերևույթի վորք ( $\sim \alpha$ ) շրջակայրում, ընդորելիութ միջաւառնական հեռավորությունների կարգի շերտ, ապա այդպիսի արասը կոչվում է մակերևութային (կամ երկշափ):

Եռաշափի (կամ ծավալային) արաս է կոչվում բյուրեղական ցանցի ցանկացած աղավաղում, որը աարածական երեք ուղղություններով էլ ունի մակրոսկոպական չափեր:

Արասի ագրեցությունը բյուրեղի ֆիզիկական հատկությունների վրա կարող է դրսնորվել երկու ճանապարհով: Նախ՝ արատին հարող տիրույթում բյուրեղը խաթարված է, և արատը հանդիս է զայխ որպես բյուրեղի անդային անհամասեռություն: Երկրորդ՝ արասի առկայությունը թիրում է արատից զգալի հեռավորությունների վրա բյուրեղական ցանցի ստացիւնար աղավաղումների, ինչը՝ վերջին հաշվով, հանգում է աատմների՝ իդեալական բյուրեղում ունեցած հավասարակշռական դիրքերից շեղումների: Այսպիսով, բյուրեղում արատը կատարում է նաև շեղումների դաշտի աղբյուրի դեր: Արասի շուրջ ծագող շեղումների դաշտը կախված է բյուրեղական ցանցի (մատրիցի) վրա արասի ագրեցության բնույթից:

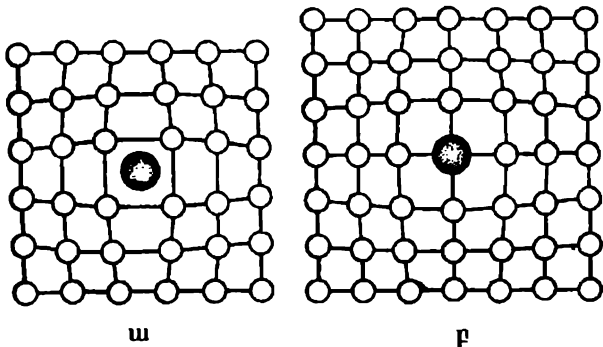
Այժմ ծանորանաճ բյուրեղական ցանցի տարբեր կատուցվածքային արամների կոնկրետ օրինակների:

Պարզագույն կետային արաաներ են «սեփական», այսինքն՝ ավյալ բյուրեղական կառուցվածքին պատկանող միջիանգուցային աստմները: Խնչպես բխում է անվանումից, միջիանգուցային ատոմը աեղադրված է իդեալական ցանցի ատոմների հավասարակշռության դիրքերի միջև (նկ. XI.1, ա): Եթե բյուրեղական ցանցի հազույցը գրադեցված չէ ատոմի կողմից՝ թափուր է, ապա այդպիսի արաան անվանում են թափուրք (վականական, նկ. XI.1, բ):



Նկ. XI.1

Եթե տվյալ բյուրեղական կառուցվածքի միջիանգուցային դիրքում գտնվում է «օտար» (այլ քիմիական տարրի) ատոմ, ապա այդպիսի արաաը կոչվում է ներդրման խառնուկ (նկ. XI.2, ա), իսկ եթե «օտար» ատոմը գրադեցնում է «սեփական» (մատրիցի) ատոմի հանգույցը, ապա այդպիսի արատը կոչվում է տեղակալման խառնուկ (նկ. XI.2, բ):



Նկ. XI.2

Սիցիանգուցային ասումը («սելիական» կամ «օստար») բերում է ցանցի իդեալականության տևողային խախածան, բնդ որում նրա մոսակա հանգույցները շեղվում են արագած դեպի «դրուս»: Խուփուրքը միջիանգուցային ասումից տարրերվում է նրանով, որ նրա ստեղծած շեղումներն ուղղված են դեպի «ներս»՝ դեպի քափուրքը: Այսպիսով, միջիանգուցային ասումը և քափուրքը կարծես հակառակ նշանի արածներ են, և որոշակի պայմաններում, հնարավոր է նրանց ոչնչացումը (տնիկիացումը):

Այսպիսի կետային արաւուների առաջացման ամենապարզ սյսեմայի համաձայն, ասումը, տարրեր գործուների ազդեցուրյան շնորհիվ, բողոքում է «իր» հանգույցը և անցնում միջիանգուցային դիրքի, միաժամանակ սաեղծեկով քափուրքը և միջիանգուցային ասումը: Արաւուների այս գույզն բնդունված է անվանել Ֆրենկելի արասա կտմ ֆրենկելյան գույզ: Ասումին «իր» հանգույցից հանող գործուներից են չերմային ֆրուկտուացիաները, ունտղմայն ճառագայրահարումը, մեծ Լենգիաներով մասնիկները:

Մինչ այժմ խոսքը զնում էր մեսոսղական և կովալենա կապերով բյութեղներում կետային արաւուների մասին:

Իոնական բյուրեղներում, որոնք կազմված են իրար մեջ ներդրված դրական և բացասական իոնների և ներագանցերից (Մաս I, II), առաջանում են երկու տեսակի՝ կատարուային և անխոնային քափուրքներ (Յլ. XI.3):

|           |           |           |           |           |           |
|-----------|-----------|-----------|-----------|-----------|-----------|
| $\ominus$ | $+$       | $\ominus$ | $+$       | $\ominus$ | $+$       |
| $+$       | $\square$ | $+$       | $\ominus$ | $\square$ | $\ominus$ |
| $\ominus$ | $+$       | $\ominus$ | $+$       | $\ominus$ | $+$       |

Յլ. XI.3

Այս քափուրքները տարրերվում են իրենց էլեկտրական հաակություններով: Իրոք, բյուրեղական հանգույցում դրական իոնի բացակայությունը (կատարուային քափուրքը) էլեկտրական լիցքի բաշխման տևամելյունից համարժեք է, այդ հանգույցում բացասական լիցքի հայտնվելուն: Հետևաբար՝ կատարուային քափուրքը բյուրեղում հանդես է զալիս որպես բացասական լիցքա-

վորված կետային արատ: Համանման ձևով, անհոնային բավուրքը դրական լիցքի կրող է: Բյուրեղի կեկտրաչեզրորշունը կատականվի, եթե խոնները ոչ թե հեռանան բյուրեղից, այլ անցնեն միջիանգուցային դիրքերի (Ֆրենկելի արատ), կամ կ եթե անխոնային և կատականային բավուրքները (խոնների հավասար արժեքականության դեպքում) առաջանան հավասար բանակուրյուններով (Շուկիի արաւաներ):

Խոնային բյուրեղներում բավուրքի շուրջ ծագող տեղային դեֆորմացիաները տարբերվում են ոչ խոնային բյուրեղներում դիավոլ դեֆորմացիաներից: Խափուրքին ամենամուս զանգում են նույն նշանով խոնները, ուսափ բավուրքի անմիջական մոտակայքում գործում է վաճող (հրող) ուժ, և մոտակա խոնները շեղվում են բավուրքից «դժուս» ուղղություններով: Հաջորդ՝ ամ' յամուա եարեաններից հետո զանգու և հակառակ նշանի խոնները ձգաում են շեղվել զևսի բավուրքը: Արյունքում, խոնային բյուրեղում բավուրքի շուրջ ծագող դեֆորմացիոն դաշտն ունի բավականաշափ բարդ բնույթ:

Քանի որ խոնային բյուրեղներում լիցքի կեկտրաստատիկ դաշտը գործնականորեն չի էկրանավորվում, ապա լիցքավորված բավուրքներն օժտված են լրացուցիչ կուլոնյան էներգիայով, որից գուրք են ոչ խոնային բյուրեղներում առաջացող բավուրքները: Այս հանգամանքն էներգիապես ձեռնտու է դարձնում հակառակ նշաններով բավուրքներից կազմված գոյզի առաջացումը, որին կոչում են երկրափուրք (բիվականսիա): Ընդհանրապես, երկրափուրքների առաջացումն էներգիապես ձեռնտու է նաև ոչ խոնային բյուրեղներում: Երկրափուրքը նույնպես կետային արատ է: Նույնը վերաբերվում է նաև 3, 4 և ավելի բավուրքներից կազմված կոմպլեքսներին:

Խառնուրդային աստմները նույնպես կարող են առաջացնել տարբեր կոմպլեքսներ, միավորվելով ինչպես իրար հետ, այնպես էլ մատրիցի սեփական արաւաների՝ բավուրքների և միջիանգուցային աստմների հետ:

Եթե կոմպլեքս կազմող բավուրքների թիվը շատ մեծանա, ապա առաջ կգան որակապես նոր հատկություններ:

Քննարկեանք մի օրինակ, եթե միավորվող բավուրքները զանգում են մեկ աստմական հարթության մեջ, առաջացնելով սկավառակ: Նկ. XI.4-ում պատկերված է բավուրքների հարթ կուտակման լայնական կտրվածքը չուկաքացված (ա) և ուկաքացված (բ) փոխասավորության համար, ինչ-

## Նկ. XI.4

պես նաև մեծ շառավղով քափուրբային սկավառակի նզրի փոխասավորությունը (զ): Սկավառակի նզրերին գտնվող աստմների միջև գործող ձգողության ուժերը բերում են (բ) փոխասավորությանը: Սկավառակի շառավղի քավականաչափը մեծ՝  $R >> a$ , արժեքների դեսպրում նրա նզրի որևէ կետում աստմների փոխասավորությունը կախված չէ.  $R$ -ից (զ), իսկ նրա միջին մասում բյուրեղի նորմալ կառուցվածքը վերականգնված է, առկա է միայն ցանցի առաձգական ոչ մեծ ձգում: Նկ. XI.4, զ-ում պատկերված փոխասավորությունը համապատասխանում է աստմական հարթության մի տիրույքի, որն ընդեալավում է որոշակի զծի, ավյալ դևաքրում՝ սկավառակի նզրի երկայնքով: Քանի որ  $R >> a$ , ապա առաջացած արատը մեկ ուղղությամբ՝ սկավառակի պարագծով, ոնի մակրոսկոպական չափեր, ուստի այն միաշափի կամ զծային արատ է: Այն անվանում են եզրային դիստրիկտացիա: Ակնհայտ է, որ մյուս երկու (նկարի հարթության մեջ գտնվող) ուղղություններով, ընդհանավող հարթության նզրից փոքր՝  $r \sim a$  կարգի հեռավորությունների վրա ատոմների փոխադարձ դիրքերը շաա քիչ են տարբերվում իդեալական բյուրեղին համապատասխանող դիրքերից, այսինքն՝ նշված երկու ուղղություններով արատն ունի միկրոսկոպական չափեր:

Այժմ ծանոթանանք երկշափ կամ մակերևութային արատի մի օրինակի՝ դարսման արատի հետ:

Դիտարկենք նիստակենտրոնացված խորանարդային ցանց: Ինչպես զիտենք (Մաս I, I.4), այն կարելի է պասկերեւ որպես ատոմ-զնդիկների շերտերի խիտ դարսվածքը {111} բյուրեղազրական հարթություններում, ընդ որում շերտերի դարսվածքը կարելի է ներկայացնել ...ABCABCABC... հաջորդականությամբ: Ենթադրենք, որ այս ցանցի որևէ, օրինակ՝ C, շերտում առաջացել է քափուրբների կուտակում այնքան մեծ չափերով, որ առաջացած սկավառակի հանդիպակաց նզրերի A և B հանգույցներում գտնվող ատոմների ձգողության ենտևանքով այդ նզրերը միակցվում են (միակցման

աեղը կնշեմք սլաքով՝ ↓): Արդյունքում համապատ է հարթուրյան տեղում առողմական հարթուրյունների կանոնավոր հաջորդականուրյունը դանում է խախափած՝ ...ABCABCAB...ABCABC...: Այսպիսի խախանումը կոչվում է դարսման արագ: Երկու չափումներով այն ունի մակրոսկրոպական չափեր, իսկ արագի հարթուրյան նորմավոր ուղղուրյամբ կանոնավոր դասավորմանը համապատասխանող հարթուրյունները սկսվում են ինց հաջորդ ասումական հարթուրյունից: Այսպիսով, դարսման արատը ցանցի երկշափ արագ է: Նոյն ափայի արատների օրինակներ են նաև միջիադափեային սահմանները բազմարյուրներում, դոմենային սահմանները սեզնետաէլեկտրադիկներում և ֆեռոմագնիսներում, նմուշի մակերևույթի:

Բյուրեղական կառուցվածքի լուաչափ (ծավալային) արատների թվին են պատկանում այլ բյուրեղական կառուցվածքով ներխառնուկները (երկրորդ ֆազի անջատում), ամորֆ ներխառնուկները. նմուշի հոծուրյան խախտումները (ճաքեր, ծակոտիներ):

## §2. Կետային արատներ

Նետային արատների ազդեցուրյունը բյուրեղի ֆիզիկական հատկուրյունների վրա պայմանավորված է ինչպես արատների տեսակով, այնպես էլ նրանց կոնցենտրացիայով:

Դիտարկենք  $N$  միատեսակ ատամններից կազմված բյուրեղ և որոշենք նրանում  $n$  բափուրքների թիվը թերմոդինամիկական հավասարակշռության վիճակում: Եթե բյուրեղը գտնվում է հաստատուն  $P$  ճնշման տակ, ինչը, որպես կանոն, համապատասխանում է փորձում իրականացվող պայմաններին, ապա հարմար է որպես անկախ թերմոդինամիկական պարամետրեր ընտրել  $P$ ,  $T$ ,  $N$  մեծուրյունները և օգտվել թերմոդինամիկական կամ Գիբսի  $G(P,T,N;n)$  պոտենցիալի՝ հավասարակշռության վիճակում ըստ  $n$  փոփոխականի նվազագույնը լինելու պայմանից՝

$$\left( \frac{\partial G}{\partial n} \right)_{P,T,N} = 0 : \quad (2.1)$$

Գիբսի պոտենցիալը որոշվում է

$$G(P,T,N;n) = U - TS + PV \equiv F + PV \quad (2.2)$$

արտահայտությամբ, որտեղ  $U$ -ն համակարգի ներքին էներգիան է,  $F$ -ը՝ ազատ էներգիան,  $S$ -ը՝ նարոպիան և  $V$ -ն՝ ծավալը:

Պարզենք  $G$  ֆունկցիայի կախումը բավուրքների թվից:  $N$  ասոմներից և  $n$  բավուրքներից բաղկացած բյուրեղը հարմար է ներկայացնել որպես  $N+n$  ասոմներից կազմված իդեալական բյուրեղ, որից  $n$  ատոմ հետացված է: Այս դեպքում, առաջին մոտավորությամբ, կարելի է ծավալի՝  $n$ -ից ունեցած կախումը ներկայացնել

$$V(n) \approx (N+n)v_0 \quad (2.3)$$

բանաձևով, որտեղ  $v_0$ -ն իդեալական բյուրեղում մեկ ասոմին բաժին ընկնող ծավալն է: Քանի որ  $n \ll N$  (եթե  $n \leq N$ , բյուրեղի զաղավարը կդառնար անհիմաստ), ապա կարելի է բնույնել, որ  $F_0(n)$  մեծությունը կախված է միայն բավուրքների թվից, բայց ոչ նրանց փոխադարձ դիրքից:

Եթե կնորոպիայի  $S$  արմեքն ավելացնենք նաև  $S_c$  անդամը, որը հաշվի է առնում  $n$  բավուրքները  $N+n$  հանգույցներում բաշխելու դոլոր հնարավոր ձևերով պայմանավորված «անկարգության» չափը՝

$$S_c = k_B \ln \frac{(N+n)!}{N!n!}, \quad (2.4)$$

ապա Գիբսի  $G$  պոտենցիալի համար կստանանք՝

$$G(P,T,N;n) = F_0(n) - k_B T \ln \frac{(N+n)!}{N!n!} + P(N+n)v_0 : \quad (2.5)$$

$N$  և  $n$  թվերը մակրակողական են, ուստի կարելի է ֆակտորիալով անդամները ձևավոխել, օգտվելով Ստիլինզի բանաձևից՝

$$\ln M! \approx M \ln M - M, \quad M \gg 1 : \quad (2.6)$$

(2.5), (2.6) արտահայտություններից և (2.1) պայմանից կստանանք՝

$$\left( \frac{\partial F_0}{\partial n} \right)_{P,T,N} + Pv_0 - k_B T \ln \left( 1 + \frac{N}{n} \right) = 0 : \quad (2.7)$$

Նկատի ունենալով  $n \ll N$  պայմանը, կարելի է գրել, որ

$$\left( \frac{\partial F_0}{\partial n} \right)_{P,T,N} \approx \left( \frac{\partial F_0}{\partial n} \right)_{P,T,N,n=0} = \varepsilon, \quad (2.8)$$

որակող  $\varepsilon$  մնջությունը կախված չէ բափուրքների բվից:

Այսպիսով, (2.7) պայմանի համաձայն,  $G = G_{\text{max}}$ , եթե

$$n = N \exp\left(-\frac{\varepsilon + Pv_0}{k_B T}\right): \quad (2.9)$$

Պարզենք  $\varepsilon$  բնութագրական էներգիայի իմաստը:

$F_0$  ազատ էներգիան  $n$  բափուրք պարունակող ցանցի  $U_0$  հավասարակշռության պոտենցիալ էներգիայի (Մաս I, III) և ատոմների շերմային ատամումների  $F_T$  ազատ էներգիայի գումարն է՝

$$F_0(P, T, N; n) = U_0 + F_T: \quad (2.10)$$

Որպես կանոն,  $F_T$  գումարելին շատ փոքր է.  $U_0$ -ից, ուսաի զրոյական մոտավորությամբ (2.8) բանաձևից կստանանք՝

$$\varepsilon_0 = \left( \frac{\partial U_0}{\partial n} \right)_{P, N, n=0}, \quad (2.11)$$

որը կախված չէ շերմաստիճանից:  $\varepsilon_0$ -ն այն էներգիան է, որն անհրաժեշտ է հանգույցից ատոմի հետացման համար: Կարելի է ընդունել, որ  $\varepsilon_0$ -ն մեկ ատոմին բաժին ընկնող կապի էներգիայի (1 էՎ) կարգի մնջություն է: (2.9) բանաձևում  $Pv_0$  գումարելին մթնոլորտայինին մոտ ճնշումների դեպքում ( $P_0 \approx 10^5$  Պա) հավասար է մոտ  $10^{-5}$  էՎ-ի, որը կարելի է անտեսել  $\varepsilon_0$ -ի նկատմամբ:

Այսպիսով, թերմոդինամիկական հավասարակշռության վիճակում բափուրքների թիվը՝

$$n = N \exp\left(-\frac{\varepsilon_0}{k_B T}\right): \quad (2.12)$$

Եթե  $N$ -ը ցանցի հանգույցների (ատոմների) թիվն է 1սմ<sup>3</sup>-ում, ապա (2.12) բանաձևը առաջ է բափուրքների կոնցենտրացիան:

Համաձայն (2.12) բանաձևի,  $T \neq 0$  Ք չերմաստիճանում հավասարակշռական վիճակում  $n \neq 0$ , այսինքն՝ բնության մեջ առանց արատների բյուելներ գոյություն ունենալ չեն կարող: Սենյակային շերմասահճաններում,  $\varepsilon_0 \sim 1$  էՎ բնութագրական արժեքների համար  $n/N \approx \exp(-40) \approx 10^{-17}$ , և

բափուրբների միջև հետափոխությունը՝  $r_0 \sim 10^6 a \sim 10^{-2}$  սմ: Սակայն հալման ( $T_m \sim 1000K$ ) ջերմաստիճանի մոտակայքում  $n/N$  հարաբերությունը կարող է ընդունել  $10^{-4}$  կարգի արժեքներ, իսկ  $r_0 \sim 10a \sim 10^{-7}$  սմ:

(2.10) բանաձևում  $E_T$  անդամի հաշվառումը բերում է (2.8) առնչությամբ որոշվող  $\varepsilon$  Լերգիայի որոշ փոքրացման, բանի որ ( $\partial E_T / \partial n$ )<sub>0</sub> < 0, ինչը հետևածք է բափուրբների առկայության պայմաններում տառանդական որոշ մաղերի հաճախությունների փոքրացման: Արդյունքում  $n$ -ի արժեքները որոշ չափով մեծանում են:

Խւալիուրբների թվի (2.12) արագակայտությունը կարելի է ընդհանրացնել տարբեր անսակլի բափուրբների և տարբեր անսակլի միջիանգուցային ասամբների համար:

Եթե բյուրեղում կա  $j$  անսակլի  $n_j$  կեաային արագակ  $n_j << N_j$ , որտեղ  $N_j$ -ն այն հանգույցների (կամ միջիանգուցային դիրքերի) թիվն է, որտեղ կարող է գտնվել  $j$  անսակլի արագակ, ասկա, նորից անականությունը  $Pn_0$  անդամը, կարող ենք գրել՝

$$n_j = N_j \exp\left(-\frac{\varepsilon_j}{k_B T}\right), \quad \varepsilon_j = \left(\frac{\partial E_T}{\partial n_j}\right)_{n_j=0} \quad (2.13)$$

Որպես կանոն,  $\varepsilon_j >> k_B T$ , և եթե  $\varepsilon_j$ -ի երկու ամենափոքր արժեքների միջև տարբերությունը նույնական գոյալիութեն մեծ է:  $k_B T$ -ից, ասկա արագակների ճնշող մասը կունենա ամենափոքր  $\varepsilon_j$ -ն և  $n_j >> n_i$  ( $i \neq j$ ):

(2.13) բանաձևն իրավացի է այն դիպրում, երբ որևէ տեսակի արագակների թվը կախված չէ այլ արագակների ներկայությունից, այսինքն՝ բոլոր  $n_j$  փոփոխականներն իրարից անկախ են: Սակայն եթե  $n_j$  մեծությունների միջև կամ որոշակի կապեր, ապա խնդիրը պետք է նորից լուծել, հաշվի առնելով այդ կապերը: Օրինակ՝ յունային բյուրեղում չեն կարող գոյություն ունենալ միայն դրականի յոնների ներացանցի բափուրբներ, բանի որ հավելարդային բացասական լիցքերի կուլումյան վոլտագրեցության էներգիան կընդունի մեծ արժեքներ: Այդ հավելուրդային լիցքը պետք է համակառվի

կամ միջիանգուցային դրսկան խոններով, կամ բացասական խոնների տևեղությունը բավարար է դրսկան դրույթի համապատասխան արագությամբ:

Հետևաբար՝  $G$  սլունցիալի մինիմումը պետք է գտնել համակարգի էլեկտրաչեզորության

$$\sum_{j=+,-} q_j n_j = 0 \quad (2.14)$$

լրացուցիչ պայմանի դեպքում, որտեղ  $q_j$ -ն  $j$  տեսակի արատի լիցքն է ( $q_+ = +e$  բացասական խոնի տևեղությունը գանվող բավարարի և  $q_- = -e$  դրական խոնի տևեղությունը գանվող բավարարի կամ միջիանգուցային խոնի համար):

Նազմելով

$$G' = G + \lambda \sum_j q_j n_j \quad (2.15)$$

ֆունկցիան, որտեղ  $\lambda$ -ն Լազրանմի անդրոշ գործակիցն է, և զանելով նրա մինիմումը, (2.13) առնչության վիճակին կստանանք՝

$$n_j = N_j \exp\left(-\frac{\varepsilon_j + \lambda q_j}{k_B T}\right) : \quad (2.16)$$

(2.16) արտահայտությունը պետք է բավարարի (2.14) լրացուցիչ պայմանին, որտեղից և որոշվում  $\lambda$  գործակիցը: Ամենափոքր է ներգիաներով,  $+1$  – նշաններով արատների համար (2.16) բանաձևից կստանանք՝

$$n_+ = N_+ \exp\left(-\frac{\varepsilon_+ + \lambda e}{k_B T}\right), \quad (2.17)$$

$$n_- = N_- \exp\left(-\frac{\varepsilon_- - \lambda e}{k_B T}\right), \quad (2.18)$$

որտեղ  $\varepsilon_+ = \min(\varepsilon_j)$ ,  $q_+ = \pm e$ : Քանի որ մնացած այլ տեսակի արատների համար  $\varepsilon_- > \varepsilon_+$ , ապա

$$\begin{aligned} n_j &<< n_+, \quad q_+ = +e, \\ n_j &<< n_-, \quad q_- = -e, \end{aligned} \quad (2.19)$$

ուստի էլեկտրաչեզորության (2.14) պայմանից հետևում է

$$n_+ = n_- \quad (2.20)$$

հավասարությունը: (2.17), (2.18) և (2.20) առնչությունների համաձայն՝

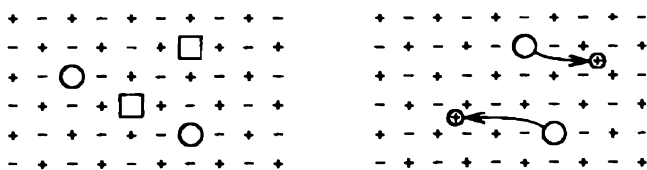
$$n_+ n_- = N_+ N_- \exp\left(-\frac{\varepsilon_+ + \varepsilon_-}{k_B T}\right) = n_+^2 \quad (2.21)$$

և

$$n_+ = n_- = (N_+ N_-)^{1/2} \exp\left(-\frac{\varepsilon_+ + \varepsilon_-}{2k_B T}\right). \quad (2.22)$$

(2.17) և (2.18) արտահայտություննից բխում է, որ էլեկտրաչեղորդության պայմանը քերում է մի նշանի արատների քվի մեծացման և հակառակ նշանի արատների քվի փոփրացման՝ ի հաշիվ  $\pm \lambda \cdot e$  լրացուցիչ գումարելիների: Արդյունարար բիվը հավասար է արատների այն քվերի միջին երկրաչափականին, որտեղ գոյություն կունենային լրացուցիչ սրայմանի բացակայության ( $\lambda = 0$ ) դեպքում:

Իոնային բյուրեղներում էլեկտրաչեղորդության պայմանը կարելի է ապահովել տարբեր եղանակներով: Օրինակ՝ կարող են իրար հավասար լինել դրական և բացասական իոնների քավուրքները (Շուկիի արատներ, նկ. XI.5, ա), ինչպես նաև միջիանգուցային իոնները և նրանց քավուրքները (Ֆրենկելի արատներ, նկ. XI.5, բ): Առաջին հնարավորությունը եիմնականում իրականանում է ալիախ-հալոֆիդային բյուրեղներում, իսկ երկրորդը՝ արծարի հալոգնենիդներում:



ա

բ

Նկ. XI.5

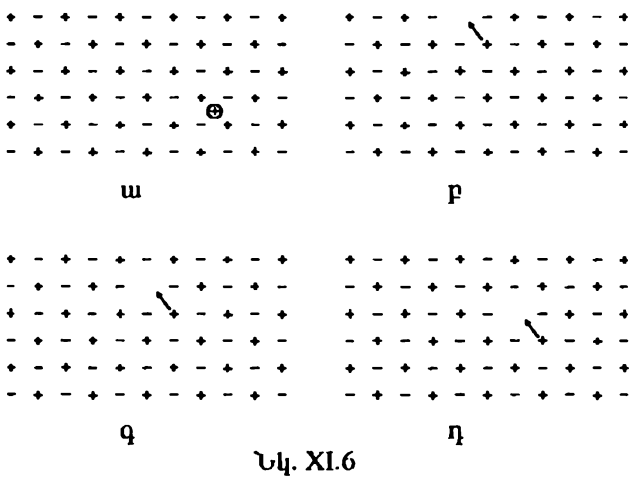
Հնարավոր է մեկ տարբերակ ևս, եթե առկա նույնականացուցային դրսկան և բացասական իոններ՝ հավասար քանակություններով: Սակայն այս տարբերակին ամենայն հավանականությամբ չի իրազործվում, քանի որ միջիանգուցային իոնի առաջացումը կապված է ավելի մեծ էներգիա ծալստերու հետ, քան պահանջվում է հանգույցում քավուրք ստեղծելու համար:

Կետային արևատները, հասկապես՝ քափուրբները, գգալիորեն ազդում են իոնային բյուրեղի կենդարական հասկուրյունների վրա:

Իոնային բյուրեղներն օժաված են իոնային հաղորդականությամբ՝ նրանցում եռանբը պայմանավորված է դրական և բացասական խնների ուղղորդված շարժումով: Տևակարար դիմադրտուրյունն ունի ուժեղ տրտահայտված ջերմաստիճանային կախում և վուֆուխվում  $\sim 10^7 \div 10^8$  Օհմ·սմ ալիրություն: Իոնային բյուրեղի կենդարահաղորդականության ջերմաստիճանը բարձրացնելիս դիտվող կտրուկ աճն անմիջականորեն պայմանավորված է քափուրբների թվի (2.13) բանաձելից հետևող աճով: Բանն այն է, որ խոնների հոսքնացը բյուրեղով լավես հեշտանում է քափուրբների առկայության պայմաններում, քանի որ քափուրբը բյուրեղում ստեղավոխելու համար պահանջվում է գգալի թիզ լեներգիա, քան խիտ դարսված սատուրացիան շերսների միջով իոնի տեղափոխման աշխատանքն է (նկ. XI.6, ա-η):

Փորձնականորեն ապացուցված է, որ ոչ շատ բարձր ջերմաստիճաններում ալկալի-հալոդային և արծարի հալոգների իոնային բյուրեղների հաղորդականությունը ուղղական է երկարժեք խաւուրդի (օրինակ՝ **Ca, Cd, Ba, Sr**) կոնցենտրացիային:

Այս երեսուրի պատճառն այն է, որ էլեկտրաչեղորության պայմանի շնորհիվ, օրինակ՝ **Na<sup>+</sup>** իոնին տեղակալած **Ca<sup>++</sup>** իոնն ապահովում է ևս մեկ **Na<sup>+</sup>** իոնի տեղում քափուրի առաջացումը, այսինքն՝ երկու **Na<sup>+</sup>** իոնի վո-



Նկ. XI.6

Խասրեն գանգում ներդրվում է մեկ  $\text{Ca}^{++}$  իոն: Այս մասին է վկայում այն փաստը, որ խառնուրդները պարունակող բյուրեղի խտուրյունն ավելի փոքր է, քան մաքուր բյուրեղինը: Երբեք  $\text{Ca}^{++}$  իոնի գանգվածը (40 գ.ա.մ.) ավելի փոքր է, քան երկու  $\text{Na}^+$  իոնների գումարային գանգվածը (2·23 գ.ա.մ.):

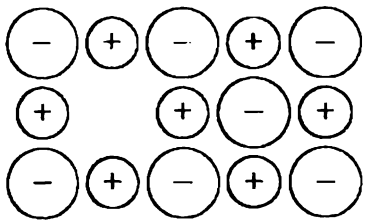
Խափուրիների առկայացրյունը իոնային բյուրեղներում ցայտուն ձևով դրսւորվում է հատկապես նմուշների օպտիկական բնուրազրերում:

Հայտնի է, որ ալկալի-հարթխային բյուրեղները բավանցիկ են սպիկարի անասնելի մասում: Ըյուրեղի գոնավորումը, ի թիվս այլ պատճառների, պայմանավորված է նաև նրանում մեստադի իոնի լրացուցիչ քանակի ներդրումով: Ինչը կարևի է, իրականացնել, բյուրեղը տարացնելով ալկալիական մեստադի գոլորշիներում և ապա այն արագ սառեցնելով: Նաստիւմի գոլորշիներում տարացված  $\text{NaCl}$ -ը դեղնում է, իսկ կալիումի գոլորշիներում տարացված  $\text{KCl}$  -ը՝ կարմրում: Ըյուրեղների գոնավորումը պայմանավորված է նրանցում նոր սիստի կետային արատների, այսպես կոչված գոնավորման կենտրոնների առաջացումով:

Դարգասքոյն գոնավորման կենտրոնը  $\text{F}$ -կենտրոնն է: Սովորաբար այն սաեղծում են ալկալիական մեստադի գոլորշիներում բյուրեղը տարացնելով կամ այն ռենտգենյան ճառագայրներով ճառագայրահարելով:  $\text{F}$ -կենտրոնը բաղկացած է  $\text{F}$ -կենտրոնից և նրան պահող անիոնային քավուրից (Ակ. XI.7):

Իոնային բյուրեղի մեջ ալկալիական մետադի լրացուցիչ քանակ ներարկելիս առաջանում են անիոնային քավուրներ: Ալկալիական մետադի արժեքական կենտրոնը կապված չէ աստմի հետ և շարժվում է բյուրեղում, ի վերջո բոնվելով անիոնային քավուրի կողմից և սաեղծելով կապված վիճակ:  $\text{F}$ -կենտրոնի մոդելի օգտին են խոսում հետևյալ փորձարարական փաստերը.

ա)  $\text{F}$ -կենտրոններով պայմանավորված կանոնա շերանքը բնուրագրական են տվյալ բյուրեղի համար և կալիումական մետադի համար օգտագործված ալկալիական մետադի տեսակից: Օրինակ՝  $\text{KCl}$ -ի  $\text{F}$ -շերանք նույն է և  $\text{Na}-ի$ , և  $\text{K}-ի$  գոլորշիներում այն տարացնելիս:

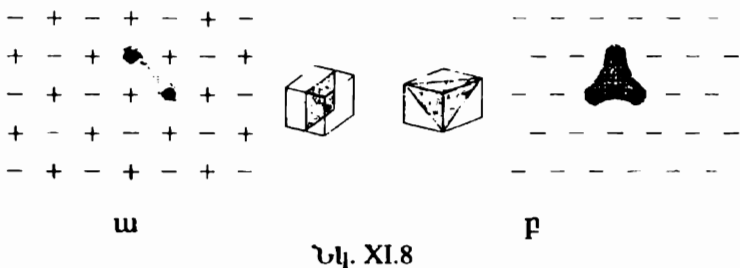


Ակ. XI.7

Հետևաբար՝ ալկալիական մեստաղի հիմնական դերը բացասական խոնի տեղում թափարք ստեղծելն է, ինչը բերում է դրան կապված Լևկուրոնի հայտնվելուն և որի Եներգիական մակարդակներով էլ հենց որոշվում է կլանման սպեկտրը:

բ) Քիմիական վերլուծությունը ցույց է տալիս, որ ալկալիական մեստաղի գոլորշիներում տաքացված բյուրեղի լամ<sup>3</sup>-ում պարունակվում է  $10^{16} \div 10^{19}$  կարգի լրացուցիչ, այսինքն՝ ստեխիոմետրիայով պահանջվող քանակից ավելի ատոմ, ինչը համապատասխանում է F-շերտի լրիվ օպակական կլանման չափումներից ստացվող արդյունքին:

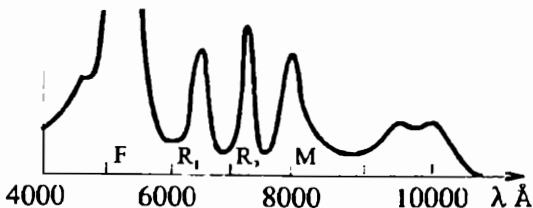
զ) Գունավորված բյուրեղի խտորդյունը սպորաբար ավելի փոքր է, քան չգունավորված (մաքուր) բյուրեղինը:



Բյուրեղի գունավորումը կարող է պայմանավորված լինել նաև գունավորման այլ կենտրոններով: Օրինակ՝ M-կենտրոնը բաղկացած է (100) հարբության մեջ գտնվող երկու հարևան անիոնային թափուրքներից և նրանց կապված երկու էլեկտրոններից (նկ. XI.8, ա), իսկ R-կենտրոնը՝ բացասական իոնների ենթացանցի (111) հարբության մեջ գտնվող երեք անիոնային թափուրքներից և երեք էլեկտրոններից (նկ. XI.8, բ):

Նկ. XI.9-ում պատկերված է KCl-ի  $\alpha$  կլանման գործակցի՝ վործում ստացված կախումն ընկնող լույսի ալիքի երկարությունից: Կլանման սպեկտրում դիտվող ռեզոնանսները պայմանավորված են F-կենտրոնների տարրեր համակցություններով:

Ինչպես եետևում է նկ. XI.9-ից, օպտիկական կլանման ռեզոնանսներն արտահայտված են նվազ կտրուկ, քան մեկուսացված ատոմների կլանման



Նկ. XI.9

սպեկտրներում դիսվող ռեզոնանսները: Դրա պատճառն այն է, որ սպեկտրային զծի լայնությունը հակադարձ համեմատական է գրգուքած վիճակի լցանքի տևաղությանը: (Ուկուսացքած ասպոմները կարող են վկրագառնայ հիմնական վիճակին միայն համեմատաբար դանդաղ պրոցեսի՝ ֆոտոնի առարման արդյունքում: Պինդ մարմնում զանվոր «ասոմբ» (գունավորման F-, M-, կամ R-կենտրոնը) ուժեղ վոլտագդում է շրջալսասի հետև և կարող է արագ կորցնել իր լներգիան:

### §3. Դիալոկացիաներ

Դիմու մարմինը որպես իրեալական բյուրեղ դիստարկող մոդելի անհամապատասխանությունը փորձին դրսւորվեց հասկապես պլաստիկ, այսինքն՝ մնացորդային և ոչ դարձելի դեֆորմացիա առաջացնելու համար պահանջվող լարման մեծությունը տևականորեն զնահատելիս:

Որոշենք պլաստիկ դեֆորմացիա առաջացնող սահմանային լարման արժեքը իդեալական բյուրեղի համար: Վերջինս կարելի է ներկայացնել որպես իրար զուգահեռ և  $d$  հեռավորության վրա զանվոր հարթությունների ընտանիք (նկ. XI.10, ա):

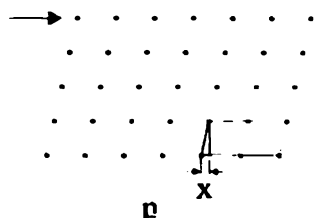
Դիտարկենք բյուրեղի սաხքի դեֆորմացիան, երբ յուրաքանչյուր ասոմական հարթություն ինքն իրեն զուգահեռ, տրված ուղղությամբ տեղափոխվում է իր հարկան ստորին հարթության նկամամբ  $x$  չափով (նկ. XI.10, բ): Փոքր (առածզական) դեֆորմացիաների համար պահանջվող  $\sigma$  լարումը որոշվում է հոկի օրենքից:

$$\sigma = G \frac{x}{d}, \quad x \ll d, \quad (3.1)$$

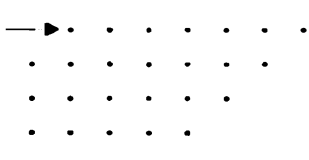
որտեղ  $G$ -ն բյուրեղի սահքի մոդուլն է տրված ուղղությամբ: Սեծ՝  $|x| \leq d$  շեղումների համար Հուկի (3.1) օրենքը տեղի չունի: Սահմանային դեպքում, եթե  $x$  շեղումը հավասարվում է սահքի ուղղությամբ ցանցի հաստատունին՝  $x = a$ , բյուրեղի աեղաշարժված և չափաշարժված մասերի ներքին փոխառակիրությունները նույնական են (նկ. XI.10, զ): Այսինքն՝  $x = 0$  և

$$\begin{array}{ccccccccc} \cdot & \cdot \\ \cdot & \cdot \\ \cdot & \cdot \\ \cdot & \cdot \\ \cdot & \cdot \\ \cdot & \cdot & \cdot & \cdot & \cdot & \cdot & a & d \end{array}$$

առ



$p$



$q$

Նկ. XI.10

$x = a$  դեպքում ապագիտաների համար  $\sigma = 0$ : Առաջին մուտափորությամբ,  $\sigma(x)$  ֆունկցիան կարելի է ներկայացնել

$$\sigma(x) = \frac{G\alpha}{2\pi d} \cdot \sin\left(\frac{2\pi}{a}x\right) \quad (3.2)$$

տեսքով, որտեղից փոքր՝  $x \ll d$  դեպքում ապագիտաների դեպքում սաւագվում է Հուկի (3.1) օրենքը: Ըստ (3.2) արտահայտության, սահմանային «ջարդող» լարումը համապատասխանում է  $x_c = a/4$  չափով շեղմանը և արվում է:

$$\sigma_c = \frac{G\alpha}{2\pi d} \quad (3.3)$$

առնչությամբ: Նկատի տեսնալով, որ  $a \sim d$ , սահմանային  $\sigma_c$  լարման համար ստանում ենք

$$\sigma_c \approx \frac{G}{6} \quad (3.4)$$

արժեքը: Ավելի ճշգրիտ հաշվարկների համաձայն՝  $\sigma_c \approx G/30$ :

Այսուակ XI.1-ում բերված են մի

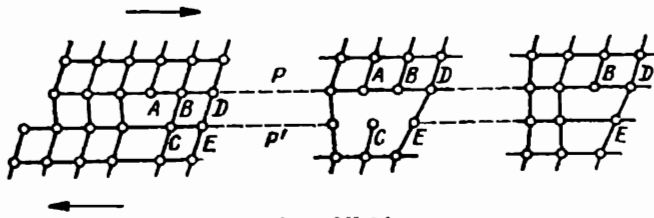
քանի պինդ մարմինների սաხքի մոդուլի՝ փորձում դիտված սահմանային  $\sigma_c^{\text{ex}}$  լարման արժեքները, ինչպես նաև սահմանային լարման տեսական և փորձարարական արժեքների հարաբերությունը:

| Նյութ                   | $G \cdot 10^{10}$ Տ/աշ | $\sigma_c^{ex} \cdot 10^5$ Տ/աշ | $\sigma_c / \sigma_c^{ex}$ |
|-------------------------|------------------------|---------------------------------|----------------------------|
| Անագ (միաբյուրեղ)       | 1.9                    | 13                              | 500                        |
| Արծար (միաբյուրեղ)      | 2.8                    | 6                               | 1500                       |
| Ալյումին (միաբյուրեղ)   | 2.5                    | 4                               | 2000                       |
| Ալյումին (բազմաբյուրեղ) | 2.5                    | 260                             | 30                         |
| Երկար (բազմաբյուրեղ)    | 7.7                    | 1500                            | ~8                         |

Ալյուսակում բերված տվյալներից հետևում է, որ սահմանային լարման փորձարարական արժեքը  $10^2 \div 10^3$  անգամ փոքր է  $\sigma_c$ -ի տևական արժեքից, ինչը նշանակում է, որ բյուրեղի վերը դիտարկված սահքի մեխանիզմը չի համապատասխանում իրականությանը:

Փորձի և տևողացած միջև սարածայնությունը հիմք ծառայեց ենթադրելու, որ իրական բյուրեղներում գոյություն ունեն դիտուկացիաներ (Գ. Թեյլոր, Է. Օրթագան, Մ. Պոլյանի, 1934թ.):

Նկ. XI.11-ից տեսնեայտ է, որ A դիտուկացիան առաձգականորեն դիտուկացված միջավայրում անդաշարժմելու համար պարտադիր չեն P և P' առանձական հարթությունների միջև բոլոր կապերի խզումը: Բավական է միայն խզել BC կապը և վերականգնել AC կապը (նույն գործողությունը կատարվում է նկարի հարթությանը զուգահեռ բոլոր առանձական հարթություններում): Դիտուկացիայի զծի շուրջ մեծ լարումների առկայության պայմաններում այդպիսի խզման համար անհրաժեշտ են  $\sigma_c$ -ից մի քանի կարգով փոքր լարումներ: Հաջորդ փուլում խզվում են DЕ և հաջորդ կապերը, մինչև որ սահքը հասնում է բյուրեղի եզրին: Բյուրեղից դուրս եկած դիտուկացիան բյուրեղի մակերևույթին սաեղծում է մեկ աստմի բարձրությամբ



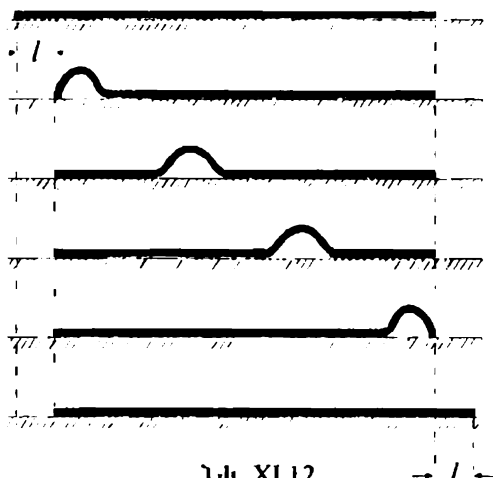
Նկ. XI.11

ասախճան: Երեւ այդ նույն հասրությամբ անցնեն շատ դիմոկացիաներ, ուրա սռաջացած տասիճանի բարձրությունը կմեծանաւ և այն հնարավոր կլինի դիտել զինված աչքով: Այսպիսով, դիմոկացիաների շարժման արդյունքում բյուրեղի մի մասը ոչ դարձելի ծեռվ տահում է. մյուս մասի վրայով, այսինքն՝ դիմոկացիաների շարժումը ենց բյուրեղի սրատափիկ դիմորմացիան է:

Դիմոկացիաների աետության մեջ սահմանային (գտրդող) լարման և սմար սաւացլած է հետեւյալ արտահայտությունը (Ռ. Պայերլս):

$$\sigma_c^0 = \frac{2G}{1-\nu} \exp\left[-\frac{2\pi d}{a(1-\nu)}\right], \quad (3.5)$$

որտեղ  $\nu$ -ն Պուասոնի գործակիցն է ( $0 < \nu \leq 0.5$ ): Բյուրեղների մեծ մասի համար  $\nu \approx 0.3$ , ուստի (3.5) բանաձեկց  $d \approx a$  դեպքում կստանանք  $\sigma_c^0 \approx 3 \cdot 10^{-4} G \sim 10^{-2} \sigma_c$ , ինչը համապատասխանում է փորձին:

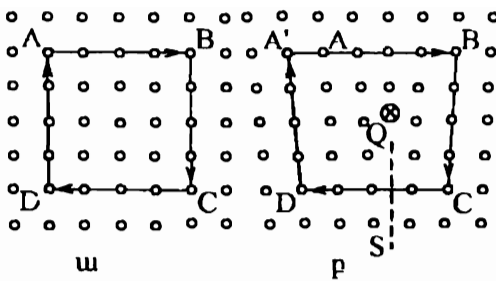


Նկ. XI.12

Մակրի դիմոկացիոն մեխանիզմի օրինակ կարող է ծառայել հատակին վուված գորգի շարժումը: Այն ամրողացրյամբ որոշակի չ չափով աեղաջարմելու համար պահանջվում է զգալի ջանքերի գործադրում, սակայն գորգը նույն չափով կարելի է հեշտությամբ տեղաշարժել, եթե նրա լայնությամբ սակածենք ծալք և տեղաշարժենք այդ ծալքը (նկ. XI.12):

Այժմ տանք դիմոկացիայի հստակ սահմանումը:

Դիմոկացիաներ ասոմական հարթության մի մաս և նրանում կառուցենք փակ կոնտուր (Բյուրգերի կոնտուր), որն անցնում է ցանցի հանգույցներով, ժամացույցի սլաքի պատաման ուղղությամբ: ‘Դիցու’ կոնտուրը սկսվում է A կետաց և անցնելով B, C և D կետերով, փակվում է A կետում (նկ. XI.13, a): Կրկննենք նույն կոնտուրի կառուցումը հարթության այն

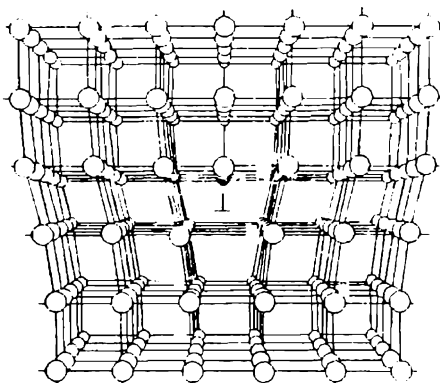


Նկ. XI.13

մասում, որը հասում է բնողեասվող առօնային կիսահարթության ևզը և այնպիս, որ կոնսուրն բնողքըլի այդ եղբը: Եթե կոնսուրի սկիզբն ընալրենք Ա կետում և նոյն քվով բայցիրտվ, ինչպիս (ա) դեպքում, հաջորդաբար անցնենք B, C և D կետերը, կիսանենք Ա հանգույցին, որը չի համընկնում Ա հանգույցի հետ (նկ. XI.13, թ): Այսինքն՝ Բյուրգերսի կոնսուրն ունի անկապություն՝ AA հատվածը: Բյուրեղի առաձգական դեֆորմացիայի հետևանքով դիսլոկացիայի շրջակայրում քայլի (երկու հանգույցների միջև) երկարությունը եավասար չէ չեֆորմացված ցանցում քայլի երկարությանը, ուստի  $A'A \neq a$ -ին ցանցի հասաասունին: Այն կիավասարվի  $a$ -ին, եթե «հանվի» ցանցի առաձգական դեֆորմացիան, օրինակ՝ բյուրեղը QS հարթությամբ հասելով և բողնելով, որ այն զա հավասարակշռական վիճակի: **b** վեկտորը, որը Բյուրգերսի կոնսուրի վերջնական Ա կետը միացնում է սկզբնական A կետի հետ, կոչվում է Բյուրգերսի վեկտոր: Այն դիսլոկացիայի գծային արատի քանակական բնութագիրն է:

Այսպիսով, դիսլոկացիան բյուրեղի գծային արատ է, որի համար Բյուրգերսի կոնսուրն ունի զրոյից տարրեր անկապություն: Բյուրգերսի **b** վեկտորի նշանը կախված է Բյուրգերսի կոնսուրի շրջանցման ուղղությունից, իսկ վերջինս որոշվում է դիսլոկացիոն գծին տարված  $/$  շոշափողով: Հետևաբար՝ դիսլոկացիան բնութագրվում է **b** և  $/$  վեկտորներով: **b** և  $/$  վեկտորներով անցնող հարթությունը կոչվում է դիսլոկացիայի սահրի հարթություն: Բյուրգերսի կոնսուրի կառուցման կանոնից հետևում է, որ Բյուրգերսի վեկտորի մոդուլը հավասար է միջատոմական հեռավորություններից որևէ մեկին, որպես կանոն՝ ամենափոքրին:

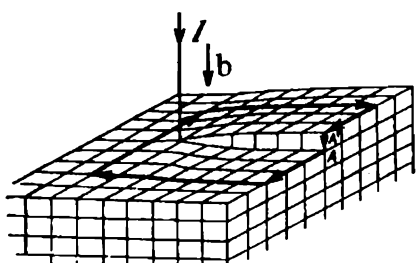
Լրացուցիչ ասոմական հարթության եզրը շրջապատող և  $2 \div 3$  առողմական տրամագծի կարգի շավերով ափրույթը, որսեղ տվյալ ատոմի ամենամոտ հարեւանների թիվը (կոօրդինացիոն թիվ՝  $z$ ) միարժեքորեն չի որոշվում, կոչվում է դիալոկացիայի միջուկ: Եյուրեղի մնացած մասը, որը պարունակում է իդեալական կառուցվածքի չնշին աղավաղումներ, կոչվում է առածզական տիրույթ (ընդունված է նաև «կավ բյուրեղ» անվանումը):



Նկ. XI.14

աարեւ կողմերի երկու հարեւան հարթությունները ճշտորեն համրելիցնենք իրար, ապա ասումների՝ իդեալական բյուրեղին բնորոշ դասավորությունը կմնա անփոփոխ ամենուրեք, բացի չենուացված կիսահարթության եզր հանդիսացող ուղիղ գծի անմիջական շրջակայթից:

Եթե  $b$  և  $l$  վեկտորներն իրար գուգահեն են, ապա դիսլոկացիան կոչվում է պատուտակային: Խտումների դասավորությունը պատուտակային դիսլոկացիայի շուրջ և երա Բյուրգերսի կոնտորը պատկերված են նկ. XI.15-ում: Բյուրգերսի կոնտորը շրջանցելով պատուտակային դիսլոկացիան, Ա սկզբական կետից զայիս ենք և Ա վերջնական կետը, որը մեկ միջիարթությունային



Նկ. XI.15

հեռավորությամբ վեր և Ա կետից: Կատարելով ևս մեկ պատույտ նույն ուղղությամբ, վեր կրաքարանանք մեկ հարթությամբ ևս: Այսինքն՝ պատուակային դիալոկացիա պարունակույթ բյութնոր կարելի և ներկայացնելու որպես մեկ ատոմական հարթություն, որն ունի պատուասանդությի տեսք:

Դիսլոկացիան բնութագրող *b* և / վեկտորները կարող են իրար նկատմամբ կողմնորոշված լինել կամայական ձևով՝ կազմել սուր կամ բուր անկյուն: Այդ դեպքում դիսլոկացիան կոչվում է. խառը ափավի: Նկ. XI.16-ում պատկերված դիսլոկացիան Ա կետում ունի Նզրային, իսկ Բ կետում՝ պատուակային բնույթ:

Դիսլոկացիայի շուրջ բյութեղական ցանցն աղավաղված է, սակայն դիսլոկացիայի միջուկից դուրս շեղումները փոքրանում են այնքան, որ դրանք կարելի և որոշել առածզականության զծային աեսության շրջանակներում:

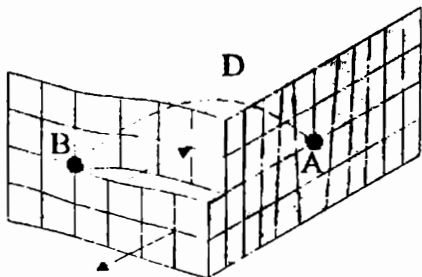
Անվերջ, իգուտրուած միջավայրում դիսլոկացիայի սաևղծած առածզական դաշտի շեղման վեկտորի և լարումների անգորի բաղադրիչների համար ստացված են վերլուծական արաւահայտություններ: Դրանք պարզ տեսք ունեն հատկապես անվերջ նրելար պատուակային դիսլոկացիայի համար: Եթե կորդիմատական z առանցքն ուղղված է վեկտորի ուղղությամբ, ապա շեղման վեկտորի բաղադրիչները կարելի և ներկայացնել

$$u_x = u_y = 0, \quad u_z = \frac{b\theta}{2\pi} = \frac{b}{2\pi} \operatorname{arctg} \frac{y}{x} \quad (3.6)$$

բանածներով, որտեղ  $\theta$ -ն ազիմուտային անկյունն է, x-ը և y-ը կետի կոորդինատներն են XΟY հարթության մեջ: (3.6) բանածներից և Հուլի օրենքից կստանանք լարման տենզորի բաղադրիչների արտահայտությունները:

$$\sigma_{xz} = -\frac{Gb}{2\pi} \frac{y}{x^2 + y^2}, \quad \sigma_{yz} = \frac{Gb}{2\pi} \frac{x}{x^2 + y^2}, \quad (3.7)$$

$$\sigma_{xx} = \sigma_{yy} = \sigma_{zz} = \sigma_{xy} = 0:$$



Նկ. XI.16

Եզրային դիսլոկացիայի առածզական դաշտի շեղման վեկտորի բառադրիչները սրբվում են

$$\begin{aligned} u_x &= \frac{b}{2\pi} \left[ \operatorname{arctg} \frac{y}{x} + \frac{xy}{2(1-\nu)(x^2+y^2)} \right], \\ u_y &= -\frac{b}{2\pi} \left[ \frac{1-2\nu}{4(1-\nu)} \ln(x^2+y^2) + \frac{x^2-y^2}{4(1-\nu)(x^2+y^2)} \right]. \\ u_z &= 0. \end{aligned} \quad (3.8)$$

Իսկ լարման տևնգորի բաղադրիչները՝

$$\begin{aligned} \sigma_{xx} &= -D \frac{y(3x^2+y^2)}{(x^2+y^2)^2}, \quad \sigma_{yy} = D \frac{y(x^2-y^2)}{(x^2+y^2)^2}, \quad \sigma_{zz} = -2D\nu \frac{y}{x^2+y^2}, \\ \sigma_{xy} &= D \frac{x(x^2-y^2)}{(x^2+y^2)^2}, \quad \sigma_{xz} = \sigma_{yz} = 0 \end{aligned} \quad (3.9)$$

արտահայտություններով, որտեղ

$$D = \frac{Gb}{2\pi(1-\nu)} : \quad (3.10)$$

Համաձայն (3.7) և (3.9) տանը պարունակությունների,  $\sigma_{ik}$  տևնգորի գրոյից տարբեր բաղադրիչները հեռավորությունից կախված նվազում են  $r^{-1}$  օրենքով:

$$|\sigma_{ik}| \sim \frac{D}{r} : \quad (3.11)$$

Այսպիսով, անգամ եքև դիսլոկացիաներ պարունակող մարմնի վրա արտաքին լարումները բացակայում են, նրանում միշտ առկա են ներքին լարումներ, որոնց աղբյուրը դիսլոկացիաներն են: Ներքին լարումներն բար կարելի է գնահատել, ենթադրելով  $\sigma \sim D/R_0$ , որտեղ  $R_0$ -ն դիսլոկացիաների միջին հեռավորությունն է:

Դիսլոկացիաների բանակական բնութագիր է ծառայում նյութի միավոր ծավալում դիսլոկացիաների գումարային երկարությունը կամ, որ նույնին է, միավոր մակերեսը հասող դիսլոկացիաների թիվը: Այդ մեծությունը կոչվում է դիսլոկացիաների խառնություն՝  $\rho$  և չափվում է սմ<sup>-2</sup> միավորություն: Հասկանալի է, որ  $R_0 \sim \rho^{-1/2}$ , ուստի  $\sigma \sim D\rho^{1/2}$ :

(3.6) (3.9) առնչությունների վերաբերյալ հարկ 1. կաստել հետևյալ պարզաբանումը: Չնայած դրանք գրված են անվերջ և իգուարություններում միշտավայրի համար, այնուամենայնիվ այդ բանաձևերը բավարար ճշգրիտ ամենալավ են նաև բյուրեղների համար համարյա բոլոր, ֆիզիկական հետաքրքրության ներկայացնող դեպքերում:

Դիպոլկացիա պարունակող միշտավայրը ներքին լարումների շնորհիվ օժանակած է ներգիտայով, որն ընդունված է անվանել դիպոլկացիայի էներգիա: Դա այն աշխատանքն է, որն անհրաժեշտ է առածգական միշտավայրում մեկ դիմուլացիա սանդելու համար:

Հաշվենք գծային դիպոլկացիայի էներգիան:

Ըստրեզր սրատկերենք որպես  $R$  շառավղով և  $L$  երկարությամբ մի գլան և այն հատենք մինչև նրա առանցքը հասնող հարքությամբ, առացացնելով հաստույք  $XOZ$  կոորդինատական հարքության մեջ (նկ. XI.17):

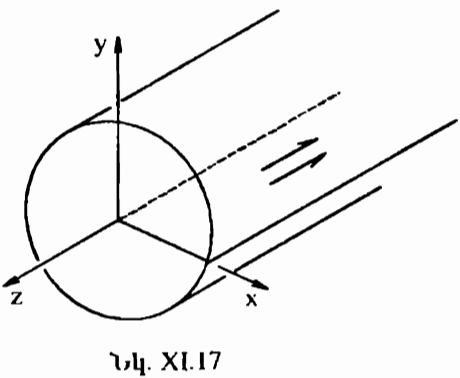
Պատուակային դիպոլկացիա սանդելու համար հաստույթի ելքերն իրար նկատմամբ  $z$  առանցքով անդաշարժելու համար պահանջվող  $E_z$  ուժը որոշվում է լարման տեսզորի  $\sigma_{yz}(x,0)$  բաղադրիչով, իսկ եղային դիպոլկացիայի դեպքում, եթե անդաշարժը կասարվում է  $x$  առանցքով,  $E_x$  ուժը որոշվում է  $\sigma_{yx}(x,0)$  բաղադրիչով: Հետևաբար,  $XOZ$  հարքության մեջ  $dS = Ldx$  մակերեսի վրա ազդող

$$\tilde{\sigma}_i(x,0)Ldx \quad (i = yx, yz)$$

ուժի կաստերած աշխատանքը «Բյուրգերսի  $b'$ » վեկտորը 0-ից  $b$  փոփոխելու համար կինհի հավասար

$$E_i = \int_0^R \int_0^R \tilde{\sigma}_i(x,0;b')Ldxdb', \quad (3.12)$$

որտեղ  $r_0$ -ն դիպոլկացիայի միջուկի շառավիղն է:  $\tilde{\sigma}_i(x,0;b')$  արտասիայտու-



Նկ. XI.17

բյունները ստացվում են (3.7), (3.9) և (3.10) բանաձևերից  $b \rightarrow b'$  փոխարինումով և վերցնելով  $y = 0$ :

$$i = yx \quad \tilde{\sigma}_{yx}(x, 0; b') = \frac{Gb'}{2\pi(1-\nu)} \cdot \frac{1}{x} \text{ (եզրային դիպոլացիա),} \quad (3.13)$$

$$i = yz \quad \tilde{\sigma}_{yz}(x, 0; b') = \frac{Gb'}{2\pi} \cdot \frac{1}{x} \text{ (պառակակային դիպոլացիա):} \quad (3.14)$$

(3.13) և (3.14) արտահայտությունները սկզբանական (3.12) բանաձևում և կաստարելով ինտեգրումները, կստանանք՝

$$E_{\perp} = \frac{LGb^2}{4\pi(1-\nu)} \ln \frac{R}{r_0} \quad (3.15)$$

եզրային դիպոլացիայի համար և

$$E_{\lambda} = \frac{LGb^2}{4\pi} \ln \frac{R}{r_0} \quad (3.16)$$

պառակակային դիպոլացիայի համար:

Խառը տիպի դիպոլացիայի էներգիայի համար, նկատի ունենալով Բյուրգերսի վեկտորի բաղադրիչների  $b_{\perp} = b \sin \theta$  և  $b_{\lambda} = b \cos \theta$  արտահայտությունները, (3.15) և (3.16) առնչությունների օգնությամբ կստանանք՝

$$E = E_{\perp}(b_{\perp}) + E_{\lambda}(b_{\lambda}) = \frac{LGb^2}{4\pi(1-\nu)} (1 - \nu \cos^2 \theta) \ln \frac{R}{r_0} : \quad (3.17)$$

Ինչպես հետևում է դիպոլացիայի միավոր երկարությամբ բաժին ընկնող էներգիայի՝  $\varepsilon_{\perp} = E_{\perp}/L$  և  $\varepsilon_{\lambda} = E_{\lambda}/L$  համար (3.15) և (3.16) արտահայտություններից, անվերջ մեծ բյուրեղի դևակրում ( $R \rightarrow \infty$ )  $\varepsilon_{\perp}$  և  $\varepsilon_{\lambda}$  մեծությունները տարամիտում են, ինչպես լու  $R$ -ը: Երականում սովորական շափերով բյուրեղը պարունակում է բազմաթիվ դիպոլացիաներ, որոնք, որպես կանոն, ունեն պատահական բաշխում: Արդյունքում դիպոլացիաների ստեղծած առաձգական դաշտերը անդ-տեղ իրար մարտւմ են, անդ-տեղ՝ ուժեղացնում: Կարենի է ընդունել, որ այն  $R$  հեռավորությունը, որի վրա սալյալ դիպոլացիայի դաշտը համաշխատ է հարեւան դիպոլացիաների դաշտերով, միջին միջդիմուկացիոն  $R_0 \sim \rho^{-1/2}$  հեռավորության կարգի է:

(3.15) և (3.16) արտահայտությունները աւարամիտում են նաև  $r_0 \rightarrow 0$

սահմանությունը: Ասկային աստմներն ունեն վերցավոր շալիք, ուստի դիսլոկացիայի միջակայում միջավայրը ոչ մի կերպ չի կարևի համարել անբնդիատ, ինտերաքտ՝ առածզականության տեսությունն այդ ախրույրում կիրառելի չէ: Բնական և ցանցի հաստատունի կարգի շառավղով այդ ախրույրը բացառել քննարկումից: Մյուս կամացից, միջուկից դուրս գանվող տիրույքը, որտեղ և կմարմացած են առածզական դեֆորմացիաները, այնքան մեծ է, որ, որպես կանոն, կարևի է հաշվի շառնել միջուկով պայմանավորված երեսույթները:

Գնահատենք  $I_0(R/r_0)$  արաադիչը: Եթե լնդունենք, որ շիկամշակված բյուրեղներում, որպես կանոն,  $\rho \sim 10^7 \text{ սմ}^{-3}$  կարգի մեծություն է, իսկ  $r_0 \sim b \approx 2.5 \text{ Ա}$ , ապա  $R/r_0 \sim R_0/r_0 \sim \rho^{1/2} \cdot b^{-1} \approx 10^4$ , և  $I_0(R/r_0) \approx 10$ : Աերված հաշվարկները հնարավերտուրյուն են աաիս գնահատելու դիմուկացիոն զծի ուղղությամբ մեկ միջատումական հեռավորությանը բաժին ընկնու լներգիան, որը, օրինակ՝ պատուակային դիմուկացիայի համար ( $a \approx b$ ) արվում է:

$$E_0 = \varepsilon_\lambda \cdot b = \frac{Gb^3}{4\pi} \ln \frac{R}{r_0} \approx Gb^3 \quad (3.18)$$

բանաձեռվ և կոչվում է դիմուկացիայի գծային լներգիա կամ դիմուկացիայի գծային ճգման լներգիա:  $G \sim 10^{10} \text{ Պա}$  և  $b \approx 2.5 \text{ Ա}$  բնարազրական արժեքների համար  $E_0$ -ն էլ. կարգի մեծություն է: Եզրային դիմուկացիայի գնելքում նույն  $E_0$  բնուրագիրը, լույսասկ Խ.2 համաձայն (3.15) բանաձեռվ, (3.17) առնչությունից տարբերվում է  $(1 - \nu)^{-1} \sim 1$  գործակցով, ուստի նույն կարգի մեծություն է:

Այսուակ Խ.2-ում բերված են (3.18) բանաձեռվ  $E_0$ -ի համար հաշվարկված տարբերները մի բանի պինդ մարմինների համար: Այդ արժեքներն

| Նյութ      | $G, 10^{10} \text{ Պա}$ | $E_0, \text{ ԷՎ}$ |
|------------|-------------------------|-------------------|
| Al         | 2.85                    | 3.1               |
| Cu         | 7.56                    | 5.3               |
| Ag         | 4.4                     | 4.5               |
| C (ալմաստ) | 43.0                    | 29                |
| Ge         | 6.7                     | 18                |
| KCl        | 0.6                     | 9.3               |
| Si         | 7.9                     | 19                |
| W          | 15.1                    | 13                |

բնկած են  $3 \div 10$ Վ և ավելի մեծ էներգիաների ափույքում:

Փոքր  $E_v$  գծային էներգիայով օժտված են հնարավոր վորք արժեքով բյուզերսի վեկտոր ունեցող դիսլոկացիաները, որոնք և մեծ մասամբ առկա են բյուրեղներում:

Կատարված գնահատումները հանգեցնում են մի կարևոր եզրակացության: Եթե անգամ դիսլոկացիան ունենաւ ընդամենը ցանցի 10 հաստատումի հավասար երկարություն, ապա նրա էներգիան կլինի 100 էՎ-ի կարգի մեծություն, որին համապատասխանում են  $10^6$  K կարգի ջերմաստիճաններ: Այս գնահատականից հետևում է, որ դիսլոկացիաները չեն կարող առաջանալ ցերմային ֆլուկտուացիաների հետևանքով (դրանց հավանականությունն անգամ համան ամենաքարձր ջերմաստիճանին ( $T_m \approx 3500$ K, վոլֆրամ) մոտ տիրույթում  $\sim \exp(-300)$  կարգի մեծություն է), ուստի ջերմային հավասարակշռության վիճակում պինդ մարմնում դիսլոկացիաներ լինել չեն կարող: Այլ կերպ ասած, ի տարրերություն կետային արագաների, դիսլոկացիաները թերմոդինամիկավես հավասարակշռված արագաներ չեն, նրանց խսությունը կախված չէ ջերմաստիճանից:

Դիսլոկացիաների վերը շարադրված համառոտ տեսությունը հնարավորություն և աւալս ոչ միայն ճիշտ բացատրել բյուրեղներում դիսլոկուտափակական դիֆորմացիայի երևույթը, այլև որակավես հասկանալ և քանակավես բավարար ճշտությամբ հաշվարկել պինդ մարմինների տարրեր մեխանիկական բնուրագներ:

Դիսլոկացիաները մեծապես ազդում են պինդ մարմինների նաև մյուս՝ էլեկտրական, մագնիսական, ցերմային և օպտիկական հատկությունների վրա: Նրանց դերը հասկապես կարևորվուն և բյուրեղների աճի պրոցեսում:

## ԱՄՈՐՖ ՄԱՐՄԻՆՆԵՐ ԵՎ ՀԵՂՈՒԿ ԲՅՈՒՐԵԴՆԵՐ

### §1. Ամորֆ մարմիններ

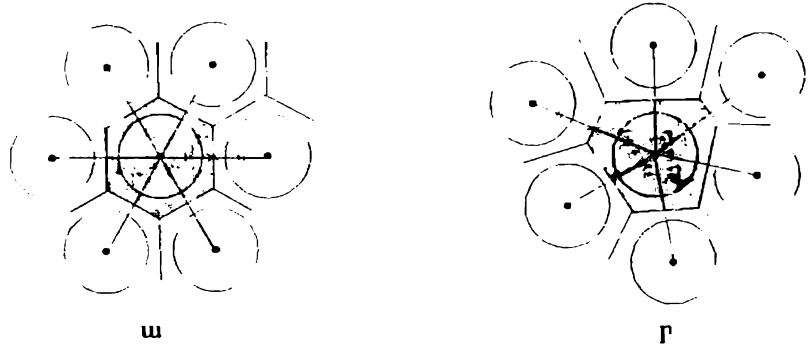
Ամորֆ կոչվում են այն նյութերը, որոնք կոնդենսացիած վիճակում չունեն բյուրեղական կառուցվածք, սակայն, ի տարրերություն հեղուկների, օժանական և առաջարկան հասակություններով՝ ունեն գրոյից տարրեր սահիբ մոդուլ:

Ամորֆ նյութերը կարելի է բաժանել երեսու խարի՝ աատմներից և ոչ շատ բարդ մոլեկուլներից բաղկացած նյութեր և պոլիմերներ՝ ամորֆ միացություններ, որոնք միմյանց հետ կապված պարզ մոլեկուլների հակայական կազմավորումներ են  $10^4 \div 10^6$  հարաբերական մոլային գանգվածներով:

Սարք կուտանասիքներ միայն առաջին տիպի ամորֆ նյութերը:

Շյուրեղներում մասնիկների տարածական բաշխման կարգավորվածությունը, որը նույնուրյամբ կրկնվում է գանկացած չափով մեծ հետաքորությունների վրա, կոչվում է հետակա կարգ: Ամորֆ մարմիններում հետակա կարգը բացակայում է. գոյություն ունի միայն մուակա կարգ, այսինքն՝ միայն հարեւան մասնիկների տարածական բաշխման որոշակի կարգավորվածություն, որը մեծ հետաքորությունների վրա «գլուզվում» է, անցնելով անկարգավորվածության: Սակայն մուակա կարգի առկայությունն ամորֆ մարմիններում բռյլ և տալիս պահպանել տարրական բջջի գաղափարը: Իրոք, երեւ, որպես կանոն, խիստ դարավածք ունեցող ամորֆ մարմնում, որևէ մասնիկ բնաւելով կենարոն, կատարենք Վիզներ-Զեյսիցի բջջի կատացման գործողությունները (Մաս I, I.2), ապա բյուրեղական կառուցվածքին բնորոշ Վիզներ-Զեյսիցի բջջի (նկ. XII.1, ա) վիշտարեն կստանանք ոչ նույնական և անհամաշափ ձևեր ունեցող բազմաթիվաներ (նկ. XII.1, բ): Քանի որ այս բազմաթիվ յուրաքանչյուրը («լորոնյի բազմանիստ») պարունակում է մեկ տառմ, ապա այն չի կարող է ապես աարերվել Վիզներ-Զեյսիցի բջջից: Հետևաբար՝ ամորֆ նյութում յուրաքանչյուր մասնիկ ունի շրջապատ, որը չի կարող շատ ուժեղ տարրերվել մոտ խառնյամբ բյուրեղում մասնիկի շրջապատից: Այսպիսով, ամորֆ մարմնում մուակա կարգն առկա է տարրա-

կան բցչի դեր կատարող Նորոնոյի բազմանիստի շրջանակներում: Յուրաքանչյուր հաջորդ տարրական բցից նախարդի նկատմամբ վորք-ինչ շրջված է, ընդ որում, պատույթի ուղղությունը կրում է պատահական (վիճակագրական) բնույթ: Այս է պատճառը, որ ամորֆ մարմինները իգուտրուած են:



Նկ. XII.1

Ամորֆ նյութերը որոշակի պայմաններում ապակիանում են, այսինքն՝ տևի է ունենալու անցում հեղուկ վիճակի հատկություններից և օրինաչափություններից պինդ վիճակին բնորոշ հաակություններին: Ամորֆ նյութի անցումը հեղուկ վիճակից պինդ վիճակի ջերմասահճանը կամ ճնշումը փոփոխելիս, կոչվում է կառուցվածքային ապակիացում: Այսպիսի անցնան ժամանակ փոխվում են նյութի ծավալը, ջերմունակությունը, ինչպես նաև մեխանիկական լեկտրական և այլ հատկություններ:

Ցանկացած ջերմաստիճանում հեղուկում առկա է որոշակի հավասարակշռական մոլեկուլային կառուցվածք: Մոլեկուլները կատարում են ջերմային տատանումներ հավասարակշռության դիրքերի շուրջ  $1/\tau_0$  հաճախությամբ, որը մոտ է բյուրեղներում ատոմների տատանման հաճախություններին, իսկ տատանումների ամպլիտուդը որոշվում է հարեւան մասնիկների կողմից տվյալ մասնիկին ընձեռված «ապատ ծավալով»:  $\tau >> \tau_0$  ժամանակ անց հավասարակշռության դիրքները տեղափոխվում են մասնիկների շափերի կարգի ( $\sim 10^{-8}$  սմ) հեռավորություններով: Ըստ մեծ թվով մոլեկուլների միջինացված  $\bar{\tau}$  մեծությունը այն բնութագրական ժամանակն է, որի բնթացքում մասնիկը տեղափոխվում է հարեւան մասնիկների միջև

միջին հեռավորության՝

$$\bar{\delta} \sim n_0^{-1/3} = (\mu / \rho N_A)^{1/3} \quad (1.1)$$

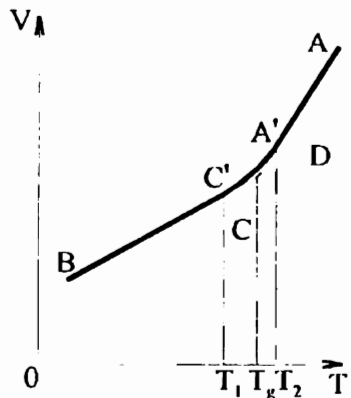
մեծության չափով, որուելով  $n_0$ -ն մոլեկուլների կոնցենտրացիան է,  $\mu$ -ն՝ մոլային զանգվածը,  $\rho$ -ն՝ խառնությունը: Զրի համար  $\bar{\delta} \approx 3 \cdot 10^{-8}$  ամ է: Սակայն հեղուկում մոլեկուլների տեղափոխությունները կատարվում են ոչ քե անբնդիատ, այլ որպես ալիքիվացված քայլքներ, ցատկեր, որոնք կապված են որոշակի պոտենցիալային արգելվների հաղթահարման հետ, և որոնց  $W$  «քարձությունը» պլայմանավորված է ավելի մասնիկի՝ իր հարեւանների հետ փոխազդեցությամբ: Մասնիկի «նստակյաց» կյանքի  $\bar{\tau}$  տևողությունը ժամանակավոր հավասարակշռության դիրքում հակադարձ համեմատական և ցատկի  $w$  հավանականությանը և գործակցի ճշտությամբ տրվում է:

$$\bar{\tau} \sim \frac{1}{w} \sim \exp\left(\frac{W}{k_B T}\right) \quad (1.2)$$

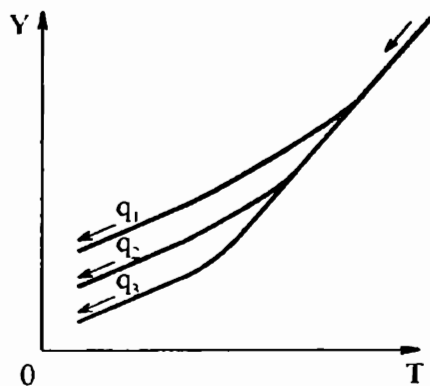
առնչությամբ: Այն որոշում է հեղուկում մոլեկուլի՝ ջերմային շարժման շնորհիվ տեղափոխաւթյան միջին արագությունը՝  $\bar{v} \approx \bar{\delta}/\bar{\tau}$ : Ջերմասահճանը փոփոխելիս հեղուկի կառուցվածքը վերափոխվում է, ձգտելով տրված ջերմասահճանին համապատասխանող հավասարակշռության վիճակին: Վերակառուցման արագությունը կախված է  $\bar{\tau}$  բնուրազրական (ոկարսացիայի) ժամանակից: Բարձր ջերմասահճաններում ոկարսացիայի  $\bar{\tau}$  ժամանակը փոքր է, ուստի հեղուկի կառուցվածքը գործնականորեն չի տարբերվում թերմոդինամիկական հավասարակշռական կառուցվածքից: Հատկությունների (օրինակ՝ ծավալի, նկ. XII.2) փոփոխաւթյունը պլայմանավորված է մասնիկների փոխադարձ դիրքերի և նրանց միջև հեռավորությունների փոփոխաւթյամբ (նկ. XII.2, AА՝ աիրույթ):

Հեղուկը վերջավոր արագությամբ սառեցնելիս  $\bar{\tau}$ -ը արագ մեծանում է, և կառուցվածքի փոփոխաւթյունը ակսում է նույն ջերմաստիճանի փոփոխությունից: Համակարգը դադարում է լինել հավասարակշռական:  $T_2$  ջերմաստիճանը ապակիացման տիրույթի վերիմ սահմանն է: Նրանից ցածր  $T_1$  ջերմաստիճանից սկսած  $\bar{\tau}$ -ն այնքան է մեծանում, որ կառուցվածքի ցանկացած փոփոխաւթյուն ընդունուած է դադարում է:  $T_1$  ջերմաստիճանը ապակիացման տիրույթի ստորին սահմանն է: Նրանից ցածր ջերմա-

աիճաններում նյութը գտնվում է. սինդիկատում (նկ. XII.2, ԾԲ տիրույք): Պինդ վիճակում գտնվող ամորֆ նյութը կոչվում է ապակիացած նյութ կամ պարզապես ապակի:



Նկ. XII.2



Նկ. XII.3

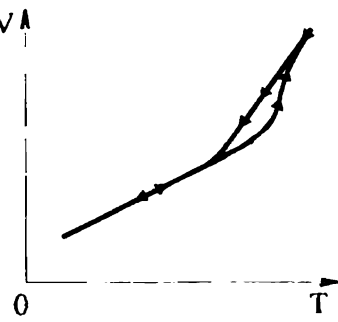
Ապակիացումը և դրա հակառակ պրոցեսը՝ փափկացումը, տեղի է ունենում մինչև մի քանի տասնյակ աստիճանի հասնող ջերմաստիճանային տիրույթում: Պայմանականորեն այդ տնտեսում բնուրագրում են  $T_g$  ապակիացման ջերմաստիճանով կամ  $T'_g$  փափկացման ջերմաստիճանով: Սովորաբար, ամորֆ նյութի ծավալային հատկություններն ուսումնասիրելիս այդ ջերմաստիճանն ընտրվում է որպես BD և CA ուղղագիծ հասպածների հատման կետի արացիս (նկ. XII.2), իսկ ջերմունակության ուսումնասիրման դեպքում որպես  $T_g$  ջերմաստիճան ընտրվում է  $C_p(T)$  կորի շրջման կետը:

Ապակիացող նյութի հավասարաչափ սառնեցման պրոցեսում նրա որեւէ ֆիզիկական  $Y$  պարամետր փոփոխվում է (նկ. XII.3-ում պատկերված ձևով):  $Y$  պարամետրի փոփոխությունը կախված է միայն ջերմաստիճանից և նրա փոփոխման  $\dot{T} = q$  արագությունից: Որքան դանդաղ է ընթանում նյութի սառնեցումը, այսինքն՝ որքան փոքր է  $q$ -ն, այնքան ավելի ցածր ջերմաստիճանում է սկսվում նյութի կառուցվածքի սառնեցումը, այսինքն՝ այնքան ավելի փոքր է  $T_g$ -ն: Նկ. XII.3-ում  $q_1 > q_2 > q_3$ , ուստի  $T_{g1} > T_{g2} > T_{g3}$ :

Ավելի լայն իմաստով ապակիացում նշանակում է նյութը կազմող մասնիկների շարժման ցանկացած կոնկրետ տևակի սառւցում (համապատասխան «ազատության սալիճանի» «անջատում»): Եյն կարող է լինել շարժում, որևէ ապահովում է մարմնի դեֆորմացիան սահիք լարման ազեցության տակ, լիցքավորված մասնիկի շարժում կեկտրական դաշտի ազդեցության տևակ և այլն: Սակայն կարերազույն նշանակություն ունի հեղուկում մասնիկների այն տեղավայտությունների «սառւցում», որոնք ապահովում են ելույթի կառուցվածքի կամ, այդ կերպ ասած, նյութը կազմող մասնիկների վոլողասավորությունը չերմաստիճանը կամ ճնշումը փոփոխվելիս, ինչն էլ ենց իրենից ներկայացնում է կառուցվածքային ապակիացումը:

Դին ամորֆ արագնելիս նրա հատկությունների փոփոխման բնույթը փոփոխման ափրույրում կախված է նմուշի ջերմային նախապատճենությունից: Նմուշի հասկությունները կախված են ոչ միայն տարածման արագությունից, այլ նաև նմուշում առկա հաստատված (սեղոված) կառուցվածքից, այսինքն՝ նախանական սառեցման արագությունից: Իսնի որ դրանով է որոշվում «սառւցված» կառուցվածքը: Տվյալ ջերմաստիճանում դրան շատ է սեղոված կառուցվածքը տարրերվում նոյն ջերմաստիճանում թերմոդինամիկական հավասարակշռական վիճակից, այնքան ավելի «անոմալ» են փափկացման ափրույրում նմուշի հասկությունների փոփոխությունները: Եթե տաքացման արագությունը մեծ է նախարդած սառեցման արագությունից, ապա փափկացման տիրույթը ընկած է ապակիացման ափրույրից վեր: Փափկացման ափրույթում նմուշը ունի ավելի խիտ կառուցվածք, քան տվյալ ջերմաստիճանում հաստիճանում հավասարակշռական կառուցվածքը: Կառուցվածքի ուղարսացիան բերում է մասնիկների ավելի փոքր խառնությամբ դարսման, այսինքն՝ փափկացման պրոցեսում նմուշի ծավալի կարուկ աճի (նկ. XII.4):

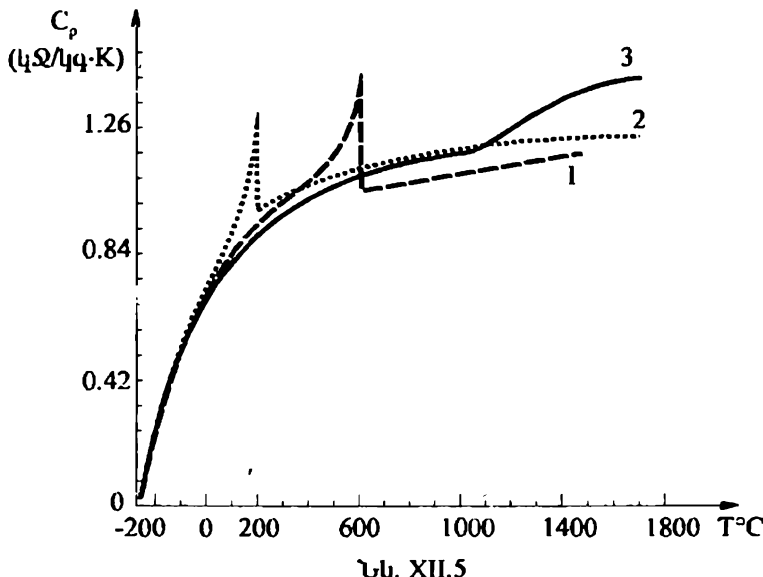
Ապակիացման կամ փափկացման պրոցեսում նյութի որոշ հատկությունների, մասնավորապես՝ ջերմունակության, բավականաշատ կարուկ



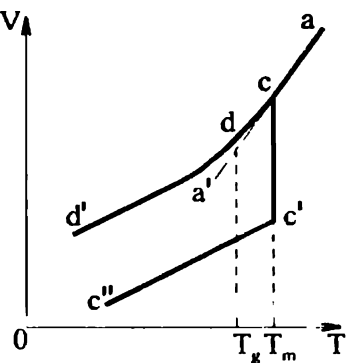
Նկ. XII.4

փովոխտրյունը հիշեցնում է. Փազային անցում: Աակայսին կառուցվածքային ապակիացման սկզբունքային տարրերությունը ֆազային անցումներից պայմանավորված է. մի շաբ սպատճառներով: Նախ, II կարգի ֆազային անցումներում նյութը որոշակի համաշափուրյամբ վիճակից անցնում է ավելի բարձր համաշափուրյամբ օժտված վիճակի, այնինչ ենդուկ → ապակի անցումը կապված չէ կառուցվածքային փովոխտրյան հետ: Երկրորդ՝ ֆազային անցումները կասարվում են թերմոդինամիկական հավասարակշռական ֆազերի միջև, իսկ ապակիացման դևապրում կատարվում է անցում հավասարակշռական ֆազից (հեղուկ) անհավասարակշռական համակարգի (ապակի): Եվ, վերջապես, տառեցման մեջ արագուրյունների դեպքում I կարգի ֆազային անցման սկզբի  $T_0$  ջերմաստիճանը կարող I. կայաված լինել արագուրյունից, այսինքն՝ կարող է դիավլի հեղուկի գերսաւուցում: Սառուցման արագության մեծացման հետ զերսառեցման ասսիճանը մեծանում է, իսկ  $T_0$ -ն՝ իջնում, այնինչ արագուրյան մեծացումը թերում է  $T_g$  ջերմաստիճանի բարձրացման (նկ. XII.3), ինչը ցուցադրում է այս անցման ոչ թերմոդինամիկական բնույթը:

II կարգի ֆազային անցման պրոցեսում թարճված ջերմուրյունը կլանվում է շատ մեղ (IΚ-ից վերջ) ջերմաստիճանային ախտույթում, ուստի ջերմունակությունն անցման  $T_c$  կետում ընկունում է շատ մեծ արժեքը:  $T > T_c$  ջերմաստիճաններում նորից բյուրեղին տրված ջերմուրյան բանակը ծախսվում է մասնիկների տատանողական լներգիայի մեծացման վրա՝ արդեն նոր մուտքակա կարգին եամապլատասխանող բաշխման համար: Ուստի այս տիրույթում ջերմունակությունը նորից մուտքակա կարգին է իր նախկին:  $T \leq T_c$  տիրույթում ունեցած արժեքին: Այսպիսի վարքը Լապես տարրերվում է, ամորֆ նյութի՝ փափկացման պրոցեսում ցուցաբերած վարքից, եթե  $C_p$  ջերմունակությունը, աճելուց ենտու էլ շարունակում է պահել իր մեծացած արժեքը, ինչը պայմանավորված է մոտակա կարգի անբնդիալ կատարվող վերակառուցման համար պահանջվող լրացուցիչ ջերմաբանակի կլանումով: Նկ. XII.5-ում պատկերված են բվարցի ( $\text{SiO}_2$ ) բյուրեղական երկու տարրատեսակների (1-քրիստորալիտ, 2-տրիոլիմիտ) և ամորֆ  $\text{SiO}_2$ -ի (3) ջերմունակությունների կտրերը, որոնք հաստատում են ամորֆ նյութի ջերմունակության վերը նկարագրված վարքը:



Այժմ համեմատենք նմուշի ծավալի ջերմաստիճանային վարքը «հեղուկ  $\rightarrow$  բյուրեղ» և «հեղուկ  $\rightarrow$  ամորֆ նյութ» անցումներում: Նկ. XII.6-ում առ այս պատկերում 1 հեղուկի ծավալի վոլֆուսությունը բյուրեղացման պրոցեսում: Հակման  $T_m$  ջերմաստիճանից ցածր ջերմաստիճաններում նվազագույն ազատ էներգիա ունի բյուրեղը, ուստի  $T < T_m$  ջերմաստիճանում նյութը կգտնվի մետաստարի հավասարակշռության վիճակում ( $ca'$  հատվածը): Հեղուկը հաջողվում է գերսառեցնել համեմատար փոքր ( $cd$ ) ջերմաստիճանային տիրություն, քանի որ մետաստարի հավասարակշռություն պահպանելու համար անհրաժեշտ է չափազանց դանդաղ սառեցում՝  $T \rightarrow 0$ . Այդ տիրույթից ներքև նյութը գտնվում է անհավասարակշիռ ապակիացման վիճակում ( $dd'$  հատվածը): Ասկածից հետևում է, որ գերսառեցված հեղուկը տար-



Նկ. XII.6

բերվում և ապակուց: Գերսառեցված հեղուկի վիճակը սահմանային «հավասարակշռական» վիճակ է ապակու համար:

Ամորֆ նյութերի հիմնական առանձնահատկությունը՝ սահրի մոդուլի և դինամիկական մածուցիկության՝ միաժամանակ զրոյից տարրեր լինելը, հատկապես ցայտունորեն է դրսևրվում ապակիացման տիրույթում: Ուսումնասիրենից այդ տիրույթում ամորֆ նյութի առածգական հատկությունները սահրի դեֆորմացիայի պրոցեսում:

Հուկի օրենքի համաձայն, առածգական դեֆորմացիայի պրոցեսում մարմնում ծագող  $\sigma$  լարումը համեմատական է  $\varepsilon$  հարաբերական դեֆորմացիային:

$$\sigma = G \cdot \varepsilon : \quad (1.3)$$

Եթե դեֆորմացիան կատարվում է վերջավոր  $\dot{\varepsilon} = d\varepsilon/dt$  արագությամբ, ապա համապատասխան ծևալ փոփոխակում է նաև մարմնում ծագող լարումը, այսինքն՝

$$\dot{\sigma} = G \cdot \dot{\varepsilon} : \quad (1.4)$$

Մարմնի պլաստիկության հետևանքով նրանում ծագող լարումները մասամբ «ներծծվում» են, ուստի աճում են ավելի դանդաղ, քան զուտ առածգական դեֆորմացիայի դեպքում: Մածուցիկ հոսքի պայմաններում «ներծծման» արագությունը նամեմատական և լարմանը, ուստի (1.4) հավասարման աջ մասից կարելի է հանել  $\sigma$ -ին համեմատական մի անդամ՝  $\sigma/\tau_M$ , որտեղ  $\tau_M$ -ը ժամանակի չափայնությամբ մի գործակից է: Այսպիսով, կստանանք՝

$$\dot{\sigma} = G \dot{\varepsilon} - \frac{\sigma}{\tau_M} : \quad (1.5)$$

Եթե (1.5) հավասարումը ներկայացնենք

$$\sigma + \tau_M \dot{\sigma} \equiv \sigma^* = G \tau_M \dot{\varepsilon} \quad (1.6)$$

տեսքով, ապա  $\sigma^*$  լարման և հոսքի  $\dot{\varepsilon}$  արագության միջև կապից կարող ենք գրել մածուցիկության գործակցի համար

$$\eta = G \cdot \tau_M \quad (1.7)$$

առնչությունը: (1.7) և (1.5) արտահայտություններից հետևում է Մաքսվելի հավասարումը՝

$$\dot{\sigma} + \frac{G\sigma}{\eta} = G\dot{\varepsilon} : \quad (1.8)$$

Ուսումնասիրենք (1.8) հավասարման լուծումները տարրեր դեպքերում:

1. Ենթադրենք, որ մինչև  $t = 0$  պահից մարմինը դեֆորմացված չի եղել՝  $\varepsilon(t) = 0$ ,  $t \leq 0$ : Այս դեպքում (1.8) հավասարման լուծումը տրվում է

$$\sigma(t) = G\varepsilon(t) - \frac{G}{\tau_M} \int_0^t \varepsilon(t') \exp\left(\frac{t' - t}{\tau_M}\right) dt' \quad (1.9)$$

առնչությամբ: Պարզենք  $\tau_M$  գործակցի ֆիզիկական խաստը: Դրա համար ենթադրենք, որ  $t_0 > 0$  պահից սկսած  $\varepsilon$  դեֆորմացիան մնում է հաստատում՝  $\varepsilon(t) = \varepsilon(t_0) = \text{const}$ : (1.9) հավասարությունը կստանանք լարման արտահայտությունը  $t \geq t_0$  պահերի համար՝

$$\sigma(t) = \sigma(t_0) \exp\left(-\frac{t - t_0}{\tau_M}\right), \quad (1.10)$$

որի համաձայն,  $\tau_M$ -ն այն ժամանակամիջոցն է, որի ընթացքում լարումը  $t_0$  պահին ունեցած  $\sigma(t_0)$  արժեքից փոքրանում է  $e \approx 2.71\dots$  անգամ:  $\tau_M$ -ը կոչվում է մաքսվելյան ուղարսացիայի ժամանակ:

Մեծ մածուցիկության դեպքում (1.8) հավասարման  $\sigma/\eta$  անդամը կարելի է արհամարել  $\dot{\sigma}$ -ի նկատմամբ, ինչը համապատասխանում է առաձգական դեֆորմացիային: Հակառակ սահմանային դեպքում, եթե մածուցիկությունը փոքր է և  $\sigma/\eta$  անդամը՝ մեծ  $\dot{\sigma}$ -ից, մարմնում ծագող լարմաները հասցնում են անդրիհատ «ներծծվել», և դիսվում է նմուշի հռում: Համաձայն (1.8) հավասարման, առաձգական կամ պլաստիկ հասկությունների ի հայտ գալը պայմանավորված է ոչ թե  $\tau_M$ -ի կամ  $\eta$ -ի արժեքներով, այլ դեֆորմացիայի չեղակացությամբ: Եթելարասն ազդող լարումների դեպքում ( $\dot{\sigma} \rightarrow 0$ ) կարելի է դիտել մեծ մածուցիկությամբ նյութի պլաստիկ դեֆորմացիա ( $\dot{\varepsilon} \approx \sigma/\eta$ ): Մյուս կտղմից, հարվածային լարումների դեպքում, եթե  $\dot{\sigma} \gg G\sigma/\eta$ , անգամ փոքր մածուցիկությամբ նյութում պլաստիկ դեֆորմացիան չի հասցնում գարգանալ, և նյութն իրեն պահում է որպես առաձգա-

կան մարմին՝  $\dot{\sigma} = G\varepsilon$ :

Որպես օրինակ քննարկենք կուպրի վարքն արտաքին ազդեցության տակ սենյակային շերմաստիճանում, երբ նրա մածուցիկությունը՝  $\eta \approx 10^{10}$  պուազ է: Փորձում դեֆորմացիայի բնութագրական արագությունը՝  $\dot{\varepsilon} \sim 10\text{q}^{-1}$ , ուստի բնդունելով կուպրի համար սահմանային լարման բնութագրական արժեքը՝  $\sigma_p \sim 10^8 \text{Ն}\cdot\text{մ}^{-2}$  կարգի, կստանանք  $\sigma_p/\eta \sim 10^{-2} \text{q}^{-1} \sim \sim 10^{-3} \dot{\varepsilon}$ , այսինքն  $\dot{\varepsilon} >> \sigma_p/\eta$ : Այս պայմաններում կուպրը փխրուն ձևով կոտրվում է՝ առանց պլաստիկութեն դեֆորմացվելու, այսինքն՝ իրեն պահում է որպես պինդ մարմին:

2. Այժմ ուսումնահրենք (1.8) հավասարման լուծումն այն դեպքում, երբ մարմինը ենթարկվում է պարբերական դեֆորմացիայի՝

$$\varepsilon(t) = \varepsilon_0 \sin \omega t : \quad (1.11)$$

(1.8) հավասարման լուծումը փնտրելով նույն  $\omega$  հաճախությամբ ֆունկցիայի տեսքով, կստանանք՝

$$\sigma(t) = \frac{\eta \omega \varepsilon_0}{\sqrt{1 + (\omega \tau_M)^2}} \sin(\omega t + \delta), \quad (1.12)$$

որտեղ լարման և դեֆորմացիայի միջև  $\delta$  փուլը որոշվում է

$$tg \delta = \frac{1}{\omega \tau_M} \quad (1.13)$$

առնչությամբ:

Մեծ հաճախությունների դեպքում, երբ  $\omega >> \tau_M^{-1}$ ,  $\delta \rightarrow 0$ ,

$$\sigma(t) \approx \frac{\eta}{\tau_M} \varepsilon_0 \sin \omega t \equiv G\varepsilon(t),$$

որը համընկնում է (1.3) հավասարման ( $\zeta$ ուկի օրենքի) հետ: Այսպիսով, մեծ հաճախությունների տիրամարտում ամորֆ մարմինը դրսենում է առածզական հատկություններ:

Փոքր հաճախությունների դեպքում, երբ  $\omega << \tau_M^{-1}$ ,  $\delta \rightarrow \pi/2$ ,

$$\sigma(t) \approx \eta \omega \varepsilon_0 \cos \omega t \equiv \eta \dot{\varepsilon}, \quad (1.14)$$

որը Նյուտոնի հավասարություն է մածուցիկության համար: Այսպիսով, փոքր եածախորդուների տիրույթում ամորֆ մարմինը դրսարում է մածուցիկ եեղուկի հատկություններ:

Մածուցիկության առկայությունը բերում է ամորֆ մարմնում ներքին շփոմով պայմանավորված մեխանիկական էներգիայի կորուստների: (1.11) և (1.12) առնչությունների միջոցով միավոր ծավալում մեկ պարբերության ընթացքում անջատված էներգիայի համար կտտանանք՝

$$Q = \frac{\pi \eta \varepsilon_0^2 \omega}{1 + (\omega \tau_M)^2} = \frac{\pi \eta \varepsilon_0^2}{\tau_M} \cdot \frac{\omega \tau_M}{1 + (\omega \tau_M)^2}, \quad (1.15)$$

որն առավելագույն՝  $Q_{\max} = \pi \eta \varepsilon_0^2 / 2 \tau_M$  արժեքն է ընդունում  $\omega = \tau_M^{-1}$  հաճախորդյան համար:

Ամորֆ նյութերը բնության մեջ ավելի քիչ են տարածված, քան բյուրեղները: Ամորֆ նյութերի թվին են պատկանում արևակնը (ընդունված է նաև ծիածանաթար կամ օպալ անվանումը), վանակատը (օրսիդիան կամ «սատանի եղունգ»), սարը, հանքածյուքերը (բիտումներ), խեժերը և այլ նյութեր:

Ամորֆ նյութեր ստացվում են նաև արենեստական եղանակով: Քանի որ ցածր ջերմաստիճաններում բյուրեղացման պրոցեսը շատ մեծ ժամանակներ է պահանջում, ապա ամորֆ վիճակ կարելի է ստանալ հալույթի արագ սառեցման միջոցով: Օրինակ՝ հալերվ բյուրեղական քվարցը և այն արագ սառեցնելով, ստանում են ամորֆ քվարցե ապակի:

Ամորֆ մետաղները (մետաղական ապակիներ) մետաղական համածովվածքներ են ապակիացման վիճակում և ստացվում են հալույթի զերարագ՝ մինչև  $10^6 \text{ K}/\text{վ}$  արագությամբ սառեցման եղանակով:

## §2. Գաղափար հեղուկ բյուրեղների մասին

Մի շարք օրգանական նյութեր այնող բյուրեղական վիճակից անցնում են իզոտրոպ եեղուկ վիճակի ոչ անմիջապես, այլ մնկ կամ ավելի քով միջանկյալ վիճակներով (ֆազերով), որոնց ընդունված է անվանել հեղուկբյուրեղական: Միջանկյալ վիճակին, որին անվանում են նաև մեզոֆազ կամ մե-

գոմորք ֆազ, բնորոշ են ինչպես սովորական հեղուկի հատկություններ (հոսունություն, կարիլային վիճակում գտնվելը, կարիլների միացումն իրար մոտեցնելիս և այլն), այնպես էլ պինդ բյուրեղական մարմնի հատկություններ (անիզոտրոպություն): Այսպիսի տարարնույթ հատկությունների գուգակցումն կ բերել և նյութի նոր ազրեզատային վիճակի՝ «հեղուկ բյուրեղ» եասկացությանը:

Հեղուկ բյուրեղի յուրահասելություններն ուսումնասիրներու համար վերիշշենք, թե ինչ է տեղի ունենում պինդ բյուրեղական մարմնի հետ հալման ջերմաստիճանում:

Ինչպես գիտենք, բյուրեղում մոլեկուլների գանգվածների կենարոնները կազմում են եռացափ տարածական ցանց կամ, ինչպես ընդունված է ասել, բյուրեղական վիճակին բնորոշ և եռակա կարգը: Հեղուկ վիճակում հեռակա կարգը վերանում է, այն բնորագրվում և մուտակա կարգով:

Եթե բյուրեղը կազմող մոլեկուլներն անիզոտրոպ են, այսինքն՝ նրանց ձևը զգալիութեն տարրերվում է զնդայինից, ապա բյուրեղական վիճակում մոլեկուլների գանգվածների կենարոնների բաշխման հեռակա կարգի հետ մեկտեղ առկա է նաև մոլեկուլների կողմնորոշումների հեռակա կարգ: Որպես կանոն, նշված երկու սիպի հեռակա կարգերը բյուրեղի հալման ջերմաստիճանում անհետանում են՝ բյուրեղը հալվում է, անցնելով իզոտրոպ հեղուկ վիճակի:

Սակայն հեղուկ բյուրեղների դեպքում իրադրությունն այլ է: Հալվելիս հեղուկ բյուրեղի վերածվող (կամ մեզոգեն) բյուրեղում հալման ջերմաստիճանում մոլեկուլների գանգվածների կենտրոնների դիրքերի կարգավորվածությունն շատ փոքրանում է կամ անհետանում, սակայն կողմնորոշման կարգավորվածությունը որոշ շափով պահպանվում է: Այսպիսի բյուրեղների մոլեկուլները, որպես կանոն, մի ուղղությամբ խիստ ծզված կամ սեղմված են և նրանց երկար առանցքներն իրար գուգահեռ են, ինչը մասամբ խախտվում է ջերմային ֆլուկտուացիաների պատճառով:

Եթե բյուրեղական մարմինն ունի հեղուկբյուրեղական ֆազ, ապա հալման ջերմաստիճանում այն վերածվում է բավական պղտոր հեղուկի, որն օժտված է խիստ արտահայտված երկրեկման հատկությամբ: Հետագա տարացման ժամանակ, որոշակի ջերմաստիճանում պղտոր հեղուկը դառնում և թափանցիկ, ինչը վկայում է իզոտրոպ հեղուկի առաջացման մասին:

Այդ ջերմաստիճանը կոչվում է լիաքափանցության (պայծառացման) ջերմաստիճան՝  $T_1$ : Հալման  $T_m$  և լիաքափանցության  $T_f$  ջերմաստիճանները որոշում են այն ջերմաստիճանային տիրույքը, որտեղ միջանկյալ ֆազը՝ հեղուկ բյուրեղը, թերմոդինամիկապես կայուն է: Ե՛վ հալումը, և՛ պայծառացմը I կարգի ֆազային անցումներ են, ուստի բնութագրություն են անցման քարնված ջերմությամբ և խտության բոլշածել փոփոխությամբ, ընդ որում  $T_f$  կետում անցման քարնված ջերմությունը և խտության փոփոխությունը կարգով փոքր են հալման  $T_m$  կետում ունեցած համապատասխան արժեքներից:

Եթե ենդուկ բյուրեղն առաջանաւ և բյուրեղական նյութի տաքացման արդյունքում, ապա նյութը կոչվում է թերմուրուպ: Պինդ բյուրեղական վիճակի և իզոտրոպ ևնդուկ վիճակի միջև կարող են գոյաւթյուն ունենալ այլ միջանկյալ ֆազեր, որոնց բնութագրած է անվանել լիուտրուպ: Ի տարրերություն թերմուրուպ հեղուկ բյուրեղների, որոնք միակոմպոնենտ նյութեր են, լիուտրուպ ենդուկ բյուրեղները բազմակոմպոնենտ համակարգեր են, որոնց վարքը կախված է լածիչի բանակից:

Հարկ է նշել, որ հեղուկբյուրեղական վիճակի գոյաւթյունը պայմանավորված է ոչ միայն ջերմաստիճանով, այլև նյութի խտությամբ: Դրանում կարելի է համոզվել հեսանյալ որակական դատողությունների եկման վրա:

Եթե անիզոտրոպ մոլեկուլների խտությունը մեծ չէ, ապա նրանք գտնվում են միմյանցից հեռու: Նրանցից յուրաքանչյուրը կարող է ազատություն պտտվել տարածության մեջ, գրավելով ցանկացած դիրք, ուստի այս մոլեկուլներից կազմված հեղուկը կլինի իզոտրուպ: Եթե մոլեկուլի ամենամեծ չափը նշանակենք  $l$ -ով, ապա մեկ մոլեկուլին միջին՝  $v_0 \geq l^3$  ծավալը բաժին ընկնելու դեպքում մոլեկուլը  $v_0^*$  ծավալում կարող է ունենալ կամայական ուղղությածություն: Եթե մոլեկուլների խտությունը մեծացնենք, ապա մեկ մոլեկուլին բաժին ընկնելող ծավալը կփոքրանա  $l^3$ -ից, պտտվելիս մոլեկուլներն իրար կխանգարեն և ստիպված կլինեն գրավելու շատ թե քիչ չափով գուգահեռ կողմնորոշում: Եթե մոլեկուլի տրամագիծը նշանակենք  $2a$ -ով, ապա մեկ մոլեկուլին  $v_0 \approx 4a^2$  ծավալը բաժին ընկնելու դեպքում մոլեկուլների միջև փոքր հեռավորության երկար առանցքներով իրար գուգահեռ, բանի որ մոլեկուլների միջև փոքր հեռավորությունների վրա գործող վանդղական ուժերը

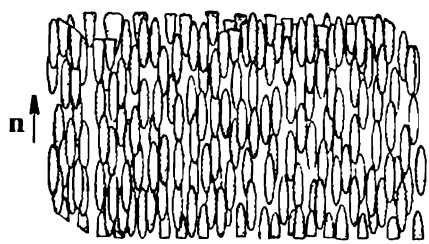
բացառում են նրանց՝ ավելի, քան  $2\sigma$ -ով իրար մոտենալու հնարավորությունը: Հետևաբար, եթե մեկ մոլեկուլին բաժին ընկնող ծավալը գտնվի  $Ia^2 \leq v_0 < l^3$  տիրույթում, ապա մոլեկուլների համակարգն օժտված կլինի որոշակի կողմնորոշումային կարգավորվածությամբ:

Հեղուկ բյուրեղ առաջացնող նյութերի մոլեկուլների չափերի մասին պատկերացում կազմելու համար բերենք օրինակներ: Ոչ մեծ օրգանական մոլեկուլների համար հաճախ լիտրվում է այնու ծոռի մոլեկը, որի չափերն են՝  $I \approx 20 \text{ \AA}$  և  $\sigma \approx 5 \text{ \AA}$ : Որոշ սինթետիկ պոլիակտիլիներ համապատասխան պայմաններում ընդունում են  $I \approx 300 \text{ \AA}$  երկարությամբ և  $2\sigma \sim 20 \text{ \AA}$  հաստությամբ ծոռի ձև, իսկ ծխախտի խճանկարի մանրէի բնութագրական չափերն են՝  $I \sim 3000 \text{ \AA}$ ,  $\sigma \approx 100 \text{ \AA}$ :

Ներկայում ընդունված է հեղուկ բյուրեղները դասակարգել երեք հիմնական տիպի՝ նեմատիկներ, խողևստերիկներ և սմելսիկներ: Ծանոթանանք դրանց կառուցվածքային առանձնահատկություններին:

### 1. Նեմատիկ հեղուկ բյուրեղներ (*նեմատիկներ*)

Նեմատիկում մոլեկուլների զանգվածների կենտրոնների դիրքերի միջև կռուլյացիան այնպիսին է, ինչպես սովորական իզոստրոպ հեղուկում: Նեմատիկների տիպիկ ներկայացուցիչների մածուցիկությունը  $0,1$  պուազի կարգի է (համեմատության համար նշենք, որ  $T \approx 300\text{K}$ -ում ջրի մածուցիկությունը  $0,01$  պուազ է): Նեմատիկի մոլեկուլները գծուում են ուղղվել գուգահեռ որոշակի առանցքի, որը բնութագրվում է  $n$  միավոր վեկտորով, որը կոչվում է ուղղորդիչ (դիրեկտոր) (Տի. XII.7): Նեմատիկը օպտիկական միառնցք միջավայր է, որի օպտիկական առանցքն ուղղված է  $n$  ուղղորդչի ուղղությամբ: Այսպիսի միջավայրն ունի երկու գլխավոր բեկման ցուցիչ, որոնցից մեկը ( $n_0 \equiv n_\perp$ ) բնութագրում



Տի. XII.7

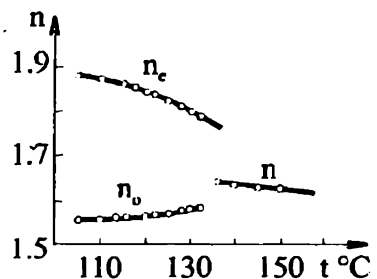
է սովորական լուսային ալիքի տարածումը (լուսային դաշտի էլեկտրական լարվածության  $E$  վեկտորն ուղղահայաց է միջավայրի օպտիկական առանցքին), իսկ մյուսը՝  $n_e \equiv n_\parallel$ -ն՝ ոչ սովորական գծային բևեռացված

լուսային ալիքի տարածումը ( $E$  վնկառություն գուգահեռ է միջավայրի օպտիկական առանցքին): Նկ. XII.8-ում բերված են  $n$ -ազուրիանիզոպի բեկման ցուցիչների կորերը.  $n$ -ի իզոտրոպ ենդուկի բեկման ցուցիչն է:  $n$ -ի ուղղությունը տարածության մեջ կամայական է: Գործնականում այն որոշվում է քոյլ ուժերով, օրինակ՝ ենդուկ բյուրեղը սահմանափակող անորի պատերի կողմնորոշչի ազդեցությամբ:

Նեմատիկում  $n$  և  $-n$  ուղղորդիչների վիճակներն անզանազանելի են: Այսպես, եթե նեմատիկի մոլեկուլն ունի դիպոլային մոմենտ, ապա «վերև» և «ներքև» ուղղված դիպոլների բվերն իրար ճշտորեն հավասար են՝  $P = 0$  և համակարգը սեղնետակեկտրական չէ (Մաս I, V):

Եթե նախազգուշական միջոցներ չծեռնարկվեն, ապա հալվելիս կամ հալրույթը սառելիս առաջանում է թելանման տեքստուրա, ինչը ենդուկ բյուրեղների այս տիպի անվանման հիմք է հանդիսացել (հանարեն «նեմա»-թել): Հաստ՝ 50-200 մկմ չափերով նմուշներում և բնական, և բևեռացված լույսով հստակորեն տեսանելի են այդ «թելերը», որոնք չունեն որոշակի, հաստատուն երկրաչափական ձև: Այդ թելանման տիրույթները միջավայրի օպտիկական անընդհատության խզման տեղերն են, որոնց անվանում են դիսկինացիաներ: Դրանք միջանկյալ ֆազի առանձին, համաստ «միաբյուրեղների», այսինքն՝ միևնույն ուղղորդվածությունն ունեցող մոլեկուլներից բաղկացած տիրույթների միջև սահմաններն են: Յուրաքանչյուր այդպիսի «միաբյուրեղ» օպտիկական են:

Եթե նեմատիկի շերտում մոլեկուլներն իրենց երկար առանցքներով ուղղված են պահող ասլակիներին գուգահեռ, ապա այդպիսի տեքստուրան կոչվում է հարթ (սլանար): Այն իր օպտիկական հատկություններով չի տարբերվում օպտիկական դրական միաբյուրեղից կտրված թիթեղից, որի առանցքը գուգահեռ է օպտիկական առանցքին: Հնարավոր է ստեղծել նեմատիկի նաև նորմալ շերտ, որտեղ մոլեկուլների երկար առանցքներն ուղղահայաց են պահող ասլակիների հարթություններին:



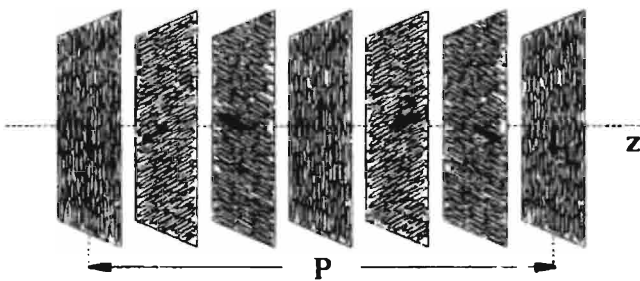
Նկ. XII.8

Որութես կանոն, նեմատիկի մոլեկուլները բավականաշափ ամուր են կպչում պահող ապակիներին, ուստի եթե հարք շերար պահող ապակիներից մեկը պտտանք որոշակի անկյունով, ապա նրա հետ կպատվի նաև նեմատիկի՝ ապակուն կապած շերար: Վերջինս, իր հերթին, պտտառմ է իրեն անմիջականորեն մոտ շերար և այդպես, մինչև որոշակի խորություն, որը կարող է հասնել մի քանի մլմ-ի: Առաջացած կառուցվածքը հայտնի է որպես «քվիստ-կառուցվածք», և այն օպտիկապես ակախվ է:

Հեղուկ բյուրեղի նեմատիկ ֆազը հանդիսայում է միայն այն օրգանական նյութերի մոտ, որոնց մոլեկուլների «աջ» և «ձախ» ծևերն անգանազանելի են, այսինքն՝ մոլեկուլի հայելային պատկերը նույնական և մոլեկուլին: Այսպիսի մոլեկուլն ընդունված է անվանել ոչ բիրալ: Սակայն նեմատիկ կարող է լինել նաև քիրալ մոլեկուլներից կազմված խառնորդը, եթե աչ և ձախ քիրալությամբ մոլեկուլները վերցված են հավասար քանակներով:

## 2. Խողեստերիկ հեղուկ բյուրեղներ (*խողեստերիկներ*)

Հեղուկ բյուրեղի մոլեկուլների չափի կարգի հեռավորությունների վրա խողեստերիկ նյութը շատ նման է նեմատիկին: Խողեստերիկում ևս բացակայում է մոլեկուլների զանգվածների կենտրոնների դիրքերի ենուակա կարգը, իսկ մոլեկուլներն ուղղված են հիմնականում *n* ուղղորդչի ուղղությամբ: Սակայն *n*-ը տարածության մեջ չունի սևոված ուղղություն՝ մի շերտից մյուսին անցնելիս նրա ուղղությունը փոխվում է: *n* ուղղորդչի ծայրը տարածության մեջ գծում է պարուազիծ, որի *z*-առանցքը ուղղահայաց է *n* ուղղորդչի ուղղությանը բաղդր հարթություններում (նկ. XII.9), ուստի նրա



Նկ. XII.9

բաղադրիչները տրվում են

$$n_x = \cos(q_0 z + \Phi), \quad n_y = \sin(q_0 z + \Phi), \quad n_z = 0 \quad (2.1)$$

արտահայտություններով, որտեղ պտույտի առանցքի ուղղությանը և  $\Phi$  մեծությունը կամայական են: Ըստ (2.1) առնչության, պարույրի քայլը՝

$$P = \frac{2\pi}{|q_0|}, \quad (2.2)$$

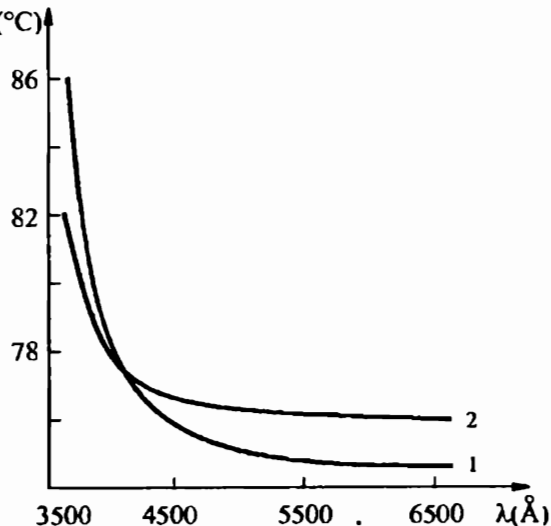
որտեղ  $q_0$  ալիքային թիվը ծախս և աջ պարույրների համար ունի տարբեր նշաններ: Տրված ջերմաստիճանում, տրված նմուշում  $q_0$ -ն միշտ նույն նշանն ունի: Զերմաստիճանը փոփոխելիս  $q_0$ -ն փոփոխվում է, և, որպես կանոն՝  $dq_0/dT > 0$ , այսինքն՝ պարույրի քայլը փոքրանում է (նկ. XII.10): Սակայն կան խոլեսակերիկներ, որոնցում  $dq_0/dT < 0$ :

Այսպիսով, խոլեսակերիկն ունի պարբերական կառուցվածք պարույրի առանցքի ուղղությամբ, բնդ որում պարբերության մեծությունը հավասար է պարույրի քայլի կեսին:

$$L = \frac{P}{2} = \frac{\pi}{|q_0|}, \quad (2.3)$$

ինչը հետևանք է  $n$  և  $-n$  ուղղությների համարժեքության: Պարբերության բնութագրական արժեքը 3000 Å-ի կարգի է, որը զգալիորեն գերազանցում է մոլեկուլների չափերը: Ի տարբերություն նեմատիկների, խոլեստերիկներում ենարավոք է տեսանելի լուսի դիֆրակցիա պարբերական կառուցվածքի

վրա: Նկ. XII.10-ում սպատկերված է բնտրողական անդրադարձման (անդրադարձման մաքսիմումներին եամապատասխանող) ալիքի երկարության



Նկ. XII.10

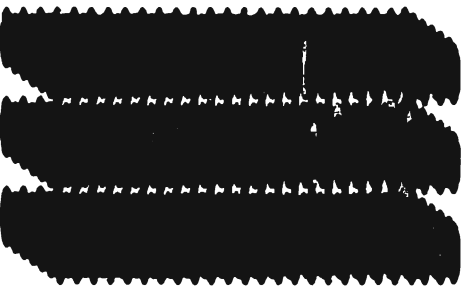
կախումը ջերմաստիճանից խոլեստերիլավելարգոնասի (1) և խոլեստերիլ-կապրինասի (2) համար:

Ժերմողինամիկական տեսանկյունից խոլեստերիկը շատ նման է նեմատիկին, քանի որ ոլորման հետ կայված էներգիան մոլեկուլների զուգահեռ կազմորոշումով պայմանավորված էներգիայի շատ փոքր՝  $10^{-5}$  մասի կարգի է:

Մոլեկուլների պարուրածև դարսվածքը խոլեստերիկի եզակի օպտիկական հատկությունների պատճառն է: Դրանցից հարկ է առաջին հերթին նշել շրջանային բևեռացված լույսի ընտրողական անդրադարձման հատկությունը, ինչպես նաև չափազանց մեծ օպտիկական ակտիվությունը՝ միավոր երկարության վրա լուսային ալիքի էնեկտրալան դաշտի լարվածության վեկտորի պատույտի անլիունը՝  $\beta \sim 10^4$  աստ/սմ (համեմատության համար նշենք, որ օպտիկապես ակտիվ, իգուարուղ հեղուկում  $\beta \sim 1$  աստ/սմ է):

### 3. Սմեկտիկ հեղուկ բյուրեղներ (սմեկտիկներ)

Սմեկտիկ հեղուկ բյուրեղներն ավելի կարգավորված են, քան նեմատիկները: Նրանցում, բացի նեմատիկներին բնորոշ կողմնօրոշումային կարգավորվածությունից, առևլա է նաև մոլեկուլների գանգվածների դիրքերի որոշակի կարգավորվածություն, քանի որ մոլեկուլները կազմում են շերտեր, որոնց միջև ենուավորությունները հավասար են որոշակի մեծության (նկ. XII.11), որը կարելի է որոշել ունտացենյան ճառագայթների դիֆրակցիայի մեթոդով:



Նկ. XII.11

Սմեկտիկներ տարբեր շերտերի մոլեկուլների միջև փախազդեցությունը զգալիորեն բույլ է նույն շերտին պատկանող մոլեկուլների միջև փախազդեցությունից, որի հետևանքով շերտերը հեշտությամբ սահում են

իրար նկատմամբ: Շոշափելիս սմեկտիկը քողնում է օճառի տպավորաթյան (հունարեն «ամեզմա»-օճառ):

Տվյալ նյութի համար սմեկտիկ ֆազն առաջանում է ավելի ցածր ջեր-

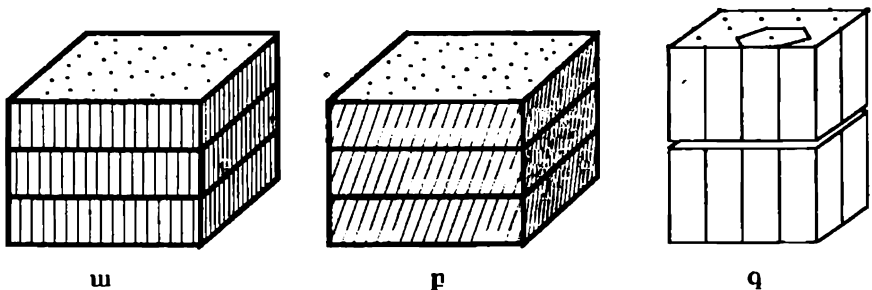
մասային բան, բան նեմատիկ ֆազը:

Գոյարյուն ունեն ամեկտիկ հեղուկ բյուրեղների բազմաթիվ տարատեսակներ: Դիտարկենք դրանցից մի բանիաը:

**A-սմեկտիկը** (Ակ. XII.12, ա) շերտավոր կառուցվածք է, որի շերտերի հաստությունը մուս է մոլեկուլի երկարությանը: Շերտի ներսում մոլեկուլների գանգվածների կենտրոնները չունեն դասավորման հետակա կարգ: յուրաքանչյուր շերտ իրենից ներկայացնում է երկափ հեղուկ: Համակարգն օպտիկապես միառանցք է, ընդ որում օպտիկական առանցքն ուղղահայաց է շերտերի հարթություններին:

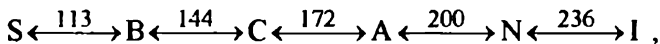
**C-սմեկտիկը** (Ակ. XII.12, բ) շերտավոր կառուցվածք է, որի շերտերը երկափ հեղուկ են: Համակարգն օպտիկապես երկառանցք է: Այս առանձնահատկությունը բացատրվում է, ներադրելով, որ մոլեկուլների երկար առանցքները թերքած են շերտերի նորմալի նկատմամբ: Այս ֆազին բնորոշ կառուցվածքը ստացվում է, եթե նյութի մոլեկուլներն օպտիկապես ակտիվ չեն կամ եթե խառնուրդը պարունակում է աջ և ձախ բիրալությամբ մոլեկուլներ եավասար բանակներով:

**B-սմեկտիկ** (Ակ. XII.12, զ): Եթե A- և C-սմեկտիկներում յուրաքանչյուր շերտ դրսեարում է երկափ հեղուկի հատկություն, ապա B-սմեկտիկամ շերտերն օժտված են պարբերականությամբ և պինդ մարմնին բնորոշ կոշտությամբ: Ունտգենյան ճառագայթների ցրումը ցույց է տալիս յուրաքանչյուր շերտում կարգավորվածության առկայություն: Շերտերը շատ ճկուն չեն: Բ ֆազը երեք եիմնական ամեկտիկ ֆազերից ամենակարգավորվածն է:



Ակ. XII.12

Եթե որևէ նյութ կարող է գոյություն ունենալ և A, և B, և C ֆազերում, ապա դրանց առաջացման հաջորդականությունը ջերմաստիճանը բարձրացնելիս կլինի՝ S (պինդ մարմին) → B → C → A: Օրինակ՝ նշված ֆազերն ունեցող նյութերի տիպիկ ներկայացուցիչն է SԲԲԱ (տերեֆտալ-բիս-(n-բութիլանիլին)) օրգանական միացությունը, որի մոտ դիտվում են անցումների հետևյալ ջերմաստիճանները ( $^{\circ}\text{C}$ -ով):

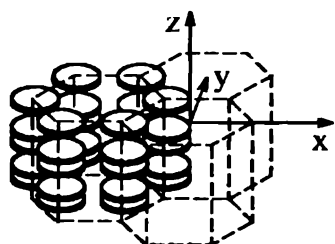


որտեղ N-ով նշանակված է նեմատիկ ֆազը, իսկ I-ով՝ խոռոչություն հնդուկ ֆազը:

Ներկայում հայտնի են սմեկտիկների այլ տարատեսակներ, որոնց կոչում են «էկզոտիկ»:

Հեղուկ բյուրեղների վերը դիսարկված բոլոր տեսակներում նյութի մոլեկուլներն ունեն մեկ ուղղությամբ խիստ ձգված, ծողածև տեսք: Սակայն 1977թ. հայտնաբերվեցին հեղուկ բյուրեղներ, որոնց մոլեկուլները սկավառակի ծև ունեն: Այդպիսի մոլեկուլներից կազմված եամակարգն անվանվեց դիսկոտիկ հեղուկ բյուրեղ: Ինչպես և նեմատիկները, դիսկոտիկը նկարագրվում է **n** ուղղորդիչով, որն ուղղված է մոլեկուլ-սկավառակների նորմալների գերադասելի ուղղությամբ:

Հեղակբյուրեղական ֆազում գտնվող դիսկոտիկի կառուցվածքը պատկերված է նկ. XII.13-ում: Յուրաքանչյուր սյունակում սկավառակները



Նկ. XII.13

գորեք գուգահեռ են, իսկ նրանց միջև հեռավորությունները կամայական են: Մոլեկուլները կարող են ազատ շարժվել սյունակների առանցքների ուղղությամբ, որտեղ տարածության մեջ դասավորված են իրար զարգանել և հարթության մեջ կազմում են կանոնավոր վեցանկյուն երկափ ցանց: Դիսկոտիկի այսպիսի կառուցվածքը պայմանագրված է այն հանգամանքով, որ երկու

սկավառակ-մոլեկուլների միջև ձգողության ուժն առավելագույնն է, եթե նրանք միմյանց զրկաներ են և տեղադրված մեկ-մեկու վրա և նվազագույնն է, եթե նրանք միևնույն հարթության մեջ են: Վեցանկյուն երկափ

ցանցն սուաջանում է ուժեղ վանողական ուժերի գործողության շնորհիվ:

Դիմու բյուրեղական վիճակում զանվառ դիսկուտիկը տաքացնելիս նախ խախտվում են սյունակներ կազմող մողեկուլների միջև եենափրությունները, և դիսկուտիկը վերածվում է եեղուկ նեմատիկ սյունակներից կազմված համակարգի, որտեղ դեռևս պահպանված է վեցանկյուն հարթ կառուցվածքը: Հետագա տաքացման արդյունքում բանդվում է նաև երկար վեցանկյուն ցանցը, և առաջանում է եռաչափ նեմատիկ, որը հոսում է, պահպանելով մողեկուլ-սլավառակների հարթությունների գուգահետությունը:

Ներկայամս ստացվում են դիսկուտիկներ, որոնցում նեմատիկ սյունակները հարթության մեջ կազմում են վեցանկյունից տարրեր համաշխափությամբ երկար ցանց, ինչը պայմանավորված է մողեկուլների կառուցվածքային առանձնահասկություններով, մասնավորապես՝ սլավառակի ձևից ունեցած տարրերությամբ:

Հեղուկ բյուրեղները հայտնի են արդեն ավելի քան 100 տարի (առաջին հեղուկ բյուրեղը սինթեզվել է 1888թ. ավստրիացի բուսաբան Ֆ. Ռայխիցերի կողմից), առկայն նրանց բուռն ուսումնասիրությունները ծավալել են վերջին երեք տասնամյակների ընթացքում, ինչն, առաջին եերթին, պայմանավորված էր նրանց լայն կիրառություններով: Բանն այն է, որ հեղուկ բյուրեղների հատկաթյունները կարելի է փոխակերպել չափազանց բոլյ արտաքին ազդակների միջոցով, քանի որ հեղուկը եեշտ դեֆորմացված միջավայր է:

Հեղուկ բյուրեղների կիրառությունը բերեց տեխնիկական եեղափակության ինֆորմացիայի ներկայացման տեսաղական սարքերի՝ դիսկիեների բնագավառում:

Հեղուկբյուրեղական, հատկապես լիոտրոպ, ֆազի ուսումնասիրությունն ունի կարևոր նշանակություն կենսաբանության մեջ, քանի որ կենսաբանորեն ակտիվ համակարգերում, այդ բվում և մարդու օրգանիզմում, կան հեղուկբյուրեղական կառուցվածք ունեցող կենսաբանական նյութեր (միոգին, կոլագեն, ԴՆԹ, լիպիդներ և այլն):

Եվ, վերջապես, հեղուկ բյուրեղների ֆիզիկան ժամանակակից ֆիզիկայի տարրեր բնագավառներում առաջարկվող տեսական մոդելների ստուգման և փորձարկման հարմար «փորձադաշտուն» է:

**Հավելված I. Ֆիզիկական սեմությունների Աղջուսակ**  
 (ըստ Rev. Mod. Phys. 41, 375 (1969) հոդվածի)

| Սեմություն  | Նշանակում                   | Թվային արժեք և<br>միավոր (CGSE)   |
|---|-----------------------------|---|
| Էլեկտրոնի հանգստի<br>զանգված                      | $m$                         | $9,10956 \cdot 10^{-31}$ q  |
| Տարրական լիցք                                     | $e$                         | $4,80325 \cdot 10^{-10}$ CGSE <sub>q</sub>  |
| Պրոտոնի հանգստի զանգված                           | $M_p$                       | $1,67261 \cdot 10^{-24}$ q  |
| Լուսի արագություն                                 | $c$                         | $2,997925 \cdot 10^{10}$ սմ/վ   |
| Պլանկի հաստատուն                                  | $\hbar$<br>$\hbar = h/2\pi$ | $6,62620 \cdot 10^{-34}$ էրգ·վ<br>$1,05459 \cdot 10^{-27}$ էրգ·վ  |
| Ավօգադրոյի թիվ                                    | $N_A$                       | $6,02217 \cdot 10^{23}$ մոլ <sup>-1</sup>   |
| Բոլցմանի հաստատուն                                | $k_B$                       | $1,3806 \cdot 10^{-16}$ էրգ/աստ   |
| Պրոտոնի և էլեկտրոնի զանգ-<br>վածների հարաբերաբանը | $M_p/m$                     | 1836,11   |
| Նորբ կառուցվածքի<br>հաստատուն                     | $\alpha = e^2/\hbar c$      | $7,2973 \cdot 10^{-3}$  |
| Բորի շատավիդ                                      | $a_B = \hbar^2/me^2$        | $0,52918 \cdot 10^{-8}$ սմ  |
| Ռիդբերգի հաստատուն                                | $Ry = me^4/2\hbar^2$        | 13,6058 (էՎ)  |
| Բորի մազնետոն                                     | $\mu = e\hbar/2mc$          | $0,92741 \cdot 10^{-20}$ էրգ/գու  |
| Էլեկտրոնի դասական<br>շառավիդ                      | $r_e = e^2/mc^2$            | $2,81794 \cdot 10^{-13}$ սմ   |
| Էլեկտրոնի կոնպտոնյան<br>ալիքի երկարությունը       | $\lambda_e = \hbar/mc$      | $3,86159 \cdot 10^{-11}$ սմ   |
| 1 էլեկտրոն-Վոլտ                                   | 1 էՎ                        | $1,60219 \cdot 10^{-12}$ էրգ<br>$2,41797 \cdot 10^{14}$ Հց<br>$8,06546 \cdot 10^3$ սմ <sup>-1</sup><br>$1,16048 \cdot 10^4$ K |

ավելիած 2. ՈՐՈՇ ՄԵՏԱՂՆԵՐԻ ՏԵՍԱԿԱՐԱՐ ԴԻՄԵԴՐՈՒԹՅՈՒՆ-ՆԵՐԸ ԵՎ ԷԼԵԿՏՐՈՆԱՅԻՆ ԿՈՆՑԵՆՏՐԱՑԻԱԼՆԵՐԸ

| Մետաղ | $\rho$ , մկՕհմ-սմ |           |           | $n$ , $10^{22}$ սմ <sup>-3</sup> |
|-------|-------------------|-----------|-----------|----------------------------------|
|       | 77 K              | 273 K     | 373 K     |                                  |
| Li    | 1,04              | 8,55      | 12,4      | 4,70 (78 K)                      |
| Na    | 0,8               | 4,2       | Հալվում է | 2,65 (5 K)                       |
| K     | 1,38              | 6,1       | „         | 1,40 (5 K)                       |
| Rb    | 2,2               | 11,0      | „         | 1,15 (5 K)                       |
| Cs    | 4,5               | 18,8      | „         | 0,91 (5 K)                       |
| Cu    | 0,2               | 1,56      | 2,24      | 8,47                             |
| Ag    | 0,3               | 1,51      | 2,13      | 5,86                             |
| Au    | 0,5               | 2,04      | 2,84      | 5,90                             |
| Bc    |                   | 2,8       | 5,3       | 24,7                             |
| Mg    | 0,62              | 3,9       | 5,6       | 8,61                             |
| Ca    |                   | 3,43      | 5,0       | 4,61                             |
| Sr    | 7                 | 23        |           | 3,55                             |
| Ba    | 17                | 60        |           | 3,15                             |
| Nb    | 3,0               | 15,2      | 19,2      | 5,56                             |
| Fe    | 0,66              | 8,9       | 14,7      | 17,0                             |
| Zn    | 1,1               | 5,5       | 7,8       | 13,2                             |
| Cd    | 1,6               | 6,8       |           | 9,27                             |
| Hg    | 5,8               | Հալվում է | Հալվում է | 8,65 (78 K)                      |
| Al    | 0,3               | 2,45      | 3,55      | 18,1                             |
| Ga    | 2,75              | 13,6      | Հալվում է | 15,4                             |
| In    | 1,8               | 8,0       | 12,1      | 11,5                             |
| Tl    | 3,7               | 15        | 22,8      | 10,5                             |
| Sn    | 2,1               | 10,6      | 15,8      | 14,8                             |
| Pb    | 4,7               | 19,0      | 27,0      | 13,2                             |
| Bi    | 35                | 107       | 156       | 14,1                             |
| Sb    | 8                 | 39        | 59        | 16,5                             |

Նորմալ մքնութափային ճնշման տակ և սենյակային ջերմուստիճամներում (բացի նշված դեպքերից):

**Հավելված 3. (VIII.1.11) ԵՎ (VIII.1.12) ԱՌԵՋՈՒԹՅՈՒՆՆԵՐԻ  
ԱՐՏԱՇՈՒՄԸ**

Եթե (VIII.1.1) հավասարման մեջ անդադրենք նրա  $g(x)$  և  $h(x)$  անկախ լուծումները և ստացված հավասարումները հանենք իրարից, կստանանք՝

$$g(x)h''(x) - h(x)g''(x) \equiv \frac{d}{dx} [g(x)h'(x) - h(x)g'(x)] = 0, \quad (2.1)$$

որտեղ փակազգերում գրված արտահայտությունը (VIII.1.1) հավասարման վոռնսկիանն է (Վոռնսկու որաշիչը):

$$W(x) = g(x)h'(x) - h(x)g'(x) \equiv \begin{vmatrix} g(x) & h(x) \\ g'(x) & h'(x) \end{vmatrix} : \quad (2.2)$$

Համաձայն (2.1) առնչության,  $W(x) = \text{const}$ : Օգտվելով (VIII.1.5) և (VIII.1.6) բանաձևերից, զրենք վոռնսկիանի արտահայտությունը  $x+a$  կետում.

$$\begin{aligned} W(x+a) &= g(x+a)h'(x+a) - h(x+a)g'(x+a) = \\ &= (\alpha_1\beta_2 - \alpha_2\beta_1)W(x): \end{aligned} \quad (2.3)$$

Վոռնսկիանի հաստատունության պայմանից հետևում է  
 $\alpha_1\beta_2 - \alpha_2\beta_1 = 1$

(VIII.1.11) առնչությունը:

Եթե  $g(x)$  և  $h(x)$  անկախ լուծումները կազմում են ֆունդամենտալ համակարգ, ապա տեղի ունեն հետևյալ պայմանները՝

$$g(0) = 1, \quad g'(0) = 0, \quad h(0) = 0, \quad h'(0) = 1: \quad (2.4)$$

Այս դեպքում  $W(0) = 1$ : (2.4) պայմաններից և  $x = 0$  կետում (VIII.1.5) և (VIII.1.6) հավասարումներից հետևում է, որ

$$\begin{aligned} g(a) &= \alpha_1 g(0) + \alpha_2 h(0) = \alpha_1; \quad \alpha_1 = g(a), \\ h(a) &= \beta_1 g(0) + \beta_2 h(0) = \beta_1; \quad \beta_1 = h(a), \\ g'(a) &= \alpha_1 g'(0) + \alpha_2 h'(0) = \alpha_2; \quad \alpha_2 = g'(a), \\ h'(a) &= \beta_1 g'(0) + \beta_2 h'(0) = \beta_2; \quad \beta_2 = h'(a): \end{aligned} \quad (2.5)$$

**Հավելված 4. ՏԱՐՐԵՐԻ ԿՐԻՏԻԿԱԿԱՆ ԶԵՐՄԱՍԻԹԱՆՆԵՐ ԵՎ  
ԿՐԻՏԻԿԱԿԱՆ ՄԱԳՆԻՄԱԿԱՆ ԴԱԾՏԵՐ**

| Sարք                     | $T_c$ , K | $H_c(0)$ , Գս |
|--------------------------|-----------|---------------|
| Al                       | 1,196     | 99            |
| Cd                       | 0,56      | 30            |
| Ga                       | 1,091     | 51            |
| Hf                       | 0,09      | —             |
| Hg $\alpha$ (ռոմբոէդր.)  | 4,15      | 411           |
| Hg $\beta$               | 3,95      | 339           |
| In                       | 3,4       | 293           |
| Ir                       | 0,14      | 19            |
| La $\alpha$ (հերս.խ.դ.)  | 4,9       | 798           |
| La $\beta$ (նիստակ.խոր.) | 6,06      | 1096          |
| Mo                       | 0,92      | 98            |
| Nb                       | 9,26      | 1980          |
| Os                       | 0,655     | 65            |
| Pa                       | 1,4       | —             |
| Pb                       | 7,19      | 803           |
| Re                       | 1,698     | 198           |
| Ru                       | 0,49      | 66            |
| Sn                       | 3,72      | 305           |
| Ta                       | 4,48      | 830           |
| Tc                       | 7,77      | 1410          |
| Tb                       | 1,368     | 162           |
| Ti                       | 0,39      | 100           |
| Tl                       | 2,39      | 171           |
| U $\alpha$               | 0,68      | —             |
| U $\gamma$               | 1,80      | —             |
| V                        | 5,30      | 1020          |
| W                        | 0,012     | 1             |
| Zn                       | 0,875     | 53            |
| Zr                       | 0,65      | 47            |

## **ԳՐԱԿԱՆՈՒԹՅՈՒՆ**

### **Ընդհանուր գրականություն**

1. Ч.Киттель. Введение в физику твердого тела. М., Наука, 1978.
2. Дж.Займан. Принципы теории твердого тела. М., Мир, 1974.
3. Н.Ашкрофт, Н.Мермин. Физика твердого тела (тт. I, II). М., Мир, 1979.
4. А.И.Ансельм. Введение в теорию полупроводников. М., Наука, 1978.
5. Дж.Блейкмор. Физика твердого тела. М., Мир, 1988.
6. Ч.Уерт, Р.Томсон. Физика твердого тела. М., Мир, 1966.
7. Задачи по физике твердого тела, под. ред. Г.Дж.Голдсмида, М., Наука, 1976.
8. В.М.Варикаш, Ю.М.Хачатрян. Избранные задачи по физике твердого тела. Минск, Вышэйш. школа, 1969.
9. Л.Д.Ландау, Е.М.Лифшиц. Статистическая физика, ч.І, М., Наука, 1976.
10. Л.Д.Ландау, Е.М.Лифшиц. Квантовая механика. М., ФМЛ, 1963.
11. Р.Кубо. Статистическая механика. М., Мир, 1967.
12. Таблицы физических величин. Справочник, под ред. акад. И.К.Кикоина. М., Атомиздат, 1976.
13. Б.М.Яворский, А.А.Детлаф. Справочник по физике. М., Наука, 1974.

### **VI զիսի գրականություն**

1. А.Вильсон. Квантовая теория металлов. М., 1941.
2. П.Гроссе. Свободные электроны в твердых телах. М., Мир, 1982.

### **VII զիսի գրականություն**

1. Г.Бете, А.Зоммерфельд. Электронная теория металлов. М., Л., 1938.
2. Ф.Зейтц. Современная теория твердого тела. М., Л., 1948.

- Л.Жирифалько. Статистическая физика твердого тела. М., Мир, 1975.

### VIII құжғы қаршылышпірім

- J.P.McKelvey. Solid state and semiconductor physics. Harper international edition (2nd printing), 1969.
- П.Гроссе. Свободные электроны в твердых телах. М., Мир, 1982.
- А.Ярив. Введение в теорию и приложения квантовой механики. М., Мир, 1984.
- И.И.Петровский. Электронная теория полупроводников. Минск, Высшая школа, 1964.
- З.Флюгте. Задачи по квантовой механике, т.1. М., Мир, 1974.
- П.П.Павинский. Введение в теорию твердого тела. Изд. Ленинградского университета, 1979.

### IX құжғы қаршылышпірім

- С.В.Вонсовский. Магнетизм. М., Наука, 1971.
- С.Тикадзуми. Физика ферромагнетизма. М., Мир, 1983.
- J.H.Vleck. Theory of electrical and magnetic susceptibilities. Oxford, 1932.
- Г.А.Смоленский, В.В.Леманов. Ферриты и их техническое применение, Ленинград, Наука, 1975.

### X құжғы қаршылышпірім

- В.Буккель. Сверхпроводимость. М., Мир, 1975.
- Э.А.Лингтон. Сверхпроводимость. М., Мир, 1964.
- А.Роуз-Инс, Е.Родерик. Введение в физику сверхпроводимости. М., Мир, 1972.
- П.Де Жен. Сверхпроводимость металлов и сплавов. М., Мир, 1968.
- В.В.Шмидт. Введение в физику сверхпроводников. М., Наука, 1982.

6. Дж.Шриффер. Теория сверхпроводимости. М., Наука, 1970.
7. Р.М.Хейзен. В мире науки (Scientific American), №8, 1988.
8. Л.Г.Асламазов, В.Н.Губанков. Слабая сверхпроводимость. Знание, сер."Физика", №4, 1982.
9. В.В.Мощалков. Высокотемпературные сверхпроводники. Знание, сер."Физика", №9, 1987.
10. И.Г.Беднорц, К.А.Мюллер. Успехи физических наук (УФН), 156(2), 323, 1988.

#### XI құжғы әршілшілдірілік

1. Ван Бюрен. Дефекты в кристаллах. М., ИЛ, 1962.
2. Дж.Хирт, И.Лоте. Теория дислокаций. М., Атомиздат, 1972.
3. А.Н.Орлов. Введение в теорию дефектов в кристаллах. М., Высшая школа, 1983.
4. А.Х.Коттрелл. Дислокации и пластическое течение в кристаллах. М., Металлургиздат, 1958.
5. А.М.Косевич. Физическая механика реальных кристаллов, Киев, Наукова думка, 1981.

#### XII құжғы әршілшілдірілік

1. Дж.Займан. Модели беспорядка. М., Мир, 1982.
2. О.В.Мазурин. Стеклование. Ленинград, Наука, 1986.
3. П.П.Кобеко. Аморфные вещества. М., Л., Изд. АН СССР, 19
4. Я.И.Френкель. Введение в теорию металлов. М., ФМЛ, 1958.
5. И.Г.Чистяков. Жидкие кристаллы. М., Наука, 1966.
6. В. де Же. Физические свойства жидкокристаллических веществ. М., Мир, 1982.
7. А.С.Сонин. Введение в физику жидких кристаллов. М., Наука, 1983.
8. Физика за рубежом '83. (Сборник научно-популярных статей). М., Мир, 1983.
9. Л.М.Блинов, С.А.Пикин. Жидкокристаллическое состояние вещества. Знание, сер."Физика", №6, 1986.

## Ա. ԿԻՐԱԿՈՍՅԱՆ

### ՊԻՆԴ ՄԱՐՄՆԻ ՖԻԶԻԿԱՅԻ ՆԵՐԱԾՈՒԹՅՈՒՆ ՄԱՍ II

Խմբագիր՝ ակադեմիկոս Է.Մ.Ղազարյան

Հանձնված է շարվածքի 20.02.99 թ.: Ստորագրված է տպագրության 10.04.99 թ.: Գրաշափը՝ 60x84 1/16: Թուղթը՝ օֆսեր: Տառատեսակը՝ «Գրքի սովորական»: Տպագրական մամոլ՝ 21,5:



«ՀԱՅԻՆՖՈ» գործակալություն

Երևան, Խսահակյան 28, հեռ. 52-64-16, 52-85-30